

ELECTRONIC SUPPLEMENTARY INFORMATION

Multiplexed immunosensing of cancer biomarkers on a split-float-gate graphene transistor microfluidic biochip

Cheng Wang, Tao Wang, Yujing Gao, Qiya Tao, Weixiang Ye, Yuan Jia, Xiaonan Zhao, Bo Zhang, and Zhixing Zhang

CONTENTS

1	Device fabrication protocol.....	2
2	Biochemical functionalization protocol (single biomarker).....	4
3	Dataset of GFET transport characteristics (single biomarker).....	6
4	Kinetic process measurement protocol (single biomarker).....	7
5	Dataset of kinetic process measurements (single biomarker)	9
6	Dataset of cross-reaction measurements	34
7	Multiplexed immunosensing protocol (three biomarkers in PBS/serum)	83
8	Dataset of multiplexed immunosensing (three biomarkers in PBS)	85
9	Dataset of multiplexed immunosensing (three biomarkers in serum).....	186
	References.....	287

1 Device fabrication protocol

The batch fabrication of split-float-gate graphene electric field-effect transistor (GFET) devices (288 devices on a 4-inch wafer) employed the standard CMOS techniques, such as ultraviolet photolithography, atomic layer deposition (ALD), ion implantation and metal deposition¹. The photolithographic operations used the double-layer lift-off technique (100 nm LOR 1A/1.3 μm positive photoresist AZ 601). The HfO₂ dielectric layers was grown using tetrakisethylmethylenamido hafnium (TEMAH) [(CH₃)(C₂H₅)N]₄Hf and oxidant O₃. The key steps (**Figure S1**) are listed as follows:

- 1) A boron-doped *p*-type silicon wafer ($n_h = 2 \times 10^{16} \text{ cm}^{-3}$) coated by 100 nm SiO₂ is used as a substrate (**Figure S1a**). To create the local *n*⁺-type silicon bottom-gate electrodes complementary to the *p*-type substrate, the photolithographic patterning is carried out. After the patterning development, the implantation of phosphor ions is executed with a beam density of 10^{15} cm^{-2} , and a scanning energy of 150 keV. The phosphor-doped electron concentration is designed as $n_e = 10^{18} \text{ cm}^{-3}$. After a rapid annealing at 1050 °C for 30 s, the local *n*⁺-type bottom-gate electrodes are created (**Figure S1b**). The depth of back-gate electrodes is approximately 500 nm.
- 2) The subsequent steps of photolithographic patterning and BOE etching are carried out to locally remove the SiO₂ layer and expose the bottom-gate electrodes and pads (**Figure S1c**).
- 3) After a thorough cleaning in oxygen plasma (800 mTorr, 950 mW, 3 min), the wafer is then undergone the ALD growth of 15 nm bottom-gate HfO₂ dielectric layer (**Figure S1d**). TEMAH and O₃ reacting at 120 °C form an isotropic HfO₂ layer^{2, 3}.
- 4) The monolayer chemical vapor deposition (CVD) graphene is transferred on the bottom-gate HfO₂ layer. Then, another photolithographic step is carried out to pattern the graphene sheet into rectangle conducting channels (10 μm × 50 μm) overlying corresponding bottom-gate electrodes (**Figure S1e**). Oxygen plasma etching is used to remove the unwanted graphene.
- 5) A separate photolithographic patterning and metal deposition process are executed (**Figure S1f**), in order to define the drain/source electrodes and pads that are made of 5 nm/45 nm Cr/Au.
- 6) A 10 nm top-layer HfO₂ is grown to complete the encapsulation of graphene conducting channels. To avoid the global overlay of HfO₂ on the drain/source electrodes, a photolithographic step is carried out prior to the second ALD growth (**Figure S1g**). After the patterning development and the top-layer HfO₂ lift-off, the metal pads of drain/source electrodes are exposed.
- 7) Finally, the split-float-gate electrodes and pads made of Cr/Au (5 nm/45 nm) are defined using photolithographic patterning and metal deposition. As shown in **Figure S1h**.

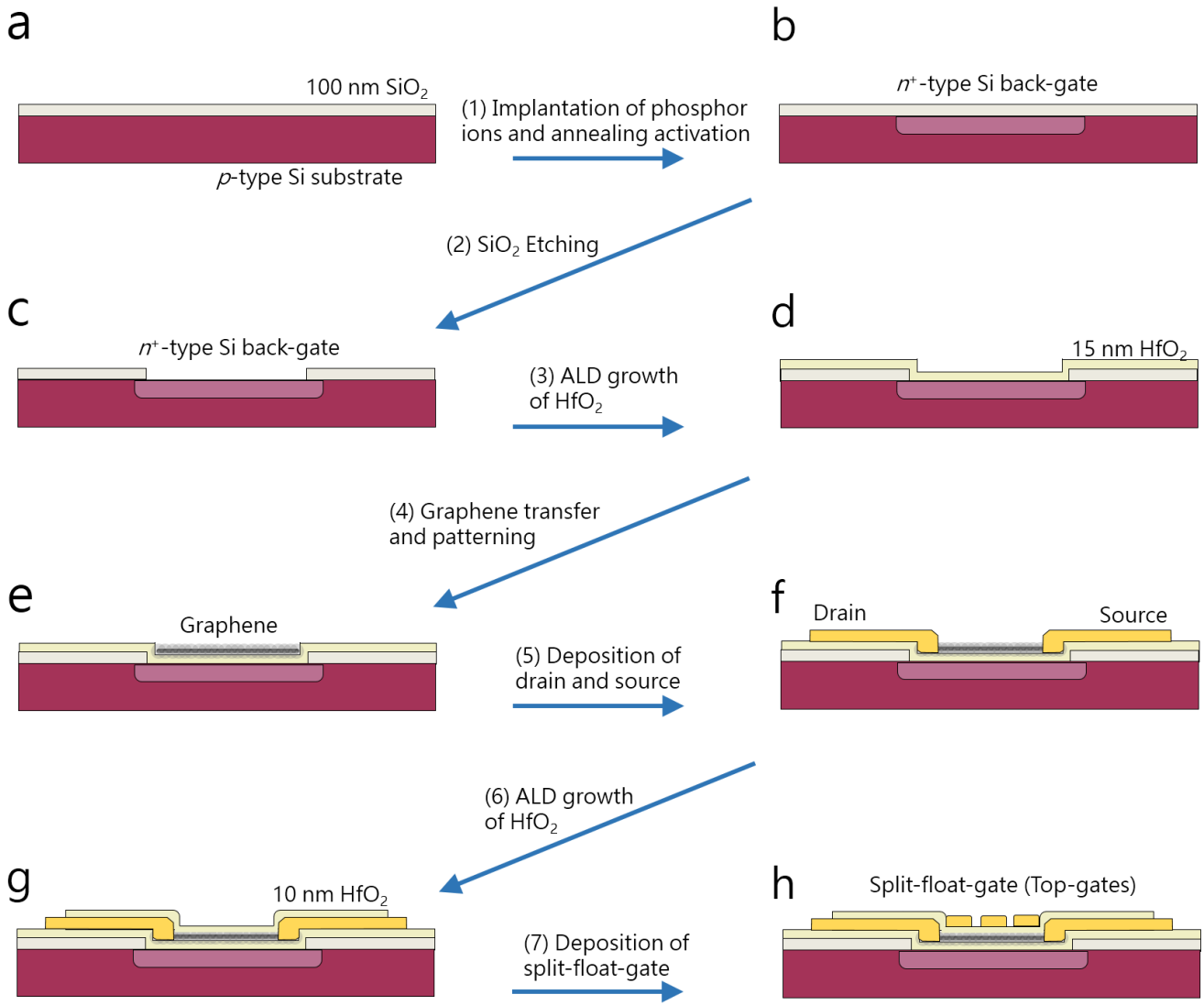


Figure S1. Fabrication protocol of GFET devices. A $100\text{ nm } \text{SiO}_2/\text{Si}$ wafer (a) used as the p -type substrate is implanted by phosphor ions to create the local n^+ -type back-gate electrodes (b). After the removal of SiO_2 scattering layer above the back-gate electrodes (c), a layer of $15\text{ nm } \text{HfO}_2$ is grown by ALD (d). The monolayer CVD graphene sheet is transferred and patterned into graphene channels (e). By depositing drain and source electrodes (f), and growing a layer of $10\text{ nm } \text{HfO}_2$, the graphene channels are encapsulated (g). After the final deposition of the split-float-gate, and the large electrode pads, the FSS-GFET devices (h) are completed.

2 Biochemical functionalization protocol (single biomarker)

The chemical reagents including N-(3-dimethylaminopropyl)-N'-ethylcarbodiimide hydrochloride (EDC), N-hydroxysuccinimide (NHS), 4-mercaptopbenzoic acid (MBA), methanol, and ethanolamine were purchased from Sigma-Aldrich (Shanghai, China). The biological materials including carcinoembryonic antigen (CEA), α -fetoprotein (AFP), and parathyroid hormone (PTH), and corresponding mouse monoclonal antibodies were purchased from Sangon Biotech (Shanghai, China). The $1 \times$ phosphate-buffered saline (PBS, ionic strength 150 mM, pH 7.2) used as the solvent was purchased from Life Technologies (Shanghai, China). The human serum used as the solvent was purchased from Sigma-Aldrich (Shanghai, China).

To verify the immunoaffinity signaling capability of CEA, AFP and PTH, the GFET transfer characteristic curves were measured in-situ using a microfluidic system, as shown in **Figure S2**. The procedures of biochemical functionalization (including electrical measurement) are presented as follows⁴. During each transfer characteristic curve measurement, the drain voltage was $V_{ds} = 100$ mV, and the gate voltage V_{gs} scanning uniformly adopted the backward direction (5 V \rightarrow 0 V) with a certain velocity $v = 1$ V s $^{-1}$.

- 1) We first syringe the PBS solution to cover three top-gate pads, and then measure the GFET transfer characteristic curve (I_d vs V_{gs}) in this step (before biochemical functionalization) to record the pristine state.
- 2) The PBS solution is removed for the next step of linker immobilization. A 200 μ M 4-mercaptopbenzoic acid (MBA) solution (in methanol) is syringed for a 2 h incubation to achieve the thiol-linker immobilization on three pads. Then, an aqueous solution mixing 1 mM N-(3-dimethylaminopropyl)-N'-ethylcarbodiimide hydrochloride (EDC) and 20 mM N-hydroxysuccinimide (NHS) is syringed into the microfluidic channel for 3 h, to form the MBA-NHS linkers on three gold top-gate pads. We DO NOT record the GFET transfer characteristic curve in this step.
- 3) After rinsing with PBS, the immobilization of antibody molecules (anti-CEA, -AFP or -PTH) on three pads is achieved by syringing an antibody solution (1 μ M) for 2 h. After rinsing with PBS, an ethanolamine solution (100 mM) is introduced to deactivate excessive NHS-groups (1 h incubation). In this step, the GFET transfer characteristic curve is measured to verify the successful antibody immobilization.
- 4) After rinsing with PBS, the capturing of biomarker molecules (CEA, AFP or PTH) is achieved by syringing a high-concentration biomarker solution (1 μ M) for 10 min. Then, the GFET transfer characteristic curve of the biomarker-laden stage is measured. By recording three curves of the steps 1), 3) and 4), and comparing with each other, the immunoaffinity signaling capability can be demonstrated by the identifiable curve shifts.

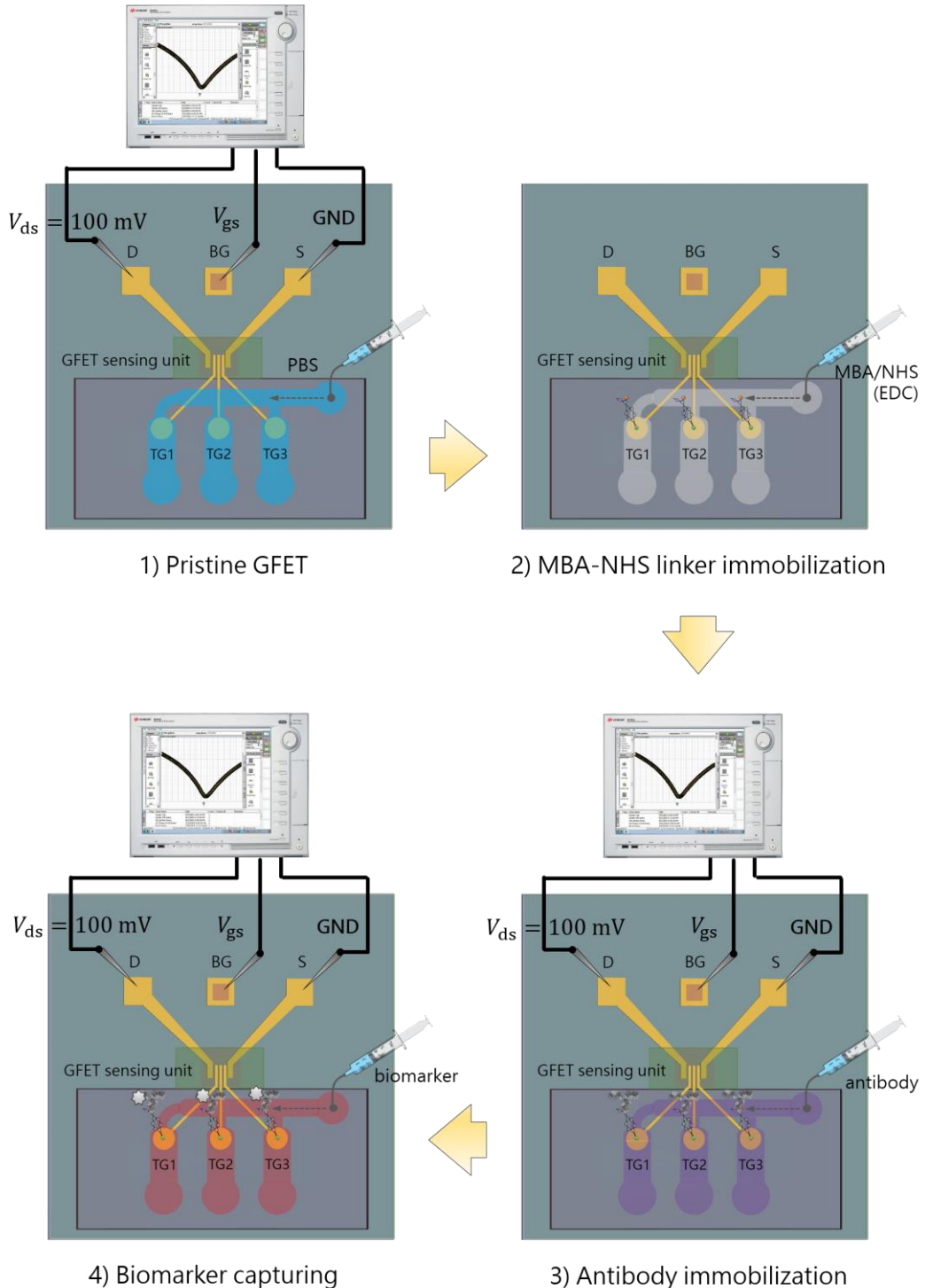


Figure S2. Biochemical functionalization and electrical measurement protocols for verifying the signaling capability of (single) biomarker immunoaffinity. For each biomarker (CEA, AFP or PTH), the antibody molecules are immobilized on TG1, TG2 and TG3, and the high-concentration biomarker solution is introduced to fully occupy the antibody molecules. Three GFET transfer characteristic curves (I_d vs V_{gs}) corresponding the steps 1), 3) and 4) are measured.

3 Dataset of GFET transport characteristics (single biomarker)

Following the experimental protocol in **Section 2**, the GFET transfer characteristic curves belonging to the immunoaffinity of CEA, AFP and PTH were measured, respectively. As shown in **Figure S3**, for each biomarker, 3 GFET devices were disposably used to triplicate the measurements (device #T1 – #T9).

In **Figures S3a – S3c**, the CEA-induced GFET transfer characteristic curve shifts are basically identical to each other, which demonstrate the bioelectronic signaling capability and suggest the device-to-device uniformity of out batch-made GFET devices. Correspondingly, in **Figures S3d – S3f** and **Figures S3g – S3i**, the GFET transfer characteristic curve shifts induced by AFP and PTH exhibit similar results. In the main text, **Figures S3a, S3d and S3g** are presented as the representative results (**Figures 2a, 2c and 2e**).

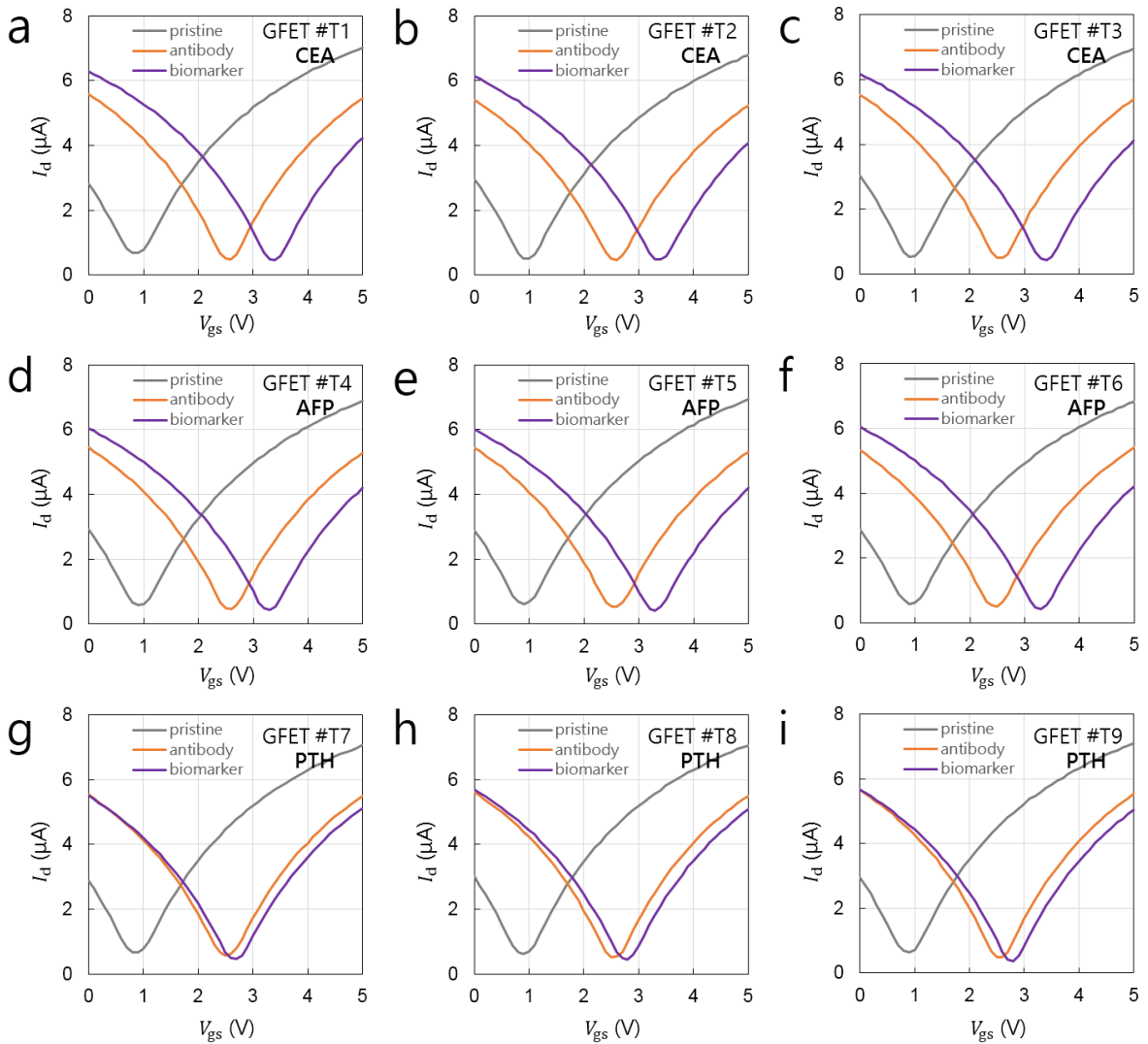


Figure S3. GFET Transfer characteristic curves verifying the signaling capability of (single) biomarker immunoaffinity. (a) – (c) Triplicated experimental results of CEA immunoaffinity. (d) – (f) Triplicated experimental results of AFP immunoaffinity. (g) – (i) Triplicated experimental results of PTH immunoaffinity.

4 Kinetic process measurement protocol (single biomarker)

To estimate the immunoaffinity kinetic parameters of CEA, AFP and PTH, the kinetic processes corresponding to various concentrations of biomarker were measured. During each measurement, the GFET device was disposably used. The procedures of biochemical functionalization (including electrical measurement) are presented as follows. As shown in **Figure S4**, steps 1), 2) and 3) are same to those in **Figure S2**. In particular, the electrical measurements are only carried out in step 4).

- 1) We first rinse the microfluidic channels with the PBS solution.
- 2) The conductive MBA-NHS linkers are immobilized on three gold top-gate pads.
- 3) The antibody molecules (anti-CEA, -AFP or -PTH) are immobilized on three pads via the amino-coupling reaction. The excessive NHS-groups are deactivated by ethanolamine.
- 4) After rinsing the microfluidic channels with PBS, a biomarker solution (CEA, AFP or PTH) at a certain concentration (1, 2.5, 5, 10, 25, 50 or 100 nM) is syringed. Under the electrical conditions $V_{ds} = 100$ mV and $V_{gs} = 2$ V, a 650-s kinetic process (I_d vs t , -50 s $\leq t \leq 600$ s) is recorded.

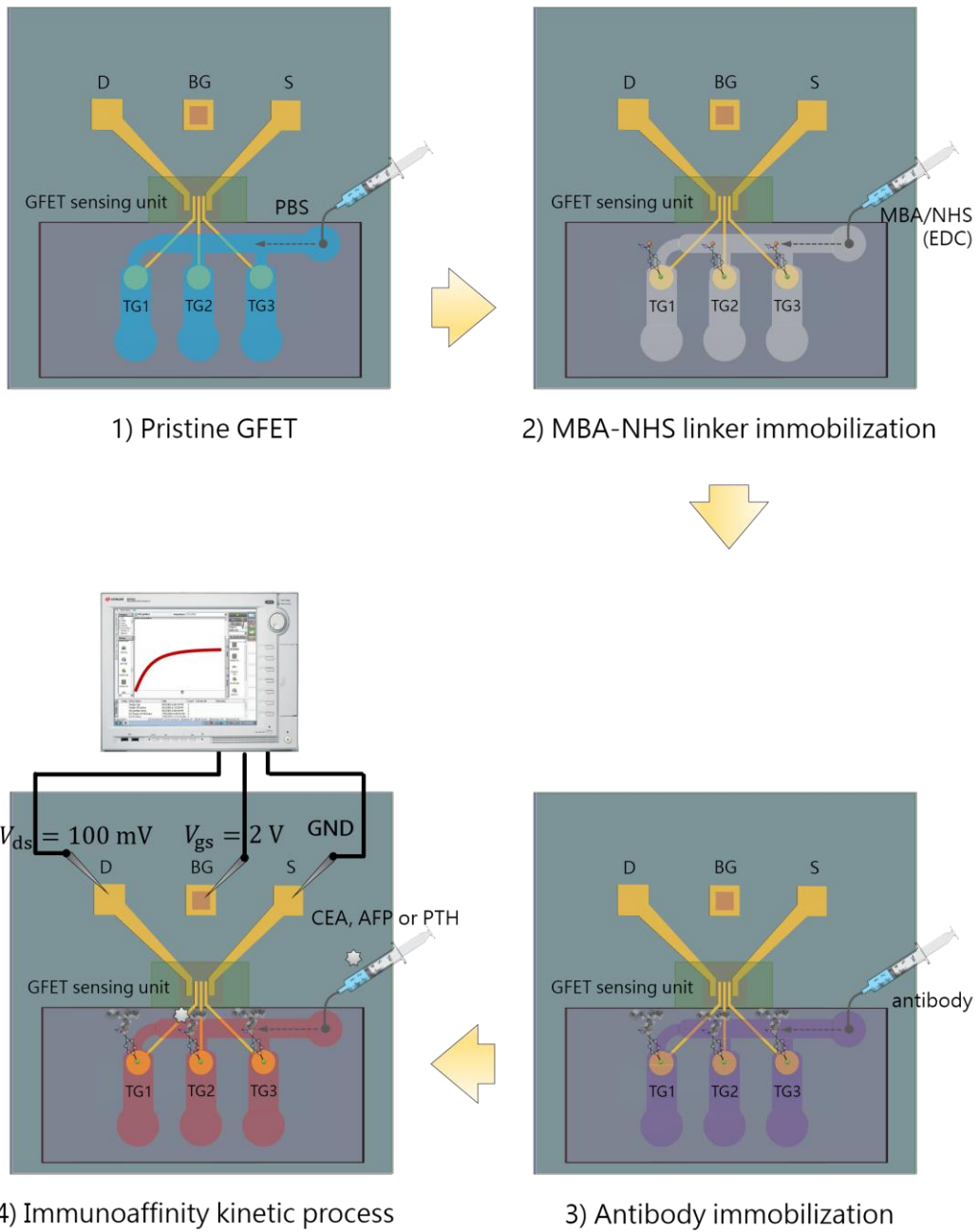


Figure S4. To measure an immunoaffinity kinetic process of a single biomarker (CEA, AFP or PTH), the biochemical functionalization steps are same to the steps 1), 2) and 3) in **Figure S2**. Then, in step 4), a biomarker solution at a certain concentration (1 – 100 nM) is introduced, and the corresponding kinetic response curve (I_d vs t) is continuously recorded.

5 Dataset of kinetic process measurements (single biomarker)

Following the experimental protocol in **Section 4**, the kinetic processes belonging to CEA, AFP and PTH at various concentrations were measured using 21 GFET devices (#K1 – #K21), respectively. For each biomarker (CEA, AFP or PTH), 7 GFET devices were disposably used to measure the samples (1, 2.5, 5, 10, 25, 50 and 100 nM).

Corresponding to **Figures 2a, 2c and 2e** in the main text, the detailed experimental data and the numerical fitting results are presented in **Table S1 – S3**. Based on the classic exponential function Eq. (1) in the main text⁵, we fitted the kinetic parameters as $k_a^{(CEA)} \approx 357053.24 \text{ M}^{-1}\text{s}^{-1}$, $k_d^{(CEA)} \approx 0.0003055 \text{ s}^{-1}$, $k_a^{(AFP)} \approx 99465.16 \text{ M}^{-1}\text{s}^{-1}$, $k_d^{(AFP)} \approx 0.0008749 \text{ s}^{-1}$, $k_a^{(PTH)} \approx 1020100.24 \text{ M}^{-1}\text{s}^{-1}$ and $k_d^{(PTH)} \approx 0.0023879 \text{ s}^{-1}$.

Table S1. Kinetic processes of CEA immunoaffinity and fitting results.

Device number	CEA concentration, $c^{(CEA)}$ (nM)	Time, t (s)	Experimental results		Fitting results $\Delta\tilde{I}_d$ (μ A) ($k_a^{(CEA)} \approx 357053.24 \text{ M}^{-1}\text{s}^{-1}$, $k_d^{(CEA)} \approx 0.0003055 \text{ s}^{-1}$)
			I_d (μ A)	$\Delta I_d = I_d - \overline{I_d(t < 0)}$ (μ A)	
GFET #K1	1	-50	2.254	2.261	—
		-40	2.259		
		-30	2.255		
		-20	2.267		
		-10	2.271		
		0	2.261	0.000	0.000
		10	2.281	0.020	0.010
		20	2.301	0.040	0.021
		30	2.309	0.048	0.031
		40	2.335	0.074	0.041
		50	2.337	0.076	0.051
		60	2.336	0.075	0.062
		70	2.364	0.103	0.072
		80	2.383	0.122	0.082
		90	2.373	0.112	0.091
		100	2.405	0.144	0.101
		110	2.396	0.135	0.111
		120	2.396	0.135	0.121
		130	2.414	0.153	0.130
		140	2.436	0.175	0.140
		150	2.422	0.161	0.150
		160	2.431	0.169	0.159
		170	2.437	0.176	0.168
		180	2.424	0.162	0.178
		190	2.439	0.178	0.187
		200	2.442	0.181	0.196
		210	2.448	0.186	0.205
		220	2.454	0.193	0.214
		230	2.460	0.199	0.223
		240	2.437	0.176	0.232
		250	2.459	0.197	0.241
		260	2.472	0.211	0.250
		270	2.469	0.208	0.259
		280	2.502	0.241	0.268
		290	2.476	0.215	0.276
		300	2.475	0.213	0.285
		310	2.487	0.226	0.293
		320	2.502	0.241	0.302
		330	2.500	0.238	0.310
		340	2.514	0.252	0.319
		350	2.502	0.241	0.327
		360	2.502	0.241	0.335
		370	2.511	0.250	0.344
		380	2.530	0.269	0.352
		390	2.521	0.259	0.360
		400	2.543	0.282	0.368
		410	2.524	0.263	0.376
		420	2.525	0.264	0.384
		430	2.530	0.268	0.392
		440	2.547	0.285	0.400
		450	2.539	0.278	0.407
		460	2.541	0.280	0.415
		470	2.555	0.293	0.423
		480	2.542	0.281	0.431
		490	2.555	0.294	0.438
		500	2.575	0.314	0.446

GFET #K2	2.5	510	2.572	0.311	0.453
		520	2.560	0.299	0.461
		530	2.562	0.301	0.468
		540	2.587	0.326	0.475
		550	2.581	0.319	0.483
		560	2.585	0.324	0.490
		570	2.592	0.331	0.497
		580	2.603	0.341	0.504
		590	2.600	0.338	0.511
		600	2.592	0.331	0.518
	2.6	-50	2.267	2.269	-
		-40	2.298		
		-30	2.272		
		-20	2.251		
		-10	2.267		
		0	2.259	-0.010	0.000
		10	2.300	0.030	0.019
		20	2.349	0.080	0.037
		30	2.364	0.095	0.056
		40	2.409	0.139	0.074
		50	2.428	0.159	0.092
		60	2.435	0.166	0.110
		70	2.451	0.182	0.127
		80	2.471	0.202	0.144
	2.7	90	2.482	0.213	0.162
		100	2.494	0.225	0.178
		110	2.503	0.234	0.195
		120	2.516	0.247	0.212
		130	2.507	0.238	0.228
		140	2.544	0.275	0.244
		150	2.535	0.266	0.260
		160	2.577	0.308	0.276
		170	2.563	0.294	0.291
		180	2.572	0.303	0.307
		190	2.573	0.304	0.322
		200	2.600	0.331	0.337
		210	2.602	0.333	0.352
		220	2.601	0.332	0.366
		230	2.637	0.368	0.381
		240	2.611	0.342	0.395
		250	2.631	0.362	0.409
		260	2.658	0.388	0.423
		270	2.650	0.380	0.437
		280	2.660	0.391	0.450
		290	2.683	0.414	0.464
		300	2.660	0.391	0.477
		310	2.705	0.436	0.490
		320	2.706	0.437	0.503
		330	2.709	0.440	0.516
		340	2.711	0.442	0.529
		350	2.718	0.449	0.541
		360	2.715	0.446	0.554
		370	2.725	0.456	0.566
		380	2.737	0.468	0.578
		390	2.748	0.479	0.590
		400	2.754	0.485	0.602
		410	2.762	0.493	0.613
		420	2.773	0.504	0.625
		430	2.768	0.499	0.636
		440	2.791	0.522	0.648
		450	2.803	0.534	0.659
		460	2.799	0.530	0.670

		470	2.801	0.532	0.681
		480	2.816	0.547	0.691
		490	2.805	0.535	0.702
		500	2.819	0.550	0.712
		510	2.833	0.564	0.723
		520	2.853	0.583	0.733
		530	2.837	0.568	0.743
		540	2.855	0.586	0.753
		550	2.850	0.581	0.763
		560	2.867	0.598	0.773
		570	2.867	0.598	0.782
		580	2.861	0.592	0.792
		590	2.896	0.627	0.801
		600	2.873	0.604	0.810
		-50	2.262	2.277	-
		-40	2.270		
		-30	2.292		
		-20	2.284		
		-10	2.273		
		0	2.279	0.002	0.000
		10	2.365	0.088	0.033
		20	2.415	0.138	0.065
		30	2.449	0.173	0.096
		40	2.467	0.190	0.127
		50	2.500	0.224	0.157
		60	2.525	0.248	0.186
		70	2.535	0.258	0.215
		80	2.572	0.295	0.243
		90	2.591	0.315	0.271
		100	2.603	0.326	0.298
		110	2.628	0.351	0.325
		120	2.649	0.372	0.351
		130	2.672	0.396	0.376
		140	2.674	0.398	0.401
		150	2.708	0.431	0.425
		160	2.711	0.435	0.449
		170	2.731	0.454	0.473
		180	2.734	0.457	0.496
		190	2.772	0.496	0.518
		200	2.756	0.479	0.540
		210	2.778	0.501	0.562
		220	2.800	0.523	0.583
		230	2.811	0.534	0.603
		240	2.839	0.562	0.624
		250	2.844	0.568	0.643
		260	2.859	0.583	0.663
		270	2.881	0.604	0.682
		280	2.904	0.627	0.700
		290	2.890	0.614	0.719
		300	2.920	0.643	0.736
		310	2.931	0.654	0.754
		320	2.938	0.662	0.771
		330	2.943	0.666	0.788
		340	2.970	0.694	0.804
		350	2.965	0.688	0.820
		360	2.990	0.714	0.836
		370	3.003	0.726	0.851
		380	3.022	0.745	0.866
		390	3.018	0.741	0.881
		400	3.028	0.751	0.896
		410	3.052	0.776	0.910
		420	3.058	0.782	0.924

		430	3.066	0.790	0.937
		440	3.072	0.796	0.951
		450	3.074	0.797	0.964
		460	3.103	0.827	0.976
		470	3.107	0.830	0.989
		480	3.098	0.822	1.001
		490	3.129	0.853	1.013
		500	3.154	0.878	1.025
		510	3.141	0.864	1.036
		520	3.146	0.870	1.048
		530	3.169	0.892	1.059
		540	3.164	0.888	1.069
		550	3.182	0.906	1.080
		560	3.208	0.932	1.090
		570	3.180	0.903	1.101
		580	3.188	0.911	1.110
		590	3.231	0.954	1.120
		600	3.209	0.932	1.130
		-50	2.268	2.260	-
		-40	2.242		
		-30	2.260		
		-20	2.261		
		-10	2.262		
		0	2.269		
GFET #K4	10	10	2.412	0.151	0.060
		20	2.494	0.234	0.118
		30	2.534	0.273	0.173
		40	2.585	0.325	0.227
		50	2.623	0.363	0.278
		60	2.642	0.381	0.328
		70	2.688	0.427	0.376
		80	2.712	0.451	0.421
		90	2.746	0.486	0.465
		100	2.777	0.517	0.508
		110	2.799	0.539	0.549
		120	2.843	0.583	0.588
		130	2.871	0.611	0.626
		140	2.896	0.636	0.662
		150	2.920	0.660	0.697
		160	2.930	0.670	0.730
		170	2.979	0.718	0.763
		180	3.009	0.749	0.794
		190	3.033	0.773	0.824
		200	3.039	0.779	0.853
		210	3.072	0.811	0.880
		220	3.070	0.810	0.907
		230	3.105	0.845	0.932
		240	3.121	0.861	0.957
		250	3.149	0.889	0.981
		260	3.174	0.914	1.004
		270	3.178	0.917	1.025
		280	3.191	0.931	1.047
		290	3.225	0.964	1.067
		300	3.219	0.959	1.086
		310	3.247	0.986	1.105
		320	3.276	1.016	1.123
		330	3.285	1.025	1.141
		340	3.297	1.037	1.157
		350	3.295	1.035	1.173
		360	3.332	1.071	1.189
		370	3.327	1.067	1.204
		380	3.351	1.090	1.218

		390	3.355	1.095	1.232
		400	3.359	1.098	1.245
		410	3.392	1.131	1.258
		420	3.417	1.156	1.270
		430	3.411	1.151	1.282
		440	3.418	1.158	1.293
		450	3.427	1.167	1.304
		460	3.428	1.168	1.315
		470	3.457	1.196	1.325
		480	3.474	1.213	1.335
		490	3.477	1.217	1.344
		500	3.493	1.233	1.353
		510	3.481	1.221	1.362
		520	3.499	1.238	1.370
		530	3.514	1.254	1.378
		540	3.511	1.250	1.386
		550	3.530	1.270	1.393
		560	3.529	1.269	1.400
		570	3.533	1.272	1.407
		580	3.564	1.303	1.414
		590	3.557	1.297	1.420
		600	3.575	1.314	1.426
		-50	2.275		
		-40	2.248		
		-30	2.268		
		-20	2.285		
		-10	2.276		
		0	2.266	-0.004	0.000
		10	2.508	0.238	0.139
		20	2.614	0.344	0.266
		30	2.702	0.432	0.382
		40	2.790	0.520	0.488
		50	2.842	0.572	0.584
		60	2.917	0.647	0.672
		70	2.978	0.709	0.752
		80	3.063	0.794	0.825
		90	3.096	0.826	0.892
		100	3.150	0.880	0.953
		110	3.193	0.923	1.008
		120	3.243	0.973	1.058
		130	3.264	0.995	1.105
		140	3.309	1.039	1.147
		150	3.326	1.057	1.185
		160	3.365	1.095	1.220
		170	3.389	1.119	1.251
		180	3.428	1.158	1.281
		190	3.468	1.199	1.307
		200	3.479	1.209	1.331
		210	3.480	1.210	1.353
		220	3.529	1.259	1.373
		230	3.570	1.300	1.391
		240	3.562	1.292	1.408
		250	3.570	1.300	1.423
		260	3.580	1.310	1.437
		270	3.613	1.343	1.450
		280	3.610	1.341	1.461
		290	3.641	1.371	1.472
		300	3.664	1.394	1.481
		310	3.669	1.399	1.490
		320	3.668	1.398	1.498
		330	3.687	1.417	1.505
		340	3.698	1.429	1.512

GFET
#K5

25

		350	3.699	1.429	1.518
		360	3.715	1.445	1.524
		370	3.721	1.451	1.529
		380	3.731	1.461	1.533
		390	3.747	1.478	1.537
		400	3.743	1.473	1.541
		410	3.758	1.488	1.545
		420	3.755	1.486	1.548
		430	3.775	1.505	1.551
		440	3.772	1.502	1.553
		450	3.781	1.512	1.556
		460	3.776	1.507	1.558
		470	3.793	1.523	1.560
		480	3.783	1.513	1.562
		490	3.796	1.526	1.563
		500	3.799	1.529	1.565
		510	3.803	1.533	1.566
		520	3.803	1.533	1.568
		530	3.809	1.539	1.569
		540	3.821	1.551	1.570
		550	3.802	1.533	1.571
		560	3.815	1.545	1.572
		570	3.822	1.552	1.572
		580	3.821	1.551	1.573
		590	3.813	1.543	1.574
		600	3.834	1.564	1.574
		-50	2.268	2.266	-
		-40	2.263		
		-30	2.265		
		-20	2.266		
		-10	2.267		
		0	2.265		
GFET #K6	50	10	2.631	0.365	0.262
		20	2.787	0.521	0.481
		30	2.937	0.672	0.664
		40	3.057	0.791	0.816
		50	3.152	0.887	0.943
		60	3.226	0.961	1.049
		70	3.314	1.048	1.137
		80	3.374	1.109	1.211
		90	3.445	1.179	1.272
		100	3.476	1.210	1.323
		110	3.536	1.270	1.366
		120	3.560	1.295	1.402
		130	3.597	1.332	1.431
		140	3.647	1.382	1.456
		150	3.646	1.380	1.477
		160	3.675	1.409	1.494
		170	3.699	1.433	1.508
		180	3.731	1.465	1.520
		190	3.734	1.468	1.530
		200	3.760	1.495	1.539
		210	3.774	1.509	1.546
		220	3.780	1.514	1.551
		230	3.777	1.512	1.556
		240	3.800	1.534	1.560
		250	3.801	1.536	1.564
		260	3.810	1.545	1.566
		270	3.814	1.548	1.569
		280	3.818	1.552	1.571
		290	3.843	1.578	1.572
		300	3.806	1.540	1.574

		310	3.839	1.573	1.575
		320	3.849	1.583	1.576
		330	3.841	1.575	1.577
		340	3.851	1.585	1.577
		350	3.844	1.578	1.578
		360	3.855	1.590	1.578
		370	3.853	1.588	1.579
		380	3.856	1.590	1.579
		390	3.867	1.602	1.579
		400	3.865	1.600	1.579
		410	3.852	1.586	1.580
		420	3.866	1.600	1.580
		430	3.871	1.605	1.580
		440	3.870	1.604	1.580
		450	3.851	1.585	1.580
		460	3.865	1.599	1.580
		470	3.863	1.597	1.580
		480	3.870	1.604	1.580
		490	3.841	1.575	1.580
		500	3.861	1.595	1.580
		510	3.846	1.580	1.580
		520	3.865	1.599	1.580
		530	3.857	1.591	1.580
		540	3.871	1.605	1.580
		550	3.860	1.595	1.580
		560	3.881	1.615	1.580
		570	3.873	1.607	1.580
		580	3.880	1.614	1.580
		590	3.864	1.598	1.580
		600	3.866	1.600	1.580
GFET #K7	100	-50	2.261	2.254	—
		-40	2.270		
		-30	2.255		
		-20	2.243		
		-10	2.248		
		0	2.248		
		10	2.781		
		20	3.025		
		30	3.211		
		40	3.346		
		50	3.468		
		60	3.547		
		70	3.599		
		80	3.649		
		90	3.692		
		100	3.735		
		110	3.742		
		120	3.750		
		130	3.784		
		140	3.794		
		150	3.810		
		160	3.809		
		170	3.812		
		180	3.835		
		190	3.818		
		200	3.842		
		210	3.828		
		220	3.831		
		230	3.842		
		240	3.844		
		250	3.851		
		260	3.850		

	270	3.845	1.591	1.580
	280	3.844	1.590	1.580
	290	3.851	1.596	1.580
	300	3.845	1.591	1.580
	310	3.857	1.603	1.580
	320	3.853	1.599	1.580
	330	3.844	1.590	1.580
	340	3.834	1.579	1.580
	350	3.827	1.573	1.580
	360	3.826	1.572	1.580
	370	3.835	1.581	1.580
	380	3.827	1.573	1.581
	390	3.837	1.583	1.581
	400	3.831	1.577	1.581
	410	3.851	1.597	1.581
	420	3.868	1.614	1.581
	430	3.839	1.585	1.581
	440	3.852	1.598	1.581
	450	3.836	1.581	1.581
	460	3.837	1.583	1.581
	470	3.827	1.573	1.581
	480	3.858	1.604	1.581
	490	3.849	1.595	1.581
	500	3.840	1.586	1.581
	510	3.852	1.598	1.581
	520	3.827	1.572	1.581
	530	3.851	1.597	1.581
	540	3.831	1.577	1.581
	550	3.848	1.594	1.581
	560	3.840	1.586	1.581
	570	3.857	1.603	1.581
	580	3.843	1.588	1.581
	590	3.844	1.590	1.581
	600	3.837	1.583	1.581

Table S2. Kinetic processes of AFP immunoaffinity and fitting results.

Device number	AFP concentration, $c^{(AFP)}$ (nM)	Time, t (s)	Experimental results		Fitting results $\Delta\tilde{I}_d$ (μ A) ($k_a^{(AFP)} \approx 99465.16 \text{ M}^{-1}\text{s}^{-1}$, $k_d^{(AFP)} \approx 0.0008749 \text{ s}^{-1}$)
			I_d (μ A)	$\Delta I_d = I_d - \overline{I_d(t < 0)}$ (μ A)	
GFET #K8	1	-50	2.246	2.247	—
		-40	2.242		
		-30	2.240		
		-20	2.246		
		-10	2.238		
		0	2.267	0.021	0.000
		10	2.249	0.003	0.014
		20	2.253	0.006	0.027
		30	2.240	-0.007	0.041
		40	2.284	0.037	0.054
		50	2.275	0.028	0.067
		60	2.257	0.010	0.080
		70	2.262	0.015	0.093
		80	2.277	0.030	0.106
		90	2.284	0.038	0.118
		100	2.281	0.034	0.131
		110	2.272	0.025	0.143
		120	2.271	0.025	0.156
		130	2.276	0.029	0.168
		140	2.280	0.033	0.180
		150	2.288	0.041	0.192
		160	2.283	0.036	0.204
		170	2.283	0.037	0.215
		180	2.280	0.034	0.227
		190	2.303	0.056	0.238
		200	2.274	0.027	0.250
		210	2.296	0.049	0.261
		220	2.303	0.056	0.272
		230	2.285	0.039	0.283
		240	2.281	0.034	0.294
		250	2.291	0.045	0.305
		260	2.276	0.029	0.316
		270	2.290	0.043	0.326
		280	2.297	0.051	0.337
		290	2.284	0.038	0.347
		300	2.283	0.036	0.358
		310	2.291	0.044	0.368
		320	2.276	0.030	0.378
		330	2.290	0.044	0.388
		340	2.307	0.061	0.398
		350	2.289	0.043	0.408
		360	2.298	0.052	0.417
		370	2.308	0.061	0.427
		380	2.297	0.050	0.437
		390	2.307	0.061	0.446
		400	2.304	0.057	0.455
		410	2.305	0.058	0.465
		420	2.312	0.065	0.474
		430	2.298	0.052	0.483
		440	2.307	0.061	0.492
		450	2.302	0.055	0.501
		460	2.313	0.066	0.510
		470	2.299	0.053	0.518
		480	2.316	0.069	0.527
		490	2.301	0.054	0.536
		500	2.304	0.057	0.544

		510	2.305	0.058	0.553
		520	2.301	0.055	0.561
		530	2.312	0.066	0.569
		540	2.316	0.069	0.577
		550	2.323	0.077	0.585
		560	2.322	0.075	0.593
		570	2.321	0.074	0.601
		580	2.306	0.059	0.609
		590	2.318	0.071	0.617
		600	2.291	0.045	0.625
		-50	2.235		
		-40	2.253		
		-30	2.244		
		-20	2.257		
		-10	2.244		
		0	2.256	0.008	0.000
		10	2.245	-0.003	0.016
		20	2.261	0.013	0.031
		30	2.267	0.018	0.047
		40	2.264	0.016	0.062
		50	2.278	0.030	0.077
		60	2.283	0.035	0.092
		70	2.283	0.035	0.107
		80	2.281	0.033	0.121
		90	2.298	0.049	0.136
		100	2.298	0.049	0.150
		110	2.281	0.033	0.164
		120	2.298	0.050	0.178
		130	2.307	0.059	0.192
		140	2.295	0.047	0.205
		150	2.318	0.070	0.219
		160	2.323	0.074	0.232
		170	2.325	0.076	0.245
		180	2.325	0.077	0.258
		190	2.326	0.077	0.271
		200	2.317	0.069	0.284
		210	2.324	0.076	0.297
		220	2.327	0.079	0.309
		230	2.340	0.092	0.321
		240	2.356	0.108	0.334
		250	2.347	0.099	0.346
		260	2.333	0.085	0.357
		270	2.341	0.093	0.369
		280	2.347	0.099	0.381
		290	2.346	0.098	0.392
		300	2.344	0.096	0.404
		310	2.371	0.122	0.415
		320	2.357	0.109	0.426
		330	2.358	0.110	0.437
		340	2.344	0.096	0.448
		350	2.354	0.106	0.459
		360	2.363	0.114	0.469
		370	2.367	0.119	0.480
		380	2.368	0.120	0.490
		390	2.358	0.110	0.501
		400	2.367	0.118	0.511
		410	2.361	0.113	0.521
		420	2.371	0.122	0.531
		430	2.376	0.128	0.541
		440	2.387	0.139	0.550
		450	2.377	0.129	0.560
		460	2.392	0.143	0.569

		470	2.370	0.122	0.579
		480	2.383	0.135	0.588
		490	2.389	0.141	0.597
		500	2.375	0.127	0.606
		510	2.396	0.148	0.615
		520	2.391	0.142	0.624
		530	2.381	0.133	0.633
		540	2.406	0.158	0.642
		550	2.385	0.136	0.650
		560	2.408	0.160	0.659
		570	2.399	0.151	0.667
		580	2.400	0.152	0.676
		590	2.399	0.151	0.684
		600	2.411	0.163	0.692
		-50	2.235	2.247	-
		-40	2.249		
		-30	2.251		
		-20	2.250		
		-10	2.253		
		0	2.245	-0.002	0.000
		10	2.269	0.022	0.019
		20	2.281	0.034	0.038
		30	2.286	0.039	0.057
		40	2.296	0.049	0.075
		50	2.310	0.062	0.094
		60	2.335	0.088	0.112
		70	2.340	0.093	0.129
		80	2.338	0.090	0.147
		90	2.352	0.105	0.164
		100	2.340	0.093	0.181
		110	2.374	0.127	0.198
		120	2.370	0.123	0.214
		130	2.373	0.126	0.231
		140	2.363	0.116	0.247
		150	2.394	0.146	0.262
		160	2.387	0.140	0.278
		170	2.395	0.148	0.294
		180	2.393	0.146	0.309
		190	2.409	0.161	0.324
		200	2.412	0.165	0.339
		210	2.420	0.173	0.353
		220	2.437	0.190	0.368
		230	2.411	0.164	0.382
		240	2.436	0.189	0.396
		250	2.424	0.177	0.410
		260	2.453	0.206	0.423
		270	2.439	0.191	0.437
		280	2.441	0.194	0.450
		290	2.448	0.201	0.463
		300	2.462	0.215	0.476
		310	2.447	0.200	0.489
		320	2.471	0.224	0.501
		330	2.461	0.214	0.514
		340	2.483	0.236	0.526
		350	2.480	0.233	0.538
		360	2.486	0.239	0.550
		370	2.486	0.239	0.562
		380	2.502	0.254	0.573
		390	2.494	0.247	0.585
		400	2.486	0.239	0.596
		410	2.501	0.254	0.607
		420	2.488	0.241	0.618

		430	2.496	0.249	0.629
		440	2.499	0.252	0.640
		450	2.513	0.266	0.650
		460	2.527	0.280	0.660
		470	2.505	0.258	0.671
		480	2.512	0.265	0.681
		490	2.529	0.282	0.691
		500	2.523	0.275	0.701
		510	2.521	0.274	0.710
		520	2.542	0.294	0.720
		530	2.536	0.289	0.729
		540	2.549	0.301	0.738
		550	2.538	0.291	0.748
		560	2.553	0.306	0.757
		570	2.553	0.305	0.766
		580	2.562	0.315	0.774
		590	2.547	0.300	0.783
		600	2.550	0.303	0.792
		-50	2.248	2.252	-
		-40	2.254		
		-30	2.256		
		-20	2.254		
		-10	2.251		
		0	2.249	-0.003	0.000
		10	2.284	0.032	0.026
		20	2.297	0.045	0.052
		30	2.321	0.069	0.077
		40	2.344	0.091	0.102
		50	2.351	0.099	0.126
		60	2.376	0.124	0.150
		70	2.402	0.150	0.173
		80	2.405	0.153	0.196
		90	2.408	0.156	0.219
		100	2.432	0.180	0.241
		110	2.436	0.183	0.262
		120	2.451	0.199	0.284
		130	2.454	0.202	0.304
		140	2.476	0.224	0.325
		150	2.475	0.223	0.345
		160	2.500	0.248	0.365
		170	2.504	0.252	0.384
		180	2.502	0.250	0.403
		190	2.512	0.260	0.422
		200	2.527	0.275	0.440
		210	2.526	0.274	0.458
		220	2.555	0.303	0.476
		230	2.547	0.295	0.493
		240	2.550	0.297	0.510
		250	2.547	0.295	0.527
		260	2.565	0.313	0.543
		270	2.570	0.318	0.559
		280	2.575	0.323	0.575
		290	2.575	0.323	0.591
		300	2.576	0.324	0.606
		310	2.602	0.350	0.621
		320	2.607	0.355	0.635
		330	2.623	0.371	0.650
		340	2.623	0.371	0.664
		350	2.637	0.385	0.678
		360	2.630	0.378	0.691
		370	2.647	0.395	0.704
		380	2.640	0.388	0.718

		390	2.663	0.411	0.730
		400	2.638	0.386	0.743
		410	2.660	0.408	0.755
		420	2.661	0.408	0.768
		430	2.681	0.429	0.779
		440	2.681	0.429	0.791
		450	2.667	0.415	0.803
		460	2.702	0.450	0.814
		470	2.699	0.447	0.825
		480	2.704	0.452	0.836
		490	2.711	0.459	0.846
		500	2.728	0.475	0.857
		510	2.716	0.464	0.867
		520	2.715	0.463	0.877
		530	2.736	0.484	0.887
		540	2.727	0.475	0.897
		550	2.744	0.491	0.906
		560	2.757	0.505	0.916
		570	2.757	0.504	0.925
		580	2.764	0.511	0.934
		590	2.772	0.519	0.943
		600	2.768	0.516	0.951
		-50	2.260		
		-40	2.256		
		-30	2.245		
		-20	2.259		
		-10	2.243		
		0	2.262	0.008	0.000
		10	2.320	0.066	0.047
		20	2.370	0.115	0.092
		30	2.420	0.165	0.135
		40	2.453	0.199	0.178
		50	2.483	0.228	0.218
		60	2.521	0.266	0.258
		70	2.539	0.285	0.296
		80	2.567	0.313	0.333
		90	2.576	0.321	0.368
		100	2.604	0.349	0.403
		110	2.626	0.372	0.436
		120	2.634	0.379	0.468
		130	2.649	0.395	0.500
		140	2.667	0.413	0.530
		150	2.685	0.431	0.559
		160	2.696	0.442	0.587
		170	2.723	0.468	0.614
		180	2.738	0.484	0.641
		190	2.753	0.499	0.666
		200	2.757	0.502	0.691
		210	2.801	0.547	0.714
		220	2.783	0.529	0.737
		230	2.793	0.539	0.760
		240	2.823	0.569	0.781
		250	2.821	0.567	0.802
		260	2.838	0.584	0.822
		270	2.866	0.612	0.842
		280	2.868	0.614	0.860
		290	2.870	0.616	0.879
		300	2.893	0.638	0.896
		310	2.891	0.636	0.913
		320	2.898	0.644	0.930
		330	2.922	0.668	0.946
		340	2.930	0.676	0.961

GFET
#K12

25

		350	2.935	0.680	0.976
		360	2.940	0.686	0.990
		370	2.953	0.698	1.004
		380	2.976	0.722	1.018
		390	2.967	0.713	1.031
		400	3.003	0.749	1.043
		410	2.999	0.744	1.055
		420	3.006	0.751	1.067
		430	3.018	0.764	1.078
		440	3.043	0.789	1.089
		450	3.033	0.778	1.100
		460	3.047	0.793	1.110
		470	3.045	0.790	1.120
		480	3.057	0.802	1.130
		490	3.059	0.805	1.139
		500	3.072	0.818	1.148
		510	3.094	0.840	1.157
		520	3.092	0.838	1.165
		530	3.099	0.844	1.173
		540	3.101	0.847	1.181
		550	3.101	0.846	1.189
		560	3.111	0.857	1.196
		570	3.117	0.863	1.203
		580	3.127	0.873	1.210
		590	3.140	0.886	1.217
		600	3.139	0.885	1.223
		-50	2.256	2.263	-
		-40	2.258		
		-30	2.264		
		-20	2.263		
		-10	2.273		
		0	2.266		
GFET #K13	50	10	2.396	0.132	0.080
		20	2.492	0.229	0.156
		30	2.559	0.296	0.227
		40	2.603	0.340	0.294
		50	2.661	0.397	0.358
		60	2.696	0.433	0.418
		70	2.734	0.470	0.474
		80	2.767	0.503	0.527
		90	2.786	0.523	0.577
		100	2.826	0.563	0.625
		110	2.856	0.592	0.669
		120	2.867	0.604	0.712
		130	2.901	0.638	0.751
		140	2.934	0.671	0.789
		150	2.962	0.699	0.824
		160	2.982	0.718	0.857
		170	2.997	0.733	0.889
		180	3.019	0.756	0.919
		190	3.042	0.779	0.946
		200	3.064	0.800	0.973
		210	3.078	0.815	0.998
		220	3.093	0.830	1.021
		230	3.109	0.846	1.043
		240	3.128	0.865	1.064
		250	3.145	0.882	1.084
		260	3.173	0.910	1.102
		270	3.183	0.920	1.120
		280	3.198	0.934	1.137
		290	3.215	0.951	1.152
		300	3.217	0.954	1.167

		310	3.241	0.978	1.181
		320	3.257	0.994	1.194
		330	3.259	0.996	1.206
		340	3.269	1.006	1.218
		350	3.278	1.015	1.229
		360	3.290	1.027	1.239
		370	3.286	1.022	1.249
		380	3.319	1.055	1.258
		390	3.320	1.057	1.267
		400	3.345	1.081	1.275
		410	3.353	1.090	1.283
		420	3.359	1.096	1.290
		430	3.358	1.094	1.297
		440	3.393	1.129	1.303
		450	3.389	1.125	1.309
		460	3.396	1.132	1.315
		470	3.405	1.141	1.321
		480	3.405	1.141	1.326
		490	3.412	1.149	1.331
		500	3.425	1.162	1.335
		510	3.422	1.159	1.339
		520	3.424	1.161	1.343
		530	3.454	1.191	1.347
		540	3.431	1.168	1.351
		550	3.450	1.186	1.354
		560	3.444	1.180	1.358
		570	3.461	1.198	1.361
		580	3.460	1.197	1.363
		590	3.464	1.201	1.366
		600	3.473	1.210	1.369
GFET #K14	100	-50	2.262	2.262	-
		-40	2.275		
		-30	2.260		
		-20	2.265		
		-10	2.260		
		0	2.251		
		10	2.506		
		20	2.626		
		30	2.709		
		40	2.785		
		50	2.863		
		60	2.899		
		70	2.956		
		80	2.999		
		90	3.041		
		100	3.073		
		110	3.112		
		120	3.151		
		130	3.170		
		140	3.209		
		150	3.243		
		160	3.266		
		170	3.287		
		180	3.309		
		190	3.335		
		200	3.338		
		210	3.382		
		220	3.373		
		230	3.403		
		240	3.408		
		250	3.421		
		260	3.434		

	270	3.441	1.179	1.335
	280	3.461	1.199	1.343
	290	3.486	1.224	1.350
	300	3.492	1.230	1.356
	310	3.488	1.226	1.362
	320	3.512	1.249	1.367
	330	3.514	1.252	1.371
	340	3.520	1.258	1.375
	350	3.550	1.287	1.379
	360	3.532	1.270	1.382
	370	3.542	1.280	1.385
	380	3.561	1.299	1.388
	390	3.562	1.299	1.390
	400	3.541	1.279	1.392
	410	3.547	1.284	1.394
	420	3.577	1.315	1.396
	430	3.576	1.313	1.397
	440	3.564	1.302	1.399
	450	3.570	1.308	1.400
	460	3.578	1.315	1.401
	470	3.589	1.327	1.402
	480	3.592	1.329	1.403
	490	3.584	1.322	1.404
	500	3.588	1.326	1.405
	510	3.588	1.326	1.405
	520	3.600	1.337	1.406
	530	3.611	1.349	1.406
	540	3.602	1.340	1.407
	550	3.623	1.360	1.407
	560	3.598	1.336	1.408
	570	3.620	1.358	1.408
	580	3.604	1.342	1.408
	590	3.620	1.358	1.409
	600	3.617	1.355	1.409

Table S3. Kinetic processes of PTH immunoaffinity and fitting results.

Device number	PTH concentration, $c^{(PTH)}$ (nM)	Time, t (s)	Experimental results		Fitting results ΔI_d (μ A) ($k_a^{(PTH)} \approx 1020100.24 \text{ M}^{-1}\text{s}^{-1}$, $k_d^{(PTH)} \approx 0.0023879 \text{ s}^{-1}$)
			I_d (μ A)	$\Delta I_d = I_d - \overline{I_d(t < 0)}$ (μ A)	
GFET #K15	1	-50	2.295	2.280	—
		-40	2.281		
		-30	2.271		
		-20	2.273		
		-10	2.279		
		0	2.280	0.000	0.000
		10	2.280	0.001	0.010
		20	2.285	0.005	0.019
		30	2.301	0.021	0.028
		40	2.299	0.020	0.037
		50	2.304	0.024	0.045
		60	2.289	0.009	0.053
		70	2.299	0.019	0.061
		80	2.307	0.027	0.069
		90	2.300	0.020	0.076
		100	2.311	0.031	0.084
		110	2.314	0.034	0.090
		120	2.312	0.032	0.097
		130	2.309	0.029	0.103
		140	2.324	0.044	0.110
		150	2.306	0.026	0.116
		160	2.314	0.034	0.122
		170	2.324	0.044	0.127
		180	2.328	0.048	0.133
		190	2.328	0.049	0.138
		200	2.331	0.052	0.143
		210	2.332	0.052	0.148
		220	2.334	0.054	0.153
		230	2.331	0.051	0.157
		240	2.331	0.051	0.162
		250	2.330	0.051	0.166
		260	2.336	0.056	0.170
		270	2.334	0.054	0.174
		280	2.347	0.067	0.178
		290	2.344	0.064	0.182
		300	2.340	0.060	0.185
		310	2.340	0.061	0.189
		320	2.347	0.067	0.192
		330	2.348	0.068	0.195
		340	2.348	0.068	0.198
		350	2.347	0.068	0.201
		360	2.351	0.071	0.204
		370	2.349	0.069	0.207
		380	2.354	0.074	0.210
		390	2.351	0.071	0.213
		400	2.348	0.068	0.215
		410	2.360	0.081	0.218
		420	2.354	0.074	0.220
		430	2.358	0.078	0.222
		440	2.349	0.069	0.225
		450	2.354	0.074	0.227
		460	2.356	0.076	0.229
		470	2.357	0.077	0.231
		480	2.352	0.072	0.233
		490	2.362	0.082	0.235
		500	2.360	0.080	0.237
		510	2.352	0.072	0.238

		520	2.362	0.082	0.240
		530	2.361	0.081	0.242
		540	2.357	0.077	0.243
		550	2.362	0.082	0.245
		560	2.367	0.088	0.246
		570	2.361	0.081	0.248
		580	2.364	0.084	0.249
		590	2.369	0.090	0.250
		600	2.360	0.080	0.252
GFET #K16	2.5	-50	2.272	2.271	-
		-40	2.276		
		-30	2.270		
		-20	2.253		
		-10	2.286		
		0	2.270		
		10	2.279		
		20	2.299		
		30	2.301		
		40	2.299		
		50	2.315		
		60	2.308		
		70	2.320		
		80	2.330		
		90	2.327		
		100	2.329		
		110	2.334		
		120	2.340		
		130	2.338		
		140	2.358		
		150	2.348		
		160	2.357		
		170	2.356		
		180	2.363		
		190	2.367		
		200	2.359		
		210	2.361		
		220	2.365		
		230	2.387		
		240	2.386		
		250	2.387		
		260	2.385		
		270	2.392		
		280	2.393		
		290	2.391		
		300	2.387		
		310	2.391		
		320	2.394		
		330	2.399		
		340	2.399		
		350	2.394		
		360	2.397		
		370	2.396		
		380	2.402		
		390	2.405		
		400	2.404		
		410	2.407		
		420	2.415		
		430	2.394		
		440	2.410		
		450	2.413		
		460	2.408		
		470	2.402		

		480	2.403	0.132	0.262
		490	2.414	0.143	0.263
		500	2.416	0.145	0.265
		510	2.409	0.137	0.266
		520	2.420	0.149	0.267
		530	2.419	0.148	0.268
		540	2.431	0.160	0.269
		550	2.417	0.146	0.270
		560	2.409	0.138	0.271
		570	2.400	0.129	0.272
		580	2.410	0.138	0.273
		590	2.425	0.154	0.273
		600	2.407	0.136	0.274
		-50	2.280		
		-40	2.283		
		-30	2.285	2.28	-
		-20	2.293		
		-10	2.277		
		0	2.288	0.004	0.000
		10	2.304	0.020	0.021
		20	2.319	0.035	0.040
		30	2.330	0.045	0.058
		40	2.343	0.059	0.075
		50	2.354	0.070	0.090
		60	2.357	0.073	0.105
		70	2.370	0.085	0.118
		80	2.380	0.096	0.130
		90	2.382	0.097	0.142
		100	2.393	0.109	0.152
		110	2.396	0.111	0.162
		120	2.398	0.113	0.171
		130	2.405	0.121	0.180
		140	2.411	0.126	0.188
		150	2.415	0.130	0.195
		160	2.428	0.144	0.202
		170	2.419	0.135	0.208
		180	2.426	0.142	0.214
		190	2.434	0.150	0.219
		200	2.435	0.151	0.224
		210	2.446	0.162	0.229
		220	2.433	0.149	0.233
		230	2.441	0.157	0.237
		240	2.442	0.157	0.241
		250	2.449	0.165	0.245
		260	2.447	0.163	0.248
		270	2.455	0.171	0.251
		280	2.444	0.160	0.254
		290	2.456	0.171	0.256
		300	2.477	0.193	0.259
		310	2.459	0.175	0.261
		320	2.466	0.181	0.263
		330	2.463	0.178	0.265
		340	2.466	0.181	0.266
		350	2.464	0.180	0.268
		360	2.467	0.182	0.270
		370	2.463	0.179	0.271
		380	2.474	0.190	0.272
		390	2.482	0.198	0.274
		400	2.469	0.185	0.275
		410	2.472	0.188	0.276
		420	2.463	0.179	0.277
		430	2.464	0.180	0.278

		440	2.462	0.177	0.278
		450	2.476	0.191	0.279
		460	2.473	0.189	0.280
		470	2.478	0.194	0.281
		480	2.465	0.180	0.281
		490	2.478	0.194	0.282
		500	2.478	0.194	0.282
		510	2.470	0.186	0.283
		520	2.483	0.199	0.283
		530	2.479	0.195	0.284
		540	2.478	0.194	0.284
		550	2.478	0.193	0.284
		560	2.473	0.188	0.285
		570	2.476	0.191	0.285
		580	2.470	0.186	0.285
		590	2.468	0.184	0.286
		600	2.493	0.208	0.286
GFET #K18	10	-50	2.272	2.278	-
		-40	2.282		
		-30	2.277		
		-20	2.284		
		-10	2.270		
		0	2.281	0.004	0.000
		10	2.313	0.035	0.034
		20	2.342	0.065	0.064
		30	2.361	0.084	0.091
		40	2.374	0.096	0.114
		50	2.385	0.107	0.135
		60	2.401	0.123	0.153
		70	2.423	0.146	0.169
		80	2.429	0.151	0.184
		90	2.433	0.155	0.196
		100	2.436	0.158	0.207
		110	2.440	0.162	0.217
		120	2.449	0.171	0.225
		130	2.462	0.184	0.233
		140	2.465	0.188	0.240
		150	2.474	0.196	0.245
		160	2.478	0.201	0.251
		170	2.472	0.194	0.255
		180	2.472	0.194	0.259
		190	2.485	0.207	0.263
		200	2.487	0.209	0.266
		210	2.489	0.211	0.269
		220	2.486	0.208	0.271
		230	2.482	0.204	0.273
		240	2.498	0.221	0.275
		250	2.496	0.218	0.277
		260	2.498	0.220	0.278
		270	2.496	0.218	0.279
		280	2.496	0.219	0.281
		290	2.491	0.213	0.282
		300	2.491	0.213	0.283
		310	2.507	0.229	0.283
		320	2.503	0.225	0.284
		330	2.511	0.233	0.285
		340	2.506	0.228	0.285
		350	2.500	0.222	0.286
		360	2.516	0.238	0.286
		370	2.506	0.229	0.286
		380	2.504	0.226	0.287
		390	2.505	0.227	0.287

		400	2.512	0.234	0.287
		410	2.493	0.215	0.287
		420	2.510	0.232	0.288
		430	2.513	0.235	0.288
		440	2.512	0.234	0.288
		450	2.502	0.225	0.288
		460	2.504	0.227	0.288
		470	2.501	0.223	0.288
		480	2.505	0.227	0.288
		490	2.513	0.235	0.289
		500	2.520	0.243	0.289
		510	2.510	0.233	0.289
		520	2.516	0.238	0.289
		530	2.517	0.240	0.289
		540	2.513	0.235	0.289
		550	2.516	0.238	0.289
		560	2.516	0.238	0.289
		570	2.501	0.223	0.289
		580	2.517	0.239	0.289
		590	2.506	0.229	0.289
		600	2.521	0.243	0.289
GFET #K19	25	-50	2.291	2.281	-
		-40	2.278		
		-30	2.277		
		-20	2.277		
		-10	2.290		
		0	2.275	-0.006	0.000
		10	2.337	0.056	0.070
		20	2.400	0.119	0.124
		30	2.426	0.145	0.164
		40	2.448	0.167	0.194
		50	2.458	0.177	0.217
		60	2.481	0.200	0.235
		70	2.502	0.221	0.248
		80	2.510	0.229	0.258
		90	2.510	0.229	0.266
		100	2.499	0.218	0.271
		110	2.526	0.245	0.276
		120	2.527	0.246	0.279
		130	2.510	0.229	0.281
		140	2.532	0.251	0.283
		150	2.523	0.242	0.285
		160	2.539	0.257	0.286
		170	2.522	0.241	0.287
		180	2.527	0.246	0.287
		190	2.536	0.255	0.288
		200	2.547	0.266	0.288
		210	2.526	0.245	0.288
		220	2.542	0.261	0.289
		230	2.539	0.258	0.289
		240	2.532	0.250	0.289
		250	2.538	0.256	0.289
		260	2.543	0.261	0.289
		270	2.545	0.263	0.289
		280	2.547	0.266	0.289
		290	2.544	0.263	0.289
		300	2.546	0.265	0.289
		310	2.539	0.258	0.289
		320	2.547	0.266	0.289
		330	2.539	0.258	0.289
		340	2.549	0.267	0.289
		350	2.534	0.253	0.289

		360	2.537	0.256	0.289
		370	2.544	0.263	0.289
		380	2.541	0.260	0.289
		390	2.539	0.258	0.289
		400	2.538	0.257	0.289
		410	2.538	0.257	0.289
		420	2.534	0.252	0.289
		430	2.547	0.266	0.289
		440	2.545	0.264	0.289
		450	2.536	0.255	0.289
		460	2.534	0.253	0.289
		470	2.534	0.253	0.289
		480	2.534	0.253	0.289
		490	2.536	0.255	0.289
		500	2.540	0.259	0.289
		510	2.545	0.263	0.289
		520	2.540	0.258	0.289
		530	2.551	0.270	0.289
		540	2.542	0.261	0.289
		550	2.545	0.264	0.289
		560	2.534	0.253	0.289
		570	2.542	0.260	0.289
		580	2.546	0.264	0.289
		590	2.539	0.258	0.289
		600	2.535	0.253	0.289
GFET #K20	50	-50	2.266	2.271	-
		-40	2.275		
		-30	2.269		
		-20	2.270		
		-10	2.280		
		0	2.267	-0.004	0.000
		10	2.393	0.122	0.120
		20	2.454	0.183	0.190
		30	2.499	0.228	0.231
		40	2.510	0.239	0.255
		50	2.522	0.251	0.269
		60	2.535	0.264	0.277
		70	2.545	0.274	0.282
		80	2.553	0.282	0.285
		90	2.546	0.275	0.287
		100	2.538	0.267	0.288
		110	2.546	0.276	0.288
		120	2.551	0.280	0.289
		130	2.553	0.282	0.289
		140	2.555	0.284	0.289
		150	2.542	0.271	0.289
		160	2.547	0.276	0.289
		170	2.553	0.282	0.289
		180	2.562	0.292	0.289
		190	2.561	0.290	0.289
		200	2.558	0.287	0.289
		210	2.556	0.285	0.289
		220	2.555	0.284	0.289
		230	2.551	0.280	0.289
		240	2.549	0.278	0.289
		250	2.553	0.282	0.289
		260	2.556	0.285	0.289
		270	2.544	0.273	0.289
		280	2.558	0.287	0.289
		290	2.548	0.277	0.289
		300	2.549	0.278	0.289
		310	2.546	0.275	0.289

		320	2.558	0.287	0.289
		330	2.554	0.283	0.289
		340	2.549	0.278	0.289
		350	2.558	0.287	0.289
		360	2.563	0.292	0.289
		370	2.555	0.284	0.289
		380	2.547	0.276	0.289
		390	2.560	0.289	0.289
		400	2.550	0.279	0.289
		410	2.553	0.282	0.289
		420	2.554	0.283	0.289
		430	2.553	0.282	0.289
		440	2.547	0.276	0.289
		450	2.553	0.282	0.289
		460	2.555	0.285	0.289
		470	2.548	0.277	0.289
		480	2.556	0.285	0.289
		490	2.558	0.287	0.289
		500	2.550	0.279	0.289
		510	2.555	0.284	0.289
		520	2.552	0.281	0.289
		530	2.548	0.277	0.289
		540	2.560	0.289	0.289
		550	2.558	0.287	0.289
		560	2.557	0.286	0.289
		570	2.552	0.281	0.289
		580	2.555	0.284	0.289
		590	2.564	0.293	0.289
		600	2.553	0.282	0.289
		-50	2.292		
		-40	2.296		
		-30	2.287		
		-20	2.293		
		-10	2.280		
		0	2.287	-0.002	0.000
		10	2.469	0.179	0.187
		20	2.513	0.224	0.253
		30	2.561	0.272	0.277
		40	2.568	0.278	0.285
		50	2.562	0.272	0.288
		60	2.568	0.279	0.289
		70	2.581	0.292	0.289
		80	2.572	0.283	0.289
		90	2.582	0.293	0.289
		100	2.574	0.285	0.289
		110	2.581	0.291	0.289
		120	2.577	0.288	0.289
		130	2.576	0.287	0.289
		140	2.572	0.282	0.289
		150	2.576	0.287	0.289
		160	2.567	0.278	0.289
		170	2.568	0.278	0.289
		180	2.581	0.292	0.289
		190	2.574	0.284	0.289
		200	2.577	0.287	0.289
		210	2.581	0.291	0.289
		220	2.572	0.283	0.289
		230	2.582	0.293	0.289
		240	2.579	0.289	0.289
		250	2.563	0.274	0.289
		260	2.581	0.292	0.289
		270	2.582	0.293	0.289

	280	2.560	0.271	0.289
	290	2.580	0.291	0.289
	300	2.577	0.288	0.289
	310	2.566	0.277	0.289
	320	2.580	0.290	0.289
	330	2.584	0.295	0.289
	340	2.578	0.289	0.289
	350	2.571	0.281	0.289
	360	2.580	0.290	0.289
	370	2.579	0.290	0.289
	380	2.576	0.286	0.289
	390	2.564	0.275	0.289
	400	2.576	0.286	0.289
	410	2.570	0.281	0.289
	420	2.580	0.291	0.289
	430	2.581	0.291	0.289
	440	2.574	0.285	0.289
	450	2.574	0.284	0.289
	460	2.577	0.288	0.289
	470	2.580	0.291	0.289
	480	2.583	0.293	0.289
	490	2.576	0.286	0.289
	500	2.562	0.273	0.289
	510	2.563	0.274	0.289
	520	2.576	0.287	0.289
	530	2.579	0.290	0.289
	540	2.571	0.281	0.289
	550	2.581	0.292	0.289
	560	2.572	0.282	0.289
	570	2.575	0.285	0.289
	580	2.568	0.279	0.289
	590	2.571	0.281	0.289
	600	2.562	0.273	0.289

6 Dataset of cross-reaction measurements

Following the experimental protocol in **Section 4**, the cross-reactivity of three antibodies specific to mismatched biomarkers at various concentrations were tested using 42 GFET devices (#C1 – #C42), respectively. For each mismatched biomarker (CEA, AFP or PTH), 7 GFET devices were disposably used to measure the samples (1, 2.5, 5, 10, 25, 50 and 100 nM).

Corresponding to **Figure 3** in the main text, the detailed experimental data are presented in **Table S4 – S9**. We learn that all the cross-reactions are very weak.

Table S4. Responses of CEA antibody-AFP cross-reaction.

Device number	AFP concentration, $c^{(AFP)}$ (nM)	Time, t (s)	Experimental results		Fitting results
			I_d (μ A)	$\Delta I_d = I_d - \bar{I}_d(t < 0)$ (μ A)	
GFET #C1	1	-50	2.291	2.285	—
		-40	2.275		
		-30	2.291		
		-20	2.284		
		-10	2.282		
		0	2.303	0.019	—
		10	2.286	0.002	—
		20	2.289	0.004	—
		30	2.283	-0.002	—
		40	2.297	0.012	—
		50	2.302	0.017	—
		60	2.296	0.012	—
		70	2.292	0.007	—
		80	2.297	0.013	—
		90	2.313	0.028	—
		100	2.284	0.000	—
		110	2.297	0.012	—
		120	2.295	0.011	—
		130	2.287	0.003	—
		140	2.297	0.012	—
		150	2.287	0.002	—
		160	2.300	0.016	—
		170	2.298	0.013	—
		180	2.296	0.012	—
		190	2.306	0.021	—
		200	2.295	0.010	—
		210	2.278	-0.006	—
		220	2.297	0.012	—
		230	2.314	0.029	—
		240	2.306	0.022	—
		250	2.293	0.008	—
		260	2.301	0.017	—
		270	2.292	0.008	—
		280	2.291	0.007	—
		290	2.283	-0.002	—
		300	2.318	0.034	—
		310	2.299	0.014	—
		320	2.299	0.014	—
		330	2.309	0.025	—
		340	2.301	0.017	—
		350	2.290	0.005	—
		360	2.298	0.014	—
		370	2.290	0.006	—
		380	2.297	0.012	—
		390	2.282	-0.003	—
		400	2.288	0.004	—
		410	2.310	0.025	—
		420	2.291	0.007	—
		430	2.304	0.019	—
		440	2.297	0.013	—
		450	2.293	0.009	—
		460	2.286	0.002	—
		470	2.296	0.012	—
		480	2.293	0.009	—
		490	2.297	0.013	—
		500	2.292	0.008	—
		510	2.312	0.027	—
		520	2.291	0.007	—

		530	2.290	0.006	—
		540	2.298	0.014	—
		550	2.312	0.028	—
		560	2.301	0.017	—
		570	2.302	0.017	—
		580	2.301	0.017	—
		590	2.280	-0.005	—
		600	2.312	0.027	—
GFET #C2	2.5	-50	2.305	2.310	—
		-40	2.310		
		-30	2.308		
		-20	2.313		
		-10	2.311		
		0	2.323	0.013	—
		10	2.311	0.001	—
		20	2.309	-0.001	—
		30	2.295	-0.015	—
		40	2.326	0.017	—
		50	2.312	0.002	—
		60	2.326	0.016	—
		70	2.305	-0.004	—
		80	2.312	0.003	—
		90	2.310	0.000	—
		100	2.295	-0.015	—
		110	2.312	0.002	—
		120	2.315	0.005	—
		130	2.302	-0.007	—
		140	2.304	-0.005	—
		150	2.295	-0.015	—
		160	2.338	0.029	—
		170	2.329	0.019	—
		180	2.316	0.007	—
		190	2.324	0.015	—
		200	2.326	0.016	—
		210	2.312	0.002	—
		220	2.312	0.003	—
		230	2.312	0.003	—
		240	2.317	0.007	—
		250	2.331	0.022	—
		260	2.329	0.020	—
		270	2.299	-0.010	—
		280	2.325	0.015	—
		290	2.324	0.014	—
		300	2.307	-0.002	—
		310	2.309	0.000	—
		320	2.327	0.018	—
		330	2.327	0.017	—
		340	2.301	-0.008	—
		350	2.335	0.025	—
		360	2.313	0.004	—
		370	2.322	0.013	—
		380	2.323	0.013	—
		390	2.310	0.001	—
		400	2.315	0.006	—
		410	2.316	0.006	—
		420	2.333	0.023	—
		430	2.320	0.010	—
		440	2.316	0.007	—
		450	2.323	0.013	—
		460	2.321	0.012	—
		470	2.300	-0.010	—
		480	2.302	-0.008	—

		490	2.322	0.012	—
		500	2.318	0.009	—
		510	2.325	0.016	—
		520	2.334	0.024	—
		530	2.319	0.009	—
		540	2.321	0.011	—
		550	2.305	-0.005	—
		560	2.340	0.030	—
		570	2.324	0.015	—
		580	2.318	0.008	—
		590	2.332	0.022	—
		600	2.321	0.011	—
GFET #C3	5	-50	2.291	2.291	—
		-40	2.288		
		-30	2.285		
		-20	2.310		
		-10	2.279		
		0	2.274		
		10	2.290		
		20	2.289		
		30	2.270		
		40	2.281		
		50	2.263		
		60	2.294		
		70	2.267		
		80	2.287		
		90	2.284		
		100	2.285		
		110	2.275		
		120	2.297		
		130	2.291		
		140	2.291		
		150	2.291		
		160	2.280		
		170	2.285		
		180	2.282		
		190	2.274		
		200	2.284		
		210	2.280		
		220	2.293		
		230	2.269		
		240	2.286		
		250	2.267		
		260	2.282		
		270	2.281		
		280	2.282		
		290	2.275		
		300	2.281		
		310	2.285		
		320	2.286		
		330	2.297		
		340	2.293		
		350	2.278		
		360	2.296		
		370	2.268		
		380	2.285		
		390	2.305	0.014	—
		400	2.283	-0.008	—
		410	2.277	-0.014	—
		420	2.304	0.013	—
		430	2.276	-0.014	—
		440	2.296	0.005	—

		450	2.279	-0.011	—
		460	2.298	0.007	—
		470	2.291	0.000	—
		480	2.277	-0.013	—
		490	2.289	-0.001	—
		500	2.268	-0.023	—
		510	2.266	-0.025	—
		520	2.296	0.005	—
		530	2.278	-0.013	—
		540	2.294	0.004	—
		550	2.289	-0.002	—
		560	2.283	-0.007	—
		570	2.284	-0.007	—
		580	2.304	0.013	—
		590	2.302	0.012	—
		600	2.292	0.002	—
		-50	2.288		
		-40	2.280		
		-30	2.287		
		-20	2.278		
		-10	2.299		
		0	2.287	0.000	—
		10	2.277	-0.010	—
		20	2.271	-0.016	—
		30	2.266	-0.020	—
		40	2.281	-0.005	—
		50	2.287	0.000	—
		60	2.274	-0.013	—
		70	2.286	-0.001	—
		80	2.292	0.005	—
		90	2.274	-0.012	—
		100	2.279	-0.007	—
		110	2.268	-0.018	—
		120	2.285	-0.002	—
		130	2.290	0.003	—
		140	2.292	0.005	—
		150	2.278	-0.009	—
		160	2.267	-0.019	—
		170	2.269	-0.018	—
		180	2.284	-0.002	—
		190	2.284	-0.003	—
		200	2.265	-0.022	—
		210	2.288	0.002	—
		220	2.287	0.000	—
		230	2.282	-0.005	—
		240	2.281	-0.006	—
		250	2.290	0.003	—
		260	2.295	0.008	—
		270	2.287	0.000	—
		280	2.292	0.005	—
		290	2.286	0.000	—
		300	2.283	-0.004	—
		310	2.284	-0.002	—
		320	2.282	-0.005	—
		330	2.280	-0.006	—
		340	2.294	0.007	—
		350	2.287	0.001	—
		360	2.301	0.014	—
		370	2.294	0.008	—
		380	2.283	-0.003	—
		390	2.299	0.012	—
		400	2.297	0.010	—

		410	2.290	0.003	—
		420	2.300	0.013	—
		430	2.286	-0.001	—
		440	2.296	0.010	—
		450	2.275	-0.011	—
		460	2.285	-0.002	—
		470	2.282	-0.005	—
		480	2.298	0.011	—
		490	2.294	0.007	—
		500	2.291	0.004	—
		510	2.272	-0.015	—
		520	2.277	-0.009	—
		530	2.278	-0.008	—
		540	2.276	-0.011	—
		550	2.290	0.003	—
		560	2.301	0.014	—
		570	2.309	0.023	—
		580	2.303	0.016	—
		590	2.293	0.006	—
		600	2.286	0.000	—
		-50	2.288		
		-40	2.296		
		-30	2.291	2.289	—
		-20	2.285		
		-10	2.285		
		0	2.303	0.014	—
		10	2.301	0.012	—
		20	2.289	0.000	—
		30	2.313	0.023	—
		40	2.289	-0.001	—
		50	2.299	0.010	—
		60	2.291	0.002	—
		70	2.290	0.001	—
		80	2.292	0.003	—
		90	2.287	-0.002	—
		100	2.289	0.000	—
		110	2.297	0.008	—
		120	2.300	0.011	—
		130	2.305	0.016	—
		140	2.306	0.016	—
		150	2.296	0.007	—
		160	2.307	0.018	—
		170	2.295	0.005	—
		180	2.315	0.026	—
		190	2.298	0.009	—
		200	2.293	0.004	—
		210	2.301	0.012	—
		220	2.295	0.006	—
		230	2.286	-0.003	—
		240	2.308	0.019	—
		250	2.283	-0.006	—
		260	2.284	-0.006	—
		270	2.311	0.022	—
		280	2.287	-0.002	—
		290	2.306	0.017	—
		300	2.283	-0.006	—
		310	2.300	0.011	—
		320	2.307	0.018	—
		330	2.308	0.018	—
		340	2.287	-0.003	—
		350	2.301	0.012	—
		360	2.293	0.004	—

GFET
#C5

25

		370	2.310	0.020	—
		380	2.302	0.013	—
		390	2.300	0.010	—
		400	2.277	-0.012	—
		410	2.293	0.004	—
		420	2.304	0.015	—
		430	2.314	0.025	—
		440	2.305	0.015	—
		450	2.304	0.015	—
		460	2.285	-0.004	—
		470	2.297	0.008	—
		480	2.312	0.023	—
		490	2.300	0.011	—
		500	2.311	0.022	—
		510	2.293	0.004	—
		520	2.321	0.032	—
		530	2.302	0.013	—
		540	2.293	0.004	—
		550	2.321	0.031	—
		560	2.310	0.021	—
		570	2.291	0.001	—
		580	2.288	-0.001	—
		590	2.308	0.019	—
		600	2.293	0.004	—
		-50	2.300		
		-40	2.281		
		-30	2.296		
		-20	2.293		
		-10	2.294		
		0	2.288	-0.005	—
		10	2.290	-0.002	—
		20	2.278	-0.014	—
		30	2.276	-0.017	—
		40	2.289	-0.004	—
		50	2.276	-0.017	—
		60	2.313	0.020	—
		70	2.272	-0.021	—
		80	2.282	-0.011	—
		90	2.302	0.010	—
		100	2.294	0.001	—
		110	2.290	-0.002	—
		120	2.297	0.005	—
		130	2.281	-0.012	—
		140	2.277	-0.015	—
		150	2.294	0.001	—
		160	2.304	0.011	—
		170	2.301	0.009	—
		180	2.277	-0.016	—
		190	2.279	-0.014	—
		200	2.289	-0.004	—
		210	2.275	-0.018	—
		220	2.297	0.004	—
		230	2.295	0.003	—
		240	2.290	-0.003	—
		250	2.294	0.001	—
		260	2.287	-0.005	—
		270	2.301	0.008	—
		280	2.298	0.006	—
		290	2.283	-0.010	—
		300	2.310	0.018	—
		310	2.292	-0.001	—
		320	2.292	-0.001	—

GFET
#C6

50

		330	2.302	0.009	—
		340	2.322	0.029	—
		350	2.305	0.012	—
		360	2.298	0.005	—
		370	2.296	0.003	—
		380	2.296	0.003	—
		390	2.290	-0.003	—
		400	2.291	-0.002	—
		410	2.270	-0.023	—
		420	2.297	0.005	—
		430	2.308	0.016	—
		440	2.301	0.008	—
		450	2.308	0.015	—
		460	2.298	0.005	—
		470	2.312	0.019	—
		480	2.295	0.002	—
		490	2.290	-0.003	—
		500	2.306	0.013	—
		510	2.297	0.004	—
		520	2.319	0.026	—
		530	2.305	0.012	—
		540	2.306	0.013	—
		550	2.298	0.005	—
		560	2.303	0.010	—
		570	2.300	0.007	—
		580	2.297	0.005	—
		590	2.302	0.009	—
		600	2.296	0.003	—
		-50	2.298	2.288	—
		-40	2.288		
		-30	2.273		
		-20	2.302		
		-10	2.280		
		0	2.276		
		10	2.286	-0.012	—
		20	2.293	-0.002	—
		30	2.285	0.005	—
		40	2.291	-0.003	—
		50	2.275	0.003	—
		60	2.286	-0.013	—
		70	2.274	-0.003	—
		80	2.297	-0.014	—
		90	2.271	0.009	—
		100	2.291	-0.017	—
		110	2.288	0.003	—
		120	2.286	-0.002	—
		130	2.288	0.000	—
		140	2.296	-0.002	—
		150	2.294	0.007	—
		160	2.299	0.006	—
		170	2.303	0.010	—
		180	2.284	-0.015	—
		190	2.283	-0.004	—
		200	2.297	0.005	—
		210	2.295	-0.001	—
		220	2.302	0.008	—
		230	2.317	0.006	—
		240	2.305	-0.013	—
		250	2.302	0.014	—
		260	2.298	0.010	—
		270	2.297	0.009	—
		280	2.319	0.031	—

	290	2.296	0.008	—
	300	2.301	0.012	—
	310	2.308	0.020	—
	320	2.304	0.016	—
	330	2.303	0.015	—
	340	2.304	0.016	—
	350	2.292	0.004	—
	360	2.301	0.013	—
	370	2.289	0.001	—
	380	2.298	0.009	—
	390	2.300	0.012	—
	400	2.288	0.000	—
	410	2.316	0.028	—
	420	2.302	0.014	—
	430	2.327	0.039	—
	440	2.305	0.017	—
	450	2.298	0.010	—
	460	2.297	0.009	—
	470	2.314	0.026	—
	480	2.303	0.015	—
	490	2.307	0.018	—
	500	2.297	0.009	—
	510	2.303	0.015	—
	520	2.303	0.015	—
	530	2.306	0.017	—
	540	2.318	0.030	—
	550	2.303	0.014	—
	560	2.307	0.019	—
	570	2.330	0.042	—
	580	2.308	0.020	—
	590	2.312	0.024	—
	600	2.318	0.029	—

Table S5. Responses of CEA antibody-PTH cross-reaction.

Device number	PTH concentration, $c^{(\text{PTH})}$ (nM)	Time, t (s)	Experimental results		Fitting results
			I_d (μA)	$\Delta I_d = I_d - \bar{I}_d(t < 0)$ (μA)	
GFET #C8	1	-50	2.274	2.276	—
		-40	2.258		
		-30	2.281		
		-20	2.293		
		-10	2.273		
		0	2.285	0.009	—
		10	2.271	-0.005	—
		20	2.294	0.018	—
		30	2.264	-0.012	—
		40	2.282	0.006	—
		50	2.268	-0.008	—
		60	2.275	-0.001	—
		70	2.270	-0.006	—
		80	2.290	0.014	—
		90	2.284	0.008	—
		100	2.278	0.002	—
		110	2.276	0.000	—
		120	2.294	0.018	—
		130	2.257	-0.019	—
		140	2.278	0.002	—
		150	2.276	0.000	—
		160	2.275	-0.001	—
		170	2.292	0.016	—
		180	2.285	0.009	—
		190	2.294	0.018	—
		200	2.301	0.025	—
		210	2.269	-0.007	—
		220	2.284	0.008	—
		230	2.293	0.017	—
		240	2.298	0.022	—
		250	2.268	-0.008	—
		260	2.273	-0.003	—
		270	2.294	0.018	—
		280	2.274	-0.002	—
		290	2.290	0.014	—
		300	2.285	0.009	—
		310	2.292	0.016	—
		320	2.294	0.018	—
		330	2.280	0.004	—
		340	2.271	-0.005	—
		350	2.261	-0.015	—
		360	2.288	0.012	—
		370	2.282	0.006	—
		380	2.282	0.006	—
		390	2.286	0.010	—
		400	2.278	0.002	—
		410	2.279	0.003	—
		420	2.277	0.001	—
		430	2.276	0.000	—
		440	2.277	0.001	—
		450	2.287	0.011	—
		460	2.295	0.019	—
		470	2.291	0.015	—
		480	2.289	0.013	—
		490	2.290	0.014	—
		500	2.284	0.008	—
		510	2.292	0.016	—
		520	2.309	0.033	—

		530	2.277	0.001	—
		540	2.279	0.003	—
		550	2.281	0.005	—
		560	2.286	0.010	—
		570	2.268	-0.008	—
		580	2.287	0.011	—
		590	2.281	0.005	—
		600	2.263	-0.013	—
GFET #C9	2.5	-50	2.285	2.285	—
		-40	2.290		
		-30	2.274		
		-20	2.281		
		-10	2.294		
		0	2.295	0.010	—
		10	2.294	0.009	—
		20	2.282	-0.003	—
		30	2.299	0.014	—
		40	2.296	0.011	—
		50	2.294	0.009	—
		60	2.283	-0.002	—
		70	2.312	0.027	—
		80	2.310	0.025	—
		90	2.304	0.019	—
		100	2.291	0.006	—
		110	2.301	0.016	—
		120	2.286	0.001	—
		130	2.301	0.016	—
		140	2.282	-0.003	—
		150	2.303	0.018	—
		160	2.291	0.006	—
		170	2.304	0.019	—
		180	2.293	0.008	—
		190	2.288	0.003	—
		200	2.287	0.002	—
		210	2.306	0.021	—
		220	2.300	0.015	—
		230	2.291	0.006	—
		240	2.295	0.010	—
		250	2.294	0.009	—
		260	2.300	0.015	—
		270	2.285	0.000	—
		280	2.292	0.007	—
		290	2.287	0.002	—
		300	2.291	0.006	—
		310	2.299	0.014	—
		320	2.298	0.013	—
		330	2.283	-0.002	—
		340	2.285	0.000	—
		350	2.302	0.017	—
		360	2.274	-0.011	—
		370	2.289	0.004	—
		380	2.280	-0.005	—
		390	2.302	0.017	—
		400	2.298	0.013	—
		410	2.289	0.004	—
		420	2.295	0.010	—
		430	2.296	0.011	—
		440	2.280	-0.005	—
		450	2.288	0.003	—
		460	2.295	0.010	—
		470	2.300	0.015	—
		480	2.292	0.007	—

		490	2.285	0.000	—
		500	2.292	0.007	—
		510	2.288	0.003	—
		520	2.286	0.001	—
		530	2.292	0.007	—
		540	2.291	0.006	—
		550	2.285	0.000	—
		560	2.308	0.023	—
		570	2.294	0.009	—
		580	2.291	0.006	—
		590	2.299	0.014	—
		600	2.302	0.017	—
GFET #C10	5	-50	2.273	2.274	—
		-40	2.282		
		-30	2.270		
		-20	2.266		
		-10	2.281		
		0	2.282	0.008	—
		10	2.263	-0.011	—
		20	2.269	-0.005	—
		30	2.270	-0.004	—
		40	2.251	-0.023	—
		50	2.281	0.007	—
		60	2.295	0.021	—
		70	2.263	-0.011	—
		80	2.271	-0.003	—
		90	2.280	0.006	—
		100	2.270	-0.004	—
		110	2.274	0.000	—
		120	2.264	-0.010	—
		130	2.287	0.013	—
		140	2.272	-0.002	—
		150	2.290	0.016	—
		160	2.268	-0.006	—
		170	2.278	0.004	—
		180	2.266	-0.008	—
		190	2.277	0.003	—
		200	2.290	0.016	—
		210	2.284	0.010	—
		220	2.286	0.012	—
		230	2.271	-0.003	—
		240	2.275	0.001	—
		250	2.287	0.013	—
		260	2.271	-0.003	—
		270	2.284	0.010	—
		280	2.278	0.004	—
		290	2.271	-0.003	—
		300	2.272	-0.002	—
		310	2.286	0.012	—
		320	2.279	0.005	—
		330	2.264	-0.010	—
		340	2.270	-0.004	—
		350	2.274	0.000	—
		360	2.273	-0.001	—
		370	2.292	0.018	—
		380	2.279	0.005	—
		390	2.270	-0.004	—
		400	2.293	0.019	—
		410	2.292	0.018	—
		420	2.275	0.001	—
		430	2.275	0.001	—
		440	2.283	0.009	—

		450	2.298	0.024	—
		460	2.270	-0.004	—
		470	2.281	0.007	—
		480	2.285	0.011	—
		490	2.272	-0.002	—
		500	2.266	-0.008	—
		510	2.274	0.000	—
		520	2.289	0.015	—
		530	2.290	0.016	—
		540	2.304	0.030	—
		550	2.285	0.011	—
		560	2.290	0.016	—
		570	2.264	-0.010	—
		580	2.287	0.013	—
		590	2.279	0.005	—
		600	2.277	0.003	—
		-50	2.255		
		-40	2.252		
		-30	2.253		
		-20	2.257		
		-10	2.268		
		0	2.235	-0.022	—
		10	2.271	0.014	—
		20	2.271	0.014	—
		30	2.271	0.014	—
		40	2.237	-0.020	—
		50	2.276	0.019	—
		60	2.264	0.007	—
		70	2.261	0.004	—
		80	2.278	0.021	—
		90	2.251	-0.006	—
		100	2.262	0.005	—
		110	2.271	0.014	—
		120	2.283	0.026	—
		130	2.264	0.007	—
		140	2.259	0.002	—
		150	2.253	-0.004	—
		160	2.261	0.004	—
		170	2.290	0.033	—
		180	2.278	0.021	—
		190	2.253	-0.004	—
		200	2.268	0.011	—
		210	2.265	0.008	—
		220	2.268	0.011	—
		230	2.276	0.019	—
		240	2.277	0.020	—
		250	2.278	0.021	—
		260	2.250	-0.007	—
		270	2.260	0.003	—
		280	2.283	0.026	—
		290	2.264	0.007	—
		300	2.252	-0.005	—
		310	2.273	0.016	—
		320	2.250	-0.007	—
		330	2.253	-0.004	—
		340	2.264	0.007	—
		350	2.279	0.022	—
		360	2.275	0.018	—
		370	2.269	0.012	—
		380	2.276	0.019	—
		390	2.261	0.004	—
		400	2.256	-0.001	—

		410	2.251	-0.006	—
		420	2.256	-0.001	—
		430	2.260	0.003	—
		440	2.275	0.018	—
		450	2.255	-0.002	—
		460	2.272	0.015	—
		470	2.263	0.006	—
		480	2.273	0.016	—
		490	2.262	0.005	—
		500	2.252	-0.005	—
		510	2.282	0.025	—
		520	2.274	0.017	—
		530	2.256	-0.001	—
		540	2.259	0.002	—
		550	2.258	0.001	—
		560	2.279	0.022	—
		570	2.271	0.014	—
		580	2.271	0.014	—
		590	2.273	0.016	—
		600	2.270	0.013	—
		-50	2.272		
		-40	2.277		
		-30	2.280	2.275	—
		-20	2.273		
		-10	2.274		
		0	2.273	-0.002	—
		10	2.276	0.001	—
		20	2.257	-0.018	—
		30	2.280	0.005	—
		40	2.287	0.012	—
		50	2.273	-0.002	—
		60	2.280	0.005	—
		70	2.281	0.006	—
		80	2.287	0.012	—
		90	2.290	0.015	—
		100	2.290	0.015	—
		110	2.267	-0.008	—
		120	2.280	0.005	—
		130	2.298	0.023	—
		140	2.294	0.019	—
		150	2.266	-0.009	—
		160	2.278	0.003	—
		170	2.292	0.017	—
		180	2.276	0.001	—
		190	2.273	-0.002	—
		200	2.285	0.010	—
		210	2.289	0.014	—
		220	2.267	-0.008	—
		230	2.275	0.000	—
		240	2.293	0.018	—
		250	2.280	0.005	—
		260	2.271	-0.004	—
		270	2.282	0.007	—
		280	2.294	0.019	—
		290	2.291	0.016	—
		300	2.301	0.026	—
		310	2.294	0.019	—
		320	2.280	0.005	—
		330	2.292	0.017	—
		340	2.291	0.016	—
		350	2.297	0.022	—
		360	2.284	0.009	—

GFET
#C12

25

		370	2.295	0.020	—
		380	2.303	0.028	—
		390	2.309	0.034	—
		400	2.298	0.023	—
		410	2.293	0.018	—
		420	2.292	0.017	—
		430	2.305	0.030	—
		440	2.288	0.013	—
		450	2.282	0.007	—
		460	2.276	0.001	—
		470	2.287	0.012	—
		480	2.291	0.016	—
		490	2.288	0.013	—
		500	2.293	0.018	—
		510	2.308	0.033	—
		520	2.295	0.020	—
		530	2.292	0.017	—
		540	2.304	0.029	—
		550	2.303	0.028	—
		560	2.308	0.033	—
		570	2.299	0.024	—
		580	2.302	0.027	—
		590	2.303	0.028	—
		600	2.295	0.020	—
		-50	2.294		
		-40	2.291		
		-30	2.313		
		-20	2.297		
		-10	2.286		
		0	2.298	0.002	—
		10	2.286	-0.010	—
		20	2.288	-0.008	—
		30	2.298	0.002	—
		40	2.289	-0.007	—
		50	2.298	0.002	—
		60	2.305	0.009	—
		70	2.299	0.003	—
		80	2.291	-0.005	—
		90	2.289	-0.007	—
		100	2.300	0.004	—
		110	2.287	-0.009	—
		120	2.309	0.013	—
		130	2.291	-0.005	—
		140	2.280	-0.016	—
		150	2.300	0.004	—
		160	2.282	-0.014	—
		170	2.305	0.009	—
		180	2.287	-0.009	—
		190	2.290	-0.006	—
		200	2.307	0.011	—
		210	2.313	0.017	—
		220	2.315	0.019	—
		230	2.294	-0.002	—
		240	2.284	-0.012	—
		250	2.286	-0.010	—
		260	2.303	0.007	—
		270	2.304	0.008	—
		280	2.280	-0.016	—
		290	2.284	-0.012	—
		300	2.295	-0.001	—
		310	2.319	0.023	—
		320	2.289	-0.007	—

GFET
#C13

50

		330	2.289	-0.007	—
		340	2.300	0.004	—
		350	2.300	0.004	—
		360	2.302	0.006	—
		370	2.300	0.004	—
		380	2.311	0.015	—
		390	2.303	0.007	—
		400	2.306	0.010	—
		410	2.299	0.003	—
		420	2.306	0.010	—
		430	2.305	0.009	—
		440	2.308	0.012	—
		450	2.297	0.001	—
		460	2.306	0.010	—
		470	2.308	0.012	—
		480	2.315	0.019	—
		490	2.307	0.011	—
		500	2.300	0.004	—
		510	2.284	-0.012	—
		520	2.292	-0.004	—
		530	2.310	0.014	—
		540	2.315	0.019	—
		550	2.294	-0.002	—
		560	2.319	0.023	—
		570	2.298	0.002	—
		580	2.279	-0.017	—
		590	2.310	0.014	—
		600	2.305	0.009	—
		-50	2.259		
		-40	2.270		
		-30	2.283		
		-20	2.270		
		-10	2.275		
		0	2.259	-0.012	—
		10	2.266	-0.005	—
		20	2.256	-0.015	—
		30	2.266	-0.005	—
		40	2.267	-0.004	—
		50	2.269	-0.002	—
		60	2.268	-0.003	—
		70	2.265	-0.006	—
		80	2.271	0.000	—
		90	2.247	-0.024	—
		100	2.256	-0.015	—
		110	2.257	-0.014	—
		120	2.284	0.013	—
		130	2.255	-0.016	—
		140	2.283	0.012	—
		150	2.272	0.001	—
		160	2.279	0.008	—
		170	2.277	0.006	—
		180	2.287	0.016	—
		190	2.275	0.004	—
		200	2.288	0.017	—
		210	2.270	-0.001	—
		220	2.290	0.019	—
		230	2.275	0.004	—
		240	2.271	0.000	—
		250	2.267	-0.004	—
		260	2.286	0.015	—
		270	2.274	0.003	—
		280	2.284	0.013	—

GFET
#C14

	290	2.279	0.008	—
	300	2.294	0.023	—
	310	2.277	0.006	—
	320	2.295	0.024	—
	330	2.276	0.005	—
	340	2.274	0.003	—
	350	2.291	0.020	—
	360	2.283	0.012	—
	370	2.292	0.021	—
	380	2.276	0.005	—
	390	2.293	0.022	—
	400	2.289	0.018	—
	410	2.300	0.029	—
	420	2.291	0.020	—
	430	2.294	0.023	—
	440	2.287	0.016	—
	450	2.293	0.022	—
	460	2.271	0.000	—
	470	2.305	0.034	—
	480	2.291	0.020	—
	490	2.289	0.018	—
	500	2.279	0.008	—
	510	2.290	0.019	—
	520	2.306	0.035	—
	530	2.294	0.023	—
	540	2.289	0.018	—
	550	2.308	0.037	—
	560	2.299	0.028	—
	570	2.293	0.022	—
	580	2.301	0.030	—
	590	2.284	0.013	—
	600	2.310	0.039	—

Table S6. Responses of AFP antibody-CEA cross-reaction.

Device number	CEA concentration, $c^{(CEA)}$ (nM)	Time, t (s)	Experimental results		Fitting results
			I_d (μA)	$\Delta I_d = I_d - \bar{I}_d(t < 0)$ (μA)	
GFET #C15	1	-50	2.269	2.262	—
		-40	2.248		
		-30	2.269		
		-20	2.262		
		-10	2.261		
		0	2.254	-0.008	—
		10	2.244	-0.018	—
		20	2.270	0.008	—
		30	2.243	-0.019	—
		40	2.275	0.013	—
		50	2.259	-0.003	—
		60	2.262	0.000	—
		70	2.241	-0.021	—
		80	2.252	-0.010	—
		90	2.254	-0.008	—
		100	2.245	-0.017	—
		110	2.249	-0.013	—
		120	2.239	-0.023	—
		130	2.253	-0.009	—
		140	2.270	0.008	—
		150	2.262	0.000	—
		160	2.253	-0.009	—
		170	2.270	0.008	—
		180	2.262	0.000	—
		190	2.252	-0.010	—
		200	2.258	-0.004	—
		210	2.265	0.003	—
		220	2.263	0.001	—
		230	2.257	-0.005	—
		240	2.264	0.002	—
		250	2.267	0.005	—
		260	2.270	0.008	—
		270	2.277	0.015	—
		280	2.268	0.006	—
		290	2.262	0.000	—
		300	2.263	0.001	—
		310	2.257	-0.005	—
		320	2.264	0.002	—
		330	2.256	-0.006	—
		340	2.259	-0.003	—
		350	2.258	-0.004	—
		360	2.265	0.003	—
		370	2.270	0.008	—
		380	2.270	0.008	—
		390	2.264	0.002	—
		400	2.281	0.019	—
		410	2.263	0.001	—
		420	2.253	-0.009	—
		430	2.252	-0.010	—
		440	2.258	-0.004	—
		450	2.256	-0.006	—
		460	2.257	-0.005	—
		470	2.280	0.018	—
		480	2.260	-0.002	—
		490	2.264	0.002	—
		500	2.253	-0.009	—
		510	2.246	-0.016	—
		520	2.263	0.001	—

		530	2.234	-0.028	—
		540	2.246	-0.016	—
		550	2.252	-0.010	—
		560	2.267	0.005	—
		570	2.255	-0.007	—
		580	2.268	0.006	—
		590	2.244	-0.018	—
		600	2.248	-0.014	—
GFET #C16	2.5	-50	2.302	2.290	—
		-40	2.296		
		-30	2.286		
		-20	2.296		
		-10	2.271		
		0	2.270	-0.020	—
		10	2.272	-0.018	—
		20	2.288	-0.002	—
		30	2.305	0.015	—
		40	2.305	0.015	—
		50	2.274	-0.016	—
		60	2.272	-0.018	—
		70	2.291	0.001	—
		80	2.266	-0.024	—
		90	2.287	-0.003	—
		100	2.270	-0.020	—
		110	2.262	-0.028	—
		120	2.279	-0.011	—
		130	2.313	0.023	—
		140	2.282	-0.008	—
		150	2.294	0.004	—
		160	2.284	-0.006	—
		170	2.301	0.011	—
		180	2.295	0.005	—
		190	2.286	-0.004	—
		200	2.279	-0.011	—
		210	2.279	-0.011	—
		220	2.300	0.010	—
		230	2.285	-0.005	—
		240	2.283	-0.007	—
		250	2.287	-0.003	—
		260	2.305	0.015	—
		270	2.289	-0.001	—
		280	2.295	0.005	—
		290	2.300	0.010	—
		300	2.299	0.009	—
		310	2.294	0.004	—
		320	2.284	-0.006	—
		330	2.300	0.010	—
		340	2.293	0.003	—
		350	2.301	0.011	—
		360	2.288	-0.002	—
		370	2.290	0.000	—
		380	2.280	-0.010	—
		390	2.274	-0.016	—
		400	2.301	0.011	—
		410	2.288	-0.002	—
		420	2.282	-0.008	—
		430	2.278	-0.012	—
		440	2.286	-0.004	—
		450	2.285	-0.005	—
		460	2.286	-0.004	—
		470	2.300	0.010	—
		480	2.296	0.006	—

		490	2.290	0.000	—
		500	2.286	-0.004	—
		510	2.284	-0.006	—
		520	2.293	0.003	—
		530	2.269	-0.021	—
		540	2.290	0.000	—
		550	2.290	0.000	—
		560	2.280	-0.010	—
		570	2.254	-0.036	—
		580	2.305	0.015	—
		590	2.294	0.004	—
		600	2.298	0.008	—
GFET #C17	5	-50	2.280	2.268	—
		-40	2.259		
		-30	2.263		
		-20	2.277		
		-10	2.259		
		0	2.263	-0.005	—
		10	2.276	0.008	—
		20	2.267	-0.001	—
		30	2.273	0.005	—
		40	2.264	-0.004	—
		50	2.279	0.011	—
		60	2.284	0.016	—
		70	2.275	0.007	—
		80	2.277	0.009	—
		90	2.277	0.009	—
		100	2.269	0.001	—
		110	2.265	-0.003	—
		120	2.269	0.001	—
		130	2.276	0.008	—
		140	2.252	-0.016	—
		150	2.254	-0.014	—
		160	2.282	0.014	—
		170	2.270	0.002	—
		180	2.291	0.023	—
		190	2.260	-0.008	—
		200	2.288	0.020	—
		210	2.282	0.014	—
		220	2.283	0.015	—
		230	2.263	-0.005	—
		240	2.266	-0.002	—
		250	2.295	0.027	—
		260	2.270	0.002	—
		270	2.280	0.012	—
		280	2.266	-0.002	—
		290	2.268	0.000	—
		300	2.261	-0.007	—
		310	2.276	0.008	—
		320	2.298	0.030	—
		330	2.290	0.022	—
		340	2.284	0.016	—
		350	2.280	0.012	—
		360	2.267	-0.001	—
		370	2.282	0.014	—
		380	2.261	-0.007	—
		390	2.261	-0.007	—
		400	2.271	0.003	—
		410	2.272	0.004	—
		420	2.286	0.018	—
		430	2.264	-0.004	—
		440	2.283	0.015	—

		450	2.277	0.009	—
		460	2.261	-0.007	—
		470	2.296	0.028	—
		480	2.257	-0.011	—
		490	2.289	0.021	—
		500	2.263	-0.005	—
		510	2.286	0.018	—
		520	2.286	0.018	—
		530	2.274	0.006	—
		540	2.308	0.040	—
		550	2.286	0.018	—
		560	2.280	0.012	—
		570	2.263	-0.005	—
		580	2.283	0.015	—
		590	2.260	-0.008	—
		600	2.296	0.028	—
		-50	2.289		
		-40	2.298		
		-30	2.285		
		-20	2.295		
		-10	2.296		
		0	2.282	-0.011	—
		10	2.297	0.004	—
		20	2.301	0.008	—
		30	2.309	0.016	—
		40	2.289	-0.004	—
		50	2.289	-0.004	—
		60	2.294	0.001	—
		70	2.271	-0.022	—
		80	2.289	-0.004	—
		90	2.294	0.001	—
		100	2.294	0.001	—
		110	2.297	0.004	—
		120	2.288	-0.005	—
		130	2.293	0.000	—
		140	2.288	-0.005	—
		150	2.292	-0.001	—
		160	2.282	-0.011	—
		170	2.287	-0.006	—
		180	2.289	-0.004	—
		190	2.283	-0.010	—
		200	2.290	-0.003	—
		210	2.319	0.026	—
		220	2.292	-0.001	—
		230	2.294	0.001	—
		240	2.303	0.010	—
		250	2.289	-0.004	—
		260	2.295	0.002	—
		270	2.297	0.004	—
		280	2.291	-0.002	—
		290	2.280	-0.013	—
		300	2.274	-0.019	—
		310	2.283	-0.010	—
		320	2.293	0.000	—
		330	2.286	-0.007	—
		340	2.275	-0.018	—
		350	2.271	-0.022	—
		360	2.283	-0.010	—
		370	2.305	0.012	—
		380	2.306	0.013	—
		390	2.286	-0.007	—
		400	2.303	0.010	—

		410	2.295	0.002	—
		420	2.296	0.003	—
		430	2.290	-0.003	—
		440	2.294	0.001	—
		450	2.299	0.006	—
		460	2.293	0.000	—
		470	2.298	0.005	—
		480	2.300	0.007	—
		490	2.287	-0.006	—
		500	2.295	0.002	—
		510	2.293	0.000	—
		520	2.313	0.020	—
		530	2.284	-0.009	—
		540	2.299	0.006	—
		550	2.304	0.011	—
		560	2.289	-0.004	—
		570	2.294	0.001	—
		580	2.301	0.008	—
		590	2.301	0.008	—
		600	2.295	0.002	—
		-50	2.293		
		-40	2.283		
		-30	2.294	2.295	—
		-20	2.312		
		-10	2.292		
		0	2.307	0.012	—
		10	2.299	0.004	—
		20	2.292	-0.003	—
		30	2.308	0.013	—
		40	2.308	0.013	—
		50	2.290	-0.005	—
		60	2.302	0.007	—
		70	2.303	0.008	—
		80	2.294	-0.001	—
		90	2.300	0.005	—
		100	2.303	0.008	—
		110	2.306	0.011	—
		120	2.297	0.002	—
		130	2.296	0.001	—
		140	2.291	-0.004	—
		150	2.293	-0.002	—
		160	2.294	-0.001	—
		170	2.310	0.015	—
		180	2.294	-0.001	—
		190	2.310	0.015	—
		200	2.310	0.015	—
		210	2.296	0.001	—
		220	2.293	-0.002	—
		230	2.306	0.011	—
		240	2.309	0.014	—
		250	2.299	0.004	—
		260	2.329	0.034	—
		270	2.298	0.003	—
		280	2.295	0.000	—
		290	2.288	-0.007	—
		300	2.303	0.008	—
		310	2.295	0.000	—
		320	2.321	0.026	—
		330	2.321	0.026	—
		340	2.340	0.045	—
		350	2.304	0.009	—
		360	2.316	0.021	—

GFET
#C19

25

		370	2.325	0.030	—
		380	2.313	0.018	—
		390	2.281	-0.014	—
		400	2.310	0.015	—
		410	2.308	0.013	—
		420	2.319	0.024	—
		430	2.303	0.008	—
		440	2.316	0.021	—
		450	2.308	0.013	—
		460	2.301	0.006	—
		470	2.312	0.017	—
		480	2.314	0.019	—
		490	2.306	0.011	—
		500	2.309	0.014	—
		510	2.317	0.022	—
		520	2.309	0.014	—
		530	2.312	0.017	—
		540	2.294	-0.001	—
		550	2.305	0.010	—
		560	2.318	0.023	—
		570	2.306	0.011	—
		580	2.316	0.021	—
		590	2.322	0.027	—
		600	2.303	0.008	—
		-50	2.275		
		-40	2.281		
		-30	2.275		
		-20	2.281		
		-10	2.269		
		0	2.272	-0.004	—
		10	2.276	0.000	—
		20	2.273	-0.003	—
		30	2.268	-0.008	—
		40	2.290	0.014	—
		50	2.256	-0.020	—
		60	2.276	0.000	—
		70	2.269	-0.007	—
		80	2.284	0.008	—
		90	2.286	0.010	—
		100	2.277	0.001	—
		110	2.265	-0.011	—
		120	2.283	0.007	—
		130	2.288	0.012	—
		140	2.273	-0.003	—
		150	2.279	0.003	—
		160	2.262	-0.014	—
		170	2.277	0.001	—
		180	2.274	-0.002	—
		190	2.267	-0.009	—
		200	2.284	0.008	—
		210	2.291	0.015	—
		220	2.282	0.006	—
		230	2.272	-0.004	—
		240	2.287	0.011	—
		250	2.276	0.000	—
		260	2.285	0.009	—
		270	2.277	0.001	—
		280	2.274	-0.002	—
		290	2.294	0.018	—
		300	2.299	0.023	—
		310	2.276	0.000	—
		320	2.272	-0.004	—

GFET
#C20

50

		330	2.278	0.002	—
		340	2.290	0.014	—
		350	2.282	0.006	—
		360	2.291	0.015	—
		370	2.270	-0.006	—
		380	2.271	-0.005	—
		390	2.291	0.015	—
		400	2.296	0.020	—
		410	2.287	0.011	—
		420	2.286	0.010	—
		430	2.272	-0.004	—
		440	2.298	0.022	—
		450	2.299	0.023	—
		460	2.303	0.027	—
		470	2.282	0.006	—
		480	2.282	0.006	—
		490	2.272	-0.004	—
		500	2.307	0.031	—
		510	2.287	0.011	—
		520	2.288	0.012	—
		530	2.285	0.009	—
		540	2.302	0.026	—
		550	2.281	0.005	—
		560	2.291	0.015	—
		570	2.285	0.009	—
		580	2.275	-0.001	—
		590	2.290	0.014	—
		600	2.276	0.000	—
		-50	2.285	2.292	—
		-40	2.294		
		-30	2.299		
		-20	2.297		
		-10	2.285		
		0	2.292		
GFET #C21	100	10	2.308	0.016	—
		20	2.315	0.023	—
		30	2.291	-0.001	—
		40	2.295	0.003	—
		50	2.301	0.009	—
		60	2.290	-0.002	—
		70	2.305	0.013	—
		80	2.291	-0.001	—
		90	2.297	0.005	—
		100	2.291	-0.001	—
		110	2.295	0.003	—
		120	2.321	0.029	—
		130	2.308	0.016	—
		140	2.313	0.021	—
		150	2.295	0.003	—
		160	2.290	-0.002	—
		170	2.302	0.010	—
		180	2.300	0.008	—
		190	2.296	0.004	—
		200	2.299	0.007	—
		210	2.306	0.014	—
		220	2.311	0.019	—
		230	2.313	0.021	—
		240	2.309	0.017	—
		250	2.288	-0.004	—
		260	2.291	-0.001	—
		270	2.323	0.031	—
		280	2.292	0.000	—

	290	2.289	-0.003	—
	300	2.306	0.014	—
	310	2.303	0.011	—
	320	2.305	0.013	—
	330	2.318	0.026	—
	340	2.286	-0.006	—
	350	2.302	0.010	—
	360	2.309	0.017	—
	370	2.308	0.016	—
	380	2.292	0.000	—
	390	2.320	0.028	—
	400	2.321	0.029	—
	410	2.298	0.006	—
	420	2.298	0.006	—
	430	2.294	0.002	—
	440	2.314	0.022	—
	450	2.313	0.021	—
	460	2.289	-0.003	—
	470	2.303	0.011	—
	480	2.306	0.014	—
	490	2.295	0.003	—
	500	2.318	0.026	—
	510	2.308	0.016	—
	520	2.304	0.012	—
	530	2.302	0.010	—
	540	2.304	0.012	—
	550	2.322	0.030	—
	560	2.302	0.010	—
	570	2.310	0.018	—
	580	2.300	0.008	—
	590	2.334	0.042	—
	600	2.297	0.005	—

Table S7. Responses of AFP antibody-PTH cross-reaction.

Device number	PTH concentration, $c^{(\text{PTH})}$ (nM)	Time, t (s)	Experimental results		Fitting results
			I_d (μA)	$\Delta I_d = I_d - \bar{I}_d(t < 0)$ (μA)	
GFET #C22	1	-50	2.278	2.280	—
		-40	2.288		
		-30	2.297		
		-20	2.261		
		-10	2.276		
		0	2.242	-0.038	—
		10	2.284	0.004	—
		20	2.276	-0.004	—
		30	2.259	-0.021	—
		40	2.260	-0.020	—
		50	2.258	-0.022	—
		60	2.281	0.001	—
		70	2.271	-0.009	—
		80	2.270	-0.010	—
		90	2.279	-0.001	—
		100	2.280	0.000	—
		110	2.282	0.002	—
		120	2.258	-0.022	—
		130	2.263	-0.017	—
		140	2.258	-0.022	—
		150	2.276	-0.004	—
		160	2.287	0.007	—
		170	2.287	0.007	—
		180	2.283	0.003	—
		190	2.295	0.015	—
		200	2.284	0.004	—
		210	2.269	-0.011	—
		220	2.265	-0.015	—
		230	2.254	-0.026	—
		240	2.276	-0.004	—
		250	2.258	-0.022	—
		260	2.257	-0.023	—
		270	2.266	-0.014	—
		280	2.267	-0.013	—
		290	2.269	-0.011	—
		300	2.274	-0.006	—
		310	2.278	-0.002	—
		320	2.269	-0.011	—
		330	2.274	-0.006	—
		340	2.270	-0.010	—
		350	2.280	0.000	—
		360	2.262	-0.018	—
		370	2.268	-0.012	—
		380	2.268	-0.012	—
		390	2.279	-0.001	—
		400	2.265	-0.015	—
		410	2.265	-0.015	—
		420	2.281	0.001	—
		430	2.285	0.005	—
		440	2.280	0.000	—
		450	2.288	0.008	—
		460	2.272	-0.008	—
		470	2.294	0.014	—
		480	2.261	-0.019	—
		490	2.258	-0.022	—
		500	2.275	-0.005	—
		510	2.272	-0.008	—
		520	2.280	0.000	—

		530	2.301	0.021	—
		540	2.288	0.008	—
		550	2.288	0.008	—
		560	2.271	-0.009	—
		570	2.269	-0.011	—
		580	2.274	-0.006	—
		590	2.267	-0.013	—
		600	2.268	-0.012	—
GFET #C23	2.5	-50	2.299	2.292	—
		-40	2.284		
		-30	2.303		
		-20	2.283		
		-10	2.293		
		0	2.295	0.003	—
		10	2.287	-0.005	—
		20	2.306	0.014	—
		30	2.294	0.002	—
		40	2.310	0.018	—
		50	2.296	0.004	—
		60	2.299	0.007	—
		70	2.284	-0.008	—
		80	2.304	0.012	—
		90	2.269	-0.023	—
		100	2.297	0.005	—
		110	2.298	0.006	—
		120	2.294	0.002	—
		130	2.298	0.006	—
		140	2.292	0.000	—
		150	2.286	-0.006	—
		160	2.302	0.010	—
		170	2.285	-0.007	—
		180	2.288	-0.004	—
		190	2.296	0.004	—
		200	2.305	0.013	—
		210	2.309	0.017	—
		220	2.282	-0.010	—
		230	2.293	0.001	—
		240	2.292	0.000	—
		250	2.297	0.005	—
		260	2.284	-0.008	—
		270	2.300	0.008	—
		280	2.302	0.010	—
		290	2.291	-0.001	—
		300	2.272	-0.020	—
		310	2.290	-0.002	—
		320	2.296	0.004	—
		330	2.294	0.002	—
		340	2.291	-0.001	—
		350	2.305	0.013	—
		360	2.301	0.009	—
		370	2.286	-0.006	—
		380	2.290	-0.002	—
		390	2.298	0.006	—
		400	2.299	0.007	—
		410	2.291	-0.001	—
		420	2.301	0.009	—
		430	2.302	0.010	—
		440	2.290	-0.002	—
		450	2.288	-0.004	—
		460	2.299	0.007	—
		470	2.300	0.008	—
		480	2.297	0.005	—

		490	2.281	-0.011	—
		500	2.291	-0.001	—
		510	2.301	0.009	—
		520	2.299	0.007	—
		530	2.299	0.007	—
		540	2.317	0.025	—
		550	2.290	-0.002	—
		560	2.287	-0.005	—
		570	2.296	0.004	—
		580	2.295	0.003	—
		590	2.300	0.008	—
		600	2.293	0.001	—
GFET #C24	5	-50	2.254	2.270	—
		-40	2.283		
		-30	2.278		
		-20	2.271		
		-10	2.262		
		0	2.262	-0.008	—
		10	2.265	-0.005	—
		20	2.250	-0.020	—
		30	2.266	-0.004	—
		40	2.283	0.013	—
		50	2.271	0.001	—
		60	2.280	0.010	—
		70	2.250	-0.020	—
		80	2.256	-0.014	—
		90	2.276	0.006	—
		100	2.238	-0.032	—
		110	2.266	-0.004	—
		120	2.260	-0.010	—
		130	2.255	-0.015	—
		140	2.262	-0.008	—
		150	2.262	-0.008	—
		160	2.265	-0.005	—
		170	2.246	-0.024	—
		180	2.254	-0.016	—
		190	2.247	-0.023	—
		200	2.270	0.000	—
		210	2.266	-0.004	—
		220	2.266	-0.004	—
		230	2.274	0.004	—
		240	2.284	0.014	—
		250	2.254	-0.016	—
		260	2.271	0.001	—
		270	2.276	0.006	—
		280	2.283	0.013	—
		290	2.261	-0.009	—
		300	2.268	-0.002	—
		310	2.246	-0.024	—
		320	2.248	-0.022	—
		330	2.280	0.010	—
		340	2.257	-0.013	—
		350	2.271	0.001	—
		360	2.269	-0.001	—
		370	2.255	-0.015	—
		380	2.265	-0.005	—
		390	2.271	0.001	—
		400	2.277	0.007	—
		410	2.269	-0.001	—
		420	2.274	0.004	—
		430	2.278	0.008	—
		440	2.277	0.007	—

		450	2.256	-0.014	—
		460	2.277	0.007	—
		470	2.281	0.011	—
		480	2.248	-0.022	—
		490	2.272	0.002	—
		500	2.273	0.003	—
		510	2.273	0.003	—
		520	2.279	0.009	—
		530	2.281	0.011	—
		540	2.277	0.007	—
		550	2.238	-0.032	—
		560	2.283	0.013	—
		570	2.282	0.012	—
		580	2.294	0.024	—
		590	2.282	0.012	—
		600	2.259	-0.011	—
		-50	2.297		
		-40	2.278		
		-30	2.280		
		-20	2.284		
		-10	2.292		
		0	2.285	-0.001	—
		10	2.303	0.017	—
		20	2.265	-0.021	—
		30	2.292	0.006	—
		40	2.297	0.011	—
		50	2.282	-0.004	—
		60	2.299	0.013	—
		70	2.293	0.007	—
		80	2.298	0.012	—
		90	2.280	-0.006	—
		100	2.288	0.002	—
		110	2.298	0.012	—
		120	2.296	0.010	—
		130	2.285	-0.001	—
		140	2.282	-0.004	—
		150	2.301	0.015	—
		160	2.283	-0.003	—
		170	2.284	-0.002	—
		180	2.287	0.001	—
		190	2.275	-0.011	—
		200	2.273	-0.013	—
		210	2.285	-0.001	—
		220	2.291	0.005	—
		230	2.287	0.001	—
		240	2.290	0.004	—
		250	2.280	-0.006	—
		260	2.272	-0.014	—
		270	2.291	0.005	—
		280	2.270	-0.016	—
		290	2.290	0.004	—
		300	2.283	-0.003	—
		310	2.275	-0.011	—
		320	2.287	0.001	—
		330	2.277	-0.009	—
		340	2.290	0.004	—
		350	2.299	0.013	—
		360	2.282	-0.004	—
		370	2.278	-0.008	—
		380	2.288	0.002	—
		390	2.292	0.006	—
		400	2.277	-0.009	—

GFET
#C25

10

		410	2.287	0.001	—
		420	2.294	0.008	—
		430	2.291	0.005	—
		440	2.282	-0.004	—
		450	2.289	0.003	—
		460	2.288	0.002	—
		470	2.284	-0.002	—
		480	2.279	-0.007	—
		490	2.280	-0.006	—
		500	2.296	0.010	—
		510	2.305	0.019	—
		520	2.288	0.002	—
		530	2.285	-0.001	—
		540	2.291	0.005	—
		550	2.273	-0.013	—
		560	2.289	0.003	—
		570	2.304	0.018	—
		580	2.273	-0.013	—
		590	2.290	0.004	—
		600	2.279	-0.007	—
		-50	2.282		
		-40	2.280		
		-30	2.282	2.283	—
		-20	2.277		
		-10	2.293		
		0	2.279	-0.004	—
		10	2.273	-0.010	—
		20	2.268	-0.015	—
		30	2.285	0.002	—
		40	2.271	-0.012	—
		50	2.278	-0.005	—
		60	2.277	-0.006	—
		70	2.270	-0.013	—
		80	2.272	-0.011	—
		90	2.281	-0.002	—
		100	2.281	-0.002	—
		110	2.278	-0.005	—
		120	2.271	-0.012	—
		130	2.285	0.002	—
		140	2.288	0.005	—
		150	2.282	-0.001	—
		160	2.286	0.003	—
		170	2.284	0.001	—
		180	2.271	-0.012	—
		190	2.268	-0.015	—
		200	2.284	0.001	—
		210	2.276	-0.007	—
		220	2.295	0.012	—
		230	2.281	-0.002	—
		240	2.279	-0.004	—
		250	2.271	-0.012	—
		260	2.286	0.003	—
		270	2.272	-0.011	—
		280	2.278	-0.005	—
		290	2.301	0.018	—
		300	2.275	-0.008	—
		310	2.279	-0.004	—
		320	2.280	-0.003	—
		330	2.267	-0.016	—
		340	2.285	0.002	—
		350	2.253	-0.030	—
		360	2.269	-0.014	—

GFET
#C26

25

		370	2.284	0.001	—
		380	2.280	-0.003	—
		390	2.278	-0.005	—
		400	2.263	-0.020	—
		410	2.269	-0.014	—
		420	2.280	-0.003	—
		430	2.288	0.005	—
		440	2.267	-0.016	—
		450	2.276	-0.007	—
		460	2.278	-0.005	—
		470	2.277	-0.006	—
		480	2.292	0.009	—
		490	2.286	0.003	—
		500	2.273	-0.010	—
		510	2.286	0.003	—
		520	2.277	-0.006	—
		530	2.282	-0.001	—
		540	2.272	-0.011	—
		550	2.267	-0.016	—
		560	2.284	0.001	—
		570	2.283	0.000	—
		580	2.269	-0.014	—
		590	2.270	-0.013	—
		600	2.295	0.012	—
GFET #C27	50	-50	2.309	2.306	—
		-40	2.310		
		-30	2.295		
		-20	2.312		
		-10	2.302		
		0	2.279		
		10	2.308		
		20	2.300		
		30	2.294		
		40	2.304		
		50	2.302		
		60	2.278		
		70	2.308		
		80	2.313		
		90	2.303		
		100	2.307		
		110	2.306		
		120	2.298		
		130	2.305		
		140	2.318		
		150	2.319		
		160	2.289		
		170	2.297		
		180	2.310		
		190	2.316		
		200	2.319		
		210	2.303		
		220	2.312		
		230	2.294		
		240	2.306		
		250	2.296		
		260	2.310		
		270	2.313		
		280	2.305		
		290	2.304		
		300	2.304		
		310	2.324		
		320	2.311		

		330	2.298	-0.008	—
		340	2.306	0.000	—
		350	2.288	-0.018	—
		360	2.310	0.004	—
		370	2.298	-0.008	—
		380	2.314	0.008	—
		390	2.309	0.003	—
		400	2.275	-0.031	—
		410	2.315	0.009	—
		420	2.317	0.011	—
		430	2.311	0.005	—
		440	2.311	0.005	—
		450	2.328	0.022	—
		460	2.296	-0.010	—
		470	2.297	-0.009	—
		480	2.305	-0.001	—
		490	2.297	-0.009	—
		500	2.326	0.020	—
		510	2.295	-0.011	—
		520	2.306	0.000	—
		530	2.315	0.009	—
		540	2.303	-0.003	—
		550	2.297	-0.009	—
		560	2.307	0.001	—
		570	2.297	-0.009	—
		580	2.311	0.005	—
		590	2.318	0.012	—
		600	2.306	0.000	—
		-50	2.301		
		-40	2.290		
		-30	2.310		
		-20	2.302		
		-10	2.315		
		0	2.298	-0.006	—
		10	2.315	0.011	—
		20	2.290	-0.014	—
		30	2.312	0.008	—
		40	2.306	0.002	—
		50	2.306	0.002	—
		60	2.308	0.004	—
		70	2.308	0.004	—
		80	2.308	0.004	—
		90	2.303	-0.001	—
		100	2.307	0.003	—
		110	2.314	0.010	—
		120	2.312	0.008	—
		130	2.297	-0.007	—
		140	2.312	0.008	—
		150	2.313	0.009	—
		160	2.303	-0.001	—
		170	2.303	-0.001	—
		180	2.328	0.024	—
		190	2.302	-0.002	—
		200	2.330	0.026	—
		210	2.298	-0.006	—
		220	2.303	-0.001	—
		230	2.313	0.009	—
		240	2.295	-0.009	—
		250	2.308	0.004	—
		260	2.295	-0.009	—
		270	2.302	-0.002	—
		280	2.299	-0.005	—

GFET
#C28

	290	2.315	0.011	—
	300	2.320	0.016	—
	310	2.292	-0.012	—
	320	2.289	-0.015	—
	330	2.306	0.002	—
	340	2.300	-0.004	—
	350	2.324	0.020	—
	360	2.308	0.004	—
	370	2.310	0.006	—
	380	2.320	0.016	—
	390	2.291	-0.013	—
	400	2.316	0.012	—
	410	2.317	0.013	—
	420	2.308	0.004	—
	430	2.315	0.011	—
	440	2.313	0.009	—
	450	2.298	-0.006	—
	460	2.310	0.006	—
	470	2.304	0.000	—
	480	2.304	0.000	—
	490	2.306	0.002	—
	500	2.314	0.010	—
	510	2.314	0.010	—
	520	2.309	0.005	—
	530	2.297	-0.007	—
	540	2.323	0.019	—
	550	2.304	0.000	—
	560	2.308	0.004	—
	570	2.312	0.008	—
	580	2.305	0.001	—
	590	2.316	0.012	—
	600	2.317	0.013	—

Table S8. Responses of PTH antibody-CEA cross-reaction.

Device number	CEA concentration, $c^{(CEA)}$ (nM)	Time, t (s)	Experimental results		Fitting results
			I_d (μA)	$\Delta I_d = I_d - \bar{I}_d(t < 0)$ (μA)	
GFET #C29	1	-50	2.278	2.285	—
		-40	2.282		
		-30	2.295		
		-20	2.294		
		-10	2.275		
		0	2.284	-0.001	—
		10	2.284	-0.001	—
		20	2.285	0.000	—
		30	2.286	0.001	—
		40	2.285	0.000	—
		50	2.306	0.021	—
		60	2.287	0.002	—
		70	2.307	0.022	—
		80	2.282	-0.003	—
		90	2.284	-0.001	—
		100	2.262	-0.023	—
		110	2.294	0.009	—
		120	2.293	0.008	—
		130	2.288	0.003	—
		140	2.287	0.002	—
		150	2.279	-0.006	—
		160	2.298	0.013	—
		170	2.300	0.015	—
		180	2.280	-0.005	—
		190	2.289	0.004	—
		200	2.293	0.008	—
		210	2.307	0.022	—
		220	2.296	0.011	—
		230	2.279	-0.006	—
		240	2.269	-0.016	—
		250	2.298	0.013	—
		260	2.282	-0.003	—
		270	2.293	0.008	—
		280	2.269	-0.016	—
		290	2.291	0.006	—
		300	2.296	0.011	—
		310	2.290	0.005	—
		320	2.277	-0.008	—
		330	2.288	0.003	—
		340	2.301	0.016	—
		350	2.284	-0.001	—
		360	2.294	0.009	—
		370	2.283	-0.002	—
		380	2.294	0.009	—
		390	2.269	-0.016	—
		400	2.287	0.002	—
		410	2.303	0.018	—
		420	2.265	-0.020	—
		430	2.286	0.001	—
		440	2.292	0.007	—
		450	2.289	0.004	—
		460	2.279	-0.006	—
		470	2.278	-0.007	—
		480	2.301	0.016	—
		490	2.291	0.006	—
		500	2.293	0.008	—
		510	2.302	0.017	—
		520	2.288	0.003	—

		530	2.287	0.002	—
		540	2.297	0.012	—
		550	2.307	0.022	—
		560	2.303	0.018	—
		570	2.288	0.003	—
		580	2.292	0.007	—
		590	2.293	0.008	—
		600	2.295	0.010	—
GFET #C30	2.5	-50	2.272	2.274	—
		-40	2.282		
		-30	2.269		
		-20	2.267		
		-10	2.282		
		0	2.287	0.013	—
		10	2.266	-0.008	—
		20	2.279	0.005	—
		30	2.260	-0.014	—
		40	2.281	0.007	—
		50	2.265	-0.009	—
		60	2.272	-0.002	—
		70	2.285	0.011	—
		80	2.234	-0.040	—
		90	2.256	-0.018	—
		100	2.262	-0.012	—
		110	2.294	0.020	—
		120	2.286	0.012	—
		130	2.242	-0.032	—
		140	2.262	-0.012	—
		150	2.278	0.004	—
		160	2.257	-0.017	—
		170	2.288	0.014	—
		180	2.290	0.016	—
		190	2.276	0.002	—
		200	2.271	-0.003	—
		210	2.234	-0.040	—
		220	2.274	0.000	—
		230	2.290	0.016	—
		240	2.273	-0.001	—
		250	2.267	-0.007	—
		260	2.288	0.014	—
		270	2.262	-0.012	—
		280	2.283	0.009	—
		290	2.281	0.007	—
		300	2.284	0.010	—
		310	2.278	0.004	—
		320	2.278	0.004	—
		330	2.270	-0.004	—
		340	2.283	0.009	—
		350	2.277	0.003	—
		360	2.286	0.012	—
		370	2.282	0.008	—
		380	2.248	-0.026	—
		390	2.252	-0.022	—
		400	2.285	0.011	—
		410	2.279	0.005	—
		420	2.279	0.005	—
		430	2.276	0.002	—
		440	2.273	-0.001	—
		450	2.269	-0.005	—
		460	2.299	0.025	—
		470	2.275	0.001	—
		480	2.265	-0.009	—

		490	2.260	-0.014	—
		500	2.277	0.003	—
		510	2.282	0.008	—
		520	2.289	0.015	—
		530	2.288	0.014	—
		540	2.271	-0.003	—
		550	2.276	0.002	—
		560	2.290	0.016	—
		570	2.270	-0.004	—
		580	2.290	0.016	—
		590	2.267	-0.007	—
		600	2.282	0.008	—
GFET #C31	5	-50	2.266	2.257	—
		-40	2.247		
		-30	2.264		
		-20	2.265		
		-10	2.244		
		0	2.249		
		10	2.269		
		20	2.266		
		30	2.246		
		40	2.268		
		50	2.252		
		60	2.261		
		70	2.255		
		80	2.276		
		90	2.275		
		100	2.250		
		110	2.252		
		120	2.256		
		130	2.251		
		140	2.263		
		150	2.255		
		160	2.248		
		170	2.267		
		180	2.257		
		190	2.250		
		200	2.247		
		210	2.248		
		220	2.254		
		230	2.249		
		240	2.250		
		250	2.254		
		260	2.268		
		270	2.271		
		280	2.250		
		290	2.245		
		300	2.260		
		310	2.281		
		320	2.246		
		330	2.247		
		340	2.252		
		350	2.258		
		360	2.263		
		370	2.253		
		380	2.264		
		390	2.264		
		400	2.250		
		410	2.262		
		420	2.247		
		430	2.264		
		440	2.261		

		450	2.246	-0.011	—
		460	2.266	0.009	—
		470	2.251	-0.006	—
		480	2.256	-0.001	—
		490	2.265	0.008	—
		500	2.263	0.006	—
		510	2.258	0.001	—
		520	2.268	0.011	—
		530	2.255	-0.002	—
		540	2.250	-0.007	—
		550	2.275	0.018	—
		560	2.271	0.014	—
		570	2.272	0.015	—
		580	2.267	0.010	—
		590	2.272	0.015	—
		600	2.256	-0.001	—
		-50	2.301		
		-40	2.300		
		-30	2.300		
		-20	2.321		
		-10	2.295		
		0	2.303	0.000	—
		10	2.306	0.003	—
		20	2.312	0.009	—
		30	2.303	0.000	—
		40	2.302	-0.001	—
		50	2.312	0.009	—
		60	2.292	-0.011	—
		70	2.297	-0.006	—
		80	2.310	0.007	—
		90	2.310	0.007	—
		100	2.311	0.008	—
		110	2.314	0.011	—
		120	2.310	0.007	—
		130	2.306	0.003	—
		140	2.300	-0.003	—
		150	2.308	0.005	—
		160	2.290	-0.013	—
		170	2.294	-0.009	—
		180	2.302	-0.001	—
		190	2.307	0.004	—
		200	2.285	-0.018	—
		210	2.304	0.001	—
		220	2.314	0.011	—
		230	2.309	0.006	—
		240	2.310	0.007	—
		250	2.305	0.002	—
		260	2.315	0.012	—
		270	2.311	0.008	—
		280	2.297	-0.006	—
		290	2.304	0.001	—
		300	2.324	0.021	—
		310	2.299	-0.004	—
		320	2.309	0.006	—
		330	2.308	0.005	—
		340	2.305	0.002	—
		350	2.299	-0.004	—
		360	2.319	0.016	—
		370	2.305	0.002	—
		380	2.298	-0.005	—
		390	2.296	-0.007	—
		400	2.301	-0.002	—

		410	2.306	0.003	—
		420	2.298	-0.005	—
		430	2.297	-0.006	—
		440	2.306	0.003	—
		450	2.308	0.005	—
		460	2.326	0.023	—
		470	2.321	0.018	—
		480	2.294	-0.009	—
		490	2.294	-0.009	—
		500	2.317	0.014	—
		510	2.297	-0.006	—
		520	2.318	0.015	—
		530	2.307	0.004	—
		540	2.320	0.017	—
		550	2.302	-0.001	—
		560	2.319	0.016	—
		570	2.308	0.005	—
		580	2.292	-0.011	—
		590	2.308	0.005	—
		600	2.306	0.003	—
		-50	2.272		
		-40	2.270		
		-30	2.283	2.268	—
		-20	2.257		
		-10	2.259		
		0	2.254	-0.014	—
		10	2.267	-0.001	—
		20	2.267	-0.001	—
		30	2.268	0.000	—
		40	2.261	-0.007	—
		50	2.264	-0.004	—
		60	2.263	-0.005	—
		70	2.257	-0.011	—
		80	2.256	-0.012	—
		90	2.258	-0.010	—
		100	2.264	-0.004	—
		110	2.290	0.022	—
		120	2.242	-0.026	—
		130	2.277	0.009	—
		140	2.269	0.001	—
		150	2.295	0.027	—
		160	2.266	-0.002	—
		170	2.267	-0.001	—
		180	2.278	0.010	—
		190	2.254	-0.014	—
		200	2.270	0.002	—
		210	2.278	0.010	—
		220	2.284	0.016	—
		230	2.268	0.000	—
		240	2.263	-0.005	—
		250	2.257	-0.011	—
		260	2.271	0.003	—
		270	2.258	-0.010	—
		280	2.258	-0.010	—
		290	2.274	0.006	—
		300	2.245	-0.023	—
		310	2.274	0.006	—
		320	2.276	0.008	—
		330	2.286	0.018	—
		340	2.264	-0.004	—
		350	2.280	0.012	—
		360	2.282	0.014	—

GFET
#C33

25

		370	2.273	0.005	—
		380	2.272	0.004	—
		390	2.275	0.007	—
		400	2.276	0.008	—
		410	2.275	0.007	—
		420	2.263	-0.005	—
		430	2.267	-0.001	—
		440	2.280	0.012	—
		450	2.295	0.027	—
		460	2.278	0.010	—
		470	2.256	-0.012	—
		480	2.262	-0.006	—
		490	2.274	0.006	—
		500	2.280	0.012	—
		510	2.255	-0.013	—
		520	2.280	0.012	—
		530	2.266	-0.002	—
		540	2.273	0.005	—
		550	2.287	0.019	—
		560	2.273	0.005	—
		570	2.280	0.012	—
		580	2.281	0.013	—
		590	2.264	-0.004	—
		600	2.270	0.002	—
		-50	2.271		
		-40	2.277		
		-30	2.282		
		-20	2.258		
		-10	2.280		
		0	2.239	-0.035	—
		10	2.265	-0.009	—
		20	2.264	-0.010	—
		30	2.270	-0.004	—
		40	2.254	-0.020	—
		50	2.261	-0.013	—
		60	2.259	-0.015	—
		70	2.259	-0.015	—
		80	2.270	-0.004	—
		90	2.263	-0.011	—
		100	2.261	-0.013	—
		110	2.276	0.002	—
		120	2.287	0.013	—
		130	2.268	-0.006	—
		140	2.272	-0.002	—
		150	2.241	-0.033	—
		160	2.255	-0.019	—
		170	2.259	-0.015	—
		180	2.282	0.008	—
		190	2.279	0.005	—
		200	2.266	-0.008	—
		210	2.263	-0.011	—
		220	2.274	0.000	—
		230	2.259	-0.015	—
		240	2.277	0.003	—
		250	2.265	-0.009	—
		260	2.276	0.002	—
		270	2.269	-0.005	—
		280	2.255	-0.019	—
		290	2.268	-0.006	—
		300	2.271	-0.003	—
		310	2.269	-0.005	—
		320	2.260	-0.014	—

GFET
#C34

50

		330	2.262	-0.012	—
		340	2.263	-0.011	—
		350	2.262	-0.012	—
		360	2.264	-0.010	—
		370	2.271	-0.003	—
		380	2.262	-0.012	—
		390	2.279	0.005	—
		400	2.277	0.003	—
		410	2.271	-0.003	—
		420	2.280	0.006	—
		430	2.271	-0.003	—
		440	2.264	-0.010	—
		450	2.257	-0.017	—
		460	2.264	-0.010	—
		470	2.268	-0.006	—
		480	2.247	-0.027	—
		490	2.272	-0.002	—
		500	2.265	-0.009	—
		510	2.276	0.002	—
		520	2.252	-0.022	—
		530	2.260	-0.014	—
		540	2.280	0.006	—
		550	2.260	-0.014	—
		560	2.286	0.012	—
		570	2.271	-0.003	—
		580	2.264	-0.010	—
		590	2.261	-0.013	—
		600	2.276	0.002	—
		-50	2.253	2.260	—
		-40	2.264		
		-30	2.256		
		-20	2.266		
		-10	2.259		
		0	2.253		
		10	2.245	-0.007	—
		20	2.267	-0.015	—
		30	2.282	0.007	—
		40	2.283	0.022	—
		50	2.254	0.023	—
		60	2.273	-0.006	—
		70	2.265	0.013	—
		80	2.291	0.005	—
		90	2.277	0.031	—
		100	2.253	0.017	—
		110	2.253	-0.007	—
		120	2.258	-0.002	—
		130	2.272	0.012	—
		140	2.251	-0.009	—
		150	2.271	0.011	—
		160	2.267	0.007	—
		170	2.278	0.018	—
		180	2.267	0.007	—
		190	2.271	0.011	—
		200	2.278	0.018	—
		210	2.254	-0.006	—
		220	2.269	0.009	—
		230	2.274	0.014	—
		240	2.287	0.027	—
		250	2.268	0.008	—
		260	2.283	0.023	—
		270	2.265	0.005	—
		280	2.268	0.008	—
				0.023	—

	290	2.262	0.002	—
	300	2.269	0.009	—
	310	2.259	-0.001	—
	320	2.256	-0.004	—
	330	2.265	0.005	—
	340	2.276	0.016	—
	350	2.282	0.022	—
	360	2.286	0.026	—
	370	2.283	0.023	—
	380	2.288	0.028	—
	390	2.264	0.004	—
	400	2.273	0.013	—
	410	2.288	0.028	—
	420	2.267	0.007	—
	430	2.274	0.014	—
	440	2.277	0.017	—
	450	2.271	0.011	—
	460	2.290	0.030	—
	470	2.267	0.007	—
	480	2.283	0.023	—
	490	2.275	0.015	—
	500	2.272	0.012	—
	510	2.280	0.020	—
	520	2.280	0.020	—
	530	2.277	0.017	—
	540	2.285	0.025	—
	550	2.271	0.011	—
	560	2.285	0.025	—
	570	2.284	0.024	—
	580	2.275	0.015	—
	590	2.276	0.016	—
	600	2.301	0.041	—

Table S9. Responses of PTH antibody-AFP cross-reaction.

Device number	AFP concentration, $c^{(AFP)}$ (nM)	Time, t (s)	Experimental results		Fitting results
			I_d (μ A)	$\Delta I_d = I_d - \bar{I}_d(t < 0)$ (μ A)	
GFET #C36	1	-50	2.314	2.301	—
		-40	2.294		
		-30	2.300		
		-20	2.298		
		-10	2.300		
		0	2.302	0.001	—
		10	2.298	-0.003	—
		20	2.305	0.004	—
		30	2.313	0.012	—
		40	2.302	0.001	—
		50	2.305	0.004	—
		60	2.295	-0.006	—
		70	2.292	-0.009	—
		80	2.298	-0.003	—
		90	2.305	0.004	—
		100	2.300	-0.001	—
		110	2.296	-0.005	—
		120	2.293	-0.008	—
		130	2.312	0.011	—
		140	2.301	0.000	—
		150	2.294	-0.007	—
		160	2.304	0.003	—
		170	2.295	-0.006	—
		180	2.305	0.004	—
		190	2.292	-0.009	—
		200	2.301	0.000	—
		210	2.296	-0.005	—
		220	2.316	0.015	—
		230	2.310	0.009	—
		240	2.316	0.015	—
		250	2.303	0.002	—
		260	2.313	0.012	—
		270	2.309	0.008	—
		280	2.315	0.014	—
		290	2.320	0.019	—
		300	2.306	0.005	—
		310	2.317	0.016	—
		320	2.314	0.013	—
		330	2.304	0.003	—
		340	2.304	0.003	—
		350	2.299	-0.002	—
		360	2.319	0.018	—
		370	2.293	-0.008	—
		380	2.305	0.004	—
		390	2.301	0.000	—
		400	2.311	0.010	—
		410	2.282	-0.019	—
		420	2.306	0.005	—
		430	2.327	0.026	—
		440	2.317	0.016	—
		450	2.295	-0.006	—
		460	2.292	-0.009	—
		470	2.312	0.011	—
		480	2.317	0.016	—
		490	2.301	0.000	—
		500	2.333	0.032	—
		510	2.314	0.013	—
		520	2.317	0.016	—

		530	2.310	0.009	—
		540	2.305	0.004	—
		550	2.302	0.001	—
		560	2.299	-0.002	—
		570	2.314	0.013	—
		580	2.325	0.024	—
		590	2.304	0.003	—
		600	2.295	-0.006	—
GFET #C37	2.5	-50	2.284	2.306	—
		-40	2.302		
		-30	2.316		
		-20	2.308		
		-10	2.319		
		0	2.304	-0.002	—
		10	2.318	0.012	—
		20	2.302	-0.004	—
		30	2.308	0.002	—
		40	2.280	-0.026	—
		50	2.296	-0.010	—
		60	2.309	0.003	—
		70	2.325	0.019	—
		80	2.312	0.006	—
		90	2.308	0.002	—
		100	2.303	-0.003	—
		110	2.292	-0.014	—
		120	2.308	0.002	—
		130	2.306	0.000	—
		140	2.323	0.017	—
		150	2.301	-0.005	—
		160	2.311	0.005	—
		170	2.312	0.006	—
		180	2.318	0.012	—
		190	2.295	-0.011	—
		200	2.315	0.009	—
		210	2.296	-0.010	—
		220	2.297	-0.009	—
		230	2.309	0.003	—
		240	2.299	-0.007	—
		250	2.314	0.008	—
		260	2.308	0.002	—
		270	2.308	0.002	—
		280	2.312	0.006	—
		290	2.293	-0.013	—
		300	2.309	0.003	—
		310	2.298	-0.008	—
		320	2.299	-0.007	—
		330	2.313	0.007	—
		340	2.302	-0.004	—
		350	2.299	-0.007	—
		360	2.299	-0.007	—
		370	2.314	0.008	—
		380	2.304	-0.002	—
		390	2.320	0.014	—
		400	2.298	-0.008	—
		410	2.298	-0.008	—
		420	2.306	0.000	—
		430	2.310	0.004	—
		440	2.304	-0.002	—
		450	2.333	0.027	—
		460	2.310	0.004	—
		470	2.304	-0.002	—
		480	2.309	0.003	—

		490	2.304	-0.002	—
		500	2.293	-0.013	—
		510	2.302	-0.004	—
		520	2.303	-0.003	—
		530	2.304	-0.002	—
		540	2.300	-0.006	—
		550	2.316	0.010	—
		560	2.304	-0.002	—
		570	2.310	0.004	—
		580	2.319	0.013	—
		590	2.311	0.005	—
		600	2.312	0.006	—
GFET #C38	5	-50	2.298	2.286	—
		-40	2.280		
		-30	2.302		
		-20	2.282		
		-10	2.270		
		0	2.265	-0.021	—
		10	2.281	-0.005	—
		20	2.274	-0.012	—
		30	2.278	-0.008	—
		40	2.276	-0.010	—
		50	2.258	-0.028	—
		60	2.267	-0.019	—
		70	2.272	-0.014	—
		80	2.301	0.015	—
		90	2.280	-0.006	—
		100	2.262	-0.024	—
		110	2.276	-0.010	—
		120	2.276	-0.010	—
		130	2.272	-0.014	—
		140	2.278	-0.008	—
		150	2.257	-0.029	—
		160	2.266	-0.020	—
		170	2.284	-0.002	—
		180	2.267	-0.019	—
		190	2.295	0.009	—
		200	2.274	-0.012	—
		210	2.285	-0.001	—
		220	2.270	-0.016	—
		230	2.277	-0.009	—
		240	2.283	-0.003	—
		250	2.275	-0.011	—
		260	2.294	0.008	—
		270	2.265	-0.021	—
		280	2.275	-0.011	—
		290	2.284	-0.002	—
		300	2.263	-0.023	—
		310	2.266	-0.020	—
		320	2.303	0.017	—
		330	2.277	-0.009	—
		340	2.271	-0.015	—
		350	2.259	-0.027	—
		360	2.265	-0.021	—
		370	2.269	-0.017	—
		380	2.297	0.011	—
		390	2.274	-0.012	—
		400	2.293	0.007	—
		410	2.286	0.000	—
		420	2.304	0.018	—
		430	2.279	-0.007	—
		440	2.277	-0.009	—

		450	2.271	-0.015	—
		460	2.260	-0.026	—
		470	2.268	-0.018	—
		480	2.275	-0.011	—
		490	2.290	0.004	—
		500	2.281	-0.005	—
		510	2.290	0.004	—
		520	2.286	0.000	—
		530	2.282	-0.004	—
		540	2.277	-0.009	—
		550	2.269	-0.017	—
		560	2.285	-0.001	—
		570	2.286	0.000	—
		580	2.274	-0.012	—
		590	2.290	0.004	—
		600	2.283	-0.003	—
		-50	2.304		
		-40	2.305		
		-30	2.300		
		-20	2.310		
		-10	2.299		
		0	2.328	0.024	—
		10	2.316	0.012	—
		20	2.320	0.016	—
		30	2.302	-0.002	—
		40	2.315	0.011	—
		50	2.319	0.015	—
		60	2.326	0.022	—
		70	2.321	0.017	—
		80	2.305	0.001	—
		90	2.317	0.013	—
		100	2.313	0.009	—
		110	2.305	0.001	—
		120	2.314	0.010	—
		130	2.323	0.019	—
		140	2.327	0.023	—
		150	2.308	0.004	—
		160	2.322	0.018	—
		170	2.324	0.020	—
		180	2.312	0.008	—
		190	2.306	0.002	—
		200	2.317	0.013	—
		210	2.334	0.030	—
		220	2.307	0.003	—
		230	2.337	0.033	—
		240	2.318	0.014	—
		250	2.310	0.006	—
		260	2.318	0.014	—
		270	2.316	0.012	—
		280	2.315	0.011	—
		290	2.322	0.018	—
		300	2.309	0.005	—
		310	2.312	0.008	—
		320	2.330	0.026	—
		330	2.330	0.026	—
		340	2.311	0.007	—
		350	2.337	0.033	—
		360	2.324	0.020	—
		370	2.324	0.020	—
		380	2.304	0.000	—
		390	2.308	0.004	—
		400	2.310	0.006	—

GFET
#C39

		410	2.309	0.005	—
		420	2.332	0.028	—
		430	2.320	0.016	—
		440	2.318	0.014	—
		450	2.318	0.014	—
		460	2.316	0.012	—
		470	2.316	0.012	—
		480	2.326	0.022	—
		490	2.322	0.018	—
		500	2.338	0.034	—
		510	2.327	0.023	—
		520	2.322	0.018	—
		530	2.316	0.012	—
		540	2.324	0.020	—
		550	2.326	0.022	—
		560	2.326	0.022	—
		570	2.311	0.007	—
		580	2.335	0.031	—
		590	2.326	0.022	—
		600	2.337	0.033	—
		-50	2.258		
		-40	2.251		
		-30	2.253	2.259	—
		-20	2.273		
		-10	2.261		
		0	2.255	-0.004	—
		10	2.279	0.020	—
		20	2.258	-0.001	—
		30	2.277	0.018	—
		40	2.284	0.025	—
		50	2.253	-0.006	—
		60	2.249	-0.010	—
		70	2.272	0.013	—
		80	2.275	0.016	—
		90	2.260	0.001	—
		100	2.264	0.005	—
		110	2.257	-0.002	—
		120	2.264	0.005	—
		130	2.265	0.006	—
		140	2.272	0.013	—
		150	2.283	0.024	—
		160	2.274	0.015	—
		170	2.251	-0.008	—
		180	2.269	0.010	—
		190	2.272	0.013	—
		200	2.251	-0.008	—
		210	2.266	0.007	—
		220	2.277	0.018	—
		230	2.274	0.015	—
		240	2.271	0.012	—
		250	2.269	0.010	—
		260	2.258	-0.001	—
		270	2.272	0.013	—
		280	2.265	0.006	—
		290	2.266	0.007	—
		300	2.252	-0.007	—
		310	2.273	0.014	—
		320	2.252	-0.007	—
		330	2.271	0.012	—
		340	2.282	0.023	—
		350	2.261	0.002	—
		360	2.237	-0.022	—

GFET
#C40

25

		370	2.265	0.006	—
		380	2.259	0.000	—
		390	2.253	-0.006	—
		400	2.271	0.012	—
		410	2.263	0.004	—
		420	2.284	0.025	—
		430	2.270	0.011	—
		440	2.261	0.002	—
		450	2.278	0.019	—
		460	2.272	0.013	—
		470	2.261	0.002	—
		480	2.258	-0.001	—
		490	2.265	0.006	—
		500	2.270	0.011	—
		510	2.258	-0.001	—
		520	2.274	0.015	—
		530	2.263	0.004	—
		540	2.272	0.013	—
		550	2.261	0.002	—
		560	2.285	0.026	—
		570	2.273	0.014	—
		580	2.273	0.014	—
		590	2.267	0.008	—
		600	2.263	0.004	—
		-50	2.282		
		-40	2.257		
		-30	2.261		
		-20	2.288		
		-10	2.271		
		0	2.290	0.018	—
		10	2.281	0.009	—
		20	2.292	0.020	—
		30	2.266	-0.006	—
		40	2.265	-0.007	—
		50	2.288	0.016	—
		60	2.277	0.005	—
		70	2.257	-0.015	—
		80	2.273	0.001	—
		90	2.280	0.008	—
		100	2.263	-0.009	—
		110	2.279	0.007	—
		120	2.291	0.019	—
		130	2.252	-0.020	—
		140	2.283	0.011	—
		150	2.279	0.007	—
		160	2.254	-0.018	—
		170	2.274	0.002	—
		180	2.263	-0.009	—
		190	2.289	0.017	—
		200	2.271	-0.001	—
		210	2.287	0.015	—
		220	2.272	0.000	—
		230	2.278	0.006	—
		240	2.277	0.005	—
		250	2.267	-0.005	—
		260	2.279	0.007	—
		270	2.300	0.028	—
		280	2.282	0.010	—
		290	2.280	0.008	—
		300	2.270	-0.002	—
		310	2.284	0.012	—
		320	2.295	0.023	—

GFET
#C41

50

		330	2.285	0.013	—
		340	2.288	0.016	—
		350	2.263	-0.009	—
		360	2.281	0.009	—
		370	2.270	-0.002	—
		380	2.275	0.003	—
		390	2.284	0.012	—
		400	2.297	0.025	—
		410	2.270	-0.002	—
		420	2.306	0.034	—
		430	2.266	-0.006	—
		440	2.272	0.000	—
		450	2.293	0.021	—
		460	2.270	-0.002	—
		470	2.294	0.022	—
		480	2.274	0.002	—
		490	2.272	0.000	—
		500	2.290	0.018	—
		510	2.268	-0.004	—
		520	2.297	0.025	—
		530	2.272	0.000	—
		540	2.292	0.020	—
		550	2.284	0.012	—
		560	2.271	-0.001	—
		570	2.292	0.020	—
		580	2.282	0.010	—
		590	2.289	0.017	—
		600	2.285	0.013	—
		-50	2.266		
		-40	2.290		
		-30	2.284		
		-20	2.265		
		-10	2.277		
		0	2.265	-0.011	—
		10	2.297	0.021	—
		20	2.270	-0.006	—
		30	2.250	-0.026	—
		40	2.242	-0.034	—
		50	2.275	-0.001	—
		60	2.262	-0.014	—
		70	2.250	-0.026	—
		80	2.264	-0.012	—
		90	2.274	-0.002	—
		100	2.248	-0.028	—
		110	2.281	0.005	—
		120	2.274	-0.002	—
		130	2.264	-0.012	—
		140	2.259	-0.017	—
		150	2.274	-0.002	—
		160	2.283	0.007	—
		170	2.284	0.008	—
		180	2.264	-0.012	—
		190	2.283	0.007	—
		200	2.286	0.010	—
		210	2.263	-0.013	—
		220	2.279	0.003	—
		230	2.270	-0.006	—
		240	2.271	-0.005	—
		250	2.270	-0.006	—
		260	2.286	0.010	—
		270	2.266	-0.010	—
		280	2.288	0.012	—

	290	2.264	-0.012	—
	300	2.270	-0.006	—
	310	2.256	-0.020	—
	320	2.271	-0.005	—
	330	2.308	0.032	—
	340	2.283	0.007	—
	350	2.292	0.016	—
	360	2.278	0.002	—
	370	2.263	-0.013	—
	380	2.276	0.000	—
	390	2.286	0.010	—
	400	2.278	0.002	—
	410	2.278	0.002	—
	420	2.291	0.015	—
	430	2.269	-0.007	—
	440	2.265	-0.011	—
	450	2.246	-0.030	—
	460	2.267	-0.009	—
	470	2.285	0.009	—
	480	2.285	0.009	—
	490	2.291	0.015	—
	500	2.278	0.002	—
	510	2.268	-0.008	—
	520	2.279	0.003	—
	530	2.281	0.005	—
	540	2.268	-0.008	—
	550	2.271	-0.005	—
	560	2.270	-0.006	—
	570	2.301	0.025	—
	580	2.257	-0.019	—
	590	2.272	-0.004	—
	600	2.253	-0.023	—

7 Multiplexed immunosensing protocol (three biomarkers in PBS/serum)

To detect the concentrations of CEA, AFP and PTH in mixture samples, the kinetic processes corresponding to 64 mixture samples were measured. During each measurement, the GFET device was disposably used. The procedures of biochemical functionalization (including electrical measurement) are presented as follows. As shown in **Figure S5**, steps 1) and 2) are same to those in **Figure S2**. In particular, the electrical measurements are only carried out in step 6).

- 1) We first rinse the microfluidic channels with the PBS solution.
- 2) The conductive MBA-NHS linkers are immobilized on three gold top-gate pads.
- 3) By plugging the 2nd and 3rd outlets of the microfluidic channels, the CEA-antibody molecules are immobilized on the 1st pad (TG1) via the amino-coupling reaction. The excessive NHS-groups are deactivated by ethanolamine.
- 4) By plugging the 1st and 3rd outlets of the microfluidic channels, the AFP-antibody molecules are similarly immobilized on the 2nd pad (TG2).
- 5) By plugging the 1st and 2nd outlets of the microfluidic channels, the PTH-antibody molecules are similarly immobilized on the 3nd pad (TG3).
- 6) After rinsing the microfluidic channels with PBS, a mixture sample is syringed. Under the electrical conditions $V_{ds} = 100$ mV and $V_{gs} = 2$ V, a 650-s kinetic process (I_d vs t , -50 s $\leq t \leq 600$ s) is recorded.

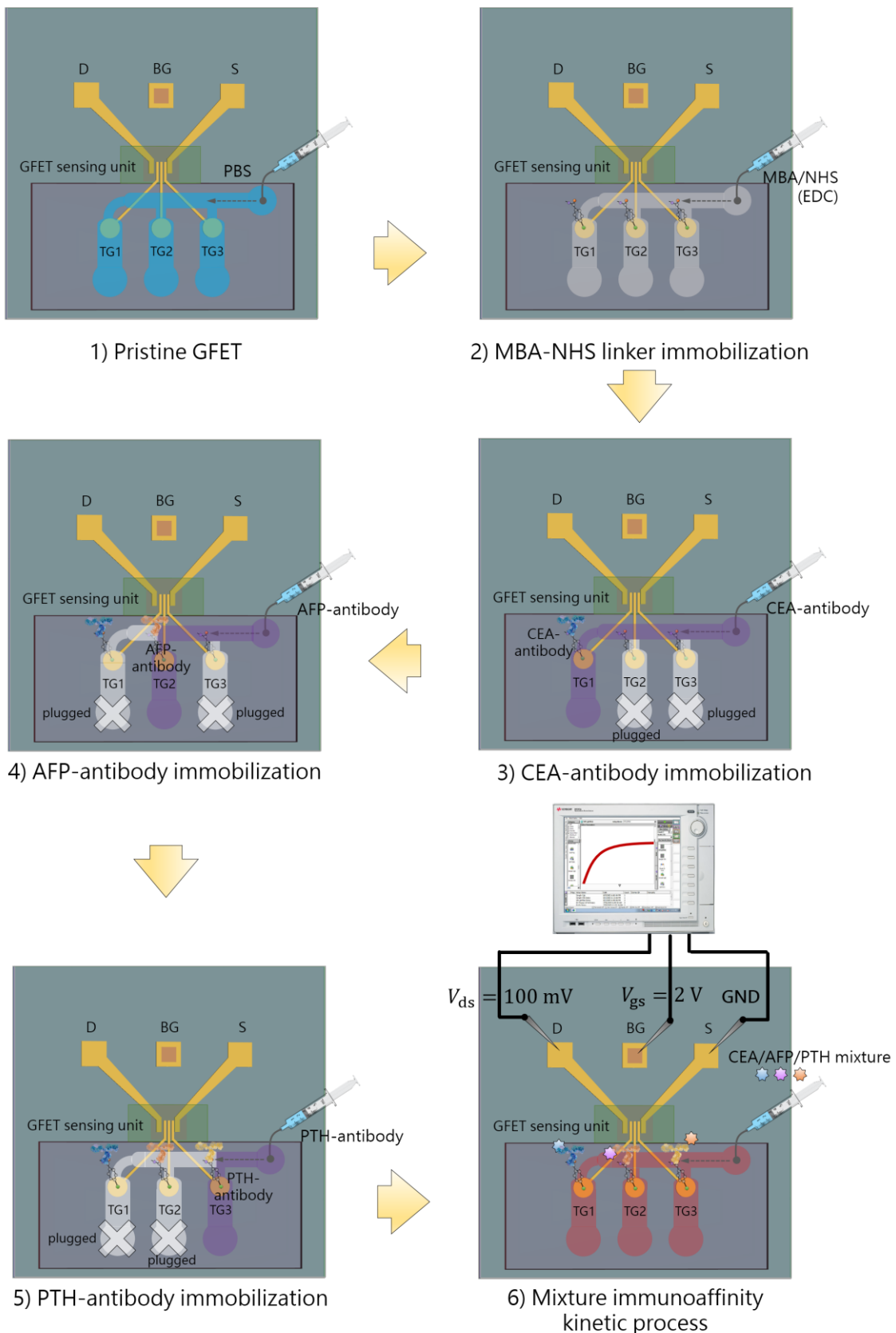


Figure S5. To measure a kinetic process of a mixture sample (CEA, AFP and PTH), the antibodies are immobilized on TG1, TG2 and TG3, respectively. Then, in step 6), a mixture sample is introduced, and the corresponding kinetic response curve (I_d vs t) is continuously recorded.

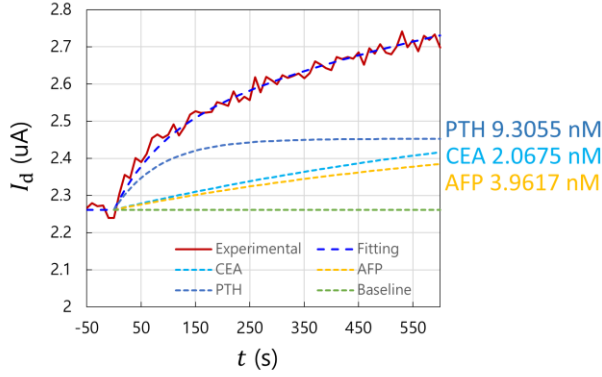
8 Dataset of multiplexed immunosensing (three biomarkers in PBS)

Following the experimental protocol in **Section 7**, the kinetic processes of 64 mixture samples (in PBS) were measured, respectively. In the measurement of each mixture sample, a GFET device was disposably used (#M1 – #M64).

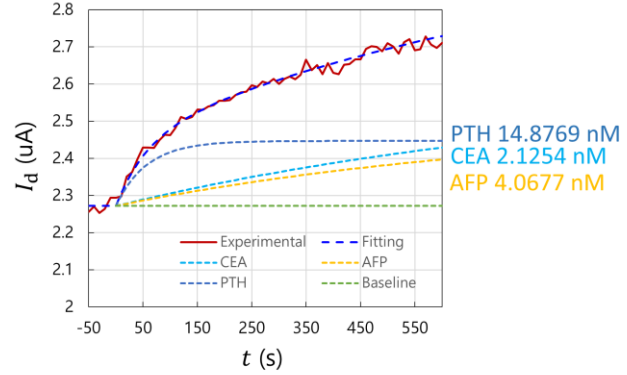
Corresponding to **Figure 4b** in the main text, the detailed experimental data and the numerical fitting results are presented in **Figure S6** and **Table S10**. Herein, the kinetic parameters estimated in **Section 5** $k_a^{(CEA)} = 357053.24 \text{ M}^{-1}\text{s}^{-1}$, $k_d^{(CEA)} = 0.0003055 \text{ s}^{-1}$, $k_a^{(AFP)} = 99465.16 \text{ M}^{-1}\text{s}^{-1}$, $k_d^{(AFP)} = 0.0008749 \text{ s}^{-1}$, $k_a^{(PTH)} = 1020100.24 \text{ M}^{-1}\text{s}^{-1}$ and $k_d^{(PTH)} = 0.0023879 \text{ s}^{-1}$, were utilized as known conditions. Based on the fitting function Eq. (2) in the main text⁶, the concentrations of CEA, AFP and PTH in each mixture sample were retrieved as $\tilde{c}^{(CEA)}$, $\tilde{c}^{(AFP)}$ and $\tilde{c}^{(PTH)}$, for the comparison with their true values $c^{(CEA)}$, $c^{(AFP)}$ and $c^{(PTH)}$.

GFET #M1

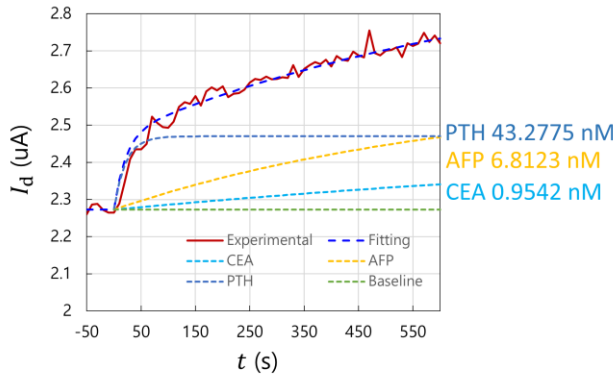
CEA 2 nM; AFP 5 nM; PTH 2 nM

**GFET #M2**

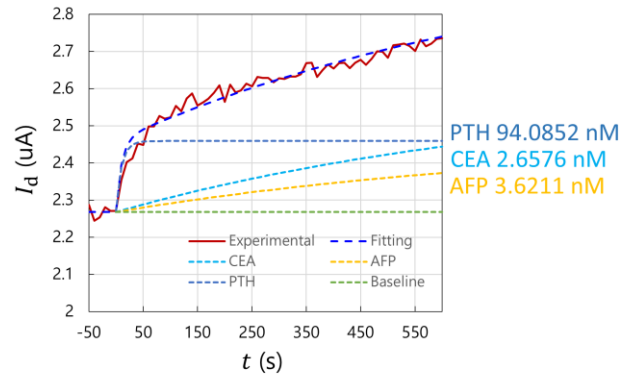
CEA 2 nM; AFP 5 nM; PTH 5 nM

**GFET #M3**

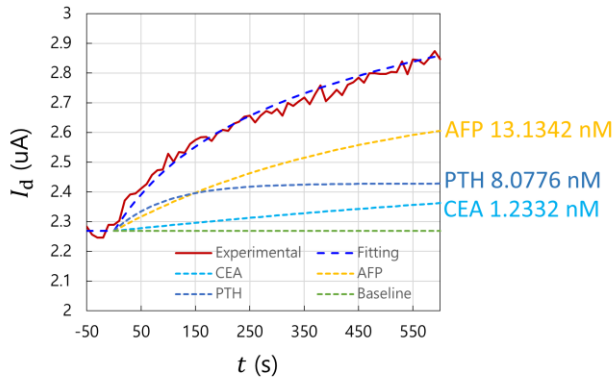
CEA 2 nM; AFP 5 nM; PTH 20 nM

**GFET #M4**

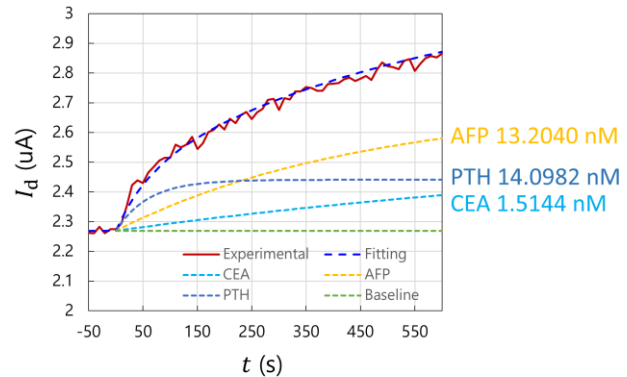
CEA 2 nM; AFP 5 nM; PTH 50 nM

**GFET #M5**

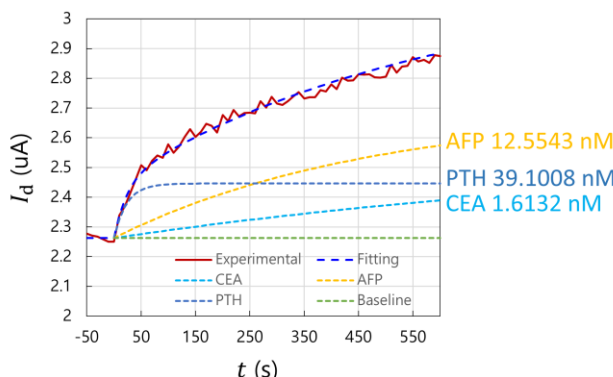
CEA 2 nM; AFP 20 nM; PTH 2 nM

**GFET #M6**

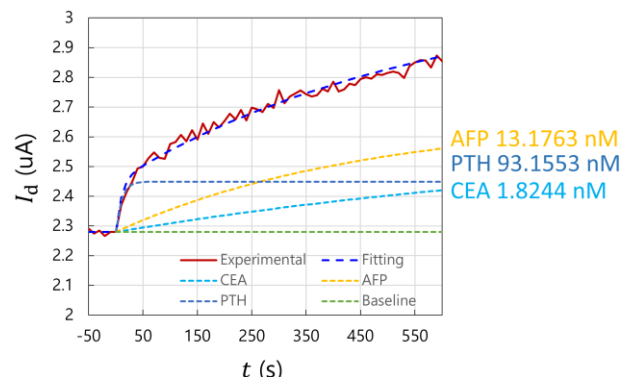
CEA 2 nM; AFP 20 nM; PTH 5 nM

**GFET #M7**

CEA 2 nM; AFP 20 nM; PTH 20 nM

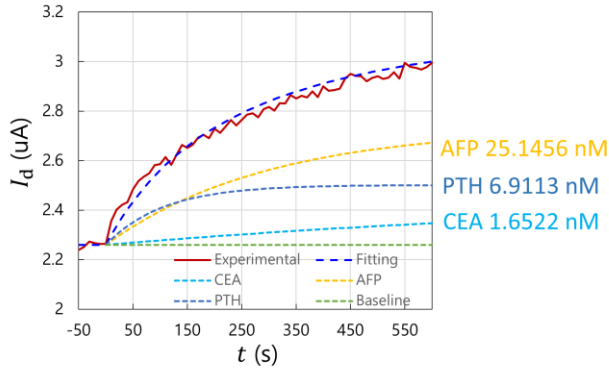
**GFET #M8**

CEA 2 nM; AFP 20 nM; PTH 50 nM

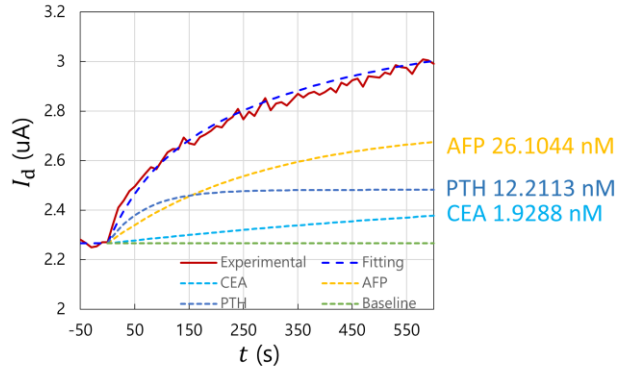


GFET #M9

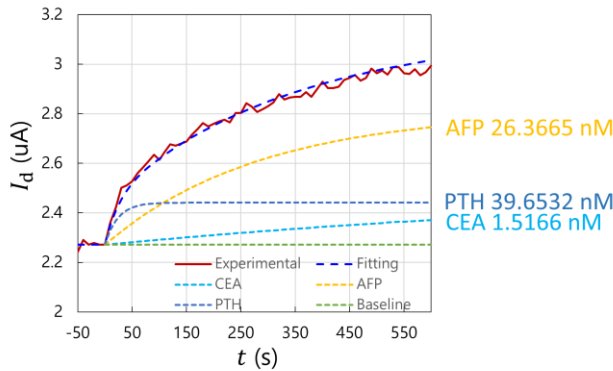
CEA 2 nM; AFP 50 nM; PTH 2 nM

**GFET #M10**

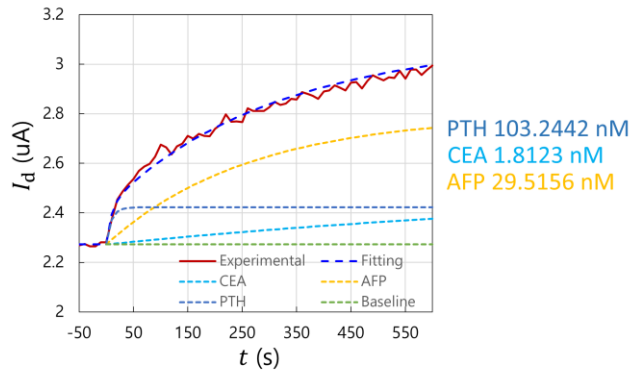
CEA 2 nM; AFP 50 nM; PTH 5 nM

**GFET #M11**

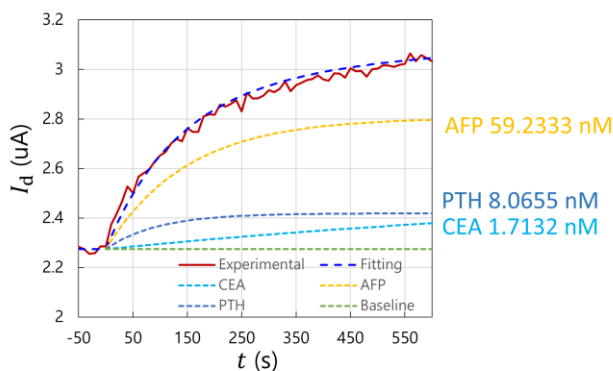
CEA 2 nM; AFP 50 nM; PTH 20 nM

**GFET #M12**

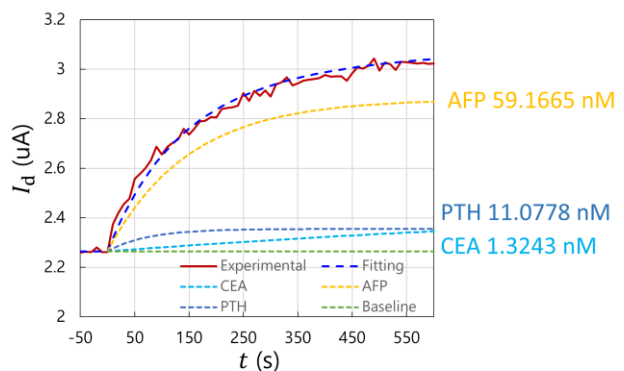
CEA 2 nM; AFP 50 nM; PTH 50 nM

**GFET #M13**

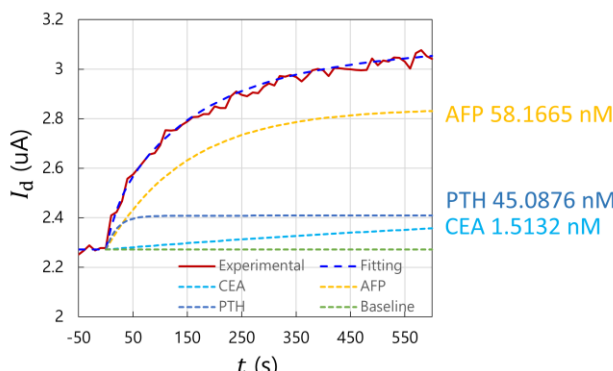
CEA 2 nM; AFP 100 nM; PTH 2 nM

**GFET #M14**

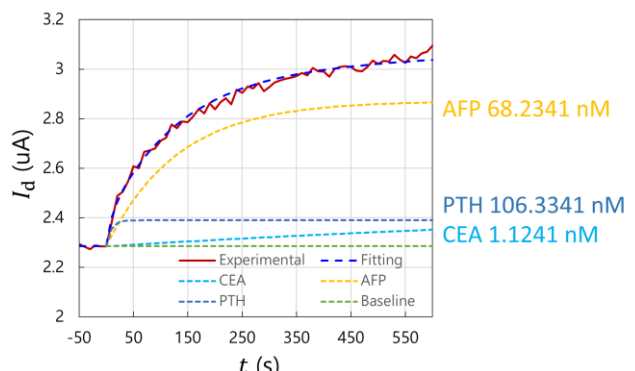
CEA 2 nM; AFP 100 nM; PTH 5 nM

**GFET #M15**

CEA 2 nM; AFP 100 nM; PTH 20 nM

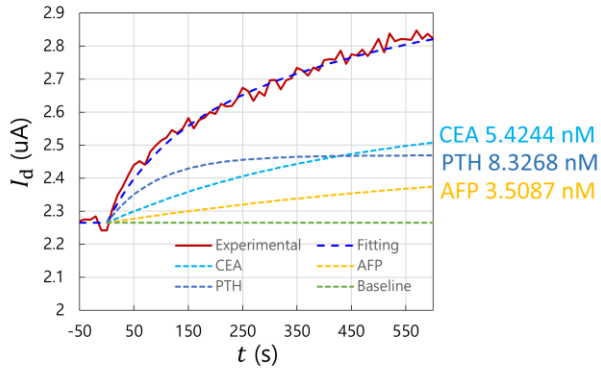
**GFET #M16**

CEA 2 nM; AFP 100 nM; PTH 50 nM

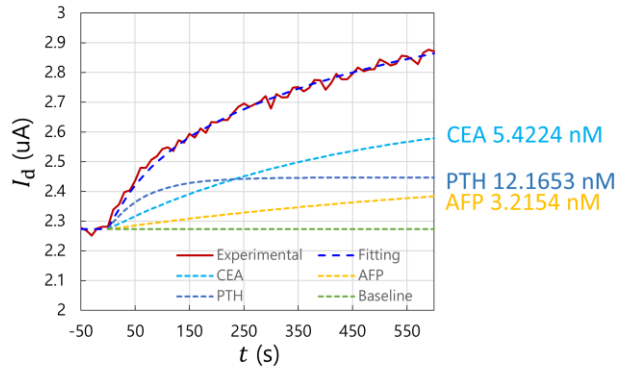


GFET #M17

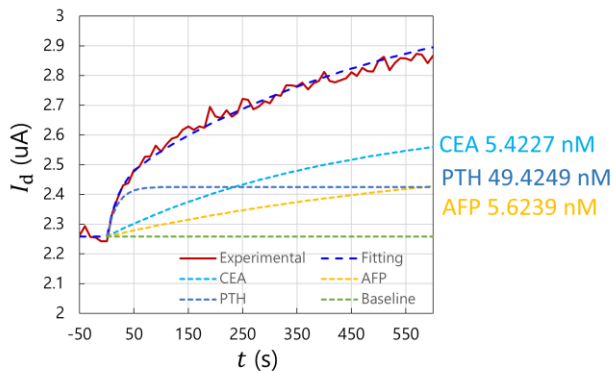
CEA 5 nM; AFP 5 nM; PTH 2 nM

**GFET #M18**

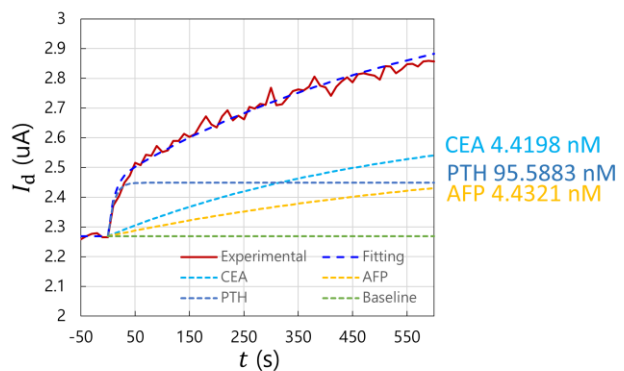
CEA 5 nM; AFP 5 nM; PTH 5 nM

**GFET #M19**

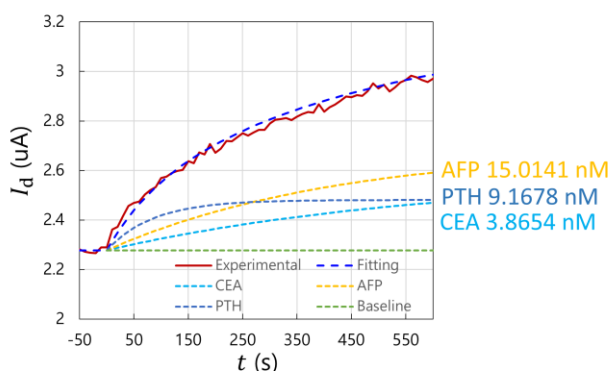
CEA 5 nM; AFP 5 nM; PTH 20 nM

**GFET #M20**

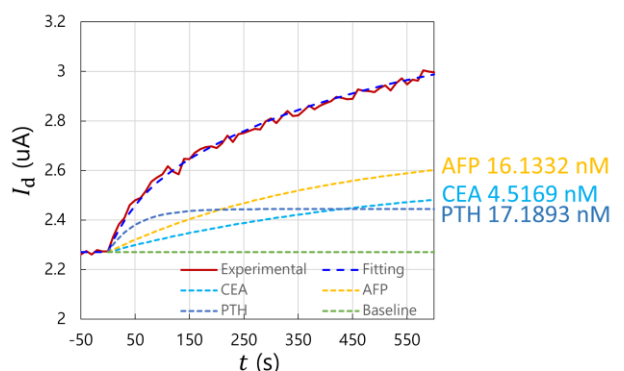
CEA 5 nM; AFP 5 nM; PTH 50 nM

**GFET #M21**

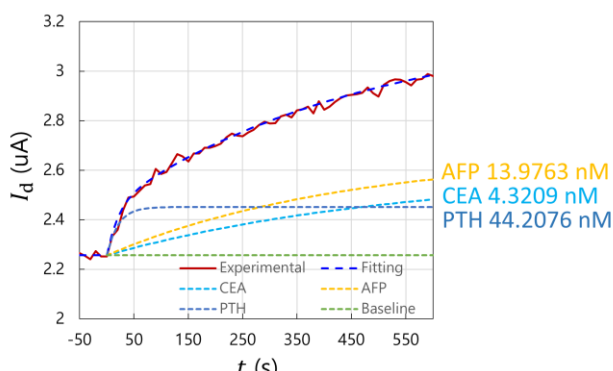
CEA 5 nM; AFP 20 nM; PTH 2 nM

**GFET #M22**

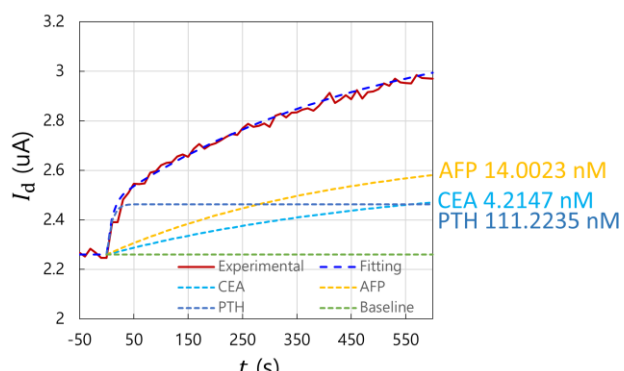
CEA 5 nM; AFP 20 nM; PTH 5 nM

**GFET #M23**

CEA 5 nM; AFP 20 nM; PTH 20 nM

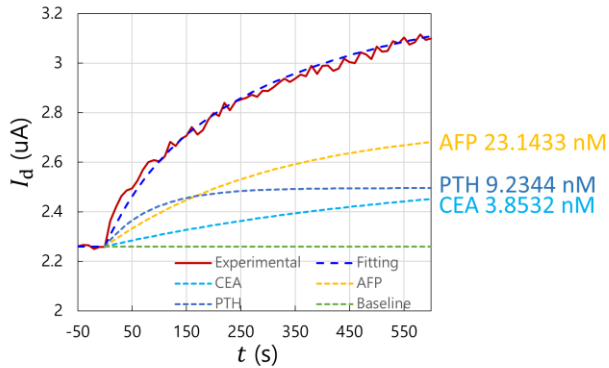
**GFET #M24**

CEA 5 nM; AFP 20 nM; PTH 50 nM

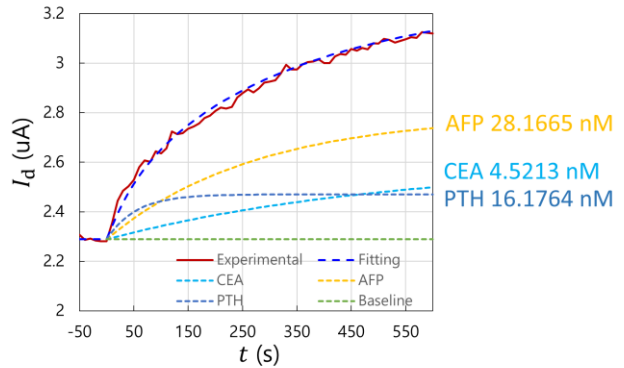


GFET #M25

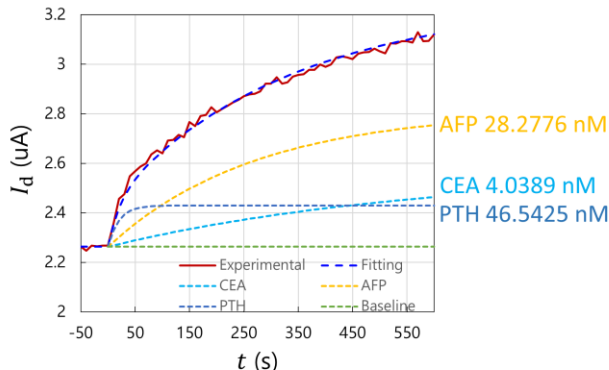
CEA 5 nM; AFP 50 nM; PTH 2 nM

**GFET #M26**

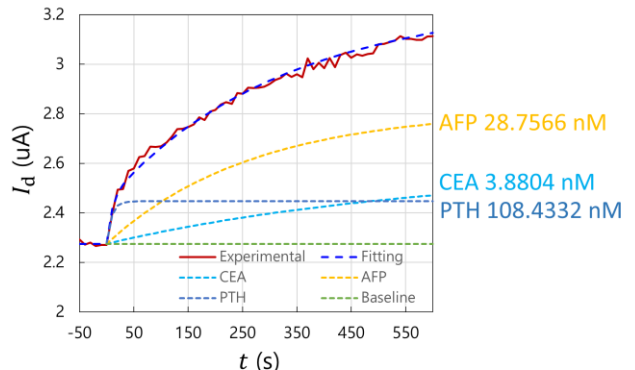
CEA 5 nM; AFP 50 nM; PTH 5 nM

**GFET #M27**

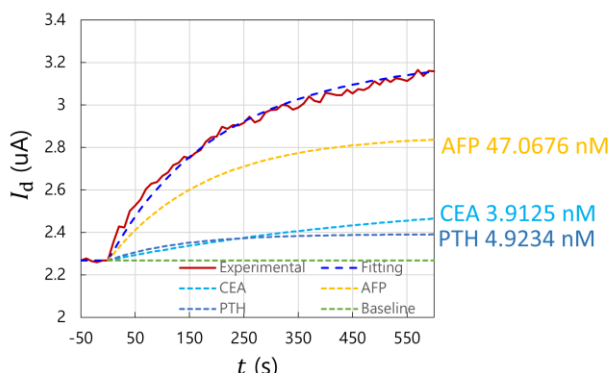
CEA 5 nM; AFP 50 nM; PTH 20 nM

**GFET #M28**

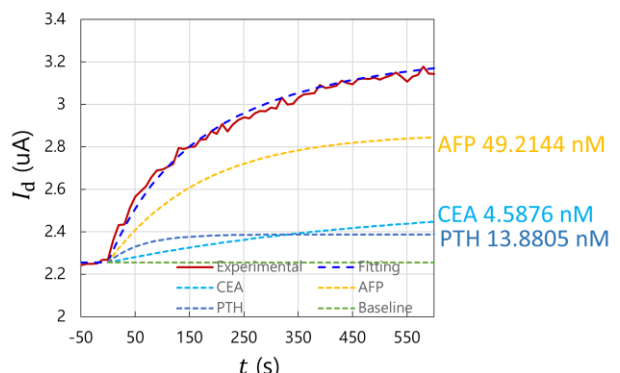
CEA 5 nM; AFP 50 nM; PTH 50 nM

**GFET #M29**

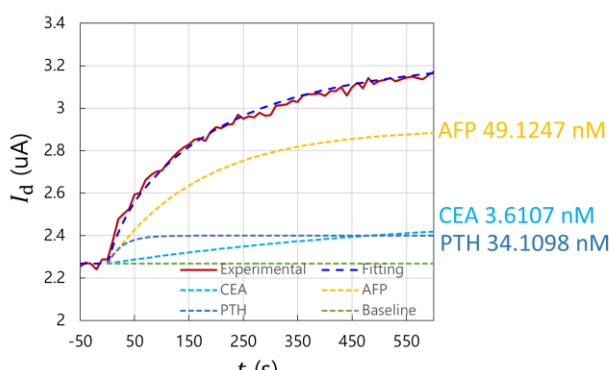
CEA 5 nM; AFP 100 nM; PTH 2 nM

**GFET #M30**

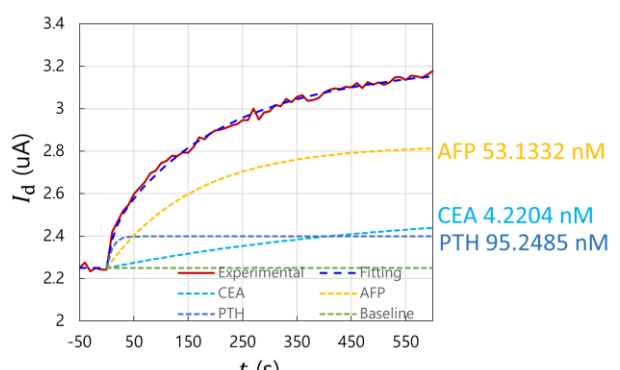
CEA 5 nM; AFP 100 nM; PTH 5 nM

**GFET #M31**

CEA 5 nM; AFP 100 nM; PTH 20 nM

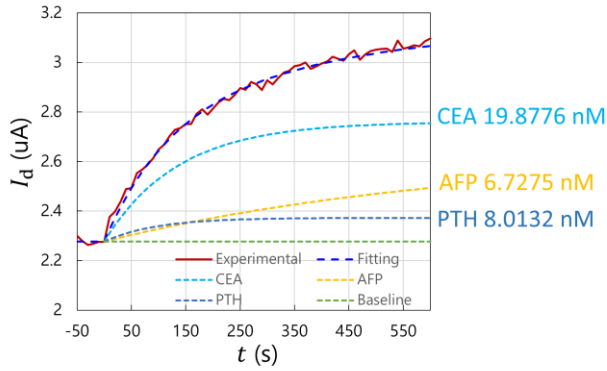
**GFET #M32**

CEA 5 nM; AFP 100 nM; PTH 50 nM

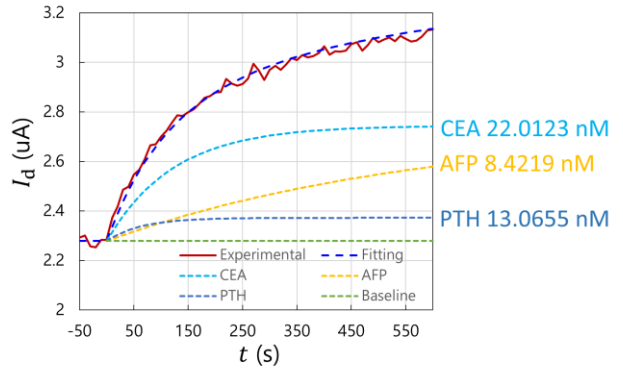


GFET #M33

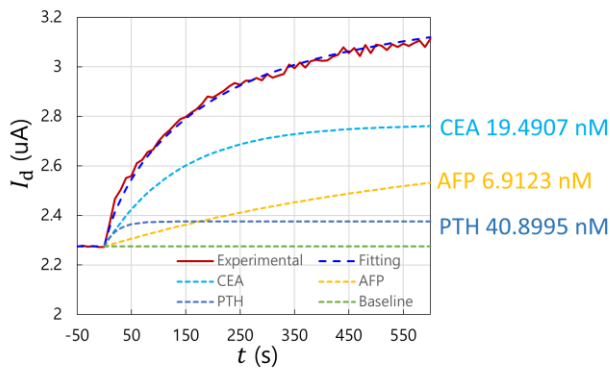
CEA 20 nM; AFP 5 nM; PTH 2 nM

**GFET #M34**

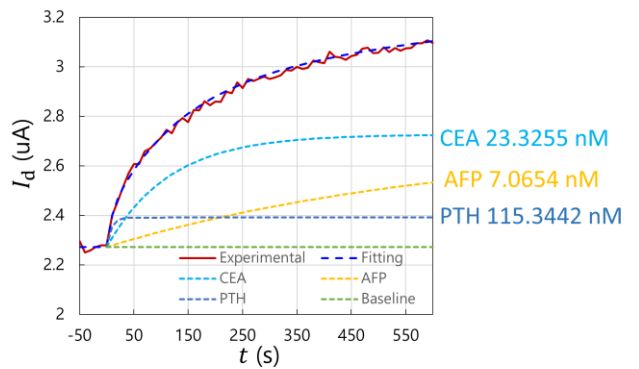
CEA 20 nM; AFP 5 nM; PTH 5 nM

**GFET #M35**

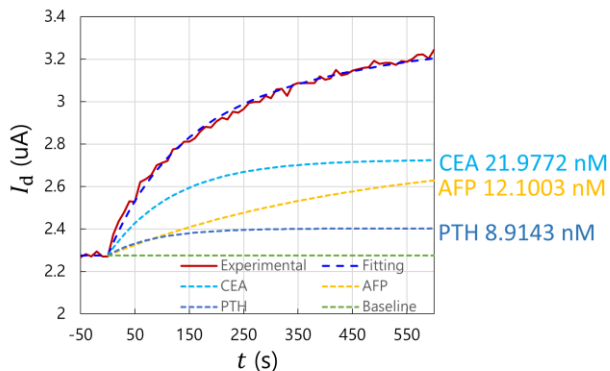
CEA 20 nM; AFP 5 nM; PTH 20 nM

**GFET #M36**

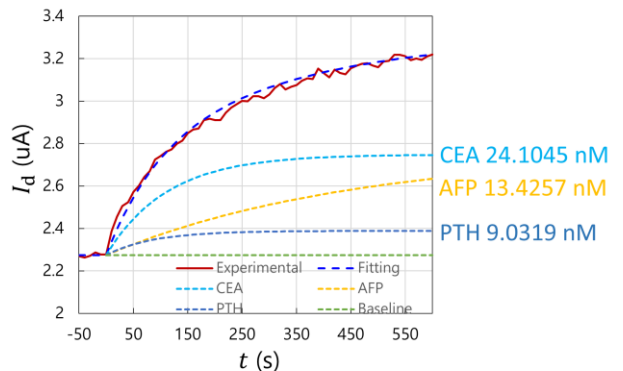
CEA 20 nM; AFP 5 nM; PTH 50 nM

**GFET #M37**

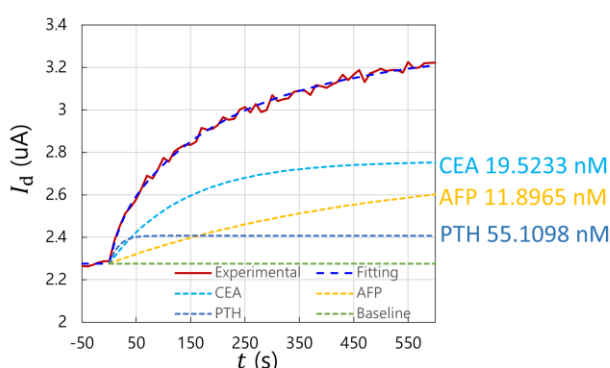
CEA 20 nM; AFP 20 nM; PTH 2 nM

**GFET #M38**

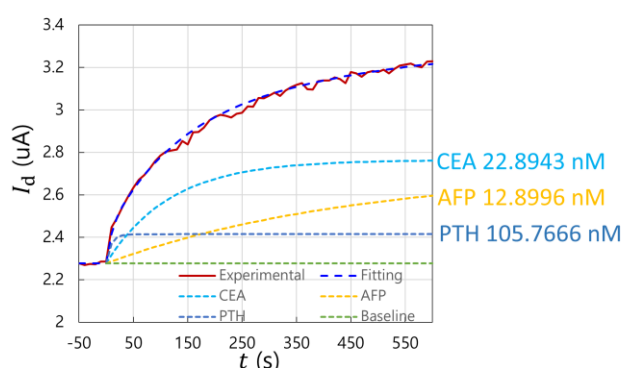
CEA 20 nM; AFP 20 nM; PTH 5 nM

**GFET #M39**

CEA 20 nM; AFP 20 nM; PTH 20 nM

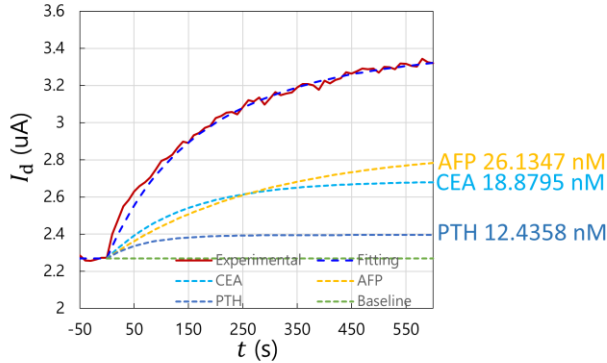
**GFET #M40**

CEA 20 nM; AFP 20 nM; PTH 50 nM

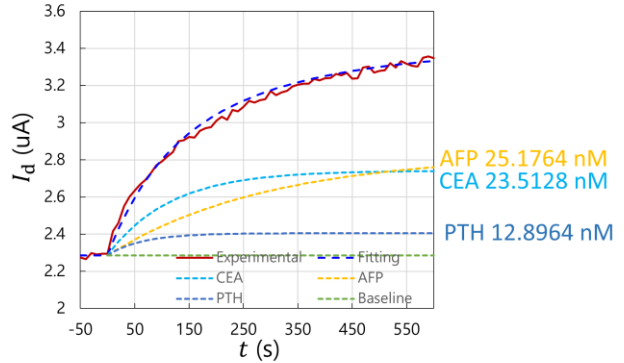


GFET #M41

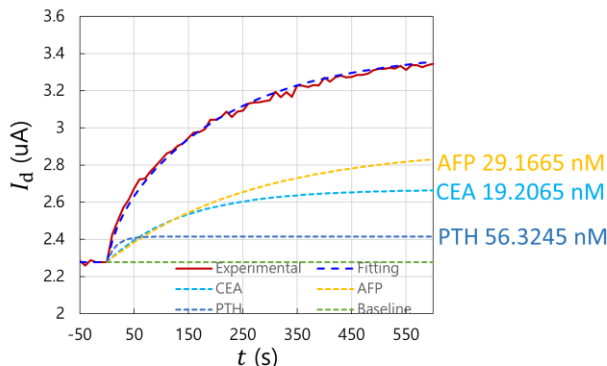
CEA 20 nM; AFP 50 nM; PTH 2 nM

**GFET #M42**

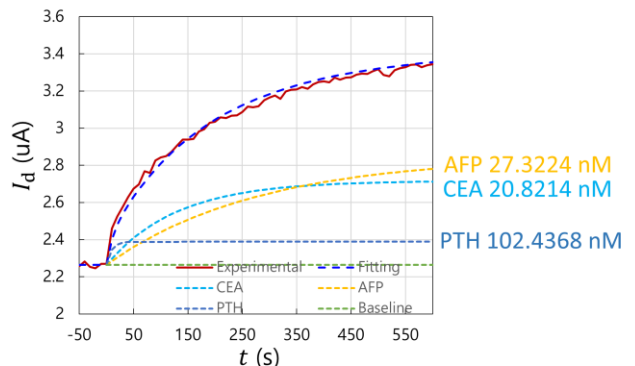
CEA 20 nM; AFP 50 nM; PTH 5 nM

**GFET #M43**

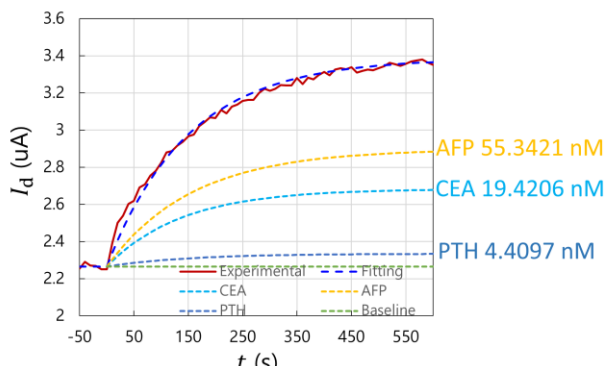
CEA 20 nM; AFP 50 nM; PTH 20 nM

**GFET #M44**

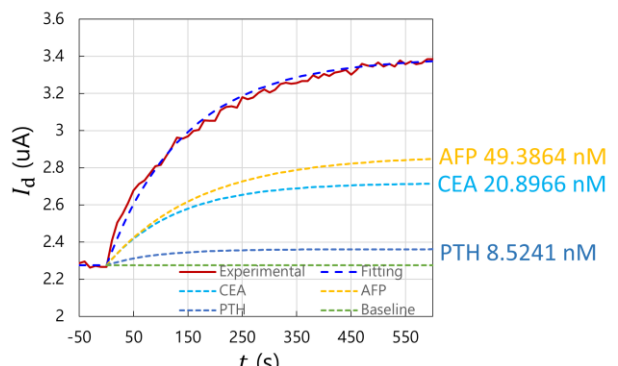
CEA 20 nM; AFP 50 nM; PTH 50 nM

**GFET #M45**

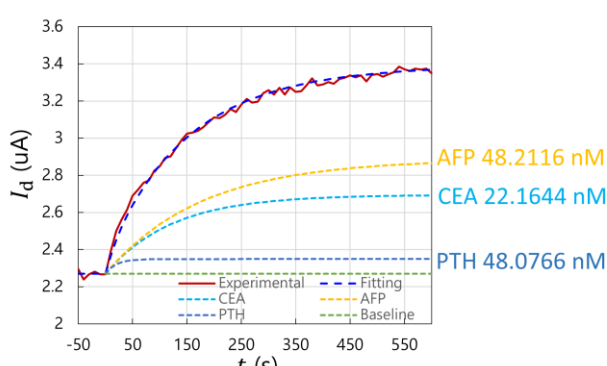
CEA 20 nM; AFP 100 nM; PTH 2 nM

**GFET #M46**

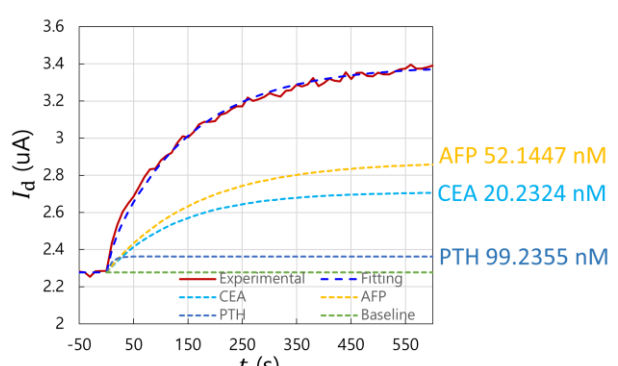
CEA 20 nM; AFP 100 nM; PTH 5 nM

**GFET #M47**

CEA 20 nM; AFP 100 nM; PTH 20 nM

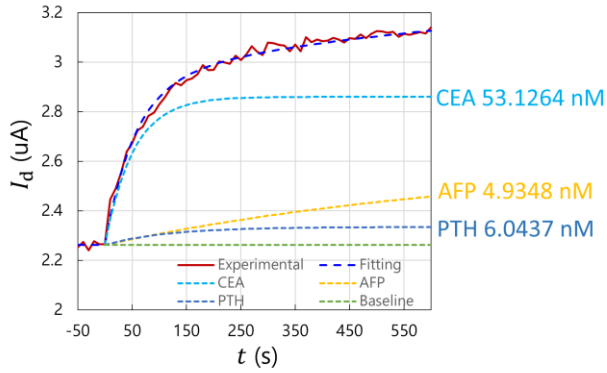
**GFET #M48**

CEA 20 nM; AFP 100 nM; PTH 50 nM

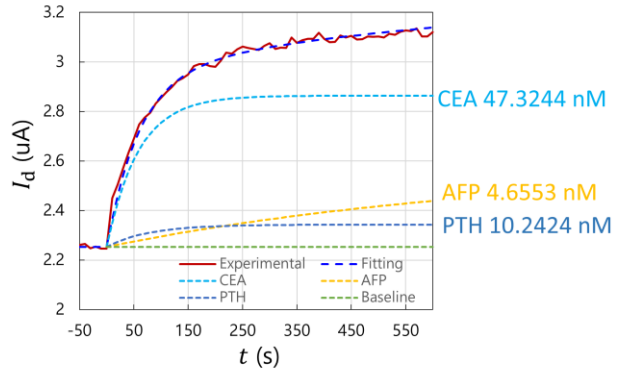


GFET #M49

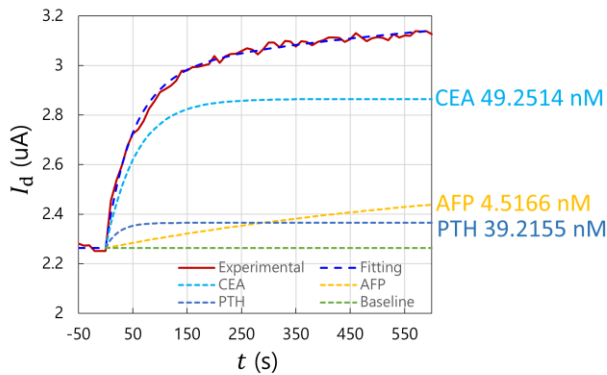
CEA 50 nM; AFP 5 nM; PTH 2 nM

**GFET #M50**

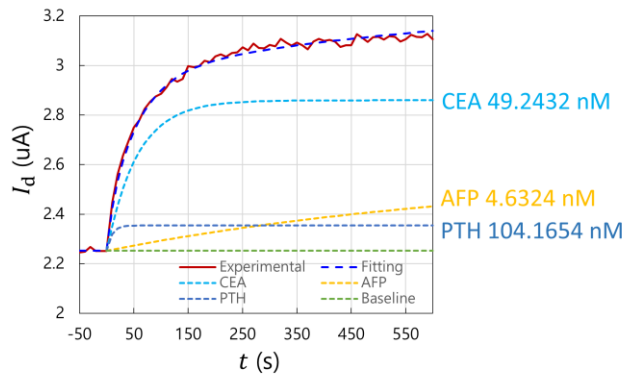
CEA 50 nM; AFP 5 nM; PTH 5 nM

**GFET #M51**

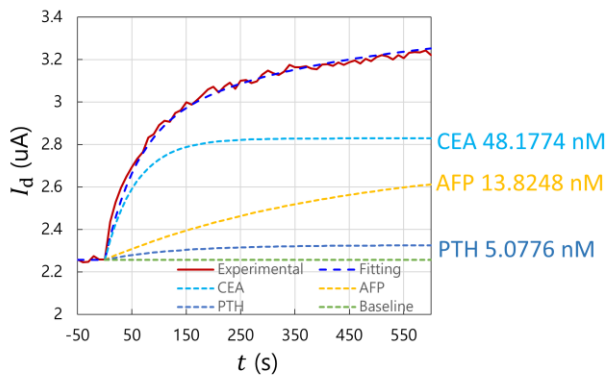
CEA 50 nM; AFP 5 nM; PTH 20 nM

**GFET #M52**

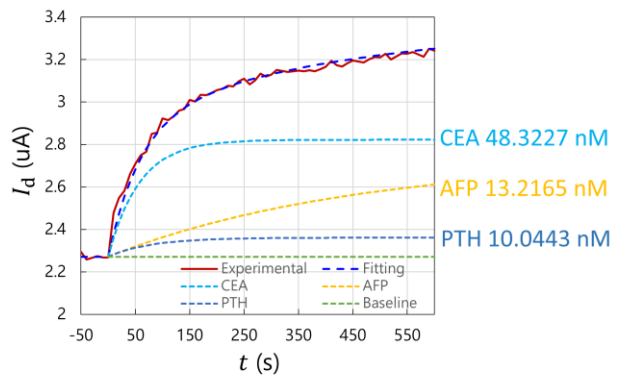
CEA 50 nM; AFP 5 nM; PTH 50 nM

**GFET #M53**

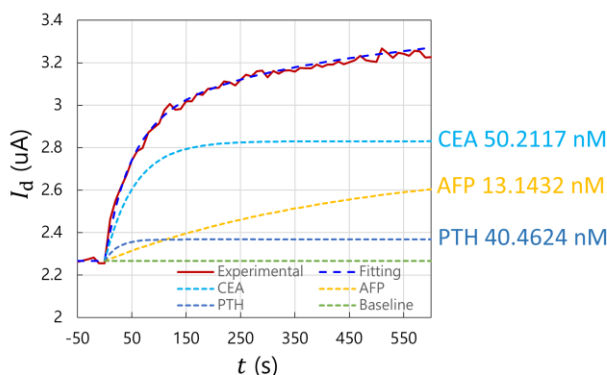
CEA 50 nM; AFP 20 nM; PTH 2 nM

**GFET #M54**

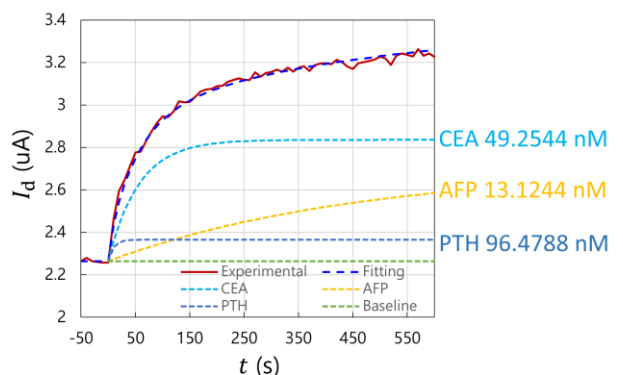
CEA 50 nM; AFP 20 nM; PTH 5 nM

**GFET #M55**

CEA 50 nM; AFP 20 nM; PTH 20 nM

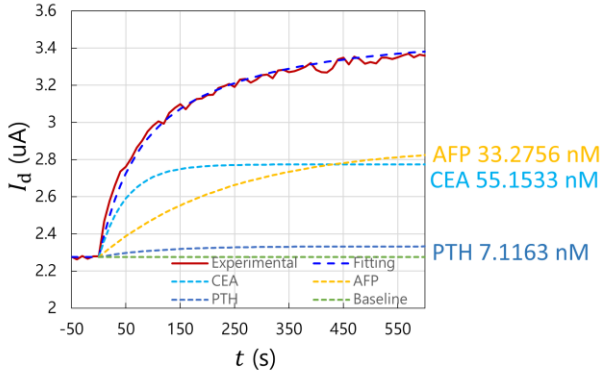
**GFET #M56**

CEA 50 nM; AFP 20 nM; PTH 50 nM

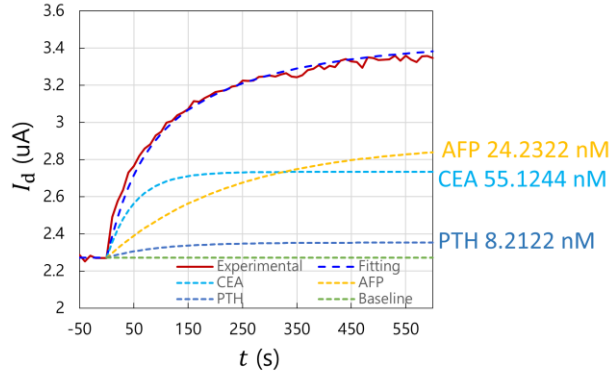


GFET #M57

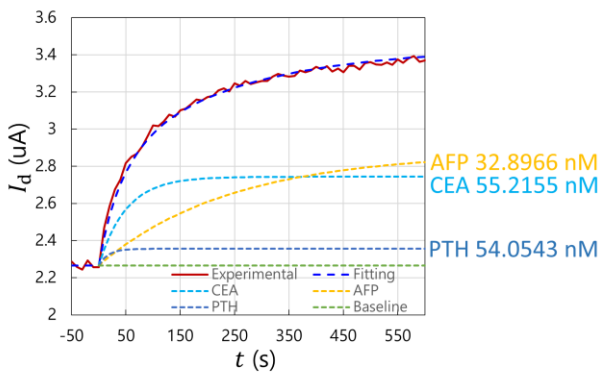
CEA 50 nM; AFP 50 nM; PTH 2 nM

**GFET #M58**

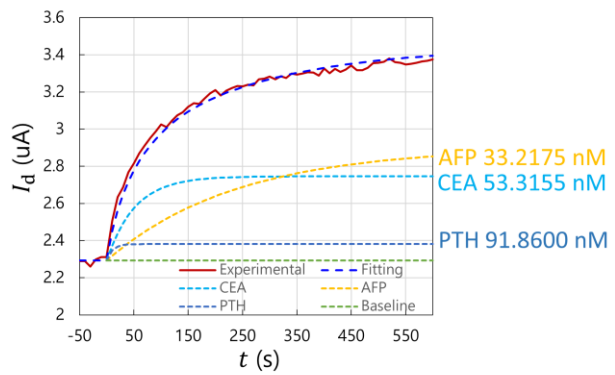
CEA 50 nM; AFP 50 nM; PTH 5 nM

**GFET #M59**

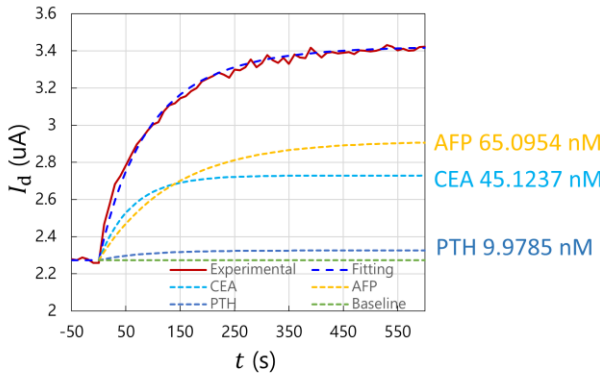
CEA 50 nM; AFP 50 nM; PTH 20 nM

**GFET #M60**

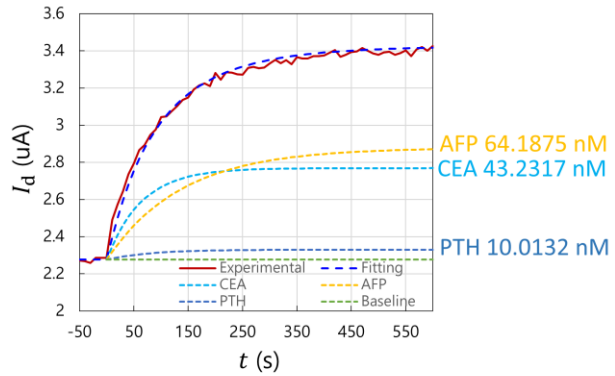
CEA 50 nM; AFP 50 nM; PTH 50 nM

**GFET #M61**

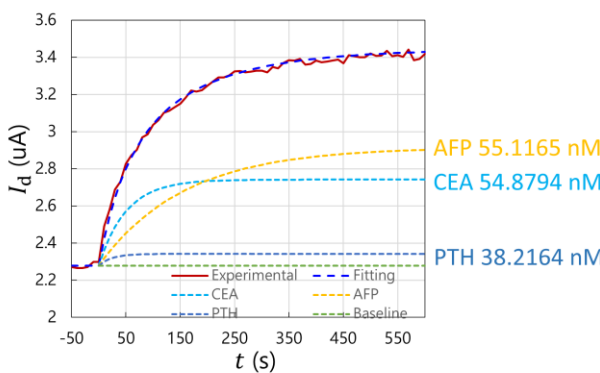
CEA 50 nM; AFP 100 nM; PTH 2 nM

**GFET #M62**

CEA 50 nM; AFP 100 nM; PTH 5 nM

**GFET #M63**

CEA 50 nM; AFP 100 nM; PTH 20 nM

**GFET #M64**

CEA 50 nM; AFP 100 nM; PTH 50 nM

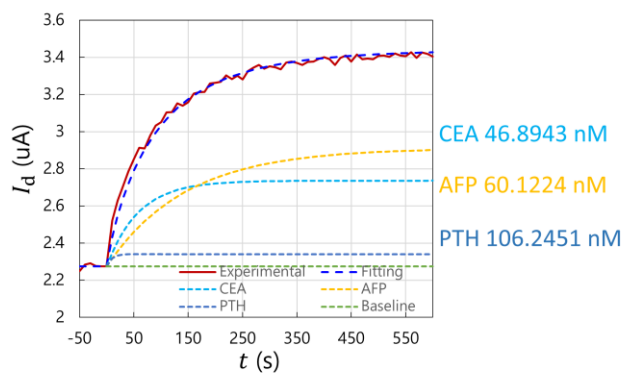
**Figure S6.** Kinetic processes of 64 mixture samples in PBS.

Table S10. Kinetic processes of 64 mixture samples and numerical fitting results corresponding to **Figure S6**. The estimated kinetic parameters $k_a^{(CEA)} = 357053.24 \text{ M}^{-1}\text{s}^{-1}$, $k_d^{(CEA)} = 0.0003055 \text{ s}^{-1}$, $k_a^{(AFP)} = 99465.16 \text{ M}^{-1}\text{s}^{-1}$, $k_d^{(AFP)} = 0.0008749 \text{ s}^{-1}$, $k_a^{(PTH)} = 1020100.24 \text{ M}^{-1}\text{s}^{-1}$ and $k_d^{(PTH)} = 0.0023879 \text{ s}^{-1}$ are used as known conditions to estimate the component concentrations $\tilde{c}^{(CEA)}$, $\tilde{c}^{(AFP)}$ and $\tilde{c}^{(PTH)}$.

Device number	Mixture components	Time, t (s)	Exp. Results, I_d (μA)	Fitting results				
				\tilde{I}_d (μA)	Component contributions			
					DC baseline (μA)	CEA (μA)	AFP (μA)	PTH (μA)
GFET #M1	$c^{(CEA)} = 2 \text{ nM}$	-50	2.266	2.262	—	—	—	—
		-40	2.280	2.262				
		-30	2.272	2.262				
		-20	2.273	2.262				
		-10	2.240	2.262				
		0	2.240	2.262		0.000	0.000	0.000
		10	2.304	2.289		0.003	0.003	0.021
		20	2.356	2.315		0.007	0.006	0.040
		30	2.347	2.338		0.010	0.009	0.057
		40	2.401	2.359		0.014	0.011	0.072
		50	2.390	2.378		0.017	0.014	0.086
		60	2.412	2.396		0.020	0.017	0.097
		70	2.454	2.413		0.023	0.020	0.108
		80	2.465	2.428		0.027	0.022	0.117
		90	2.455	2.442		0.030	0.025	0.126
		100	2.463	2.455		0.033	0.028	0.133
		110	2.492	2.467		0.036	0.030	0.139
		120	2.462	2.479		0.039	0.033	0.145
		130	2.486	2.489		0.042	0.035	0.150
		140	2.518	2.499		0.045	0.038	0.155
		150	2.527	2.509		0.048	0.040	0.159
		160	2.522	2.518		0.051	0.042	0.163
		170	2.523	2.526		0.054	0.045	0.166
		180	2.525	2.535		0.057	0.047	0.169
	$c^{(AFP)} = 5 \text{ nM}$	190	2.551	2.542		0.060	0.050	0.171
		200	2.547	2.550		0.063	0.052	0.173
		210	2.541	2.557		0.066	0.054	0.175
		220	2.580	2.563		0.068	0.056	0.177
		230	2.552	2.570		0.071	0.058	0.179
		240	2.566	2.576		0.074	0.061	0.180
		250	2.557	2.582		0.077	0.063	0.181
		260	2.618	2.588		0.079	0.065	0.182
		270	2.578	2.594		0.082	0.067	0.183
		280	2.620	2.599		0.085	0.069	0.184
		290	2.610	2.605		0.087	0.071	0.185
		300	2.599	2.610		0.090	0.073	0.186
		310	2.624	2.615		0.092	0.075	0.186
		320	2.617	2.620		0.095	0.077	0.187
		330	2.622	2.625		0.097	0.079	0.187
	$c^{(PTH)} = 2 \text{ nM}$	340	2.629	2.630		0.100	0.081	0.188
		350	2.615	2.635		0.102	0.083	0.188
		360	2.629	2.639		0.104	0.085	0.188
		370	2.661	2.644		0.107	0.087	0.189
		380	2.653	2.648		0.109	0.088	0.189
		390	2.643	2.653		0.112	0.090	0.189
		400	2.637	2.657		0.114	0.092	0.189
		410	2.673	2.661		0.116	0.094	0.190
		420	2.667	2.665		0.118	0.095	0.190
		430	2.673	2.669		0.121	0.097	0.190
		440	2.669	2.673		0.123	0.099	0.190

		450	2.685	2.677	2.262	0.125	0.101	0.190	
		460	2.652	2.681	2.262	0.127	0.102	0.190	
		470	2.696	2.685	2.262	0.129	0.104	0.190	
		480	2.682	2.689	2.262	0.131	0.105	0.191	
		490	2.707	2.693	2.262	0.134	0.107	0.191	
		500	2.684	2.696	2.262	0.136	0.109	0.191	
		510	2.680	2.700	2.262	0.138	0.110	0.191	
		520	2.701	2.704	2.262	0.140	0.112	0.191	
		530	2.742	2.707	2.262	0.142	0.113	0.191	
		540	2.699	2.711	2.262	0.144	0.115	0.191	
		550	2.718	2.714	2.262	0.146	0.116	0.191	
		560	2.688	2.718	2.262	0.148	0.118	0.191	
		570	2.730	2.721	2.262	0.150	0.119	0.191	
		580	2.719	2.724	2.262	0.151	0.120	0.191	
		590	2.733	2.728	2.262	0.153	0.122	0.191	
		600	2.698	2.731	2.262	0.155	0.123	0.191	
		-50	2.256	2.272	-	-	-	-	
		-40	2.270	2.272					
		-30	2.254	2.272					
		-20	2.264	2.272					
		-10	2.294	2.272					
		0	2.294	2.272					
		10	2.298	2.307					
		20	2.351	2.337					
		30	2.363	2.363					
		40	2.398	2.386					
GFET #M2	$c^{(CEA)} = 2$ nM	50	2.429	2.406	2.272	0.017	0.014	0.102	$\tilde{c}^{(CEA)} \approx 2.1254 \text{ nM}$
		60	2.429	2.424	2.272	0.021	0.017	0.114	
		70	2.428	2.440	2.272	0.024	0.020	0.124	
		80	2.449	2.454	2.272	0.027	0.023	0.132	
		90	2.464	2.467	2.272	0.030	0.025	0.139	
		100	2.463	2.478	2.272	0.034	0.028	0.145	
	$c^{(AFP)} = 5$ nM	110	2.482	2.489	2.272	0.037	0.031	0.150	$\tilde{c}^{(AFP)} \approx 4.0677 \text{ nM}$
		120	2.511	2.499	2.272	0.040	0.033	0.154	
		130	2.506	2.508	2.272	0.043	0.036	0.157	
		140	2.512	2.516	2.272	0.046	0.038	0.160	
		150	2.531	2.524	2.272	0.049	0.041	0.162	
		160	2.531	2.532	2.272	0.052	0.043	0.164	
		170	2.539	2.539	2.272	0.055	0.046	0.166	
		180	2.543	2.546	2.272	0.058	0.048	0.168	
		190	2.555	2.552	2.272	0.061	0.050	0.169	
		200	2.555	2.558	2.272	0.064	0.053	0.170	
	$c^{(PTH)} = 5$ nM	210	2.557	2.564	2.272	0.067	0.055	0.171	$\tilde{c}^{(PTH)} \approx 14.8769 \text{ nM}$
		220	2.571	2.570	2.272	0.070	0.057	0.171	
		230	2.578	2.576	2.272	0.072	0.060	0.172	
		240	2.579	2.581	2.272	0.075	0.062	0.172	
		250	2.597	2.586	2.272	0.078	0.064	0.173	
		260	2.593	2.592	2.272	0.081	0.066	0.173	
		270	2.607	2.597	2.272	0.083	0.068	0.173	
		280	2.603	2.602	2.272	0.086	0.070	0.174	

		290	2.614	2.607	2.272	0.089	0.072	0.174	
		300	2.601	2.612	2.272	0.091	0.074	0.174	
		310	2.614	2.616	2.272	0.094	0.076	0.174	
		320	2.620	2.621	2.272	0.096	0.078	0.174	
		330	2.613	2.625	2.272	0.099	0.080	0.174	
		340	2.625	2.630	2.272	0.101	0.082	0.174	
		350	2.666	2.634	2.272	0.104	0.084	0.175	
		360	2.638	2.639	2.272	0.106	0.086	0.175	
		370	2.651	2.643	2.272	0.109	0.088	0.175	
		380	2.627	2.647	2.272	0.111	0.090	0.175	
		390	2.657	2.652	2.272	0.113	0.092	0.175	
		400	2.630	2.656	2.272	0.116	0.094	0.175	
		410	2.626	2.660	2.272	0.118	0.095	0.175	
		420	2.652	2.664	2.272	0.120	0.097	0.175	
		430	2.654	2.668	2.272	0.122	0.099	0.175	
		440	2.666	2.672	2.272	0.125	0.100	0.175	
		450	2.666	2.676	2.272	0.127	0.102	0.175	
		460	2.694	2.680	2.272	0.129	0.104	0.175	
		470	2.702	2.684	2.272	0.131	0.106	0.175	
		480	2.700	2.687	2.272	0.133	0.107	0.175	
		490	2.688	2.691	2.272	0.135	0.109	0.175	
		500	2.710	2.695	2.272	0.138	0.110	0.175	
		510	2.701	2.698	2.272	0.140	0.112	0.175	
		520	2.681	2.702	2.272	0.142	0.113	0.175	
		530	2.712	2.706	2.272	0.144	0.115	0.175	
		540	2.720	2.709	2.272	0.146	0.116	0.175	
		550	2.691	2.713	2.272	0.148	0.118	0.175	
		560	2.693	2.716	2.272	0.150	0.119	0.175	
		570	2.728	2.719	2.272	0.152	0.121	0.175	
		580	2.706	2.723	2.272	0.154	0.122	0.175	
		590	2.697	2.726	2.272	0.155	0.124	0.175	
		600	2.711	2.729	2.272	0.157	0.125	0.175	
GFET #M3	$c^{(CEA)} = 2 \text{ nM}$	-50	2.260	2.273	-	-	-	-	$\tilde{c}^{(CEA)} \approx 0.9542 \text{ nM}$
		-40	2.286	2.273					
		-30	2.289	2.273					
		-20	2.272	2.273					
		-10	2.265	2.273					
	$c^{(AFP)} = 5 \text{ nM}$	0	2.265	2.273	2.273	0.000	0.000	0.000	$\tilde{c}^{(AFP)} \approx 6.8123 \text{ nM}$
		10	2.289	2.352	2.273	0.001	0.005	0.073	
		20	2.347	2.405	2.273	0.003	0.010	0.120	
		30	2.408	2.440	2.273	0.004	0.015	0.148	
		40	2.435	2.464	2.273	0.005	0.019	0.167	
	$c^{(PTH)} = 20 \text{ nM}$	50	2.435	2.482	2.273	0.007	0.024	0.178	$\tilde{c}^{(PTH)} \approx 43.2775 \text{ nM}$
		60	2.450	2.495	2.273	0.008	0.029	0.185	
		70	2.523	2.505	2.273	0.009	0.033	0.190	
		80	2.506	2.514	2.273	0.011	0.038	0.193	

	90	2.495	2.521	2.273	0.012	0.042	0.194	
	100	2.493	2.528	2.273	0.013	0.046	0.195	
	110	2.509	2.534	2.273	0.015	0.051	0.196	
	120	2.549	2.540	2.273	0.016	0.055	0.197	
	130	2.562	2.546	2.273	0.017	0.059	0.197	
	140	2.557	2.551	2.273	0.018	0.063	0.197	
	150	2.578	2.556	2.273	0.020	0.067	0.197	
	160	2.553	2.562	2.273	0.021	0.071	0.197	
	170	2.591	2.567	2.273	0.022	0.075	0.197	
	180	2.602	2.572	2.273	0.023	0.079	0.197	
	190	2.594	2.577	2.273	0.025	0.082	0.197	
	200	2.604	2.582	2.273	0.026	0.086	0.197	
	210	2.575	2.587	2.273	0.027	0.090	0.197	
	220	2.584	2.591	2.273	0.028	0.093	0.197	
	230	2.586	2.596	2.273	0.029	0.097	0.197	
	240	2.596	2.601	2.273	0.031	0.100	0.197	
	250	2.614	2.605	2.273	0.032	0.104	0.197	
	260	2.625	2.610	2.273	0.033	0.107	0.197	
	270	2.622	2.614	2.273	0.034	0.110	0.197	
	280	2.631	2.619	2.273	0.035	0.114	0.197	
	290	2.624	2.623	2.273	0.036	0.117	0.197	
	300	2.624	2.627	2.273	0.037	0.120	0.197	
	310	2.629	2.632	2.273	0.039	0.123	0.197	
	320	2.628	2.636	2.273	0.040	0.126	0.197	
	330	2.662	2.640	2.273	0.041	0.129	0.197	
	340	2.630	2.644	2.273	0.042	0.132	0.197	
	350	2.652	2.648	2.273	0.043	0.135	0.197	
	360	2.661	2.652	2.273	0.044	0.138	0.197	
	370	2.670	2.656	2.273	0.045	0.141	0.197	
	380	2.665	2.660	2.273	0.046	0.143	0.197	
	390	2.676	2.664	2.273	0.047	0.146	0.197	
	400	2.658	2.667	2.273	0.048	0.149	0.197	
	410	2.686	2.671	2.273	0.049	0.152	0.197	
	420	2.676	2.675	2.273	0.050	0.154	0.197	
	430	2.673	2.678	2.273	0.052	0.157	0.197	
	440	2.698	2.682	2.273	0.053	0.159	0.197	
	450	2.688	2.686	2.273	0.054	0.162	0.197	
	460	2.682	2.689	2.273	0.055	0.164	0.197	
	470	2.755	2.692	2.273	0.056	0.167	0.197	
	480	2.695	2.696	2.273	0.057	0.169	0.197	
	490	2.688	2.699	2.273	0.058	0.172	0.197	
	500	2.701	2.703	2.273	0.059	0.174	0.197	
	510	2.702	2.706	2.273	0.060	0.176	0.197	
	520	2.709	2.709	2.273	0.061	0.178	0.197	
	530	2.683	2.712	2.273	0.062	0.181	0.197	
	540	2.721	2.715	2.273	0.063	0.183	0.197	

		550	2.714	2.719	2.273	0.064	0.185	0.197	
		560	2.720	2.722	2.273	0.065	0.187	0.197	
		570	2.748	2.725	2.273	0.065	0.189	0.197	
		580	2.724	2.728	2.273	0.066	0.191	0.197	
		590	2.741	2.731	2.273	0.067	0.193	0.197	
		600	2.721	2.733	2.273	0.068	0.195	0.197	
GFET #M4	$c^{(CEA)} = 2$ nM $c^{(AFP)} = 5$ nM $c^{(PTH)} = 50$ nM	-50	2.287	2.268	-	-	-	-	$\tilde{c}^{(CEA)} \approx 2.6576 \text{ nM}$ $\tilde{c}^{(AFP)} \approx 3.6211 \text{ nM}$ $\tilde{c}^{(PTH)} \approx 94.0852 \text{ nM}$
		-40	2.244	2.268					
		-30	2.253	2.268					
		-20	2.280	2.268					
		-10	2.271	2.268					
		0	2.271	2.268	2.268	0.000	0.000	0.000	
		10	2.353	2.394	2.268	0.004	0.002	0.120	
		20	2.402	2.445	2.268	0.008	0.005	0.164	
		30	2.412	2.468	2.268	0.012	0.007	0.181	
		40	2.452	2.481	2.268	0.016	0.010	0.187	
		50	2.448	2.490	2.268	0.020	0.012	0.190	
		60	2.498	2.497	2.268	0.024	0.014	0.191	
		70	2.498	2.503	2.268	0.028	0.017	0.191	
		80	2.526	2.510	2.268	0.032	0.019	0.191	
		90	2.519	2.516	2.268	0.036	0.021	0.191	
		100	2.523	2.521	2.268	0.039	0.023	0.191	
		110	2.554	2.527	2.268	0.043	0.026	0.191	
		120	2.539	2.533	2.268	0.047	0.028	0.191	
		130	2.573	2.539	2.268	0.050	0.030	0.191	
		140	2.587	2.544	2.268	0.054	0.032	0.191	
		150	2.554	2.550	2.268	0.057	0.034	0.191	
		160	2.562	2.555	2.268	0.061	0.036	0.191	
		170	2.573	2.561	2.268	0.064	0.038	0.191	
		180	2.589	2.566	2.268	0.067	0.040	0.191	
		190	2.609	2.572	2.268	0.071	0.042	0.191	
		200	2.564	2.577	2.268	0.074	0.044	0.191	
		210	2.611	2.582	2.268	0.077	0.046	0.191	
		220	2.590	2.587	2.268	0.080	0.048	0.191	
		230	2.595	2.592	2.268	0.083	0.050	0.191	
		240	2.614	2.597	2.268	0.087	0.052	0.191	
		250	2.606	2.602	2.268	0.090	0.053	0.191	
		260	2.631	2.607	2.268	0.093	0.055	0.191	
		270	2.629	2.612	2.268	0.096	0.057	0.191	
		280	2.629	2.616	2.268	0.099	0.059	0.191	
		290	2.617	2.621	2.268	0.102	0.060	0.191	
		300	2.627	2.626	2.268	0.104	0.062	0.191	
		310	2.626	2.630	2.268	0.107	0.064	0.191	
		320	2.633	2.635	2.268	0.110	0.066	0.191	
		330	2.633	2.639	2.268	0.113	0.067	0.191	
		340	2.639	2.643	2.268	0.116	0.069	0.191	

		350	2.669	2.648	2.268	0.118	0.070	0.191	
		360	2.670	2.652	2.268	0.121	0.072	0.191	
		370	2.632	2.656	2.268	0.124	0.074	0.191	
		380	2.650	2.660	2.268	0.126	0.075	0.191	
		390	2.665	2.665	2.268	0.129	0.077	0.191	
		400	2.654	2.669	2.268	0.131	0.078	0.191	
		410	2.669	2.673	2.268	0.134	0.080	0.191	
		420	2.670	2.677	2.268	0.136	0.081	0.191	
		430	2.655	2.681	2.268	0.139	0.083	0.191	
		440	2.670	2.684	2.268	0.141	0.084	0.191	
		450	2.677	2.688	2.268	0.144	0.086	0.191	
		460	2.664	2.692	2.268	0.146	0.087	0.191	
		470	2.680	2.696	2.268	0.148	0.088	0.191	
		480	2.700	2.699	2.268	0.151	0.090	0.191	
		490	2.699	2.703	2.268	0.153	0.091	0.191	
		500	2.683	2.707	2.268	0.155	0.093	0.191	
		510	2.717	2.710	2.268	0.157	0.094	0.191	
		520	2.718	2.714	2.268	0.160	0.095	0.191	
		530	2.721	2.717	2.268	0.162	0.096	0.191	
		540	2.715	2.721	2.268	0.164	0.098	0.191	
		550	2.702	2.724	2.268	0.166	0.099	0.191	
		560	2.733	2.727	2.268	0.168	0.100	0.191	
		570	2.714	2.731	2.268	0.170	0.102	0.191	
		580	2.721	2.734	2.268	0.172	0.103	0.191	
		590	2.733	2.737	2.268	0.174	0.104	0.191	
		600	2.736	2.740	2.268	0.176	0.105	0.191	
GFET #M5	$c^{(CEA)} = 2$ nM $c^{(AFP)} = 20$ nM $c^{(PTH)} = 2$ nM	-50	2.284	2.269	-	-	-	-	$\tilde{c}^{(CEA)} \approx 1.2332 \text{ nM}$ $\tilde{c}^{(AFP)} \approx 13.1342 \text{ nM}$ $\tilde{c}^{(PTH)} \approx 8.0776 \text{ nM}$
		-40	2.257	2.269					
		-30	2.246	2.269					
		-20	2.246	2.269					
		-10	2.289	2.269					
		0	2.289	2.269	2.269	0.000	0.000	0.000	
		10	2.303	2.297	2.269	0.002	0.010	0.016	
		20	2.371	2.323	2.269	0.004	0.020	0.031	
		30	2.391	2.347	2.269	0.006	0.029	0.044	
		40	2.395	2.370	2.269	0.008	0.039	0.055	
		50	2.411	2.392	2.269	0.010	0.048	0.066	
		60	2.426	2.412	2.269	0.011	0.057	0.075	
		70	2.457	2.431	2.269	0.013	0.065	0.084	
		80	2.473	2.449	2.269	0.015	0.074	0.092	
		90	2.475	2.466	2.269	0.017	0.082	0.098	
		100	2.529	2.482	2.269	0.019	0.091	0.105	
		110	2.502	2.498	2.269	0.020	0.099	0.110	
		120	2.534	2.512	2.269	0.022	0.106	0.115	
		130	2.532	2.526	2.269	0.024	0.114	0.120	
		140	2.561	2.540	2.269	0.026	0.122	0.124	

	150	2.575	2.552	2.269	0.028	0.129	0.127	
	160	2.584	2.565	2.269	0.029	0.136	0.131	
	170	2.585	2.576	2.269	0.031	0.143	0.134	
	180	2.572	2.587	2.269	0.033	0.150	0.136	
	190	2.596	2.598	2.269	0.034	0.157	0.139	
	200	2.609	2.609	2.269	0.036	0.163	0.141	
	210	2.605	2.619	2.269	0.038	0.170	0.143	
	220	2.629	2.628	2.269	0.039	0.176	0.144	
	230	2.637	2.638	2.269	0.041	0.182	0.146	
	240	2.653	2.647	2.269	0.043	0.188	0.147	
	250	2.657	2.656	2.269	0.044	0.194	0.149	
	260	2.634	2.664	2.269	0.046	0.200	0.150	
	270	2.656	2.672	2.269	0.047	0.206	0.151	
	280	2.672	2.680	2.269	0.049	0.211	0.152	
	290	2.664	2.688	2.269	0.051	0.217	0.153	
	300	2.680	2.696	2.269	0.052	0.222	0.153	
	310	2.657	2.703	2.269	0.054	0.227	0.154	
	320	2.699	2.710	2.269	0.055	0.232	0.155	
	330	2.689	2.717	2.269	0.057	0.237	0.155	
	340	2.704	2.724	2.269	0.058	0.242	0.156	
	350	2.718	2.731	2.269	0.060	0.247	0.156	
	360	2.695	2.737	2.269	0.061	0.251	0.156	
	370	2.729	2.744	2.269	0.063	0.256	0.157	
	380	2.758	2.750	2.269	0.064	0.260	0.157	
	390	2.705	2.756	2.269	0.066	0.265	0.157	
	400	2.723	2.762	2.269	0.067	0.269	0.158	
	410	2.744	2.768	2.269	0.069	0.273	0.158	
	420	2.726	2.774	2.269	0.070	0.277	0.158	
	430	2.760	2.779	2.269	0.071	0.281	0.158	
	440	2.769	2.785	2.269	0.073	0.285	0.158	
	450	2.785	2.790	2.269	0.074	0.289	0.159	
	460	2.767	2.795	2.269	0.076	0.293	0.159	
	470	2.799	2.800	2.269	0.077	0.296	0.159	
	480	2.799	2.806	2.269	0.078	0.300	0.159	
	490	2.797	2.810	2.269	0.080	0.303	0.159	
	500	2.797	2.815	2.269	0.081	0.307	0.159	
	510	2.803	2.820	2.269	0.082	0.310	0.159	
	520	2.802	2.825	2.269	0.084	0.313	0.159	
	530	2.839	2.829	2.269	0.085	0.317	0.159	
	540	2.795	2.834	2.269	0.086	0.320	0.159	
	550	2.846	2.838	2.269	0.088	0.323	0.159	
	560	2.844	2.843	2.269	0.089	0.326	0.159	
	570	2.830	2.847	2.269	0.090	0.329	0.160	
	580	2.851	2.851	2.269	0.091	0.332	0.160	
	590	2.873	2.855	2.269	0.093	0.334	0.160	
	600	2.846	2.859	2.269	0.094	0.337	0.160	

		-50	2.262	2.269	-	-	-	-	$c^{(CEA)} = 2 \text{ nM}$ $c^{(AFP)} = 20 \text{ nM}$ $c^{(PTH)} = 5 \text{ nM}$
		-40	2.260	2.269					
GFET #M6	$\tilde{c}^{(CEA)} \approx 1.5144 \text{ nM}$ $\tilde{c}^{(AFP)} \approx 13.2040 \text{ nM}$ $\tilde{c}^{(PTH)} \approx 14.0982 \text{ nM}$	-30	2.282	2.269					
		-20	2.261	2.269					
		-10	2.275	2.269					
		0	2.275	2.269	2.269	0.000	0.000	0.000	
		10	2.293	2.307	2.269	0.003	0.009	0.027	
		20	2.351	2.341	2.269	0.005	0.018	0.049	
		30	2.423	2.372	2.269	0.008	0.027	0.068	
		40	2.439	2.399	2.269	0.010	0.036	0.084	
		50	2.429	2.423	2.269	0.012	0.044	0.097	
		60	2.464	2.445	2.269	0.015	0.052	0.109	
		70	2.486	2.465	2.269	0.017	0.060	0.119	
		80	2.505	2.484	2.269	0.020	0.068	0.127	
		90	2.515	2.501	2.269	0.022	0.076	0.134	
		100	2.515	2.517	2.269	0.024	0.084	0.140	
		110	2.559	2.531	2.269	0.027	0.091	0.145	
		120	2.550	2.545	2.269	0.029	0.098	0.149	
		130	2.560	2.558	2.269	0.031	0.105	0.152	
		140	2.585	2.570	2.269	0.034	0.112	0.155	
		150	2.545	2.582	2.269	0.036	0.119	0.158	
		160	2.564	2.593	2.269	0.038	0.126	0.160	
		170	2.600	2.603	2.269	0.040	0.132	0.162	
		180	2.608	2.613	2.269	0.042	0.138	0.163	
		190	2.627	2.623	2.269	0.045	0.145	0.165	
		200	2.610	2.632	2.269	0.047	0.151	0.166	
		210	2.647	2.641	2.269	0.049	0.157	0.167	
		220	2.631	2.650	2.269	0.051	0.162	0.167	
		230	2.658	2.659	2.269	0.053	0.168	0.168	
		240	2.669	2.667	2.269	0.055	0.174	0.169	
		250	2.646	2.675	2.269	0.057	0.179	0.169	
		260	2.668	2.682	2.269	0.059	0.184	0.169	
		270	2.679	2.690	2.269	0.061	0.190	0.170	
		280	2.710	2.697	2.269	0.063	0.195	0.170	
		290	2.713	2.705	2.269	0.065	0.200	0.170	
		300	2.676	2.712	2.269	0.067	0.205	0.171	
		310	2.716	2.719	2.269	0.069	0.209	0.171	
		320	2.710	2.725	2.269	0.071	0.214	0.171	
		330	2.737	2.732	2.269	0.073	0.219	0.171	
		340	2.738	2.739	2.269	0.075	0.223	0.171	
		350	2.753	2.745	2.269	0.077	0.227	0.171	
		360	2.749	2.751	2.269	0.079	0.232	0.171	
		370	2.740	2.757	2.269	0.081	0.236	0.171	
		380	2.740	2.763	2.269	0.083	0.240	0.171	
		390	2.763	2.769	2.269	0.085	0.244	0.171	
		400	2.764	2.775	2.269	0.086	0.248	0.171	

		410	2.767	2.781	2.269	0.088	0.252	0.171	
		420	2.779	2.786	2.269	0.090	0.255	0.172	
		430	2.785	2.792	2.269	0.092	0.259	0.172	
		440	2.773	2.797	2.269	0.094	0.263	0.172	
		450	2.781	2.802	2.269	0.095	0.266	0.172	
		460	2.790	2.807	2.269	0.097	0.270	0.172	
		470	2.776	2.813	2.269	0.099	0.273	0.172	
		480	2.811	2.818	2.269	0.100	0.276	0.172	
		490	2.835	2.822	2.269	0.102	0.280	0.172	
		500	2.823	2.827	2.269	0.104	0.283	0.172	
		510	2.820	2.832	2.269	0.105	0.286	0.172	
		520	2.813	2.837	2.269	0.107	0.289	0.172	
		530	2.841	2.841	2.269	0.109	0.292	0.172	
		540	2.846	2.846	2.269	0.110	0.295	0.172	
		550	2.807	2.850	2.269	0.112	0.297	0.172	
		560	2.831	2.855	2.269	0.114	0.300	0.172	
		570	2.850	2.859	2.269	0.115	0.303	0.172	
		580	2.857	2.863	2.269	0.117	0.306	0.172	
		590	2.852	2.867	2.269	0.118	0.308	0.172	
		600	2.866	2.871	2.269	0.120	0.311	0.172	
		-50	2.277	2.262	-	-	-	-	
		-40	2.271	2.262					
		-30	2.267	2.262					
		-20	2.258	2.262					
		-10	2.250	2.262					
		0	2.250	2.262	2.262	0.000	0.000	0.000	
		10	2.338	2.337	2.262	0.003	0.009	0.063	
		20	2.368	2.390	2.262	0.005	0.018	0.105	
		30	2.413	2.429	2.262	0.008	0.027	0.132	
		40	2.457	2.458	2.262	0.011	0.035	0.150	
		50	2.508	2.481	2.262	0.013	0.044	0.162	
		60	2.490	2.499	2.262	0.016	0.052	0.169	
GFET #M7	$c^{(CEA)} = 2$ nM	70	2.522	2.515	2.262	0.019	0.060	0.174	$\tilde{c}^{(CEA)} \approx 1.61$ 32 nM
		80	2.540	2.528	2.262	0.021	0.068	0.178	$\tilde{c}^{(AFP)} \approx 12.5$ 543 nM
		90	2.533	2.541	2.262	0.024	0.075	0.180	
		100	2.577	2.552	2.262	0.026	0.083	0.181	
		110	2.550	2.563	2.262	0.029	0.090	0.182	
	$c^{(AFP)} = 20$ nM	120	2.570	2.573	2.262	0.031	0.097	0.183	$\tilde{c}^{(PTH)} \approx$ 39.1008 nM
		130	2.602	2.583	2.262	0.034	0.104	0.183	
		140	2.628	2.593	2.262	0.036	0.111	0.183	
		150	2.603	2.602	2.262	0.038	0.118	0.183	
		160	2.620	2.611	2.262	0.041	0.125	0.184	
	$c^{(PTH)} = 20$ nM	170	2.646	2.620	2.262	0.043	0.131	0.184	
		180	2.640	2.629	2.262	0.045	0.138	0.184	
		190	2.617	2.637	2.262	0.048	0.144	0.184	
		200	2.676	2.646	2.262	0.050	0.150	0.184	

		210	2.656	2.654	2.262	0.052	0.156	0.184	
		220	2.694	2.662	2.262	0.055	0.162	0.184	
		230	2.671	2.670	2.262	0.057	0.167	0.184	
		240	2.684	2.678	2.262	0.059	0.173	0.184	
		250	2.685	2.685	2.262	0.061	0.178	0.184	
		260	2.682	2.693	2.262	0.063	0.184	0.184	
		270	2.722	2.700	2.262	0.066	0.189	0.184	
		280	2.701	2.708	2.262	0.068	0.194	0.184	
		290	2.737	2.715	2.262	0.070	0.199	0.184	
		300	2.715	2.722	2.262	0.072	0.204	0.184	
		310	2.711	2.729	2.262	0.074	0.209	0.184	
		320	2.723	2.736	2.262	0.076	0.213	0.184	
		330	2.739	2.742	2.262	0.078	0.218	0.184	
		340	2.753	2.749	2.262	0.080	0.223	0.184	
		350	2.732	2.755	2.262	0.082	0.227	0.184	
		360	2.736	2.761	2.262	0.084	0.231	0.184	
		370	2.737	2.768	2.262	0.086	0.236	0.184	
		380	2.761	2.774	2.262	0.088	0.240	0.184	
		390	2.756	2.780	2.262	0.090	0.244	0.184	
		400	2.780	2.786	2.262	0.092	0.248	0.184	
		410	2.763	2.791	2.262	0.094	0.252	0.184	
		420	2.802	2.797	2.262	0.096	0.255	0.184	
		430	2.792	2.803	2.262	0.098	0.259	0.184	
		440	2.793	2.808	2.262	0.100	0.263	0.184	
		450	2.814	2.814	2.262	0.101	0.266	0.184	
		460	2.812	2.819	2.262	0.103	0.270	0.184	
		470	2.813	2.824	2.262	0.105	0.273	0.184	
		480	2.803	2.829	2.262	0.107	0.277	0.184	
		490	2.802	2.834	2.262	0.109	0.280	0.184	
		500	2.805	2.839	2.262	0.110	0.283	0.184	
		510	2.845	2.844	2.262	0.112	0.286	0.184	
		520	2.819	2.849	2.262	0.114	0.289	0.184	
		530	2.840	2.854	2.262	0.116	0.292	0.184	
		540	2.841	2.859	2.262	0.117	0.295	0.184	
		550	2.871	2.863	2.262	0.119	0.298	0.184	
		560	2.856	2.868	2.262	0.121	0.301	0.184	
		570	2.862	2.872	2.262	0.122	0.304	0.184	
		580	2.852	2.876	2.262	0.124	0.307	0.184	
		590	2.877	2.881	2.262	0.126	0.309	0.184	
		600	2.874	2.885	2.262	0.127	0.312	0.184	
GFET #M8	$c^{(CEA)} = 2$ nM	-50	2.291	2.280	-	-	-	-	$\tilde{c}^{(CEA)} \approx 1.8244 \text{ nM}$
		-40	2.274	2.280					
	$c^{(AFP)} = 20$ nM	-30	2.285	2.280					$\tilde{c}^{(AFP)} \approx 13.1763 \text{ nM}$
		-20	2.266	2.280					
	$c^{(PTH)} = 50$ nM	-10	2.280	2.280					$\tilde{c}^{(PTH)} \approx 93.1553 \text{ nM}$
		0	2.280	2.280	2.280	0.000	0.000	0.000	

	10	2.371	2.396	2.280	0.003	0.008	0.105	
	20	2.415	2.447	2.280	0.006	0.016	0.145	
	30	2.448	2.473	2.280	0.009	0.024	0.160	
	40	2.493	2.490	2.280	0.012	0.032	0.166	
	50	2.500	2.502	2.280	0.015	0.040	0.168	
	60	2.527	2.514	2.280	0.018	0.047	0.169	
	70	2.548	2.524	2.280	0.021	0.055	0.169	
	80	2.529	2.534	2.280	0.024	0.062	0.169	
	90	2.526	2.544	2.280	0.027	0.069	0.169	
	100	2.576	2.554	2.280	0.029	0.076	0.169	
	110	2.583	2.563	2.280	0.032	0.082	0.169	
	120	2.606	2.573	2.280	0.035	0.089	0.169	
	130	2.585	2.582	2.280	0.038	0.095	0.169	
	140	2.622	2.591	2.280	0.040	0.101	0.169	
	150	2.590	2.600	2.280	0.043	0.108	0.169	
	160	2.644	2.608	2.280	0.046	0.114	0.169	
	170	2.610	2.617	2.280	0.048	0.119	0.169	
	180	2.649	2.625	2.280	0.051	0.125	0.169	
	190	2.631	2.633	2.280	0.054	0.131	0.169	
	200	2.653	2.641	2.280	0.056	0.136	0.169	
	210	2.677	2.649	2.280	0.059	0.142	0.169	
	220	2.659	2.657	2.280	0.061	0.147	0.169	
	230	2.690	2.665	2.280	0.064	0.152	0.169	
	240	2.656	2.672	2.280	0.066	0.157	0.169	
	250	2.699	2.679	2.280	0.069	0.162	0.169	
	260	2.692	2.687	2.280	0.071	0.167	0.169	
	270	2.684	2.694	2.280	0.073	0.171	0.169	
	280	2.711	2.701	2.280	0.076	0.176	0.169	
	290	2.697	2.708	2.280	0.078	0.181	0.169	
	300	2.757	2.714	2.280	0.080	0.185	0.169	
	310	2.713	2.721	2.280	0.083	0.189	0.169	
	320	2.735	2.728	2.280	0.085	0.194	0.169	
	330	2.745	2.734	2.280	0.087	0.198	0.169	
	340	2.755	2.740	2.280	0.090	0.202	0.169	
	350	2.744	2.746	2.280	0.092	0.206	0.169	
	360	2.736	2.752	2.280	0.094	0.210	0.169	
	370	2.740	2.758	2.280	0.096	0.213	0.169	
	380	2.761	2.764	2.280	0.098	0.217	0.169	
	390	2.752	2.770	2.280	0.100	0.221	0.169	
	400	2.785	2.776	2.280	0.103	0.224	0.169	
	410	2.752	2.781	2.280	0.105	0.228	0.169	
	420	2.759	2.787	2.280	0.107	0.231	0.169	
	430	2.779	2.792	2.280	0.109	0.234	0.169	
	440	2.774	2.797	2.280	0.111	0.238	0.169	
	450	2.794	2.803	2.280	0.113	0.241	0.169	
	460	2.800	2.808	2.280	0.115	0.244	0.169	

		470	2.796	2.813	2.280	0.117	0.247	0.169	
		480	2.810	2.818	2.280	0.119	0.250	0.169	
		490	2.808	2.822	2.280	0.121	0.253	0.169	
		500	2.815	2.827	2.280	0.123	0.256	0.169	
		510	2.820	2.832	2.280	0.125	0.259	0.169	
		520	2.815	2.837	2.280	0.126	0.261	0.169	
		530	2.798	2.841	2.280	0.128	0.264	0.169	
		540	2.838	2.846	2.280	0.130	0.267	0.169	
		550	2.850	2.850	2.280	0.132	0.269	0.169	
		560	2.858	2.854	2.280	0.134	0.272	0.169	
		570	2.857	2.859	2.280	0.136	0.274	0.169	
		580	2.833	2.863	2.280	0.137	0.276	0.169	
		590	2.874	2.867	2.280	0.139	0.279	0.169	
		600	2.855	2.871	2.280	0.141	0.281	0.169	
		-50	2.239	2.260	-	-	-	-	
		-40	2.252	2.260					
		-30	2.274	2.260					
		-20	2.267	2.260					
		-10	2.264	2.260					
		0	2.264	2.260					
		10	2.356	2.299					
		20	2.402	2.336					
		30	2.421	2.371					
		40	2.432	2.403					
		50	2.486	2.434					
		60	2.518	2.463					
		70	2.536	2.490					
		80	2.550	2.515					
		90	2.582	2.539					
GFET #M9	$c^{(CEA)} = 2$ nM	100	2.586	2.562	2.260	0.018	0.136	0.148	$\tilde{c}^{(CEA)} \approx 1.6522 \text{ nM}$
		110	2.615	2.583	2.260	0.020	0.147	0.156	$\tilde{c}^{(CEA)} \approx 25.1456 \text{ nM}$
		120	2.583	2.603	2.260	0.021	0.158	0.164	$\tilde{c}^{(CEA)} \approx 6.9113 \text{ nM}$
		130	2.624	2.623	2.260	0.023	0.169	0.171	
		140	2.663	2.641	2.260	0.025	0.179	0.177	
		150	2.652	2.658	2.260	0.026	0.189	0.183	
		160	2.665	2.675	2.260	0.028	0.198	0.188	
		170	2.693	2.690	2.260	0.030	0.207	0.193	
		180	2.704	2.705	2.260	0.031	0.216	0.197	
	$c^{(AFP)} = 50$ nM	190	2.691	2.719	2.260	0.033	0.225	0.201	
		200	2.728	2.733	2.260	0.034	0.233	0.205	
		210	2.712	2.746	2.260	0.036	0.241	0.208	
		220	2.737	2.758	2.260	0.037	0.249	0.211	
		230	2.763	2.770	2.260	0.039	0.256	0.214	
		240	2.742	2.781	2.260	0.041	0.264	0.217	
		250	2.764	2.792	2.260	0.042	0.271	0.219	
		260	2.786	2.802	2.260	0.044	0.277	0.221	

		270	2.792	2.812	2.260	0.045	0.284	0.223	
		280	2.775	2.821	2.260	0.046	0.290	0.224	
		290	2.807	2.830	2.260	0.048	0.296	0.226	
		300	2.817	2.839	2.260	0.049	0.302	0.227	
		310	2.802	2.848	2.260	0.051	0.308	0.229	
		320	2.832	2.856	2.260	0.052	0.314	0.230	
		330	2.831	2.864	2.260	0.054	0.319	0.231	
		340	2.865	2.871	2.260	0.055	0.324	0.232	
		350	2.850	2.878	2.260	0.056	0.329	0.233	
		360	2.862	2.885	2.260	0.058	0.334	0.234	
		370	2.855	2.892	2.260	0.059	0.339	0.234	
		380	2.879	2.899	2.260	0.060	0.343	0.235	
		390	2.856	2.905	2.260	0.062	0.348	0.236	
		400	2.900	2.911	2.260	0.063	0.352	0.236	
		410	2.882	2.917	2.260	0.064	0.356	0.237	
		420	2.885	2.923	2.260	0.066	0.360	0.237	
		430	2.890	2.928	2.260	0.067	0.364	0.237	
		440	2.931	2.934	2.260	0.068	0.367	0.238	
		450	2.951	2.939	2.260	0.069	0.371	0.238	
		460	2.942	2.944	2.260	0.071	0.374	0.239	
		470	2.941	2.949	2.260	0.072	0.378	0.239	
		480	2.920	2.953	2.260	0.073	0.381	0.239	
		490	2.934	2.958	2.260	0.074	0.384	0.239	
		500	2.940	2.962	2.260	0.076	0.387	0.239	
		510	2.930	2.967	2.260	0.077	0.390	0.240	
		520	2.935	2.971	2.260	0.078	0.393	0.240	
		530	2.957	2.975	2.260	0.079	0.396	0.240	
		540	2.932	2.979	2.260	0.080	0.398	0.240	
		550	2.995	2.983	2.260	0.081	0.401	0.240	
		560	2.979	2.986	2.260	0.083	0.403	0.240	
		570	2.974	2.990	2.260	0.084	0.406	0.241	
		580	2.969	2.993	2.260	0.085	0.408	0.241	
		590	2.978	2.997	2.260	0.086	0.410	0.241	
		600	2.995	3.000	2.260	0.087	0.412	0.241	
GFET #M10	$c^{(CEA)} = 2$ nM	-50	2.281	2.266	-	-	-	-	$\tilde{c}^{(CEA)} \approx 1.9288 \text{ nM}$ $\tilde{c}^{(AFP)} \approx 26.1044 \text{ nM}$ $\tilde{c}^{(PTH)} \approx 12.2113 \text{ nM}$
		-40	2.268	2.266					
		-30	2.250	2.266					
		-20	2.254	2.266					
		-10	2.271	2.266					
	$c^{(AFP)} = 50$ nM	0	2.271	2.266	2.266	0.000	0.000	0.000	
		10	2.343	2.314	2.266	0.002	0.016	0.030	
		20	2.411	2.358	2.266	0.005	0.031	0.056	
		30	2.439	2.397	2.266	0.007	0.046	0.078	
	$c^{(PTH)} = 5$ nM	40	2.477	2.433	2.266	0.010	0.061	0.097	
		50	2.496	2.466	2.266	0.012	0.075	0.113	
		60	2.524	2.496	2.266	0.014	0.088	0.128	

	70	2.549	2.523	2.266	0.017	0.101	0.140	
	80	2.574	2.549	2.266	0.019	0.113	0.150	
	90	2.565	2.572	2.266	0.021	0.126	0.159	
	100	2.599	2.594	2.266	0.023	0.137	0.167	
	110	2.633	2.614	2.266	0.026	0.148	0.174	
	120	2.647	2.633	2.266	0.028	0.159	0.180	
	130	2.646	2.651	2.266	0.030	0.170	0.185	
	140	2.694	2.667	2.266	0.032	0.180	0.189	
	150	2.670	2.683	2.266	0.034	0.190	0.193	
	160	2.664	2.698	2.266	0.037	0.199	0.196	
	170	2.695	2.712	2.266	0.039	0.209	0.199	
	180	2.706	2.725	2.266	0.041	0.217	0.201	
	190	2.721	2.738	2.266	0.043	0.226	0.203	
	200	2.739	2.750	2.266	0.045	0.234	0.205	
	210	2.734	2.761	2.266	0.047	0.242	0.207	
	220	2.762	2.773	2.266	0.049	0.250	0.208	
	230	2.776	2.783	2.266	0.051	0.257	0.209	
	240	2.809	2.793	2.266	0.053	0.264	0.210	
	250	2.766	2.803	2.266	0.055	0.271	0.211	
	260	2.798	2.812	2.266	0.057	0.278	0.212	
	270	2.780	2.821	2.266	0.058	0.285	0.212	
	280	2.819	2.830	2.266	0.060	0.291	0.213	
	290	2.853	2.838	2.266	0.062	0.297	0.213	
	300	2.804	2.846	2.266	0.064	0.303	0.214	
	310	2.831	2.854	2.266	0.066	0.308	0.214	
	320	2.837	2.862	2.266	0.068	0.314	0.214	
	330	2.822	2.869	2.266	0.069	0.319	0.215	
	340	2.847	2.876	2.266	0.071	0.324	0.215	
	350	2.870	2.883	2.266	0.073	0.329	0.215	
	360	2.854	2.890	2.266	0.075	0.334	0.215	
	370	2.872	2.896	2.266	0.076	0.338	0.215	
	380	2.878	2.902	2.266	0.078	0.343	0.216	
	390	2.866	2.908	2.266	0.080	0.347	0.216	
	400	2.877	2.914	2.266	0.081	0.351	0.216	
	410	2.894	2.920	2.266	0.083	0.355	0.216	
	420	2.875	2.925	2.266	0.085	0.359	0.216	
	430	2.915	2.931	2.266	0.086	0.363	0.216	
	440	2.904	2.936	2.266	0.088	0.366	0.216	
	450	2.925	2.941	2.266	0.090	0.370	0.216	
	460	2.931	2.946	2.266	0.091	0.373	0.216	
	470	2.899	2.951	2.266	0.093	0.376	0.216	
	480	2.940	2.956	2.266	0.094	0.379	0.216	
	490	2.938	2.960	2.266	0.096	0.382	0.216	
	500	2.935	2.965	2.266	0.097	0.385	0.216	
	510	2.956	2.969	2.266	0.099	0.388	0.216	
	520	2.950	2.973	2.266	0.100	0.391	0.216	

		530	2.985	2.977	2.266	0.102	0.394	0.216	
		540	2.978	2.981	2.266	0.103	0.396	0.216	
		550	2.975	2.985	2.266	0.105	0.399	0.216	
		560	2.950	2.989	2.266	0.106	0.401	0.216	
		570	2.987	2.993	2.266	0.107	0.403	0.216	
		580	3.009	2.996	2.266	0.109	0.405	0.216	
		590	3.005	3.000	2.266	0.110	0.408	0.216	
		600	2.991	3.003	2.266	0.112	0.410	0.216	
GFET #M11	$c^{(CEA)} = 2$ nM	-50	2.242	2.271	-	-	-	-	$\tilde{c}^{(CEA)} \approx 1.5166$ nM
		-40	2.290	2.271					
		-30	2.271	2.271					
		-20	2.278	2.271					
		-10	2.271	2.271					
		0	2.271	2.271					
		10	2.360	2.351					
		20	2.423	2.410					
		30	2.501	2.454					
		40	2.511	2.489					
GFET #M11	$c^{(AFP)} = 50$ nM	50	2.527	2.518					$\tilde{c}^{(AFP)} \approx 26.3665$ nM
		60	2.560	2.543					
		70	2.583	2.565					
		80	2.607	2.584					
		90	2.634	2.602					
		100	2.614	2.619					
		110	2.647	2.635					
		120	2.677	2.650					
		130	2.671	2.664					
		140	2.680	2.678					
GFET #M11	$c^{(PTH)} = 20$ nM	150	2.687	2.692					$\tilde{c}^{(PTH)} \approx 39.6532$ nM
		160	2.715	2.705					
		170	2.738	2.717					
		180	2.762	2.729					
		190	2.748	2.741					
		200	2.759	2.752					
		210	2.769	2.763					
		220	2.775	2.774					
		230	2.766	2.784					
		240	2.803	2.795					
		250	2.803	2.804					
		260	2.843	2.814					
		270	2.829	2.823					
		280	2.807	2.832					
		290	2.818	2.841					
		300	2.830	2.849					
		310	2.846	2.857					
		320	2.879	2.865					

		330	2.858	2.873	2.271	0.061	0.370	0.170	
		340	2.866	2.880	2.271	0.063	0.376	0.170	
		350	2.868	2.887	2.271	0.065	0.382	0.170	
		360	2.868	2.894	2.271	0.066	0.387	0.170	
		370	2.887	2.901	2.271	0.068	0.392	0.170	
		380	2.868	2.908	2.271	0.069	0.398	0.170	
		390	2.899	2.914	2.271	0.071	0.402	0.170	
		400	2.929	2.921	2.271	0.072	0.407	0.170	
		410	2.904	2.927	2.271	0.074	0.412	0.170	
		420	2.904	2.933	2.271	0.075	0.416	0.170	
		430	2.909	2.938	2.271	0.077	0.420	0.170	
		440	2.936	2.944	2.271	0.078	0.425	0.170	
		450	2.945	2.950	2.271	0.080	0.429	0.170	
		460	2.957	2.955	2.271	0.081	0.432	0.170	
		470	2.933	2.960	2.271	0.083	0.436	0.170	
		480	2.944	2.965	2.271	0.084	0.440	0.170	
		490	2.982	2.970	2.271	0.086	0.443	0.170	
		500	2.964	2.975	2.271	0.087	0.447	0.170	
		510	2.975	2.979	2.271	0.088	0.450	0.170	
		520	2.958	2.984	2.271	0.090	0.453	0.170	
		530	2.987	2.988	2.271	0.091	0.456	0.170	
		540	2.987	2.992	2.271	0.092	0.459	0.170	
		550	2.964	2.997	2.271	0.094	0.462	0.170	
		560	2.961	3.001	2.271	0.095	0.464	0.170	
		570	2.980	3.005	2.271	0.096	0.467	0.170	
		580	2.956	3.008	2.271	0.098	0.470	0.170	
		590	2.968	3.012	2.271	0.099	0.472	0.170	
		600	2.994	3.016	2.271	0.100	0.474	0.170	
GFET #M12	$c^{(CEA)} = 2 \text{ nM}$ $c^{(AFP)} = 50 \text{ nM}$ $c^{(PTH)} = 50 \text{ nM}$	-50	2.269	2.272	-	-	-	-	$\tilde{c}^{(CEA)} \approx 1.8123 \text{ nM}$ $\tilde{c}^{(AFP)} \approx 29.5156 \text{ nM}$ $\tilde{c}^{(PTH)} \approx 103.2442 \text{ nM}$
		-40	2.275	2.272					
		-30	2.264	2.272					
		-20	2.264	2.272					
		-10	2.280	2.272					
		0	2.280	2.272	2.272	0.000	0.000	0.000	
		10	2.370	2.393	2.272	0.002	0.020	0.099	
		20	2.454	2.448	2.272	0.004	0.038	0.133	
		30	2.487	2.479	2.272	0.007	0.057	0.144	
		40	2.514	2.503	2.272	0.009	0.074	0.148	
		50	2.536	2.523	2.272	0.011	0.091	0.149	
		60	2.569	2.542	2.272	0.013	0.107	0.150	
		70	2.587	2.560	2.272	0.015	0.123	0.150	
		80	2.598	2.577	2.272	0.017	0.138	0.150	
		90	2.626	2.594	2.272	0.020	0.152	0.150	
		100	2.676	2.610	2.272	0.022	0.166	0.150	
		110	2.665	2.625	2.272	0.024	0.180	0.150	
		120	2.636	2.640	2.272	0.026	0.192	0.150	

	130	2.668	2.655	2.272	0.028	0.205	0.150	
	140	2.680	2.669	2.272	0.030	0.217	0.150	
	150	2.711	2.682	2.272	0.032	0.228	0.150	
	160	2.700	2.695	2.272	0.034	0.239	0.150	
	170	2.719	2.708	2.272	0.036	0.250	0.150	
	180	2.711	2.720	2.272	0.037	0.260	0.150	
	190	2.709	2.732	2.272	0.039	0.270	0.150	
	200	2.740	2.743	2.272	0.041	0.280	0.150	
	210	2.755	2.754	2.272	0.043	0.289	0.150	
	220	2.798	2.765	2.272	0.045	0.298	0.150	
	230	2.767	2.775	2.272	0.047	0.306	0.150	
	240	2.770	2.785	2.272	0.049	0.314	0.150	
	250	2.767	2.795	2.272	0.050	0.322	0.150	
	260	2.822	2.804	2.272	0.052	0.330	0.150	
	270	2.811	2.813	2.272	0.054	0.337	0.150	
	280	2.811	2.822	2.272	0.056	0.344	0.150	
	290	2.811	2.830	2.272	0.057	0.351	0.150	
	300	2.826	2.838	2.272	0.059	0.357	0.150	
	310	2.849	2.846	2.272	0.061	0.364	0.150	
	320	2.836	2.854	2.272	0.062	0.370	0.150	
	330	2.841	2.862	2.272	0.064	0.375	0.150	
	340	2.860	2.869	2.272	0.066	0.381	0.150	
	350	2.857	2.876	2.272	0.067	0.386	0.150	
	360	2.888	2.883	2.272	0.069	0.391	0.150	
	370	2.880	2.889	2.272	0.071	0.396	0.150	
	380	2.873	2.895	2.272	0.072	0.401	0.150	
	390	2.860	2.902	2.272	0.074	0.406	0.150	
	400	2.890	2.908	2.272	0.075	0.410	0.150	
	410	2.894	2.913	2.272	0.077	0.415	0.150	
	420	2.914	2.919	2.272	0.078	0.419	0.150	
	430	2.906	2.925	2.272	0.080	0.423	0.150	
	440	2.895	2.930	2.272	0.081	0.426	0.150	
	450	2.926	2.935	2.272	0.083	0.430	0.150	
	460	2.928	2.940	2.272	0.084	0.434	0.150	
	470	2.903	2.945	2.272	0.086	0.437	0.150	
	480	2.933	2.950	2.272	0.087	0.440	0.150	
	490	2.955	2.954	2.272	0.089	0.443	0.150	
	500	2.945	2.959	2.272	0.090	0.446	0.150	
	510	2.935	2.963	2.272	0.091	0.449	0.150	
	520	2.947	2.967	2.272	0.093	0.452	0.150	
	530	2.945	2.971	2.272	0.094	0.455	0.150	
	540	2.972	2.975	2.272	0.096	0.457	0.150	
	550	2.942	2.979	2.272	0.097	0.460	0.150	
	560	2.978	2.983	2.272	0.098	0.462	0.150	
	570	2.978	2.986	2.272	0.100	0.465	0.150	
	580	2.956	2.990	2.272	0.101	0.467	0.150	

		590	2.977	2.993	2.272	0.102	0.469	0.150	
		600	2.995	2.997	2.272	0.103	0.471	0.150	
GFET #M13	$c^{(CEA)} = 2$ nM	-50	2.285	2.274	-	-	-	-	$\tilde{c}^{(CEA)} \approx 1.7132 \text{ nM}$
		-40	2.274	2.274					
		-30	2.256	2.274					
		-20	2.258	2.274					
		-10	2.285	2.274					
		0	2.285	2.274	2.274	0.000	0.000	0.000	
		10	2.374	2.326	2.274	0.002	0.035	0.015	
		20	2.418	2.373	2.274	0.005	0.067	0.028	
		30	2.466	2.418	2.274	0.007	0.098	0.040	
		40	2.527	2.459	2.274	0.009	0.126	0.050	
		50	2.500	2.497	2.274	0.011	0.153	0.060	
		60	2.566	2.533	2.274	0.013	0.177	0.068	
		70	2.582	2.566	2.274	0.015	0.201	0.076	
		80	2.596	2.597	2.274	0.018	0.222	0.083	
		90	2.629	2.625	2.274	0.020	0.243	0.089	
		100	2.653	2.652	2.274	0.022	0.262	0.095	
		110	2.666	2.677	2.274	0.024	0.279	0.100	
		120	2.702	2.700	2.274	0.026	0.296	0.105	
		130	2.719	2.722	2.274	0.028	0.311	0.109	
		140	2.709	2.742	2.274	0.030	0.326	0.112	
		150	2.762	2.760	2.274	0.032	0.339	0.116	
		160	2.747	2.778	2.274	0.034	0.352	0.119	
		170	2.747	2.794	2.274	0.036	0.364	0.121	
		180	2.811	2.810	2.274	0.038	0.375	0.124	
		190	2.818	2.824	2.274	0.040	0.385	0.126	
		200	2.817	2.838	2.274	0.041	0.394	0.128	
		210	2.858	2.850	2.274	0.043	0.403	0.130	
		220	2.849	2.862	2.274	0.045	0.412	0.131	
		230	2.861	2.873	2.274	0.047	0.420	0.132	
		240	2.876	2.884	2.274	0.049	0.427	0.134	
		250	2.830	2.893	2.274	0.051	0.434	0.135	
		260	2.906	2.903	2.274	0.053	0.440	0.136	
		270	2.883	2.911	2.274	0.054	0.446	0.137	
		280	2.884	2.920	2.274	0.056	0.452	0.138	
		290	2.895	2.927	2.274	0.058	0.457	0.138	
		300	2.916	2.935	2.274	0.060	0.462	0.139	
		310	2.909	2.941	2.274	0.061	0.467	0.140	
		320	2.922	2.948	2.274	0.063	0.471	0.140	
		330	2.952	2.954	2.274	0.065	0.475	0.141	
		340	2.912	2.960	2.274	0.066	0.479	0.141	
		350	2.937	2.966	2.274	0.068	0.482	0.142	
		360	2.947	2.971	2.274	0.070	0.485	0.142	
		370	2.957	2.976	2.274	0.071	0.488	0.142	
		380	2.961	2.981	2.274	0.073	0.491	0.143	

		390	2.976	2.985	2.274	0.074	0.494	0.143	
		400	2.959	2.989	2.274	0.076	0.496	0.143	
		410	2.954	2.993	2.274	0.078	0.499	0.143	
		420	2.985	2.997	2.274	0.079	0.501	0.143	
		430	2.983	3.001	2.274	0.081	0.503	0.144	
		440	2.966	3.005	2.274	0.082	0.505	0.144	
		450	3.005	3.008	2.274	0.084	0.507	0.144	
		460	2.993	3.011	2.274	0.085	0.508	0.144	
		470	2.994	3.014	2.274	0.087	0.510	0.144	
		480	2.970	3.017	2.274	0.088	0.511	0.144	
		490	3.001	3.020	2.274	0.090	0.513	0.144	
		500	3.004	3.023	2.274	0.091	0.514	0.144	
		510	3.016	3.026	2.274	0.092	0.515	0.144	
		520	3.016	3.028	2.274	0.094	0.516	0.145	
		530	3.010	3.031	2.274	0.095	0.517	0.145	
		540	3.018	3.033	2.274	0.097	0.518	0.145	
		550	3.022	3.036	2.274	0.098	0.519	0.145	
		560	3.064	3.038	2.274	0.099	0.520	0.145	
		570	3.033	3.040	2.274	0.101	0.521	0.145	
		580	3.058	3.042	2.274	0.102	0.521	0.145	
		590	3.046	3.044	2.274	0.103	0.522	0.145	
		600	3.033	3.046	2.274	0.105	0.523	0.145	
GFET #M14	$c^{(CEA)} = 2$ nM $c^{(AFP)} = 100$ nM $c^{(PTH)} = 5$ nM	-50	2.259	2.264	-	-	-	-	$\tilde{c}^{(CEA)} \approx 1.3243$ nM $\tilde{c}^{(AFP)} \approx 59.1665$ nM $\tilde{c}^{(PTH)} \approx 11.0778$ nM
		-40	2.262	2.264					
		-30	2.262	2.264					
		-20	2.281	2.264					
		-10	2.261	2.264					
		0	2.261	2.264	2.264	0.000	0.000	0.000	
		10	2.374	2.318	2.264	0.002	0.040	0.012	
		20	2.419	2.367	2.264	0.003	0.078	0.022	
		30	2.455	2.413	2.264	0.005	0.113	0.031	
		40	2.477	2.455	2.264	0.007	0.146	0.038	
		50	2.557	2.494	2.264	0.008	0.177	0.045	
		60	2.579	2.530	2.264	0.010	0.205	0.051	
		70	2.601	2.564	2.264	0.012	0.232	0.056	
		80	2.633	2.595	2.264	0.013	0.257	0.061	
		90	2.687	2.624	2.264	0.015	0.281	0.064	
		100	2.656	2.651	2.264	0.016	0.302	0.068	
		110	2.687	2.676	2.264	0.018	0.323	0.071	
		120	2.703	2.699	2.264	0.019	0.342	0.073	
		130	2.718	2.721	2.264	0.021	0.360	0.076	
		140	2.759	2.741	2.264	0.022	0.377	0.078	
		150	2.736	2.760	2.264	0.024	0.392	0.079	
		160	2.761	2.777	2.264	0.026	0.407	0.081	
		170	2.789	2.794	2.264	0.027	0.420	0.082	
		180	2.792	2.809	2.264	0.028	0.433	0.083	

		190	2.807	2.824	2.264	0.030	0.445	0.084	
		200	2.805	2.837	2.264	0.031	0.456	0.085	
		210	2.839	2.850	2.264	0.033	0.467	0.086	
		220	2.844	2.861	2.264	0.034	0.476	0.086	
		230	2.846	2.873	2.264	0.036	0.485	0.087	
		240	2.852	2.883	2.264	0.037	0.494	0.088	
		250	2.904	2.893	2.264	0.039	0.502	0.088	
		260	2.873	2.902	2.264	0.040	0.509	0.088	
		270	2.913	2.911	2.264	0.041	0.516	0.089	
		280	2.892	2.919	2.264	0.043	0.523	0.089	
		290	2.915	2.926	2.264	0.044	0.529	0.089	
		300	2.890	2.934	2.264	0.045	0.534	0.089	
		310	2.939	2.940	2.264	0.047	0.540	0.090	
		320	2.947	2.947	2.264	0.048	0.545	0.090	
		330	2.968	2.953	2.264	0.049	0.549	0.090	
		340	2.934	2.959	2.264	0.051	0.554	0.090	
		350	2.942	2.964	2.264	0.052	0.558	0.090	
		360	2.953	2.969	2.264	0.053	0.561	0.090	
		370	2.958	2.974	2.264	0.054	0.565	0.090	
		380	2.960	2.979	2.264	0.056	0.568	0.090	
		390	2.964	2.983	2.264	0.057	0.571	0.090	
		400	2.977	2.987	2.264	0.058	0.574	0.091	
		410	2.970	2.991	2.264	0.060	0.577	0.091	
		420	2.971	2.995	2.264	0.061	0.579	0.091	
		430	2.972	2.999	2.264	0.062	0.582	0.091	
		440	2.953	3.002	2.264	0.063	0.584	0.091	
		450	2.984	3.006	2.264	0.064	0.586	0.091	
		460	3.007	3.009	2.264	0.066	0.588	0.091	
		470	3.002	3.012	2.264	0.067	0.590	0.091	
		480	3.013	3.015	2.264	0.068	0.591	0.091	
		490	3.043	3.017	2.264	0.069	0.593	0.091	
		500	2.994	3.020	2.264	0.070	0.595	0.091	
		510	3.026	3.022	2.264	0.071	0.596	0.091	
		520	3.021	3.025	2.264	0.072	0.597	0.091	
		530	2.997	3.027	2.264	0.074	0.598	0.091	
		540	3.029	3.029	2.264	0.075	0.599	0.091	
		550	3.028	3.032	2.264	0.076	0.601	0.091	
		560	3.025	3.034	2.264	0.077	0.601	0.091	
		570	3.023	3.036	2.264	0.078	0.602	0.091	
		580	3.025	3.038	2.264	0.079	0.603	0.091	
		590	3.022	3.040	2.264	0.080	0.604	0.091	
		600	3.024	3.041	2.264	0.081	0.605	0.091	
GFET #M15	$c^{(CEA)} = 2$ nM	-50	2.252	2.272	-	-	-	-	$\tilde{c}^{(CEA)} \approx 1.5132$ nM
		-40	2.268	2.272					
	$c^{(AFP)} = 100$ nM	-30	2.288	2.272					$\tilde{c}^{(AFP)} \approx 58.1665$ nM
		-20	2.269	2.272					

$c^{(PTH)} = 20$ nM	-10	2.278	2.272					$\tilde{c}^{(PTH)} \approx$ 45.0876 nM
	0	2.278	2.272	2.272	0.000	0.000	0.000	
	10	2.409	2.363	2.272	0.002	0.037	0.052	
	20	2.423	2.431	2.272	0.004	0.071	0.085	
	30	2.467	2.485	2.272	0.005	0.103	0.105	
	40	2.558	2.529	2.272	0.007	0.133	0.117	
	50	2.576	2.567	2.272	0.009	0.161	0.124	
	60	2.602	2.599	2.272	0.011	0.188	0.129	
	70	2.628	2.629	2.272	0.012	0.212	0.132	
	80	2.655	2.655	2.272	0.014	0.235	0.134	
	90	2.662	2.679	2.272	0.016	0.257	0.135	
	100	2.693	2.702	2.272	0.017	0.277	0.136	
	110	2.753	2.723	2.272	0.019	0.296	0.136	
	120	2.753	2.742	2.272	0.021	0.314	0.136	
	130	2.755	2.761	2.272	0.022	0.330	0.136	
	140	2.775	2.778	2.272	0.024	0.345	0.136	
	150	2.788	2.794	2.272	0.025	0.360	0.137	
	160	2.806	2.809	2.272	0.027	0.373	0.137	
	170	2.808	2.823	2.272	0.029	0.386	0.137	
	180	2.819	2.837	2.272	0.030	0.398	0.137	
	190	2.819	2.849	2.272	0.032	0.409	0.137	
	200	2.849	2.861	2.272	0.033	0.419	0.137	
	210	2.843	2.872	2.272	0.035	0.429	0.137	
	220	2.844	2.883	2.272	0.036	0.438	0.137	
	230	2.891	2.893	2.272	0.038	0.447	0.137	
	240	2.910	2.902	2.272	0.039	0.455	0.137	
	250	2.896	2.911	2.272	0.041	0.462	0.137	
	260	2.891	2.920	2.272	0.042	0.469	0.137	
	270	2.906	2.928	2.272	0.044	0.475	0.137	
	280	2.903	2.935	2.272	0.045	0.481	0.137	
	290	2.928	2.942	2.272	0.047	0.487	0.137	
	300	2.942	2.949	2.272	0.048	0.492	0.137	
	310	2.935	2.955	2.272	0.049	0.497	0.137	
	320	2.972	2.961	2.272	0.051	0.502	0.137	
	330	2.970	2.967	2.272	0.052	0.506	0.137	
	340	2.977	2.973	2.272	0.053	0.511	0.137	
	350	2.968	2.978	2.272	0.055	0.514	0.137	
	360	2.950	2.983	2.272	0.056	0.518	0.137	
	370	2.970	2.987	2.272	0.058	0.521	0.137	
	380	2.996	2.992	2.272	0.059	0.524	0.137	
	390	3.000	2.996	2.272	0.060	0.527	0.137	
	400	2.996	3.000	2.272	0.061	0.530	0.137	
	410	2.973	3.004	2.272	0.063	0.533	0.137	
	420	3.006	3.007	2.272	0.064	0.535	0.137	
	430	3.003	3.011	2.272	0.065	0.537	0.137	
	440	3.000	3.014	2.272	0.066	0.539	0.137	

		450	3.000	3.018	2.272	0.068	0.541	0.137		
		460	2.997	3.021	2.272	0.069	0.543	0.137		
		470	2.996	3.024	2.272	0.070	0.545	0.137		
		480	2.997	3.026	2.272	0.071	0.546	0.137		
		490	3.044	3.029	2.272	0.073	0.548	0.137		
		500	3.016	3.032	2.272	0.074	0.549	0.137		
		510	3.035	3.034	2.272	0.075	0.551	0.137		
		520	3.031	3.037	2.272	0.076	0.552	0.137		
		530	3.048	3.039	2.272	0.077	0.553	0.137		
		540	3.046	3.041	2.272	0.078	0.554	0.137		
		550	3.031	3.043	2.272	0.080	0.555	0.137		
		560	3.003	3.045	2.272	0.081	0.556	0.137		
		570	3.065	3.047	2.272	0.082	0.557	0.137		
		580	3.077	3.049	2.272	0.083	0.558	0.137		
		590	3.053	3.051	2.272	0.084	0.559	0.137		
		600	3.041	3.053	2.272	0.085	0.559	0.137		
GFET #M16	$c^{(CEA)} = 2$ nM $c^{(AFP)} = 100$ nM $c^{(PTH)} = 50$ nM	-50	2.294	2.285	-	-	-	-	$\tilde{c}^{(CEA)} \approx 1.1241$ nM $\tilde{c}^{(AFP)} \approx 68.2341$ nM $\tilde{c}^{(PTH)} \approx 106.3341$ nM	
		-40	2.284	2.285						
		-30	2.273	2.285						
		-20	2.289	2.285						
		-10	2.285	2.285						
		0	2.285	2.285						
		10	2.379	2.400						
		20	2.488	2.464						
		30	2.505	2.511						
		40	2.547	2.549						
		50	2.608	2.583						
		60	2.600	2.614						
		70	2.667	2.643						
		80	2.672	2.669						
		90	2.680	2.694						
		100	2.712	2.717						
		110	2.724	2.738						
		120	2.777	2.758						
		130	2.762	2.777						
		140	2.789	2.794						
		150	2.786	2.810						
		160	2.809	2.825						
		170	2.839	2.839						
		180	2.822	2.852						
		190	2.862	2.864						
		200	2.838	2.875						
		210	2.866	2.886						
		220	2.883	2.896						
		230	2.858	2.905						
		240	2.917	2.913						

		250	2.904	2.921	2.285	0.031	0.500	0.105	
		260	2.930	2.929	2.285	0.032	0.507	0.105	
		270	2.922	2.936	2.285	0.034	0.513	0.105	
		280	2.944	2.943	2.285	0.035	0.518	0.105	
		290	2.912	2.949	2.285	0.036	0.523	0.105	
		300	2.927	2.955	2.285	0.037	0.528	0.105	
		310	2.947	2.960	2.285	0.038	0.532	0.105	
		320	2.955	2.965	2.285	0.039	0.536	0.105	
		330	2.962	2.970	2.285	0.040	0.540	0.105	
		340	2.966	2.974	2.285	0.041	0.543	0.105	
		350	2.972	2.979	2.285	0.042	0.547	0.105	
		360	2.984	2.983	2.285	0.043	0.550	0.105	
		370	2.975	2.987	2.285	0.044	0.552	0.105	
		380	3.005	2.990	2.285	0.045	0.555	0.105	
		390	2.991	2.994	2.285	0.046	0.557	0.105	
		400	2.991	2.997	2.285	0.047	0.559	0.105	
		410	2.969	3.000	2.285	0.049	0.561	0.105	
		420	3.000	3.003	2.285	0.050	0.563	0.105	
		430	3.009	3.005	2.285	0.051	0.565	0.105	
		440	3.011	3.008	2.285	0.052	0.567	0.105	
		450	3.008	3.010	2.285	0.053	0.568	0.105	
		460	2.995	3.013	2.285	0.054	0.569	0.105	
		470	2.992	3.015	2.285	0.055	0.571	0.105	
		480	3.009	3.017	2.285	0.055	0.572	0.105	
		490	3.035	3.019	2.285	0.056	0.573	0.105	
		500	3.021	3.021	2.285	0.057	0.574	0.105	
		510	3.033	3.023	2.285	0.058	0.575	0.105	
		520	3.030	3.025	2.285	0.059	0.576	0.105	
		530	3.057	3.027	2.285	0.060	0.577	0.105	
		540	3.038	3.028	2.285	0.061	0.577	0.105	
		550	3.025	3.030	2.285	0.062	0.578	0.105	
		560	3.051	3.032	2.285	0.063	0.579	0.105	
		570	3.044	3.033	2.285	0.064	0.579	0.105	
		580	3.064	3.035	2.285	0.065	0.580	0.105	
		590	3.070	3.036	2.285	0.066	0.580	0.105	
		600	3.095	3.037	2.285	0.067	0.581	0.105	
GFET #M17	$c^{(CEA)} = 5$ nM	-50	2.270	2.265	-	-	-	-	$\tilde{c}^{(CEA)} \approx 5.4244 \text{ nM}$
		-40	2.276	2.265					
		-30	2.274	2.265					
		-20	2.285	2.265					
		-10	2.242	2.265					
	$c^{(AFP)} = 5$ nM	0	2.242	2.265	2.265	0.000	0.000	0.000	$\tilde{c}^{(AFP)} \approx 3.5087 \text{ nM}$
		10	2.305	2.296	2.265	0.007	0.003	0.021	
		20	2.349	2.324	2.265	0.014	0.005	0.040	
		30	2.376	2.351	2.265	0.021	0.008	0.057	
		40	2.410	2.375	2.265	0.028	0.010	0.072	

	50	2.439	2.398	2.265	0.035	0.013	0.086	
	60	2.452	2.419	2.265	0.041	0.015	0.098	
	70	2.441	2.439	2.265	0.048	0.017	0.109	
	80	2.480	2.457	2.265	0.054	0.020	0.119	
	90	2.498	2.474	2.265	0.060	0.022	0.128	
	100	2.514	2.491	2.265	0.066	0.024	0.136	
	110	2.523	2.506	2.265	0.072	0.027	0.143	
	120	2.546	2.520	2.265	0.077	0.029	0.149	
	130	2.537	2.534	2.265	0.083	0.031	0.155	
	140	2.552	2.546	2.265	0.088	0.033	0.160	
	150	2.583	2.558	2.265	0.094	0.035	0.164	
	160	2.550	2.570	2.265	0.099	0.037	0.169	
	170	2.576	2.581	2.265	0.104	0.040	0.172	
	180	2.584	2.591	2.265	0.109	0.042	0.176	
	190	2.601	2.601	2.265	0.114	0.044	0.178	
	200	2.595	2.610	2.265	0.119	0.046	0.181	
	210	2.625	2.619	2.265	0.123	0.048	0.184	
	220	2.617	2.628	2.265	0.128	0.050	0.186	
	230	2.619	2.636	2.265	0.132	0.052	0.188	
	240	2.641	2.644	2.265	0.137	0.054	0.189	
	250	2.674	2.652	2.265	0.141	0.056	0.191	
	260	2.664	2.660	2.265	0.145	0.057	0.192	
	270	2.634	2.667	2.265	0.149	0.059	0.194	
	280	2.662	2.674	2.265	0.153	0.061	0.195	
	290	2.649	2.680	2.265	0.157	0.063	0.196	
	300	2.696	2.687	2.265	0.161	0.065	0.197	
	310	2.697	2.693	2.265	0.165	0.067	0.197	
	320	2.669	2.699	2.265	0.168	0.068	0.198	
	330	2.697	2.705	2.265	0.172	0.070	0.199	
	340	2.703	2.711	2.265	0.175	0.072	0.199	
	350	2.734	2.717	2.265	0.179	0.073	0.200	
	360	2.726	2.722	2.265	0.182	0.075	0.200	
	370	2.711	2.727	2.265	0.185	0.077	0.201	
	380	2.736	2.733	2.265	0.188	0.078	0.201	
	390	2.726	2.738	2.265	0.191	0.080	0.201	
	400	2.757	2.743	2.265	0.194	0.082	0.202	
	410	2.760	2.747	2.265	0.197	0.083	0.202	
	420	2.759	2.752	2.265	0.200	0.085	0.202	
	430	2.786	2.757	2.265	0.203	0.086	0.202	
	440	2.747	2.761	2.265	0.206	0.088	0.203	
	450	2.775	2.766	2.265	0.209	0.089	0.203	
	460	2.772	2.770	2.265	0.211	0.091	0.203	
	470	2.789	2.774	2.265	0.214	0.092	0.203	
	480	2.770	2.778	2.265	0.216	0.094	0.203	
	490	2.793	2.782	2.265	0.219	0.095	0.203	
	500	2.822	2.786	2.265	0.221	0.096	0.203	

		510	2.781	2.790	2.265	0.224	0.098	0.204	
		520	2.838	2.794	2.265	0.226	0.099	0.204	
		530	2.815	2.797	2.265	0.228	0.101	0.204	
		540	2.821	2.801	2.265	0.231	0.102	0.204	
		550	2.820	2.805	2.265	0.233	0.103	0.204	
		560	2.819	2.808	2.265	0.235	0.105	0.204	
		570	2.847	2.811	2.265	0.237	0.106	0.204	
		580	2.822	2.815	2.265	0.239	0.107	0.204	
		590	2.837	2.818	2.265	0.241	0.108	0.204	
		600	2.823	2.821	2.265	0.243	0.110	0.204	
		-50	2.278	2.273	-	-	-	-	
		-40	2.269	2.273					
		-30	2.252	2.273					
		-20	2.275	2.273					
		-10	2.281	2.273					
		0	2.281	2.273					
		10	2.338	2.308					
		20	2.356	2.341					
		30	2.397	2.370					
		40	2.404	2.396					
		50	2.436	2.420					
		60	2.479	2.442					
		70	2.479	2.463					
		80	2.507	2.481					
		90	2.518	2.499					
		100	2.543	2.515					
		110	2.549	2.530					
GFET #M18	$c^{(CEA)} = 5$ nM	120	2.536	2.544	-	-	-	-	$\tilde{c}^{(CEA)} \approx 5.4224 \text{ nM}$
		130	2.572	2.557					$\tilde{c}^{(CEA)} \approx 5.4224 \text{ nM}$
		140	2.564	2.570					$\tilde{c}^{(CEA)} \approx 5.4224 \text{ nM}$
		150	2.594	2.582					$\tilde{c}^{(CEA)} \approx 5.4224 \text{ nM}$
		160	2.582	2.593					$\tilde{c}^{(CEA)} \approx 5.4224 \text{ nM}$
	$c^{(AFP)} = 5$ nM	170	2.612	2.604					$\tilde{c}^{(CEA)} \approx 5.4224 \text{ nM}$
		180	2.597	2.614					$\tilde{c}^{(CEA)} \approx 5.4224 \text{ nM}$
		190	2.634	2.624					$\tilde{c}^{(CEA)} \approx 5.4224 \text{ nM}$
		200	2.632	2.634					$\tilde{c}^{(CEA)} \approx 5.4224 \text{ nM}$
		210	2.640	2.643					$\tilde{c}^{(CEA)} \approx 5.4224 \text{ nM}$
	$c^{(PTH)} = 5$ nM	220	2.641	2.652					$\tilde{c}^{(CEA)} \approx 5.4224 \text{ nM}$
		230	2.664	2.660					$\tilde{c}^{(CEA)} \approx 5.4224 \text{ nM}$
		240	2.684	2.669					$\tilde{c}^{(CEA)} \approx 5.4224 \text{ nM}$
		250	2.696	2.677					$\tilde{c}^{(CEA)} \approx 5.4224 \text{ nM}$
		260	2.685	2.684					$\tilde{c}^{(CEA)} \approx 5.4224 \text{ nM}$
	$c^{(CEA)} \approx 5.4224 \text{ nM}$	270	2.693	2.692					$\tilde{c}^{(CEA)} \approx 5.4224 \text{ nM}$
		280	2.703	2.699					$\tilde{c}^{(CEA)} \approx 5.4224 \text{ nM}$
		290	2.720	2.706					$\tilde{c}^{(CEA)} \approx 5.4224 \text{ nM}$
		300	2.679	2.713					$\tilde{c}^{(CEA)} \approx 5.4224 \text{ nM}$

		310	2.727	2.720	2.273	0.208	0.067	0.172	
		320	2.716	2.727	2.273	0.212	0.069	0.173	
		330	2.717	2.733	2.273	0.217	0.071	0.173	
		340	2.749	2.739	2.273	0.221	0.073	0.173	
		350	2.751	2.746	2.273	0.226	0.074	0.173	
		360	2.737	2.752	2.273	0.230	0.076	0.173	
		370	2.748	2.758	2.273	0.234	0.078	0.173	
		380	2.775	2.763	2.273	0.238	0.079	0.174	
		390	2.774	2.769	2.273	0.242	0.081	0.174	
		400	2.742	2.774	2.273	0.246	0.083	0.174	
		410	2.763	2.780	2.273	0.249	0.084	0.174	
		420	2.795	2.785	2.273	0.253	0.086	0.174	
		430	2.777	2.790	2.273	0.257	0.087	0.174	
		440	2.777	2.795	2.273	0.260	0.089	0.174	
		450	2.795	2.800	2.273	0.264	0.090	0.174	
		460	2.817	2.805	2.273	0.267	0.092	0.174	
		470	2.805	2.810	2.273	0.270	0.093	0.174	
		480	2.811	2.815	2.273	0.273	0.095	0.174	
		490	2.811	2.819	2.273	0.277	0.096	0.174	
		500	2.844	2.824	2.273	0.280	0.098	0.174	
		510	2.835	2.828	2.273	0.283	0.099	0.174	
		520	2.823	2.833	2.273	0.286	0.101	0.174	
		530	2.830	2.837	2.273	0.288	0.102	0.174	
		540	2.856	2.841	2.273	0.291	0.103	0.174	
		550	2.854	2.845	2.273	0.294	0.105	0.174	
		560	2.843	2.849	2.273	0.297	0.106	0.174	
		570	2.828	2.853	2.273	0.299	0.107	0.174	
		580	2.867	2.857	2.273	0.302	0.109	0.174	
		590	2.877	2.861	2.273	0.304	0.110	0.174	
		600	2.871	2.865	2.273	0.307	0.111	0.174	
GFET #M19	$c^{(CEA)} = 5 \text{ nM}$	-50	2.262	2.258	-	-	-	-	$\tilde{c}^{(CEA)} \approx 5.4227 \text{ nM}$
		-40	2.293	2.258					
		-30	2.257	2.258					
		-20	2.255	2.258					
		-10	2.242	2.258					
	$c^{(AFP)} = 5 \text{ nM}$	0	2.242	2.258	2.258	0.000	0.000	0.000	$\tilde{c}^{(AFP)} \approx 5.6239 \text{ nM}$
		10	2.337	2.340	2.258	0.009	0.004	0.068	
		20	2.388	2.393	2.258	0.018	0.008	0.109	
		30	2.431	2.430	2.258	0.026	0.012	0.132	
		40	2.438	2.456	2.258	0.035	0.016	0.146	
	$c^{(PTH)} = 20 \text{ nM}$	50	2.482	2.477	2.258	0.043	0.020	0.155	$\tilde{c}^{(PTH)} \approx 49.4249 \text{ nM}$
		60	2.493	2.493	2.258	0.051	0.024	0.160	
		70	2.526	2.508	2.258	0.059	0.028	0.163	
		80	2.528	2.521	2.258	0.067	0.032	0.164	
		90	2.564	2.533	2.258	0.074	0.036	0.165	
		100	2.544	2.545	2.258	0.082	0.039	0.166	

	110	2.568	2.556	2.258	0.089	0.043	0.166	
	120	2.588	2.567	2.258	0.096	0.046	0.166	
	130	2.594	2.578	2.258	0.103	0.050	0.166	
	140	2.617	2.588	2.258	0.110	0.053	0.167	
	150	2.628	2.598	2.258	0.116	0.057	0.167	
	160	2.618	2.608	2.258	0.123	0.060	0.167	
	170	2.629	2.617	2.258	0.129	0.063	0.167	
	180	2.624	2.627	2.258	0.135	0.067	0.167	
	190	2.694	2.636	2.258	0.141	0.070	0.167	
	200	2.663	2.645	2.258	0.147	0.073	0.167	
	210	2.657	2.654	2.258	0.153	0.076	0.167	
	220	2.683	2.663	2.258	0.158	0.079	0.167	
	230	2.662	2.671	2.258	0.164	0.082	0.167	
	240	2.674	2.680	2.258	0.169	0.085	0.167	
	250	2.721	2.688	2.258	0.175	0.088	0.167	
	260	2.718	2.696	2.258	0.180	0.091	0.167	
	270	2.686	2.704	2.258	0.185	0.094	0.167	
	280	2.695	2.712	2.258	0.190	0.097	0.167	
	290	2.713	2.719	2.258	0.194	0.100	0.167	
	300	2.707	2.727	2.258	0.199	0.103	0.167	
	310	2.735	2.734	2.258	0.204	0.105	0.167	
	320	2.732	2.741	2.258	0.208	0.108	0.167	
	330	2.767	2.748	2.258	0.213	0.111	0.167	
	340	2.767	2.755	2.258	0.217	0.113	0.167	
	350	2.763	2.762	2.258	0.221	0.116	0.167	
	360	2.777	2.769	2.258	0.225	0.118	0.167	
	370	2.753	2.775	2.258	0.229	0.121	0.167	
	380	2.774	2.782	2.258	0.233	0.123	0.167	
	390	2.782	2.788	2.258	0.237	0.126	0.167	
	400	2.812	2.794	2.258	0.241	0.128	0.167	
	410	2.782	2.800	2.258	0.245	0.130	0.167	
	420	2.777	2.806	2.258	0.248	0.133	0.167	
	430	2.784	2.812	2.258	0.252	0.135	0.167	
	440	2.791	2.817	2.258	0.255	0.137	0.167	
	450	2.811	2.823	2.258	0.259	0.139	0.167	
	460	2.798	2.829	2.258	0.262	0.142	0.167	
	470	2.826	2.834	2.258	0.265	0.144	0.167	
	480	2.814	2.839	2.258	0.268	0.146	0.167	
	490	2.813	2.844	2.258	0.271	0.148	0.167	
	500	2.849	2.849	2.258	0.274	0.150	0.167	
	510	2.863	2.854	2.258	0.277	0.152	0.167	
	520	2.817	2.859	2.258	0.280	0.154	0.167	
	530	2.842	2.864	2.258	0.283	0.156	0.167	
	540	2.859	2.869	2.258	0.286	0.158	0.167	
	550	2.857	2.873	2.258	0.288	0.160	0.167	
	560	2.850	2.878	2.258	0.291	0.162	0.167	

		570	2.873	2.882	2.258	0.294	0.164	0.167	
		580	2.870	2.887	2.258	0.296	0.166	0.167	
		590	2.842	2.891	2.258	0.298	0.167	0.167	
		600	2.866	2.895	2.258	0.301	0.169	0.167	
GFET #M20	$c^{(CEA)} = 5$ nM	-50	2.259	2.269	-	-	-	-	$\tilde{c}^{(CEA)} \approx 4.4198$ nM
		-40	2.269	2.269					
		-30	2.277	2.269					
		-20	2.279	2.269					
		-10	2.265	2.269					
		0	2.265	2.269	2.269	0.000	0.000	0.000	
		10	2.371	2.394	2.269	0.007	0.004	0.114	
		20	2.404	2.447	2.269	0.015	0.008	0.155	
		30	2.449	2.473	2.269	0.022	0.011	0.171	
		40	2.473	2.490	2.269	0.029	0.015	0.176	
GFET #M20	$c^{(AFP)} = 5$ nM	50	2.516	2.502	2.269	0.036	0.019	0.178	$\tilde{c}^{(AFP)} \approx 4.4321$ nM
		60	2.507	2.514	2.269	0.043	0.023	0.179	
		70	2.543	2.524	2.269	0.050	0.026	0.180	
		80	2.540	2.534	2.269	0.056	0.030	0.180	
		90	2.572	2.544	2.269	0.063	0.033	0.180	
		100	2.553	2.554	2.269	0.069	0.037	0.180	
		110	2.558	2.564	2.269	0.075	0.040	0.180	
		120	2.589	2.573	2.269	0.081	0.043	0.180	
		130	2.589	2.582	2.269	0.087	0.047	0.180	
		140	2.613	2.592	2.269	0.093	0.050	0.180	
GFET #M20	$c^{(PTH)} = 50$ nM	150	2.603	2.601	2.269	0.099	0.053	0.180	$\tilde{c}^{(PTH)} \approx 95.5883$ nM
		160	2.612	2.609	2.269	0.104	0.056	0.180	
		170	2.645	2.618	2.269	0.110	0.059	0.180	
		180	2.673	2.627	2.269	0.115	0.063	0.180	
		190	2.644	2.635	2.269	0.121	0.066	0.180	
		200	2.634	2.643	2.269	0.126	0.069	0.180	
		210	2.672	2.651	2.269	0.131	0.072	0.180	
		220	2.692	2.659	2.269	0.136	0.075	0.180	
		230	2.658	2.667	2.269	0.141	0.077	0.180	
		240	2.674	2.675	2.269	0.146	0.080	0.180	
		250	2.662	2.683	2.269	0.151	0.083	0.180	
		260	2.704	2.690	2.269	0.155	0.086	0.180	
		270	2.698	2.697	2.269	0.160	0.089	0.180	
		280	2.714	2.705	2.269	0.165	0.091	0.180	
		290	2.711	2.712	2.269	0.169	0.094	0.180	
		300	2.768	2.719	2.269	0.173	0.097	0.180	
		310	2.710	2.726	2.269	0.178	0.099	0.180	
		320	2.713	2.732	2.269	0.182	0.102	0.180	
		330	2.734	2.739	2.269	0.186	0.104	0.180	
		340	2.757	2.745	2.269	0.190	0.107	0.180	
		350	2.763	2.752	2.269	0.194	0.109	0.180	
		360	2.759	2.758	2.269	0.198	0.112	0.180	

		370	2.771	2.764	2.269	0.201	0.114	0.180	
		380	2.805	2.771	2.269	0.205	0.117	0.180	
		390	2.775	2.777	2.269	0.209	0.119	0.180	
		400	2.769	2.782	2.269	0.212	0.121	0.180	
		410	2.741	2.788	2.269	0.216	0.124	0.180	
		420	2.772	2.794	2.269	0.219	0.126	0.180	
		430	2.790	2.800	2.269	0.223	0.128	0.180	
		440	2.804	2.805	2.269	0.226	0.130	0.180	
		450	2.787	2.811	2.269	0.229	0.132	0.180	
		460	2.814	2.816	2.269	0.233	0.135	0.180	
		470	2.817	2.821	2.269	0.236	0.137	0.180	
		480	2.813	2.826	2.269	0.239	0.139	0.180	
		490	2.809	2.832	2.269	0.242	0.141	0.180	
		500	2.795	2.837	2.269	0.245	0.143	0.180	
		510	2.841	2.841	2.269	0.248	0.145	0.180	
		520	2.840	2.846	2.269	0.251	0.147	0.180	
		530	2.817	2.851	2.269	0.254	0.149	0.180	
		540	2.831	2.856	2.269	0.256	0.151	0.180	
		550	2.847	2.860	2.269	0.259	0.153	0.180	
		560	2.849	2.865	2.269	0.262	0.155	0.180	
		570	2.840	2.869	2.269	0.264	0.156	0.180	
		580	2.857	2.874	2.269	0.267	0.158	0.180	
		590	2.859	2.878	2.269	0.269	0.160	0.180	
		600	2.857	2.882	2.269	0.272	0.162	0.180	
GFET #M21	$c^{(CEA)} = 5$ nM $c^{(APP)} = 20$ nM $c^{(PTH)} = 2$ nM	-50	2.281	2.278	-	-	-	-	$\tilde{c}^{(CEA)} \approx 3.8654 \text{ nM}$ $\tilde{c}^{(APP)} \approx 15.0141 \text{ nM}$ $\tilde{c}^{(PTH)} \approx 9.1678 \text{ nM}$
		-40	2.272	2.278					
		-30	2.268	2.278					
		-20	2.266	2.278					
		-10	2.289	2.278					
		0	2.289	2.278					
		10	2.361	2.315	2.278	0.005	0.010	0.023	
		20	2.373	2.349	2.278	0.010	0.019	0.043	
		30	2.416	2.381	2.278	0.015	0.028	0.060	
		40	2.456	2.411	2.278	0.020	0.037	0.076	
		50	2.469	2.439	2.278	0.024	0.046	0.090	
		60	2.474	2.464	2.278	0.029	0.055	0.103	
		70	2.503	2.489	2.278	0.034	0.063	0.114	
		80	2.520	2.511	2.278	0.038	0.071	0.124	
		90	2.533	2.532	2.278	0.043	0.079	0.133	
		100	2.570	2.552	2.278	0.047	0.087	0.141	
		110	2.575	2.571	2.278	0.051	0.095	0.148	
		120	2.591	2.589	2.278	0.055	0.102	0.154	
		130	2.598	2.606	2.278	0.060	0.110	0.159	
		140	2.603	2.622	2.278	0.064	0.117	0.164	
		150	2.638	2.637	2.278	0.068	0.124	0.168	
		160	2.629	2.652	2.278	0.072	0.131	0.172	

		170	2.673	2.666	2.278	0.075	0.137	0.176	
		180	2.664	2.679	2.278	0.079	0.144	0.179	
		190	2.707	2.692	2.278	0.083	0.150	0.182	
		200	2.672	2.704	2.278	0.087	0.156	0.184	
		210	2.688	2.716	2.278	0.090	0.162	0.186	
		220	2.719	2.728	2.278	0.094	0.168	0.188	
		230	2.718	2.738	2.278	0.097	0.174	0.190	
		240	2.734	2.749	2.278	0.101	0.179	0.191	
		250	2.751	2.759	2.278	0.104	0.185	0.193	
		260	2.740	2.769	2.278	0.107	0.190	0.194	
		270	2.753	2.779	2.278	0.111	0.195	0.195	
		280	2.764	2.788	2.278	0.114	0.201	0.196	
		290	2.765	2.797	2.278	0.117	0.206	0.197	
		300	2.790	2.806	2.278	0.120	0.210	0.197	
		310	2.805	2.814	2.278	0.123	0.215	0.198	
		320	2.807	2.822	2.278	0.126	0.220	0.199	
		330	2.812	2.830	2.278	0.129	0.224	0.199	
		340	2.803	2.838	2.278	0.132	0.229	0.200	
		350	2.818	2.846	2.278	0.135	0.233	0.200	
		360	2.828	2.853	2.278	0.138	0.237	0.200	
		370	2.836	2.860	2.278	0.140	0.242	0.201	
		380	2.834	2.867	2.278	0.143	0.246	0.201	
		390	2.868	2.874	2.278	0.146	0.249	0.201	
		400	2.838	2.881	2.278	0.148	0.253	0.202	
		410	2.855	2.888	2.278	0.151	0.257	0.202	
		420	2.866	2.894	2.278	0.154	0.261	0.202	
		430	2.880	2.900	2.278	0.156	0.264	0.202	
		440	2.898	2.906	2.278	0.158	0.268	0.202	
		450	2.896	2.912	2.278	0.161	0.271	0.202	
		460	2.904	2.918	2.278	0.163	0.275	0.203	
		470	2.901	2.924	2.278	0.166	0.278	0.203	
		480	2.921	2.929	2.278	0.168	0.281	0.203	
		490	2.951	2.935	2.278	0.170	0.284	0.203	
		500	2.931	2.940	2.278	0.172	0.287	0.203	
		510	2.947	2.945	2.278	0.175	0.290	0.203	
		520	2.919	2.950	2.278	0.177	0.293	0.203	
		530	2.936	2.955	2.278	0.179	0.296	0.203	
		540	2.955	2.960	2.278	0.181	0.299	0.203	
		550	2.966	2.965	2.278	0.183	0.301	0.203	
		560	2.983	2.970	2.278	0.185	0.304	0.203	
		570	2.976	2.974	2.278	0.187	0.307	0.203	
		580	2.965	2.979	2.278	0.189	0.309	0.203	
		590	2.957	2.983	2.278	0.191	0.311	0.203	
		600	2.971	2.987	2.278	0.193	0.314	0.203	
GFET #M22	$c^{(CEA)} = 5$ nM	-50	2.261	2.270	-	-	-	-	$\tilde{c}^{(CEA)} \approx 4.5169 \text{ nM}$
		-40	2.275	2.270					

$c^{(\text{AFP})} = 20$ nM	-30	2.260	2.270					$\tilde{c}^{(\text{AFP})} \approx$ 16.1332 nM
	-20	2.278	2.270					
$c^{(\text{PTH})} = 5$ nM	-10	2.274	2.270					
	0	2.274	2.270	2.270	0.000	0.000	0.000	$\tilde{c}^{(\text{PTH})} \approx$ 17.1893 nM
	10	2.334	2.318	2.270	0.006	0.010	0.032	
	20	2.383	2.360	2.270	0.012	0.021	0.057	
	30	2.408	2.397	2.270	0.017	0.031	0.078	
	40	2.461	2.429	2.270	0.023	0.040	0.096	
	50	2.480	2.459	2.270	0.028	0.050	0.110	
	60	2.490	2.485	2.270	0.034	0.059	0.122	
	70	2.518	2.509	2.270	0.039	0.068	0.131	
	80	2.554	2.530	2.270	0.044	0.077	0.139	
	90	2.571	2.550	2.270	0.049	0.086	0.145	
	100	2.584	2.569	2.270	0.054	0.094	0.151	
	110	2.618	2.586	2.270	0.059	0.102	0.155	
	120	2.595	2.603	2.270	0.064	0.110	0.158	
	130	2.584	2.618	2.270	0.068	0.118	0.161	
	140	2.647	2.632	2.270	0.073	0.126	0.164	
	150	2.645	2.646	2.270	0.077	0.133	0.166	
	160	2.672	2.659	2.270	0.082	0.140	0.167	
	170	2.687	2.672	2.270	0.086	0.147	0.169	
	180	2.695	2.684	2.270	0.090	0.154	0.170	
	190	2.697	2.696	2.270	0.094	0.161	0.170	
	200	2.691	2.707	2.270	0.099	0.167	0.171	
	210	2.709	2.718	2.270	0.103	0.174	0.172	
	220	2.741	2.729	2.270	0.106	0.180	0.172	
	230	2.715	2.739	2.270	0.110	0.186	0.173	
	240	2.746	2.749	2.270	0.114	0.192	0.173	
	250	2.752	2.759	2.270	0.118	0.198	0.173	
	260	2.760	2.769	2.270	0.121	0.203	0.173	
	270	2.768	2.778	2.270	0.125	0.209	0.174	
	280	2.765	2.787	2.270	0.129	0.214	0.174	
	290	2.798	2.796	2.270	0.132	0.220	0.174	
	300	2.811	2.804	2.270	0.135	0.225	0.174	
	310	2.791	2.813	2.270	0.139	0.230	0.174	
	320	2.819	2.821	2.270	0.142	0.235	0.174	
	330	2.840	2.829	2.270	0.145	0.239	0.174	
	340	2.820	2.837	2.270	0.148	0.244	0.174	
	350	2.822	2.844	2.270	0.151	0.248	0.174	
	360	2.842	2.852	2.270	0.154	0.253	0.174	
	370	2.862	2.859	2.270	0.157	0.257	0.174	
	380	2.848	2.866	2.270	0.160	0.261	0.174	
	390	2.863	2.873	2.270	0.163	0.265	0.174	
	400	2.872	2.880	2.270	0.166	0.269	0.174	
	410	2.880	2.886	2.270	0.168	0.273	0.174	
	420	2.897	2.893	2.270	0.171	0.277	0.174	

		430	2.893	2.899	2.270	0.174	0.281	0.174	
		440	2.888	2.905	2.270	0.176	0.284	0.174	
		450	2.889	2.911	2.270	0.179	0.288	0.174	
		460	2.927	2.917	2.270	0.181	0.291	0.174	
		470	2.922	2.923	2.270	0.184	0.295	0.174	
		480	2.921	2.929	2.270	0.186	0.298	0.174	
		490	2.916	2.934	2.270	0.188	0.301	0.174	
		500	2.933	2.940	2.270	0.191	0.304	0.174	
		510	2.944	2.945	2.270	0.193	0.307	0.174	
		520	2.923	2.950	2.270	0.195	0.310	0.174	
		530	2.951	2.955	2.270	0.197	0.313	0.174	
		540	2.972	2.960	2.270	0.199	0.316	0.174	
		550	2.948	2.965	2.270	0.202	0.319	0.174	
		560	2.966	2.970	2.270	0.204	0.321	0.174	
		570	2.962	2.974	2.270	0.206	0.324	0.174	
		580	3.004	2.979	2.270	0.208	0.327	0.174	
		590	3.000	2.983	2.270	0.210	0.329	0.174	
		600	2.996	2.988	2.270	0.211	0.332	0.174	
		-50	2.266	2.257	-	-	-	-	
		-40	2.255	2.257					
		-30	2.241	2.257					
		-20	2.274	2.257					
		-10	2.252	2.257					
		0	2.252	2.257	2.257	0.000	0.000	0.000	
		10	2.333	2.346	2.257	0.006	0.009	0.074	
		20	2.359	2.407	2.257	0.012	0.018	0.120	
		30	2.439	2.450	2.257	0.018	0.027	0.148	
		40	2.490	2.482	2.257	0.024	0.036	0.166	
		50	2.494	2.508	2.257	0.030	0.044	0.177	
		60	2.515	2.528	2.257	0.035	0.052	0.184	$\tilde{c}^{(CEA)} \approx 4.3209 \text{ nM}$
		70	2.538	2.546	2.257	0.041	0.061	0.188	
		80	2.545	2.562	2.257	0.046	0.068	0.191	$\tilde{c}^{(AFP)} \approx 13.9763 \text{ nM}$
		90	2.605	2.577	2.257	0.052	0.076	0.193	
		100	2.585	2.591	2.257	0.057	0.084	0.194	$\tilde{c}^{(PTH)} \approx 44.2076 \text{ nM}$
		110	2.594	2.604	2.257	0.062	0.091	0.194	
		120	2.628	2.617	2.257	0.067	0.098	0.195	
		130	2.665	2.629	2.257	0.072	0.105	0.195	
		140	2.655	2.641	2.257	0.077	0.112	0.195	
		150	2.635	2.652	2.257	0.082	0.119	0.195	
		160	2.668	2.664	2.257	0.086	0.126	0.195	
		170	2.668	2.675	2.257	0.091	0.132	0.195	
		180	2.691	2.685	2.257	0.095	0.138	0.195	
		190	2.691	2.696	2.257	0.100	0.144	0.195	
		200	2.698	2.706	2.257	0.104	0.150	0.195	
		210	2.707	2.717	2.257	0.108	0.156	0.195	
		220	2.733	2.727	2.257	0.113	0.162	0.195	

		230	2.748	2.736	2.257	0.117	0.168	0.195		
		240	2.740	2.746	2.257	0.121	0.173	0.195		
		250	2.737	2.755	2.257	0.125	0.179	0.195		
		260	2.751	2.764	2.257	0.129	0.184	0.195		
		270	2.763	2.773	2.257	0.132	0.189	0.195		
		280	2.782	2.782	2.257	0.136	0.194	0.195		
		290	2.795	2.791	2.257	0.140	0.199	0.195		
		300	2.789	2.799	2.257	0.143	0.204	0.195		
		310	2.790	2.807	2.257	0.147	0.208	0.195		
		320	2.817	2.815	2.257	0.150	0.213	0.195		
		330	2.824	2.823	2.257	0.154	0.217	0.195		
		340	2.814	2.831	2.257	0.157	0.222	0.195		
		350	2.842	2.838	2.257	0.160	0.226	0.195		
		360	2.846	2.846	2.257	0.164	0.230	0.195		
		370	2.857	2.853	2.257	0.167	0.234	0.195		
		380	2.830	2.860	2.257	0.170	0.238	0.195		
		390	2.878	2.867	2.257	0.173	0.242	0.195		
		400	2.844	2.874	2.257	0.176	0.246	0.195		
		410	2.857	2.881	2.257	0.179	0.250	0.195		
		420	2.876	2.887	2.257	0.182	0.253	0.195		
		430	2.891	2.894	2.257	0.185	0.257	0.195		
		440	2.902	2.900	2.257	0.187	0.261	0.195		
		450	2.904	2.906	2.257	0.190	0.264	0.195		
		460	2.907	2.912	2.257	0.193	0.267	0.195		
		470	2.912	2.918	2.257	0.196	0.271	0.195		
		480	2.934	2.924	2.257	0.198	0.274	0.195		
		490	2.911	2.929	2.257	0.201	0.277	0.195		
		500	2.897	2.935	2.257	0.203	0.280	0.195		
		510	2.945	2.940	2.257	0.206	0.283	0.195		
		520	2.960	2.946	2.257	0.208	0.286	0.195		
		530	2.967	2.951	2.257	0.210	0.289	0.195		
		540	2.966	2.956	2.257	0.213	0.291	0.195		
		550	2.957	2.961	2.257	0.215	0.294	0.195		
		560	2.942	2.966	2.257	0.217	0.297	0.195		
		570	2.965	2.971	2.257	0.219	0.299	0.195		
		580	2.968	2.975	2.257	0.222	0.302	0.195		
		590	2.989	2.980	2.257	0.224	0.304	0.195		
		600	2.980	2.985	2.257	0.226	0.307	0.195		
GFET #M24	$c^{(CEA)} = 5$ nM	-50	2.267	2.260	-	-	-	-	$\tilde{c}^{(CEA)} \approx 4.3147 \text{ nM}$ $\tilde{c}^{(AFP)} \approx 14.0023 \text{ nM}$ $\tilde{c}^{(PTH)} \approx 111.2235 \text{ nM}$	
		-40	2.252	2.260						
		-30	2.284	2.260						
	$c^{(AFP)} = 20$ nM	-20	2.267	2.260	-	-	-	-		
		-10	2.246	2.260						
		0	2.246	2.260						
	$c^{(PTH)} = 50$ nM	10	2.390	2.415	2.260	0.006	0.010	0.139		
		20	2.391	2.474	2.260	0.011	0.019	0.183		

	30	2.482	2.502	2.260	0.017	0.028	0.197	
	40	2.509	2.521	2.260	0.022	0.037	0.201	
	50	2.545	2.536	2.260	0.027	0.046	0.202	
	60	2.545	2.550	2.260	0.033	0.055	0.203	
	70	2.547	2.564	2.260	0.038	0.063	0.203	
	80	2.591	2.577	2.260	0.043	0.071	0.203	
	90	2.596	2.590	2.260	0.048	0.080	0.203	
	100	2.621	2.603	2.260	0.053	0.087	0.203	
	110	2.630	2.616	2.260	0.057	0.095	0.203	
	120	2.633	2.628	2.260	0.062	0.103	0.203	
	130	2.656	2.640	2.260	0.067	0.110	0.203	
	140	2.664	2.651	2.260	0.071	0.117	0.203	
	150	2.655	2.663	2.260	0.075	0.124	0.203	
	160	2.687	2.674	2.260	0.080	0.131	0.203	
	170	2.707	2.685	2.260	0.084	0.138	0.203	
	180	2.687	2.696	2.260	0.088	0.144	0.203	
	190	2.702	2.706	2.260	0.092	0.151	0.203	
	200	2.709	2.717	2.260	0.096	0.157	0.203	
	210	2.721	2.727	2.260	0.100	0.163	0.203	
	220	2.735	2.737	2.260	0.104	0.169	0.203	
	230	2.747	2.746	2.260	0.108	0.175	0.203	
	240	2.744	2.756	2.260	0.112	0.181	0.203	
	250	2.771	2.765	2.260	0.116	0.186	0.203	
	260	2.787	2.774	2.260	0.119	0.192	0.203	
	270	2.776	2.783	2.260	0.123	0.197	0.203	
	280	2.780	2.792	2.260	0.126	0.202	0.203	
	290	2.789	2.800	2.260	0.130	0.208	0.203	
	300	2.775	2.809	2.260	0.133	0.213	0.203	
	310	2.821	2.817	2.260	0.136	0.217	0.203	
	320	2.829	2.825	2.260	0.140	0.222	0.203	
	330	2.814	2.833	2.260	0.143	0.227	0.203	
	340	2.833	2.841	2.260	0.146	0.232	0.203	
	350	2.835	2.848	2.260	0.149	0.236	0.203	
	360	2.845	2.855	2.260	0.152	0.240	0.203	
	370	2.851	2.863	2.260	0.155	0.245	0.203	
	380	2.841	2.870	2.260	0.158	0.249	0.203	
	390	2.860	2.877	2.260	0.161	0.253	0.203	
	400	2.885	2.884	2.260	0.164	0.257	0.203	
	410	2.913	2.890	2.260	0.166	0.261	0.203	
	420	2.872	2.897	2.260	0.169	0.265	0.203	
	430	2.885	2.903	2.260	0.172	0.268	0.203	
	440	2.904	2.909	2.260	0.174	0.272	0.203	
	450	2.888	2.915	2.260	0.177	0.276	0.203	
	460	2.924	2.921	2.260	0.179	0.279	0.203	
	470	2.889	2.927	2.260	0.182	0.282	0.203	
	480	2.915	2.933	2.260	0.184	0.286	0.203	

		490	2.918	2.939	2.260	0.187	0.289	0.203	
		500	2.928	2.944	2.260	0.189	0.292	0.203	
		510	2.950	2.950	2.260	0.191	0.295	0.203	
		520	2.942	2.955	2.260	0.194	0.298	0.203	
		530	2.970	2.960	2.260	0.196	0.301	0.203	
		540	2.956	2.965	2.260	0.198	0.304	0.203	
		550	2.952	2.970	2.260	0.200	0.307	0.203	
		560	2.951	2.975	2.260	0.202	0.310	0.203	
		570	2.985	2.980	2.260	0.204	0.313	0.203	
		580	2.973	2.985	2.260	0.206	0.315	0.203	
		590	2.971	2.989	2.260	0.208	0.318	0.203	
		600	2.970	2.994	2.260	0.210	0.320	0.203	
		-50	2.261	2.260					
		-40	2.266	2.260					
		-30	2.265	2.260					
		-20	2.249	2.260					
		-10	2.259	2.260					
		0	2.259	2.260	2.260	0.000	0.000	0.000	
		10	2.363	2.307	2.260	0.005	0.015	0.026	
		20	2.418	2.350	2.260	0.010	0.030	0.050	
		30	2.463	2.390	2.260	0.015	0.045	0.070	
		40	2.486	2.427	2.260	0.020	0.059	0.089	
		50	2.494	2.462	2.260	0.024	0.073	0.105	
		60	2.525	2.494	2.260	0.029	0.086	0.120	
		70	2.570	2.525	2.260	0.034	0.099	0.133	
		80	2.600	2.553	2.260	0.038	0.111	0.144	
		90	2.609	2.580	2.260	0.042	0.123	0.154	
		100	2.604	2.605	2.260	0.047	0.135	0.164	
GFET #M25	$c^{(CEA)} = 5$ nM	110	2.624	2.628	2.260	0.051	0.146	0.172	$\tilde{c}^{(CEA)} \approx 3.8532 \text{ nM}$
		120	2.682	2.651	2.260	0.055	0.157	0.179	$\tilde{c}^{(AFP)} \approx 23.1433 \text{ nM}$
		130	2.666	2.672	2.260	0.059	0.168	0.185	
		140	2.695	2.692	2.260	0.063	0.178	0.191	
		150	2.707	2.711	2.260	0.067	0.188	0.196	
	$c^{(AFP)} = 50$ nM	160	2.742	2.729	2.260	0.071	0.197	0.200	$\tilde{c}^{(PTH)} \approx 9.2344 \text{ nM}$
		170	2.713	2.746	2.260	0.075	0.207	0.204	
		180	2.730	2.762	2.260	0.079	0.216	0.208	
		190	2.772	2.778	2.260	0.083	0.224	0.211	
		200	2.799	2.793	2.260	0.086	0.233	0.214	
	$c^{(PTH)} = 2$ nM	210	2.787	2.807	2.260	0.090	0.241	0.216	
		220	2.839	2.821	2.260	0.093	0.249	0.218	
		230	2.810	2.834	2.260	0.097	0.257	0.220	
		240	2.845	2.846	2.260	0.100	0.264	0.222	
		250	2.853	2.859	2.260	0.104	0.271	0.224	
		260	2.860	2.870	2.260	0.107	0.278	0.225	
		270	2.872	2.881	2.260	0.110	0.285	0.226	
		280	2.865	2.892	2.260	0.113	0.292	0.227	

		290	2.889	2.903	2.260	0.116	0.298	0.228	
		300	2.887	2.913	2.260	0.120	0.304	0.229	
		310	2.902	2.923	2.260	0.123	0.310	0.230	
		320	2.921	2.932	2.260	0.126	0.316	0.231	
		330	2.938	2.941	2.260	0.129	0.322	0.231	
		340	2.924	2.950	2.260	0.131	0.327	0.232	
		350	2.938	2.959	2.260	0.134	0.332	0.232	
		360	2.954	2.967	2.260	0.137	0.338	0.233	
		370	2.947	2.975	2.260	0.140	0.342	0.233	
		380	2.990	2.983	2.260	0.142	0.347	0.233	
		390	2.957	2.990	2.260	0.145	0.352	0.234	
		400	2.990	2.998	2.260	0.148	0.356	0.234	
		410	2.990	3.005	2.260	0.150	0.361	0.234	
		420	2.969	3.012	2.260	0.153	0.365	0.234	
		430	2.979	3.019	2.260	0.155	0.369	0.235	
		440	3.018	3.025	2.260	0.158	0.373	0.235	
		450	3.004	3.032	2.260	0.160	0.377	0.235	
		460	3.001	3.038	2.260	0.163	0.380	0.235	
		470	3.044	3.044	2.260	0.165	0.384	0.235	
		480	3.035	3.050	2.260	0.167	0.388	0.235	
		490	3.016	3.055	2.260	0.169	0.391	0.235	
		500	3.067	3.061	2.260	0.172	0.394	0.235	
		510	3.046	3.066	2.260	0.174	0.397	0.235	
		520	3.050	3.072	2.260	0.176	0.400	0.236	
		530	3.089	3.077	2.260	0.178	0.403	0.236	
		540	3.080	3.082	2.260	0.180	0.406	0.236	
		550	3.103	3.087	2.260	0.182	0.409	0.236	
		560	3.075	3.091	2.260	0.184	0.412	0.236	
		570	3.084	3.096	2.260	0.186	0.414	0.236	
		580	3.115	3.100	2.260	0.188	0.417	0.236	
		590	3.093	3.105	2.260	0.190	0.419	0.236	
		600	3.099	3.109	2.260	0.192	0.422	0.236	
GFET #M26	$c^{(CEA)} = 5 \text{ nM}$	-50	2.308	2.289	-	-	-	-	$\tilde{c}^{(CEA)} \approx 4.5213 \text{ nM}$ $\tilde{c}^{(AFP)} \approx 28.1665 \text{ nM}$ $\tilde{c}^{(PTH)} \approx 16.1764 \text{ nM}$
		-40	2.287	2.289					
		-30	2.293	2.289					
		-20	2.284	2.289					
		-10	2.281	2.289					
	$c^{(AFP)} = 50 \text{ nM}$	0	2.281	2.289	2.289	0.000	0.000	0.000	
		10	2.357	2.344	2.289	0.006	0.018	0.031	
		20	2.444	2.393	2.289	0.012	0.036	0.057	
		30	2.486	2.437	2.289	0.017	0.053	0.079	
		40	2.503	2.477	2.289	0.023	0.069	0.096	
	$c^{(PTH)} = 5 \text{ nM}$	50	2.529	2.513	2.289	0.028	0.085	0.111	
		60	2.581	2.545	2.289	0.033	0.100	0.123	
		70	2.607	2.575	2.289	0.039	0.115	0.133	
		80	2.602	2.603	2.289	0.044	0.129	0.142	

	90	2.644	2.628	2.289	0.049	0.142	0.149	
	100	2.636	2.652	2.289	0.054	0.155	0.154	
	110	2.656	2.674	2.289	0.059	0.168	0.159	
	120	2.724	2.695	2.289	0.063	0.180	0.163	
	130	2.714	2.715	2.289	0.068	0.192	0.166	
	140	2.717	2.733	2.289	0.073	0.203	0.169	
	150	2.735	2.751	2.289	0.077	0.214	0.171	
	160	2.745	2.767	2.289	0.081	0.225	0.173	
	170	2.758	2.783	2.289	0.086	0.235	0.174	
	180	2.778	2.799	2.289	0.090	0.244	0.176	
	190	2.789	2.813	2.289	0.094	0.254	0.177	
	200	2.808	2.827	2.289	0.098	0.263	0.178	
	210	2.821	2.841	2.289	0.102	0.272	0.178	
	220	2.817	2.854	2.289	0.106	0.280	0.179	
	230	2.824	2.866	2.289	0.110	0.288	0.179	
	240	2.862	2.878	2.289	0.114	0.296	0.180	
	250	2.880	2.890	2.289	0.117	0.304	0.180	
	260	2.894	2.901	2.289	0.121	0.311	0.180	
	270	2.882	2.912	2.289	0.124	0.318	0.181	
	280	2.899	2.922	2.289	0.128	0.325	0.181	
	290	2.922	2.932	2.289	0.131	0.331	0.181	
	300	2.925	2.942	2.289	0.135	0.337	0.181	
	310	2.931	2.951	2.289	0.138	0.343	0.181	
	320	2.958	2.960	2.289	0.141	0.349	0.181	
	330	2.993	2.969	2.289	0.144	0.355	0.181	
	340	2.975	2.978	2.289	0.147	0.360	0.181	
	350	2.974	2.986	2.289	0.151	0.365	0.182	
	360	2.995	2.994	2.289	0.154	0.370	0.182	
	370	3.004	3.002	2.289	0.156	0.375	0.182	
	380	3.007	3.010	2.289	0.159	0.380	0.182	
	390	3.016	3.017	2.289	0.162	0.385	0.182	
	400	3.000	3.024	2.289	0.165	0.389	0.182	
	410	3.000	3.031	2.289	0.168	0.393	0.182	
	420	3.027	3.038	2.289	0.170	0.397	0.182	
	430	3.037	3.044	2.289	0.173	0.401	0.182	
	440	3.035	3.051	2.289	0.175	0.405	0.182	
	450	3.057	3.057	2.289	0.178	0.408	0.182	
	460	3.050	3.063	2.289	0.180	0.412	0.182	
	470	3.062	3.068	2.289	0.183	0.415	0.182	
	480	3.056	3.074	2.289	0.185	0.418	0.182	
	490	3.080	3.080	2.289	0.188	0.422	0.182	
	500	3.079	3.085	2.289	0.190	0.425	0.182	
	510	3.098	3.090	2.289	0.192	0.427	0.182	
	520	3.094	3.095	2.289	0.194	0.430	0.182	
	530	3.083	3.100	2.289	0.196	0.433	0.182	
	540	3.090	3.105	2.289	0.199	0.436	0.182	

		550	3.096	3.109	2.289	0.201	0.438	0.182	
		560	3.105	3.114	2.289	0.203	0.440	0.182	
		570	3.102	3.118	2.289	0.205	0.443	0.182	
		580	3.125	3.122	2.289	0.207	0.445	0.182	
		590	3.123	3.126	2.289	0.209	0.447	0.182	
		600	3.120	3.130	2.289	0.210	0.449	0.182	
GFET #M27	$c^{(CEA)} = 5$ nM	-50	2.263	2.263	-	-	-	-	$\tilde{c}^{(CEA)} \approx 4.0389 \text{ nM}$
		-40	2.248	2.263					
		-30	2.268	2.263					
		-20	2.265	2.263					
		-10	2.268	2.263					
		0	2.268	2.263	2.263	0.000	0.000	0.000	
		10	2.358	2.354	2.263	0.005	0.020	0.065	
		20	2.457	2.418	2.263	0.011	0.039	0.105	
		30	2.476	2.466	2.263	0.016	0.058	0.129	
		40	2.548	2.504	2.263	0.021	0.076	0.144	
		50	2.568	2.535	2.263	0.026	0.093	0.153	
		60	2.587	2.562	2.263	0.031	0.109	0.158	
		70	2.600	2.586	2.263	0.036	0.125	0.162	
		80	2.637	2.608	2.263	0.040	0.141	0.164	
		90	2.652	2.629	2.263	0.045	0.156	0.165	
		100	2.641	2.648	2.263	0.049	0.170	0.165	
		110	2.693	2.667	2.263	0.054	0.184	0.166	
		120	2.695	2.685	2.263	0.058	0.197	0.166	
		130	2.715	2.702	2.263	0.063	0.210	0.166	
		140	2.705	2.719	2.263	0.067	0.222	0.166	
		150	2.766	2.735	2.263	0.071	0.234	0.166	
		160	2.750	2.751	2.263	0.075	0.246	0.167	
		170	2.791	2.766	2.263	0.079	0.257	0.167	
		180	2.796	2.780	2.263	0.083	0.267	0.167	
		190	2.826	2.795	2.263	0.087	0.278	0.167	
		200	2.806	2.808	2.263	0.091	0.288	0.167	
		210	2.820	2.822	2.263	0.095	0.297	0.167	
		220	2.832	2.835	2.263	0.098	0.306	0.167	
		230	2.846	2.847	2.263	0.102	0.315	0.167	
		240	2.857	2.859	2.263	0.106	0.324	0.167	
		250	2.872	2.871	2.263	0.109	0.332	0.167	
		260	2.878	2.882	2.263	0.113	0.340	0.167	
		270	2.882	2.893	2.263	0.116	0.348	0.167	
		280	2.891	2.904	2.263	0.119	0.355	0.167	
		290	2.922	2.914	2.263	0.123	0.362	0.167	
		300	2.922	2.925	2.263	0.126	0.369	0.167	
		310	2.948	2.934	2.263	0.129	0.375	0.167	
		320	2.922	2.944	2.263	0.132	0.382	0.167	
		330	2.928	2.953	2.263	0.135	0.388	0.167	
		340	2.951	2.962	2.263	0.138	0.394	0.167	

		350	2.957	2.971	2.263	0.141	0.400	0.167	
		360	2.960	2.979	2.263	0.144	0.405	0.167	
		370	2.978	2.987	2.263	0.147	0.410	0.167	
		380	2.977	2.995	2.263	0.150	0.415	0.167	
		390	2.999	3.003	2.263	0.152	0.420	0.167	
		400	2.990	3.010	2.263	0.155	0.425	0.167	
		410	3.000	3.017	2.263	0.158	0.430	0.167	
		420	3.028	3.024	2.263	0.160	0.434	0.167	
		430	3.032	3.031	2.263	0.163	0.438	0.167	
		440	3.028	3.038	2.263	0.165	0.442	0.167	
		450	3.022	3.044	2.263	0.168	0.446	0.167	
		460	3.043	3.050	2.263	0.170	0.450	0.167	
		470	3.048	3.056	2.263	0.173	0.454	0.167	
		480	3.049	3.062	2.263	0.175	0.457	0.167	
		490	3.063	3.068	2.263	0.177	0.461	0.167	
		500	3.052	3.074	2.263	0.180	0.464	0.167	
		510	3.044	3.079	2.263	0.182	0.467	0.167	
		520	3.084	3.084	2.263	0.184	0.470	0.167	
		530	3.083	3.089	2.263	0.186	0.473	0.167	
		540	3.094	3.094	2.263	0.188	0.476	0.167	
		550	3.094	3.099	2.263	0.190	0.479	0.167	
		560	3.087	3.104	2.263	0.193	0.481	0.167	
		570	3.130	3.108	2.263	0.195	0.484	0.167	
		580	3.093	3.113	2.263	0.196	0.486	0.167	
		590	3.095	3.117	2.263	0.198	0.489	0.167	
		600	3.120	3.121	2.263	0.200	0.491	0.167	
GFET #M28	$c^{(CEA)} = 5$ nM $c^{(AFP)} = 50$ nM $c^{(PTH)} = 50$ nM	-50	2.293	2.275	-	-	-	-	$\tilde{c}^{(CEA)} \approx 3.8804 \text{ nM}$ $\tilde{c}^{(AFP)} \approx 28.7566 \text{ nM}$ $\tilde{c}^{(PTH)} \approx 108.4332 \text{ nM}$
		-40	2.272	2.275					
		-30	2.280	2.275					
		-20	2.266	2.275					
		-10	2.270	2.275					
		0	2.270	2.275	2.275	0.000	0.000	0.000	
		10	2.397	2.416	2.275	0.005	0.020	0.116	
		20	2.494	2.478	2.275	0.010	0.039	0.154	
		30	2.496	2.514	2.275	0.015	0.057	0.166	
		40	2.569	2.540	2.275	0.020	0.075	0.170	
		50	2.579	2.563	2.275	0.025	0.092	0.171	
		60	2.626	2.585	2.275	0.030	0.109	0.172	
		70	2.630	2.606	2.275	0.034	0.125	0.172	
		80	2.668	2.626	2.275	0.039	0.140	0.172	
		90	2.667	2.645	2.275	0.043	0.155	0.172	
		100	2.668	2.664	2.275	0.048	0.169	0.172	
		110	2.684	2.682	2.275	0.052	0.182	0.172	
		120	2.708	2.699	2.275	0.056	0.196	0.172	
		130	2.738	2.716	2.275	0.061	0.208	0.172	
		140	2.739	2.732	2.275	0.065	0.221	0.172	

	150	2.746	2.748	2.275	0.069	0.232	0.172	
	160	2.757	2.763	2.275	0.073	0.244	0.172	
	170	2.785	2.778	2.275	0.077	0.255	0.172	
	180	2.775	2.793	2.275	0.081	0.265	0.172	
	190	2.809	2.807	2.275	0.084	0.275	0.172	
	200	2.815	2.820	2.275	0.088	0.285	0.172	
	210	2.837	2.833	2.275	0.092	0.294	0.172	
	220	2.847	2.846	2.275	0.095	0.304	0.172	
	230	2.840	2.858	2.275	0.099	0.312	0.172	
	240	2.883	2.870	2.275	0.102	0.321	0.172	
	250	2.881	2.882	2.275	0.106	0.329	0.172	
	260	2.905	2.893	2.275	0.109	0.337	0.172	
	270	2.905	2.904	2.275	0.113	0.344	0.172	
	280	2.906	2.914	2.275	0.116	0.351	0.172	
	290	2.909	2.924	2.275	0.119	0.358	0.172	
	300	2.920	2.934	2.275	0.122	0.365	0.172	
	310	2.937	2.944	2.275	0.125	0.371	0.172	
	320	2.945	2.953	2.275	0.128	0.378	0.172	
	330	2.963	2.962	2.275	0.131	0.384	0.172	
	340	2.949	2.971	2.275	0.134	0.390	0.172	
	350	2.960	2.979	2.275	0.137	0.395	0.172	
	360	2.948	2.987	2.275	0.140	0.400	0.172	
	370	3.023	2.995	2.275	0.143	0.406	0.172	
	380	2.980	3.003	2.275	0.146	0.411	0.172	
	390	3.005	3.011	2.275	0.148	0.415	0.172	
	400	2.984	3.018	2.275	0.151	0.420	0.172	
	410	3.025	3.025	2.275	0.154	0.425	0.172	
	420	2.988	3.032	2.275	0.156	0.429	0.172	
	430	3.038	3.039	2.275	0.159	0.433	0.172	
	440	3.047	3.045	2.275	0.161	0.437	0.172	
	450	3.026	3.051	2.275	0.164	0.441	0.172	
	460	3.040	3.057	2.275	0.166	0.444	0.172	
	470	3.035	3.063	2.275	0.168	0.448	0.172	
	480	3.041	3.069	2.275	0.171	0.451	0.172	
	490	3.043	3.075	2.275	0.173	0.455	0.172	
	500	3.081	3.080	2.275	0.175	0.458	0.172	
	510	3.083	3.085	2.275	0.177	0.461	0.172	
	520	3.089	3.091	2.275	0.180	0.464	0.172	
	530	3.096	3.096	2.275	0.182	0.467	0.172	
	540	3.113	3.100	2.275	0.184	0.470	0.172	
	550	3.102	3.105	2.275	0.186	0.472	0.172	
	560	3.103	3.110	2.275	0.188	0.475	0.172	
	570	3.098	3.114	2.275	0.190	0.477	0.172	
	580	3.098	3.118	2.275	0.192	0.480	0.172	
	590	3.111	3.123	2.275	0.194	0.482	0.172	
	600	3.114	3.127	2.275	0.196	0.484	0.172	

GFET #M29		-50	2.268	2.267	-	-	-	-
		-40	2.278	2.267				
		-30	2.265	2.267				
		-20	2.259	2.267				
		-10	2.268	2.267				
		0	2.268	2.267	2.267	0.000	0.000	0.000
		10	2.357	2.313	2.267	0.005	0.032	0.009
		20	2.427	2.357	2.267	0.010	0.062	0.017
		30	2.423	2.398	2.267	0.015	0.091	0.025
		40	2.502	2.437	2.267	0.020	0.118	0.032
		50	2.526	2.475	2.267	0.025	0.143	0.039
		60	2.554	2.510	2.267	0.030	0.167	0.045
		70	2.604	2.543	2.267	0.035	0.190	0.050
		80	2.630	2.575	2.267	0.039	0.212	0.056
		90	2.637	2.604	2.267	0.044	0.232	0.061
		100	2.666	2.633	2.267	0.048	0.252	0.065
		110	2.682	2.660	2.267	0.053	0.270	0.069
		120	2.717	2.685	2.267	0.057	0.287	0.073
		130	2.728	2.710	2.267	0.061	0.304	0.077
		140	2.756	2.733	2.267	0.066	0.319	0.080
		150	2.750	2.755	2.267	0.070	0.334	0.084
		160	2.774	2.776	2.267	0.074	0.348	0.087
		170	2.788	2.795	2.267	0.078	0.361	0.089
		180	2.828	2.814	2.267	0.082	0.373	0.092
		190	2.848	2.832	2.267	0.085	0.385	0.094
		200	2.851	2.849	2.267	0.089	0.396	0.096
		210	2.898	2.866	2.267	0.093	0.407	0.098
		220	2.888	2.881	2.267	0.097	0.417	0.100
		230	2.905	2.896	2.267	0.100	0.426	0.102
		240	2.904	2.910	2.267	0.104	0.435	0.104
		250	2.917	2.923	2.267	0.107	0.443	0.105
		260	2.945	2.936	2.267	0.111	0.451	0.106
		270	2.918	2.948	2.267	0.114	0.459	0.108
		280	2.929	2.960	2.267	0.117	0.466	0.109
		290	2.965	2.971	2.267	0.120	0.473	0.110
		300	2.977	2.981	2.267	0.124	0.479	0.111
		310	2.978	2.992	2.267	0.127	0.485	0.112
		320	3.001	3.001	2.267	0.130	0.491	0.113
		330	2.998	3.010	2.267	0.133	0.496	0.114
		340	2.978	3.019	2.267	0.136	0.501	0.115
		350	2.988	3.028	2.267	0.139	0.506	0.115
		360	3.007	3.036	2.267	0.142	0.511	0.116
		370	3.040	3.044	2.267	0.145	0.515	0.117
		380	3.020	3.051	2.267	0.147	0.519	0.117
		390	3.013	3.058	2.267	0.150	0.523	0.118
		400	3.057	3.065	2.267	0.153	0.527	0.118

		410	3.053	3.072	2.267	0.155	0.530	0.119	
		420	3.047	3.078	2.267	0.158	0.533	0.119	
		430	3.046	3.084	2.267	0.160	0.537	0.119	
		440	3.072	3.090	2.267	0.163	0.539	0.120	
		450	3.054	3.095	2.267	0.165	0.542	0.120	
		460	3.075	3.101	2.267	0.168	0.545	0.121	
		470	3.070	3.106	2.267	0.170	0.547	0.121	
		480	3.083	3.111	2.267	0.173	0.550	0.121	
		490	3.111	3.116	2.267	0.175	0.552	0.121	
		500	3.095	3.120	2.267	0.177	0.554	0.122	
		510	3.124	3.125	2.267	0.179	0.556	0.122	
		520	3.108	3.129	2.267	0.182	0.558	0.122	
		530	3.126	3.133	2.267	0.184	0.560	0.122	
		540	3.121	3.137	2.267	0.186	0.561	0.122	
		550	3.114	3.141	2.267	0.188	0.563	0.123	
		560	3.130	3.145	2.267	0.190	0.564	0.123	
		570	3.165	3.148	2.267	0.192	0.566	0.123	
		580	3.138	3.152	2.267	0.194	0.567	0.123	
		590	3.160	3.155	2.267	0.196	0.568	0.123	
		600	3.159	3.158	2.267	0.198	0.570	0.123	
		-50	2.243	2.254	-	-	-	-	
		-40	2.249	2.254					
		-30	2.249	2.254					
		-20	2.251	2.254					
		-10	2.268	2.254					
		0	2.268	2.254	2.254	0.000	0.000	0.000	
		10	2.361	2.314	2.254	0.005	0.034	0.020	
		20	2.431	2.369	2.254	0.011	0.066	0.037	
		30	2.434	2.419	2.254	0.016	0.097	0.052	
		40	2.510	2.465	2.254	0.021	0.126	0.064	
		50	2.564	2.508	2.254	0.026	0.153	0.075	$\tilde{c}^{(CEA)} \approx 4.5876 \text{ nM}$
		60	2.589	2.547	2.254	0.031	0.178	0.084	
		70	2.613	2.584	2.254	0.036	0.203	0.091	$\tilde{c}^{(AFP)} \approx 49.2144 \text{ nM}$
		80	2.657	2.618	2.254	0.040	0.225	0.097	
		90	2.688	2.649	2.254	0.045	0.247	0.103	$\tilde{c}^{(PTH)} \approx 13.8805 \text{ nM}$
		100	2.693	2.678	2.254	0.049	0.267	0.107	
		110	2.706	2.706	2.254	0.054	0.286	0.111	
		120	2.720	2.732	2.254	0.058	0.305	0.115	
		130	2.794	2.756	2.254	0.062	0.322	0.117	
		140	2.790	2.779	2.254	0.067	0.338	0.120	
		150	2.799	2.800	2.254	0.071	0.353	0.122	
		160	2.801	2.820	2.254	0.075	0.367	0.123	
		170	2.834	2.839	2.254	0.079	0.381	0.125	
		180	2.836	2.857	2.254	0.082	0.394	0.126	
		190	2.873	2.874	2.254	0.086	0.406	0.127	
		200	2.861	2.890	2.254	0.090	0.417	0.128	

		210	2.907	2.905	2.254	0.094	0.428	0.129	
		220	2.871	2.919	2.254	0.097	0.438	0.129	
		230	2.905	2.933	2.254	0.101	0.448	0.130	
		240	2.925	2.946	2.254	0.104	0.457	0.130	
		250	2.939	2.958	2.254	0.108	0.465	0.131	
		260	2.934	2.970	2.254	0.111	0.474	0.131	
		270	2.957	2.981	2.254	0.114	0.481	0.131	
		280	2.969	2.992	2.254	0.117	0.488	0.132	
		290	2.967	3.002	2.254	0.120	0.495	0.132	
		300	2.985	3.011	2.254	0.123	0.502	0.132	
		310	2.980	3.021	2.254	0.126	0.508	0.132	
		320	3.032	3.029	2.254	0.129	0.513	0.132	
		330	3.000	3.038	2.254	0.132	0.519	0.132	
		340	3.002	3.046	2.254	0.135	0.524	0.132	
		350	3.031	3.053	2.254	0.138	0.529	0.132	
		360	3.046	3.061	2.254	0.141	0.533	0.132	
		370	3.049	3.068	2.254	0.143	0.537	0.133	
		380	3.052	3.074	2.254	0.146	0.541	0.133	
		390	3.091	3.081	2.254	0.148	0.545	0.133	
		400	3.076	3.087	2.254	0.151	0.549	0.133	
		410	3.082	3.093	2.254	0.153	0.552	0.133	
		420	3.088	3.099	2.254	0.156	0.556	0.133	
		430	3.112	3.104	2.254	0.158	0.559	0.133	
		440	3.101	3.109	2.254	0.161	0.561	0.133	
		450	3.094	3.114	2.254	0.163	0.564	0.133	
		460	3.118	3.119	2.254	0.165	0.567	0.133	
		470	3.121	3.124	2.254	0.167	0.569	0.133	
		480	3.120	3.128	2.254	0.169	0.571	0.133	
		490	3.125	3.132	2.254	0.172	0.573	0.133	
		500	3.116	3.136	2.254	0.174	0.575	0.133	
		510	3.128	3.140	2.254	0.176	0.577	0.133	
		520	3.136	3.144	2.254	0.178	0.579	0.133	
		530	3.149	3.148	2.254	0.180	0.581	0.133	
		540	3.131	3.151	2.254	0.182	0.582	0.133	
		550	3.107	3.155	2.254	0.183	0.584	0.133	
		560	3.130	3.158	2.254	0.185	0.585	0.133	
		570	3.138	3.161	2.254	0.187	0.587	0.133	
		580	3.178	3.164	2.254	0.189	0.588	0.133	
		590	3.144	3.167	2.254	0.191	0.589	0.133	
		600	3.143	3.170	2.254	0.192	0.590	0.133	
GFET #M31	$c^{(CEA)} = 5$ nM	-50	2.255	2.268	-	-	-	-	$\tilde{c}^{(CEA)} \approx 3.6107 \text{ nM}$
		-40	2.273	2.268					
	$c^{(AFP)} = 100 \text{ nM}$	-30	2.267	2.268					$\tilde{c}^{(AFP)} \approx 49.1247 \text{ nM}$
		-20	2.241	2.268					
	$c^{(PTH)} = 20$ nM	-10	2.287	2.268					$\tilde{c}^{(PTH)} \approx 34.1098 \text{ nM}$
		0	2.287	2.268	2.268	0.000	0.000	0.000	

	10	2.378	2.348	2.268	0.004	0.036	0.041	
	20	2.478	2.414	2.268	0.008	0.069	0.069	
	30	2.503	2.469	2.268	0.011	0.101	0.088	
	40	2.525	2.516	2.268	0.015	0.131	0.102	
	50	2.593	2.557	2.268	0.019	0.159	0.111	
	60	2.601	2.593	2.268	0.022	0.185	0.117	
	70	2.661	2.626	2.268	0.026	0.211	0.122	
	80	2.685	2.656	2.268	0.029	0.234	0.125	
	90	2.701	2.684	2.268	0.033	0.257	0.127	
	100	2.706	2.710	2.268	0.036	0.278	0.128	
	110	2.739	2.735	2.268	0.039	0.298	0.129	
	120	2.768	2.757	2.268	0.043	0.317	0.130	
	130	2.793	2.779	2.268	0.046	0.334	0.130	
	140	2.816	2.799	2.268	0.049	0.351	0.131	
	150	2.829	2.818	2.268	0.052	0.367	0.131	
	160	2.852	2.836	2.268	0.055	0.382	0.131	
	170	2.858	2.854	2.268	0.058	0.396	0.131	
	180	2.845	2.870	2.268	0.061	0.410	0.131	
	190	2.889	2.886	2.268	0.064	0.422	0.131	
	200	2.910	2.900	2.268	0.067	0.434	0.131	
	210	2.905	2.914	2.268	0.070	0.445	0.131	
	220	2.922	2.928	2.268	0.072	0.456	0.131	
	230	2.925	2.941	2.268	0.075	0.466	0.131	
	240	2.970	2.953	2.268	0.078	0.475	0.131	
	250	2.950	2.964	2.268	0.080	0.484	0.131	
	260	2.961	2.975	2.268	0.083	0.493	0.131	
	270	2.956	2.986	2.268	0.086	0.501	0.131	
	280	2.978	2.996	2.268	0.088	0.508	0.131	
	290	2.964	3.005	2.268	0.091	0.515	0.131	
	300	2.968	3.014	2.268	0.093	0.522	0.131	
	310	3.012	3.023	2.268	0.095	0.528	0.131	
	320	3.014	3.031	2.268	0.098	0.534	0.131	
	330	3.019	3.039	2.268	0.100	0.540	0.131	
	340	3.035	3.047	2.268	0.102	0.545	0.131	
	350	3.029	3.054	2.268	0.105	0.550	0.131	
	360	3.059	3.061	2.268	0.107	0.555	0.131	
	370	3.066	3.068	2.268	0.109	0.559	0.131	
	380	3.066	3.074	2.268	0.111	0.563	0.131	
	390	3.069	3.080	2.268	0.113	0.567	0.131	
	400	3.059	3.086	2.268	0.115	0.571	0.131	
	410	3.081	3.092	2.268	0.117	0.575	0.131	
	420	3.081	3.097	2.268	0.119	0.578	0.131	
	430	3.099	3.102	2.268	0.121	0.581	0.131	
	440	3.060	3.107	2.268	0.123	0.584	0.131	
	450	3.099	3.112	2.268	0.125	0.587	0.131	
	460	3.120	3.116	2.268	0.127	0.590	0.131	

		470	3.092	3.121	2.268	0.129	0.592	0.131	
		480	3.142	3.125	2.268	0.131	0.595	0.131	
		490	3.113	3.129	2.268	0.133	0.597	0.131	
		500	3.128	3.133	2.268	0.134	0.599	0.131	
		510	3.133	3.137	2.268	0.136	0.601	0.131	
		520	3.142	3.140	2.268	0.138	0.603	0.131	
		530	3.127	3.144	2.268	0.140	0.605	0.131	
		540	3.136	3.147	2.268	0.141	0.606	0.131	
		550	3.144	3.150	2.268	0.143	0.608	0.131	
		560	3.149	3.153	2.268	0.145	0.609	0.131	
		570	3.142	3.156	2.268	0.146	0.611	0.131	
		580	3.136	3.159	2.268	0.148	0.612	0.131	
		590	3.155	3.162	2.268	0.149	0.613	0.131	
		600	3.172	3.165	2.268	0.151	0.614	0.131	
		-50	2.250	2.249	-	-	-	-	$\tilde{c}^{(CEA)} \approx 4.2204 \text{ nM}$ $\tilde{c}^{(AFP)} \approx 53.1332 \text{ nM}$ $\tilde{c}^{(PTH)} \approx 95.2485 \text{ nM}$
		-40	2.275	2.249					
		-30	2.234	2.249					
		-20	2.251	2.249					
		-10	2.243	2.249					
		0	2.243	2.249					
		10	2.420	2.383					
		20	2.470	2.456					
		30	2.518	2.504					
		40	2.547	2.542					
		50	2.597	2.576					
		60	2.626	2.607					
		70	2.654	2.635					
		80	2.697	2.662					
		90	2.708	2.688					
GFET #M32	$c^{(CEA)} = 5 \text{ nM}$ $c^{(AFP)} = 100 \text{ nM}$ $c^{(PTH)} = 50 \text{ nM}$	100	2.744	2.712					
		110	2.754	2.735					
		120	2.779	2.757					
		130	2.777	2.777					
		140	2.793	2.797					
		150	2.792	2.816					
		160	2.822	2.833					
		170	2.865	2.850					
		180	2.856	2.866					
		190	2.883	2.881					
		200	2.897	2.895					
		210	2.902	2.909					
		220	2.910	2.922					
		230	2.921	2.934					
		240	2.927	2.946					
		250	2.946	2.957					
		260	2.946	2.968					

		270	3.000	2.978	2.249	0.111	0.469	0.150	
		280	2.950	2.988	2.249	0.114	0.475	0.150	
		290	2.984	2.997	2.249	0.117	0.481	0.150	
		300	2.988	3.006	2.249	0.120	0.487	0.150	
		310	3.018	3.014	2.249	0.123	0.492	0.150	
		320	3.012	3.022	2.249	0.126	0.498	0.150	
		330	3.046	3.030	2.249	0.129	0.502	0.150	
		340	3.031	3.037	2.249	0.132	0.507	0.150	
		350	3.057	3.044	2.249	0.135	0.511	0.150	
		360	3.064	3.051	2.249	0.137	0.515	0.150	
		370	3.037	3.058	2.249	0.140	0.519	0.150	
		380	3.042	3.064	2.249	0.143	0.522	0.150	
		390	3.051	3.070	2.249	0.145	0.526	0.150	
		400	3.076	3.075	2.249	0.148	0.529	0.150	
		410	3.089	3.081	2.249	0.150	0.532	0.150	
		420	3.095	3.086	2.249	0.153	0.535	0.150	
		430	3.092	3.091	2.249	0.155	0.537	0.150	
		440	3.104	3.096	2.249	0.157	0.540	0.150	
		450	3.101	3.100	2.249	0.160	0.542	0.150	
		460	3.120	3.105	2.249	0.162	0.544	0.150	
		470	3.098	3.109	2.249	0.164	0.546	0.150	
		480	3.126	3.113	2.249	0.166	0.548	0.150	
		490	3.113	3.117	2.249	0.169	0.550	0.150	
		500	3.123	3.121	2.249	0.171	0.552	0.150	
		510	3.114	3.125	2.249	0.173	0.553	0.150	
		520	3.122	3.128	2.249	0.175	0.555	0.150	
		530	3.148	3.132	2.249	0.177	0.556	0.150	
		540	3.149	3.135	2.249	0.179	0.557	0.150	
		550	3.136	3.138	2.249	0.181	0.559	0.150	
		560	3.156	3.141	2.249	0.183	0.560	0.150	
		570	3.153	3.144	2.249	0.184	0.561	0.150	
		580	3.147	3.147	2.249	0.186	0.562	0.150	
		590	3.160	3.150	2.249	0.188	0.563	0.150	
		600	3.178	3.152	2.249	0.190	0.564	0.150	
GFET #M33	$c^{(CEA)} = 20$ nM	-50	2.300	2.277	-	-	-	-	$\tilde{c}^{(CEA)} \approx 19.8776 \text{ nM}$ $\tilde{c}^{(AFP)} \approx 6.7275 \text{ nM}$ $\tilde{c}^{(PTH)} \approx 8.0132 \text{ nM}$
		-40	2.279	2.277					
		-30	2.263	2.277					
		-20	2.269	2.277					
		-10	2.275	2.277					
	$c^{(AFP)} = 5$ nM	0	2.275	2.277	2.277	0.000	0.000	0.000	
		10	2.376	2.326	2.277	0.035	0.005	0.010	
		20	2.398	2.372	2.277	0.067	0.011	0.018	
		30	2.439	2.415	2.277	0.096	0.016	0.026	
	$c^{(PTH)} = 2$ nM	40	2.488	2.455	2.277	0.124	0.021	0.033	
		50	2.493	2.492	2.277	0.150	0.027	0.039	
		60	2.552	2.527	2.277	0.173	0.032	0.045	

	70	2.568	2.559	2.277	0.196	0.037	0.050	
	80	2.587	2.589	2.277	0.216	0.042	0.055	
	90	2.613	2.617	2.277	0.235	0.047	0.059	
	100	2.649	2.644	2.277	0.253	0.051	0.063	
	110	2.669	2.668	2.277	0.269	0.056	0.066	
	120	2.703	2.691	2.277	0.285	0.061	0.069	
	130	2.729	2.713	2.277	0.299	0.065	0.072	
	140	2.736	2.733	2.277	0.312	0.070	0.074	
	150	2.752	2.751	2.277	0.324	0.074	0.076	
	160	2.752	2.769	2.277	0.336	0.079	0.078	
	170	2.792	2.786	2.277	0.346	0.083	0.080	
	180	2.811	2.801	2.277	0.356	0.087	0.082	
	190	2.790	2.816	2.277	0.365	0.091	0.083	
	200	2.813	2.830	2.277	0.374	0.095	0.084	
	210	2.838	2.843	2.277	0.381	0.099	0.086	
	220	2.853	2.855	2.277	0.389	0.103	0.087	
	230	2.848	2.867	2.277	0.395	0.107	0.088	
	240	2.869	2.878	2.277	0.402	0.111	0.088	
	250	2.897	2.888	2.277	0.408	0.115	0.089	
	260	2.889	2.898	2.277	0.413	0.119	0.090	
	270	2.921	2.908	2.277	0.418	0.122	0.090	
	280	2.912	2.916	2.277	0.423	0.126	0.091	
	290	2.888	2.925	2.277	0.427	0.129	0.092	
	300	2.927	2.933	2.277	0.431	0.133	0.092	
	310	2.912	2.940	2.277	0.435	0.136	0.092	
	320	2.938	2.948	2.277	0.438	0.140	0.093	
	330	2.959	2.955	2.277	0.442	0.143	0.093	
	340	2.966	2.961	2.277	0.445	0.147	0.093	
	350	2.985	2.967	2.277	0.447	0.150	0.094	
	360	2.989	2.973	2.277	0.450	0.153	0.094	
	370	3.001	2.979	2.277	0.452	0.156	0.094	
	380	2.975	2.985	2.277	0.455	0.159	0.094	
	390	2.984	2.990	2.277	0.457	0.162	0.094	
	400	2.996	2.995	2.277	0.459	0.165	0.095	
	410	3.004	3.000	2.277	0.460	0.168	0.095	
	420	3.023	3.005	2.277	0.462	0.171	0.095	
	430	3.014	3.009	2.277	0.464	0.174	0.095	
	440	3.007	3.014	2.277	0.465	0.177	0.095	
	450	3.032	3.018	2.277	0.466	0.180	0.095	
	460	3.049	3.022	2.277	0.468	0.182	0.095	
	470	3.011	3.026	2.277	0.469	0.185	0.095	
	480	3.033	3.030	2.277	0.470	0.188	0.095	
	490	3.046	3.033	2.277	0.471	0.190	0.096	
	500	3.051	3.037	2.277	0.472	0.193	0.096	
	510	3.054	3.040	2.277	0.472	0.196	0.096	
	520	3.056	3.044	2.277	0.473	0.198	0.096	

		530	3.042	3.047	2.277	0.474	0.200	0.096	
		540	3.089	3.050	2.277	0.475	0.203	0.096	
		550	3.056	3.053	2.277	0.475	0.205	0.096	
		560	3.061	3.056	2.277	0.476	0.208	0.096	
		570	3.069	3.059	2.277	0.476	0.210	0.096	
		580	3.065	3.062	2.277	0.477	0.212	0.096	
		590	3.085	3.064	2.277	0.477	0.214	0.096	
		600	3.096	3.067	2.277	0.478	0.217	0.096	
GFET #M34	$c^{(CEA)} = 20$ nM	-50	2.292	2.279	-	-	-	-	$\tilde{c}^{(CEA)} \approx 22.0123$ nM
		-40	2.301	2.279					
		-30	2.258	2.279					
		-20	2.254	2.279					
		-10	2.284	2.279					
		0	2.284	2.279					
		10	2.373	2.337					
		20	2.418	2.390					
		30	2.486	2.439					
		40	2.498	2.483					
GFET #M34	$c^{(AFP)} = 5$ nM	50	2.548	2.524					$\tilde{c}^{(AFP)} \approx 8.4219$ nM
		60	2.567	2.562					
		70	2.608	2.597					
		80	2.665	2.629					
		90	2.670	2.659					
		100	2.701	2.687					
		110	2.724	2.712					
		120	2.757	2.736					
		130	2.786	2.759					
		140	2.784	2.779					
		150	2.799	2.799					
		160	2.811	2.817					
		170	2.833	2.834					
		180	2.858	2.850					
		190	2.864	2.865					
		200	2.879	2.879					
		210	2.880	2.893					
		220	2.933	2.905					
		230	2.914	2.917					
		240	2.905	2.928					
		250	2.913	2.939					
		260	2.935	2.949					
		270	2.995	2.959					
		280	2.968	2.968					
		290	2.929	2.977					
		300	2.971	2.986					
		310	2.987	2.994					
		320	2.969	3.001					

		330	2.992	3.009	2.279	0.434	0.202	0.093	
		340	3.018	3.016	2.279	0.437	0.207	0.093	
		350	3.009	3.022	2.279	0.439	0.211	0.093	
		360	3.030	3.029	2.279	0.441	0.215	0.094	
		370	3.020	3.035	2.279	0.443	0.220	0.094	
		380	3.026	3.041	2.279	0.445	0.224	0.094	
		390	3.037	3.047	2.279	0.447	0.228	0.094	
		400	3.066	3.053	2.279	0.448	0.232	0.094	
		410	3.031	3.058	2.279	0.450	0.236	0.094	
		420	3.045	3.063	2.279	0.451	0.240	0.094	
		430	3.043	3.068	2.279	0.452	0.244	0.094	
		440	3.047	3.073	2.279	0.453	0.248	0.094	
		450	3.073	3.078	2.279	0.454	0.252	0.094	
		460	3.081	3.083	2.279	0.455	0.255	0.094	
		470	3.047	3.087	2.279	0.456	0.259	0.094	
		480	3.070	3.092	2.279	0.457	0.262	0.094	
		490	3.099	3.096	2.279	0.457	0.266	0.094	
		500	3.082	3.100	2.279	0.458	0.269	0.094	
		510	3.092	3.104	2.279	0.459	0.273	0.094	
		520	3.101	3.108	2.279	0.459	0.276	0.094	
		530	3.085	3.112	2.279	0.460	0.279	0.094	
		540	3.108	3.115	2.279	0.460	0.282	0.094	
		550	3.095	3.119	2.279	0.461	0.286	0.094	
		560	3.085	3.122	2.279	0.461	0.289	0.094	
		570	3.089	3.126	2.279	0.462	0.292	0.094	
		580	3.105	3.129	2.279	0.462	0.295	0.094	
		590	3.129	3.132	2.279	0.462	0.298	0.094	
		600	3.133	3.136	2.279	0.463	0.301	0.094	
GFET #M35	$c^{(CEA)} = 20$ nM $c^{(AFP)} = 5$ nM $c^{(PTH)} = 20$ nM	-50	2.274	2.274	-	-	-	-	$\tilde{c}^{(CEA)} \approx 19.4907$ nM $\tilde{c}^{(AFP)} \approx 6.9123$ nM $\tilde{c}^{(PTH)} \approx 40.8995$ nM
		-40	2.278	2.274					
		-30	2.274	2.274					
		-20	2.276	2.274					
		-10	2.272	2.274					
		0	2.272	2.274	2.274	0.000	0.000	0.000	
		10	2.366	2.351	2.274	0.035	0.007	0.036	
		20	2.466	2.413	2.274	0.067	0.013	0.059	
		30	2.503	2.464	2.274	0.096	0.019	0.074	
		40	2.551	2.508	2.274	0.124	0.026	0.084	
		50	2.559	2.546	2.274	0.150	0.032	0.090	
		60	2.610	2.580	2.274	0.174	0.038	0.094	
		70	2.625	2.611	2.274	0.196	0.044	0.096	
		80	2.656	2.639	2.274	0.217	0.050	0.098	
		90	2.666	2.665	2.274	0.236	0.056	0.099	
		100	2.700	2.690	2.274	0.254	0.061	0.100	
		110	2.725	2.712	2.274	0.271	0.067	0.100	
		120	2.745	2.734	2.274	0.286	0.072	0.101	

	130	2.767	2.754	2.274	0.301	0.078	0.101	
	140	2.788	2.773	2.274	0.314	0.083	0.101	
	150	2.797	2.791	2.274	0.327	0.088	0.101	
	160	2.815	2.807	2.274	0.338	0.094	0.101	
	170	2.828	2.823	2.274	0.349	0.099	0.101	
	180	2.852	2.838	2.274	0.359	0.104	0.101	
	190	2.880	2.853	2.274	0.369	0.109	0.101	
	200	2.876	2.866	2.274	0.377	0.114	0.101	
	210	2.889	2.879	2.274	0.385	0.118	0.101	
	220	2.903	2.891	2.274	0.393	0.123	0.101	
	230	2.920	2.903	2.274	0.400	0.128	0.101	
	240	2.934	2.914	2.274	0.406	0.132	0.101	
	250	2.928	2.925	2.274	0.412	0.137	0.101	
	260	2.944	2.935	2.274	0.418	0.141	0.101	
	270	2.944	2.944	2.274	0.423	0.146	0.101	
	280	2.955	2.953	2.274	0.428	0.150	0.101	
	290	2.945	2.962	2.274	0.433	0.154	0.101	
	300	2.970	2.971	2.274	0.437	0.158	0.101	
	310	2.956	2.979	2.274	0.441	0.163	0.101	
	320	2.965	2.986	2.274	0.444	0.167	0.101	
	330	2.971	2.994	2.274	0.448	0.171	0.101	
	340	3.010	3.001	2.274	0.451	0.174	0.101	
	350	2.994	3.007	2.274	0.454	0.178	0.101	
	360	3.017	3.014	2.274	0.456	0.182	0.101	
	370	2.996	3.020	2.274	0.459	0.186	0.101	
	380	3.023	3.026	2.274	0.461	0.190	0.101	
	390	3.029	3.032	2.274	0.463	0.193	0.101	
	400	3.024	3.038	2.274	0.465	0.197	0.101	
	410	3.025	3.043	2.274	0.467	0.200	0.101	
	420	3.041	3.048	2.274	0.469	0.204	0.101	
	430	3.048	3.053	2.274	0.471	0.207	0.101	
	440	3.078	3.058	2.274	0.472	0.210	0.101	
	450	3.055	3.063	2.274	0.474	0.214	0.101	
	460	3.077	3.067	2.274	0.475	0.217	0.101	
	470	3.044	3.072	2.274	0.476	0.220	0.101	
	480	3.088	3.076	2.274	0.477	0.223	0.101	
	490	3.055	3.080	2.274	0.478	0.226	0.101	
	500	3.090	3.084	2.274	0.479	0.230	0.101	
	510	3.085	3.088	2.274	0.480	0.233	0.101	
	520	3.067	3.092	2.274	0.481	0.235	0.101	
	530	3.090	3.096	2.274	0.482	0.238	0.101	
	540	3.080	3.099	2.274	0.483	0.241	0.101	
	550	3.094	3.103	2.274	0.483	0.244	0.101	
	560	3.085	3.106	2.274	0.484	0.247	0.101	
	570	3.096	3.110	2.274	0.485	0.250	0.101	
	580	3.105	3.113	2.274	0.485	0.252	0.101	

		590	3.080	3.116	2.274	0.486	0.255	0.101	
		600	3.113	3.119	2.274	0.486	0.258	0.101	
GFET #M36	$c^{(CEA)} = 20$ nM	-50	2.297	2.273	-	-	-	-	$\tilde{c}^{(CEA)} \approx 23.3255$ nM
		-40	2.250	2.273					
		-30	2.258	2.273					
		-20	2.273	2.273					
		-10	2.279	2.273					
		0	2.279	2.273	2.273	0.000	0.000	0.000	
		10	2.401	2.400	2.273	0.038	0.007	0.083	
		20	2.456	2.466	2.273	0.072	0.013	0.108	
		30	2.515	2.511	2.273	0.104	0.020	0.115	
		40	2.569	2.549	2.273	0.133	0.026	0.118	
		50	2.607	2.583	2.273	0.159	0.032	0.118	
		60	2.608	2.613	2.273	0.184	0.038	0.119	
		70	2.658	2.642	2.273	0.206	0.045	0.119	
		80	2.670	2.668	2.273	0.227	0.051	0.119	
		90	2.694	2.693	2.273	0.245	0.056	0.119	
		100	2.714	2.716	2.273	0.263	0.062	0.119	
		110	2.745	2.738	2.273	0.278	0.068	0.119	
		120	2.732	2.758	2.273	0.293	0.074	0.119	
		130	2.776	2.777	2.273	0.306	0.079	0.119	
		140	2.793	2.794	2.273	0.319	0.084	0.119	
		150	2.777	2.811	2.273	0.330	0.090	0.119	
	$c^{(AFP)} = 5$ nM	160	2.826	2.826	2.273	0.340	0.095	0.119	
		170	2.824	2.841	2.273	0.350	0.100	0.119	
	$c^{(PTH)} = 50$ nM	180	2.861	2.855	2.273	0.358	0.105	0.119	
		190	2.844	2.868	2.273	0.366	0.110	0.119	
		200	2.860	2.880	2.273	0.373	0.115	0.119	
		210	2.859	2.892	2.273	0.380	0.120	0.119	
		220	2.899	2.902	2.273	0.386	0.125	0.119	
		230	2.894	2.913	2.273	0.392	0.130	0.119	
		240	2.937	2.923	2.273	0.397	0.134	0.119	
		250	2.914	2.932	2.273	0.402	0.139	0.119	
		260	2.950	2.941	2.273	0.406	0.143	0.119	
		270	2.942	2.949	2.273	0.410	0.148	0.119	
		280	2.953	2.957	2.273	0.414	0.152	0.119	
		290	2.960	2.965	2.273	0.417	0.156	0.119	
		300	2.951	2.972	2.273	0.420	0.161	0.119	
		310	2.958	2.979	2.273	0.423	0.165	0.119	
		320	2.965	2.986	2.273	0.426	0.169	0.119	
		330	2.988	2.992	2.273	0.428	0.173	0.119	
		340	2.984	2.998	2.273	0.430	0.177	0.119	
		350	3.000	3.004	2.273	0.432	0.181	0.119	
		360	2.992	3.010	2.273	0.434	0.185	0.119	
		370	2.996	3.015	2.273	0.436	0.188	0.119	
		380	3.025	3.021	2.273	0.437	0.192	0.119	

		390	3.018	3.026	2.273	0.439	0.196	0.119	
		400	3.014	3.031	2.273	0.440	0.199	0.119	
		410	3.060	3.035	2.273	0.441	0.203	0.119	
		420	3.041	3.040	2.273	0.442	0.207	0.119	
		430	3.038	3.044	2.273	0.443	0.210	0.119	
		440	3.029	3.049	2.273	0.444	0.213	0.119	
		450	3.043	3.053	2.273	0.445	0.217	0.119	
		460	3.049	3.057	2.273	0.446	0.220	0.119	
		470	3.074	3.061	2.273	0.446	0.223	0.119	
		480	3.077	3.065	2.273	0.447	0.226	0.119	
		490	3.055	3.068	2.273	0.448	0.229	0.119	
		500	3.057	3.072	2.273	0.448	0.233	0.119	
		510	3.078	3.075	2.273	0.449	0.236	0.119	
		520	3.060	3.079	2.273	0.449	0.239	0.119	
		530	3.076	3.082	2.273	0.449	0.242	0.119	
		540	3.066	3.086	2.273	0.450	0.244	0.119	
		550	3.074	3.089	2.273	0.450	0.247	0.119	
		560	3.076	3.092	2.273	0.451	0.250	0.119	
		570	3.095	3.095	2.273	0.451	0.253	0.119	
		580	3.095	3.098	2.273	0.451	0.256	0.119	
		590	3.106	3.101	2.273	0.451	0.258	0.119	
		600	3.097	3.104	2.273	0.452	0.261	0.119	
		-50	2.267	2.276	-	-	-	-	$\tilde{c}^{(CEA)} \approx 21.9772 \text{ nM}$ $\tilde{c}^{(AFP)} \approx 12.1003 \text{ nM}$ $\tilde{c}^{(PTH)} \approx 8.9143 \text{ nM}$
		-40	2.281	2.276					
		-30	2.270	2.276					
		-20	2.295	2.276					
		-10	2.271	2.276					
		0	2.271	2.276	2.276	0.000	0.000	0.000	
		10	2.374	2.335	2.276	0.035	0.010	0.014	
		20	2.436	2.390	2.276	0.068	0.020	0.026	
		30	2.479	2.441	2.276	0.098	0.030	0.037	
		40	2.531	2.488	2.276	0.126	0.040	0.047	
		50	2.528	2.531	2.276	0.151	0.049	0.056	
		60	2.622	2.572	2.276	0.175	0.058	0.063	
		70	2.635	2.609	2.276	0.196	0.067	0.070	
		80	2.655	2.644	2.276	0.216	0.076	0.076	
		90	2.700	2.677	2.276	0.235	0.085	0.082	
		100	2.711	2.707	2.276	0.252	0.093	0.087	
		110	2.722	2.736	2.276	0.267	0.101	0.091	
		120	2.774	2.762	2.276	0.282	0.109	0.095	
		130	2.782	2.787	2.276	0.295	0.117	0.099	
		140	2.812	2.810	2.276	0.307	0.125	0.102	
		150	2.812	2.832	2.276	0.318	0.133	0.104	
		160	2.827	2.852	2.276	0.329	0.140	0.107	
		170	2.859	2.871	2.276	0.338	0.148	0.109	
		180	2.881	2.889	2.276	0.347	0.155	0.111	

		190	2.879	2.906	2.276	0.355	0.162	0.113	
		200	2.907	2.922	2.276	0.363	0.169	0.114	
		210	2.924	2.937	2.276	0.370	0.175	0.116	
		220	2.916	2.951	2.276	0.376	0.182	0.117	
		230	2.952	2.964	2.276	0.382	0.188	0.118	
		240	2.947	2.977	2.276	0.388	0.195	0.119	
		250	2.965	2.989	2.276	0.393	0.201	0.120	
		260	2.994	3.001	2.276	0.397	0.207	0.121	
		270	2.998	3.012	2.276	0.401	0.213	0.121	
		280	2.999	3.022	2.276	0.405	0.219	0.122	
		290	3.028	3.032	2.276	0.409	0.224	0.123	
		300	3.016	3.041	2.276	0.412	0.230	0.123	
		310	3.057	3.050	2.276	0.415	0.235	0.123	
		320	3.060	3.059	2.276	0.418	0.241	0.124	
		330	3.028	3.067	2.276	0.421	0.246	0.124	
		340	3.079	3.075	2.276	0.423	0.251	0.125	
		350	3.088	3.082	2.276	0.425	0.256	0.125	
		360	3.088	3.089	2.276	0.427	0.261	0.125	
		370	3.088	3.096	2.276	0.429	0.266	0.125	
		380	3.088	3.103	2.276	0.431	0.271	0.125	
		390	3.119	3.109	2.276	0.433	0.275	0.126	
		400	3.103	3.116	2.276	0.434	0.280	0.126	
		410	3.109	3.122	2.276	0.435	0.284	0.126	
		420	3.150	3.127	2.276	0.437	0.289	0.126	
		430	3.123	3.133	2.276	0.438	0.293	0.126	
		440	3.131	3.138	2.276	0.439	0.297	0.126	
		450	3.146	3.143	2.276	0.440	0.301	0.126	
		460	3.152	3.148	2.276	0.441	0.305	0.126	
		470	3.158	3.153	2.276	0.442	0.309	0.127	
		480	3.162	3.158	2.276	0.442	0.313	0.127	
		490	3.192	3.162	2.276	0.443	0.317	0.127	
		500	3.178	3.167	2.276	0.444	0.320	0.127	
		510	3.183	3.171	2.276	0.444	0.324	0.127	
		520	3.182	3.175	2.276	0.445	0.328	0.127	
		530	3.173	3.179	2.276	0.445	0.331	0.127	
		540	3.191	3.183	2.276	0.446	0.334	0.127	
		550	3.188	3.187	2.276	0.446	0.338	0.127	
		560	3.200	3.190	2.276	0.447	0.341	0.127	
		570	3.221	3.194	2.276	0.447	0.344	0.127	
		580	3.222	3.197	2.276	0.447	0.347	0.127	
		590	3.204	3.201	2.276	0.448	0.350	0.127	
		600	3.245	3.204	2.276	0.448	0.353	0.127	
GFET #M38	$c^{(CEA)} = 20$ nM	-50	2.270	2.274	-	-	-	-	$\tilde{c}^{(CEA)} \approx 24.1045$ nM
		-40	2.263	2.274					
	$c^{(AFP)} = 20$ nM	-30	2.271	2.274					$\tilde{c}^{(AFP)} \approx 13.4257$ nM
		-20	2.287	2.274					

$c^{(PTH)} = 5$ nM	-10	2.277	2.274					$\tilde{c}^{(PTH)} \approx$ 9.0319 nM
	0	2.277	2.274	2.274	0.000	0.000	0.000	
	10	2.387	2.338	2.274	0.040	0.011	0.013	
	20	2.455	2.397	2.274	0.077	0.021	0.024	
	30	2.505	2.451	2.274	0.111	0.031	0.034	
	40	2.523	2.500	2.274	0.142	0.041	0.043	
	50	2.572	2.546	2.274	0.170	0.051	0.050	
	60	2.602	2.589	2.274	0.196	0.061	0.057	
	70	2.643	2.628	2.274	0.220	0.070	0.064	
	80	2.669	2.665	2.274	0.242	0.079	0.069	
	90	2.726	2.698	2.274	0.261	0.088	0.074	
	100	2.741	2.730	2.274	0.280	0.097	0.079	
	110	2.761	2.759	2.274	0.296	0.106	0.083	
	120	2.773	2.786	2.274	0.311	0.114	0.086	
	130	2.799	2.811	2.274	0.325	0.122	0.089	
	140	2.813	2.834	2.274	0.338	0.130	0.092	
	150	2.848	2.856	2.274	0.349	0.138	0.094	
	160	2.865	2.877	2.274	0.360	0.146	0.097	
	170	2.871	2.896	2.274	0.370	0.153	0.099	
	180	2.911	2.914	2.274	0.379	0.161	0.100	
	190	2.917	2.931	2.274	0.387	0.168	0.102	
	200	2.910	2.947	2.274	0.394	0.175	0.103	
	210	2.911	2.962	2.274	0.401	0.182	0.105	
	220	2.946	2.976	2.274	0.407	0.189	0.106	
	230	2.969	2.989	2.274	0.413	0.195	0.107	
	240	2.984	3.001	2.274	0.418	0.202	0.107	
	250	3.001	3.013	2.274	0.423	0.208	0.108	
	260	3.000	3.025	2.274	0.427	0.214	0.109	
	270	3.023	3.035	2.274	0.431	0.220	0.110	
	280	3.022	3.045	2.274	0.435	0.226	0.110	
	290	3.014	3.055	2.274	0.438	0.232	0.111	
	300	3.031	3.064	2.274	0.441	0.237	0.111	
	310	3.060	3.073	2.274	0.444	0.243	0.111	
	320	3.080	3.081	2.274	0.447	0.248	0.112	
	330	3.055	3.089	2.274	0.449	0.254	0.112	
	340	3.068	3.096	2.274	0.451	0.259	0.112	
	350	3.075	3.104	2.274	0.453	0.264	0.113	
	360	3.097	3.111	2.274	0.455	0.269	0.113	
	370	3.107	3.117	2.274	0.456	0.274	0.113	
	380	3.103	3.124	2.274	0.458	0.278	0.113	
	390	3.153	3.130	2.274	0.459	0.283	0.113	
	400	3.132	3.136	2.274	0.461	0.287	0.113	
	410	3.111	3.141	2.274	0.462	0.292	0.114	
	420	3.148	3.147	2.274	0.463	0.296	0.114	
	430	3.133	3.152	2.274	0.464	0.300	0.114	
	440	3.125	3.157	2.274	0.465	0.305	0.114	

		450	3.154	3.162	2.274	0.465	0.309	0.114	
		460	3.165	3.167	2.274	0.466	0.313	0.114	
		470	3.176	3.172	2.274	0.467	0.316	0.114	
		480	3.178	3.176	2.274	0.467	0.320	0.114	
		490	3.168	3.180	2.274	0.468	0.324	0.114	
		500	3.160	3.184	2.274	0.468	0.328	0.114	
		510	3.187	3.189	2.274	0.469	0.331	0.114	
		520	3.190	3.192	2.274	0.469	0.335	0.114	
		530	3.218	3.196	2.274	0.470	0.338	0.114	
		540	3.218	3.200	2.274	0.470	0.341	0.114	
		550	3.211	3.204	2.274	0.470	0.344	0.114	
		560	3.193	3.207	2.274	0.471	0.348	0.114	
		570	3.200	3.210	2.274	0.471	0.351	0.114	
		580	3.195	3.214	2.274	0.471	0.354	0.114	
		590	3.210	3.217	2.274	0.471	0.357	0.114	
		600	3.219	3.220	2.274	0.472	0.360	0.114	
GFET #M39	$c^{(CEA)} = 20 \text{ nM}$ $c^{(AFP)} = 20 \text{ nM}$ $c^{(PTH)} = 20 \text{ nM}$	-50	2.265	2.276	-	-	-	-	$\tilde{c}^{(CEA)} \approx 19.5233 \text{ nM}$ $\tilde{c}^{(AFP)} \approx 11.8965 \text{ nM}$ $\tilde{c}^{(PTH)} \approx 55.1098 \text{ nM}$
		-40	2.262	2.276					
		-30	2.270	2.276					
		-20	2.282	2.276					
		-10	2.288	2.276					
		0	2.288	2.276					
		10	2.387	2.378					
		20	2.456	2.451					
		30	2.514	2.507					
		40	2.543	2.554					
		50	2.579	2.593					
		60	2.630	2.628					
		70	2.691	2.660					
		80	2.677	2.690					
		90	2.722	2.717					
		100	2.774	2.743					
		110	2.757	2.767					
		120	2.804	2.790					
		130	2.821	2.811					
		140	2.837	2.832					
		150	2.836	2.851					
		160	2.850	2.869					
		170	2.915	2.886					
		180	2.907	2.903					
		190	2.910	2.919					
		200	2.928	2.933					
		210	2.966	2.948					
		220	2.954	2.961					
		230	2.958	2.974					
		240	3.001	2.986					

		250	3.014	2.998	2.276	0.405	0.185	0.132	
		260	2.988	3.009	2.276	0.410	0.191	0.132	
		270	3.028	3.019	2.276	0.415	0.196	0.132	
		280	2.991	3.029	2.276	0.420	0.202	0.132	
		290	2.999	3.039	2.276	0.424	0.207	0.132	
		300	3.068	3.048	2.276	0.429	0.212	0.132	
		310	3.042	3.057	2.276	0.432	0.217	0.132	
		320	3.050	3.066	2.276	0.436	0.222	0.132	
		330	3.055	3.074	2.276	0.439	0.227	0.132	
		340	3.085	3.082	2.276	0.442	0.232	0.132	
		350	3.091	3.089	2.276	0.445	0.236	0.132	
		360	3.092	3.096	2.276	0.448	0.241	0.132	
		370	3.071	3.103	2.276	0.450	0.245	0.132	
		380	3.117	3.110	2.276	0.453	0.250	0.132	
		390	3.113	3.117	2.276	0.455	0.254	0.132	
		400	3.104	3.123	2.276	0.457	0.258	0.132	
		410	3.119	3.129	2.276	0.459	0.262	0.132	
		420	3.131	3.134	2.276	0.460	0.266	0.132	
		430	3.165	3.140	2.276	0.462	0.270	0.132	
		440	3.140	3.145	2.276	0.463	0.274	0.132	
		450	3.168	3.150	2.276	0.465	0.278	0.132	
		460	3.188	3.155	2.276	0.466	0.282	0.132	
		470	3.130	3.160	2.276	0.467	0.285	0.132	
		480	3.172	3.165	2.276	0.468	0.289	0.132	
		490	3.182	3.169	2.276	0.469	0.292	0.132	
		500	3.194	3.174	2.276	0.470	0.296	0.132	
		510	3.183	3.178	2.276	0.471	0.299	0.132	
		520	3.188	3.182	2.276	0.472	0.302	0.132	
		530	3.187	3.186	2.276	0.473	0.306	0.132	
		540	3.175	3.190	2.276	0.473	0.309	0.132	
		550	3.225	3.194	2.276	0.474	0.312	0.132	
		560	3.197	3.197	2.276	0.475	0.315	0.132	
		570	3.200	3.201	2.276	0.475	0.318	0.132	
		580	3.220	3.204	2.276	0.476	0.321	0.132	
		590	3.221	3.208	2.276	0.476	0.324	0.132	
		600	3.223	3.211	2.276	0.477	0.326	0.132	
GFET #M40	$c^{(CEA)} = 20$ nM	-50	2.277	2.277	-	-	-	-	$\tilde{c}^{(CEA)} \approx 22.8943 \text{ nM}$ $\tilde{c}^{(AFP)} \approx 12.8996 \text{ nM}$
		-40	2.269	2.277					
		-30	2.275	2.277					
		-20	2.272	2.277					
		-10	2.285	2.277					
	$c^{(AFP)} = 20$ nM	0	2.285	2.277	2.277	0.000	0.000	0.000	$\tilde{c}^{(PTH)} \approx 105.7666 \text{ nM}$
		10	2.448	2.418	2.277	0.040	0.009	0.092	
		20	2.491	2.494	2.277	0.076	0.019	0.122	
		30	2.542	2.546	2.277	0.109	0.028	0.132	
		40	2.591	2.589	2.277	0.140	0.036	0.136	

	50	2.635	2.627	2.277	0.168	0.045	0.137	
	60	2.671	2.662	2.277	0.194	0.053	0.137	
	70	2.694	2.694	2.277	0.218	0.062	0.137	
	80	2.723	2.724	2.277	0.240	0.070	0.137	
	90	2.758	2.752	2.277	0.260	0.077	0.137	
	100	2.785	2.778	2.277	0.278	0.085	0.137	
	110	2.804	2.802	2.277	0.295	0.093	0.137	
	120	2.809	2.825	2.277	0.311	0.100	0.137	
	130	2.814	2.847	2.277	0.325	0.107	0.137	
	140	2.853	2.867	2.277	0.338	0.114	0.137	
	150	2.837	2.886	2.277	0.350	0.121	0.137	
	160	2.894	2.904	2.277	0.362	0.128	0.137	
	170	2.896	2.921	2.277	0.372	0.135	0.137	
	180	2.916	2.937	2.277	0.381	0.141	0.137	
	190	2.952	2.952	2.277	0.390	0.148	0.137	
	200	2.968	2.966	2.277	0.398	0.154	0.137	
	210	2.977	2.979	2.277	0.405	0.160	0.137	
	220	2.972	2.992	2.277	0.412	0.166	0.137	
	230	2.965	3.004	2.277	0.418	0.172	0.137	
	240	2.982	3.015	2.277	0.423	0.177	0.137	
	250	2.987	3.026	2.277	0.428	0.183	0.137	
	260	3.017	3.036	2.277	0.433	0.188	0.137	
	270	3.016	3.046	2.277	0.438	0.194	0.137	
	280	3.056	3.055	2.277	0.442	0.199	0.137	
	290	3.054	3.064	2.277	0.445	0.204	0.137	
	300	3.068	3.072	2.277	0.449	0.209	0.137	
	310	3.081	3.080	2.277	0.452	0.214	0.137	
	320	3.065	3.088	2.277	0.455	0.219	0.137	
	330	3.092	3.095	2.277	0.457	0.224	0.137	
	340	3.107	3.102	2.277	0.460	0.228	0.137	
	350	3.119	3.109	2.277	0.462	0.233	0.137	
	360	3.126	3.115	2.277	0.464	0.237	0.137	
	370	3.097	3.121	2.277	0.466	0.241	0.137	
	380	3.095	3.127	2.277	0.467	0.246	0.137	
	390	3.136	3.133	2.277	0.469	0.250	0.137	
	400	3.138	3.139	2.277	0.470	0.254	0.137	
	410	3.139	3.144	2.277	0.472	0.258	0.137	
	420	3.154	3.149	2.277	0.473	0.262	0.137	
	430	3.145	3.154	2.277	0.474	0.265	0.137	
	440	3.126	3.159	2.277	0.475	0.269	0.137	
	450	3.179	3.163	2.277	0.476	0.273	0.137	
	460	3.171	3.168	2.277	0.477	0.276	0.137	
	470	3.157	3.172	2.277	0.478	0.280	0.137	
	480	3.178	3.176	2.277	0.479	0.283	0.137	
	490	3.183	3.180	2.277	0.479	0.286	0.137	
	500	3.178	3.184	2.277	0.480	0.290	0.137	

		510	3.189	3.188	2.277	0.480	0.293	0.137	
		520	3.172	3.191	2.277	0.481	0.296	0.137	
		530	3.193	3.195	2.277	0.481	0.299	0.137	
		540	3.208	3.198	2.277	0.482	0.302	0.137	
		550	3.213	3.202	2.277	0.482	0.305	0.137	
		560	3.219	3.205	2.277	0.483	0.308	0.137	
		570	3.208	3.208	2.277	0.483	0.311	0.137	
		580	3.200	3.211	2.277	0.483	0.313	0.137	
		590	3.228	3.214	2.277	0.484	0.316	0.137	
		600	3.229	3.217	2.277	0.484	0.319	0.137	
GFET #M41	$c^{(CEA)} = 20$ nM	-50	2.285	2.268	-	-	-	-	$\tilde{c}^{(CEA)} \approx 18.8795 \text{ nM}$
		-40	2.259	2.268					
		-30	2.257	2.268					
		-20	2.264	2.268					
		-10	2.273	2.268					
		0	2.273	2.268	2.268	0.000	0.000	0.000	
		10	2.400	2.335	2.268	0.028	0.020	0.018	
		20	2.473	2.396	2.268	0.055	0.039	0.033	
		30	2.550	2.452	2.268	0.080	0.058	0.046	
		40	2.585	2.505	2.268	0.102	0.076	0.057	
		50	2.630	2.553	2.268	0.124	0.094	0.067	
		60	2.659	2.599	2.268	0.144	0.111	0.076	
		70	2.679	2.641	2.268	0.162	0.127	0.083	
		80	2.706	2.680	2.268	0.180	0.143	0.089	
		90	2.747	2.717	2.268	0.196	0.158	0.094	
		100	2.794	2.751	2.268	0.211	0.173	0.099	
		110	2.807	2.783	2.268	0.225	0.187	0.103	
	$c^{(AFP)} = 50$ nM	120	2.828	2.813	2.268	0.238	0.201	0.106	
		130	2.865	2.842	2.268	0.250	0.214	0.109	
		140	2.898	2.868	2.268	0.262	0.227	0.112	
		150	2.890	2.893	2.268	0.272	0.239	0.114	
		160	2.932	2.917	2.268	0.282	0.251	0.116	
	$c^{(PTH)} = 2$ nM	170	2.945	2.939	2.268	0.291	0.262	0.117	
		180	2.972	2.960	2.268	0.300	0.274	0.119	
		190	2.984	2.980	2.268	0.308	0.284	0.120	
		200	3.024	2.999	2.268	0.315	0.295	0.121	
		210	3.035	3.017	2.268	0.322	0.305	0.122	
		220	3.054	3.034	2.268	0.329	0.314	0.122	
		230	3.058	3.050	2.268	0.335	0.324	0.123	
		240	3.046	3.065	2.268	0.340	0.333	0.124	
		250	3.085	3.079	2.268	0.346	0.341	0.124	
		260	3.121	3.093	2.268	0.350	0.350	0.124	
		270	3.113	3.106	2.268	0.355	0.358	0.125	
		280	3.136	3.119	2.268	0.359	0.366	0.125	
		290	3.097	3.130	2.268	0.363	0.373	0.125	
		300	3.131	3.142	2.268	0.367	0.381	0.126	

		310	3.165	3.152	2.268	0.370	0.388	0.126	
		320	3.148	3.163	2.268	0.374	0.395	0.126	
		330	3.157	3.172	2.268	0.376	0.401	0.126	
		340	3.164	3.182	2.268	0.379	0.408	0.126	
		350	3.190	3.190	2.268	0.382	0.414	0.126	
		360	3.208	3.199	2.268	0.384	0.420	0.126	
		370	3.207	3.207	2.268	0.387	0.426	0.126	
		380	3.201	3.215	2.268	0.389	0.431	0.127	
		390	3.178	3.222	2.268	0.391	0.437	0.127	
		400	3.227	3.229	2.268	0.392	0.442	0.127	
		410	3.212	3.236	2.268	0.394	0.447	0.127	
		420	3.230	3.242	2.268	0.396	0.452	0.127	
		430	3.240	3.248	2.268	0.397	0.456	0.127	
		440	3.271	3.254	2.268	0.398	0.461	0.127	
		450	3.264	3.260	2.268	0.400	0.465	0.127	
		460	3.277	3.265	2.268	0.401	0.469	0.127	
		470	3.292	3.271	2.268	0.402	0.473	0.127	
		480	3.288	3.276	2.268	0.403	0.477	0.127	
		490	3.292	3.280	2.268	0.404	0.481	0.127	
		500	3.270	3.285	2.268	0.405	0.485	0.127	
		510	3.300	3.289	2.268	0.406	0.488	0.127	
		520	3.299	3.294	2.268	0.407	0.492	0.127	
		530	3.288	3.298	2.268	0.407	0.495	0.127	
		540	3.318	3.301	2.268	0.408	0.498	0.127	
		550	3.316	3.305	2.268	0.409	0.501	0.127	
		560	3.306	3.309	2.268	0.409	0.504	0.127	
		570	3.302	3.312	2.268	0.410	0.507	0.127	
		580	3.344	3.315	2.268	0.410	0.510	0.127	
		590	3.326	3.319	2.268	0.411	0.513	0.127	
		600	3.320	3.322	2.268	0.411	0.515	0.127	
GFET #M42	$c^{(CEA)} = 20$ nM	-50	2.275	2.286	-	-	-	-	$\tilde{c}^{(CEA)} \approx 23.5128 \text{ nM}$ $\tilde{c}^{(AFP)} \approx 25.1764 \text{ nM}$ $\tilde{c}^{(PTH)} \approx 12.8964 \text{ nM}$
		-40	2.266	2.286					
		-30	2.298	2.286					
		-20	2.291	2.286					
		-10	2.294	2.286					
	$c^{(AFP)} = 50$ nM	0	2.294	2.286	2.286	0.000	0.000	0.000	
		10	2.415	2.359	2.286	0.038	0.018	0.017	
		20	2.459	2.426	2.286	0.073	0.036	0.032	
		30	2.550	2.488	2.286	0.105	0.053	0.044	
		40	2.600	2.544	2.286	0.134	0.069	0.055	
	$c^{(PTH)} = 5$ nM	50	2.635	2.596	2.286	0.161	0.085	0.064	
		60	2.668	2.644	2.286	0.185	0.100	0.072	
		70	2.694	2.688	2.286	0.208	0.115	0.079	
		80	2.729	2.729	2.286	0.228	0.129	0.085	
		90	2.772	2.766	2.286	0.247	0.143	0.089	
		100	2.791	2.801	2.286	0.265	0.157	0.094	

	110	2.818	2.834	2.286	0.281	0.170	0.097	
	120	2.842	2.864	2.286	0.295	0.182	0.100	
	130	2.900	2.892	2.286	0.309	0.194	0.103	
	140	2.906	2.918	2.286	0.321	0.206	0.105	
	150	2.923	2.943	2.286	0.332	0.217	0.107	
	160	2.920	2.966	2.286	0.342	0.228	0.109	
	170	2.956	2.987	2.286	0.352	0.239	0.110	
	180	2.971	3.007	2.286	0.360	0.249	0.112	
	190	2.976	3.026	2.286	0.368	0.259	0.113	
	200	3.011	3.044	2.286	0.376	0.268	0.114	
	210	3.033	3.061	2.286	0.382	0.278	0.114	
	220	3.016	3.076	2.286	0.388	0.287	0.115	
	230	3.069	3.091	2.286	0.394	0.295	0.116	
	240	3.061	3.105	2.286	0.399	0.304	0.116	
	250	3.085	3.118	2.286	0.404	0.312	0.116	
	260	3.118	3.131	2.286	0.408	0.320	0.117	
	270	3.109	3.142	2.286	0.412	0.327	0.117	
	280	3.122	3.154	2.286	0.416	0.334	0.117	
	290	3.127	3.164	2.286	0.419	0.341	0.118	
	300	3.170	3.174	2.286	0.422	0.348	0.118	
	310	3.149	3.184	2.286	0.425	0.355	0.118	
	320	3.163	3.193	2.286	0.427	0.361	0.118	
	330	3.172	3.201	2.286	0.430	0.367	0.118	
	340	3.195	3.210	2.286	0.432	0.373	0.118	
	350	3.204	3.217	2.286	0.434	0.379	0.118	
	360	3.209	3.225	2.286	0.436	0.385	0.118	
	370	3.210	3.232	2.286	0.437	0.390	0.118	
	380	3.236	3.239	2.286	0.439	0.395	0.119	
	390	3.229	3.245	2.286	0.440	0.400	0.119	
	400	3.238	3.251	2.286	0.442	0.405	0.119	
	410	3.241	3.257	2.286	0.443	0.410	0.119	
	420	3.263	3.263	2.286	0.444	0.414	0.119	
	430	3.256	3.268	2.286	0.445	0.419	0.119	
	440	3.267	3.274	2.286	0.446	0.423	0.119	
	450	3.237	3.279	2.286	0.447	0.427	0.119	
	460	3.240	3.283	2.286	0.447	0.431	0.119	
	470	3.296	3.288	2.286	0.448	0.435	0.119	
	480	3.302	3.292	2.286	0.449	0.439	0.119	
	490	3.270	3.296	2.286	0.449	0.442	0.119	
	500	3.278	3.300	2.286	0.450	0.446	0.119	
	510	3.283	3.304	2.286	0.450	0.449	0.119	
	520	3.320	3.308	2.286	0.451	0.452	0.119	
	530	3.298	3.311	2.286	0.451	0.455	0.119	
	540	3.332	3.315	2.286	0.451	0.458	0.119	
	550	3.316	3.318	2.286	0.452	0.461	0.119	
	560	3.307	3.321	2.286	0.452	0.464	0.119	

		570	3.302	3.324	2.286	0.452	0.467	0.119	
		580	3.349	3.327	2.286	0.453	0.470	0.119	
		590	3.356	3.330	2.286	0.453	0.472	0.119	
		600	3.348	3.333	2.286	0.453	0.475	0.119	
GFET #M43	$c^{(CEA)} = 20$ nM	-50	2.284	2.277	-	-	-	-	$\tilde{c}^{(CEA)} \approx 19.2065$ nM
		-40	2.259	2.277					
		-30	2.288	2.277					
		-20	2.276	2.277					
		-10	2.278	2.277					
		0	2.278	2.277	2.277	0.000	0.000	0.000	
		10	2.426	2.389	2.277	0.027	0.023	0.062	
		20	2.498	2.471	2.277	0.052	0.045	0.096	
		30	2.571	2.534	2.277	0.076	0.066	0.115	
		40	2.614	2.587	2.277	0.098	0.087	0.125	
		50	2.675	2.633	2.277	0.118	0.106	0.131	
		60	2.723	2.674	2.277	0.137	0.125	0.134	
		70	2.727	2.711	2.277	0.154	0.143	0.136	
		80	2.764	2.746	2.277	0.171	0.161	0.137	
		90	2.795	2.779	2.277	0.186	0.178	0.137	
		100	2.831	2.810	2.277	0.200	0.194	0.138	
		110	2.863	2.839	2.277	0.214	0.210	0.138	
		120	2.876	2.866	2.277	0.226	0.225	0.138	
		130	2.903	2.892	2.277	0.237	0.240	0.138	
		140	2.916	2.917	2.277	0.248	0.254	0.138	
	c ^(AFP) = 50 nM	150	2.946	2.940	2.277	0.258	0.267	0.138	$\tilde{c}^{(AFP)} \approx 29.1665$ nM
		160	2.975	2.963	2.277	0.267	0.280	0.138	
	c ^(PTH) = 20 nM	170	2.977	2.984	2.277	0.276	0.293	0.138	$\tilde{c}^{(PTH)} \approx 56.3245$ nM
		180	2.993	3.004	2.277	0.284	0.305	0.138	
		190	3.043	3.023	2.277	0.291	0.316	0.138	
		200	3.045	3.041	2.277	0.298	0.327	0.138	
		210	3.058	3.058	2.277	0.305	0.338	0.138	
		220	3.088	3.075	2.277	0.311	0.349	0.138	
		230	3.059	3.090	2.277	0.316	0.359	0.138	
		240	3.088	3.105	2.277	0.322	0.368	0.138	
		250	3.093	3.119	2.277	0.326	0.377	0.138	
		260	3.131	3.133	2.277	0.331	0.386	0.138	
		270	3.136	3.145	2.277	0.335	0.395	0.138	
		280	3.138	3.158	2.277	0.339	0.403	0.138	
		290	3.144	3.169	2.277	0.343	0.411	0.138	
		300	3.150	3.180	2.277	0.346	0.419	0.138	
		310	3.195	3.191	2.277	0.349	0.426	0.138	
		320	3.166	3.201	2.277	0.352	0.433	0.138	
		330	3.192	3.210	2.277	0.355	0.440	0.138	
		340	3.168	3.219	2.277	0.357	0.447	0.138	
		350	3.229	3.228	2.277	0.360	0.453	0.138	
		360	3.227	3.236	2.277	0.362	0.459	0.138	

		370	3.220	3.244	2.277	0.364	0.465	0.138	
		380	3.230	3.252	2.277	0.366	0.471	0.138	
		390	3.229	3.259	2.277	0.368	0.476	0.138	
		400	3.270	3.266	2.277	0.369	0.481	0.138	
		410	3.249	3.273	2.277	0.371	0.486	0.138	
		420	3.273	3.279	2.277	0.372	0.491	0.138	
		430	3.281	3.285	2.277	0.374	0.496	0.138	
		440	3.273	3.291	2.277	0.375	0.500	0.138	
		450	3.274	3.296	2.277	0.376	0.505	0.138	
		460	3.285	3.302	2.277	0.377	0.509	0.138	
		470	3.285	3.307	2.277	0.378	0.513	0.138	
		480	3.292	3.311	2.277	0.379	0.517	0.138	
		490	3.311	3.316	2.277	0.380	0.521	0.138	
		500	3.319	3.320	2.277	0.381	0.524	0.138	
		510	3.318	3.325	2.277	0.382	0.528	0.138	
		520	3.323	3.329	2.277	0.382	0.531	0.138	
		530	3.319	3.333	2.277	0.383	0.534	0.138	
		540	3.335	3.336	2.277	0.384	0.537	0.138	
		550	3.312	3.340	2.277	0.384	0.540	0.138	
		560	3.337	3.343	2.277	0.385	0.543	0.138	
		570	3.338	3.346	2.277	0.385	0.546	0.138	
		580	3.328	3.350	2.277	0.386	0.549	0.138	
		590	3.338	3.353	2.277	0.386	0.551	0.138	
		600	3.345	3.355	2.277	0.386	0.554	0.138	
GFET #M44	$c^{(CEA)} = 20$ nM $c^{(AFP)} = 50$ nM $c^{(PTH)} = 50$ nM	-50	2.257	2.263	-	-	-	-	$\tilde{c}^{(CEA)} \approx 20.8214$ nM $\tilde{c}^{(AFP)} \approx 27.3224$ nM $\tilde{c}^{(PTH)} \approx 102.4368$ nM
		-40	2.282	2.263					
		-30	2.252	2.263					
		-20	2.246	2.263					
		-10	2.270	2.263					
		0	2.270	2.263	2.263	0.000	0.000	0.000	
		10	2.460	2.400	2.263	0.034	0.021	0.082	
		20	2.525	2.479	2.263	0.065	0.041	0.110	
		30	2.576	2.537	2.263	0.094	0.060	0.120	
		40	2.629	2.586	2.263	0.121	0.078	0.123	
		50	2.674	2.629	2.263	0.146	0.096	0.125	
		60	2.696	2.670	2.263	0.168	0.114	0.125	
		70	2.769	2.708	2.263	0.190	0.130	0.125	
		80	2.759	2.744	2.263	0.209	0.146	0.125	
		90	2.827	2.777	2.263	0.228	0.162	0.125	
		100	2.842	2.809	2.263	0.244	0.177	0.125	
		110	2.849	2.839	2.263	0.260	0.191	0.125	
		120	2.872	2.868	2.263	0.274	0.205	0.125	
		130	2.906	2.894	2.263	0.288	0.218	0.125	
		140	2.938	2.920	2.263	0.300	0.231	0.125	
		150	2.938	2.944	2.263	0.311	0.244	0.125	
		160	2.942	2.966	2.263	0.322	0.256	0.125	

		170	2.983	2.988	2.263	0.332	0.268	0.125	
		180	2.995	3.008	2.263	0.341	0.279	0.125	
		190	3.029	3.027	2.263	0.349	0.290	0.125	
		200	3.035	3.045	2.263	0.357	0.300	0.125	
		210	3.059	3.063	2.263	0.364	0.310	0.125	
		220	3.054	3.079	2.263	0.371	0.320	0.125	
		230	3.067	3.094	2.263	0.377	0.329	0.125	
		240	3.069	3.109	2.263	0.383	0.338	0.125	
		250	3.087	3.123	2.263	0.388	0.347	0.125	
		260	3.115	3.136	2.263	0.393	0.355	0.125	
		270	3.113	3.149	2.263	0.397	0.363	0.125	
		280	3.119	3.161	2.263	0.402	0.371	0.125	
		290	3.150	3.173	2.263	0.405	0.379	0.125	
		300	3.164	3.183	2.263	0.409	0.386	0.125	
		310	3.175	3.194	2.263	0.412	0.393	0.125	
		320	3.159	3.204	2.263	0.415	0.400	0.125	
		330	3.198	3.213	2.263	0.418	0.407	0.125	
		340	3.206	3.222	2.263	0.421	0.413	0.125	
		350	3.209	3.230	2.263	0.423	0.419	0.125	
		360	3.220	3.239	2.263	0.426	0.425	0.125	
		370	3.211	3.246	2.263	0.428	0.430	0.125	
		380	3.235	3.254	2.263	0.430	0.436	0.125	
		390	3.248	3.261	2.263	0.431	0.441	0.125	
		400	3.252	3.268	2.263	0.433	0.446	0.125	
		410	3.247	3.274	2.263	0.435	0.451	0.125	
		420	3.273	3.280	2.263	0.436	0.456	0.125	
		430	3.262	3.286	2.263	0.437	0.461	0.125	
		440	3.273	3.292	2.263	0.438	0.465	0.125	
		450	3.274	3.297	2.263	0.440	0.469	0.125	
		460	3.287	3.302	2.263	0.441	0.473	0.125	
		470	3.293	3.307	2.263	0.442	0.477	0.125	
		480	3.293	3.312	2.263	0.442	0.481	0.125	
		490	3.306	3.316	2.263	0.443	0.485	0.125	
		500	3.318	3.321	2.263	0.444	0.488	0.125	
		510	3.287	3.325	2.263	0.445	0.492	0.125	
		520	3.280	3.329	2.263	0.445	0.495	0.125	
		530	3.311	3.332	2.263	0.446	0.498	0.125	
		540	3.322	3.336	2.263	0.447	0.501	0.125	
		550	3.327	3.340	2.263	0.447	0.504	0.125	
		560	3.340	3.343	2.263	0.448	0.507	0.125	
		570	3.343	3.346	2.263	0.448	0.510	0.125	
		580	3.329	3.349	2.263	0.448	0.513	0.125	
		590	3.340	3.352	2.263	0.449	0.515	0.125	
		600	3.345	3.355	2.263	0.449	0.518	0.125	
GFET #M45	$c^{(CEA)} = 20$ nM	-50	2.255	2.265	-	-	-	-	$\tilde{c}^{(CEA)} \approx$ 19.4206 nM
		-40	2.291	2.265					

$c^{(\text{AFP})} = 100 \text{ nM}$	$c^{(\text{PTH})} = 2 \text{ nM}$	-30	2.271	2.265					$\tilde{c}^{(\text{AFP})} \approx 55.3421 \text{ nM}$
		-20	2.269	2.265					
$c^{(\text{AFP})} = 100 \text{ nM}$	$c^{(\text{PTH})} = 2 \text{ nM}$	-10	2.251	2.265					$\tilde{c}^{(\text{PTH})} \approx 4.4097 \text{ nM}$
		0	2.251	2.265	2.265	0.000	0.000	0.000	
		10	2.391	2.338	2.265	0.029	0.039	0.005	
		20	2.501	2.406	2.265	0.056	0.076	0.009	
		30	2.539	2.470	2.265	0.082	0.110	0.013	
		40	2.602	2.529	2.265	0.105	0.143	0.017	
		50	2.618	2.585	2.265	0.127	0.173	0.020	
		60	2.692	2.637	2.265	0.148	0.201	0.024	
		70	2.707	2.686	2.265	0.166	0.228	0.027	
		80	2.755	2.731	2.265	0.184	0.253	0.030	
		90	2.780	2.774	2.265	0.200	0.276	0.032	
		100	2.823	2.814	2.265	0.216	0.298	0.035	
		110	2.881	2.851	2.265	0.230	0.319	0.037	
		120	2.887	2.886	2.265	0.243	0.339	0.039	
		130	2.916	2.918	2.265	0.255	0.357	0.041	
		140	2.937	2.949	2.265	0.267	0.374	0.043	
		150	2.968	2.977	2.265	0.277	0.390	0.045	
		160	2.976	3.004	2.265	0.287	0.405	0.047	
		170	3.021	3.028	2.265	0.296	0.419	0.048	
		180	3.043	3.052	2.265	0.305	0.432	0.050	
		190	3.068	3.073	2.265	0.313	0.445	0.051	
		200	3.065	3.094	2.265	0.320	0.456	0.052	
		210	3.109	3.113	2.265	0.327	0.467	0.053	
		220	3.090	3.130	2.265	0.334	0.477	0.055	
		230	3.127	3.147	2.265	0.340	0.487	0.056	
		240	3.138	3.162	2.265	0.345	0.496	0.057	
		250	3.157	3.177	2.265	0.350	0.504	0.057	
		260	3.163	3.190	2.265	0.355	0.512	0.058	
		270	3.162	3.203	2.265	0.359	0.520	0.059	
		280	3.201	3.215	2.265	0.364	0.527	0.060	
		290	3.223	3.226	2.265	0.367	0.533	0.060	
		300	3.212	3.236	2.265	0.371	0.540	0.061	
		310	3.223	3.246	2.265	0.374	0.545	0.062	
		320	3.242	3.255	2.265	0.377	0.551	0.062	
		330	3.241	3.264	2.265	0.380	0.556	0.063	
		340	3.241	3.272	2.265	0.383	0.561	0.063	
		350	3.281	3.279	2.265	0.385	0.565	0.064	
		360	3.247	3.286	2.265	0.388	0.569	0.064	
		370	3.283	3.292	2.265	0.390	0.573	0.064	
		380	3.274	3.298	2.265	0.392	0.577	0.065	
		390	3.296	3.304	2.265	0.394	0.580	0.065	
		400	3.313	3.309	2.265	0.396	0.584	0.066	
		410	3.295	3.314	2.265	0.397	0.587	0.066	
		420	3.326	3.319	2.265	0.399	0.589	0.066	

		430	3.332	3.323	2.265	0.400	0.592	0.066	
		440	3.328	3.327	2.265	0.401	0.595	0.067	
		450	3.338	3.331	2.265	0.403	0.597	0.067	
		460	3.309	3.335	2.265	0.404	0.599	0.067	
		470	3.319	3.338	2.265	0.405	0.601	0.067	
		480	3.326	3.341	2.265	0.406	0.603	0.067	
		490	3.322	3.344	2.265	0.407	0.605	0.068	
		500	3.334	3.347	2.265	0.408	0.607	0.068	
		510	3.344	3.349	2.265	0.408	0.608	0.068	
		520	3.362	3.352	2.265	0.409	0.610	0.068	
		530	3.354	3.354	2.265	0.410	0.611	0.068	
		540	3.345	3.356	2.265	0.410	0.613	0.068	
		550	3.357	3.358	2.265	0.411	0.614	0.068	
		560	3.370	3.360	2.265	0.411	0.615	0.068	
		570	3.375	3.362	2.265	0.412	0.616	0.069	
		580	3.380	3.363	2.265	0.412	0.617	0.069	
		590	3.364	3.365	2.265	0.413	0.618	0.069	
		600	3.352	3.366	2.265	0.413	0.619	0.069	
GFET #M46	$c^{(CEA)} = 20$ nM $c^{(AFP)} = 100$ nM $c^{(PTH)} = 5$ nM	-50	2.287	2.275	-	-	-	-	$\tilde{c}^{(CEA)} \approx 20.8966$ nM $\tilde{c}^{(AFP)} \approx 49.3864$ nM $\tilde{c}^{(PTH)} \approx 8.5241$ nM
		-40	2.296	2.275					
		-30	2.263	2.275					
		-20	2.272	2.275					
		-10	2.266	2.275					
		0	2.266	2.275	2.275	0.000	0.000	0.000	
		10	2.408	2.350	2.275	0.033	0.033	0.009	
		20	2.505	2.420	2.275	0.064	0.065	0.017	
		30	2.553	2.486	2.275	0.092	0.094	0.024	
		40	2.610	2.546	2.275	0.118	0.122	0.031	
		50	2.679	2.603	2.275	0.143	0.148	0.037	
		60	2.711	2.655	2.275	0.165	0.173	0.042	
		70	2.732	2.704	2.275	0.186	0.197	0.047	
		80	2.770	2.750	2.275	0.205	0.219	0.051	
		90	2.808	2.792	2.275	0.223	0.240	0.055	
		100	2.816	2.832	2.275	0.239	0.260	0.058	
		110	2.862	2.869	2.275	0.255	0.278	0.061	
		120	2.907	2.903	2.275	0.269	0.296	0.064	
		130	2.962	2.935	2.275	0.282	0.312	0.066	
		140	2.956	2.965	2.275	0.294	0.328	0.068	
		150	2.969	2.993	2.275	0.305	0.343	0.070	
		160	2.999	3.019	2.275	0.315	0.357	0.072	
		170	3.003	3.043	2.275	0.325	0.370	0.073	
		180	3.054	3.066	2.275	0.334	0.382	0.075	
		190	3.053	3.087	2.275	0.342	0.394	0.076	
		200	3.052	3.107	2.275	0.350	0.405	0.077	
		210	3.109	3.125	2.275	0.357	0.416	0.078	
		220	3.126	3.142	2.275	0.363	0.425	0.079	

		230	3.130	3.158	2.275	0.369	0.435	0.080		
		240	3.124	3.173	2.275	0.375	0.443	0.080		
		250	3.179	3.187	2.275	0.380	0.452	0.081		
		260	3.169	3.200	2.275	0.384	0.460	0.082		
		270	3.178	3.213	2.275	0.389	0.467	0.082		
		280	3.203	3.224	2.275	0.393	0.474	0.083		
		290	3.222	3.235	2.275	0.397	0.480	0.083		
		300	3.205	3.245	2.275	0.400	0.487	0.083		
		310	3.219	3.254	2.275	0.403	0.493	0.084		
		320	3.250	3.263	2.275	0.406	0.498	0.084		
		330	3.257	3.271	2.275	0.409	0.503	0.084		
		340	3.252	3.279	2.275	0.412	0.508	0.084		
		350	3.255	3.286	2.275	0.414	0.513	0.085		
		360	3.268	3.293	2.275	0.416	0.517	0.085		
		370	3.267	3.299	2.275	0.418	0.521	0.085		
		380	3.297	3.305	2.275	0.420	0.525	0.085		
		390	3.283	3.311	2.275	0.422	0.529	0.085		
		400	3.306	3.316	2.275	0.423	0.532	0.085		
		410	3.295	3.321	2.275	0.425	0.536	0.085		
		420	3.311	3.326	2.275	0.426	0.539	0.086		
		430	3.318	3.330	2.275	0.428	0.542	0.086		
		440	3.327	3.334	2.275	0.429	0.544	0.086		
		450	3.301	3.338	2.275	0.430	0.547	0.086		
		460	3.327	3.341	2.275	0.431	0.550	0.086		
		470	3.359	3.344	2.275	0.432	0.552	0.086		
		480	3.350	3.348	2.275	0.433	0.554	0.086		
		490	3.345	3.350	2.275	0.433	0.556	0.086		
		500	3.367	3.353	2.275	0.434	0.558	0.086		
		510	3.345	3.356	2.275	0.435	0.560	0.086		
		520	3.359	3.358	2.275	0.436	0.562	0.086		
		530	3.344	3.360	2.275	0.436	0.563	0.086		
		540	3.377	3.363	2.275	0.437	0.565	0.086		
		550	3.357	3.364	2.275	0.437	0.566	0.086		
		560	3.371	3.366	2.275	0.438	0.568	0.086		
		570	3.357	3.368	2.275	0.438	0.569	0.086		
		580	3.362	3.370	2.275	0.438	0.570	0.086		
		590	3.384	3.371	2.275	0.439	0.571	0.086		
		600	3.385	3.373	2.275	0.439	0.572	0.086		
GFET #M47	$c^{(CEA)} = 20$ nM	-50	2.296	2.269	-	-	-	-	$\tilde{c}^{(CEA)} \approx 22.1644 \text{ nM}$ $\tilde{c}^{(AFP)} \approx 48.2116 \text{ nM}$ $\tilde{c}^{(PTH)} \approx 48.0766 \text{ nM}$	
		-40	2.239	2.269						
		-30	2.267	2.269						
	$c^{(AFP)} = 100 \text{ nM}$	-20	2.280	2.269	-	-	-	-		
		-10	2.266	2.269						
		0	2.266	2.269						
	$c^{(PTH)} = 20$ nM	10	2.393	2.369	2.269	0.034	0.034	0.032		
		20	2.500	2.451	2.269	0.064	0.066	0.051		

	30	2.562	2.521	2.269	0.093	0.096	0.063	
	40	2.615	2.583	2.269	0.119	0.125	0.070	
	50	2.689	2.639	2.269	0.143	0.152	0.074	
	60	2.723	2.689	2.269	0.166	0.178	0.076	
	70	2.760	2.735	2.269	0.186	0.202	0.078	
	80	2.771	2.778	2.269	0.205	0.225	0.079	
	90	2.825	2.817	2.269	0.222	0.246	0.079	
	100	2.849	2.854	2.269	0.238	0.267	0.079	
	110	2.894	2.888	2.269	0.253	0.286	0.080	
	120	2.900	2.920	2.269	0.267	0.304	0.080	
	130	2.948	2.950	2.269	0.279	0.322	0.080	
	140	2.990	2.978	2.269	0.291	0.338	0.080	
	150	3.025	3.004	2.269	0.301	0.353	0.080	
	160	3.030	3.028	2.269	0.311	0.368	0.080	
	170	3.039	3.051	2.269	0.320	0.381	0.080	
	180	3.060	3.072	2.269	0.329	0.394	0.080	
	190	3.086	3.092	2.269	0.336	0.407	0.080	
	200	3.111	3.111	2.269	0.343	0.418	0.080	
	210	3.107	3.128	2.269	0.350	0.429	0.080	
	220	3.126	3.144	2.269	0.356	0.440	0.080	
	230	3.157	3.160	2.269	0.361	0.449	0.080	
	240	3.140	3.174	2.269	0.366	0.459	0.080	
	250	3.181	3.187	2.269	0.371	0.467	0.080	
	260	3.211	3.200	2.269	0.375	0.475	0.080	
	270	3.191	3.211	2.269	0.379	0.483	0.080	
	280	3.196	3.222	2.269	0.383	0.491	0.080	
	290	3.242	3.233	2.269	0.386	0.498	0.080	
	300	3.258	3.242	2.269	0.389	0.504	0.080	
	310	3.235	3.252	2.269	0.392	0.510	0.080	
	320	3.270	3.260	2.269	0.395	0.516	0.080	
	330	3.234	3.268	2.269	0.397	0.522	0.080	
	340	3.273	3.275	2.269	0.399	0.527	0.080	
	350	3.250	3.282	2.269	0.401	0.532	0.080	
	360	3.252	3.289	2.269	0.403	0.537	0.080	
	370	3.286	3.295	2.269	0.405	0.541	0.080	
	380	3.321	3.301	2.269	0.407	0.545	0.080	
	390	3.284	3.306	2.269	0.408	0.549	0.080	
	400	3.290	3.311	2.269	0.410	0.553	0.080	
	410	3.301	3.316	2.269	0.411	0.556	0.080	
	420	3.293	3.321	2.269	0.412	0.560	0.080	
	430	3.319	3.325	2.269	0.413	0.563	0.080	
	440	3.325	3.329	2.269	0.414	0.566	0.080	
	450	3.337	3.333	2.269	0.415	0.569	0.080	
	460	3.328	3.336	2.269	0.416	0.571	0.080	
	470	3.338	3.339	2.269	0.417	0.574	0.080	
	480	3.305	3.342	2.269	0.417	0.576	0.080	

		490	3.339	3.345	2.269	0.418	0.578	0.080	
		500	3.345	3.348	2.269	0.418	0.580	0.080	
		510	3.331	3.350	2.269	0.419	0.582	0.080	
		520	3.343	3.353	2.269	0.420	0.584	0.080	
		530	3.354	3.355	2.269	0.420	0.586	0.080	
		540	3.384	3.357	2.269	0.420	0.588	0.080	
		550	3.371	3.359	2.269	0.421	0.589	0.080	
		560	3.361	3.361	2.269	0.421	0.591	0.080	
		570	3.374	3.363	2.269	0.422	0.592	0.080	
		580	3.370	3.365	2.269	0.422	0.594	0.080	
		590	3.373	3.366	2.269	0.422	0.595	0.080	
		600	3.349	3.368	2.269	0.422	0.596	0.080	
GFET #M48	$c^{(CEA)} = 20$ nM $c^{(AFP)} = 100$ nM $c^{(PTH)} = 50$ nM	-50	2.281	2.278	-	-	-	-	$\tilde{c}^{(CEA)} \approx 20.2324$ nM $\tilde{c}^{(AFP)} \approx 52.1447$ nM $\tilde{c}^{(PTH)} \approx 99.2355$ nM
		-40	2.278	2.278					
		-30	2.254	2.278					
		-20	2.283	2.278					
		-10	2.285	2.278					
		0	2.285	2.278	2.278	0.000	0.000	0.000	
		10	2.437	2.399	2.278	0.031	0.035	0.055	
		20	2.533	2.480	2.278	0.060	0.068	0.074	
		30	2.603	2.545	2.278	0.087	0.099	0.081	
		40	2.647	2.602	2.278	0.112	0.128	0.084	
		50	2.684	2.654	2.278	0.136	0.156	0.085	
		60	2.737	2.701	2.278	0.157	0.182	0.085	
		70	2.793	2.746	2.278	0.177	0.206	0.085	
		80	2.833	2.787	2.278	0.196	0.229	0.085	
		90	2.836	2.826	2.278	0.213	0.251	0.085	
		100	2.880	2.862	2.278	0.229	0.271	0.085	
		110	2.905	2.896	2.278	0.244	0.290	0.085	
		120	2.921	2.928	2.278	0.257	0.308	0.085	
		130	2.971	2.958	2.278	0.270	0.325	0.085	
		140	3.010	2.985	2.278	0.282	0.341	0.085	
		150	3.004	3.011	2.278	0.293	0.356	0.085	
		160	3.031	3.036	2.278	0.303	0.370	0.085	
		170	3.073	3.058	2.278	0.312	0.383	0.085	
		180	3.087	3.079	2.278	0.321	0.396	0.085	
		190	3.088	3.099	2.278	0.329	0.408	0.085	
		200	3.091	3.118	2.278	0.336	0.419	0.085	
		210	3.126	3.135	2.278	0.343	0.429	0.085	
		220	3.135	3.152	2.278	0.350	0.439	0.085	
		230	3.157	3.167	2.278	0.356	0.448	0.085	
		240	3.172	3.181	2.278	0.361	0.457	0.085	
		250	3.171	3.194	2.278	0.367	0.465	0.085	
		260	3.219	3.207	2.278	0.371	0.473	0.085	
		270	3.200	3.219	2.278	0.376	0.480	0.085	
		280	3.209	3.229	2.278	0.380	0.487	0.085	

		290	3.222	3.240	2.278	0.384	0.493	0.085	
		300	3.242	3.249	2.278	0.387	0.499	0.085	
		310	3.231	3.258	2.278	0.391	0.505	0.085	
		320	3.224	3.267	2.278	0.394	0.510	0.085	
		330	3.254	3.274	2.278	0.396	0.515	0.085	
		340	3.258	3.282	2.278	0.399	0.520	0.085	
		350	3.288	3.289	2.278	0.401	0.525	0.085	
		360	3.279	3.295	2.278	0.404	0.529	0.085	
		370	3.289	3.301	2.278	0.406	0.533	0.085	
		380	3.324	3.307	2.278	0.408	0.536	0.085	
		390	3.280	3.312	2.278	0.409	0.540	0.085	
		400	3.296	3.317	2.278	0.411	0.543	0.085	
		410	3.319	3.322	2.278	0.413	0.546	0.085	
		420	3.309	3.326	2.278	0.414	0.549	0.085	
		430	3.305	3.330	2.278	0.415	0.552	0.085	
		440	3.354	3.334	2.278	0.417	0.555	0.085	
		450	3.317	3.338	2.278	0.418	0.557	0.085	
		460	3.351	3.341	2.278	0.419	0.559	0.085	
		470	3.353	3.344	2.278	0.420	0.562	0.085	
		480	3.335	3.347	2.278	0.421	0.564	0.085	
		490	3.333	3.350	2.278	0.422	0.565	0.085	
		500	3.353	3.352	2.278	0.422	0.567	0.085	
		510	3.343	3.355	2.278	0.423	0.569	0.085	
		520	3.342	3.357	2.278	0.424	0.571	0.085	
		530	3.358	3.359	2.278	0.424	0.572	0.085	
		540	3.370	3.361	2.278	0.425	0.573	0.085	
		550	3.374	3.363	2.278	0.426	0.575	0.085	
		560	3.395	3.365	2.278	0.426	0.576	0.085	
		570	3.374	3.366	2.278	0.426	0.577	0.085	
		580	3.373	3.368	2.278	0.427	0.578	0.085	
		590	3.381	3.369	2.278	0.427	0.579	0.085	
		600	3.391	3.371	2.278	0.428	0.580	0.085	
GFET #M49	$c^{(CEA)} = 50$ nM	-50	2.253	2.262	-	-	-	-	$\tilde{c}^{(CEA)} \approx 53.1264 \text{ nM}$ $\tilde{c}^{(AFP)} \approx 4.9348 \text{ nM}$ $\tilde{c}^{(PTH)} \approx 6.0437 \text{ nM}$
		-40	2.275	2.262					
		-30	2.240	2.262					
		-20	2.277	2.262					
		-10	2.265	2.262					
	$c^{(AFP)} = 5$ nM	0	2.265	2.262	2.262	0.000	0.000	0.000	
		10	2.446	2.378	2.262	0.105	0.005	0.006	
		20	2.492	2.474	2.262	0.191	0.009	0.011	
		30	2.558	2.555	2.262	0.262	0.014	0.016	
		40	2.639	2.623	2.262	0.321	0.019	0.021	
	$c^{(PTH)} = 2$ nM	50	2.673	2.680	2.262	0.370	0.023	0.025	
		60	2.724	2.729	2.262	0.410	0.027	0.029	
		70	2.739	2.770	2.262	0.443	0.032	0.033	
		80	2.783	2.804	2.262	0.470	0.036	0.036	

	90	2.797	2.834	2.262	0.492	0.040	0.039	
	100	2.831	2.859	2.262	0.511	0.045	0.042	
	110	2.857	2.881	2.262	0.526	0.049	0.044	
	120	2.891	2.900	2.262	0.539	0.053	0.046	
	130	2.916	2.917	2.262	0.549	0.057	0.048	
	140	2.907	2.931	2.262	0.558	0.061	0.050	
	150	2.927	2.944	2.262	0.565	0.065	0.052	
	160	2.934	2.955	2.262	0.570	0.069	0.054	
	170	2.952	2.965	2.262	0.575	0.072	0.055	
	180	2.988	2.975	2.262	0.579	0.076	0.057	
	190	2.968	2.983	2.262	0.582	0.080	0.058	
	200	2.969	2.990	2.262	0.585	0.083	0.059	
	210	3.004	2.997	2.262	0.587	0.087	0.060	
	220	3.000	3.004	2.262	0.589	0.091	0.061	
	230	2.994	3.009	2.262	0.591	0.094	0.062	
	240	3.026	3.015	2.262	0.592	0.098	0.063	
	250	3.009	3.020	2.262	0.593	0.101	0.064	
	260	3.032	3.025	2.262	0.594	0.104	0.064	
	270	3.064	3.030	2.262	0.594	0.108	0.065	
	280	3.042	3.034	2.262	0.595	0.111	0.066	
	290	3.029	3.038	2.262	0.596	0.114	0.066	
	300	3.079	3.043	2.262	0.596	0.117	0.067	
	310	3.077	3.046	2.262	0.596	0.121	0.067	
	320	3.070	3.050	2.262	0.597	0.124	0.068	
	330	3.067	3.054	2.262	0.597	0.127	0.068	
	340	3.044	3.057	2.262	0.597	0.130	0.068	
	350	3.071	3.061	2.262	0.597	0.133	0.069	
	360	3.044	3.064	2.262	0.597	0.136	0.069	
	370	3.102	3.068	2.262	0.597	0.139	0.069	
	380	3.080	3.071	2.262	0.597	0.141	0.069	
	390	3.091	3.074	2.262	0.597	0.144	0.070	
	400	3.085	3.077	2.262	0.598	0.147	0.070	
	410	3.088	3.080	2.262	0.598	0.150	0.070	
	420	3.098	3.083	2.262	0.598	0.152	0.070	
	430	3.092	3.086	2.262	0.598	0.155	0.070	
	440	3.080	3.088	2.262	0.598	0.158	0.071	
	450	3.098	3.091	2.262	0.598	0.160	0.071	
	460	3.094	3.094	2.262	0.598	0.163	0.071	
	470	3.111	3.097	2.262	0.598	0.165	0.071	
	480	3.097	3.099	2.262	0.598	0.168	0.071	
	490	3.115	3.102	2.262	0.598	0.170	0.071	
	500	3.126	3.104	2.262	0.598	0.173	0.071	
	510	3.124	3.107	2.262	0.598	0.175	0.071	
	520	3.119	3.109	2.262	0.598	0.178	0.071	
	530	3.123	3.112	2.262	0.598	0.180	0.071	
	540	3.102	3.114	2.262	0.598	0.182	0.072	

		550	3.115	3.116	2.262	0.598	0.184	0.072	
		560	3.111	3.119	2.262	0.598	0.187	0.072	
		570	3.116	3.121	2.262	0.598	0.189	0.072	
		580	3.121	3.123	2.262	0.598	0.191	0.072	
		590	3.116	3.125	2.262	0.598	0.193	0.072	
		600	3.140	3.127	2.262	0.598	0.195	0.072	
GFET #M50	$c^{(CEA)} = 50$ nM	-50	2.261	2.253	-	-	-	-	$\tilde{c}^{(CEA)} \approx 47.3244 \text{ nM}$
		-40	2.266	2.253					
		-30	2.247	2.253					
		-20	2.254	2.253					
		-10	2.246	2.253					
		0	2.246	2.253	2.253	0.000	0.000	0.000	
		10	2.451	2.365	2.253	0.096	0.004	0.011	
		20	2.504	2.460	2.253	0.178	0.009	0.020	
		30	2.570	2.541	2.253	0.246	0.013	0.029	
		40	2.633	2.611	2.253	0.304	0.018	0.036	
		50	2.690	2.670	2.253	0.352	0.022	0.042	
		60	2.748	2.720	2.253	0.393	0.026	0.048	
		70	2.775	2.764	2.253	0.427	0.030	0.053	
		80	2.796	2.801	2.253	0.456	0.034	0.058	
		90	2.832	2.834	2.253	0.480	0.038	0.061	
		100	2.855	2.861	2.253	0.501	0.042	0.065	
		110	2.879	2.886	2.253	0.518	0.046	0.068	
		120	2.898	2.907	2.253	0.533	0.050	0.070	
		130	2.924	2.925	2.253	0.545	0.054	0.073	
	$c^{(AFP)} = 5$ nM	140	2.934	2.941	2.253	0.555	0.057	0.075	$\tilde{c}^{(AFP)} \approx 4.6553 \text{ nM}$
		150	2.949	2.955	2.253	0.564	0.061	0.077	
	$c^{(PTH)} = 5$ nM	160	2.983	2.968	2.253	0.571	0.065	0.078	$\tilde{c}^{(PTH)} \approx 10.2424 \text{ nM}$
		170	2.991	2.979	2.253	0.577	0.068	0.080	
		180	2.992	2.989	2.253	0.583	0.072	0.081	
		190	2.983	2.998	2.253	0.587	0.075	0.082	
		200	2.980	3.006	2.253	0.591	0.079	0.083	
		210	3.005	3.013	2.253	0.594	0.082	0.084	
		220	3.037	3.020	2.253	0.596	0.086	0.084	
		230	3.033	3.026	2.253	0.599	0.089	0.085	
		240	3.051	3.032	2.253	0.600	0.092	0.086	
		250	3.062	3.037	2.253	0.602	0.096	0.086	
		260	3.056	3.042	2.253	0.603	0.099	0.087	
		270	3.052	3.047	2.253	0.604	0.102	0.087	
		280	3.049	3.051	2.253	0.605	0.105	0.087	
		290	3.065	3.055	2.253	0.606	0.108	0.088	
		300	3.076	3.059	2.253	0.607	0.111	0.088	
		310	3.053	3.063	2.253	0.607	0.114	0.088	
		320	3.058	3.067	2.253	0.608	0.117	0.088	
		330	3.057	3.070	2.253	0.608	0.120	0.088	
		340	3.099	3.073	2.253	0.608	0.123	0.089	

		350	3.077	3.077	2.253	0.609	0.126	0.089	
		360	3.088	3.080	2.253	0.609	0.129	0.089	
		370	3.093	3.083	2.253	0.609	0.131	0.089	
		380	3.093	3.086	2.253	0.609	0.134	0.089	
		390	3.117	3.089	2.253	0.609	0.137	0.089	
		400	3.093	3.092	2.253	0.610	0.139	0.089	
		410	3.080	3.094	2.253	0.610	0.142	0.089	
		420	3.081	3.097	2.253	0.610	0.145	0.089	
		430	3.107	3.100	2.253	0.610	0.147	0.089	
		440	3.099	3.102	2.253	0.610	0.150	0.089	
		450	3.105	3.105	2.253	0.610	0.152	0.089	
		460	3.091	3.107	2.253	0.610	0.155	0.089	
		470	3.092	3.110	2.253	0.610	0.157	0.089	
		480	3.103	3.112	2.253	0.610	0.159	0.090	
		490	3.101	3.115	2.253	0.610	0.162	0.090	
		500	3.102	3.117	2.253	0.610	0.164	0.090	
		510	3.098	3.119	2.253	0.610	0.166	0.090	
		520	3.113	3.122	2.253	0.610	0.169	0.090	
		530	3.109	3.124	2.253	0.610	0.171	0.090	
		540	3.122	3.126	2.253	0.610	0.173	0.090	
		550	3.127	3.128	2.253	0.610	0.175	0.090	
		560	3.124	3.131	2.253	0.610	0.177	0.090	
		570	3.135	3.133	2.253	0.610	0.179	0.090	
		580	3.103	3.135	2.253	0.610	0.181	0.090	
		590	3.103	3.137	2.253	0.610	0.184	0.090	
		600	3.120	3.139	2.253	0.610	0.186	0.090	
GFET #M51	$c^{(CEA)} = 50$ nM $c^{(AFP)} = 5$ nM $c^{(PTH)} = 20$ nM	-50	2.281	2.264	-	-	-	-	$\tilde{c}^{(CEA)} \approx 49.2514 \text{ nM}$ $\tilde{c}^{(AFP)} \approx 4.5166 \text{ nM}$ $\tilde{c}^{(PTH)} \approx 39.2155 \text{ nM}$
		-40	2.273	2.264					
		-30	2.275	2.264					
		-20	2.251	2.264					
		-10	2.251	2.264					
		0	2.251	2.264	2.264	0.000	0.000	0.000	
		10	2.454	2.401	2.264	0.098	0.004	0.035	
		20	2.538	2.511	2.264	0.181	0.008	0.058	
		30	2.597	2.599	2.264	0.250	0.012	0.073	
		40	2.676	2.670	2.264	0.307	0.016	0.083	
		50	2.725	2.729	2.264	0.355	0.020	0.089	
		60	2.742	2.777	2.264	0.396	0.024	0.093	
		70	2.775	2.817	2.264	0.429	0.028	0.096	
		80	2.825	2.851	2.264	0.457	0.032	0.098	
		90	2.857	2.879	2.264	0.481	0.036	0.099	
		100	2.892	2.904	2.264	0.501	0.040	0.100	
		110	2.905	2.924	2.264	0.517	0.043	0.100	
		120	2.918	2.942	2.264	0.531	0.047	0.101	
		130	2.939	2.957	2.264	0.542	0.050	0.101	
		140	2.979	2.971	2.264	0.552	0.054	0.101	

	150	2.979	2.982	2.264	0.560	0.057	0.101	
	160	2.993	2.992	2.264	0.567	0.061	0.101	
	170	2.995	3.001	2.264	0.572	0.064	0.101	
	180	3.000	3.010	2.264	0.577	0.068	0.101	
	190	3.006	3.017	2.264	0.581	0.071	0.101	
	200	3.039	3.023	2.264	0.584	0.074	0.101	
	210	3.012	3.029	2.264	0.587	0.077	0.101	
	220	3.038	3.035	2.264	0.589	0.081	0.101	
	230	3.046	3.040	2.264	0.591	0.084	0.101	
	240	3.048	3.045	2.264	0.593	0.087	0.101	
	250	3.059	3.049	2.264	0.594	0.090	0.101	
	260	3.070	3.053	2.264	0.595	0.093	0.101	
	270	3.064	3.057	2.264	0.596	0.096	0.101	
	280	3.046	3.061	2.264	0.597	0.099	0.101	
	290	3.065	3.064	2.264	0.598	0.102	0.101	
	300	3.093	3.068	2.264	0.598	0.105	0.101	
	310	3.092	3.071	2.264	0.599	0.107	0.101	
	320	3.074	3.074	2.264	0.599	0.110	0.101	
	330	3.099	3.077	2.264	0.599	0.113	0.101	
	340	3.097	3.080	2.264	0.600	0.116	0.101	
	350	3.077	3.083	2.264	0.600	0.118	0.101	
	360	3.098	3.086	2.264	0.600	0.121	0.101	
	370	3.095	3.089	2.264	0.600	0.123	0.101	
	380	3.082	3.091	2.264	0.600	0.126	0.101	
	390	3.095	3.094	2.264	0.600	0.129	0.101	
	400	3.103	3.097	2.264	0.601	0.131	0.101	
	410	3.113	3.099	2.264	0.601	0.134	0.101	
	420	3.113	3.102	2.264	0.601	0.136	0.101	
	430	3.111	3.104	2.264	0.601	0.138	0.101	
	440	3.096	3.106	2.264	0.601	0.141	0.101	
	450	3.106	3.109	2.264	0.601	0.143	0.101	
	460	3.131	3.111	2.264	0.601	0.145	0.101	
	470	3.115	3.114	2.264	0.601	0.148	0.101	
	480	3.099	3.116	2.264	0.601	0.150	0.101	
	490	3.110	3.118	2.264	0.601	0.152	0.101	
	500	3.115	3.120	2.264	0.601	0.154	0.101	
	510	3.112	3.122	2.264	0.601	0.157	0.101	
	520	3.102	3.125	2.264	0.601	0.159	0.101	
	530	3.126	3.127	2.264	0.601	0.161	0.101	
	540	3.113	3.129	2.264	0.601	0.163	0.101	
	550	3.122	3.131	2.264	0.601	0.165	0.101	
	560	3.119	3.133	2.264	0.601	0.167	0.101	
	570	3.139	3.135	2.264	0.601	0.169	0.101	
	580	3.138	3.137	2.264	0.601	0.171	0.101	
	590	3.139	3.139	2.264	0.601	0.173	0.101	
	600	3.126	3.141	2.264	0.601	0.175	0.101	

GFET #M52		-50	2.246	2.252	-	-	-	-
		-40	2.249	2.252				
		-30	2.268	2.252				
		-20	2.251	2.252				
		-10	2.251	2.252				
$c^{(CEA)} = 50$ nM	$c^{(AFP)} = 5$ nM	0	2.251	2.252	2.252	0.000	0.000	0.000
		10	2.447	2.424	2.252	0.099	0.004	0.067
		20	2.561	2.534	2.252	0.183	0.009	0.090
		30	2.638	2.615	2.252	0.252	0.013	0.098
		40	2.694	2.680	2.252	0.310	0.017	0.100
		50	2.750	2.733	2.252	0.359	0.021	0.101
		60	2.779	2.778	2.252	0.400	0.025	0.101
		70	2.825	2.817	2.252	0.434	0.029	0.102
		80	2.855	2.849	2.252	0.462	0.033	0.102
		90	2.875	2.877	2.252	0.486	0.037	0.102
		100	2.885	2.900	2.252	0.506	0.041	0.102
		110	2.911	2.921	2.252	0.522	0.044	0.102
		120	2.945	2.938	2.252	0.536	0.048	0.102
		130	2.934	2.954	2.252	0.548	0.052	0.102
		140	2.946	2.967	2.252	0.558	0.055	0.102
		150	2.997	2.979	2.252	0.566	0.059	0.102
		160	2.993	2.989	2.252	0.572	0.062	0.102
		170	2.998	2.998	2.252	0.578	0.066	0.102
		180	3.020	3.006	2.252	0.583	0.069	0.102
		190	3.014	3.014	2.252	0.587	0.073	0.102
		200	3.037	3.020	2.252	0.590	0.076	0.102
		210	3.045	3.026	2.252	0.593	0.079	0.102
		220	3.035	3.032	2.252	0.595	0.083	0.102
		230	3.051	3.037	2.252	0.597	0.086	0.102
		240	3.053	3.042	2.252	0.599	0.089	0.102
		250	3.074	3.046	2.252	0.600	0.092	0.102
		260	3.062	3.051	2.252	0.601	0.095	0.102
		270	3.088	3.055	2.252	0.602	0.098	0.102
		280	3.071	3.058	2.252	0.603	0.101	0.102
		290	3.070	3.062	2.252	0.604	0.104	0.102
		300	3.083	3.066	2.252	0.604	0.107	0.102
		310	3.077	3.069	2.252	0.605	0.110	0.102
		320	3.108	3.072	2.252	0.605	0.113	0.102
		330	3.093	3.075	2.252	0.606	0.116	0.102
		340	3.080	3.078	2.252	0.606	0.118	0.102
		350	3.093	3.081	2.252	0.606	0.121	0.102
		360	3.082	3.084	2.252	0.606	0.124	0.102
		370	3.065	3.087	2.252	0.606	0.127	0.102
		380	3.096	3.090	2.252	0.607	0.129	0.102
		390	3.108	3.092	2.252	0.607	0.132	0.102
		400	3.099	3.095	2.252	0.607	0.134	0.102

		410	3.103	3.098	2.252	0.607	0.137	0.102	
		420	3.097	3.100	2.252	0.607	0.139	0.102	
		430	3.075	3.103	2.252	0.607	0.142	0.102	
		440	3.082	3.105	2.252	0.607	0.144	0.102	
		450	3.082	3.108	2.252	0.607	0.147	0.102	
		460	3.127	3.110	2.252	0.607	0.149	0.102	
		470	3.111	3.112	2.252	0.607	0.151	0.102	
		480	3.095	3.115	2.252	0.607	0.154	0.102	
		490	3.115	3.117	2.252	0.607	0.156	0.102	
		500	3.115	3.119	2.252	0.607	0.158	0.102	
		510	3.105	3.121	2.252	0.607	0.160	0.102	
		520	3.118	3.124	2.252	0.607	0.162	0.102	
		530	3.116	3.126	2.252	0.607	0.165	0.102	
		540	3.096	3.128	2.252	0.607	0.167	0.102	
		550	3.106	3.130	2.252	0.607	0.169	0.102	
		560	3.125	3.132	2.252	0.607	0.171	0.102	
		570	3.116	3.134	2.252	0.607	0.173	0.102	
		580	3.115	3.136	2.252	0.607	0.175	0.102	
		590	3.127	3.138	2.252	0.607	0.177	0.102	
		600	3.106	3.140	2.252	0.607	0.179	0.102	
		-50	2.259	2.257	-	-	-	-	
		-40	2.246	2.257					
		-30	2.247	2.257					
		-20	2.275	2.257					
		-10	2.258	2.257					
		0	2.258	2.257	2.257	0.000	0.000	0.000	
		10	2.437	2.365	2.257	0.092	0.011	0.005	
		20	2.527	2.457	2.257	0.169	0.021	0.010	
		30	2.596	2.536	2.257	0.234	0.031	0.014	
		40	2.648	2.604	2.257	0.288	0.041	0.018	
		50	2.693	2.663	2.257	0.334	0.051	0.022	
		60	2.733	2.715	2.257	0.372	0.061	0.025	
		70	2.764	2.759	2.257	0.404	0.070	0.028	
		80	2.833	2.798	2.257	0.431	0.079	0.031	
		90	2.849	2.833	2.257	0.453	0.088	0.034	
		100	2.891	2.863	2.257	0.472	0.097	0.036	
		110	2.912	2.890	2.257	0.488	0.105	0.039	
		120	2.907	2.913	2.257	0.502	0.113	0.041	
		130	2.949	2.935	2.257	0.513	0.122	0.043	
		140	2.962	2.954	2.257	0.522	0.130	0.045	
		150	2.999	2.972	2.257	0.530	0.137	0.047	
		160	2.988	2.987	2.257	0.537	0.145	0.048	
		170	3.010	3.002	2.257	0.543	0.152	0.050	
		180	3.035	3.015	2.257	0.547	0.160	0.051	
		190	3.059	3.028	2.257	0.551	0.167	0.052	
		200	3.072	3.039	2.257	0.555	0.174	0.054	

		210	3.046	3.050	2.257	0.557	0.181	0.055	
		220	3.073	3.060	2.257	0.560	0.187	0.056	
		230	3.091	3.069	2.257	0.562	0.194	0.057	
		240	3.063	3.078	2.257	0.563	0.200	0.057	
		250	3.100	3.086	2.257	0.565	0.206	0.058	
		260	3.104	3.094	2.257	0.566	0.212	0.059	
		270	3.090	3.102	2.257	0.567	0.218	0.060	
		280	3.097	3.109	2.257	0.568	0.224	0.060	
		290	3.130	3.116	2.257	0.568	0.230	0.061	
		300	3.148	3.123	2.257	0.569	0.235	0.062	
		310	3.135	3.129	2.257	0.569	0.241	0.062	
		320	3.128	3.136	2.257	0.570	0.246	0.063	
		330	3.143	3.142	2.257	0.570	0.251	0.063	
		340	3.176	3.147	2.257	0.570	0.256	0.063	
		350	3.165	3.153	2.257	0.571	0.261	0.064	
		360	3.164	3.158	2.257	0.571	0.266	0.064	
		370	3.169	3.164	2.257	0.571	0.271	0.064	
		380	3.158	3.169	2.257	0.571	0.276	0.065	
		390	3.155	3.174	2.257	0.571	0.280	0.065	
		400	3.176	3.178	2.257	0.571	0.285	0.065	
		410	3.178	3.183	2.257	0.571	0.289	0.066	
		420	3.170	3.188	2.257	0.571	0.293	0.066	
		430	3.187	3.192	2.257	0.571	0.297	0.066	
		440	3.175	3.196	2.257	0.572	0.301	0.066	
		450	3.188	3.201	2.257	0.572	0.305	0.066	
		460	3.196	3.205	2.257	0.572	0.309	0.067	
		470	3.181	3.209	2.257	0.572	0.313	0.067	
		480	3.204	3.212	2.257	0.572	0.317	0.067	
		490	3.192	3.216	2.257	0.572	0.320	0.067	
		500	3.211	3.220	2.257	0.572	0.324	0.067	
		510	3.221	3.223	2.257	0.572	0.327	0.067	
		520	3.215	3.227	2.257	0.572	0.331	0.067	
		530	3.200	3.230	2.257	0.572	0.334	0.067	
		540	3.222	3.234	2.257	0.572	0.337	0.067	
		550	3.207	3.237	2.257	0.572	0.341	0.068	
		560	3.232	3.240	2.257	0.572	0.344	0.068	
		570	3.235	3.243	2.257	0.572	0.347	0.068	
		580	3.234	3.246	2.257	0.572	0.350	0.068	
		590	3.243	3.249	2.257	0.572	0.352	0.068	
		600	3.221	3.252	2.257	0.572	0.355	0.068	
GFET #M54	$c^{(CEA)} = 50$ nM	-50	2.294	2.272	-	-	-	-	$\tilde{c}^{(CEA)} \approx 48.3227 \text{ nM}$
		-40	2.258	2.272					
	$c^{(AFP)} = 20$ nM	-30	2.267	2.272	-	-	-	-	$\tilde{c}^{(AFP)} \approx 13.2165 \text{ nM}$
		-20	2.275	2.272					
	$c^{(PTH)} = 5$ nM	-10	2.268	2.272	-	-	-	-	$\tilde{c}^{(PTH)} \approx 10.0443 \text{ nM}$
		0	2.268	2.272					

	10	2.478	2.381	2.272	0.089	0.010	0.011	
	20	2.549	2.475	2.272	0.163	0.020	0.020	
	30	2.582	2.555	2.272	0.226	0.030	0.028	
	40	2.662	2.624	2.272	0.278	0.039	0.036	
	50	2.711	2.684	2.272	0.322	0.048	0.042	
	60	2.750	2.735	2.272	0.359	0.057	0.048	
	70	2.766	2.780	2.272	0.390	0.066	0.053	
	80	2.849	2.819	2.272	0.416	0.075	0.057	
	90	2.857	2.853	2.272	0.437	0.083	0.061	
	100	2.923	2.883	2.272	0.456	0.091	0.064	
	110	2.915	2.909	2.272	0.471	0.099	0.067	
	120	2.933	2.933	2.272	0.484	0.107	0.070	
	130	2.959	2.954	2.272	0.495	0.115	0.072	
	140	2.967	2.972	2.272	0.504	0.123	0.074	
	150	3.011	2.989	2.272	0.511	0.130	0.076	
	160	3.002	3.004	2.272	0.518	0.137	0.078	
	170	3.035	3.018	2.272	0.523	0.144	0.079	
	180	3.033	3.031	2.272	0.527	0.151	0.080	
	190	3.043	3.042	2.272	0.531	0.158	0.082	
	200	3.056	3.053	2.272	0.534	0.165	0.083	
	210	3.062	3.063	2.272	0.537	0.171	0.083	
	220	3.077	3.073	2.272	0.539	0.178	0.084	
	230	3.073	3.081	2.272	0.541	0.184	0.085	
	240	3.098	3.090	2.272	0.543	0.190	0.085	
	250	3.110	3.097	2.272	0.544	0.196	0.086	
	260	3.084	3.105	2.272	0.545	0.202	0.086	
	270	3.102	3.112	2.272	0.546	0.207	0.087	
	280	3.134	3.118	2.272	0.547	0.213	0.087	
	290	3.120	3.125	2.272	0.547	0.218	0.087	
	300	3.130	3.131	2.272	0.548	0.224	0.088	
	310	3.152	3.137	2.272	0.548	0.229	0.088	
	320	3.146	3.143	2.272	0.549	0.234	0.088	
	330	3.142	3.148	2.272	0.549	0.239	0.088	
	340	3.144	3.153	2.272	0.549	0.244	0.088	
	350	3.148	3.159	2.272	0.550	0.249	0.089	
	360	3.145	3.164	2.272	0.550	0.253	0.089	
	370	3.150	3.168	2.272	0.550	0.258	0.089	
	380	3.145	3.173	2.272	0.550	0.262	0.089	
	390	3.155	3.178	2.272	0.550	0.267	0.089	
	400	3.166	3.182	2.272	0.550	0.271	0.089	
	410	3.194	3.186	2.272	0.550	0.275	0.089	
	420	3.174	3.191	2.272	0.550	0.279	0.089	
	430	3.167	3.195	2.272	0.551	0.283	0.089	
	440	3.183	3.199	2.272	0.551	0.287	0.089	
	450	3.196	3.203	2.272	0.551	0.291	0.089	
	460	3.191	3.207	2.272	0.551	0.295	0.089	

		470	3.186	3.210	2.272	0.551	0.299	0.089	
		480	3.202	3.214	2.272	0.551	0.302	0.089	
		490	3.212	3.217	2.272	0.551	0.306	0.090	
		500	3.210	3.221	2.272	0.551	0.309	0.090	
		510	3.228	3.224	2.272	0.551	0.312	0.090	
		520	3.201	3.228	2.272	0.551	0.316	0.090	
		530	3.216	3.231	2.272	0.551	0.319	0.090	
		540	3.229	3.234	2.272	0.551	0.322	0.090	
		550	3.228	3.237	2.272	0.551	0.325	0.090	
		560	3.236	3.240	2.272	0.551	0.328	0.090	
		570	3.225	3.243	2.272	0.551	0.331	0.090	
		580	3.213	3.246	2.272	0.551	0.334	0.090	
		590	3.250	3.249	2.272	0.551	0.337	0.090	
		600	3.242	3.252	2.272	0.551	0.340	0.090	
		-50	2.262	2.266	-	-	-	-	$\tilde{c}^{(CEA)} \approx 50.2117 \text{ nM}$ $\tilde{c}^{(AFP)} \approx 13.1432 \text{ nM}$ $\tilde{c}^{(PTH)} \approx 40.4624 \text{ nM}$
		-40	2.268	2.266					
		-30	2.274	2.266					
		-20	2.283	2.266					
		-10	2.255	2.266					
		0	2.255	2.266					
		10	2.463	2.406					
		20	2.552	2.517					
		30	2.614	2.607					
		40	2.669	2.681					
		50	2.739	2.742					
		60	2.783	2.792					
		70	2.798	2.835					
		80	2.872	2.872					
		90	2.893	2.903					
GFET #M55	$c^{(CEA)} = 50 \text{ nM}$ $c^{(AFP)} = 20 \text{ nM}$ $c^{(PTH)} = 20 \text{ nM}$	100	2.914	2.930					
		110	2.978	2.954					
		120	3.007	2.975					
		130	2.979	2.993					
		140	2.981	3.009					
		150	3.019	3.024					
		160	3.018	3.038					
		170	3.054	3.050					
		180	3.049	3.061					
		190	3.076	3.071					
		200	3.081	3.081					
		210	3.082	3.090					
		220	3.113	3.098					
		230	3.107	3.106					
		240	3.093	3.113					
		250	3.120	3.121					
		260	3.143	3.127					

		270	3.135	3.134	2.266	0.560	0.206	0.101	
		280	3.159	3.140	2.266	0.561	0.212	0.101	
		290	3.163	3.146	2.266	0.561	0.217	0.101	
		300	3.132	3.152	2.266	0.562	0.222	0.101	
		310	3.161	3.157	2.266	0.562	0.228	0.101	
		320	3.148	3.163	2.266	0.563	0.233	0.101	
		330	3.162	3.168	2.266	0.563	0.238	0.101	
		340	3.164	3.173	2.266	0.563	0.242	0.101	
		350	3.157	3.178	2.266	0.563	0.247	0.101	
		360	3.176	3.183	2.266	0.563	0.252	0.101	
		370	3.174	3.188	2.266	0.564	0.256	0.101	
		380	3.174	3.192	2.266	0.564	0.261	0.101	
		390	3.192	3.197	2.266	0.564	0.265	0.101	
		400	3.180	3.201	2.266	0.564	0.269	0.101	
		410	3.191	3.205	2.266	0.564	0.274	0.101	
		420	3.192	3.209	2.266	0.564	0.278	0.101	
		430	3.206	3.213	2.266	0.564	0.282	0.101	
		440	3.193	3.217	2.266	0.564	0.286	0.101	
		450	3.203	3.221	2.266	0.564	0.289	0.101	
		460	3.211	3.225	2.266	0.564	0.293	0.101	
		470	3.233	3.229	2.266	0.564	0.297	0.101	
		480	3.211	3.232	2.266	0.564	0.300	0.101	
		490	3.207	3.236	2.266	0.564	0.304	0.101	
		500	3.204	3.239	2.266	0.564	0.307	0.101	
		510	3.267	3.242	2.266	0.564	0.311	0.101	
		520	3.247	3.246	2.266	0.564	0.314	0.101	
		530	3.223	3.249	2.266	0.564	0.317	0.101	
		540	3.246	3.252	2.266	0.564	0.320	0.101	
		550	3.242	3.255	2.266	0.564	0.323	0.101	
		560	3.233	3.258	2.266	0.564	0.326	0.101	
		570	3.257	3.261	2.266	0.564	0.329	0.101	
		580	3.254	3.264	2.266	0.564	0.332	0.101	
		590	3.225	3.267	2.266	0.564	0.335	0.101	
		600	3.226	3.270	2.266	0.564	0.338	0.101	
GFET #M56	$c^{(CEA)} = 50$ nM	-50	2.265	2.264	-	-	-	-	$\tilde{c}^{(CEA)} \approx 49.2544 \text{ nM}$ $\tilde{c}^{(AFP)} \approx 13.1244 \text{ nM}$ $\tilde{c}^{(PTH)} \approx 96.4788 \text{ nM}$
		-40	2.281	2.264					
		-30	2.265	2.264					
		-20	2.261	2.264					
		-10	2.257	2.264					
	$c^{(AFP)} = 20$ nM	0	2.257	2.264	2.264	0.000	0.000	0.000	
		10	2.462	2.432	2.264	0.094	0.009	0.064	
		20	2.596	2.543	2.264	0.172	0.019	0.088	
	$c^{(PTH)} = 50$ nM	30	2.644	2.626	2.264	0.238	0.028	0.096	
		40	2.712	2.693	2.264	0.292	0.037	0.099	
		50	2.776	2.748	2.264	0.338	0.045	0.101	
		60	2.782	2.796	2.264	0.376	0.054	0.101	

	70	2.833	2.836	2.264	0.408	0.062	0.101	
	80	2.876	2.871	2.264	0.435	0.070	0.101	
	90	2.916	2.901	2.264	0.458	0.078	0.101	
	100	2.947	2.928	2.264	0.476	0.086	0.101	
	110	2.943	2.951	2.264	0.492	0.094	0.101	
	120	2.970	2.972	2.264	0.505	0.101	0.101	
	130	3.017	2.990	2.264	0.516	0.109	0.101	
	140	3.013	3.006	2.264	0.525	0.116	0.101	
	150	3.014	3.021	2.264	0.533	0.123	0.101	
	160	3.039	3.034	2.264	0.539	0.130	0.101	
	170	3.063	3.046	2.264	0.545	0.136	0.101	
	180	3.073	3.057	2.264	0.549	0.143	0.101	
	190	3.076	3.068	2.264	0.553	0.149	0.101	
	200	3.089	3.077	2.264	0.556	0.156	0.101	
	210	3.091	3.086	2.264	0.559	0.162	0.101	
	220	3.109	3.094	2.264	0.561	0.168	0.101	
	230	3.118	3.102	2.264	0.563	0.174	0.101	
	240	3.125	3.109	2.264	0.564	0.179	0.101	
	250	3.119	3.116	2.264	0.565	0.185	0.101	
	260	3.117	3.122	2.264	0.566	0.190	0.101	
	270	3.155	3.129	2.264	0.567	0.196	0.101	
	280	3.133	3.135	2.264	0.568	0.201	0.101	
	290	3.151	3.140	2.264	0.569	0.206	0.101	
	300	3.156	3.146	2.264	0.569	0.211	0.101	
	310	3.167	3.151	2.264	0.570	0.216	0.101	
	320	3.156	3.157	2.264	0.570	0.221	0.101	
	330	3.176	3.162	2.264	0.570	0.226	0.101	
	340	3.158	3.166	2.264	0.571	0.230	0.101	
	350	3.176	3.171	2.264	0.571	0.235	0.101	
	360	3.183	3.176	2.264	0.571	0.239	0.101	
	370	3.160	3.180	2.264	0.571	0.244	0.101	
	380	3.187	3.185	2.264	0.571	0.248	0.101	
	390	3.196	3.189	2.264	0.571	0.252	0.101	
	400	3.197	3.193	2.264	0.571	0.256	0.101	
	410	3.193	3.197	2.264	0.571	0.260	0.101	
	420	3.212	3.201	2.264	0.572	0.264	0.101	
	430	3.202	3.205	2.264	0.572	0.268	0.101	
	440	3.181	3.209	2.264	0.572	0.272	0.101	
	450	3.170	3.212	2.264	0.572	0.275	0.101	
	460	3.197	3.216	2.264	0.572	0.279	0.101	
	470	3.202	3.219	2.264	0.572	0.282	0.101	
	480	3.208	3.223	2.264	0.572	0.286	0.101	
	490	3.214	3.226	2.264	0.572	0.289	0.101	
	500	3.229	3.229	2.264	0.572	0.292	0.101	
	510	3.218	3.233	2.264	0.572	0.295	0.101	
	520	3.189	3.236	2.264	0.572	0.299	0.101	

		530	3.232	3.239	2.264	0.572	0.302	0.101	
		540	3.243	3.242	2.264	0.572	0.305	0.101	
		550	3.236	3.245	2.264	0.572	0.308	0.101	
		560	3.228	3.248	2.264	0.572	0.310	0.101	
		570	3.263	3.250	2.264	0.572	0.313	0.101	
		580	3.231	3.253	2.264	0.572	0.316	0.101	
		590	3.243	3.256	2.264	0.572	0.319	0.101	
		600	3.227	3.259	2.264	0.572	0.321	0.101	
GFET #M57	$c^{(CEA)} = 50$ nM	-50	2.278	2.274	-	-	-	-	$\tilde{c}^{(CEA)} \approx 55.1533$ nM
		-40	2.263	2.274					
		-30	2.282	2.274					
		-20	2.265	2.274					
		-10	2.279	2.274					
		0	2.279	2.274	2.274	0.000	0.000	0.000	
		10	2.467	2.395	2.274	0.091	0.025	0.005	
		20	2.576	2.497	2.274	0.165	0.048	0.010	
		30	2.662	2.585	2.274	0.225	0.071	0.015	
		40	2.735	2.660	2.274	0.275	0.092	0.019	
		50	2.760	2.725	2.274	0.316	0.113	0.022	
		60	2.808	2.782	2.274	0.349	0.133	0.026	
		70	2.864	2.831	2.274	0.376	0.152	0.029	
		80	2.902	2.874	2.274	0.399	0.170	0.031	
		90	2.952	2.913	2.274	0.417	0.188	0.034	
		100	2.982	2.947	2.274	0.432	0.205	0.036	
		110	3.006	2.977	2.274	0.444	0.221	0.038	
		120	2.993	3.004	2.274	0.454	0.236	0.040	
		130	3.052	3.029	2.274	0.462	0.251	0.042	
		140	3.078	3.052	2.274	0.469	0.265	0.043	
		150	3.099	3.072	2.274	0.475	0.279	0.045	
		160	3.070	3.091	2.274	0.479	0.292	0.046	
		170	3.105	3.108	2.274	0.483	0.304	0.047	
		180	3.125	3.125	2.274	0.486	0.316	0.048	
		190	3.129	3.140	2.274	0.488	0.328	0.049	
		200	3.147	3.153	2.274	0.490	0.339	0.050	
		210	3.149	3.167	2.274	0.492	0.350	0.051	
		220	3.186	3.179	2.274	0.493	0.360	0.051	
		230	3.195	3.190	2.274	0.494	0.370	0.052	
		240	3.207	3.201	2.274	0.495	0.379	0.052	
		250	3.192	3.211	2.274	0.496	0.388	0.053	
		260	3.231	3.221	2.274	0.497	0.397	0.053	
		270	3.234	3.230	2.274	0.497	0.405	0.054	
		280	3.214	3.239	2.274	0.498	0.413	0.054	
		290	3.230	3.247	2.274	0.498	0.420	0.055	
		300	3.254	3.255	2.274	0.498	0.428	0.055	
		310	3.258	3.263	2.274	0.498	0.435	0.055	
		320	3.238	3.270	2.274	0.499	0.441	0.056	

		330	3.279	3.277	2.274	0.499	0.448	0.056	
		340	3.283	3.283	2.274	0.499	0.454	0.056	
		350	3.271	3.289	2.274	0.499	0.460	0.056	
		360	3.276	3.295	2.274	0.499	0.465	0.056	
		370	3.286	3.301	2.274	0.499	0.471	0.057	
		380	3.299	3.306	2.274	0.499	0.476	0.057	
		390	3.320	3.312	2.274	0.499	0.481	0.057	
		400	3.284	3.317	2.274	0.499	0.486	0.057	
		410	3.271	3.321	2.274	0.499	0.491	0.057	
		420	3.268	3.326	2.274	0.499	0.495	0.057	
		430	3.291	3.330	2.274	0.499	0.499	0.057	
		440	3.339	3.334	2.274	0.499	0.503	0.057	
		450	3.348	3.338	2.274	0.499	0.507	0.057	
		460	3.313	3.342	2.274	0.499	0.511	0.058	
		470	3.354	3.346	2.274	0.499	0.514	0.058	
		480	3.342	3.349	2.274	0.499	0.518	0.058	
		490	3.316	3.353	2.274	0.499	0.521	0.058	
		500	3.325	3.356	2.274	0.499	0.524	0.058	
		510	3.318	3.359	2.274	0.499	0.527	0.058	
		520	3.348	3.362	2.274	0.499	0.530	0.058	
		530	3.349	3.365	2.274	0.499	0.533	0.058	
		540	3.341	3.367	2.274	0.499	0.536	0.058	
		550	3.349	3.370	2.274	0.499	0.538	0.058	
		560	3.362	3.372	2.274	0.499	0.541	0.058	
		570	3.370	3.375	2.274	0.499	0.543	0.058	
		580	3.351	3.377	2.274	0.499	0.545	0.058	
		590	3.365	3.379	2.274	0.499	0.547	0.058	
		600	3.359	3.381	2.274	0.499	0.549	0.058	
GFET #M58	$c^{(CEA)} = 50$ nM	-50	2.287	2.272	-	-	-	-	$\tilde{c}^{(CEA)} \approx 55.1224 \text{ nM}$
		-40	2.252	2.272					
		-30	2.282	2.272					
		-20	2.271	2.272					
		-10	2.269	2.272					
		0	2.269	2.272	2.272	0.000	0.000	0.000	
		10	2.492	2.389	2.272	0.084	0.026	0.008	
		20	2.576	2.490	2.272	0.152	0.050	0.016	
		30	2.637	2.576	2.272	0.208	0.074	0.022	
		40	2.731	2.651	2.272	0.254	0.097	0.028	
	$c^{(AFP)} = 50$ nM	50	2.764	2.716	2.272	0.292	0.118	0.034	$\tilde{c}^{(AFP)} \approx 34.2322 \text{ nM}$
		60	2.820	2.772	2.272	0.323	0.139	0.039	
		70	2.860	2.822	2.272	0.348	0.159	0.043	
		80	2.882	2.865	2.272	0.369	0.178	0.047	
		90	2.930	2.904	2.272	0.386	0.196	0.050	
		100	2.949	2.939	2.272	0.399	0.214	0.054	
		110	2.999	2.970	2.272	0.411	0.231	0.056	
		120	3.007	2.997	2.272	0.420	0.247	0.059	

	130	3.038	3.023	2.272	0.428	0.262	0.061	
	140	3.052	3.046	2.272	0.434	0.277	0.063	
	150	3.070	3.067	2.272	0.439	0.291	0.065	
	160	3.114	3.086	2.272	0.443	0.305	0.067	
	170	3.112	3.104	2.272	0.447	0.318	0.068	
	180	3.132	3.121	2.272	0.449	0.330	0.070	
	190	3.145	3.136	2.272	0.452	0.342	0.071	
	200	3.164	3.150	2.272	0.454	0.353	0.072	
	210	3.169	3.164	2.272	0.455	0.364	0.073	
	220	3.175	3.176	2.272	0.456	0.375	0.074	
	230	3.193	3.188	2.272	0.457	0.385	0.074	
	240	3.198	3.199	2.272	0.458	0.394	0.075	
	250	3.225	3.210	2.272	0.459	0.404	0.076	
	260	3.222	3.220	2.272	0.460	0.412	0.076	
	270	3.225	3.229	2.272	0.460	0.421	0.077	
	280	3.245	3.238	2.272	0.460	0.429	0.077	
	290	3.246	3.247	2.272	0.461	0.437	0.078	
	300	3.253	3.255	2.272	0.461	0.444	0.078	
	310	3.247	3.263	2.272	0.461	0.451	0.078	
	320	3.258	3.270	2.272	0.461	0.458	0.079	
	330	3.266	3.277	2.272	0.461	0.465	0.079	
	340	3.246	3.283	2.272	0.462	0.471	0.079	
	350	3.243	3.290	2.272	0.462	0.477	0.079	
	360	3.253	3.296	2.272	0.462	0.483	0.080	
	370	3.282	3.301	2.272	0.462	0.488	0.080	
	380	3.288	3.307	2.272	0.462	0.494	0.080	
	390	3.308	3.312	2.272	0.462	0.499	0.080	
	400	3.286	3.317	2.272	0.462	0.503	0.080	
	410	3.305	3.322	2.272	0.462	0.508	0.080	
	420	3.297	3.327	2.272	0.462	0.513	0.080	
	430	3.332	3.331	2.272	0.462	0.517	0.081	
	440	3.342	3.335	2.272	0.462	0.521	0.081	
	450	3.328	3.339	2.272	0.462	0.525	0.081	
	460	3.324	3.343	2.272	0.462	0.529	0.081	
	470	3.294	3.347	2.272	0.462	0.532	0.081	
	480	3.349	3.350	2.272	0.462	0.536	0.081	
	490	3.346	3.353	2.272	0.462	0.539	0.081	
	500	3.335	3.357	2.272	0.462	0.542	0.081	
	510	3.338	3.360	2.272	0.462	0.545	0.081	
	520	3.340	3.363	2.272	0.462	0.548	0.081	
	530	3.359	3.366	2.272	0.462	0.551	0.081	
	540	3.332	3.368	2.272	0.462	0.553	0.081	
	550	3.360	3.371	2.272	0.462	0.556	0.081	
	560	3.338	3.373	2.272	0.462	0.558	0.081	
	570	3.325	3.376	2.272	0.462	0.561	0.081	
	580	3.355	3.378	2.272	0.462	0.563	0.081	

		590	3.358	3.380	2.272	0.462	0.565	0.081	
		600	3.347	3.382	2.272	0.462	0.567	0.081	
GFET #M59	$c^{(CEA)} = 50$ nM	-50	2.287	2.266	-	-	-	-	$\tilde{c}^{(CEA)} \approx$ 55.2155 nM
		-40	2.259	2.266					
		-30	2.244	2.266					
		-20	2.293	2.266					
		-10	2.256	2.266					
		0	2.256	2.266	2.266	0.000	0.000	0.000	
		10	2.469	2.417	2.266	0.087	0.025	0.039	
		20	2.585	2.533	2.266	0.158	0.048	0.062	
		30	2.676	2.627	2.266	0.216	0.071	0.074	
		40	2.728	2.703	2.266	0.263	0.093	0.081	
		50	2.817	2.767	2.266	0.302	0.114	0.085	
		60	2.851	2.821	2.266	0.334	0.134	0.087	
		70	2.867	2.867	2.266	0.360	0.153	0.088	
		80	2.907	2.908	2.266	0.382	0.171	0.089	
		90	2.962	2.943	2.266	0.399	0.189	0.090	
		100	3.019	2.975	2.266	0.413	0.206	0.090	
		110	3.016	3.003	2.266	0.425	0.222	0.090	
		120	3.042	3.028	2.266	0.435	0.238	0.090	
		130	3.078	3.051	2.266	0.442	0.253	0.090	
		140	3.066	3.072	2.266	0.449	0.267	0.090	
		150	3.101	3.091	2.266	0.454	0.281	0.090	
	$c^{(AFP)} = 50$ nM	160	3.111	3.109	2.266	0.458	0.294	0.090	
		170	3.133	3.125	2.266	0.462	0.307	0.090	
	$c^{(PTH)} = 20$ nM	180	3.160	3.140	2.266	0.465	0.319	0.090	
		190	3.153	3.154	2.266	0.467	0.331	0.090	
		200	3.172	3.167	2.266	0.469	0.342	0.090	
		210	3.179	3.179	2.266	0.471	0.353	0.090	
		220	3.209	3.191	2.266	0.472	0.363	0.090	
		230	3.220	3.202	2.266	0.473	0.373	0.090	
		240	3.202	3.212	2.266	0.474	0.382	0.090	
		250	3.246	3.222	2.266	0.475	0.392	0.090	
		260	3.234	3.231	2.266	0.475	0.400	0.090	
		270	3.258	3.240	2.266	0.476	0.409	0.090	
		280	3.243	3.249	2.266	0.476	0.417	0.090	
		290	3.252	3.257	2.266	0.476	0.424	0.090	
		300	3.260	3.264	2.266	0.477	0.432	0.090	
		310	3.259	3.272	2.266	0.477	0.439	0.090	
		320	3.283	3.279	2.266	0.477	0.446	0.090	
		330	3.296	3.285	2.266	0.477	0.452	0.090	
		340	3.288	3.292	2.266	0.477	0.459	0.090	
		350	3.283	3.298	2.266	0.477	0.465	0.090	
		360	3.286	3.304	2.266	0.477	0.470	0.090	
		370	3.315	3.309	2.266	0.478	0.476	0.090	
		380	3.307	3.315	2.266	0.478	0.481	0.090	

		390	3.316	3.320	2.266	0.478	0.486	0.090	
		400	3.335	3.325	2.266	0.478	0.491	0.090	
		410	3.323	3.329	2.266	0.478	0.496	0.090	
		420	3.338	3.334	2.266	0.478	0.500	0.090	
		430	3.311	3.338	2.266	0.478	0.505	0.090	
		440	3.326	3.342	2.266	0.478	0.509	0.090	
		450	3.307	3.346	2.266	0.478	0.513	0.090	
		460	3.341	3.350	2.266	0.478	0.517	0.090	
		470	3.341	3.354	2.266	0.478	0.520	0.090	
		480	3.320	3.357	2.266	0.478	0.524	0.090	
		490	3.354	3.361	2.266	0.478	0.527	0.090	
		500	3.360	3.364	2.266	0.478	0.530	0.090	
		510	3.347	3.367	2.266	0.478	0.533	0.090	
		520	3.347	3.370	2.266	0.478	0.536	0.090	
		530	3.358	3.373	2.266	0.478	0.539	0.090	
		540	3.346	3.376	2.266	0.478	0.542	0.090	
		550	3.376	3.378	2.266	0.478	0.545	0.090	
		560	3.357	3.381	2.266	0.478	0.547	0.090	
		570	3.380	3.383	2.266	0.478	0.550	0.090	
		580	3.392	3.386	2.266	0.478	0.552	0.090	
		590	3.362	3.388	2.266	0.478	0.554	0.090	
		600	3.369	3.390	2.266	0.478	0.556	0.090	
		-50	2.289	2.293	-	-	-	-	$\tilde{c}^{(CEA)} \approx 53.3155 \text{ nM}$ $\tilde{c}^{(AFP)} \approx 33.2175 \text{ nM}$ $\tilde{c}^{(PTH)} \approx 91.8600 \text{ nM}$
		-40	2.289	2.293					
		-30	2.260	2.293					
		-20	2.298	2.293					
		-10	2.310	2.293					
		0	2.310	2.293	2.293	0.000	0.000	0.000	
		10	2.507	2.452	2.293	0.080	0.025	0.055	
		20	2.633	2.562	2.293	0.145	0.049	0.075	
		30	2.685	2.648	2.293	0.200	0.072	0.083	
		40	2.768	2.717	2.293	0.244	0.094	0.086	
		50	2.816	2.776	2.293	0.281	0.115	0.088	
		60	2.869	2.827	2.293	0.311	0.135	0.088	
		70	2.911	2.872	2.293	0.336	0.155	0.088	
		80	2.953	2.911	2.293	0.357	0.173	0.088	
		90	2.986	2.946	2.293	0.374	0.191	0.088	
		100	3.026	2.977	2.293	0.388	0.208	0.088	
		110	3.011	3.005	2.293	0.399	0.225	0.088	
		120	3.046	3.030	2.293	0.409	0.241	0.088	
		130	3.074	3.053	2.293	0.417	0.256	0.088	
		140	3.090	3.074	2.293	0.423	0.270	0.088	
		150	3.120	3.094	2.293	0.428	0.284	0.088	
		160	3.139	3.111	2.293	0.433	0.298	0.088	
		170	3.136	3.128	2.293	0.436	0.310	0.088	
		180	3.164	3.143	2.293	0.439	0.323	0.088	

		190	3.192	3.157	2.293	0.442	0.334	0.088	
		200	3.210	3.171	2.293	0.444	0.346	0.088	
		210	3.181	3.183	2.293	0.445	0.357	0.088	
		220	3.207	3.195	2.293	0.447	0.367	0.088	
		230	3.221	3.206	2.293	0.448	0.377	0.088	
		240	3.232	3.216	2.293	0.449	0.386	0.088	
		250	3.229	3.226	2.293	0.450	0.396	0.088	
		260	3.239	3.236	2.293	0.450	0.404	0.088	
		270	3.235	3.245	2.293	0.451	0.413	0.088	
		280	3.267	3.253	2.293	0.451	0.421	0.088	
		290	3.271	3.261	2.293	0.452	0.429	0.088	
		300	3.284	3.269	2.293	0.452	0.436	0.088	
		310	3.268	3.276	2.293	0.452	0.443	0.088	
		320	3.285	3.283	2.293	0.452	0.450	0.088	
		330	3.276	3.290	2.293	0.452	0.457	0.088	
		340	3.299	3.297	2.293	0.453	0.463	0.088	
		350	3.294	3.303	2.293	0.453	0.469	0.088	
		360	3.299	3.309	2.293	0.453	0.475	0.088	
		370	3.306	3.314	2.293	0.453	0.480	0.088	
		380	3.304	3.320	2.293	0.453	0.486	0.088	
		390	3.289	3.325	2.293	0.453	0.491	0.088	
		400	3.327	3.330	2.293	0.453	0.496	0.088	
		410	3.302	3.334	2.293	0.453	0.500	0.088	
		420	3.324	3.339	2.293	0.453	0.505	0.088	
		430	3.308	3.343	2.293	0.453	0.509	0.088	
		440	3.321	3.347	2.293	0.453	0.513	0.088	
		450	3.342	3.351	2.293	0.453	0.517	0.088	
		460	3.318	3.355	2.293	0.453	0.521	0.088	
		470	3.317	3.359	2.293	0.453	0.525	0.088	
		480	3.330	3.362	2.293	0.453	0.528	0.088	
		490	3.356	3.366	2.293	0.453	0.532	0.088	
		500	3.358	3.369	2.293	0.453	0.535	0.088	
		510	3.363	3.372	2.293	0.453	0.538	0.088	
		520	3.380	3.375	2.293	0.453	0.541	0.088	
		530	3.360	3.378	2.293	0.453	0.544	0.088	
		540	3.358	3.381	2.293	0.453	0.546	0.088	
		550	3.347	3.383	2.293	0.453	0.549	0.088	
		560	3.351	3.386	2.293	0.453	0.552	0.088	
		570	3.357	3.388	2.293	0.453	0.554	0.088	
		580	3.364	3.391	2.293	0.453	0.556	0.088	
		590	3.369	3.393	2.293	0.453	0.559	0.088	
		600	3.376	3.395	2.293	0.453	0.561	0.088	
GFET #M61	$c^{(CEA)} = 50$ nM	-50	2.278	2.272	-	-	-	-	$\tilde{c}^{(CEA)} \approx 45.1237$ nM
		-40	2.273	2.272					
	$c^{(AFP)} = 100$ nM	-30	2.288	2.272					$\tilde{c}^{(AFP)} \approx 65.0954$ nM
		-20	2.279	2.272					

$c^{(PTH)} = 2$ nM	-10	2.258	2.272				
	0	2.258	2.272	2.272	0.000	0.000	0.000
	10	2.468	2.393	2.272	0.069	0.045	0.006
	20	2.572	2.500	2.272	0.128	0.088	0.012
	30	2.682	2.594	2.272	0.178	0.127	0.017
	40	2.726	2.677	2.272	0.220	0.164	0.021
	50	2.782	2.750	2.272	0.256	0.197	0.025
	60	2.842	2.816	2.272	0.286	0.229	0.028
	70	2.897	2.874	2.272	0.312	0.258	0.031
	80	2.930	2.925	2.272	0.334	0.285	0.034
	90	2.971	2.972	2.272	0.353	0.311	0.036
	100	3.004	3.013	2.272	0.368	0.334	0.038
	110	3.016	3.050	2.272	0.382	0.356	0.040
	120	3.074	3.083	2.272	0.393	0.376	0.042
	130	3.106	3.113	2.272	0.403	0.395	0.043
	140	3.117	3.140	2.272	0.411	0.413	0.044
	150	3.145	3.164	2.272	0.418	0.429	0.045
	160	3.157	3.186	2.272	0.424	0.444	0.046
	170	3.183	3.206	2.272	0.429	0.458	0.047
	180	3.199	3.224	2.272	0.433	0.471	0.048
	190	3.236	3.240	2.272	0.437	0.483	0.048
	200	3.249	3.255	2.272	0.440	0.494	0.049
	210	3.264	3.269	2.272	0.442	0.505	0.050
	220	3.282	3.281	2.272	0.445	0.515	0.050
	230	3.272	3.293	2.272	0.446	0.524	0.050
	240	3.256	3.303	2.272	0.448	0.532	0.051
	250	3.298	3.312	2.272	0.449	0.540	0.051
	260	3.295	3.321	2.272	0.450	0.547	0.051
	270	3.311	3.329	2.272	0.451	0.554	0.052
	280	3.353	3.336	2.272	0.452	0.560	0.052
	290	3.312	3.343	2.272	0.453	0.566	0.052
	300	3.334	3.349	2.272	0.454	0.571	0.052
	310	3.376	3.355	2.272	0.454	0.576	0.052
	320	3.350	3.360	2.272	0.454	0.581	0.052
	330	3.335	3.365	2.272	0.455	0.585	0.052
	340	3.363	3.369	2.272	0.455	0.589	0.053
	350	3.331	3.373	2.272	0.455	0.593	0.053
	360	3.381	3.377	2.272	0.456	0.597	0.053
	370	3.364	3.380	2.272	0.456	0.600	0.053
	380	3.362	3.384	2.272	0.456	0.603	0.053
	390	3.417	3.387	2.272	0.456	0.606	0.053
	400	3.389	3.389	2.272	0.456	0.608	0.053
	410	3.364	3.392	2.272	0.456	0.611	0.053
	420	3.390	3.394	2.272	0.456	0.613	0.053
	430	3.394	3.397	2.272	0.456	0.615	0.053
	440	3.386	3.399	2.272	0.457	0.617	0.053

		450	3.389	3.400	2.272	0.457	0.619	0.053	
		460	3.394	3.402	2.272	0.457	0.620	0.053	
		470	3.383	3.404	2.272	0.457	0.622	0.053	
		480	3.403	3.405	2.272	0.457	0.623	0.053	
		490	3.400	3.407	2.272	0.457	0.625	0.053	
		500	3.398	3.408	2.272	0.457	0.626	0.053	
		510	3.400	3.409	2.272	0.457	0.627	0.053	
		520	3.409	3.410	2.272	0.457	0.628	0.053	
		530	3.431	3.411	2.272	0.457	0.629	0.053	
		540	3.422	3.412	2.272	0.457	0.630	0.053	
		550	3.403	3.413	2.272	0.457	0.631	0.053	
		560	3.412	3.414	2.272	0.457	0.632	0.053	
		570	3.401	3.415	2.272	0.457	0.632	0.053	
		580	3.403	3.415	2.272	0.457	0.633	0.053	
		590	3.421	3.416	2.272	0.457	0.634	0.053	
		600	3.422	3.417	2.272	0.457	0.634	0.053	
GFET #M62	$c^{(CEA)} = 50 \text{ nM}$ $c^{(AFP)} = 100 \text{ nM}$ $c^{(PTH)} = 5 \text{ nM}$	-50	2.271	2.276	-	-	-	-	$\tilde{c}^{(CEA)} \approx 43.2317 \text{ nM}$ $\tilde{c}^{(AFP)} \approx 64.1875 \text{ nM}$ $\tilde{c}^{(PTH)} \approx 10.0132 \text{ nM}$
		-40	2.269	2.276					
		-30	2.258	2.276					
		-20	2.285	2.276					
		-10	2.286	2.276					
		0	2.286	2.276					
		10	2.490	2.396	2.276	0.072	0.042	0.006	
		20	2.573	2.502	2.276	0.133	0.081	0.012	
		30	2.646	2.596	2.276	0.186	0.118	0.017	
		40	2.735	2.679	2.276	0.230	0.152	0.021	
		50	2.793	2.753	2.276	0.269	0.183	0.025	
		60	2.866	2.818	2.276	0.301	0.213	0.029	
		70	2.893	2.877	2.276	0.329	0.240	0.032	
		80	2.948	2.928	2.276	0.353	0.265	0.034	
		90	2.977	2.975	2.276	0.373	0.289	0.037	
		100	3.043	3.016	2.276	0.391	0.311	0.039	
		110	3.047	3.053	2.276	0.406	0.331	0.041	
		120	3.077	3.087	2.276	0.418	0.350	0.042	
		130	3.103	3.116	2.276	0.429	0.368	0.044	
		140	3.135	3.143	2.276	0.439	0.384	0.045	
		150	3.148	3.168	2.276	0.446	0.399	0.046	
		160	3.192	3.190	2.276	0.453	0.414	0.047	
		170	3.213	3.209	2.276	0.459	0.427	0.048	
		180	3.225	3.227	2.276	0.464	0.439	0.048	
		190	3.210	3.244	2.276	0.468	0.451	0.049	
		200	3.281	3.258	2.276	0.472	0.461	0.050	
		210	3.244	3.272	2.276	0.475	0.471	0.050	
		220	3.285	3.284	2.276	0.478	0.480	0.051	
		230	3.283	3.295	2.276	0.480	0.489	0.051	
		240	3.273	3.306	2.276	0.482	0.497	0.051	

		250	3.271	3.315	2.276	0.483	0.504	0.052	
		260	3.308	3.323	2.276	0.485	0.511	0.052	
		270	3.313	3.331	2.276	0.486	0.517	0.052	
		280	3.307	3.338	2.276	0.487	0.523	0.052	
		290	3.310	3.345	2.276	0.488	0.529	0.053	
		300	3.331	3.351	2.276	0.489	0.534	0.053	
		310	3.352	3.357	2.276	0.489	0.539	0.053	
		320	3.333	3.362	2.276	0.490	0.543	0.053	
		330	3.350	3.367	2.276	0.490	0.547	0.053	
		340	3.328	3.371	2.276	0.491	0.551	0.053	
		350	3.367	3.375	2.276	0.491	0.555	0.053	
		360	3.359	3.379	2.276	0.491	0.558	0.053	
		370	3.358	3.382	2.276	0.491	0.561	0.054	
		380	3.372	3.385	2.276	0.492	0.564	0.054	
		390	3.372	3.388	2.276	0.492	0.567	0.054	
		400	3.376	3.391	2.276	0.492	0.569	0.054	
		410	3.390	3.393	2.276	0.492	0.571	0.054	
		420	3.404	3.395	2.276	0.492	0.574	0.054	
		430	3.368	3.398	2.276	0.492	0.576	0.054	
		440	3.378	3.400	2.276	0.492	0.577	0.054	
		450	3.393	3.401	2.276	0.493	0.579	0.054	
		460	3.397	3.403	2.276	0.493	0.581	0.054	
		470	3.415	3.405	2.276	0.493	0.582	0.054	
		480	3.400	3.406	2.276	0.493	0.584	0.054	
		490	3.386	3.407	2.276	0.493	0.585	0.054	
		500	3.379	3.409	2.276	0.493	0.586	0.054	
		510	3.392	3.410	2.276	0.493	0.587	0.054	
		520	3.396	3.411	2.276	0.493	0.588	0.054	
		530	3.379	3.412	2.276	0.493	0.589	0.054	
		540	3.388	3.413	2.276	0.493	0.590	0.054	
		550	3.403	3.414	2.276	0.493	0.591	0.054	
		560	3.372	3.414	2.276	0.493	0.592	0.054	
		570	3.409	3.415	2.276	0.493	0.593	0.054	
		580	3.420	3.416	2.276	0.493	0.593	0.054	
		590	3.401	3.417	2.276	0.493	0.594	0.054	
		600	3.426	3.417	2.276	0.493	0.594	0.054	
GFET #M63	$c^{(CEA)} = 50$ nM	-50	2.272	2.279	-	-	-	-	$\tilde{c}^{(CEA)} \approx 54.8794 \text{ nM}$
		-40	2.266	2.279					
		-30	2.266	2.279					
		-20	2.271	2.279					
		-10	2.299	2.279					
	$c^{(AFP)} = 100 \text{ nM}$	0	2.299	2.279	2.279	0.000	0.000	0.000	$\tilde{c}^{(AFP)} \approx 55.1165 \text{ nM}$
		10	2.492	2.423	2.279	0.084	0.039	0.021	
		20	2.579	2.543	2.279	0.152	0.076	0.036	
		30	2.688	2.643	2.279	0.208	0.111	0.045	
		40	2.730	2.727	2.279	0.254	0.143	0.051	

	50	2.826	2.800	2.279	0.292	0.174	0.055	
	60	2.873	2.862	2.279	0.323	0.202	0.058	
	70	2.901	2.916	2.279	0.348	0.229	0.060	
	80	2.970	2.963	2.279	0.369	0.254	0.061	
	90	2.986	3.004	2.279	0.386	0.278	0.062	
	100	3.036	3.041	2.279	0.400	0.300	0.062	
	110	3.061	3.073	2.279	0.411	0.321	0.063	
	120	3.102	3.102	2.279	0.421	0.340	0.063	
	130	3.112	3.129	2.279	0.428	0.358	0.063	
	140	3.133	3.152	2.279	0.435	0.376	0.063	
	150	3.151	3.174	2.279	0.440	0.392	0.063	
	160	3.184	3.193	2.279	0.444	0.407	0.063	
	170	3.221	3.211	2.279	0.448	0.421	0.063	
	180	3.216	3.227	2.279	0.450	0.434	0.063	
	190	3.224	3.242	2.279	0.453	0.447	0.063	
	200	3.248	3.255	2.279	0.455	0.459	0.063	
	210	3.270	3.268	2.279	0.456	0.470	0.063	
	220	3.292	3.279	2.279	0.457	0.480	0.063	
	230	3.292	3.290	2.279	0.459	0.490	0.063	
	240	3.303	3.300	2.279	0.459	0.499	0.063	
	250	3.325	3.309	2.279	0.460	0.507	0.063	
	260	3.327	3.318	2.279	0.461	0.515	0.063	
	270	3.320	3.326	2.279	0.461	0.523	0.063	
	280	3.323	3.333	2.279	0.462	0.530	0.063	
	290	3.329	3.340	2.279	0.462	0.537	0.063	
	300	3.328	3.347	2.279	0.462	0.543	0.063	
	310	3.319	3.353	2.279	0.462	0.549	0.063	
	320	3.348	3.359	2.279	0.462	0.554	0.063	
	330	3.340	3.364	2.279	0.463	0.559	0.063	
	340	3.371	3.369	2.279	0.463	0.564	0.063	
	350	3.384	3.373	2.279	0.463	0.569	0.063	
	360	3.383	3.378	2.279	0.463	0.573	0.063	
	370	3.391	3.382	2.279	0.463	0.577	0.063	
	380	3.361	3.386	2.279	0.463	0.581	0.063	
	390	3.365	3.389	2.279	0.463	0.584	0.063	
	400	3.383	3.392	2.279	0.463	0.587	0.063	
	410	3.374	3.396	2.279	0.463	0.590	0.063	
	420	3.378	3.398	2.279	0.463	0.593	0.063	
	430	3.383	3.401	2.279	0.463	0.596	0.063	
	440	3.388	3.404	2.279	0.463	0.599	0.063	
	450	3.369	3.406	2.279	0.463	0.601	0.063	
	460	3.412	3.408	2.279	0.463	0.603	0.063	
	470	3.406	3.411	2.279	0.463	0.605	0.063	
	480	3.401	3.413	2.279	0.463	0.607	0.063	
	490	3.400	3.414	2.279	0.463	0.609	0.063	
	500	3.421	3.416	2.279	0.463	0.611	0.063	

		510	3.409	3.418	2.279	0.463	0.613	0.063	
		520	3.409	3.419	2.279	0.463	0.614	0.063	
		530	3.435	3.421	2.279	0.463	0.615	0.063	
		540	3.407	3.422	2.279	0.463	0.617	0.063	
		550	3.412	3.423	2.279	0.463	0.618	0.063	
		560	3.403	3.425	2.279	0.463	0.619	0.063	
		570	3.442	3.426	2.279	0.463	0.620	0.063	
		580	3.384	3.427	2.279	0.463	0.621	0.063	
		590	3.392	3.428	2.279	0.463	0.622	0.063	
		600	3.418	3.429	2.279	0.463	0.623	0.063	
		-50	2.249	2.275	-	-	-	-	
		-40	2.283	2.275					
		-30	2.291	2.275					
		-20	2.277	2.275					
		-10	2.276	2.275					
		0	2.276	2.275					
		10	2.521	2.433					
		20	2.628	2.548					
		30	2.706	2.641					
		40	2.785	2.720					
		50	2.851	2.789					
		60	2.913	2.850					
		70	2.909	2.904					
		80	2.981	2.952					
		90	3.032	2.995					
		100	3.051	3.033					
		110	3.103	3.067					
		120	3.106	3.098					
		130	3.152	3.126					
		140	3.139	3.151					
		150	3.158	3.174					
		160	3.205	3.195					
		170	3.213	3.214					
		180	3.215	3.231					
		190	3.260	3.246					
		200	3.263	3.261					
		210	3.268	3.274					
		220	3.303	3.286					
		230	3.284	3.297					
		240	3.301	3.307					
		250	3.282	3.316					
		260	3.327	3.325					
		270	3.344	3.333					
		280	3.359	3.340					
		290	3.339	3.347					
		300	3.353	3.353					

	310	3.347	3.359	2.275	0.458	0.560	0.065	
	320	3.336	3.364	2.275	0.459	0.565	0.065	
	330	3.373	3.369	2.275	0.459	0.570	0.065	
	340	3.377	3.374	2.275	0.459	0.574	0.065	
	350	3.370	3.378	2.275	0.460	0.578	0.065	
	360	3.360	3.382	2.275	0.460	0.582	0.065	
	370	3.376	3.386	2.275	0.460	0.586	0.065	
	380	3.377	3.390	2.275	0.460	0.589	0.065	
	390	3.392	3.393	2.275	0.460	0.592	0.065	
	400	3.401	3.396	2.275	0.460	0.595	0.065	
	410	3.389	3.399	2.275	0.460	0.598	0.065	
	420	3.358	3.401	2.275	0.460	0.600	0.065	
	430	3.397	3.404	2.275	0.460	0.603	0.065	
	440	3.409	3.406	2.275	0.461	0.605	0.065	
	450	3.378	3.408	2.275	0.461	0.607	0.065	
	460	3.415	3.410	2.275	0.461	0.609	0.065	
	470	3.390	3.412	2.275	0.461	0.611	0.065	
	480	3.393	3.413	2.275	0.461	0.612	0.065	
	490	3.390	3.415	2.275	0.461	0.614	0.065	
	500	3.408	3.417	2.275	0.461	0.615	0.065	
	510	3.410	3.418	2.275	0.461	0.617	0.065	
	520	3.402	3.419	2.275	0.461	0.618	0.065	
	530	3.421	3.420	2.275	0.461	0.619	0.065	
	540	3.410	3.422	2.275	0.461	0.620	0.065	
	550	3.406	3.423	2.275	0.461	0.621	0.065	
	560	3.427	3.424	2.275	0.461	0.622	0.065	
	570	3.397	3.424	2.275	0.461	0.623	0.065	
	580	3.427	3.425	2.275	0.461	0.624	0.065	
	590	3.419	3.426	2.275	0.461	0.625	0.065	
	600	3.404	3.427	2.275	0.461	0.626	0.065	

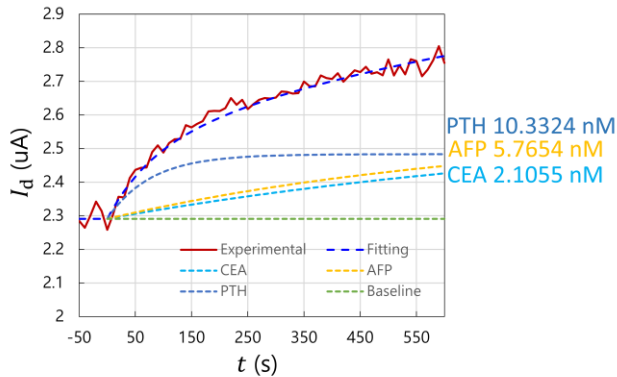
9 Dataset of multiplexed immunosensing (three biomarkers in serum)

Following the experimental protocol in **Section 7**, the kinetic processes of 64 serum samples were measured. In the measurement of each mixture sample, a GFET device was disposably used (#S1 – #S64).

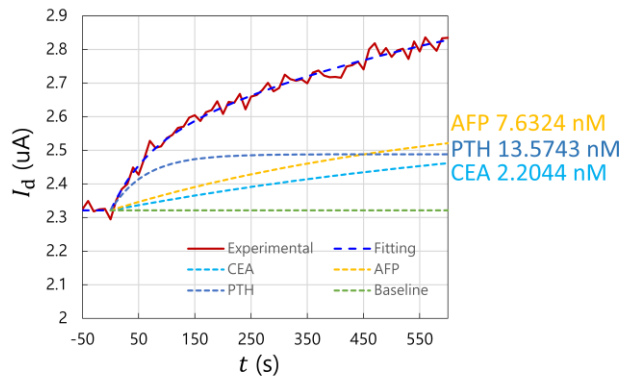
Corresponding to **Figure 5a** in the main text, the detailed experimental data and the numerical fitting results are presented in **Figure S7** and **Table S11**. Herein, we keep using the kinetic parameters in **Section 5** $k_a^{(CEA)} = 357053.24 \text{ M}^{-1}\text{s}^{-1}$, $k_d^{(CEA)} = 0.0003055 \text{ s}^{-1}$, $k_a^{(AFP)} = 99465.16 \text{ M}^{-1}\text{s}^{-1}$, $k_d^{(AFP)} = 0.0008749 \text{ s}^{-1}$, $k_a^{(PTH)} = 1020100.24 \text{ M}^{-1}\text{s}^{-1}$ and $k_d^{(PTH)} = 0.0023879 \text{ s}^{-1}$ as known conditions. Based on the fitting function Eq. (2) in the main text⁶, the concentrations of CEA, AFP and PTH in each mixture sample were retrieved as $\tilde{c}^{(CEA)}$, $\tilde{c}^{(AFP)}$ and $\tilde{c}^{(PTH)}$, for the comparison with their true values $c^{(CEA)}$, $c^{(AFP)}$ and $c^{(PTH)}$.

GFET #S1

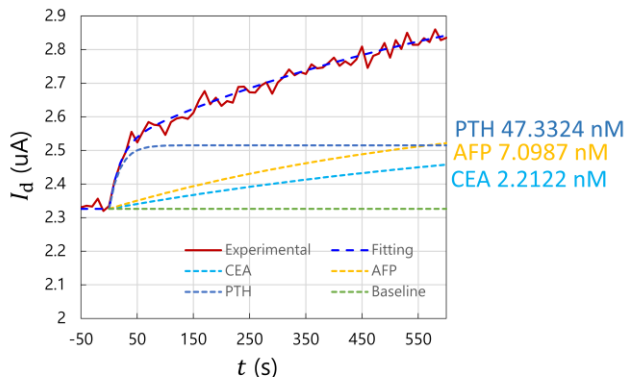
CEA 2 nM; AFP 5 nM; PTH 2 nM

**GFET #S2**

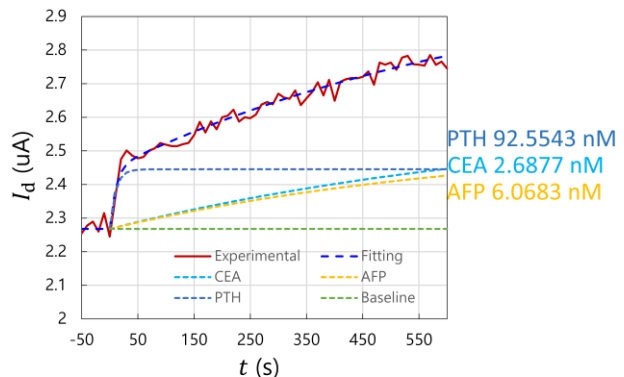
CEA 2 nM; AFP 5 nM; PTH 5 nM

**GFET #S3**

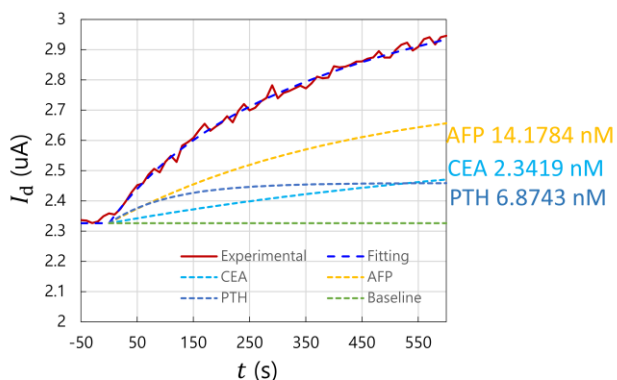
CEA 2 nM; AFP 5 nM; PTH 20 nM

**GFET #S4**

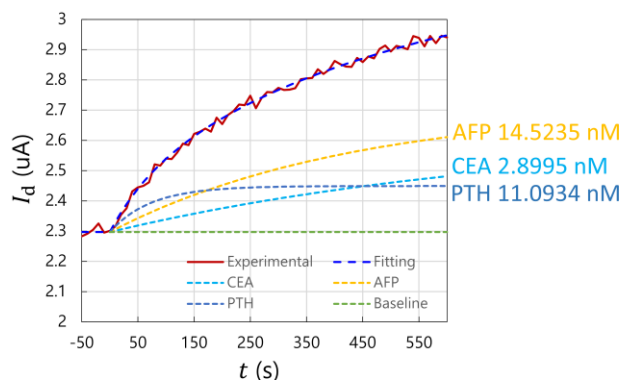
CEA 2 nM; AFP 5 nM; PTH 50 nM

**GFET #S5**

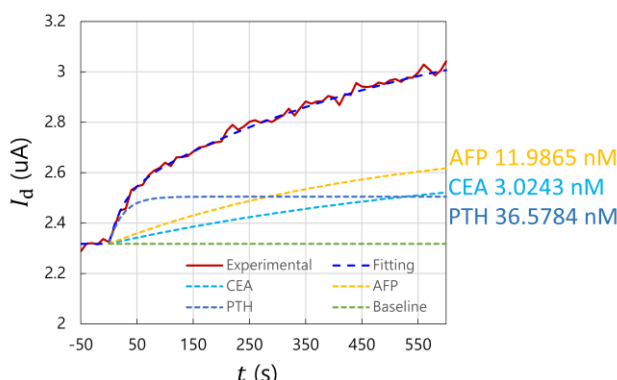
CEA 2 nM; AFP 20 nM; PTH 2 nM

**GFET #S6**

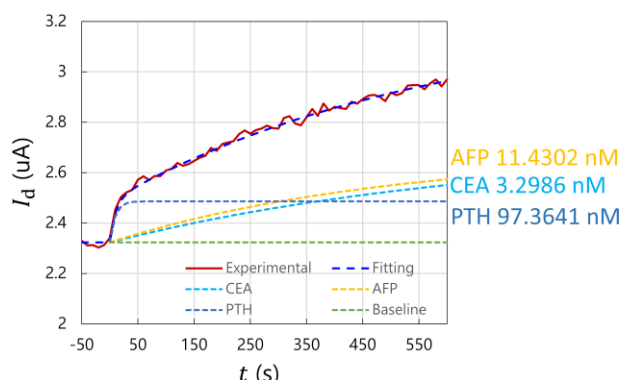
CEA 2 nM; AFP 20 nM; PTH 5 nM

**GFET #S7**

CEA 2 nM; AFP 20 nM; PTH 20 nM

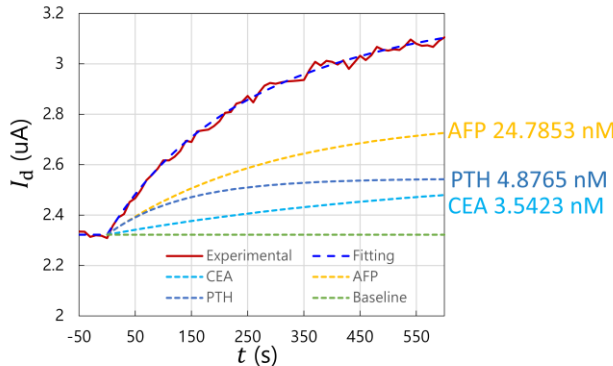
**GFET #S8**

CEA 2 nM; AFP 20 nM; PTH 50 nM

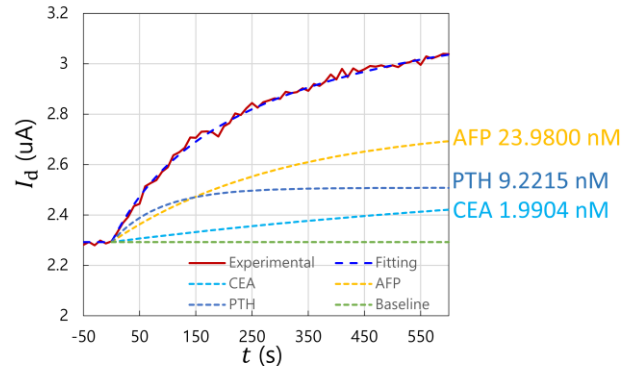


GFET #S9

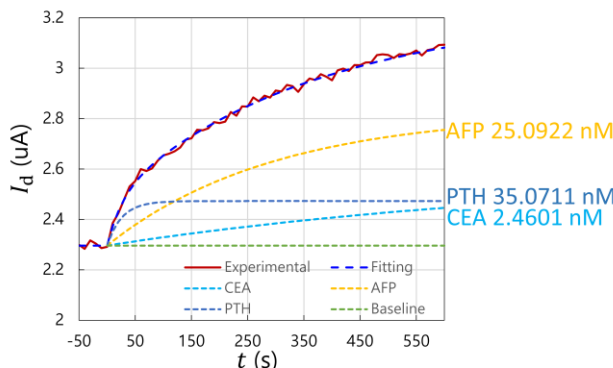
CEA 2 nM; AFP 50 nM; PTH 2 nM

**GFET #S10**

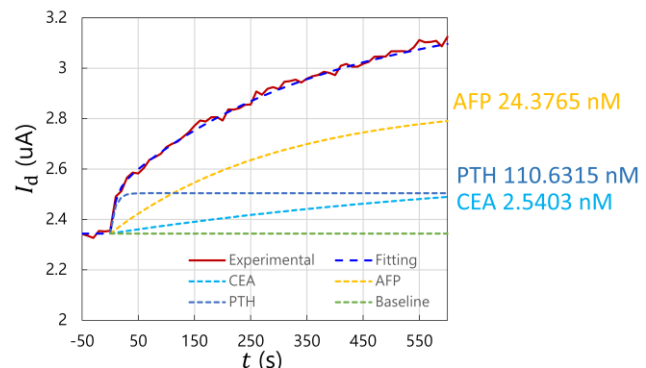
CEA 2 nM; AFP 50 nM; PTH 5 nM

**GFET #S11**

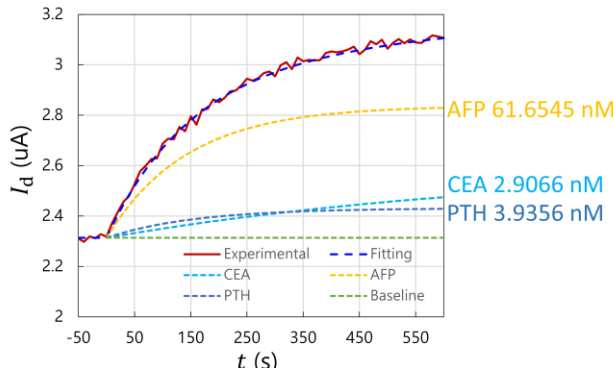
CEA 2 nM; AFP 50 nM; PTH 20 nM

**GFET #S12**

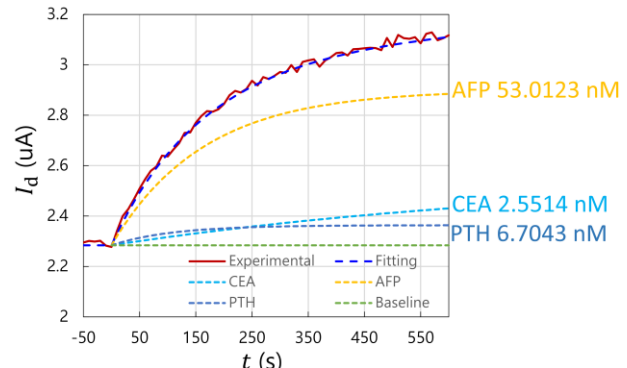
CEA 2 nM; AFP 50 nM; PTH 50 nM

**GFET #S13**

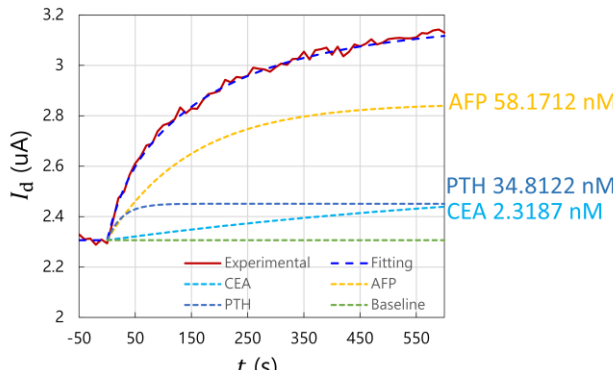
CEA 2 nM; AFP 100 nM; PTH 2 nM

**GFET #S14**

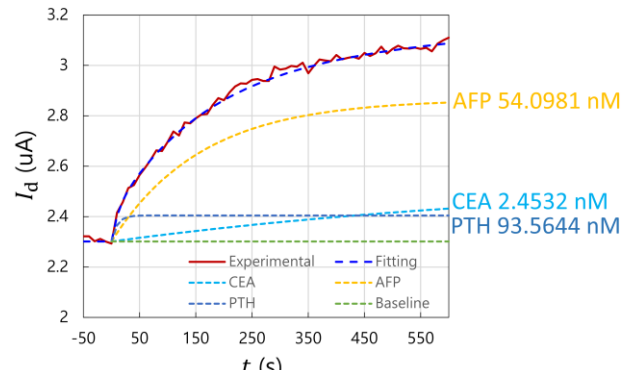
CEA 2 nM; AFP 100 nM; PTH 5 nM

**GFET #S15**

CEA 2 nM; AFP 100 nM; PTH 20 nM

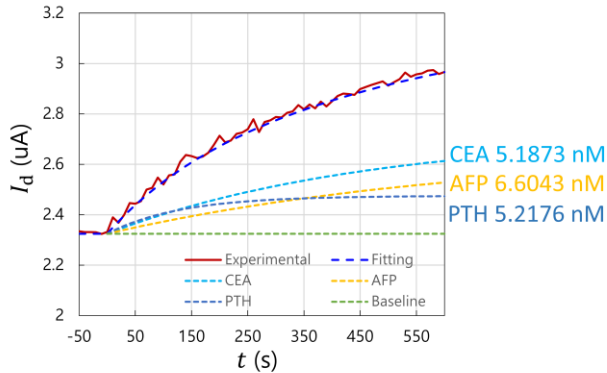
**GFET #S16**

CEA 2 nM; AFP 100 nM; PTH 50 nM

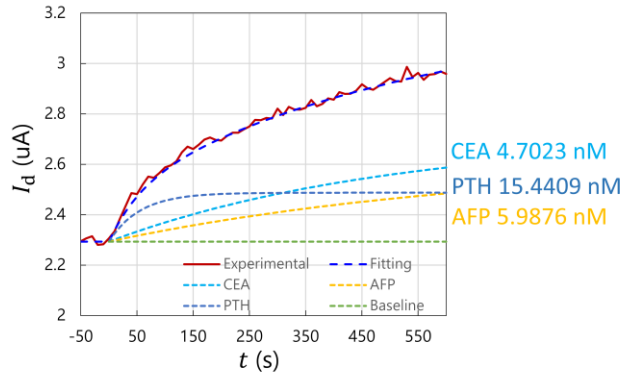


GFET #S17

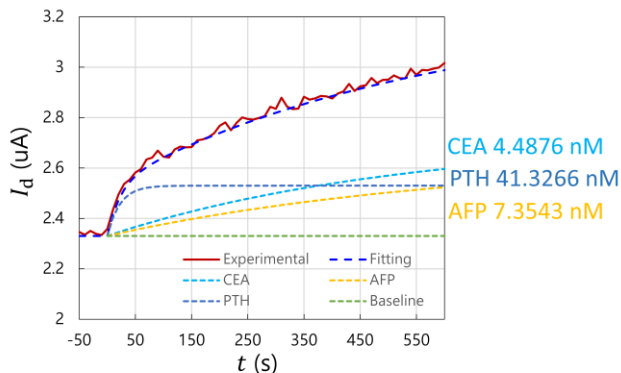
CEA 5 nM; AFP 5 nM; PTH 2 nM

**GFET #S18**

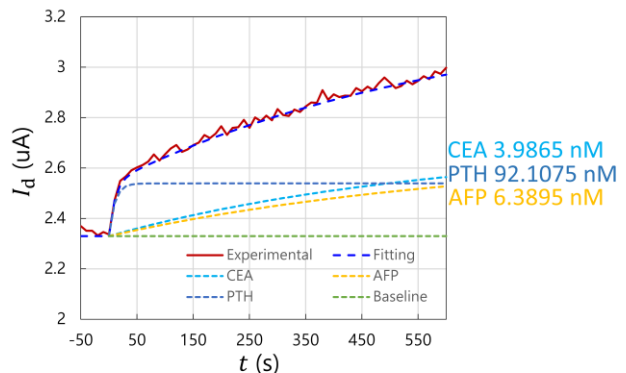
CEA 5 nM; AFP 5 nM; PTH 5 nM

**GFET #S19**

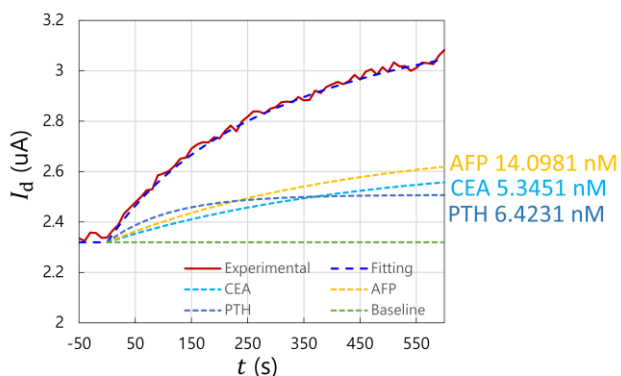
CEA 5 nM; AFP 5 nM; PTH 20 nM

**GFET #S20**

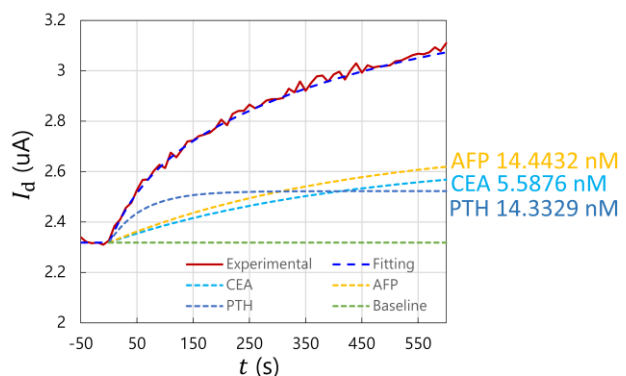
CEA 5 nM; AFP 5 nM; PTH 50 nM

**GFET #S21**

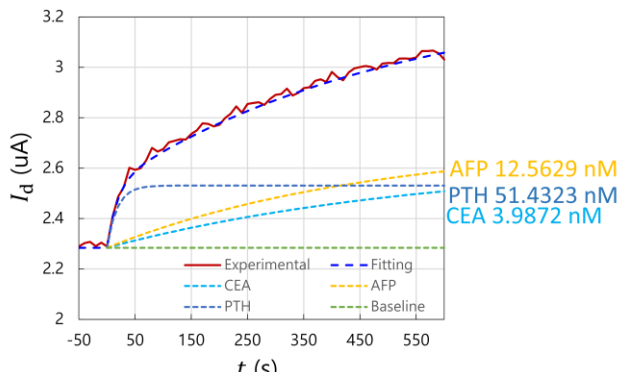
CEA 5 nM; AFP 20 nM; PTH 2 nM

**GFET #S22**

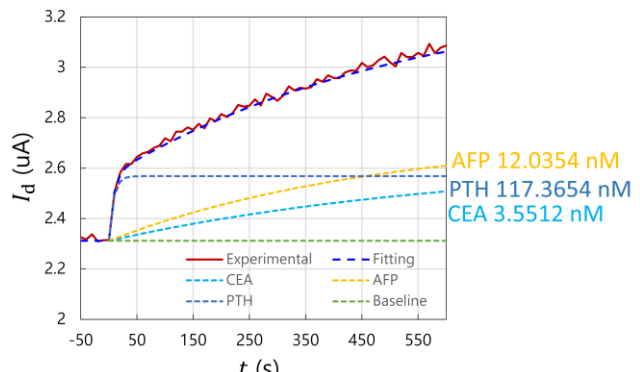
CEA 5 nM; AFP 20 nM; PTH 5 nM

**GFET #S23**

CEA 5 nM; AFP 20 nM; PTH 20 nM

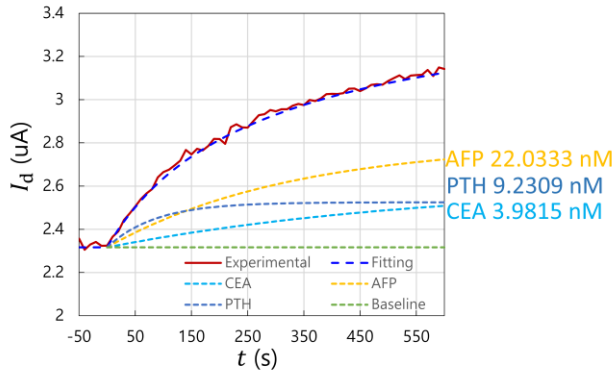
**GFET #S24**

CEA 5 nM; AFP 20 nM; PTH 50 nM

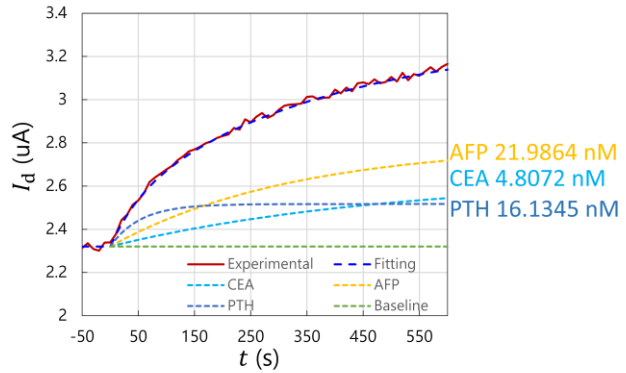


GFET #S25

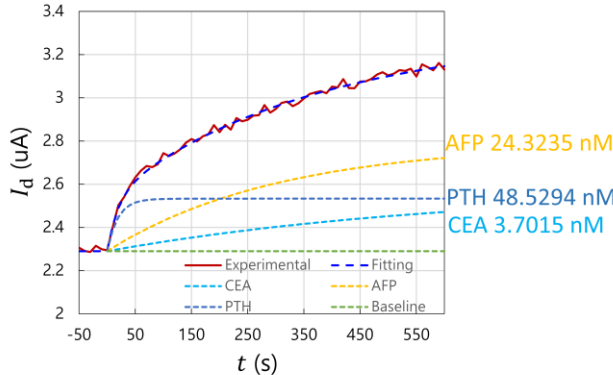
CEA 5 nM; AFP 50 nM; PTH 2 nM

**GFET #S26**

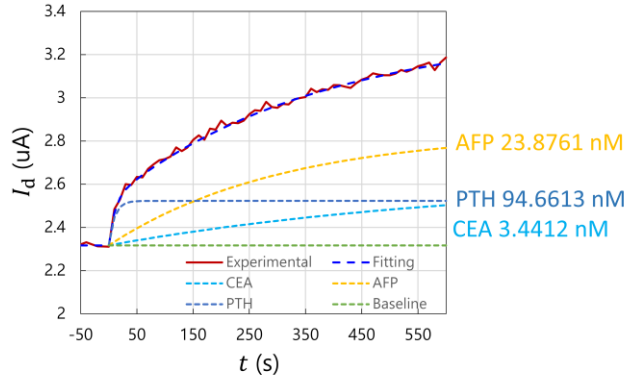
CEA 5 nM; AFP 50 nM; PTH 5 nM

**GFET #S27**

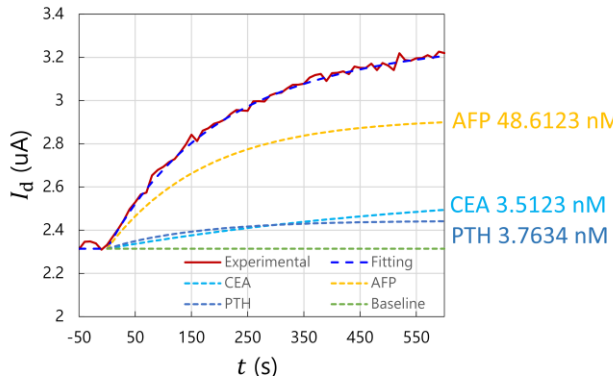
CEA 5 nM; AFP 50 nM; PTH 20 nM

**GFET #S28**

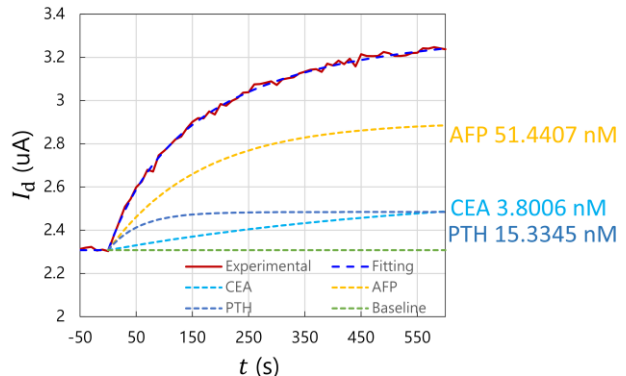
CEA 5 nM; AFP 50 nM; PTH 50 nM

**GFET #S29**

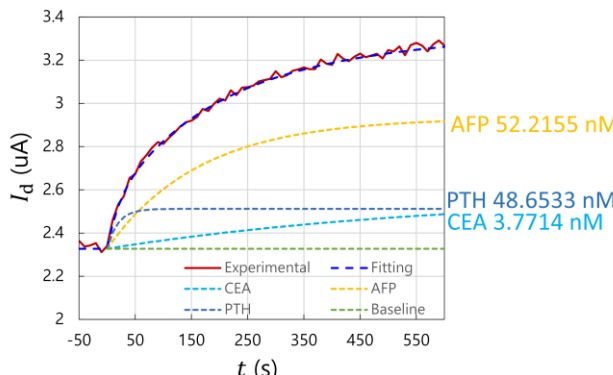
CEA 5 nM; AFP 100 nM; PTH 2 nM

**GFET #S30**

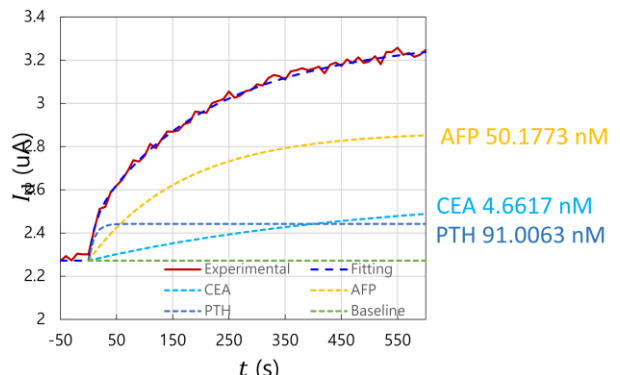
CEA 5 nM; AFP 100 nM; PTH 5 nM

**GFET #S31**

CEA 5 nM; AFP 100 nM; PTH 20 nM

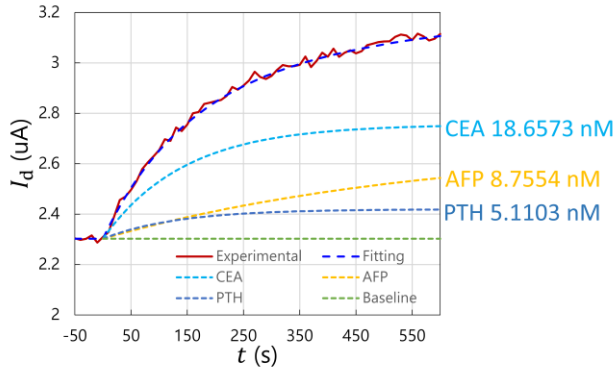
**GFET #S32**

CEA 5 nM; AFP 100 nM; PTH 50 nM

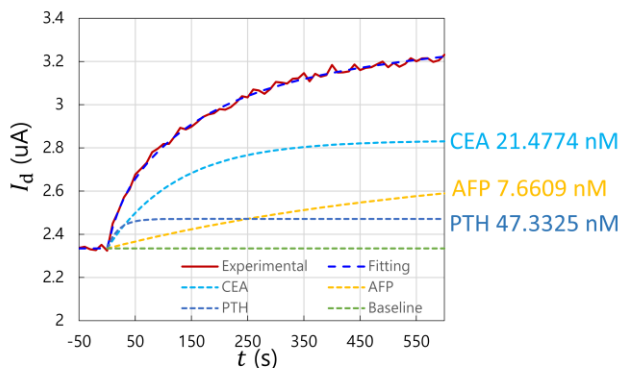


GFET #S33

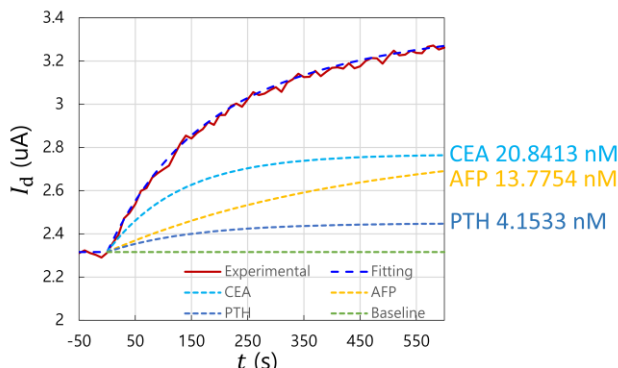
CEA 20 nM; AFP 5 nM; PTH 2 nM

**GFET #S35**

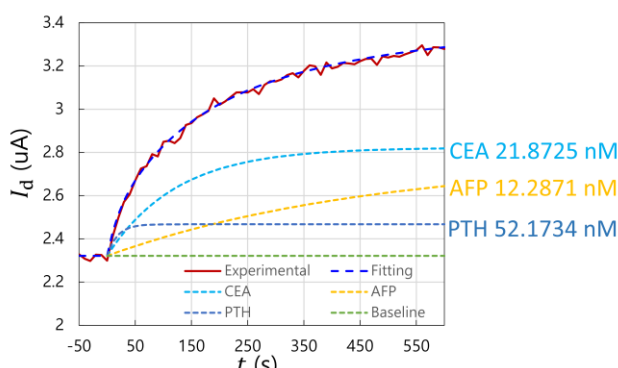
CEA 20 nM; AFP 5 nM; PTH 20 nM

**GFET #S37**

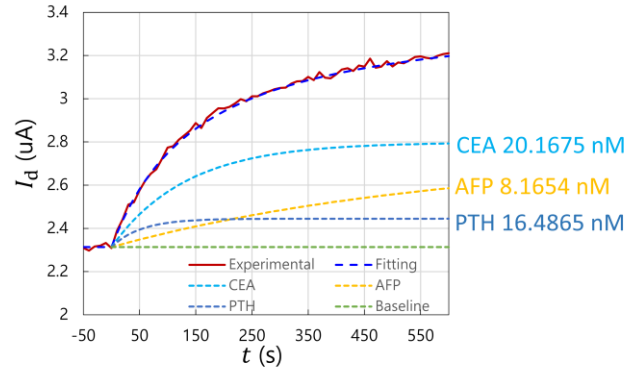
CEA 20 nM; AFP 20 nM; PTH 2 nM

**GFET #S39**

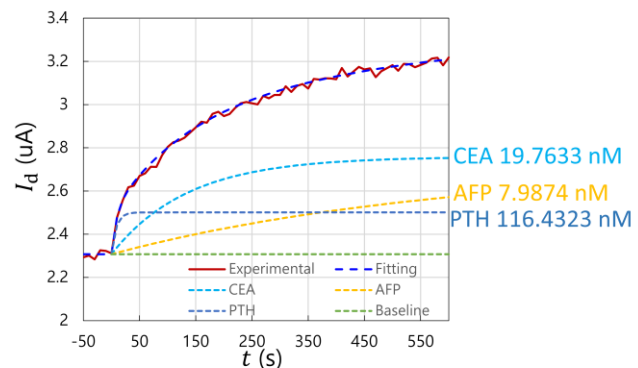
CEA 20 nM; AFP 20 nM; PTH 20 nM

**GFET #S34**

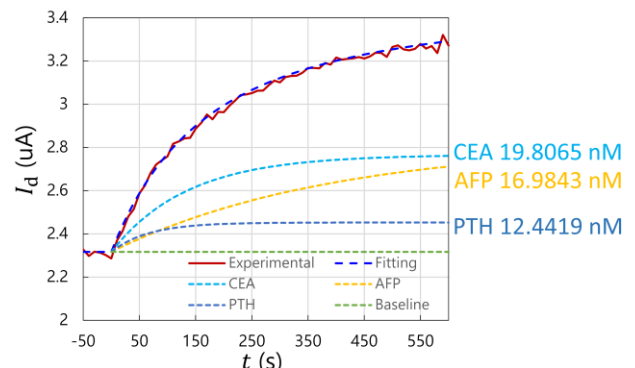
CEA 20 nM; AFP 5 nM; PTH 5 nM

**GFET #S36**

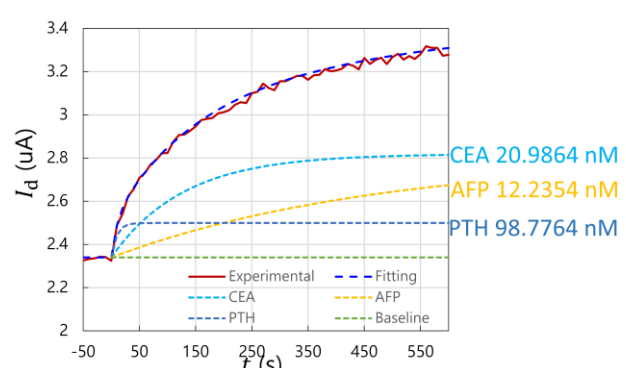
CEA 20 nM; AFP 5 nM; PTH 50 nM

**GFET #S38**

CEA 20 nM; AFP 20 nM; PTH 5 nM

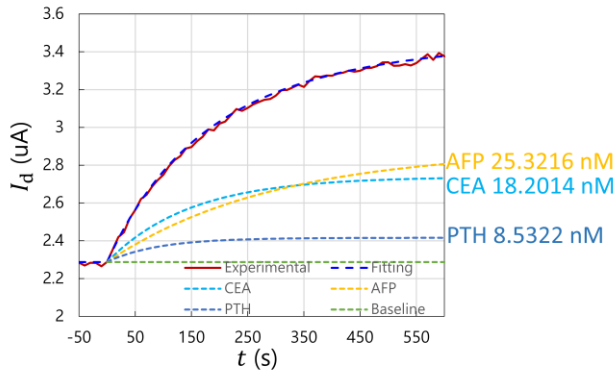
**GFET #S40**

CEA 20 nM; AFP 20 nM; PTH 50 nM

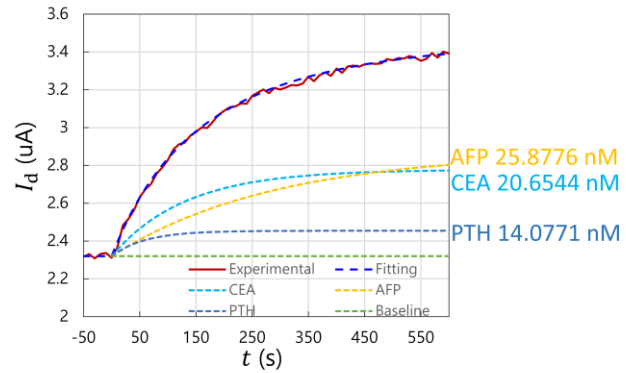


GFET #S41

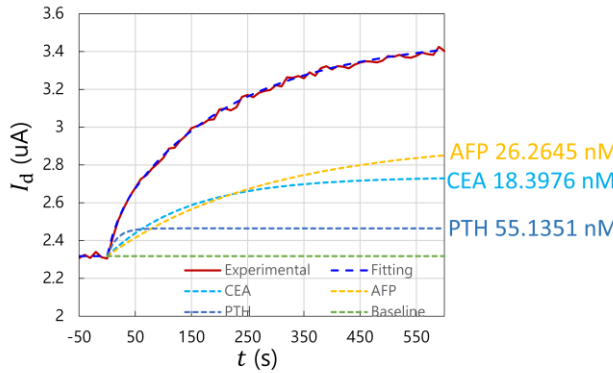
CEA 20 nM; AFP 50 nM; PTH 2 nM

**GFET #S42**

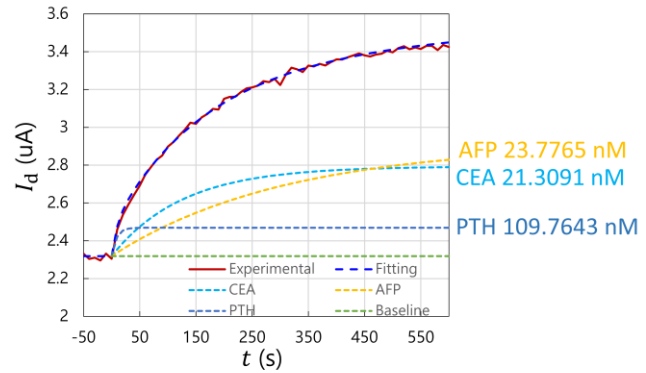
CEA 20 nM; AFP 50 nM; PTH 5 nM

**GFET #S43**

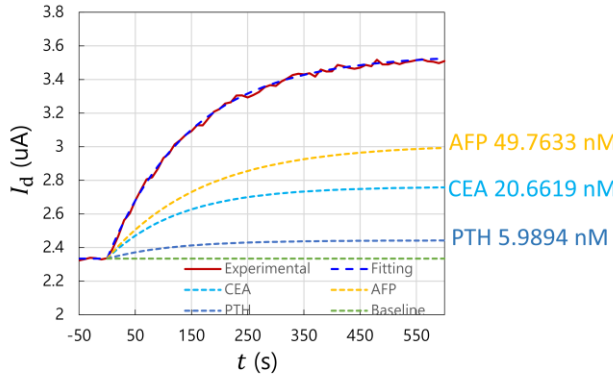
CEA 20 nM; AFP 50 nM; PTH 20 nM

**GFET #S44**

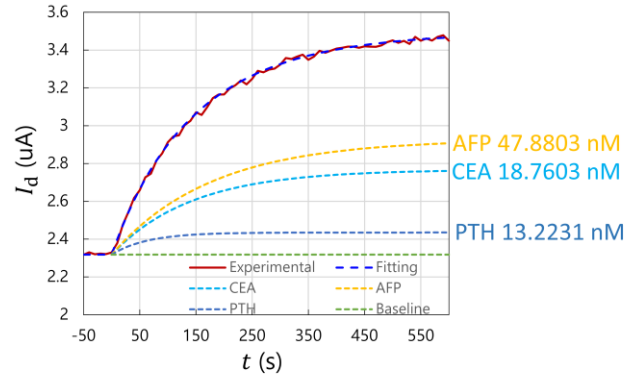
CEA 20 nM; AFP 50 nM; PTH 50 nM

**GFET #S45**

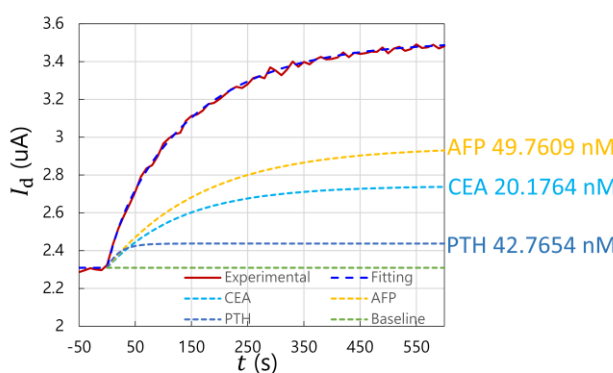
CEA 20 nM; AFP 100 nM; PTH 2 nM

**GFET #S46**

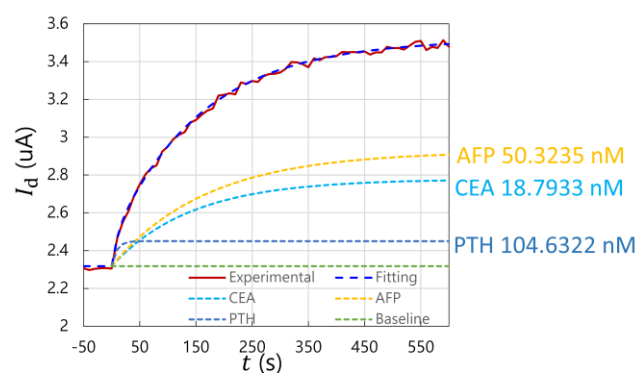
CEA 20 nM; AFP 100 nM; PTH 5 nM

**GFET #S47**

CEA 20 nM; AFP 100 nM; PTH 20 nM

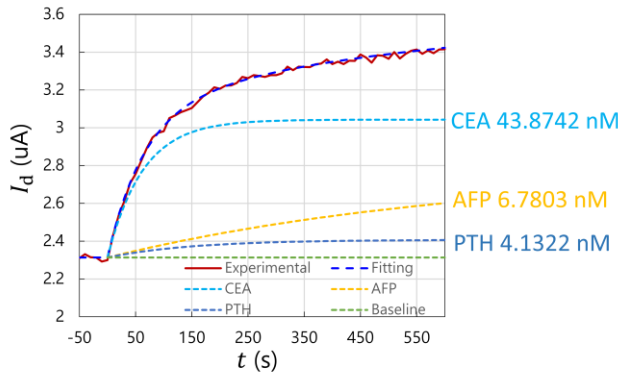
**GFET #S48**

CEA 20 nM; AFP 100 nM; PTH 50 nM

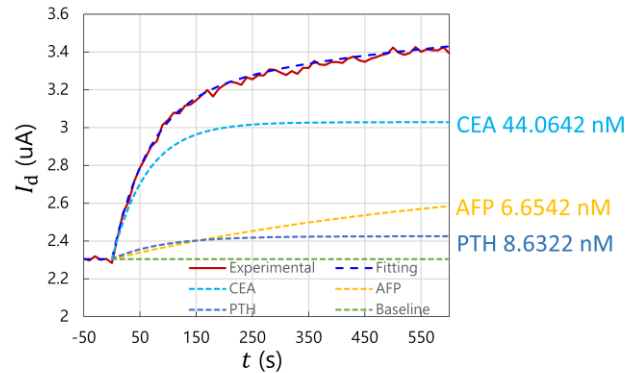


GFET #S49

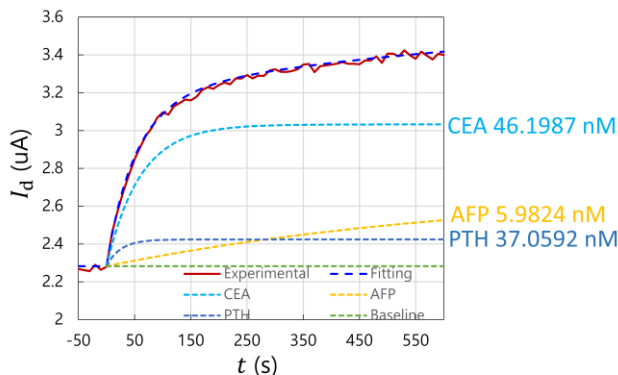
CEA 50 nM; AFP 5 nM; PTH 2 nM

**GFET #S50**

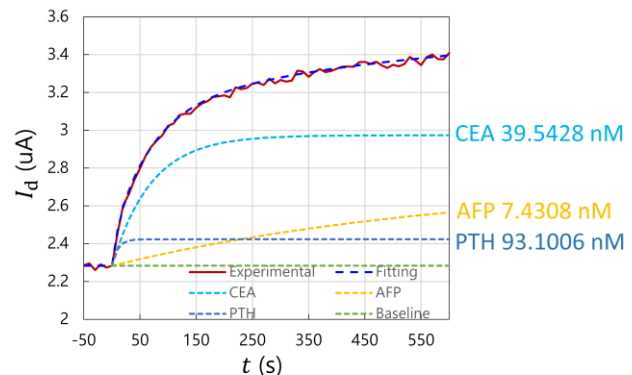
CEA 50 nM; AFP 5 nM; PTH 5 nM

**GFET #S51**

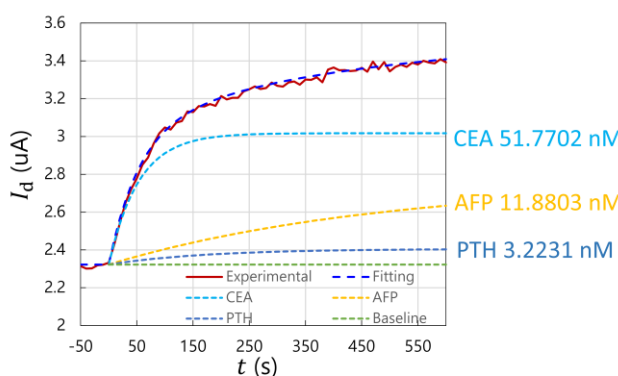
CEA 50 nM; AFP 5 nM; PTH 20 nM

**GFET #S52**

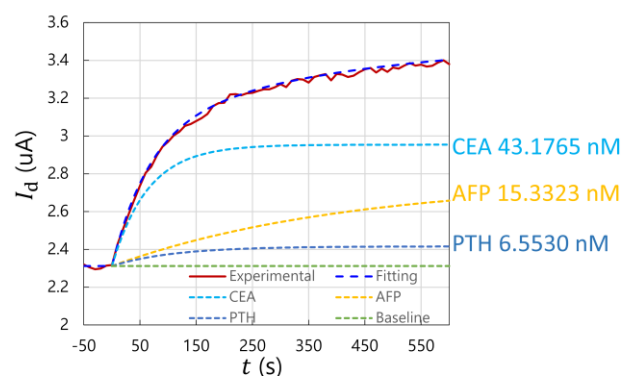
CEA 50 nM; AFP 5 nM; PTH 50 nM

**GFET #S53**

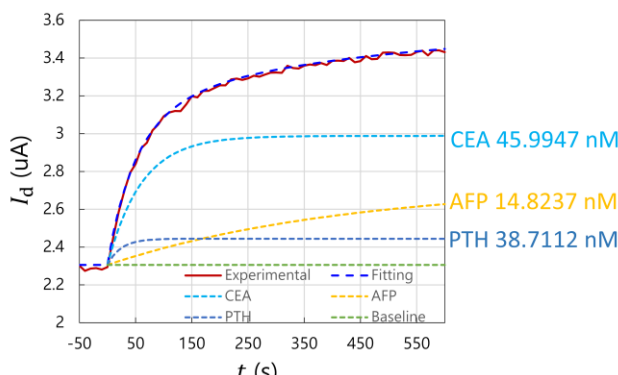
CEA 50 nM; AFP 20 nM; PTH 2 nM

**GFET #S54**

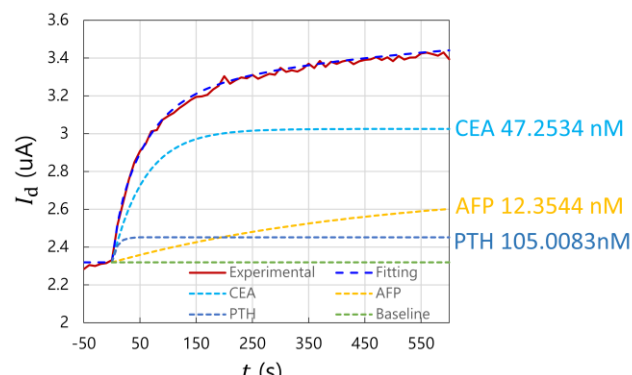
CEA 50 nM; AFP 20 nM; PTH 5 nM

**GFET #S55**

CEA 50 nM; AFP 20 nM; PTH 20 nM

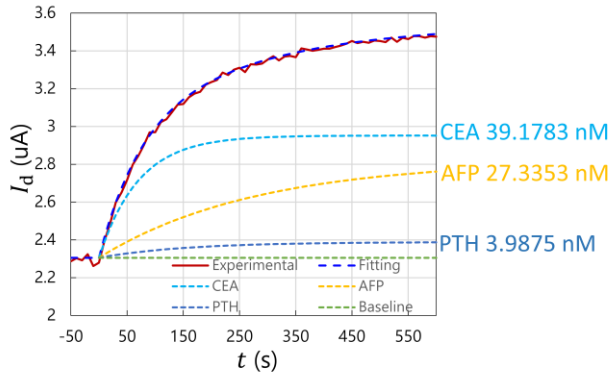
**GFET #S56**

CEA 50 nM; AFP 20 nM; PTH 50 nM

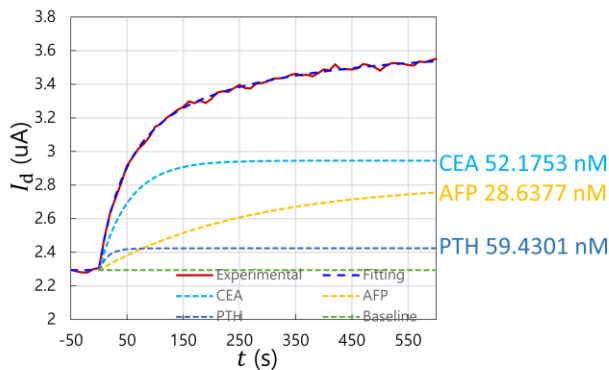


GFET #S57

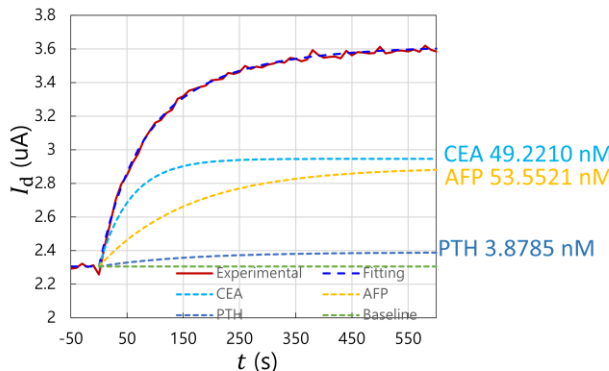
CEA 50 nM; AFP 50 nM; PTH 2 nM

**GFET #S59**

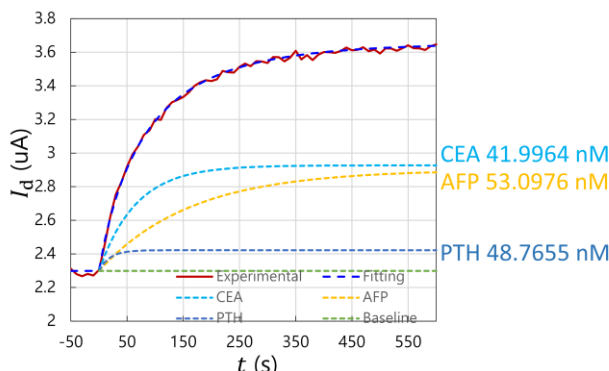
CEA 50 nM; AFP 50 nM; PTH 20 nM

**GFET #S61**

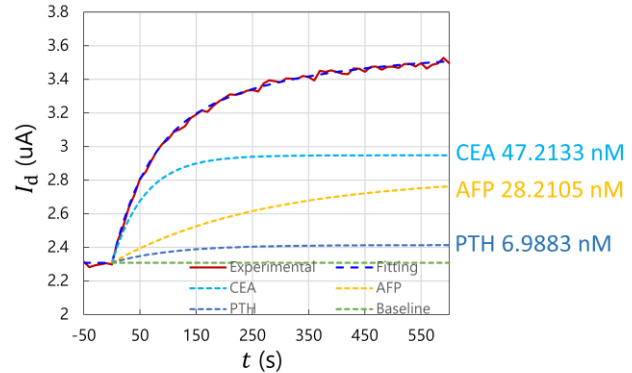
CEA 50 nM; AFP 100 nM; PTH 2 nM

**GFET #S63**

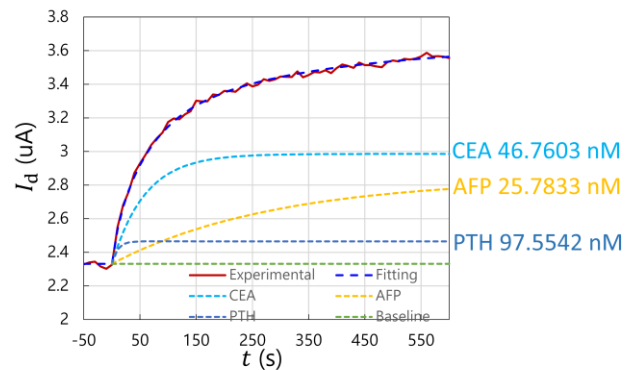
CEA 50 nM; AFP 100 nM; PTH 20 nM

**GFET #S58**

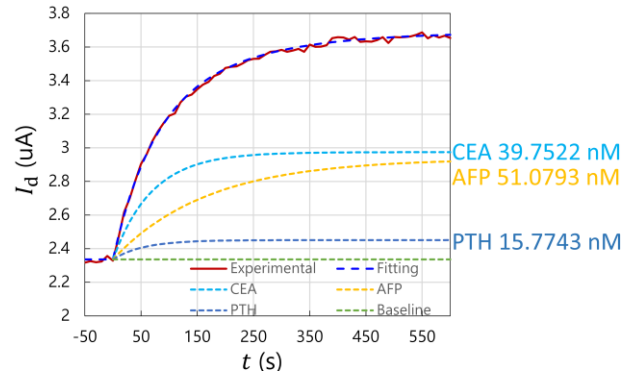
CEA 50 nM; AFP 50 nM; PTH 5 nM

**GFET #S60**

CEA 50 nM; AFP 50 nM; PTH 50 nM

**GFET #S62**

CEA 50 nM; AFP 100 nM; PTH 5 nM

**GFET #S64**

CEA 50 nM; AFP 100 nM; PTH 50 nM

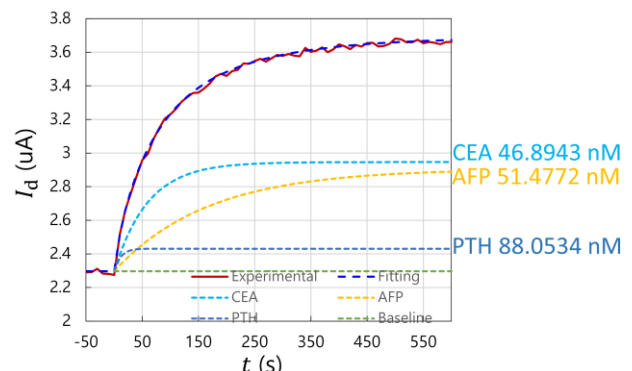
**Figure S7.** Kinetic processes of 64 mixture samples in serum.

Table S11. Kinetic processes of 64 serum samples and numerical fitting results corresponding to **Figure S7**. The estimated kinetic parameters $k_a^{(CEA)} = 357053.24 \text{ M}^{-1}\text{s}^{-1}$, $k_d^{(CEA)} = 0.0003055 \text{ s}^{-1}$, $k_a^{(AFP)} = 99465.16 \text{ M}^{-1}\text{s}^{-1}$, $k_d^{(AFP)} = 0.0008749 \text{ s}^{-1}$, $k_a^{(PTH)} = 1020100.24 \text{ M}^{-1}\text{s}^{-1}$ and $k_d^{(PTH)} = 0.0023879 \text{ s}^{-1}$ are used as known conditions to estimate the component concentrations $\tilde{c}^{(CEA)}$, $\tilde{c}^{(AFP)}$ and $\tilde{c}^{(PTH)}$.

Device number	Mixture components	Time, t (s)	Exp. Results, I_d (μA)	Fitting results				
				\tilde{I}_d (μA)	Component contributions			
					DC baseline (μA)	CEA (μA)	AFP (μA)	PTH (μA)
GFET #S1	$c^{(CEA)} = 2 \text{ nM}$	-50	2.285	2.291	—	—	—	—
		-40	2.264	2.291				
		-30	2.300	2.291				
	$c^{(AFP)} = 5 \text{ nM}$	-20	2.342	2.291				
		-10	2.314	2.291				
		0	2.258	2.291		0.000	0.000	0.000
		10	2.302	2.321		0.003	0.004	0.023
		20	2.356	2.349		0.006	0.008	0.044
		30	2.355	2.373		0.009	0.012	0.062
		40	2.412	2.396		0.012	0.015	0.078
		50	2.436	2.416		0.015	0.019	0.092
		60	2.443	2.435		0.018	0.023	0.104
		70	2.444	2.452		0.021	0.026	0.114
		80	2.490	2.468		0.023	0.030	0.124
		90	2.509	2.482		0.026	0.033	0.132
		100	2.488	2.496		0.029	0.037	0.139
		110	2.516	2.508		0.032	0.040	0.146
		120	2.528	2.520		0.034	0.043	0.151
		130	2.529	2.531		0.037	0.046	0.156
		140	2.570	2.541		0.040	0.050	0.161
		150	2.563	2.551		0.042	0.053	0.165
		160	2.573	2.560		0.045	0.056	0.168
	$c^{(PTH)} = 2 \text{ nM}$	170	2.582	2.568		0.047	0.059	0.171
		180	2.611	2.577		0.050	0.062	0.173
		190	2.612	2.584		0.052	0.065	0.176
		200	2.612	2.592		0.055	0.068	0.178
		210	2.620	2.599		0.057	0.071	0.180
		220	2.650	2.606		0.060	0.074	0.181
		230	2.630	2.612		0.062	0.077	0.182
		240	2.645	2.619		0.065	0.080	0.184
		250	2.617	2.625		0.067	0.082	0.185
		260	2.632	2.631		0.069	0.085	0.186
		270	2.645	2.637		0.071	0.088	0.186
		280	2.650	2.642		0.074	0.090	0.187
		290	2.649	2.648		0.076	0.093	0.188
		300	2.652	2.653		0.078	0.095	0.188
		310	2.670	2.658		0.080	0.098	0.189
		320	2.668	2.663		0.083	0.100	0.189
		330	2.664	2.668		0.085	0.103	0.190
		340	2.665	2.673		0.087	0.105	0.190
		350	2.699	2.678		0.089	0.108	0.190
		360	2.686	2.683		0.091	0.110	0.190
		370	2.685	2.687		0.093	0.112	0.191
		380	2.718	2.692		0.095	0.115	0.191
		390	2.710	2.696		0.097	0.117	0.191
		400	2.707	2.701		0.099	0.119	0.191
		410	2.724	2.705		0.101	0.121	0.191
		420	2.699	2.709		0.103	0.123	0.191
		430	2.716	2.713		0.105	0.126	0.192
		440	2.733	2.717		0.107	0.128	0.192
		450	2.728	2.721		0.109	0.130	0.192
		460	2.743	2.725		0.111	0.132	0.192
		470	2.723	2.729		0.113	0.134	0.192

		480	2.727	2.733	2.291	0.115	0.136	0.192	
		490	2.718	2.737	2.291	0.116	0.138	0.192	
		500	2.765	2.741	2.291	0.118	0.140	0.192	
		510	2.717	2.744	2.291	0.120	0.141	0.192	
		520	2.748	2.748	2.291	0.122	0.143	0.192	
		530	2.721	2.752	2.291	0.124	0.145	0.192	
		540	2.766	2.755	2.291	0.125	0.147	0.192	
		550	2.760	2.759	2.291	0.127	0.149	0.192	
		560	2.715	2.762	2.291	0.129	0.151	0.192	
		570	2.735	2.766	2.291	0.130	0.152	0.192	
		580	2.763	2.769	2.291	0.132	0.154	0.192	
		590	2.805	2.772	2.291	0.134	0.156	0.192	
		600	2.755	2.776	2.291	0.135	0.157	0.192	
GFET #S2	$c^{(CEA)} = 2$ nM	-50	2.324	2.321	-	-	-	-	$\tilde{c}^{(CEA)} \approx 2.2044$ nM
		-40	2.349	2.321					
		-30	2.319	2.321					
		-20	2.325	2.321					
		-10	2.326	2.321					
		0	2.295	2.321	2.321	0.000	0.000	0.000	
		10	2.351	2.355	2.321	0.003	0.005	0.025	
		20	2.385	2.384	2.321	0.006	0.010	0.046	
		30	2.400	2.410	2.321	0.009	0.015	0.064	
		40	2.449	2.434	2.321	0.012	0.020	0.080	
		50	2.428	2.455	2.321	0.016	0.025	0.093	
		60	2.475	2.474	2.321	0.019	0.030	0.104	
		70	2.528	2.491	2.321	0.022	0.035	0.113	
		80	2.507	2.506	2.321	0.024	0.039	0.121	
		90	2.512	2.521	2.321	0.027	0.044	0.128	
		100	2.536	2.534	2.321	0.030	0.048	0.134	
		110	2.546	2.546	2.321	0.033	0.053	0.139	
	$c^{(AFP)} = 5$ nM	120	2.567	2.557	2.321	0.036	0.057	0.143	
		130	2.571	2.568	2.321	0.039	0.061	0.147	
		140	2.597	2.578	2.321	0.041	0.065	0.150	
		150	2.605	2.587	2.321	0.044	0.070	0.152	
		160	2.587	2.596	2.321	0.047	0.074	0.155	
	$c^{(PTH)} = 5$ nM	170	2.613	2.605	2.321	0.050	0.078	0.156	
		180	2.620	2.613	2.321	0.052	0.082	0.158	
		190	2.646	2.621	2.321	0.055	0.085	0.159	
		200	2.608	2.628	2.321	0.057	0.089	0.161	
		210	2.644	2.636	2.321	0.060	0.093	0.162	
	$c^{(PTH)} = 5$ nM	220	2.642	2.643	2.321	0.062	0.097	0.162	
		230	2.668	2.649	2.321	0.065	0.100	0.163	
		240	2.622	2.656	2.321	0.067	0.104	0.164	
		250	2.660	2.662	2.321	0.070	0.107	0.164	
		260	2.665	2.669	2.321	0.072	0.111	0.165	
	$c^{(PTH)} = 5$ nM	270	2.680	2.675	2.321	0.075	0.114	0.165	
		280	2.701	2.681	2.321	0.077	0.117	0.165	
		290	2.676	2.687	2.321	0.079	0.121	0.166	
		300	2.685	2.693	2.321	0.082	0.124	0.166	

		310	2.725	2.698	2.321	0.084	0.127	0.166	
		320	2.712	2.704	2.321	0.086	0.130	0.166	
		330	2.707	2.709	2.321	0.088	0.133	0.166	
		340	2.711	2.715	2.321	0.091	0.136	0.166	
		350	2.699	2.720	2.321	0.093	0.139	0.166	
		360	2.731	2.725	2.321	0.095	0.142	0.167	
		370	2.738	2.730	2.321	0.097	0.145	0.167	
		380	2.722	2.735	2.321	0.099	0.148	0.167	
		390	2.717	2.740	2.321	0.101	0.151	0.167	
		400	2.719	2.745	2.321	0.103	0.153	0.167	
		410	2.716	2.750	2.321	0.105	0.156	0.167	
		420	2.749	2.754	2.321	0.107	0.159	0.167	
		430	2.753	2.759	2.321	0.110	0.161	0.167	
		440	2.764	2.764	2.321	0.111	0.164	0.167	
		450	2.741	2.768	2.321	0.113	0.167	0.167	
		460	2.801	2.773	2.321	0.115	0.169	0.167	
		470	2.819	2.777	2.321	0.117	0.171	0.167	
		480	2.783	2.781	2.321	0.119	0.174	0.167	
		490	2.804	2.786	2.321	0.121	0.176	0.167	
		500	2.778	2.790	2.321	0.123	0.179	0.167	
		510	2.797	2.794	2.321	0.125	0.181	0.167	
		520	2.803	2.798	2.321	0.127	0.183	0.167	
		530	2.772	2.802	2.321	0.128	0.185	0.167	
		540	2.824	2.806	2.321	0.130	0.188	0.167	
		550	2.794	2.810	2.321	0.132	0.190	0.167	
		560	2.836	2.814	2.321	0.134	0.192	0.167	
		570	2.815	2.817	2.321	0.135	0.194	0.167	
		580	2.796	2.821	2.321	0.137	0.196	0.167	
		590	2.833	2.825	2.321	0.139	0.198	0.167	
		600	2.835	2.829	2.321	0.140	0.200	0.167	
GFET #S3	$c^{(CEA)} = 2$ nM	-50	2.331	2.326	-	-	-	-	$\tilde{c}^{(CEA)} \approx 2.2122 \text{ nM}$ $\tilde{c}^{(AFP)} \approx 7.0987 \text{ nM}$ $\tilde{c}^{(PTH)} \approx 47.3324 \text{ nM}$
		-40	2.335	2.326					
		-30	2.333	2.326					
		-20	2.356	2.326					
		-10	2.320	2.326					
	$c^{(AFP)} = 5$ nM	0	2.335	2.326	2.326	0.000	0.000	0.000	
		10	2.410	2.409	2.326	0.003	0.005	0.075	
		20	2.460	2.462	2.326	0.006	0.010	0.120	
		30	2.496	2.498	2.326	0.009	0.015	0.148	
		40	2.555	2.522	2.326	0.012	0.020	0.164	
	$c^{(PTH)} = 20$ nM	50	2.524	2.539	2.326	0.015	0.024	0.174	
		60	2.555	2.552	2.326	0.017	0.029	0.180	
		70	2.584	2.563	2.326	0.020	0.033	0.184	
		80	2.576	2.573	2.326	0.023	0.038	0.186	
		90	2.574	2.581	2.326	0.026	0.042	0.187	
		100	2.546	2.589	2.326	0.028	0.047	0.188	

	110	2.584	2.596	2.326	0.031	0.051	0.188	
	120	2.595	2.604	2.326	0.034	0.055	0.189	
	130	2.599	2.611	2.326	0.036	0.059	0.189	
	140	2.594	2.617	2.326	0.039	0.063	0.189	
	150	2.612	2.624	2.326	0.041	0.067	0.189	
	160	2.649	2.630	2.326	0.044	0.071	0.189	
	170	2.676	2.637	2.326	0.046	0.075	0.189	
	180	2.637	2.643	2.326	0.049	0.079	0.189	
	190	2.657	2.649	2.326	0.051	0.083	0.189	
	200	2.633	2.655	2.326	0.054	0.087	0.189	
	210	2.647	2.662	2.326	0.056	0.090	0.189	
	220	2.642	2.667	2.326	0.058	0.094	0.189	
	230	2.689	2.673	2.326	0.061	0.097	0.189	
	240	2.690	2.679	2.326	0.063	0.101	0.189	
	250	2.673	2.685	2.326	0.065	0.104	0.189	
	260	2.672	2.691	2.326	0.068	0.108	0.189	
	270	2.692	2.696	2.326	0.070	0.111	0.189	
	280	2.703	2.702	2.326	0.072	0.114	0.189	
	290	2.669	2.707	2.326	0.074	0.117	0.189	
	300	2.702	2.712	2.326	0.076	0.121	0.189	
	310	2.717	2.718	2.326	0.079	0.124	0.189	
	320	2.741	2.723	2.326	0.081	0.127	0.189	
	330	2.724	2.728	2.326	0.083	0.130	0.189	
	340	2.733	2.733	2.326	0.085	0.133	0.189	
	350	2.728	2.738	2.326	0.087	0.136	0.189	
	360	2.756	2.743	2.326	0.089	0.138	0.189	
	370	2.744	2.748	2.326	0.091	0.141	0.189	
	380	2.747	2.752	2.326	0.093	0.144	0.189	
	390	2.761	2.757	2.326	0.095	0.147	0.189	
	400	2.776	2.762	2.326	0.097	0.150	0.189	
	410	2.752	2.766	2.326	0.099	0.152	0.189	
	420	2.765	2.771	2.326	0.101	0.155	0.189	
	430	2.754	2.775	2.326	0.103	0.157	0.189	
	440	2.771	2.780	2.326	0.104	0.160	0.189	
	450	2.809	2.784	2.326	0.106	0.162	0.189	
	460	2.745	2.788	2.326	0.108	0.165	0.189	
	470	2.781	2.792	2.326	0.110	0.167	0.189	
	480	2.788	2.797	2.326	0.112	0.170	0.189	
	490	2.819	2.801	2.326	0.113	0.172	0.189	
	500	2.776	2.805	2.326	0.115	0.174	0.189	
	510	2.828	2.809	2.326	0.117	0.177	0.189	
	520	2.802	2.813	2.326	0.119	0.179	0.189	
	530	2.850	2.817	2.326	0.120	0.181	0.189	
	540	2.814	2.820	2.326	0.122	0.183	0.189	
	550	2.814	2.824	2.326	0.124	0.185	0.189	
	560	2.834	2.828	2.326	0.125	0.187	0.189	

		570	2.822	2.832	2.326	0.127	0.190	0.189	
		580	2.860	2.835	2.326	0.128	0.192	0.189	
		590	2.828	2.839	2.326	0.130	0.194	0.189	
		600	2.835	2.842	2.326	0.132	0.196	0.189	
GFET #S4	$c^{(CEA)} = 2$ nM	-50	2.254	2.268	-	-	-	-	$\tilde{c}^{(CEA)} \approx 2.6877$ nM
		-40	2.278	2.268					
		-30	2.290	2.268					
		-20	2.260	2.268					
		-10	2.315	2.268					
		0	2.245	2.268					
		10	2.363	2.386					
		20	2.475	2.436					
		30	2.501	2.460					
		40	2.486	2.474					
GFET #S4	$c^{(AFP)} = 5$ nM	50	2.478	2.484					$\tilde{c}^{(AFP)} \approx 6.0683$ nM
		60	2.482	2.492					
		70	2.501	2.500					
		80	2.508	2.508					
		90	2.523	2.515					
		100	2.519	2.522					
		110	2.514	2.530					
		120	2.514	2.537					
		130	2.520	2.544					
		140	2.524	2.550					
GFET #S4	$c^{(PTH)} = 50$ nM	150	2.547	2.557					$\tilde{c}^{(PTH)} \approx 92.5543$ nM
		160	2.586	2.564					
		170	2.555	2.570					
		180	2.588	2.577					
		190	2.565	2.583					
		200	2.600	2.590					
		210	2.605	2.596					
		220	2.622	2.602					
		230	2.587	2.608					
		240	2.600	2.614					
		250	2.597	2.620					
		260	2.608	2.626					
		270	2.638	2.632					
		280	2.645	2.637					
		290	2.639	2.643					
		300	2.670	2.648					
		310	2.659	2.654					
		320	2.655	2.659					
		330	2.680	2.664					
		340	2.636	2.670					
		350	2.657	2.675					
		360	2.676	2.680					

		370	2.704	2.685	2.268	0.126	0.114	0.177	
		380	2.665	2.690	2.268	0.129	0.116	0.177	
		390	2.711	2.695	2.268	0.131	0.118	0.177	
		400	2.649	2.700	2.268	0.134	0.121	0.177	
		410	2.706	2.704	2.268	0.136	0.123	0.177	
		420	2.713	2.709	2.268	0.139	0.125	0.177	
		430	2.717	2.714	2.268	0.141	0.127	0.177	
		440	2.716	2.718	2.268	0.144	0.129	0.177	
		450	2.720	2.723	2.268	0.146	0.131	0.177	
		460	2.736	2.727	2.268	0.149	0.133	0.177	
		470	2.697	2.732	2.268	0.151	0.135	0.177	
		480	2.763	2.736	2.268	0.153	0.137	0.177	
		490	2.757	2.740	2.268	0.156	0.139	0.177	
		500	2.763	2.744	2.268	0.158	0.141	0.177	
		510	2.741	2.748	2.268	0.160	0.143	0.177	
		520	2.777	2.753	2.268	0.162	0.145	0.177	
		530	2.783	2.757	2.268	0.165	0.147	0.177	
		540	2.758	2.761	2.268	0.167	0.149	0.177	
		550	2.757	2.764	2.268	0.169	0.150	0.177	
		560	2.754	2.768	2.268	0.171	0.152	0.177	
		570	2.785	2.772	2.268	0.173	0.154	0.177	
		580	2.756	2.776	2.268	0.175	0.156	0.177	
		590	2.766	2.780	2.268	0.177	0.157	0.177	
		600	2.746	2.783	2.268	0.179	0.159	0.177	
GFET #S5	$c^{(CEA)} = 2$ nM $c^{(AFP)} = 20$ nM $c^{(PTH)} = 2$ nM	-50	2.337	2.326	-	-	-	-	$\tilde{c}^{(CEA)} \approx 2.3419 \text{ nM}$ $\tilde{c}^{(AFP)} \approx 14.1784 \text{ nM}$ $\tilde{c}^{(PTH)} \approx 6.8743 \text{ nM}$
		-40	2.335	2.326					
		-30	2.327	2.326					
		-20	2.332	2.326					
		-10	2.349	2.326					
		0	2.358	2.326					
		10	2.355	2.351	2.326	0.003	0.010	0.012	
		20	2.373	2.375	2.326	0.007	0.020	0.023	
		30	2.399	2.398	2.326	0.010	0.029	0.033	
		40	2.428	2.420	2.326	0.013	0.039	0.042	
		50	2.452	2.440	2.326	0.016	0.048	0.050	
		60	2.458	2.459	2.326	0.019	0.057	0.057	
		70	2.487	2.478	2.326	0.022	0.065	0.064	
		80	2.506	2.496	2.326	0.025	0.074	0.070	
		90	2.494	2.513	2.326	0.028	0.082	0.076	
		100	2.529	2.529	2.326	0.031	0.090	0.081	
		110	2.549	2.545	2.326	0.034	0.098	0.086	
		120	2.529	2.560	2.326	0.037	0.106	0.090	
		130	2.583	2.574	2.326	0.040	0.114	0.094	
		140	2.594	2.588	2.326	0.043	0.121	0.097	
		150	2.608	2.601	2.326	0.046	0.129	0.100	
		160	2.633	2.614	2.326	0.049	0.136	0.103	

		170	2.655	2.626	2.326	0.051	0.143	0.106	
		180	2.631	2.638	2.326	0.054	0.149	0.108	
		190	2.646	2.650	2.326	0.057	0.156	0.111	
		200	2.658	2.661	2.326	0.060	0.163	0.113	
		210	2.680	2.672	2.326	0.062	0.169	0.114	
		220	2.660	2.682	2.326	0.065	0.175	0.116	
		230	2.698	2.692	2.326	0.067	0.181	0.118	
		240	2.720	2.702	2.326	0.070	0.187	0.119	
		250	2.699	2.712	2.326	0.072	0.193	0.120	
		260	2.708	2.721	2.326	0.075	0.198	0.121	
		270	2.729	2.730	2.326	0.077	0.204	0.122	
		280	2.740	2.739	2.326	0.080	0.209	0.123	
		290	2.782	2.747	2.326	0.082	0.215	0.124	
		300	2.739	2.755	2.326	0.085	0.220	0.125	
		310	2.757	2.764	2.326	0.087	0.225	0.126	
		320	2.763	2.771	2.326	0.089	0.230	0.126	
		330	2.772	2.779	2.326	0.092	0.235	0.127	
		340	2.781	2.787	2.326	0.094	0.239	0.127	
		350	2.772	2.794	2.326	0.096	0.244	0.128	
		360	2.789	2.801	2.326	0.098	0.248	0.128	
		370	2.811	2.808	2.326	0.100	0.253	0.129	
		380	2.806	2.815	2.326	0.103	0.257	0.129	
		390	2.808	2.822	2.326	0.105	0.261	0.129	
		400	2.845	2.828	2.326	0.107	0.265	0.130	
		410	2.841	2.835	2.326	0.109	0.269	0.130	
		420	2.844	2.841	2.326	0.111	0.273	0.130	
		430	2.851	2.847	2.326	0.113	0.277	0.131	
		440	2.861	2.853	2.326	0.115	0.281	0.131	
		450	2.861	2.859	2.326	0.117	0.285	0.131	
		460	2.870	2.865	2.326	0.119	0.288	0.131	
		470	2.874	2.870	2.326	0.121	0.292	0.131	
		480	2.895	2.876	2.326	0.123	0.295	0.131	
		490	2.874	2.881	2.326	0.125	0.298	0.132	
		500	2.874	2.886	2.326	0.127	0.302	0.132	
		510	2.899	2.891	2.326	0.129	0.305	0.132	
		520	2.916	2.897	2.326	0.131	0.308	0.132	
		530	2.923	2.902	2.326	0.132	0.311	0.132	
		540	2.897	2.906	2.326	0.134	0.314	0.132	
		550	2.910	2.911	2.326	0.136	0.317	0.132	
		560	2.935	2.916	2.326	0.138	0.320	0.132	
		570	2.941	2.920	2.326	0.139	0.323	0.132	
		580	2.917	2.925	2.326	0.141	0.325	0.132	
		590	2.941	2.929	2.326	0.143	0.328	0.132	
		600	2.946	2.934	2.326	0.145	0.331	0.132	
GFET #S6	$c^{(CEA)} = 2$ nM	-50	2.283	2.297	-	-	-	-	$\tilde{c}^{(CEA)} \approx 2.8995 \text{ nM}$
		-40	2.292	2.297					

$c^{(\text{AFP})} = 20$ nM	-30	2.304	2.297					$\tilde{c}^{(\text{AFP})} \approx$ 14.5235 nM
	-20	2.325	2.297					
$c^{(\text{PTH})} = 5$ nM	-10	2.295	2.297					
	0	2.301	2.297	2.297	0.000	0.000	0.000	$\tilde{c}^{(\text{PTH})} \approx$ 11.0934 nM
$c^{(\text{PTH})}$	10	2.316	2.330	2.297	0.004	0.010	0.020	
	20	2.354	2.361	2.297	0.009	0.019	0.037	
	30	2.376	2.389	2.297	0.013	0.028	0.051	
	40	2.431	2.416	2.297	0.017	0.037	0.064	
	50	2.444	2.440	2.297	0.022	0.046	0.076	
	60	2.450	2.462	2.297	0.026	0.054	0.085	
	70	2.462	2.483	2.297	0.030	0.063	0.094	
	80	2.521	2.503	2.297	0.034	0.071	0.101	
	90	2.517	2.521	2.297	0.038	0.079	0.108	
	100	2.540	2.539	2.297	0.042	0.086	0.114	
	110	2.539	2.555	2.297	0.046	0.094	0.119	
	120	2.560	2.571	2.297	0.050	0.101	0.123	
	130	2.589	2.586	2.297	0.053	0.109	0.127	
	140	2.585	2.600	2.297	0.057	0.116	0.130	
	150	2.621	2.613	2.297	0.061	0.123	0.133	
	160	2.629	2.626	2.297	0.065	0.130	0.135	
	170	2.639	2.639	2.297	0.068	0.136	0.137	
	180	2.629	2.650	2.297	0.072	0.143	0.139	
	190	2.675	2.662	2.297	0.075	0.149	0.141	
	200	2.654	2.673	2.297	0.079	0.155	0.142	
	210	2.684	2.684	2.297	0.082	0.161	0.144	
	220	2.697	2.694	2.297	0.085	0.167	0.145	
	230	2.718	2.704	2.297	0.089	0.173	0.146	
	240	2.716	2.714	2.297	0.092	0.178	0.147	
	250	2.748	2.723	2.297	0.095	0.184	0.147	
	260	2.706	2.732	2.297	0.098	0.189	0.148	
	270	2.740	2.741	2.297	0.101	0.194	0.149	
	280	2.760	2.750	2.297	0.105	0.200	0.149	
	290	2.759	2.758	2.297	0.108	0.205	0.149	
	300	2.774	2.767	2.297	0.111	0.209	0.150	
	310	2.767	2.775	2.297	0.114	0.214	0.150	
	320	2.768	2.783	2.297	0.117	0.219	0.150	
	330	2.773	2.790	2.297	0.119	0.223	0.151	
	340	2.802	2.798	2.297	0.122	0.228	0.151	
	350	2.805	2.805	2.297	0.125	0.232	0.151	
	360	2.807	2.812	2.297	0.128	0.237	0.151	
	370	2.835	2.820	2.297	0.131	0.241	0.151	
	380	2.820	2.826	2.297	0.133	0.245	0.151	
	390	2.834	2.833	2.297	0.136	0.249	0.152	
	400	2.863	2.840	2.297	0.139	0.253	0.152	
	410	2.852	2.846	2.297	0.141	0.256	0.152	
	420	2.844	2.853	2.297	0.144	0.260	0.152	

		430	2.843	2.859	2.297	0.146	0.264	0.152	
		440	2.873	2.865	2.297	0.149	0.267	0.152	
		450	2.859	2.871	2.297	0.151	0.271	0.152	
		460	2.878	2.877	2.297	0.154	0.274	0.152	
		470	2.871	2.882	2.297	0.156	0.277	0.152	
		480	2.903	2.888	2.297	0.159	0.281	0.152	
		490	2.914	2.894	2.297	0.161	0.284	0.152	
		500	2.894	2.899	2.297	0.163	0.287	0.152	
		510	2.913	2.904	2.297	0.166	0.290	0.152	
		520	2.908	2.909	2.297	0.168	0.293	0.152	
		530	2.901	2.915	2.297	0.170	0.296	0.152	
		540	2.945	2.920	2.297	0.172	0.298	0.152	
		550	2.939	2.924	2.297	0.174	0.301	0.152	
		560	2.911	2.929	2.297	0.176	0.304	0.152	
		570	2.945	2.934	2.297	0.179	0.306	0.152	
		580	2.922	2.939	2.297	0.181	0.309	0.152	
		590	2.946	2.943	2.297	0.183	0.311	0.152	
		600	2.941	2.948	2.297	0.185	0.314	0.152	
		-50	2.288	2.318	-	-	-	-	
		-40	2.319	2.318					
		-30	2.320	2.318					
		-20	2.315	2.318					
		-10	2.337	2.318					
		0	2.325	2.318	2.318	0.000	0.000	0.000	
		10	2.384	2.393	2.318	0.005	0.009	0.061	
		20	2.450	2.447	2.318	0.010	0.017	0.102	
		30	2.457	2.488	2.318	0.015	0.025	0.130	
		40	2.531	2.520	2.318	0.019	0.033	0.149	
		50	2.546	2.545	2.318	0.024	0.041	0.161	
		60	2.552	2.565	2.318	0.029	0.049	0.170	
		70	2.588	2.583	2.318	0.033	0.057	0.175	
		80	2.608	2.599	2.318	0.038	0.064	0.179	
		90	2.619	2.613	2.318	0.042	0.071	0.182	
		100	2.640	2.627	2.318	0.047	0.079	0.183	
		110	2.626	2.639	2.318	0.051	0.086	0.185	
		120	2.660	2.651	2.318	0.055	0.093	0.185	
		130	2.662	2.662	2.318	0.059	0.099	0.186	
		140	2.666	2.674	2.318	0.064	0.106	0.186	
		150	2.683	2.684	2.318	0.068	0.112	0.186	
		160	2.699	2.695	2.318	0.072	0.119	0.187	
		170	2.704	2.705	2.318	0.076	0.125	0.187	
		180	2.712	2.715	2.318	0.080	0.131	0.187	
		190	2.720	2.725	2.318	0.083	0.137	0.187	
		200	2.724	2.735	2.318	0.087	0.143	0.187	
		210	2.767	2.744	2.318	0.091	0.148	0.187	
		220	2.790	2.753	2.318	0.095	0.154	0.187	

		230	2.770	2.763	2.318	0.098	0.159	0.187	
		240	2.783	2.772	2.318	0.102	0.165	0.187	
		250	2.802	2.780	2.318	0.106	0.170	0.187	
		260	2.808	2.789	2.318	0.109	0.175	0.187	
		270	2.799	2.797	2.318	0.113	0.180	0.187	
		280	2.808	2.806	2.318	0.116	0.185	0.187	
		290	2.801	2.814	2.318	0.119	0.190	0.187	
		300	2.815	2.822	2.318	0.123	0.195	0.187	
		310	2.827	2.830	2.318	0.126	0.199	0.187	
		320	2.854	2.838	2.318	0.129	0.204	0.187	
		330	2.827	2.845	2.318	0.132	0.208	0.187	
		340	2.856	2.853	2.318	0.135	0.213	0.187	
		350	2.883	2.860	2.318	0.139	0.217	0.187	
		360	2.874	2.867	2.318	0.142	0.221	0.187	
		370	2.883	2.875	2.318	0.145	0.225	0.187	
		380	2.884	2.882	2.318	0.148	0.229	0.187	
		390	2.904	2.888	2.318	0.150	0.233	0.187	
		400	2.898	2.895	2.318	0.153	0.237	0.187	
		410	2.868	2.902	2.318	0.156	0.241	0.187	
		420	2.912	2.908	2.318	0.159	0.244	0.187	
		430	2.908	2.915	2.318	0.162	0.248	0.187	
		440	2.956	2.921	2.318	0.165	0.252	0.187	
		450	2.942	2.927	2.318	0.167	0.255	0.187	
		460	2.940	2.933	2.318	0.170	0.258	0.187	
		470	2.944	2.939	2.318	0.173	0.262	0.187	
		480	2.958	2.945	2.318	0.175	0.265	0.187	
		490	2.952	2.951	2.318	0.178	0.268	0.187	
		500	2.967	2.956	2.318	0.180	0.271	0.187	
		510	2.971	2.962	2.318	0.183	0.274	0.187	
		520	2.960	2.967	2.318	0.185	0.277	0.187	
		530	2.977	2.973	2.318	0.188	0.280	0.187	
		540	2.977	2.978	2.318	0.190	0.283	0.187	
		550	2.997	2.983	2.318	0.192	0.286	0.187	
		560	3.029	2.988	2.318	0.195	0.289	0.187	
		570	3.009	2.993	2.318	0.197	0.291	0.187	
		580	2.986	2.998	2.318	0.199	0.294	0.187	
		590	3.005	3.003	2.318	0.201	0.297	0.187	
		600	3.042	3.008	2.318	0.204	0.299	0.187	
GFET #S8	$c^{(CEA)} = 2$ nM	-50	2.330	2.323	-	-	-	-	$\tilde{c}^{(CEA)} \approx 3.2986 \text{ nM}$
		-40	2.311	2.323					
		-30	2.313	2.323					
	$c^{(AFP)} = 20$ nM	-20	2.303	2.323	-	-	-	-	$\tilde{c}^{(AFP)} \approx 11.4302 \text{ nM}$
		-10	2.313	2.323					
		0	2.341	2.323					
	$c^{(PTH)} = 50$ nM	10	2.455	2.440	2.323	0.006	0.007	0.104	$\tilde{c}^{(PTH)} \approx 97.3641 \text{ nM}$
		20	2.504	2.490	2.323	0.011	0.014	0.142	

	30	2.522	2.516	2.323	0.017	0.021	0.155	
	40	2.532	2.533	2.323	0.022	0.028	0.160	
	50	2.572	2.547	2.323	0.028	0.034	0.162	
	60	2.585	2.560	2.323	0.033	0.041	0.163	
	70	2.571	2.571	2.323	0.038	0.047	0.163	
	80	2.587	2.583	2.323	0.043	0.053	0.163	
	90	2.586	2.594	2.323	0.048	0.059	0.163	
	100	2.608	2.605	2.323	0.053	0.065	0.163	
	110	2.616	2.615	2.323	0.058	0.071	0.163	
	120	2.638	2.626	2.323	0.063	0.077	0.163	
	130	2.628	2.636	2.323	0.068	0.082	0.163	
	140	2.634	2.647	2.323	0.072	0.088	0.163	
	150	2.647	2.657	2.323	0.077	0.093	0.163	
	160	2.659	2.666	2.323	0.082	0.098	0.163	
	170	2.667	2.676	2.323	0.086	0.103	0.163	
	180	2.698	2.685	2.323	0.091	0.108	0.163	
	190	2.687	2.695	2.323	0.095	0.113	0.163	
	200	2.714	2.704	2.323	0.099	0.118	0.163	
	210	2.720	2.713	2.323	0.103	0.123	0.163	
	220	2.725	2.722	2.323	0.108	0.128	0.163	
	230	2.753	2.730	2.323	0.112	0.132	0.163	
	240	2.768	2.739	2.323	0.116	0.137	0.163	
	250	2.755	2.747	2.323	0.120	0.141	0.163	
	260	2.769	2.756	2.323	0.124	0.145	0.163	
	270	2.775	2.764	2.323	0.128	0.150	0.163	
	280	2.787	2.772	2.323	0.131	0.154	0.163	
	290	2.777	2.779	2.323	0.135	0.158	0.163	
	300	2.774	2.787	2.323	0.139	0.162	0.163	
	310	2.817	2.795	2.323	0.142	0.166	0.163	
	320	2.824	2.802	2.323	0.146	0.169	0.163	
	330	2.795	2.809	2.323	0.150	0.173	0.163	
	340	2.788	2.816	2.323	0.153	0.177	0.163	
	350	2.821	2.823	2.323	0.157	0.180	0.163	
	360	2.853	2.830	2.323	0.160	0.184	0.163	
	370	2.825	2.837	2.323	0.163	0.187	0.163	
	380	2.874	2.844	2.323	0.167	0.191	0.163	
	390	2.846	2.850	2.323	0.170	0.194	0.163	
	400	2.862	2.857	2.323	0.173	0.197	0.163	
	410	2.857	2.863	2.323	0.176	0.201	0.163	
	420	2.853	2.869	2.323	0.179	0.204	0.163	
	430	2.881	2.875	2.323	0.182	0.207	0.163	
	440	2.874	2.881	2.323	0.185	0.210	0.163	
	450	2.892	2.887	2.323	0.188	0.213	0.163	
	460	2.905	2.893	2.323	0.191	0.215	0.163	
	470	2.909	2.899	2.323	0.194	0.218	0.163	
	480	2.901	2.904	2.323	0.197	0.221	0.163	

		490	2.884	2.910	2.323	0.200	0.224	0.163	
		500	2.918	2.915	2.323	0.202	0.226	0.163	
		510	2.908	2.921	2.323	0.205	0.229	0.163	
		520	2.916	2.926	2.323	0.208	0.232	0.163	
		530	2.946	2.931	2.323	0.210	0.234	0.163	
		540	2.947	2.936	2.323	0.213	0.237	0.163	
		550	2.947	2.941	2.323	0.216	0.239	0.163	
		560	2.931	2.946	2.323	0.218	0.241	0.163	
		570	2.954	2.951	2.323	0.221	0.244	0.163	
		580	2.970	2.955	2.323	0.223	0.246	0.163	
		590	2.942	2.960	2.323	0.225	0.248	0.163	
		600	2.970	2.964	2.323	0.228	0.250	0.163	
GFET #S9	$c^{(CEA)} = 2$ nM	-50	2.334	2.322	-	-	-	-	$\tilde{c}^{(CEA)} \approx 3.5423$ nM
		-40	2.334	2.322					
		-30	2.314	2.322					
		-20	2.320	2.322					
		-10	2.318	2.322					
		0	2.309	2.322	2.322	0.000	0.000	0.000	
		10	2.357	2.357	2.322	0.004	0.015	0.016	
		20	2.391	2.391	2.322	0.008	0.030	0.031	
		30	2.404	2.423	2.322	0.012	0.044	0.044	
		40	2.452	2.453	2.322	0.016	0.058	0.057	
		50	2.467	2.482	2.322	0.019	0.072	0.069	
		60	2.499	2.510	2.322	0.023	0.085	0.080	
		70	2.538	2.536	2.322	0.027	0.097	0.090	
		80	2.560	2.561	2.322	0.030	0.109	0.099	
		90	2.584	2.585	2.322	0.034	0.121	0.108	
		100	2.617	2.608	2.322	0.037	0.132	0.116	
		110	2.617	2.630	2.322	0.041	0.143	0.124	
		120	2.631	2.651	2.322	0.044	0.154	0.131	
		130	2.655	2.671	2.322	0.048	0.164	0.137	
		140	2.695	2.691	2.322	0.051	0.174	0.143	
		150	2.690	2.709	2.322	0.054	0.184	0.149	
		160	2.732	2.727	2.322	0.057	0.193	0.154	
		170	2.736	2.744	2.322	0.060	0.202	0.159	
		180	2.739	2.760	2.322	0.063	0.211	0.164	
		190	2.753	2.776	2.322	0.067	0.219	0.168	
		200	2.773	2.791	2.322	0.069	0.227	0.172	
		210	2.806	2.805	2.322	0.072	0.235	0.175	
		220	2.809	2.819	2.322	0.075	0.243	0.179	
		230	2.842	2.832	2.322	0.078	0.250	0.182	
		240	2.849	2.845	2.322	0.081	0.257	0.185	
		250	2.873	2.858	2.322	0.084	0.264	0.187	
		260	2.847	2.869	2.322	0.086	0.271	0.190	
		270	2.885	2.881	2.322	0.089	0.277	0.192	
		280	2.913	2.892	2.322	0.092	0.283	0.194	

		290	2.924	2.902	2.322	0.094	0.289	0.197	
		300	2.921	2.913	2.322	0.097	0.295	0.198	
		310	2.926	2.923	2.322	0.099	0.301	0.200	
		320	2.931	2.932	2.322	0.102	0.306	0.202	
		330	2.932	2.941	2.322	0.104	0.312	0.203	
		340	2.934	2.950	2.322	0.107	0.317	0.205	
		350	2.936	2.959	2.322	0.109	0.322	0.206	
		360	2.976	2.967	2.322	0.111	0.326	0.207	
		370	3.008	2.975	2.322	0.114	0.331	0.208	
		380	2.994	2.983	2.322	0.116	0.335	0.209	
		390	3.012	2.990	2.322	0.118	0.340	0.210	
		400	3.008	2.997	2.322	0.120	0.344	0.211	
		410	2.997	3.004	2.322	0.122	0.348	0.212	
		420	3.014	3.011	2.322	0.125	0.352	0.213	
		430	2.980	3.018	2.322	0.127	0.356	0.213	
		440	3.006	3.024	2.322	0.129	0.359	0.214	
		450	3.032	3.030	2.322	0.131	0.363	0.215	
		460	3.015	3.036	2.322	0.133	0.366	0.215	
		470	3.034	3.042	2.322	0.135	0.369	0.216	
		480	3.067	3.048	2.322	0.136	0.373	0.216	
		490	3.057	3.053	2.322	0.138	0.376	0.217	
		500	3.053	3.058	2.322	0.140	0.379	0.217	
		510	3.058	3.064	2.322	0.142	0.382	0.218	
		520	3.055	3.068	2.322	0.144	0.384	0.218	
		530	3.072	3.073	2.322	0.146	0.387	0.218	
		540	3.096	3.078	2.322	0.147	0.390	0.219	
		550	3.080	3.083	2.322	0.149	0.392	0.219	
		560	3.071	3.087	2.322	0.151	0.395	0.219	
		570	3.074	3.091	2.322	0.152	0.397	0.220	
		580	3.067	3.095	2.322	0.154	0.399	0.220	
		590	3.091	3.099	2.322	0.156	0.402	0.220	
		600	3.105	3.103	2.322	0.157	0.404	0.220	
GFET #S10	$c^{(CEA)} = 2$ nM	-50	2.281	2.293	-	-	-	-	$\tilde{c}^{(CEA)} \approx 1.9904 \text{ nM}$ $\tilde{c}^{(AFP)} \approx 23.9800 \text{ nM}$ $\tilde{c}^{(PTH)} \approx 9.2215 \text{ nM}$
		-40	2.293	2.293					
		-30	2.280	2.293					
		-20	2.299	2.293					
		-10	2.287	2.293					
	$c^{(AFP)} = 50$ nM	0	2.295	2.293	2.293	0.000	0.000	0.000	
		10	2.330	2.335	2.293	0.003	0.015	0.024	
		20	2.367	2.373	2.293	0.006	0.029	0.045	
		30	2.393	2.409	2.293	0.008	0.043	0.064	
		40	2.435	2.442	2.293	0.011	0.057	0.081	
	$c^{(PTH)} = 5$ nM	50	2.444	2.473	2.293	0.014	0.070	0.096	
		60	2.513	2.501	2.293	0.017	0.083	0.109	
		70	2.527	2.528	2.293	0.019	0.095	0.121	
		80	2.538	2.553	2.293	0.022	0.107	0.131	

	90	2.571	2.577	2.293	0.025	0.119	0.141	
	100	2.589	2.599	2.293	0.027	0.130	0.149	
	110	2.637	2.619	2.293	0.030	0.140	0.156	
	120	2.648	2.639	2.293	0.032	0.151	0.163	
	130	2.666	2.657	2.293	0.035	0.161	0.169	
	140	2.708	2.675	2.293	0.037	0.171	0.174	
	150	2.707	2.691	2.293	0.040	0.180	0.178	
	160	2.731	2.707	2.293	0.042	0.189	0.183	
	170	2.732	2.722	2.293	0.045	0.198	0.186	
	180	2.728	2.736	2.293	0.047	0.207	0.189	
	190	2.711	2.750	2.293	0.049	0.215	0.192	
	200	2.752	2.763	2.293	0.052	0.223	0.195	
	210	2.765	2.775	2.293	0.054	0.231	0.197	
	220	2.803	2.787	2.293	0.056	0.239	0.199	
	230	2.796	2.798	2.293	0.059	0.246	0.201	
	240	2.823	2.809	2.293	0.061	0.253	0.202	
	250	2.844	2.820	2.293	0.063	0.260	0.204	
	260	2.826	2.830	2.293	0.065	0.266	0.205	
	270	2.848	2.839	2.293	0.067	0.273	0.206	
	280	2.855	2.849	2.293	0.070	0.279	0.207	
	290	2.863	2.858	2.293	0.072	0.285	0.208	
	300	2.861	2.866	2.293	0.074	0.291	0.209	
	310	2.889	2.875	2.293	0.076	0.296	0.210	
	320	2.884	2.883	2.293	0.078	0.302	0.210	
	330	2.887	2.891	2.293	0.080	0.307	0.211	
	340	2.903	2.898	2.293	0.082	0.312	0.211	
	350	2.893	2.906	2.293	0.084	0.317	0.212	
	360	2.920	2.913	2.293	0.086	0.322	0.212	
	370	2.913	2.920	2.293	0.088	0.327	0.212	
	380	2.930	2.927	2.293	0.090	0.331	0.213	
	390	2.958	2.933	2.293	0.092	0.335	0.213	
	400	2.938	2.939	2.293	0.094	0.340	0.213	
	410	2.980	2.946	2.293	0.096	0.344	0.213	
	420	2.947	2.952	2.293	0.098	0.348	0.214	
	430	2.982	2.957	2.293	0.099	0.351	0.214	
	440	2.968	2.963	2.293	0.101	0.355	0.214	
	450	2.979	2.969	2.293	0.103	0.359	0.214	
	460	2.991	2.974	2.293	0.105	0.362	0.214	
	470	2.989	2.979	2.293	0.107	0.365	0.214	
	480	2.994	2.984	2.293	0.108	0.369	0.214	
	490	2.987	2.989	2.293	0.110	0.372	0.214	
	500	2.994	2.994	2.293	0.112	0.375	0.215	
	510	2.987	2.999	2.293	0.114	0.378	0.215	
	520	3.002	3.003	2.293	0.115	0.381	0.215	
	530	3.006	3.008	2.293	0.117	0.383	0.215	
	540	3.015	3.012	2.293	0.119	0.386	0.215	

		550	2.996	3.016	2.293	0.120	0.389	0.215	
		560	3.029	3.021	2.293	0.122	0.391	0.215	
		570	3.021	3.025	2.293	0.124	0.393	0.215	
		580	3.029	3.029	2.293	0.125	0.396	0.215	
		590	3.039	3.032	2.293	0.127	0.398	0.215	
		600	3.038	3.036	2.293	0.128	0.400	0.215	
GFET #S11	$c^{(CEA)} = 2$ nM	-50	2.299	2.296	-	-	-	-	$\tilde{c}^{(CEA)} \approx$ 2.4601 nM
		-40	2.284	2.296					
		-30	2.317	2.296					
		-20	2.304	2.296					
		-10	2.286	2.296					
		0	2.292	2.296	2.296	0.000	0.000	0.000	
		10	2.386	2.373	2.296	0.003	0.018	0.056	
		20	2.425	2.432	2.296	0.007	0.035	0.094	
		30	2.478	2.478	2.296	0.010	0.051	0.120	
		40	2.530	2.515	2.296	0.014	0.067	0.138	
		50	2.552	2.546	2.296	0.017	0.082	0.150	
		60	2.600	2.572	2.296	0.020	0.097	0.159	
		70	2.592	2.596	2.296	0.023	0.111	0.164	
		80	2.602	2.616	2.296	0.027	0.125	0.168	
		90	2.633	2.636	2.296	0.030	0.139	0.171	
		100	2.654	2.654	2.296	0.033	0.151	0.173	
		110	2.661	2.670	2.296	0.036	0.164	0.174	
		120	2.670	2.686	2.296	0.039	0.176	0.175	
		130	2.686	2.702	2.296	0.042	0.188	0.175	
		140	2.717	2.716	2.296	0.045	0.199	0.176	
		150	2.722	2.730	2.296	0.048	0.210	0.176	
		160	2.756	2.744	2.296	0.051	0.221	0.176	
		170	2.754	2.757	2.296	0.054	0.231	0.176	
		180	2.761	2.770	2.296	0.056	0.241	0.176	
		190	2.786	2.783	2.296	0.059	0.250	0.176	
		200	2.783	2.795	2.296	0.062	0.260	0.177	
		210	2.788	2.806	2.296	0.065	0.269	0.177	
		220	2.827	2.818	2.296	0.068	0.277	0.177	
		230	2.812	2.829	2.296	0.070	0.286	0.177	
		240	2.848	2.839	2.296	0.073	0.294	0.177	
		250	2.848	2.850	2.296	0.075	0.301	0.177	
		260	2.884	2.860	2.296	0.078	0.309	0.177	
		270	2.869	2.870	2.296	0.081	0.316	0.177	
		280	2.891	2.879	2.296	0.083	0.323	0.177	
		290	2.883	2.889	2.296	0.086	0.330	0.177	
		300	2.911	2.898	2.296	0.088	0.337	0.177	
		310	2.908	2.907	2.296	0.090	0.343	0.177	
		320	2.934	2.915	2.296	0.093	0.349	0.177	
		330	2.929	2.924	2.296	0.095	0.355	0.177	
		340	2.906	2.932	2.296	0.098	0.361	0.177	

		350	2.937	2.940	2.296	0.100	0.367	0.177	
		360	2.959	2.947	2.296	0.102	0.372	0.177	
		370	2.954	2.955	2.296	0.104	0.377	0.177	
		380	2.976	2.962	2.296	0.107	0.382	0.177	
		390	2.966	2.969	2.296	0.109	0.387	0.177	
		400	2.952	2.976	2.296	0.111	0.392	0.177	
		410	2.991	2.983	2.296	0.113	0.397	0.177	
		420	2.999	2.989	2.296	0.115	0.401	0.177	
		430	2.989	2.996	2.296	0.117	0.405	0.177	
		440	3.013	3.002	2.296	0.120	0.409	0.177	
		450	3.012	3.008	2.296	0.122	0.413	0.177	
		460	3.023	3.014	2.296	0.124	0.417	0.177	
		470	3.024	3.019	2.296	0.126	0.421	0.177	
		480	3.052	3.025	2.296	0.128	0.424	0.177	
		490	3.055	3.031	2.296	0.130	0.428	0.177	
		500	3.053	3.036	2.296	0.132	0.431	0.177	
		510	3.041	3.041	2.296	0.133	0.435	0.177	
		520	3.056	3.046	2.296	0.135	0.438	0.177	
		530	3.053	3.051	2.296	0.137	0.441	0.177	
		540	3.058	3.056	2.296	0.139	0.444	0.177	
		550	3.070	3.060	2.296	0.141	0.447	0.177	
		560	3.051	3.065	2.296	0.143	0.449	0.177	
		570	3.072	3.069	2.296	0.144	0.452	0.177	
		580	3.076	3.074	2.296	0.146	0.454	0.177	
		590	3.092	3.078	2.296	0.148	0.457	0.177	
		600	3.093	3.082	2.296	0.150	0.459	0.177	
GFET #S12	$c^{(CEA)} = 2$ nM $c^{(AFP)} = 50$ nM $c^{(PTH)} = 50$ nM	-50	2.343	2.344	-	-	-	-	$\tilde{c}^{(CEA)} \approx 2.5403 \text{ nM}$ $\tilde{c}^{(AFP)} \approx 24.3765 \text{ nM}$ $\tilde{c}^{(PTH)} \approx 110.6315 \text{ nM}$
		-40	2.335	2.344					
		-30	2.327	2.344					
		-20	2.354	2.344					
		-10	2.352	2.344					
		0	2.355	2.344					
		10	2.491	2.474	2.344	0.003	0.017	0.110	
		20	2.513	2.528	2.344	0.007	0.033	0.144	
		30	2.566	2.558	2.344	0.010	0.049	0.155	
		40	2.586	2.580	2.344	0.013	0.064	0.159	
		50	2.583	2.599	2.344	0.017	0.079	0.160	
		60	2.604	2.617	2.344	0.020	0.093	0.160	
		70	2.637	2.634	2.344	0.023	0.107	0.160	
		80	2.647	2.650	2.344	0.026	0.120	0.160	
		90	2.660	2.666	2.344	0.029	0.133	0.160	
		100	2.687	2.682	2.344	0.032	0.146	0.160	
		110	2.700	2.697	2.344	0.035	0.158	0.160	
		120	2.708	2.712	2.344	0.038	0.169	0.160	
		130	2.728	2.726	2.344	0.041	0.181	0.160	
		140	2.747	2.740	2.344	0.044	0.192	0.160	

	150	2.772	2.753	2.344	0.047	0.202	0.160	
	160	2.793	2.766	2.344	0.050	0.213	0.160	
	170	2.789	2.779	2.344	0.052	0.222	0.160	
	180	2.806	2.791	2.344	0.055	0.232	0.160	
	190	2.806	2.803	2.344	0.058	0.241	0.160	
	200	2.792	2.815	2.344	0.061	0.250	0.160	
	210	2.836	2.826	2.344	0.063	0.259	0.160	
	220	2.836	2.837	2.344	0.066	0.267	0.160	
	230	2.841	2.848	2.344	0.068	0.276	0.160	
	240	2.855	2.859	2.344	0.071	0.283	0.160	
	250	2.856	2.869	2.344	0.074	0.291	0.160	
	260	2.908	2.879	2.344	0.076	0.298	0.160	
	270	2.895	2.888	2.344	0.079	0.306	0.160	
	280	2.919	2.898	2.344	0.081	0.312	0.160	
	290	2.925	2.907	2.344	0.083	0.319	0.160	
	300	2.917	2.916	2.344	0.086	0.326	0.160	
	310	2.946	2.924	2.344	0.088	0.332	0.160	
	320	2.949	2.933	2.344	0.090	0.338	0.160	
	330	2.955	2.941	2.344	0.093	0.344	0.160	
	340	2.943	2.949	2.344	0.095	0.349	0.160	
	350	2.958	2.956	2.344	0.097	0.355	0.160	
	360	2.968	2.964	2.344	0.099	0.360	0.160	
	370	2.973	2.971	2.344	0.102	0.365	0.160	
	380	2.986	2.978	2.344	0.104	0.370	0.160	
	390	2.982	2.985	2.344	0.106	0.375	0.160	
	400	2.973	2.992	2.344	0.108	0.380	0.160	
	410	3.009	2.999	2.344	0.110	0.384	0.160	
	420	3.017	3.005	2.344	0.112	0.389	0.160	
	430	3.006	3.011	2.344	0.114	0.393	0.160	
	440	3.006	3.017	2.344	0.116	0.397	0.160	
	450	3.018	3.023	2.344	0.118	0.401	0.160	
	460	3.025	3.029	2.344	0.120	0.405	0.160	
	470	3.045	3.035	2.344	0.122	0.408	0.160	
	480	3.046	3.040	2.344	0.124	0.412	0.160	
	490	3.047	3.045	2.344	0.126	0.415	0.160	
	500	3.067	3.051	2.344	0.128	0.419	0.160	
	510	3.067	3.056	2.344	0.130	0.422	0.160	
	520	3.068	3.061	2.344	0.132	0.425	0.160	
	530	3.066	3.066	2.344	0.133	0.428	0.160	
	540	3.083	3.070	2.344	0.135	0.431	0.160	
	550	3.112	3.075	2.344	0.137	0.434	0.160	
	560	3.103	3.079	2.344	0.139	0.437	0.160	
	570	3.104	3.084	2.344	0.140	0.439	0.160	
	580	3.108	3.088	2.344	0.142	0.442	0.160	
	590	3.087	3.092	2.344	0.144	0.444	0.160	
	600	3.124	3.096	2.344	0.145	0.447	0.160	

GFET #S13	$c^{(CEA)} = 2$ nM	-50	2.311	2.314	-	-	-	-	$\tilde{c}^{(CEA)} \approx 2.9066 \text{ nM}$
		-40	2.298	2.314					
		-30	2.319	2.314					
		-20	2.312	2.314					
		-10	2.328	2.314					
		0	2.318	2.314	2.314	0.000	0.000	0.000	
		10	2.372	2.360	2.314	0.004	0.035	0.007	
		20	2.415	2.404	2.314	0.008	0.068	0.014	
		30	2.456	2.445	2.314	0.012	0.099	0.021	
		40	2.479	2.483	2.314	0.015	0.128	0.027	
		50	2.527	2.520	2.314	0.019	0.155	0.032	
		60	2.578	2.553	2.314	0.023	0.180	0.038	
		70	2.600	2.585	2.314	0.026	0.203	0.043	
		80	2.626	2.615	2.314	0.030	0.225	0.047	
		90	2.629	2.643	2.314	0.033	0.245	0.052	
		100	2.687	2.670	2.314	0.037	0.264	0.056	
		110	2.707	2.695	2.314	0.040	0.281	0.059	
		120	2.705	2.718	2.314	0.043	0.298	0.063	
		130	2.754	2.740	2.314	0.047	0.313	0.066	
		140	2.737	2.761	2.314	0.050	0.327	0.070	
		150	2.796	2.780	2.314	0.053	0.341	0.073	
		160	2.762	2.798	2.314	0.056	0.353	0.075	
		170	2.823	2.816	2.314	0.060	0.365	0.078	
		180	2.826	2.832	2.314	0.063	0.375	0.081	
		190	2.863	2.847	2.314	0.066	0.385	0.083	
		200	2.852	2.862	2.314	0.069	0.395	0.085	
		210	2.868	2.876	2.314	0.072	0.404	0.087	
		220	2.894	2.889	2.314	0.075	0.412	0.089	
		230	2.898	2.901	2.314	0.078	0.419	0.091	
		240	2.919	2.913	2.314	0.080	0.426	0.092	
		250	2.945	2.924	2.314	0.083	0.433	0.094	
		260	2.937	2.934	2.314	0.086	0.439	0.095	
		270	2.947	2.944	2.314	0.089	0.445	0.097	
		280	2.967	2.953	2.314	0.091	0.450	0.098	
		290	2.973	2.962	2.314	0.094	0.455	0.099	
		300	2.955	2.971	2.314	0.097	0.460	0.100	
		310	2.998	2.979	2.314	0.099	0.464	0.102	
		320	3.010	2.986	2.314	0.102	0.468	0.103	
		330	2.983	2.993	2.314	0.104	0.472	0.103	
		340	3.029	3.000	2.314	0.107	0.475	0.104	
		350	3.014	3.007	2.314	0.109	0.479	0.105	
		360	3.019	3.013	2.314	0.112	0.482	0.106	
		370	3.017	3.019	2.314	0.114	0.485	0.107	
		380	3.019	3.025	2.314	0.117	0.487	0.107	
		390	3.046	3.030	2.314	0.119	0.490	0.108	
		400	3.053	3.035	2.314	0.121	0.492	0.109	

		410	3.050	3.040	2.314	0.124	0.494	0.109	
		420	3.054	3.045	2.314	0.126	0.496	0.110	
		430	3.061	3.050	2.314	0.128	0.498	0.110	
		440	3.072	3.054	2.314	0.130	0.500	0.111	
		450	3.042	3.058	2.314	0.132	0.501	0.111	
		460	3.060	3.062	2.314	0.135	0.503	0.112	
		470	3.094	3.066	2.314	0.137	0.504	0.112	
		480	3.082	3.070	2.314	0.139	0.506	0.112	
		490	3.099	3.074	2.314	0.141	0.507	0.113	
		500	3.064	3.077	2.314	0.143	0.508	0.113	
		510	3.088	3.080	2.314	0.145	0.509	0.113	
		520	3.102	3.084	2.314	0.147	0.510	0.113	
		530	3.086	3.087	2.314	0.149	0.511	0.114	
		540	3.101	3.090	2.314	0.151	0.512	0.114	
		550	3.089	3.093	2.314	0.152	0.513	0.114	
		560	3.087	3.096	2.314	0.154	0.513	0.114	
		570	3.101	3.098	2.314	0.156	0.514	0.115	
		580	3.117	3.101	2.314	0.158	0.515	0.115	
		590	3.112	3.104	2.314	0.160	0.515	0.115	
		600	3.107	3.106	2.314	0.161	0.516	0.115	
		-50	2.295	2.284	-	-	-	-	
		-40	2.302	2.284					
		-30	2.299	2.284					
		-20	2.302	2.284					
		-10	2.283	2.284					
		0	2.277	2.284	2.284	0.000	0.000	0.000	
		10	2.342	2.331	2.284	0.003	0.037	0.007	
		20	2.400	2.376	2.284	0.007	0.071	0.013	
		30	2.428	2.417	2.284	0.010	0.104	0.019	
		40	2.467	2.456	2.284	0.013	0.134	0.025	
		50	2.509	2.493	2.284	0.017	0.163	0.029	$\tilde{c}^{(CEA)} \approx 2.5514 \text{ nM}$
		60	2.546	2.528	2.284	0.020	0.190	0.034	
		70	2.579	2.560	2.284	0.023	0.215	0.038	$\tilde{c}^{(AFP)} \approx 53.0123 \text{ nM}$
		80	2.597	2.591	2.284	0.026	0.239	0.041	
		90	2.639	2.620	2.284	0.029	0.262	0.045	$\tilde{c}^{(PTH)} \approx 6.7043 \text{ nM}$
		100	2.636	2.647	2.284	0.032	0.283	0.048	
		110	2.664	2.673	2.284	0.035	0.303	0.051	
		120	2.689	2.697	2.284	0.038	0.321	0.053	
		130	2.730	2.720	2.284	0.041	0.339	0.056	
		140	2.732	2.742	2.284	0.044	0.355	0.058	
		150	2.771	2.762	2.284	0.047	0.371	0.060	
		160	2.798	2.781	2.284	0.050	0.386	0.061	
		170	2.817	2.799	2.284	0.053	0.399	0.063	
		180	2.814	2.816	2.284	0.056	0.412	0.064	
		190	2.824	2.833	2.284	0.058	0.424	0.066	
		200	2.845	2.848	2.284	0.061	0.436	0.067	

		210	2.880	2.862	2.284	0.064	0.447	0.068	
		220	2.897	2.876	2.284	0.066	0.457	0.069	
		230	2.890	2.889	2.284	0.069	0.466	0.070	
		240	2.904	2.902	2.284	0.072	0.475	0.071	
		250	2.936	2.913	2.284	0.074	0.483	0.072	
		260	2.918	2.924	2.284	0.077	0.491	0.072	
		270	2.951	2.935	2.284	0.079	0.499	0.073	
		280	2.943	2.945	2.284	0.082	0.506	0.073	
		290	2.957	2.955	2.284	0.084	0.512	0.074	
		300	2.971	2.964	2.284	0.086	0.519	0.074	
		310	2.968	2.972	2.284	0.089	0.524	0.075	
		320	2.999	2.980	2.284	0.091	0.530	0.075	
		330	2.971	2.988	2.284	0.093	0.535	0.076	
		340	3.012	2.996	2.284	0.096	0.540	0.076	
		350	3.017	3.003	2.284	0.098	0.544	0.076	
		360	3.022	3.010	2.284	0.100	0.549	0.077	
		370	2.993	3.016	2.284	0.102	0.553	0.077	
		380	3.017	3.022	2.284	0.105	0.556	0.077	
		390	3.030	3.028	2.284	0.107	0.560	0.077	
		400	3.047	3.034	2.284	0.109	0.563	0.077	
		410	3.049	3.039	2.284	0.111	0.566	0.078	
		420	3.037	3.044	2.284	0.113	0.569	0.078	
		430	3.062	3.049	2.284	0.115	0.572	0.078	
		440	3.063	3.054	2.284	0.117	0.575	0.078	
		450	3.066	3.059	2.284	0.119	0.577	0.078	
		460	3.067	3.063	2.284	0.121	0.579	0.078	
		470	3.067	3.067	2.284	0.123	0.582	0.078	
		480	3.058	3.071	2.284	0.125	0.584	0.079	
		490	3.106	3.075	2.284	0.127	0.586	0.079	
		500	3.071	3.079	2.284	0.129	0.587	0.079	
		510	3.119	3.083	2.284	0.131	0.589	0.079	
		520	3.106	3.086	2.284	0.132	0.591	0.079	
		530	3.103	3.090	2.284	0.134	0.592	0.079	
		540	3.110	3.093	2.284	0.136	0.594	0.079	
		550	3.086	3.096	2.284	0.138	0.595	0.079	
		560	3.123	3.099	2.284	0.140	0.596	0.079	
		570	3.129	3.102	2.284	0.141	0.597	0.079	
		580	3.098	3.105	2.284	0.143	0.598	0.079	
		590	3.106	3.108	2.284	0.145	0.600	0.079	
		600	3.118	3.110	2.284	0.146	0.600	0.079	
GFET #S15	$c^{(CEA)} = 2$ nM	-50	2.330	2.307	-	-	-	-	$\tilde{c}^{(CEA)} \approx 2.3187 \text{ nM}$
		-40	2.310	2.307					
	$c^{(AFP)} = 100 \text{ nM}$	-30	2.313	2.307					$\tilde{c}^{(AFP)} \approx 58.1712 \text{ nM}$
		-20	2.289	2.307					
	$c^{(PTH)} = 20$ nM	-10	2.309	2.307					$\tilde{c}^{(PTH)} \approx$
		0	2.294	2.307	2.307	0.000	0.000	0.000	

							34.8122 nM
10	2.379	2.390	2.307	0.003	0.035	0.046	
20	2.473	2.457	2.307	0.006	0.068	0.077	
30	2.498	2.512	2.307	0.009	0.098	0.098	
40	2.566	2.559	2.307	0.012	0.127	0.113	
50	2.611	2.598	2.307	0.015	0.154	0.123	
60	2.639	2.633	2.307	0.018	0.179	0.130	
70	2.683	2.664	2.307	0.021	0.202	0.134	
80	2.689	2.692	2.307	0.023	0.224	0.137	
90	2.739	2.718	2.307	0.026	0.245	0.140	
100	2.763	2.741	2.307	0.029	0.264	0.141	
110	2.771	2.763	2.307	0.032	0.282	0.142	
120	2.786	2.783	2.307	0.034	0.299	0.143	
130	2.833	2.802	2.307	0.037	0.315	0.143	
140	2.810	2.819	2.307	0.039	0.329	0.144	
150	2.830	2.836	2.307	0.042	0.343	0.144	
160	2.828	2.852	2.307	0.045	0.356	0.144	
170	2.861	2.866	2.307	0.047	0.368	0.144	
180	2.886	2.880	2.307	0.050	0.379	0.144	
190	2.891	2.893	2.307	0.052	0.390	0.144	
200	2.899	2.906	2.307	0.055	0.400	0.144	
210	2.943	2.917	2.307	0.057	0.409	0.144	
220	2.933	2.928	2.307	0.059	0.418	0.144	
230	2.954	2.939	2.307	0.062	0.426	0.144	
240	2.952	2.949	2.307	0.064	0.433	0.144	
250	2.958	2.958	2.307	0.066	0.440	0.144	
260	2.991	2.967	2.307	0.069	0.447	0.144	
270	2.986	2.975	2.307	0.071	0.453	0.144	
280	2.984	2.983	2.307	0.073	0.459	0.144	
290	2.975	2.991	2.307	0.075	0.464	0.144	
300	2.993	2.998	2.307	0.078	0.470	0.144	
310	3.007	3.005	2.307	0.080	0.474	0.144	
320	3.003	3.012	2.307	0.082	0.479	0.144	
330	3.026	3.018	2.307	0.084	0.483	0.144	
340	3.026	3.024	2.307	0.086	0.487	0.144	
350	3.055	3.030	2.307	0.088	0.490	0.144	
360	3.023	3.035	2.307	0.090	0.494	0.144	
370	3.061	3.040	2.307	0.092	0.497	0.144	
380	3.065	3.045	2.307	0.094	0.500	0.144	
390	3.070	3.050	2.307	0.096	0.503	0.144	
400	3.043	3.055	2.307	0.098	0.505	0.144	
410	3.074	3.059	2.307	0.100	0.508	0.144	
420	3.036	3.063	2.307	0.102	0.510	0.144	
430	3.053	3.067	2.307	0.104	0.512	0.144	
440	3.083	3.071	2.307	0.106	0.514	0.144	
450	3.076	3.075	2.307	0.107	0.516	0.144	
460	3.086	3.078	2.307	0.109	0.518	0.144	

		470	3.103	3.082	2.307	0.111	0.519	0.144	
		480	3.083	3.085	2.307	0.113	0.521	0.144	
		490	3.090	3.088	2.307	0.115	0.522	0.144	
		500	3.104	3.091	2.307	0.116	0.524	0.144	
		510	3.107	3.094	2.307	0.118	0.525	0.144	
		520	3.109	3.097	2.307	0.120	0.526	0.144	
		530	3.108	3.100	2.307	0.121	0.527	0.144	
		540	3.107	3.103	2.307	0.123	0.528	0.144	
		550	3.112	3.105	2.307	0.125	0.529	0.144	
		560	3.129	3.108	2.307	0.126	0.530	0.144	
		570	3.127	3.110	2.307	0.128	0.531	0.144	
		580	3.139	3.113	2.307	0.130	0.532	0.144	
		590	3.143	3.115	2.307	0.131	0.532	0.144	
		600	3.130	3.117	2.307	0.133	0.533	0.144	
GFET #S16	$c^{(CEA)} = 2$ nM $c^{(AFP)} = 100$ nM $c^{(PTH)} = 50$ nM	-50	2.322	2.301	-	-	-	-	$\tilde{c}^{(CEA)} \approx 2.4532$ nM $\tilde{c}^{(AFP)} \approx 54.0981$ nM $\tilde{c}^{(PTH)} \approx 93.5644$ nM
		-40	2.322	2.301					
		-30	2.302	2.301					
		-20	2.312	2.301					
		-10	2.301	2.301					
		0	2.294	2.301					
		10	2.416	2.403					
		20	2.457	2.463					
		30	2.513	2.505					
		40	2.526	2.540					
		50	2.565	2.571					
		60	2.594	2.599					
		70	2.626	2.625					
		80	2.663	2.650					
		90	2.660	2.674					
		100	2.697	2.696					
		110	2.738	2.717					
		120	2.722	2.737					
		130	2.773	2.756					
		140	2.770	2.774					
		150	2.790	2.791					
		160	2.805	2.806					
		170	2.808	2.822					
		180	2.843	2.836					
		190	2.870	2.849					
		200	2.862	2.862					
		210	2.893	2.874					
		220	2.917	2.886					
		230	2.929	2.897					
		240	2.928	2.907					
		250	2.943	2.917					
		260	2.946	2.927					

		270	2.938	2.936	2.301	0.070	0.461	0.104	
		280	2.938	2.944	2.301	0.073	0.467	0.104	
		290	2.996	2.952	2.301	0.075	0.473	0.104	
		300	2.983	2.960	2.301	0.077	0.478	0.104	
		310	2.987	2.968	2.301	0.079	0.484	0.104	
		320	2.998	2.975	2.301	0.081	0.489	0.104	
		330	2.995	2.981	2.301	0.083	0.493	0.104	
		340	3.011	2.988	2.301	0.085	0.498	0.104	
		350	2.969	2.994	2.301	0.087	0.502	0.104	
		360	2.998	3.000	2.301	0.089	0.505	0.104	
		370	3.024	3.005	2.301	0.091	0.509	0.104	
		380	3.019	3.011	2.301	0.093	0.512	0.104	
		390	3.017	3.016	2.301	0.095	0.516	0.104	
		400	3.041	3.021	2.301	0.097	0.519	0.104	
		410	3.024	3.025	2.301	0.099	0.521	0.104	
		420	3.030	3.030	2.301	0.101	0.524	0.104	
		430	3.034	3.034	2.301	0.103	0.527	0.104	
		440	3.027	3.038	2.301	0.105	0.529	0.104	
		450	3.050	3.042	2.301	0.106	0.531	0.104	
		460	3.037	3.046	2.301	0.108	0.533	0.104	
		470	3.048	3.050	2.301	0.110	0.535	0.104	
		480	3.074	3.053	2.301	0.112	0.537	0.104	
		490	3.047	3.057	2.301	0.113	0.539	0.104	
		500	3.066	3.060	2.301	0.115	0.540	0.104	
		510	3.078	3.063	2.301	0.117	0.542	0.104	
		520	3.068	3.066	2.301	0.118	0.543	0.104	
		530	3.067	3.069	2.301	0.120	0.544	0.104	
		540	3.070	3.072	2.301	0.122	0.546	0.104	
		550	3.065	3.075	2.301	0.123	0.547	0.104	
		560	3.070	3.077	2.301	0.125	0.548	0.104	
		570	3.056	3.080	2.301	0.126	0.549	0.104	
		580	3.087	3.083	2.301	0.128	0.550	0.104	
		590	3.100	3.085	2.301	0.129	0.551	0.104	
		600	3.110	3.087	2.301	0.131	0.552	0.104	
GFET #S17	$c^{(CEA)} = 5 \text{ nM}$	-50	2.334	2.325	-	-	-	-	$\tilde{c}^{(CEA)} \approx 5.1873 \text{ nM}$ $\tilde{c}^{(AFP)} \approx 6.6043 \text{ nM}$ $\tilde{c}^{(PTH)} \approx 5.2176 \text{ nM}$
		-40	2.331	2.325					
		-30	2.331	2.325					
		-20	2.330	2.325					
		-10	2.324	2.325					
	$c^{(AFP)} = 5 \text{ nM}$	0	2.332	2.325	2.325	0.000	0.000	0.000	
		10	2.390	2.350	2.325	0.008	0.005	0.011	
		20	2.368	2.373	2.325	0.017	0.010	0.021	
		30	2.400	2.396	2.325	0.025	0.015	0.031	
		40	2.447	2.418	2.325	0.033	0.020	0.040	
	$c^{(PTH)} = 2 \text{ nM}$	50	2.444	2.439	2.325	0.041	0.025	0.048	
		60	2.454	2.458	2.325	0.048	0.030	0.056	

	70	2.500	2.478	2.325	0.056	0.034	0.063	
	80	2.507	2.496	2.325	0.063	0.039	0.069	
	90	2.548	2.514	2.325	0.070	0.044	0.075	
	100	2.520	2.531	2.325	0.077	0.048	0.081	
	110	2.557	2.547	2.325	0.084	0.052	0.086	
	120	2.560	2.563	2.325	0.091	0.057	0.091	
	130	2.611	2.578	2.325	0.097	0.061	0.095	
	140	2.637	2.593	2.325	0.104	0.065	0.099	
	150	2.633	2.607	2.325	0.110	0.069	0.103	
	160	2.625	2.621	2.325	0.116	0.073	0.107	
	170	2.631	2.634	2.325	0.122	0.078	0.110	
	180	2.646	2.647	2.325	0.128	0.081	0.113	
	190	2.678	2.660	2.325	0.134	0.085	0.116	
	200	2.714	2.672	2.325	0.139	0.089	0.118	
	210	2.688	2.683	2.325	0.145	0.093	0.121	
	220	2.694	2.695	2.325	0.150	0.097	0.123	
	230	2.721	2.706	2.325	0.156	0.100	0.125	
	240	2.726	2.716	2.325	0.161	0.104	0.127	
	250	2.739	2.727	2.325	0.166	0.108	0.128	
	260	2.779	2.737	2.325	0.171	0.111	0.130	
	270	2.728	2.747	2.325	0.176	0.115	0.132	
	280	2.768	2.756	2.325	0.180	0.118	0.133	
	290	2.774	2.765	2.325	0.185	0.121	0.134	
	300	2.788	2.774	2.325	0.190	0.125	0.135	
	310	2.786	2.783	2.325	0.194	0.128	0.137	
	320	2.805	2.792	2.325	0.198	0.131	0.138	
	330	2.810	2.800	2.325	0.203	0.134	0.138	
	340	2.835	2.808	2.325	0.207	0.137	0.139	
	350	2.818	2.816	2.325	0.211	0.140	0.140	
	360	2.838	2.824	2.325	0.215	0.143	0.141	
	370	2.822	2.832	2.325	0.219	0.146	0.142	
	380	2.849	2.839	2.325	0.223	0.149	0.142	
	390	2.830	2.846	2.325	0.226	0.152	0.143	
	400	2.850	2.853	2.325	0.230	0.155	0.143	
	410	2.871	2.860	2.325	0.234	0.158	0.144	
	420	2.881	2.867	2.325	0.237	0.160	0.144	
	430	2.879	2.873	2.325	0.241	0.163	0.145	
	440	2.875	2.880	2.325	0.244	0.166	0.145	
	450	2.899	2.886	2.325	0.247	0.168	0.146	
	460	2.907	2.892	2.325	0.250	0.171	0.146	
	470	2.915	2.898	2.325	0.254	0.174	0.146	
	480	2.922	2.904	2.325	0.257	0.176	0.147	
	490	2.929	2.910	2.325	0.260	0.179	0.147	
	500	2.913	2.915	2.325	0.263	0.181	0.147	
	510	2.926	2.921	2.325	0.265	0.183	0.147	
	520	2.938	2.926	2.325	0.268	0.186	0.148	

		530	2.964	2.932	2.325	0.271	0.188	0.148	
		540	2.948	2.937	2.325	0.274	0.190	0.148	
		550	2.957	2.942	2.325	0.276	0.193	0.148	
		560	2.961	2.947	2.325	0.279	0.195	0.148	
		570	2.971	2.952	2.325	0.282	0.197	0.148	
		580	2.974	2.956	2.325	0.284	0.199	0.149	
		590	2.958	2.961	2.325	0.286	0.201	0.149	
		600	2.966	2.966	2.325	0.289	0.203	0.149	
GFET #S18	$c^{(CEA)} = 5 \text{ nM}$ $c^{(AFP)} = 5 \text{ nM}$ $c^{(PTH)} = 5 \text{ nM}$	-50	2.295	2.293	-	-	-	-	$\tilde{c}^{(CEA)} \approx 4.7023 \text{ nM}$ $\tilde{c}^{(AFP)} \approx 5.9876 \text{ nM}$ $\tilde{c}^{(PTH)} \approx 15.4409 \text{ nM}$
		-40	2.306	2.293					
		-30	2.314	2.293					
		-20	2.281	2.293					
		-10	2.283	2.293					
		0	2.307	2.293	2.293	0.000	0.000	0.000	
		10	2.334	2.339	2.293	0.008	0.005	0.032	
		20	2.386	2.378	2.293	0.016	0.009	0.059	
		30	2.436	2.413	2.293	0.024	0.014	0.081	
		40	2.486	2.444	2.293	0.032	0.019	0.100	
		50	2.482	2.472	2.293	0.040	0.023	0.116	
		60	2.520	2.497	2.293	0.047	0.028	0.129	
		70	2.552	2.520	2.293	0.055	0.032	0.140	
		80	2.547	2.540	2.293	0.062	0.036	0.149	
		90	2.566	2.559	2.293	0.069	0.040	0.156	
		100	2.588	2.576	2.293	0.076	0.045	0.162	
		110	2.596	2.592	2.293	0.083	0.049	0.168	
		120	2.611	2.608	2.293	0.089	0.053	0.172	
		130	2.648	2.622	2.293	0.096	0.057	0.176	
		140	2.670	2.635	2.293	0.102	0.061	0.179	
		150	2.661	2.648	2.293	0.109	0.065	0.181	
		160	2.678	2.660	2.293	0.115	0.068	0.183	
		170	2.698	2.671	2.293	0.121	0.072	0.185	
		180	2.706	2.683	2.293	0.127	0.076	0.187	
		190	2.697	2.693	2.293	0.132	0.079	0.188	
		200	2.694	2.704	2.293	0.138	0.083	0.189	
		210	2.713	2.713	2.293	0.144	0.087	0.190	
		220	2.726	2.723	2.293	0.149	0.090	0.190	
		230	2.726	2.733	2.293	0.155	0.094	0.191	
		240	2.739	2.742	2.293	0.160	0.097	0.192	
		250	2.750	2.751	2.293	0.165	0.100	0.192	
		260	2.777	2.759	2.293	0.170	0.104	0.192	
		270	2.775	2.768	2.293	0.175	0.107	0.193	
		280	2.784	2.776	2.293	0.180	0.110	0.193	
		290	2.782	2.784	2.293	0.185	0.113	0.193	
		300	2.821	2.792	2.293	0.189	0.116	0.193	
		310	2.796	2.800	2.293	0.194	0.119	0.193	
		320	2.828	2.807	2.293	0.198	0.122	0.193	

		330	2.817	2.815	2.293	0.203	0.125	0.194	
		340	2.817	2.822	2.293	0.207	0.128	0.194	
		350	2.824	2.829	2.293	0.211	0.131	0.194	
		360	2.855	2.836	2.293	0.215	0.134	0.194	
		370	2.831	2.843	2.293	0.219	0.137	0.194	
		380	2.840	2.850	2.293	0.223	0.140	0.194	
		390	2.862	2.857	2.293	0.227	0.142	0.194	
		400	2.857	2.863	2.293	0.231	0.145	0.194	
		410	2.887	2.870	2.293	0.235	0.148	0.194	
		420	2.879	2.876	2.293	0.238	0.150	0.194	
		430	2.880	2.882	2.293	0.242	0.153	0.194	
		440	2.892	2.888	2.293	0.246	0.155	0.194	
		450	2.918	2.894	2.293	0.249	0.158	0.194	
		460	2.902	2.900	2.293	0.252	0.160	0.194	
		470	2.896	2.906	2.293	0.256	0.163	0.194	
		480	2.911	2.911	2.293	0.259	0.165	0.194	
		490	2.927	2.917	2.293	0.262	0.167	0.194	
		500	2.942	2.922	2.293	0.265	0.170	0.194	
		510	2.930	2.928	2.293	0.268	0.172	0.194	
		520	2.928	2.933	2.293	0.271	0.174	0.194	
		530	2.987	2.938	2.293	0.274	0.176	0.194	
		540	2.947	2.943	2.293	0.277	0.179	0.194	
		550	2.962	2.948	2.293	0.280	0.181	0.194	
		560	2.935	2.953	2.293	0.283	0.183	0.194	
		570	2.956	2.958	2.293	0.286	0.185	0.194	
		580	2.958	2.963	2.293	0.288	0.187	0.194	
		590	2.969	2.967	2.293	0.291	0.189	0.194	
		600	2.959	2.972	2.293	0.294	0.191	0.194	
GFET #S19	$c^{(CEA)} = 5 \text{ nM}$	-50	2.347	2.331	-	-	-	-	$\tilde{c}^{(CEA)} \approx 4.4876 \text{ nM}$ $\tilde{c}^{(AFP)} \approx 7.3543 \text{ nM}$ $\tilde{c}^{(PTH)} \approx 41.3266 \text{ nM}$
		-40	2.335	2.331					
		-30	2.351	2.331					
		-20	2.339	2.331					
		-10	2.335	2.331					
	$c^{(AFP)} = 5 \text{ nM}$	0	2.358	2.331	2.331	0.000	0.000	0.000	
		10	2.433	2.415	2.331	0.007	0.005	0.072	
		20	2.495	2.473	2.331	0.015	0.010	0.118	
		30	2.537	2.514	2.331	0.022	0.015	0.147	
	$c^{(PTH)} = 20 \text{ nM}$	40	2.554	2.545	2.331	0.029	0.019	0.166	
		50	2.582	2.568	2.331	0.035	0.024	0.178	
		60	2.596	2.587	2.331	0.042	0.029	0.186	
		70	2.634	2.603	2.331	0.049	0.033	0.191	
		80	2.641	2.617	2.331	0.055	0.038	0.194	
		90	2.670	2.630	2.331	0.061	0.042	0.196	
		100	2.645	2.642	2.331	0.068	0.046	0.197	
		110	2.642	2.653	2.331	0.074	0.050	0.198	
		120	2.674	2.664	2.331	0.080	0.055	0.198	

	130	2.685	2.674	2.331	0.086	0.059	0.199	
	140	2.682	2.684	2.331	0.091	0.063	0.199	
	150	2.683	2.694	2.331	0.097	0.067	0.199	
	160	2.710	2.703	2.331	0.102	0.071	0.199	
	170	2.714	2.712	2.331	0.108	0.074	0.199	
	180	2.723	2.722	2.331	0.113	0.078	0.199	
	190	2.738	2.730	2.331	0.118	0.082	0.199	
	200	2.768	2.739	2.331	0.124	0.086	0.199	
	210	2.781	2.748	2.331	0.129	0.089	0.199	
	220	2.750	2.756	2.331	0.133	0.093	0.199	
	230	2.779	2.765	2.331	0.138	0.096	0.199	
	240	2.801	2.773	2.331	0.143	0.100	0.199	
	250	2.795	2.781	2.331	0.148	0.103	0.199	
	260	2.792	2.789	2.331	0.152	0.106	0.199	
	270	2.799	2.797	2.331	0.157	0.110	0.199	
	280	2.806	2.804	2.331	0.161	0.113	0.199	
	290	2.843	2.812	2.331	0.165	0.116	0.199	
	300	2.835	2.819	2.331	0.170	0.119	0.199	
	310	2.879	2.826	2.331	0.174	0.122	0.199	
	320	2.844	2.833	2.331	0.178	0.125	0.199	
	330	2.834	2.840	2.331	0.182	0.128	0.199	
	340	2.836	2.847	2.331	0.186	0.131	0.199	
	350	2.883	2.854	2.331	0.190	0.134	0.199	
	360	2.871	2.860	2.331	0.193	0.137	0.199	
	370	2.877	2.867	2.331	0.197	0.140	0.199	
	380	2.886	2.873	2.331	0.201	0.142	0.199	
	390	2.884	2.880	2.331	0.204	0.145	0.199	
	400	2.876	2.886	2.331	0.208	0.148	0.199	
	410	2.896	2.892	2.331	0.211	0.150	0.199	
	420	2.904	2.898	2.331	0.215	0.153	0.199	
	430	2.934	2.904	2.331	0.218	0.155	0.199	
	440	2.906	2.909	2.331	0.221	0.158	0.199	
	450	2.924	2.915	2.331	0.224	0.160	0.199	
	460	2.929	2.920	2.331	0.227	0.163	0.199	
	470	2.957	2.926	2.331	0.231	0.165	0.199	
	480	2.937	2.931	2.331	0.234	0.168	0.199	
	490	2.950	2.936	2.331	0.236	0.170	0.199	
	500	2.951	2.942	2.331	0.239	0.172	0.199	
	510	2.967	2.947	2.331	0.242	0.174	0.199	
	520	2.957	2.952	2.331	0.245	0.176	0.199	
	530	2.956	2.957	2.331	0.248	0.179	0.199	
	540	2.994	2.961	2.331	0.250	0.181	0.199	
	550	2.969	2.966	2.331	0.253	0.183	0.199	
	560	2.989	2.971	2.331	0.256	0.185	0.199	
	570	2.988	2.975	2.331	0.258	0.187	0.199	
	580	2.994	2.980	2.331	0.261	0.189	0.199	

		590	2.999	2.984	2.331	0.263	0.191	0.199	
		600	3.017	2.988	2.331	0.265	0.193	0.199	
GFET #S20	$c^{(CEA)} = 5$ nM	-50	2.369	2.330	-	-	-	-	$\tilde{c}^{(CEA)} \approx 3.9865 \text{ nM}$
		-40	2.351	2.330					
		-30	2.351	2.330					
		-20	2.332	2.330					
		-10	2.346	2.330					
		0	2.337	2.330					
		10	2.472	2.470					
		20	2.549	2.531					
		30	2.566	2.560					
		40	2.591	2.578					
		50	2.602	2.591					
		60	2.612	2.603					
		70	2.626	2.613					
		80	2.654	2.623					
		90	2.630	2.633					
		100	2.654	2.643					
		110	2.677	2.652					
		120	2.691	2.662					
		130	2.664	2.671					
		140	2.674	2.680					
		150	2.691	2.689					
	$c^{(AFP)} = 5$ nM	160	2.701	2.698					
		170	2.731	2.706					
	$c^{(PTH)} = 50$ nM	180	2.719	2.715					
		190	2.736	2.723					
		200	2.766	2.731					
		210	2.732	2.739					
		220	2.759	2.747					
		230	2.762	2.755					
		240	2.791	2.763					
		250	2.759	2.770					
		260	2.801	2.778					
		270	2.786	2.785					
		280	2.808	2.792					
		290	2.789	2.799					
		300	2.834	2.806					
		310	2.810	2.813					
		320	2.807	2.820					
		330	2.832	2.827					
		340	2.823	2.833					
		350	2.844	2.840					
		360	2.860	2.846					
		370	2.859	2.852					
		380	2.909	2.858					

		390	2.871	2.864	2.330	0.178	0.147	0.209	
		400	2.892	2.870	2.330	0.181	0.150	0.209	
		410	2.882	2.876	2.330	0.184	0.153	0.209	
		420	2.887	2.882	2.330	0.187	0.156	0.209	
		430	2.886	2.887	2.330	0.190	0.158	0.209	
		440	2.917	2.893	2.330	0.193	0.161	0.209	
		450	2.904	2.898	2.330	0.196	0.163	0.209	
		460	2.923	2.904	2.330	0.199	0.166	0.209	
		470	2.909	2.909	2.330	0.202	0.168	0.209	
		480	2.937	2.914	2.330	0.204	0.171	0.209	
		490	2.959	2.919	2.330	0.207	0.173	0.209	
		500	2.939	2.924	2.330	0.210	0.176	0.209	
		510	2.917	2.929	2.330	0.212	0.178	0.209	
		520	2.926	2.934	2.330	0.215	0.180	0.209	
		530	2.946	2.939	2.330	0.218	0.183	0.209	
		540	2.932	2.944	2.330	0.220	0.185	0.209	
		550	2.946	2.948	2.330	0.223	0.187	0.209	
		560	2.964	2.953	2.330	0.225	0.189	0.209	
		570	2.953	2.957	2.330	0.227	0.191	0.209	
		580	2.984	2.962	2.330	0.230	0.193	0.209	
		590	2.974	2.966	2.330	0.232	0.195	0.209	
		600	2.998	2.971	2.330	0.234	0.197	0.209	
GFET #S21	$c^{(CEA)} = 5$ nM $c^{(AFP)} = 20$ nM $c^{(PTH)} = 2$ nM	-50	2.336	2.319	-	-	-	-	$\tilde{c}^{(CEA)} \approx 5.3451 \text{ nM}$ $\tilde{c}^{(AFP)} \approx 14.0981 \text{ nM}$ $\tilde{c}^{(PTH)} \approx 6.4231 \text{ nM}$
		-40	2.325	2.319					
		-30	2.358	2.319					
		-20	2.356	2.319					
		-10	2.337	2.319					
		0	2.338	2.319	2.319	0.000	0.000	0.000	
		10	2.367	2.352	2.319	0.007	0.009	0.016	
		20	2.389	2.382	2.319	0.014	0.018	0.031	
		30	2.432	2.411	2.319	0.021	0.027	0.044	
		40	2.455	2.439	2.319	0.027	0.035	0.057	
		50	2.478	2.465	2.319	0.034	0.043	0.068	
		60	2.499	2.489	2.319	0.040	0.052	0.078	
		70	2.526	2.513	2.319	0.047	0.059	0.088	
		80	2.530	2.535	2.319	0.053	0.067	0.096	
		90	2.585	2.557	2.319	0.059	0.075	0.104	
		100	2.593	2.577	2.319	0.064	0.082	0.111	
		110	2.603	2.597	2.319	0.070	0.089	0.118	
		120	2.623	2.615	2.319	0.076	0.096	0.124	
		130	2.651	2.633	2.319	0.081	0.103	0.129	
		140	2.656	2.650	2.319	0.086	0.110	0.134	
		150	2.691	2.667	2.319	0.092	0.117	0.139	
		160	2.707	2.683	2.319	0.097	0.123	0.143	
		170	2.717	2.698	2.319	0.102	0.129	0.147	
		180	2.716	2.712	2.319	0.107	0.136	0.151	

		190	2.736	2.726	2.319	0.111	0.142	0.154	
		200	2.732	2.740	2.319	0.116	0.148	0.157	
		210	2.762	2.753	2.319	0.121	0.153	0.159	
		220	2.783	2.765	2.319	0.125	0.159	0.162	
		230	2.760	2.777	2.319	0.129	0.164	0.164	
		240	2.800	2.789	2.319	0.134	0.170	0.166	
		250	2.818	2.800	2.319	0.138	0.175	0.168	
		260	2.839	2.811	2.319	0.142	0.180	0.170	
		270	2.839	2.822	2.319	0.146	0.185	0.171	
		280	2.830	2.832	2.319	0.150	0.190	0.173	
		290	2.850	2.842	2.319	0.154	0.195	0.174	
		300	2.856	2.852	2.319	0.157	0.200	0.175	
		310	2.876	2.861	2.319	0.161	0.204	0.177	
		320	2.878	2.870	2.319	0.165	0.209	0.178	
		330	2.876	2.879	2.319	0.168	0.213	0.178	
		340	2.896	2.888	2.319	0.172	0.217	0.179	
		350	2.882	2.896	2.319	0.175	0.222	0.180	
		360	2.885	2.904	2.319	0.178	0.226	0.181	
		370	2.921	2.912	2.319	0.181	0.230	0.181	
		380	2.912	2.919	2.319	0.184	0.234	0.182	
		390	2.936	2.927	2.319	0.188	0.237	0.183	
		400	2.946	2.934	2.319	0.191	0.241	0.183	
		410	2.956	2.941	2.319	0.193	0.245	0.183	
		420	2.947	2.948	2.319	0.196	0.248	0.184	
		430	2.959	2.955	2.319	0.199	0.252	0.184	
		440	2.984	2.961	2.319	0.202	0.255	0.185	
		450	2.965	2.967	2.319	0.205	0.259	0.185	
		460	2.997	2.974	2.319	0.207	0.262	0.185	
		470	3.006	2.980	2.319	0.210	0.265	0.185	
		480	2.985	2.986	2.319	0.212	0.268	0.186	
		490	3.014	2.991	2.319	0.215	0.271	0.186	
		500	2.995	2.997	2.319	0.217	0.274	0.186	
		510	3.033	3.002	2.319	0.219	0.277	0.186	
		520	3.018	3.008	2.319	0.222	0.280	0.187	
		530	3.019	3.013	2.319	0.224	0.283	0.187	
		540	3.000	3.018	2.319	0.226	0.285	0.187	
		550	3.011	3.023	2.319	0.228	0.288	0.187	
		560	3.033	3.028	2.319	0.230	0.291	0.187	
		570	3.030	3.032	2.319	0.233	0.293	0.187	
		580	3.026	3.037	2.319	0.235	0.296	0.187	
		590	3.060	3.041	2.319	0.236	0.298	0.187	
		600	3.083	3.046	2.319	0.238	0.301	0.187	
GFET #S22	$c^{(CEA)} = 5$ nM	-50	2.340	2.318	-	-	-	-	$\tilde{c}^{(CEA)} \approx 5.5876 \text{ nM}$ $\tilde{c}^{(AFP)} \approx 14.4432 \text{ nM}$
		-40	2.321	2.318					
	$c^{(AFP)} = 20$ nM	-30	2.316	2.318					
		-20	2.318	2.318					

$c^{(PTH)} = 5$ nM	-10	2.310	2.318				
	0	2.327	2.318	2.318	0.000	0.000	0.000
	10	2.385	2.367	2.318	0.008	0.009	0.032
	20	2.410	2.410	2.318	0.015	0.018	0.059
	30	2.456	2.449	2.318	0.022	0.027	0.082
	40	2.477	2.484	2.318	0.029	0.035	0.101
	50	2.528	2.515	2.318	0.036	0.044	0.117
	60	2.567	2.544	2.318	0.043	0.052	0.131
	70	2.569	2.570	2.318	0.050	0.060	0.142
	80	2.604	2.594	2.318	0.056	0.068	0.152
	90	2.627	2.616	2.318	0.062	0.075	0.160
	100	2.614	2.637	2.318	0.069	0.083	0.167
	110	2.675	2.656	2.318	0.075	0.090	0.173
	120	2.657	2.674	2.318	0.080	0.097	0.178
	130	2.687	2.690	2.318	0.086	0.104	0.182
	140	2.720	2.706	2.318	0.092	0.111	0.185
	150	2.724	2.721	2.318	0.097	0.118	0.188
	160	2.741	2.736	2.318	0.103	0.124	0.191
	170	2.747	2.749	2.318	0.108	0.130	0.193
	180	2.755	2.763	2.318	0.113	0.137	0.195
	190	2.773	2.775	2.318	0.118	0.143	0.196
	200	2.806	2.787	2.318	0.123	0.149	0.197
	210	2.784	2.799	2.318	0.128	0.154	0.198
	220	2.829	2.810	2.318	0.132	0.160	0.199
	230	2.841	2.821	2.318	0.137	0.165	0.200
	240	2.841	2.831	2.318	0.141	0.171	0.201
	250	2.866	2.842	2.318	0.146	0.176	0.201
	260	2.852	2.851	2.318	0.150	0.181	0.202
	270	2.863	2.861	2.318	0.154	0.186	0.202
	280	2.882	2.870	2.318	0.158	0.191	0.202
	290	2.888	2.879	2.318	0.162	0.196	0.203
	300	2.888	2.888	2.318	0.166	0.201	0.203
	310	2.892	2.897	2.318	0.170	0.205	0.203
	320	2.929	2.905	2.318	0.174	0.210	0.203
	330	2.915	2.913	2.318	0.177	0.214	0.203
	340	2.958	2.921	2.318	0.181	0.218	0.203
	350	2.921	2.929	2.318	0.184	0.223	0.204
	360	2.953	2.936	2.318	0.188	0.227	0.204
	370	2.978	2.944	2.318	0.191	0.231	0.204
	380	2.981	2.951	2.318	0.194	0.235	0.204
	390	2.957	2.958	2.318	0.197	0.238	0.204
	400	2.985	2.965	2.318	0.201	0.242	0.204
	410	2.996	2.972	2.318	0.204	0.246	0.204
	420	2.965	2.978	2.318	0.207	0.249	0.204
	430	3.002	2.985	2.318	0.209	0.253	0.204
	440	3.029	2.991	2.318	0.212	0.256	0.204

		450	2.993	2.997	2.318	0.215	0.259	0.204	
		460	3.022	3.003	2.318	0.218	0.263	0.204	
		470	3.013	3.009	2.318	0.220	0.266	0.204	
		480	3.017	3.014	2.318	0.223	0.269	0.204	
		490	3.018	3.020	2.318	0.225	0.272	0.204	
		500	3.022	3.025	2.318	0.228	0.275	0.204	
		510	3.038	3.031	2.318	0.230	0.278	0.204	
		520	3.041	3.036	2.318	0.233	0.281	0.204	
		530	3.051	3.041	2.318	0.235	0.283	0.204	
		540	3.062	3.046	2.318	0.237	0.286	0.204	
		550	3.068	3.051	2.318	0.239	0.289	0.204	
		560	3.065	3.055	2.318	0.241	0.291	0.204	
		570	3.074	3.060	2.318	0.244	0.294	0.204	
		580	3.093	3.064	2.318	0.246	0.296	0.204	
		590	3.079	3.069	2.318	0.248	0.299	0.204	
		600	3.109	3.073	2.318	0.250	0.301	0.204	
		-50	2.289	2.284	-	-	-	-	
		-40	2.303	2.284					
		-30	2.307	2.284					
		-20	2.291	2.284					
		-10	2.304	2.284					
		0	2.289	2.284					
		10	2.407	2.403					
		20	2.487	2.478					
		30	2.525	2.527					
		40	2.602	2.561					
		50	2.593	2.586					
		60	2.599	2.606					
		70	2.631	2.623					
		80	2.681	2.639					
GFET #S23	$c^{(CEA)} = 5$ nM	90	2.666	2.653	2.284	0.050	0.073	0.245	$\tilde{c}^{(CEA)} \approx 3.9872$ nM
		100	2.676	2.666	2.284	0.055	0.081	0.246	
		110	2.702	2.678	2.284	0.060	0.088	0.246	
		120	2.708	2.690	2.284	0.065	0.095	0.247	
		130	2.715	2.702	2.284	0.070	0.102	0.247	
	$c^{(AFP)} = 20$ nM	140	2.714	2.714	2.284	0.075	0.108	0.247	$\tilde{c}^{(AFP)} \approx 12.5629$ nM
		150	2.736	2.725	2.284	0.079	0.115	0.247	
		160	2.750	2.736	2.284	0.084	0.121	0.247	
		170	2.777	2.747	2.284	0.088	0.128	0.247	
		180	2.776	2.758	2.284	0.093	0.134	0.247	
	$c^{(PTH)} = 20$ nM	190	2.765	2.768	2.284	0.097	0.140	0.247	$\tilde{c}^{(PTH)} \approx 51.4323$ nM
		200	2.772	2.778	2.284	0.102	0.146	0.247	
		210	2.799	2.788	2.284	0.106	0.151	0.247	
		220	2.816	2.798	2.284	0.110	0.157	0.247	
		230	2.845	2.808	2.284	0.114	0.163	0.247	
		240	2.820	2.817	2.284	0.118	0.168	0.247	

		250	2.855	2.826	2.284	0.122	0.173	0.247	
		260	2.858	2.835	2.284	0.126	0.179	0.247	
		270	2.862	2.844	2.284	0.130	0.184	0.247	
		280	2.851	2.853	2.284	0.133	0.189	0.247	
		290	2.874	2.861	2.284	0.137	0.194	0.247	
		300	2.891	2.870	2.284	0.141	0.198	0.247	
		310	2.894	2.878	2.284	0.144	0.203	0.247	
		320	2.915	2.886	2.284	0.148	0.208	0.247	
		330	2.888	2.894	2.284	0.151	0.212	0.247	
		340	2.898	2.902	2.284	0.154	0.216	0.247	
		350	2.917	2.909	2.284	0.158	0.221	0.247	
		360	2.921	2.917	2.284	0.161	0.225	0.247	
		370	2.946	2.924	2.284	0.164	0.229	0.247	
		380	2.952	2.931	2.284	0.167	0.233	0.247	
		390	2.942	2.938	2.284	0.170	0.237	0.247	
		400	2.982	2.945	2.284	0.173	0.241	0.247	
		410	2.961	2.952	2.284	0.176	0.245	0.247	
		420	2.949	2.959	2.284	0.179	0.248	0.247	
		430	2.980	2.965	2.284	0.182	0.252	0.247	
		440	2.996	2.972	2.284	0.185	0.256	0.247	
		450	3.001	2.978	2.284	0.188	0.259	0.247	
		460	3.005	2.984	2.284	0.191	0.262	0.247	
		470	3.002	2.990	2.284	0.193	0.266	0.247	
		480	2.991	2.996	2.284	0.196	0.269	0.247	
		490	3.015	3.002	2.284	0.198	0.272	0.247	
		500	3.017	3.007	2.284	0.201	0.275	0.247	
		510	3.017	3.013	2.284	0.204	0.278	0.247	
		520	3.035	3.018	2.284	0.206	0.281	0.247	
		530	3.035	3.024	2.284	0.208	0.284	0.247	
		540	3.034	3.029	2.284	0.211	0.287	0.247	
		550	3.039	3.034	2.284	0.213	0.290	0.247	
		560	3.065	3.039	2.284	0.215	0.293	0.247	
		570	3.065	3.044	2.284	0.218	0.295	0.247	
		580	3.066	3.049	2.284	0.220	0.298	0.247	
		590	3.056	3.054	2.284	0.222	0.301	0.247	
		600	3.031	3.058	2.284	0.224	0.303	0.247	
GFET #S24	$c^{(CEA)} = 5 \text{ nM}$	-50	2.326	2.312	-	-	-	-	$\tilde{c}^{(CEA)} \approx 3.5512 \text{ nM}$
		-40	2.317	2.312					
		-30	2.338	2.312					
		-20	2.309	2.312					
		-10	2.314	2.312					
	$c^{(AFP)} = 20 \text{ nM}$	0	2.315	2.312	2.312	0.000	0.000	0.000	$\tilde{c}^{(AFP)} \approx 12.0354 \text{ nM}$
		10	2.506	2.506	2.312	0.005	0.009	0.181	
		20	2.582	2.573	2.312	0.010	0.017	0.234	
		30	2.616	2.602	2.312	0.015	0.025	0.250	
		40	2.617	2.619	2.312	0.020	0.033	0.255	

	50	2.645	2.633	2.312	0.024	0.041	0.256	
	60	2.658	2.646	2.312	0.029	0.049	0.257	
	70	2.665	2.658	2.312	0.033	0.057	0.257	
	80	2.680	2.670	2.312	0.038	0.064	0.257	
	90	2.689	2.682	2.312	0.042	0.071	0.257	
	100	2.719	2.694	2.312	0.047	0.078	0.257	
	110	2.707	2.705	2.312	0.051	0.085	0.257	
	120	2.745	2.716	2.312	0.055	0.092	0.257	
	130	2.745	2.727	2.312	0.059	0.099	0.257	
	140	2.762	2.737	2.312	0.063	0.106	0.257	
	150	2.752	2.748	2.312	0.067	0.112	0.257	
	160	2.776	2.758	2.312	0.071	0.118	0.257	
	170	2.758	2.768	2.312	0.075	0.124	0.257	
	180	2.797	2.778	2.312	0.079	0.130	0.257	
	190	2.786	2.788	2.312	0.083	0.136	0.257	
	200	2.814	2.797	2.312	0.087	0.142	0.257	
	210	2.803	2.807	2.312	0.090	0.148	0.257	
	220	2.819	2.816	2.312	0.094	0.153	0.257	
	230	2.851	2.825	2.312	0.097	0.159	0.257	
	240	2.844	2.834	2.312	0.101	0.164	0.257	
	250	2.848	2.842	2.312	0.104	0.169	0.257	
	260	2.873	2.851	2.312	0.108	0.175	0.257	
	270	2.849	2.859	2.312	0.111	0.180	0.257	
	280	2.895	2.867	2.312	0.114	0.185	0.257	
	290	2.882	2.875	2.312	0.118	0.189	0.257	
	300	2.867	2.883	2.312	0.121	0.194	0.257	
	310	2.888	2.891	2.312	0.124	0.199	0.257	
	320	2.925	2.899	2.312	0.127	0.203	0.257	
	330	2.909	2.906	2.312	0.130	0.208	0.257	
	340	2.919	2.913	2.312	0.133	0.212	0.257	
	350	2.916	2.920	2.312	0.136	0.216	0.257	
	360	2.922	2.928	2.312	0.139	0.220	0.257	
	370	2.953	2.934	2.312	0.142	0.224	0.257	
	380	2.943	2.941	2.312	0.144	0.228	0.257	
	390	2.968	2.948	2.312	0.147	0.232	0.257	
	400	2.957	2.954	2.312	0.150	0.236	0.257	
	410	2.957	2.961	2.312	0.152	0.240	0.257	
	420	2.979	2.967	2.312	0.155	0.244	0.257	
	430	2.988	2.973	2.312	0.158	0.247	0.257	
	440	2.986	2.979	2.312	0.160	0.251	0.257	
	450	3.017	2.985	2.312	0.163	0.254	0.257	
	460	3.001	2.991	2.312	0.165	0.258	0.257	
	470	3.008	2.997	2.312	0.168	0.261	0.257	
	480	3.029	3.003	2.312	0.170	0.264	0.257	
	490	3.042	3.008	2.312	0.172	0.267	0.257	
	500	3.021	3.014	2.312	0.175	0.270	0.257	

		510	3.004	3.019	2.312	0.177	0.273	0.257	
		520	3.057	3.024	2.312	0.179	0.276	0.257	
		530	3.041	3.029	2.312	0.181	0.279	0.257	
		540	3.041	3.034	2.312	0.184	0.282	0.257	
		550	3.058	3.039	2.312	0.186	0.285	0.257	
		560	3.046	3.044	2.312	0.188	0.288	0.257	
		570	3.093	3.049	2.312	0.190	0.290	0.257	
		580	3.056	3.054	2.312	0.192	0.293	0.257	
		590	3.078	3.058	2.312	0.194	0.296	0.257	
		600	3.086	3.063	2.312	0.196	0.298	0.257	
GFET #S25	$c^{(CEA)} = 5 \text{ nM}$ $c^{(AFP)} = 50 \text{ nM}$ $c^{(PTH)} = 2 \text{ nM}$	-50	2.357	2.316	-	-	-	-	$\tilde{c}^{(CEA)} \approx 3.9815 \text{ nM}$ $\tilde{c}^{(AFP)} \approx 22.0333 \text{ nM}$ $\tilde{c}^{(PTH)} \approx 9.2309 \text{ nM}$
		-40	2.306	2.316					
		-30	2.330	2.316					
		-20	2.341	2.316					
		-10	2.324	2.316					
		0	2.324	2.316	2.316	0.000	0.000	0.000	
		10	2.366	2.359	2.316	0.005	0.015	0.023	
		20	2.391	2.399	2.316	0.010	0.029	0.044	
		30	2.443	2.436	2.316	0.015	0.043	0.062	
		40	2.473	2.471	2.316	0.020	0.056	0.079	
		50	2.506	2.503	2.316	0.025	0.069	0.093	
		60	2.540	2.533	2.316	0.029	0.081	0.106	
		70	2.566	2.561	2.316	0.034	0.094	0.117	
		80	2.586	2.588	2.316	0.039	0.105	0.128	
		90	2.640	2.613	2.316	0.043	0.117	0.137	
		100	2.665	2.636	2.316	0.047	0.128	0.145	
		110	2.676	2.658	2.316	0.052	0.139	0.152	
		120	2.696	2.679	2.316	0.056	0.149	0.158	
		130	2.718	2.699	2.316	0.060	0.159	0.164	
		140	2.767	2.718	2.316	0.064	0.169	0.169	
		150	2.747	2.736	2.316	0.068	0.179	0.173	
		160	2.772	2.753	2.316	0.072	0.188	0.177	
		170	2.765	2.770	2.316	0.076	0.197	0.181	
		180	2.786	2.785	2.316	0.080	0.205	0.184	
		190	2.818	2.800	2.316	0.084	0.214	0.187	
		200	2.818	2.814	2.316	0.087	0.222	0.189	
		210	2.795	2.828	2.316	0.091	0.230	0.191	
		220	2.873	2.841	2.316	0.094	0.238	0.193	
		230	2.886	2.854	2.316	0.098	0.245	0.195	
		240	2.872	2.866	2.316	0.101	0.252	0.197	
		250	2.871	2.878	2.316	0.105	0.259	0.198	
		260	2.900	2.889	2.316	0.108	0.266	0.199	
		270	2.928	2.900	2.316	0.111	0.273	0.200	
		280	2.932	2.911	2.316	0.114	0.279	0.201	
		290	2.952	2.921	2.316	0.118	0.285	0.202	
		300	2.946	2.931	2.316	0.121	0.291	0.203	

		310	2.955	2.940	2.316	0.124	0.297	0.203	
		320	2.956	2.950	2.316	0.127	0.303	0.204	
		330	2.972	2.959	2.316	0.130	0.308	0.205	
		340	2.980	2.967	2.316	0.133	0.314	0.205	
		350	2.975	2.976	2.316	0.135	0.319	0.205	
		360	2.999	2.984	2.316	0.138	0.324	0.206	
		370	2.993	2.992	2.316	0.141	0.329	0.206	
		380	3.006	2.999	2.316	0.144	0.333	0.206	
		390	3.025	3.007	2.316	0.146	0.338	0.207	
		400	3.027	3.014	2.316	0.149	0.342	0.207	
		410	3.026	3.021	2.316	0.151	0.346	0.207	
		420	3.030	3.028	2.316	0.154	0.351	0.207	
		430	3.051	3.035	2.316	0.156	0.355	0.208	
		440	3.051	3.041	2.316	0.159	0.359	0.208	
		450	3.040	3.048	2.316	0.161	0.362	0.208	
		460	3.053	3.054	2.316	0.164	0.366	0.208	
		470	3.069	3.060	2.316	0.166	0.370	0.208	
		480	3.071	3.066	2.316	0.168	0.373	0.208	
		490	3.069	3.071	2.316	0.170	0.376	0.208	
		500	3.086	3.077	2.316	0.173	0.380	0.208	
		510	3.100	3.082	2.316	0.175	0.383	0.208	
		520	3.112	3.087	2.316	0.177	0.386	0.208	
		530	3.095	3.092	2.316	0.179	0.389	0.208	
		540	3.112	3.097	2.316	0.181	0.392	0.208	
		550	3.113	3.102	2.316	0.183	0.395	0.209	
		560	3.115	3.107	2.316	0.185	0.397	0.209	
		570	3.138	3.112	2.316	0.187	0.400	0.209	
		580	3.110	3.116	2.316	0.189	0.402	0.209	
		590	3.149	3.120	2.316	0.191	0.405	0.209	
		600	3.142	3.125	2.316	0.193	0.407	0.209	
GFET #S26	$c^{(CEA)} = 5$ nM	-50	2.314	2.320	-	-	-	-	$\tilde{c}^{(CEA)} \approx 4.8072 \text{ nM}$ $\tilde{c}^{(AFP)} \approx 21.9864 \text{ nM}$ $\tilde{c}^{(PTH)} \approx 16.1345 \text{ nM}$
		-40	2.336	2.320					
		-30	2.309	2.320					
		-20	2.301	2.320					
		-10	2.338	2.320					
	$c^{(AFP)} = 50$ nM	0	2.339	2.320	2.320	0.000	0.000	0.000	
		10	2.377	2.375	2.320	0.006	0.014	0.034	
		20	2.442	2.423	2.320	0.013	0.028	0.062	
		30	2.467	2.466	2.320	0.019	0.042	0.085	
		40	2.514	2.504	2.320	0.025	0.055	0.104	
	$c^{(PTH)} = 5$ nM	50	2.534	2.538	2.320	0.031	0.067	0.120	
		60	2.567	2.569	2.320	0.036	0.079	0.133	
		70	2.619	2.598	2.320	0.042	0.091	0.144	
		80	2.641	2.624	2.320	0.048	0.103	0.153	
		90	2.658	2.648	2.320	0.053	0.114	0.161	
		100	2.677	2.670	2.320	0.058	0.125	0.167	

	110	2.693	2.691	2.320	0.064	0.135	0.172	
	120	2.720	2.711	2.320	0.069	0.146	0.176	
	130	2.737	2.729	2.320	0.074	0.155	0.180	
	140	2.761	2.747	2.320	0.079	0.165	0.183	
	150	2.769	2.763	2.320	0.083	0.174	0.185	
	160	2.782	2.779	2.320	0.088	0.183	0.187	
	170	2.799	2.794	2.320	0.093	0.192	0.189	
	180	2.808	2.808	2.320	0.097	0.201	0.190	
	190	2.823	2.822	2.320	0.102	0.209	0.191	
	200	2.832	2.835	2.320	0.106	0.217	0.192	
	210	2.839	2.848	2.320	0.110	0.224	0.193	
	220	2.869	2.860	2.320	0.115	0.232	0.193	
	230	2.862	2.872	2.320	0.119	0.239	0.194	
	240	2.909	2.884	2.320	0.123	0.246	0.194	
	250	2.895	2.895	2.320	0.127	0.253	0.195	
	260	2.921	2.906	2.320	0.130	0.260	0.195	
	270	2.938	2.916	2.320	0.134	0.266	0.195	
	280	2.916	2.926	2.320	0.138	0.272	0.196	
	290	2.929	2.936	2.320	0.142	0.278	0.196	
	300	2.954	2.946	2.320	0.145	0.284	0.196	
	310	2.972	2.955	2.320	0.149	0.290	0.196	
	320	2.977	2.964	2.320	0.152	0.296	0.196	
	330	2.979	2.973	2.320	0.155	0.301	0.196	
	340	2.982	2.981	2.320	0.159	0.306	0.196	
	350	3.013	2.990	2.320	0.162	0.311	0.196	
	360	3.016	2.998	2.320	0.165	0.316	0.196	
	370	3.002	3.006	2.320	0.168	0.321	0.196	
	380	3.009	3.013	2.320	0.171	0.325	0.196	
	390	3.010	3.021	2.320	0.174	0.330	0.196	
	400	3.046	3.028	2.320	0.177	0.334	0.196	
	410	3.029	3.035	2.320	0.180	0.338	0.196	
	420	3.056	3.042	2.320	0.183	0.342	0.197	
	430	3.039	3.049	2.320	0.185	0.346	0.197	
	440	3.076	3.055	2.320	0.188	0.350	0.197	
	450	3.080	3.061	2.320	0.191	0.354	0.197	
	460	3.072	3.068	2.320	0.193	0.358	0.197	
	470	3.094	3.074	2.320	0.196	0.361	0.197	
	480	3.076	3.079	2.320	0.198	0.364	0.197	
	490	3.082	3.085	2.320	0.201	0.368	0.197	
	500	3.105	3.091	2.320	0.203	0.371	0.197	
	510	3.084	3.096	2.320	0.205	0.374	0.197	
	520	3.124	3.101	2.320	0.208	0.377	0.197	
	530	3.090	3.107	2.320	0.210	0.380	0.197	
	540	3.118	3.112	2.320	0.212	0.383	0.197	
	550	3.111	3.116	2.320	0.214	0.385	0.197	
	560	3.130	3.121	2.320	0.216	0.388	0.197	

		570	3.150	3.126	2.320	0.218	0.391	0.197	
		580	3.130	3.130	2.320	0.220	0.393	0.197	
		590	3.151	3.135	2.320	0.222	0.396	0.197	
		600	3.166	3.139	2.320	0.224	0.398	0.197	
GFET #S27	$c^{(CEA)} = 5$ nM	-50	2.306	2.290	-	-	-	-	$\tilde{c}^{(CEA)} \approx 3.7015$ nM
		-40	2.291	2.290					
		-30	2.286	2.290					
		-20	2.315	2.290					
		-10	2.299	2.290					
		0	2.294	2.290					
		10	2.401	2.409					
		20	2.503	2.488					
		30	2.540	2.543					
		40	2.589	2.583					
		50	2.632	2.614					
		60	2.663	2.639					
		70	2.684	2.661					
		80	2.680	2.681					
		90	2.692	2.699					
		100	2.743	2.716					
		110	2.730	2.732					
		120	2.742	2.748					
		130	2.762	2.763					
		140	2.792	2.778					
	$c^{(AFP)} = 50$ nM	150	2.809	2.792					$\tilde{c}^{(AFP)} \approx 24.3235$ nM
		160	2.798	2.805					
	$c^{(PTH)} = 20$ nM	170	2.822	2.818					$\tilde{c}^{(PTH)} \approx 48.5294$ nM
		180	2.832	2.831					
		190	2.873	2.844					
		200	2.841	2.856					
		210	2.875	2.868					
		220	2.853	2.879					
		230	2.906	2.890					
		240	2.891	2.901					
		250	2.898	2.912					
		260	2.917	2.922					
		270	2.920	2.932					
		280	2.967	2.942					
		290	2.931	2.951					
		300	2.949	2.960					
		310	2.976	2.969					
		320	2.983	2.978					
		330	2.961	2.986					
		340	2.974	2.995					
		350	2.997	3.003					
		360	3.018	3.010					

		370	3.025	3.018	2.290	0.132	0.353	0.243	
		380	3.031	3.025	2.290	0.134	0.358	0.243	
		390	3.022	3.033	2.290	0.137	0.363	0.243	
		400	3.052	3.040	2.290	0.139	0.367	0.243	
		410	3.048	3.046	2.290	0.142	0.371	0.243	
		420	3.087	3.053	2.290	0.144	0.376	0.243	
		430	3.045	3.059	2.290	0.147	0.380	0.243	
		440	3.044	3.066	2.290	0.149	0.384	0.243	
		450	3.076	3.072	2.290	0.151	0.387	0.243	
		460	3.076	3.078	2.290	0.154	0.391	0.243	
		470	3.088	3.084	2.290	0.156	0.395	0.243	
		480	3.107	3.089	2.290	0.158	0.398	0.243	
		490	3.118	3.095	2.290	0.160	0.401	0.243	
		500	3.103	3.100	2.290	0.162	0.405	0.243	
		510	3.112	3.105	2.290	0.164	0.408	0.243	
		520	3.128	3.110	2.290	0.166	0.411	0.243	
		530	3.125	3.115	2.290	0.168	0.414	0.243	
		540	3.135	3.120	2.290	0.170	0.417	0.243	
		550	3.098	3.125	2.290	0.172	0.419	0.243	
		560	3.155	3.129	2.290	0.174	0.422	0.243	
		570	3.142	3.134	2.290	0.176	0.425	0.243	
		580	3.127	3.138	2.290	0.178	0.427	0.243	
		590	3.161	3.142	2.290	0.180	0.429	0.243	
		600	3.131	3.147	2.290	0.182	0.432	0.243	
GFET #S28	$c^{(CEA)} = 5$ nM	-50	2.322	2.317	-	-	-	-	$\tilde{c}^{(CEA)} \approx 3.4412 \text{ nM}$
		-40	2.331	2.317					
		-30	2.322	2.317					
		-20	2.313	2.317					
		-10	2.312	2.317					
		0	2.311	2.317					
		10	2.485	2.468					
		20	2.530	2.537					
		30	2.600	2.575					
		40	2.597	2.602					
GFET #S28	$c^{(AFP)} = 50$ nM	50	2.634	2.623	2.317	0.023	0.079	0.204	$\tilde{c}^{(AFP)} \approx 23.8761 \text{ nM}$
		60	2.632	2.643	2.317	0.027	0.093	0.205	
		70	2.671	2.661	2.317	0.031	0.107	0.206	
		80	2.693	2.679	2.317	0.036	0.120	0.206	
		90	2.711	2.696	2.317	0.040	0.133	0.206	
	$c^{(PTH)} = 50$ nM	100	2.716	2.713	2.317	0.044	0.146	0.206	$\tilde{c}^{(PTH)} \approx 94.6613 \text{ nM}$
		110	2.728	2.729	2.317	0.048	0.158	0.206	
		120	2.771	2.745	2.317	0.052	0.170	0.206	
		130	2.753	2.760	2.317	0.056	0.181	0.206	
		140	2.770	2.775	2.317	0.060	0.192	0.206	
		150	2.805	2.790	2.317	0.064	0.203	0.206	
		160	2.826	2.804	2.317	0.067	0.213	0.206	

		170	2.806	2.817	2.317	0.071	0.223	0.206	
		180	2.857	2.831	2.317	0.075	0.233	0.206	
		190	2.853	2.844	2.317	0.078	0.242	0.206	
		200	2.895	2.856	2.317	0.082	0.251	0.206	
		210	2.871	2.868	2.317	0.085	0.260	0.206	
		220	2.885	2.880	2.317	0.089	0.269	0.206	
		230	2.883	2.892	2.317	0.092	0.277	0.206	
		240	2.895	2.903	2.317	0.095	0.285	0.206	
		250	2.924	2.914	2.317	0.098	0.293	0.206	
		260	2.943	2.925	2.317	0.102	0.300	0.206	
		270	2.940	2.935	2.317	0.105	0.307	0.206	
		280	2.981	2.945	2.317	0.108	0.314	0.206	
		290	2.957	2.955	2.317	0.111	0.321	0.206	
		300	2.954	2.965	2.317	0.114	0.328	0.206	
		310	2.972	2.974	2.317	0.117	0.334	0.206	
		320	2.970	2.983	2.317	0.120	0.340	0.206	
		330	2.993	2.992	2.317	0.123	0.346	0.206	
		340	2.999	3.000	2.317	0.126	0.352	0.206	
		350	3.003	3.009	2.317	0.128	0.357	0.206	
		360	3.042	3.017	2.317	0.131	0.363	0.206	
		370	3.027	3.025	2.317	0.134	0.368	0.206	
		380	3.040	3.033	2.317	0.136	0.373	0.206	
		390	3.037	3.040	2.317	0.139	0.378	0.206	
		400	3.059	3.047	2.317	0.142	0.383	0.206	
		410	3.058	3.055	2.317	0.144	0.387	0.206	
		420	3.051	3.062	2.317	0.147	0.392	0.206	
		430	3.046	3.068	2.317	0.149	0.396	0.206	
		440	3.068	3.075	2.317	0.152	0.400	0.206	
		450	3.084	3.081	2.317	0.154	0.404	0.206	
		460	3.094	3.088	2.317	0.156	0.408	0.206	
		470	3.113	3.094	2.317	0.159	0.412	0.206	
		480	3.108	3.100	2.317	0.161	0.416	0.206	
		490	3.105	3.105	2.317	0.163	0.419	0.206	
		500	3.105	3.111	2.317	0.165	0.423	0.206	
		510	3.112	3.117	2.317	0.168	0.426	0.206	
		520	3.129	3.122	2.317	0.170	0.429	0.206	
		530	3.121	3.127	2.317	0.172	0.432	0.206	
		540	3.131	3.132	2.317	0.174	0.435	0.206	
		550	3.146	3.137	2.317	0.176	0.438	0.206	
		560	3.154	3.142	2.317	0.178	0.441	0.206	
		570	3.163	3.147	2.317	0.180	0.444	0.206	
		580	3.128	3.151	2.317	0.182	0.446	0.206	
		590	3.163	3.156	2.317	0.184	0.449	0.206	
		600	3.187	3.160	2.317	0.186	0.451	0.206	
GFET #S29	$c^{(CEA)} = 5$ nM	-50	2.313	2.314	-	-	-	-	$\tilde{c}^{(CEA)} \approx 3.5123 \text{ nM}$
		-40	2.346	2.314					

$c^{(\text{AFP})} = 100 \text{ nM}$	$c^{(\text{PTH})} = 2 \text{ nM}$	-30	2.348	2.314					$\tilde{c}^{(\text{AFP})} \approx 48.6123 \text{ nM}$
		-20	2.339	2.314					
		-10	2.310	2.314					
		0	2.332	2.314	2.314	0.000	0.000	0.000	
		10	2.369	2.360	2.314	0.005	0.034	0.008	
		20	2.407	2.404	2.314	0.009	0.065	0.015	
		30	2.448	2.445	2.314	0.014	0.095	0.022	
		40	2.497	2.484	2.314	0.018	0.124	0.029	
		50	2.529	2.522	2.314	0.022	0.150	0.035	
		60	2.565	2.557	2.314	0.026	0.175	0.041	
		70	2.574	2.590	2.314	0.031	0.199	0.046	
		80	2.653	2.622	2.314	0.035	0.222	0.051	
		90	2.679	2.652	2.314	0.039	0.243	0.056	
		100	2.693	2.681	2.314	0.043	0.263	0.060	
		110	2.715	2.708	2.314	0.047	0.282	0.064	
		120	2.729	2.733	2.314	0.050	0.300	0.068	
		130	2.761	2.758	2.314	0.054	0.317	0.072	
		140	2.797	2.781	2.314	0.058	0.333	0.076	
		150	2.842	2.803	2.314	0.062	0.348	0.079	
		160	2.812	2.824	2.314	0.065	0.362	0.082	
		170	2.861	2.844	2.314	0.069	0.376	0.085	
		180	2.872	2.863	2.314	0.072	0.388	0.088	
		190	2.893	2.881	2.314	0.076	0.401	0.090	
		200	2.901	2.898	2.314	0.079	0.412	0.093	
		210	2.913	2.914	2.314	0.083	0.423	0.095	
		220	2.938	2.930	2.314	0.086	0.433	0.097	
		230	2.956	2.945	2.314	0.089	0.442	0.099	
		240	2.954	2.959	2.314	0.092	0.451	0.101	
		250	2.952	2.972	2.314	0.096	0.460	0.103	
		260	2.996	2.985	2.314	0.099	0.468	0.104	
		270	2.997	2.997	2.314	0.102	0.475	0.106	
		280	2.995	3.009	2.314	0.105	0.483	0.107	
		290	3.024	3.020	2.314	0.108	0.489	0.109	
		300	3.034	3.031	2.314	0.111	0.496	0.110	
		310	3.036	3.041	2.314	0.113	0.502	0.111	
		320	3.056	3.051	2.314	0.116	0.508	0.112	
		330	3.073	3.060	2.314	0.119	0.513	0.113	
		340	3.073	3.069	2.314	0.122	0.518	0.114	
		350	3.078	3.077	2.314	0.124	0.523	0.115	
		360	3.106	3.085	2.314	0.127	0.527	0.116	
		370	3.118	3.093	2.314	0.130	0.532	0.117	
		380	3.123	3.100	2.314	0.132	0.536	0.118	
		390	3.091	3.107	2.314	0.135	0.540	0.119	
		400	3.127	3.114	2.314	0.137	0.543	0.119	
		410	3.129	3.121	2.314	0.140	0.547	0.120	
		420	3.135	3.127	2.314	0.142	0.550	0.121	

		430	3.123	3.133	2.314	0.145	0.553	0.121	
		440	3.157	3.139	2.314	0.147	0.556	0.122	
		450	3.151	3.144	2.314	0.149	0.559	0.122	
		460	3.151	3.150	2.314	0.151	0.561	0.123	
		470	3.171	3.155	2.314	0.154	0.564	0.123	
		480	3.141	3.160	2.314	0.156	0.566	0.124	
		490	3.174	3.164	2.314	0.158	0.568	0.124	
		500	3.162	3.169	2.314	0.160	0.570	0.124	
		510	3.141	3.173	2.314	0.162	0.572	0.125	
		520	3.219	3.178	2.314	0.164	0.574	0.125	
		530	3.188	3.182	2.314	0.166	0.576	0.125	
		540	3.184	3.186	2.314	0.168	0.577	0.126	
		550	3.196	3.189	2.314	0.170	0.579	0.126	
		560	3.197	3.193	2.314	0.172	0.580	0.126	
		570	3.210	3.197	2.314	0.174	0.582	0.126	
		580	3.197	3.200	2.314	0.176	0.583	0.127	
		590	3.226	3.203	2.314	0.178	0.584	0.127	
		600	3.220	3.206	2.314	0.180	0.585	0.127	
		-50	2.313	2.308	-	-	-	-	
		-40	2.319	2.308					
		-30	2.323	2.308					
		-20	2.306	2.308					
		-10	2.310	2.308					
		0	2.304	2.308	2.308	0.000	0.000	0.000	
		10	2.374	2.376	2.308	0.005	0.035	0.029	
		20	2.441	2.438	2.308	0.009	0.067	0.053	
		30	2.509	2.493	2.308	0.014	0.098	0.074	
		40	2.545	2.543	2.308	0.018	0.127	0.091	
		50	2.599	2.589	2.308	0.023	0.154	0.105	
		60	2.626	2.631	2.308	0.027	0.179	0.117	
		70	2.680	2.669	2.308	0.031	0.204	0.127	
		80	2.672	2.704	2.308	0.035	0.226	0.135	
		90	2.747	2.737	2.308	0.039	0.248	0.142	
		100	2.768	2.766	2.308	0.043	0.268	0.147	
		110	2.793	2.794	2.308	0.047	0.287	0.152	
		120	2.820	2.820	2.308	0.051	0.305	0.156	
		130	2.833	2.844	2.308	0.055	0.321	0.160	
		140	2.871	2.866	2.308	0.059	0.337	0.162	
		150	2.902	2.887	2.308	0.063	0.352	0.165	
		160	2.918	2.907	2.308	0.066	0.366	0.167	
		170	2.918	2.926	2.308	0.070	0.380	0.168	
		180	2.949	2.943	2.308	0.073	0.392	0.170	
		190	2.936	2.959	2.308	0.077	0.404	0.171	
		200	2.984	2.975	2.308	0.080	0.415	0.172	
		210	2.977	2.989	2.308	0.084	0.425	0.173	
		220	2.999	3.003	2.308	0.087	0.435	0.173	

		230	3.011	3.016	2.308	0.090	0.444	0.174	
		240	3.037	3.028	2.308	0.093	0.453	0.174	
		250	3.039	3.040	2.308	0.097	0.461	0.175	
		260	3.075	3.051	2.308	0.100	0.469	0.175	
		270	3.077	3.062	2.308	0.103	0.476	0.175	
		280	3.083	3.072	2.308	0.106	0.483	0.175	
		290	3.089	3.081	2.308	0.109	0.490	0.176	
		300	3.072	3.091	2.308	0.111	0.496	0.176	
		310	3.098	3.099	2.308	0.114	0.501	0.176	
		320	3.103	3.108	2.308	0.117	0.507	0.176	
		330	3.108	3.116	2.308	0.120	0.512	0.176	
		340	3.126	3.123	2.308	0.123	0.517	0.176	
		350	3.134	3.130	2.308	0.125	0.521	0.176	
		360	3.143	3.137	2.308	0.128	0.525	0.176	
		370	3.146	3.144	2.308	0.130	0.529	0.176	
		380	3.133	3.150	2.308	0.133	0.533	0.176	
		390	3.171	3.156	2.308	0.135	0.537	0.176	
		400	3.163	3.162	2.308	0.138	0.540	0.176	
		410	3.185	3.168	2.308	0.140	0.543	0.176	
		420	3.169	3.173	2.308	0.143	0.546	0.176	
		430	3.194	3.178	2.308	0.145	0.549	0.177	
		440	3.158	3.183	2.308	0.147	0.552	0.177	
		450	3.215	3.188	2.308	0.150	0.554	0.177	
		460	3.207	3.192	2.308	0.152	0.556	0.177	
		470	3.206	3.197	2.308	0.154	0.559	0.177	
		480	3.207	3.201	2.308	0.156	0.561	0.177	
		490	3.225	3.205	2.308	0.158	0.563	0.177	
		500	3.219	3.209	2.308	0.160	0.564	0.177	
		510	3.206	3.213	2.308	0.162	0.566	0.177	
		520	3.207	3.216	2.308	0.164	0.568	0.177	
		530	3.210	3.220	2.308	0.166	0.569	0.177	
		540	3.220	3.223	2.308	0.168	0.571	0.177	
		550	3.221	3.226	2.308	0.170	0.572	0.177	
		560	3.242	3.230	2.308	0.172	0.573	0.177	
		570	3.241	3.233	2.308	0.174	0.575	0.177	
		580	3.247	3.236	2.308	0.176	0.576	0.177	
		590	3.242	3.238	2.308	0.177	0.577	0.177	
		600	3.238	3.241	2.308	0.179	0.578	0.177	
GFET #S31	$c^{(CEA)} = 5$ nM $c^{(AFP)} = 100$ nM $c^{(PTH)} = 20$ nM	-50	2.364	2.327	-	-	-	-	$\tilde{c}^{(CEA)} \approx 3.7714$ nM $\tilde{c}^{(AFP)} \approx 52.2155$ nM $\tilde{c}^{(PTH)} \approx 48.6533$ nM
		-40	2.337	2.327					
		-30	2.343	2.327					
		-20	2.353	2.327					
		-10	2.312	2.327					
		0	2.340	2.327					
		10	2.461	2.442					
		20	2.533	2.524					

	30	2.571	2.586	2.327	0.012	0.101	0.146	
	40	2.655	2.636	2.327	0.016	0.131	0.161	
	50	2.672	2.677	2.327	0.020	0.159	0.171	
	60	2.731	2.713	2.327	0.024	0.185	0.176	
	70	2.760	2.745	2.327	0.028	0.210	0.180	
	80	2.795	2.774	2.327	0.031	0.233	0.182	
	90	2.820	2.800	2.327	0.035	0.255	0.183	
	100	2.812	2.825	2.327	0.039	0.276	0.184	
	110	2.841	2.849	2.327	0.042	0.295	0.184	
	120	2.864	2.871	2.327	0.046	0.313	0.184	
	130	2.894	2.891	2.327	0.049	0.331	0.184	
	140	2.913	2.911	2.327	0.052	0.347	0.184	
	150	2.920	2.930	2.327	0.056	0.362	0.184	
	160	2.937	2.947	2.327	0.059	0.376	0.184	
	170	2.974	2.964	2.327	0.062	0.390	0.184	
	180	2.965	2.980	2.327	0.065	0.403	0.185	
	190	2.998	2.995	2.327	0.068	0.415	0.185	
	200	3.022	3.009	2.327	0.071	0.426	0.185	
	210	3.014	3.023	2.327	0.074	0.436	0.185	
	220	3.060	3.036	2.327	0.077	0.446	0.185	
	230	3.038	3.048	2.327	0.080	0.456	0.185	
	240	3.073	3.060	2.327	0.083	0.465	0.185	
	250	3.076	3.071	2.327	0.086	0.473	0.185	
	260	3.082	3.081	2.327	0.089	0.481	0.185	
	270	3.102	3.091	2.327	0.091	0.488	0.185	
	280	3.108	3.101	2.327	0.094	0.495	0.185	
	290	3.114	3.110	2.327	0.097	0.502	0.185	
	300	3.149	3.119	2.327	0.099	0.508	0.185	
	310	3.122	3.127	2.327	0.102	0.513	0.185	
	320	3.131	3.135	2.327	0.104	0.519	0.185	
	330	3.151	3.143	2.327	0.107	0.524	0.185	
	340	3.158	3.150	2.327	0.109	0.529	0.185	
	350	3.167	3.157	2.327	0.112	0.533	0.185	
	360	3.158	3.163	2.327	0.114	0.538	0.185	
	370	3.159	3.170	2.327	0.116	0.542	0.185	
	380	3.203	3.176	2.327	0.118	0.545	0.185	
	390	3.184	3.182	2.327	0.121	0.549	0.185	
	400	3.178	3.187	2.327	0.123	0.552	0.185	
	410	3.228	3.192	2.327	0.125	0.555	0.185	
	420	3.206	3.198	2.327	0.127	0.558	0.185	
	430	3.196	3.202	2.327	0.129	0.561	0.185	
	440	3.216	3.207	2.327	0.131	0.564	0.185	
	450	3.230	3.212	2.327	0.133	0.566	0.185	
	460	3.214	3.216	2.327	0.135	0.569	0.185	
	470	3.221	3.220	2.327	0.137	0.571	0.185	
	480	3.229	3.224	2.327	0.139	0.573	0.185	

		490	3.208	3.228	2.327	0.141	0.575	0.185	
		500	3.247	3.231	2.327	0.143	0.577	0.185	
		510	3.241	3.235	2.327	0.145	0.578	0.185	
		520	3.264	3.238	2.327	0.146	0.580	0.185	
		530	3.223	3.242	2.327	0.148	0.582	0.185	
		540	3.270	3.245	2.327	0.150	0.583	0.185	
		550	3.280	3.248	2.327	0.152	0.584	0.185	
		560	3.268	3.251	2.327	0.153	0.586	0.185	
		570	3.240	3.254	2.327	0.155	0.587	0.185	
		580	3.274	3.256	2.327	0.157	0.588	0.185	
		590	3.292	3.259	2.327	0.158	0.589	0.185	
		600	3.267	3.262	2.327	0.160	0.590	0.185	
		-50	2.270	2.273	-	-	-	-	
		-40	2.293	2.273					
		-30	2.273	2.273	-	-	-	-	
		-20	2.304	2.273					
		-10	2.301	2.273	-	-	-	-	
		0	2.301	2.273					
		10	2.413	2.417	2.273	0.006	0.034	0.104	
		20	2.512	2.495	2.273	0.012	0.066	0.144	
		30	2.521	2.547	2.273	0.018	0.096	0.160	
		40	2.591	2.587	2.273	0.024	0.125	0.166	
		50	2.619	2.622	2.273	0.029	0.152	0.168	
		60	2.647	2.654	2.273	0.035	0.177	0.169	
		70	2.687	2.683	2.273	0.040	0.201	0.170	
		80	2.737	2.711	2.273	0.045	0.224	0.170	
		90	2.731	2.738	2.273	0.051	0.245	0.170	
		100	2.756	2.763	2.273	0.056	0.265	0.170	
		110	2.812	2.787	2.273	0.061	0.284	0.170	
		120	2.792	2.810	2.273	0.066	0.302	0.170	
		130	2.833	2.831	2.273	0.070	0.319	0.170	
		140	2.870	2.852	2.273	0.075	0.334	0.170	
		150	2.869	2.871	2.273	0.080	0.349	0.170	
		160	2.875	2.890	2.273	0.084	0.364	0.170	
		170	2.904	2.908	2.273	0.089	0.377	0.170	
		180	2.912	2.925	2.273	0.093	0.389	0.170	
		190	2.962	2.941	2.273	0.097	0.401	0.170	
		200	2.958	2.956	2.273	0.101	0.412	0.170	
		210	2.957	2.971	2.273	0.105	0.423	0.170	
		220	3.001	2.985	2.273	0.109	0.433	0.170	
		230	3.010	2.998	2.273	0.113	0.442	0.170	
		240	3.019	3.011	2.273	0.117	0.451	0.170	
		250	3.055	3.023	2.273	0.121	0.459	0.170	
		260	3.027	3.034	2.273	0.125	0.467	0.170	
		270	3.036	3.045	2.273	0.128	0.475	0.170	
		280	3.058	3.056	2.273	0.132	0.482	0.170	

		290	3.062	3.066	2.273	0.135	0.488	0.170	
		300	3.088	3.076	2.273	0.139	0.494	0.170	
		310	3.083	3.085	2.273	0.142	0.500	0.170	
		320	3.116	3.094	2.273	0.146	0.506	0.170	
		330	3.131	3.102	2.273	0.149	0.511	0.170	
		340	3.125	3.110	2.273	0.152	0.516	0.170	
		350	3.110	3.118	2.273	0.155	0.520	0.170	
		360	3.148	3.125	2.273	0.158	0.525	0.170	
		370	3.153	3.132	2.273	0.161	0.529	0.170	
		380	3.163	3.139	2.273	0.164	0.533	0.170	
		390	3.154	3.146	2.273	0.167	0.537	0.170	
		400	3.161	3.152	2.273	0.170	0.540	0.170	
		410	3.170	3.158	2.273	0.173	0.543	0.170	
		420	3.139	3.164	2.273	0.175	0.546	0.170	
		430	3.179	3.169	2.273	0.178	0.549	0.170	
		440	3.189	3.175	2.273	0.180	0.552	0.170	
		450	3.174	3.180	2.273	0.183	0.554	0.170	
		460	3.204	3.185	2.273	0.186	0.557	0.170	
		470	3.186	3.189	2.273	0.188	0.559	0.170	
		480	3.213	3.194	2.273	0.190	0.561	0.170	
		490	3.187	3.198	2.273	0.193	0.563	0.170	
		500	3.195	3.203	2.273	0.195	0.565	0.170	
		510	3.219	3.207	2.273	0.197	0.567	0.170	
		520	3.182	3.211	2.273	0.200	0.569	0.170	
		530	3.237	3.214	2.273	0.202	0.570	0.170	
		540	3.238	3.218	2.273	0.204	0.572	0.170	
		550	3.258	3.222	2.273	0.206	0.573	0.170	
		560	3.225	3.225	2.273	0.208	0.575	0.170	
		570	3.234	3.228	2.273	0.210	0.576	0.170	
		580	3.215	3.232	2.273	0.212	0.577	0.170	
		590	3.225	3.235	2.273	0.214	0.578	0.170	
		600	3.248	3.238	2.273	0.216	0.579	0.170	
GFET #S33	$c^{(CEA)} = 20$ nM	-50	2.304	2.302	-	-	-	-	$\tilde{c}^{(CEA)} \approx 18.6573 \text{ nM}$ $\tilde{c}^{(AFP)} \approx 8.7554 \text{ nM}$ $\tilde{c}^{(PTH)} \approx 5.1103 \text{ nM}$
		-40	2.298	2.302					
		-30	2.302	2.302					
		-20	2.315	2.302					
		-10	2.287	2.302					
	$c^{(AFP)} = 5$ nM	0	2.309	2.302	2.302	0.000	0.000	0.000	
		10	2.329	2.348	2.302	0.031	0.006	0.009	
		20	2.391	2.390	2.302	0.059	0.013	0.017	
		30	2.456	2.431	2.302	0.086	0.019	0.024	
		40	2.470	2.468	2.302	0.110	0.025	0.031	
	$c^{(PTH)} = 2$ nM	50	2.496	2.504	2.302	0.133	0.031	0.037	
		60	2.531	2.537	2.302	0.155	0.037	0.043	
		70	2.579	2.568	2.302	0.175	0.043	0.048	
		80	2.606	2.598	2.302	0.194	0.048	0.053	

	90	2.629	2.626	2.302	0.211	0.054	0.058	
	100	2.654	2.652	2.302	0.228	0.060	0.062	
	110	2.697	2.677	2.302	0.243	0.065	0.067	
	120	2.691	2.700	2.302	0.257	0.070	0.070	
	130	2.744	2.722	2.302	0.270	0.076	0.074	
	140	2.730	2.742	2.302	0.283	0.081	0.077	
	150	2.755	2.762	2.302	0.294	0.086	0.080	
	160	2.800	2.780	2.302	0.305	0.091	0.083	
	170	2.805	2.798	2.302	0.315	0.095	0.085	
	180	2.837	2.814	2.302	0.324	0.100	0.088	
	190	2.842	2.830	2.302	0.333	0.105	0.090	
	200	2.848	2.845	2.302	0.341	0.110	0.092	
	210	2.853	2.859	2.302	0.349	0.114	0.094	
	220	2.869	2.872	2.302	0.356	0.119	0.095	
	230	2.905	2.884	2.302	0.362	0.123	0.097	
	240	2.893	2.896	2.302	0.369	0.127	0.098	
	250	2.910	2.908	2.302	0.374	0.132	0.100	
	260	2.930	2.919	2.302	0.380	0.136	0.101	
	270	2.965	2.929	2.302	0.385	0.140	0.102	
	280	2.944	2.939	2.302	0.389	0.144	0.103	
	290	2.936	2.948	2.302	0.394	0.148	0.104	
	300	2.948	2.957	2.302	0.398	0.152	0.105	
	310	2.972	2.965	2.302	0.401	0.155	0.106	
	320	2.991	2.973	2.302	0.405	0.159	0.107	
	330	2.986	2.981	2.302	0.408	0.163	0.108	
	340	2.987	2.988	2.302	0.411	0.166	0.109	
	350	2.992	2.995	2.302	0.414	0.170	0.109	
	360	3.025	3.002	2.302	0.417	0.174	0.110	
	370	2.983	3.009	2.302	0.419	0.177	0.110	
	380	3.008	3.015	2.302	0.422	0.180	0.111	
	390	3.040	3.021	2.302	0.424	0.184	0.111	
	400	3.024	3.027	2.302	0.426	0.187	0.112	
	410	3.056	3.032	2.302	0.428	0.190	0.112	
	420	3.024	3.037	2.302	0.429	0.193	0.113	
	430	3.040	3.042	2.302	0.431	0.196	0.113	
	440	3.050	3.047	2.302	0.433	0.199	0.113	
	450	3.038	3.052	2.302	0.434	0.202	0.114	
	460	3.046	3.057	2.302	0.435	0.205	0.114	
	470	3.070	3.061	2.302	0.437	0.208	0.114	
	480	3.076	3.065	2.302	0.438	0.211	0.114	
	490	3.082	3.069	2.302	0.439	0.214	0.115	
	500	3.085	3.073	2.302	0.440	0.217	0.115	
	510	3.085	3.077	2.302	0.441	0.219	0.115	
	520	3.104	3.081	2.302	0.442	0.222	0.115	
	530	3.112	3.084	2.302	0.443	0.224	0.115	
	540	3.109	3.088	2.302	0.443	0.227	0.115	

		550	3.090	3.091	2.302	0.444	0.229	0.116	
		560	3.116	3.094	2.302	0.445	0.232	0.116	
		570	3.105	3.098	2.302	0.445	0.234	0.116	
		580	3.089	3.101	2.302	0.446	0.237	0.116	
		590	3.096	3.104	2.302	0.446	0.239	0.116	
		600	3.115	3.107	2.302	0.447	0.241	0.116	
GFET #S34	$c^{(CEA)} = 20$ nM	-50	2.310	2.313	-	-	-	-	$\tilde{c}^{(CEA)} \approx 20.1675$ nM
		-40	2.297	2.313					
		-30	2.316	2.313					
		-20	2.320	2.313					
		-10	2.332	2.313					
		0	2.309	2.313					
		10	2.391	2.378					
		20	2.442	2.437					
		30	2.510	2.490					
		40	2.521	2.538					
		50	2.576	2.581					
		60	2.620	2.620					
		70	2.653	2.656					
		80	2.674	2.690					
		90	2.722	2.720					
		100	2.774	2.748					
		110	2.781	2.774					
		120	2.810	2.798					
		130	2.831	2.821					
	$c^{(AFP)} = 5$ nM	140	2.853	2.841					$\tilde{c}^{(AFP)} \approx 8.1654$ nM
		150	2.888	2.861					
		160	2.864	2.879					
		170	2.912	2.896					
		180	2.933	2.912					
	$c^{(PTH)} = 5$ nM	190	2.956	2.927					$\tilde{c}^{(PTH)} \approx 16.4865$ nM
		200	2.955	2.942					
		210	2.962	2.955					
		220	2.979	2.968					
		230	2.998	2.980					
		240	2.988	2.991					
		250	3.011	3.002					
		260	3.011	3.012					
		270	3.026	3.022					
		280	3.033	3.031					
		290	3.044	3.040					
		300	3.050	3.049					
		310	3.051	3.057					
		320	3.070	3.064					
		330	3.080	3.072					
		340	3.082	3.079					

		350	3.101	3.086	2.313	0.450	0.191	0.131	
		360	3.086	3.092	2.313	0.453	0.195	0.131	
		370	3.124	3.099	2.313	0.455	0.199	0.131	
		380	3.098	3.105	2.313	0.457	0.203	0.131	
		390	3.094	3.110	2.313	0.459	0.207	0.131	
		400	3.113	3.116	2.313	0.461	0.210	0.131	
		410	3.135	3.121	2.313	0.463	0.214	0.132	
		420	3.141	3.127	2.313	0.464	0.218	0.132	
		430	3.129	3.132	2.313	0.466	0.221	0.132	
		440	3.154	3.137	2.313	0.467	0.225	0.132	
		450	3.149	3.141	2.313	0.468	0.228	0.132	
		460	3.186	3.146	2.313	0.470	0.231	0.132	
		470	3.144	3.150	2.313	0.471	0.235	0.132	
		480	3.149	3.154	2.313	0.472	0.238	0.132	
		490	3.174	3.159	2.313	0.473	0.241	0.132	
		500	3.149	3.163	2.313	0.474	0.244	0.132	
		510	3.168	3.167	2.313	0.474	0.247	0.132	
		520	3.164	3.170	2.313	0.475	0.250	0.132	
		530	3.178	3.174	2.313	0.476	0.253	0.132	
		540	3.193	3.178	2.313	0.477	0.256	0.132	
		550	3.196	3.181	2.313	0.477	0.259	0.132	
		560	3.189	3.185	2.313	0.478	0.262	0.132	
		570	3.186	3.188	2.313	0.478	0.265	0.132	
		580	3.199	3.191	2.313	0.479	0.267	0.132	
		590	3.207	3.194	2.313	0.479	0.270	0.132	
		600	3.211	3.197	2.313	0.480	0.273	0.132	
GFET #S35	$c^{(CEA)} = 20$ nM $c^{(AFP)} = 5$ nM $c^{(PTH)} = 20$ nM	-50	2.337	2.334	-	-	-	-	$\tilde{c}^{(CEA)} \approx 21.4774$ nM $\tilde{c}^{(AFP)} \approx 7.6609$ nM $\tilde{c}^{(PTH)} \approx 47.3325$ nM
		-40	2.343	2.334					
		-30	2.330	2.334					
		-20	2.327	2.334					
		-10	2.351	2.334					
		0	2.325	2.334	2.334	0.000	0.000	0.000	
		10	2.450	2.434	2.334	0.038	0.007	0.054	
		20	2.507	2.508	2.334	0.074	0.013	0.087	
		30	2.571	2.567	2.334	0.106	0.020	0.107	
		40	2.609	2.616	2.334	0.137	0.026	0.119	
		50	2.677	2.657	2.334	0.164	0.032	0.126	
		60	2.703	2.693	2.334	0.190	0.038	0.130	
		70	2.730	2.725	2.334	0.214	0.044	0.133	
		80	2.780	2.755	2.334	0.236	0.050	0.134	
		90	2.796	2.782	2.334	0.256	0.056	0.135	
		100	2.818	2.807	2.334	0.275	0.062	0.136	
		110	2.819	2.830	2.334	0.292	0.067	0.136	
		120	2.853	2.852	2.334	0.308	0.073	0.137	
		130	2.893	2.872	2.334	0.323	0.078	0.137	
		140	2.886	2.891	2.334	0.336	0.084	0.137	

	150	2.898	2.909	2.334	0.349	0.089	0.137	
	160	2.919	2.926	2.334	0.360	0.094	0.137	
	170	2.942	2.942	2.334	0.371	0.099	0.137	
	180	2.955	2.956	2.334	0.381	0.104	0.137	
	190	2.961	2.970	2.334	0.390	0.109	0.137	
	200	2.980	2.984	2.334	0.399	0.114	0.137	
	210	2.977	2.996	2.334	0.406	0.119	0.137	
	220	2.989	3.008	2.334	0.414	0.123	0.137	
	230	3.011	3.019	2.334	0.420	0.128	0.137	
	240	3.039	3.030	2.334	0.426	0.132	0.137	
	250	3.034	3.040	2.334	0.432	0.137	0.137	
	260	3.070	3.050	2.334	0.437	0.141	0.137	
	270	3.066	3.059	2.334	0.442	0.146	0.137	
	280	3.050	3.068	2.334	0.446	0.150	0.137	
	290	3.072	3.076	2.334	0.451	0.154	0.137	
	300	3.105	3.084	2.334	0.454	0.158	0.137	
	310	3.102	3.091	2.334	0.458	0.162	0.137	
	320	3.098	3.099	2.334	0.461	0.166	0.137	
	330	3.120	3.106	2.334	0.464	0.170	0.137	
	340	3.122	3.112	2.334	0.467	0.174	0.137	
	350	3.146	3.119	2.334	0.469	0.178	0.137	
	360	3.109	3.125	2.334	0.472	0.182	0.137	
	370	3.143	3.131	2.334	0.474	0.185	0.137	
	380	3.130	3.136	2.334	0.476	0.189	0.137	
	390	3.137	3.142	2.334	0.478	0.192	0.137	
	400	3.184	3.147	2.334	0.480	0.196	0.137	
	410	3.149	3.152	2.334	0.481	0.199	0.137	
	420	3.149	3.157	2.334	0.483	0.203	0.137	
	430	3.154	3.161	2.334	0.484	0.206	0.137	
	440	3.186	3.166	2.334	0.485	0.209	0.137	
	450	3.160	3.170	2.334	0.486	0.213	0.137	
	460	3.170	3.174	2.334	0.487	0.216	0.137	
	470	3.174	3.178	2.334	0.488	0.219	0.137	
	480	3.187	3.182	2.334	0.489	0.222	0.137	
	490	3.199	3.186	2.334	0.490	0.225	0.137	
	500	3.173	3.190	2.334	0.491	0.228	0.137	
	510	3.194	3.194	2.334	0.492	0.231	0.137	
	520	3.176	3.197	2.334	0.492	0.234	0.137	
	530	3.189	3.201	2.334	0.493	0.237	0.137	
	540	3.215	3.204	2.334	0.493	0.239	0.137	
	550	3.201	3.207	2.334	0.494	0.242	0.137	
	560	3.214	3.210	2.334	0.494	0.245	0.137	
	570	3.215	3.214	2.334	0.495	0.247	0.137	
	580	3.198	3.217	2.334	0.495	0.250	0.137	
	590	3.205	3.219	2.334	0.496	0.253	0.137	
	600	3.231	3.222	2.334	0.496	0.255	0.137	

GFET #S36	$c^{(CEA)} = 20$ nM	-50	2.293	2.308	-	-	-	-	$\tilde{c}^{(CEA)} \approx 19.7633$ nM
		-40	2.301	2.308					
		-30	2.283	2.308					
		-20	2.326	2.308					
		-10	2.323	2.308					
		0	2.312	2.308	2.308	0.000	0.000	0.000	
		10	2.479	2.482	2.308	0.032	0.007	0.136	
		20	2.556	2.559	2.308	0.062	0.014	0.176	
		30	2.617	2.606	2.308	0.089	0.020	0.188	
		40	2.625	2.641	2.308	0.115	0.027	0.192	
		50	2.670	2.673	2.308	0.139	0.033	0.193	
		60	2.682	2.701	2.308	0.161	0.040	0.193	
		70	2.712	2.728	2.308	0.181	0.046	0.193	
		80	2.711	2.754	2.308	0.200	0.052	0.193	
		90	2.765	2.777	2.308	0.218	0.058	0.193	
		100	2.803	2.800	2.308	0.235	0.064	0.193	
		110	2.826	2.821	2.308	0.250	0.070	0.193	
		120	2.834	2.841	2.308	0.264	0.076	0.193	
		130	2.847	2.860	2.308	0.277	0.081	0.193	
		140	2.870	2.878	2.308	0.290	0.087	0.193	
		150	2.894	2.894	2.308	0.301	0.092	0.193	
		160	2.921	2.910	2.308	0.312	0.098	0.193	
		170	2.916	2.926	2.308	0.322	0.103	0.193	
		180	2.957	2.940	2.308	0.331	0.108	0.193	
		190	2.967	2.953	2.308	0.339	0.113	0.193	
		200	2.947	2.966	2.308	0.347	0.118	0.193	
		210	2.957	2.979	2.308	0.354	0.123	0.193	
		220	2.985	2.990	2.308	0.361	0.128	0.193	
		230	3.006	3.001	2.308	0.368	0.133	0.193	
		240	3.012	3.012	2.308	0.373	0.138	0.193	
		250	3.006	3.022	2.308	0.379	0.142	0.193	
		260	3.001	3.032	2.308	0.384	0.147	0.193	
		270	3.040	3.041	2.308	0.389	0.151	0.193	
		280	3.029	3.050	2.308	0.393	0.156	0.193	
		290	3.045	3.058	2.308	0.397	0.160	0.193	
		300	3.044	3.066	2.308	0.401	0.164	0.193	
		310	3.085	3.074	2.308	0.404	0.168	0.193	
		320	3.059	3.081	2.308	0.408	0.172	0.193	
		330	3.086	3.088	2.308	0.411	0.176	0.193	
		340	3.095	3.095	2.308	0.414	0.180	0.193	
		350	3.074	3.102	2.308	0.416	0.184	0.193	
		360	3.119	3.108	2.308	0.419	0.188	0.193	
		370	3.116	3.114	2.308	0.421	0.192	0.193	
		380	3.122	3.120	2.308	0.423	0.196	0.193	
		390	3.121	3.125	2.308	0.425	0.199	0.193	
		400	3.118	3.131	2.308	0.427	0.203	0.193	

		410	3.169	3.136	2.308	0.428	0.206	0.193	
		420	3.130	3.141	2.308	0.430	0.210	0.193	
		430	3.152	3.146	2.308	0.431	0.213	0.193	
		440	3.174	3.150	2.308	0.433	0.217	0.193	
		450	3.163	3.155	2.308	0.434	0.220	0.193	
		460	3.168	3.159	2.308	0.435	0.223	0.193	
		470	3.127	3.164	2.308	0.436	0.226	0.193	
		480	3.154	3.168	2.308	0.437	0.230	0.193	
		490	3.168	3.172	2.308	0.438	0.233	0.193	
		500	3.183	3.176	2.308	0.439	0.236	0.193	
		510	3.157	3.180	2.308	0.440	0.239	0.193	
		520	3.188	3.183	2.308	0.441	0.242	0.193	
		530	3.187	3.187	2.308	0.441	0.245	0.193	
		540	3.173	3.190	2.308	0.442	0.247	0.193	
		550	3.183	3.194	2.308	0.443	0.250	0.193	
		560	3.194	3.197	2.308	0.443	0.253	0.193	
		570	3.213	3.200	2.308	0.444	0.256	0.193	
		580	3.217	3.203	2.308	0.444	0.258	0.193	
		590	3.182	3.207	2.308	0.445	0.261	0.193	
		600	3.218	3.210	2.308	0.445	0.264	0.193	
		-50	2.311	2.316	-	-	-	-	
		-40	2.323	2.316					
		-30	2.311	2.316					
		-20	2.303	2.316					
		-10	2.291	2.316					
		0	2.313	2.316	2.316	0.000	0.000	0.000	
		10	2.357	2.370	2.316	0.034	0.011	0.009	
		20	2.394	2.420	2.316	0.065	0.022	0.017	
		30	2.471	2.467	2.316	0.094	0.033	0.024	
		40	2.497	2.511	2.316	0.121	0.044	0.031	
		50	2.538	2.553	2.316	0.146	0.054	0.038	$\tilde{c}^{(CEA)} \approx 20.8413 \text{ nM}$
		60	2.599	2.592	2.316	0.168	0.064	0.044	
		70	2.613	2.629	2.316	0.190	0.074	0.050	$\tilde{c}^{(AFP)} \approx 13.7754 \text{ nM}$
		80	2.661	2.664	2.316	0.209	0.083	0.055	
		90	2.682	2.696	2.316	0.227	0.093	0.060	$\tilde{c}^{(PTH)} \approx 4.1533 \text{ nM}$
		100	2.699	2.727	2.316	0.244	0.102	0.065	
		110	2.716	2.756	2.316	0.260	0.111	0.069	
		120	2.768	2.783	2.316	0.274	0.120	0.073	
		130	2.817	2.809	2.316	0.288	0.128	0.077	
		140	2.855	2.833	2.316	0.300	0.137	0.081	
		150	2.842	2.856	2.316	0.311	0.145	0.084	
		160	2.868	2.878	2.316	0.322	0.153	0.087	
		170	2.884	2.899	2.316	0.332	0.161	0.090	
		180	2.918	2.918	2.316	0.341	0.168	0.093	
		190	2.905	2.937	2.316	0.349	0.176	0.096	
		200	2.950	2.954	2.316	0.357	0.183	0.098	

		210	2.950	2.971	2.316	0.364	0.190	0.100	
		220	2.992	2.987	2.316	0.371	0.197	0.103	
		230	3.003	3.001	2.316	0.377	0.204	0.105	
		240	2.989	3.016	2.316	0.382	0.211	0.106	
		250	3.022	3.029	2.316	0.388	0.218	0.108	
		260	3.056	3.042	2.316	0.392	0.224	0.110	
		270	3.043	3.055	2.316	0.397	0.230	0.111	
		280	3.050	3.066	2.316	0.401	0.236	0.113	
		290	3.066	3.077	2.316	0.405	0.242	0.114	
		300	3.079	3.088	2.316	0.408	0.248	0.115	
		310	3.058	3.098	2.316	0.412	0.254	0.117	
		320	3.101	3.108	2.316	0.415	0.260	0.118	
		330	3.116	3.117	2.316	0.418	0.265	0.119	
		340	3.142	3.126	2.316	0.420	0.270	0.120	
		350	3.126	3.135	2.316	0.423	0.276	0.121	
		360	3.127	3.143	2.316	0.425	0.281	0.121	
		370	3.155	3.151	2.316	0.427	0.286	0.122	
		380	3.130	3.159	2.316	0.429	0.291	0.123	
		390	3.151	3.166	2.316	0.431	0.296	0.124	
		400	3.169	3.173	2.316	0.432	0.300	0.124	
		410	3.171	3.179	2.316	0.434	0.305	0.125	
		420	3.165	3.186	2.316	0.435	0.309	0.125	
		430	3.190	3.192	2.316	0.437	0.314	0.126	
		440	3.167	3.198	2.316	0.438	0.318	0.126	
		450	3.175	3.204	2.316	0.439	0.322	0.127	
		460	3.201	3.209	2.316	0.440	0.326	0.127	
		470	3.214	3.215	2.316	0.441	0.330	0.128	
		480	3.213	3.220	2.316	0.442	0.334	0.128	
		490	3.188	3.225	2.316	0.443	0.338	0.129	
		500	3.221	3.230	2.316	0.443	0.342	0.129	
		510	3.248	3.234	2.316	0.444	0.345	0.129	
		520	3.227	3.239	2.316	0.445	0.349	0.129	
		530	3.230	3.243	2.316	0.445	0.352	0.130	
		540	3.248	3.248	2.316	0.446	0.356	0.130	
		550	3.238	3.252	2.316	0.446	0.359	0.130	
		560	3.237	3.256	2.316	0.447	0.362	0.130	
		570	3.266	3.260	2.316	0.447	0.366	0.131	
		580	3.272	3.263	2.316	0.448	0.369	0.131	
		590	3.254	3.267	2.316	0.448	0.372	0.131	
		600	3.263	3.270	2.316	0.448	0.375	0.131	
GFET #S38	$c^{(CEA)} = 20$ nM	-50	2.328	2.317	-	-	-	-	$\tilde{c}^{(CEA)} \approx 19.8065$ nM
		-40	2.297	2.317					
	$c^{(AFP)} = 20$ nM	-30	2.317	2.317					$\tilde{c}^{(AFP)} \approx 16.9843$ nM
		-20	2.313	2.317					
	$c^{(PTH)} = 5$ nM	-10	2.302	2.317					$\tilde{c}^{(PTH)} \approx$
		0	2.286	2.317	2.317	0.000	0.000	0.000	

							12.4419 nM
10	2.369	2.381	2.317	0.032	0.013	0.019	
20	2.413	2.439	2.317	0.062	0.025	0.035	
30	2.479	2.493	2.317	0.089	0.037	0.049	
40	2.514	2.542	2.317	0.115	0.049	0.062	
50	2.587	2.588	2.317	0.139	0.061	0.072	
60	2.625	2.630	2.317	0.161	0.072	0.081	
70	2.682	2.669	2.317	0.181	0.083	0.089	
80	2.721	2.706	2.317	0.200	0.093	0.095	
90	2.740	2.739	2.317	0.218	0.104	0.101	
100	2.759	2.771	2.317	0.235	0.114	0.106	
110	2.817	2.800	2.317	0.250	0.124	0.110	
120	2.828	2.828	2.317	0.264	0.133	0.114	
130	2.842	2.853	2.317	0.277	0.143	0.117	
140	2.845	2.877	2.317	0.289	0.152	0.119	
150	2.887	2.900	2.317	0.301	0.161	0.122	
160	2.914	2.921	2.317	0.311	0.169	0.124	
170	2.953	2.941	2.317	0.321	0.178	0.125	
180	2.930	2.960	2.317	0.330	0.186	0.127	
190	2.964	2.978	2.317	0.339	0.194	0.128	
200	2.963	2.995	2.317	0.347	0.202	0.129	
210	2.993	3.010	2.317	0.354	0.209	0.130	
220	3.016	3.025	2.317	0.361	0.217	0.131	
230	3.042	3.040	2.317	0.367	0.224	0.132	
240	3.045	3.053	2.317	0.373	0.231	0.132	
250	3.052	3.066	2.317	0.378	0.238	0.133	
260	3.063	3.078	2.317	0.383	0.245	0.133	
270	3.064	3.090	2.317	0.388	0.251	0.134	
280	3.088	3.101	2.317	0.393	0.258	0.134	
290	3.109	3.111	2.317	0.397	0.264	0.134	
300	3.101	3.121	2.317	0.400	0.270	0.134	
310	3.126	3.131	2.317	0.404	0.276	0.135	
320	3.131	3.140	2.317	0.407	0.282	0.135	
330	3.132	3.149	2.317	0.410	0.287	0.135	
340	3.146	3.157	2.317	0.413	0.293	0.135	
350	3.168	3.165	2.317	0.415	0.298	0.135	
360	3.168	3.173	2.317	0.418	0.303	0.135	
370	3.167	3.181	2.317	0.420	0.308	0.135	
380	3.191	3.188	2.317	0.422	0.313	0.135	
390	3.183	3.194	2.317	0.424	0.318	0.135	
400	3.216	3.201	2.317	0.426	0.323	0.136	
410	3.206	3.207	2.317	0.428	0.327	0.136	
420	3.210	3.213	2.317	0.429	0.332	0.136	
430	3.212	3.219	2.317	0.431	0.336	0.136	
440	3.218	3.225	2.317	0.432	0.340	0.136	
450	3.211	3.230	2.317	0.433	0.344	0.136	
460	3.221	3.235	2.317	0.434	0.348	0.136	

		470	3.238	3.240	2.317	0.435	0.352	0.136	
		480	3.237	3.245	2.317	0.436	0.356	0.136	
		490	3.219	3.250	2.317	0.437	0.360	0.136	
		500	3.265	3.254	2.317	0.438	0.363	0.136	
		510	3.272	3.259	2.317	0.439	0.367	0.136	
		520	3.254	3.263	2.317	0.440	0.370	0.136	
		530	3.250	3.267	2.317	0.440	0.374	0.136	
		540	3.256	3.271	2.317	0.441	0.377	0.136	
		550	3.279	3.275	2.317	0.442	0.380	0.136	
		560	3.257	3.278	2.317	0.442	0.383	0.136	
		570	3.270	3.282	2.317	0.443	0.386	0.136	
		580	3.237	3.285	2.317	0.443	0.389	0.136	
		590	3.321	3.289	2.317	0.444	0.392	0.136	
		600	3.272	3.292	2.317	0.444	0.395	0.136	
		-50	2.328	2.321	-	-	-	-	$\tilde{c}^{(CEA)} \approx 21.8725 \text{ nM}$ $\tilde{c}^{(AFP)} \approx 12.2871 \text{ nM}$ $\tilde{c}^{(PTH)} \approx 52.1734 \text{ nM}$
		-40	2.309	2.321					
		-30	2.298	2.321					
		-20	2.327	2.321					
		-10	2.325	2.321					
		0	2.299	2.321					
		10	2.412	2.432					
		20	2.497	2.513					
		30	2.571	2.576					
		40	2.605	2.627					
		50	2.671	2.670					
		60	2.725	2.709					
		70	2.737	2.743					
		80	2.792	2.775					
		90	2.782	2.804					
GFET #S39	$c^{(CEA)} = 20 \text{ nM}$	100	2.849	2.831					
		110	2.855	2.856					
		120	2.843	2.879					
		130	2.867	2.901					
		140	2.927	2.922					
		150	2.936	2.942					
		160	2.962	2.960					
		170	2.976	2.978					
		180	2.992	2.994					
		190	3.050	3.009					
		200	3.020	3.024					
		210	3.036	3.038					
		220	3.057	3.051					
		230	3.078	3.063					
		240	3.079	3.075					
		250	3.078	3.086					
		260	3.093	3.097					

		270	3.070	3.107	2.321	0.445	0.195	0.146	
		280	3.113	3.117	2.321	0.449	0.200	0.146	
		290	3.129	3.126	2.321	0.453	0.205	0.146	
		300	3.129	3.135	2.321	0.457	0.211	0.146	
		310	3.138	3.143	2.321	0.460	0.216	0.146	
		320	3.158	3.151	2.321	0.464	0.220	0.146	
		330	3.167	3.159	2.321	0.466	0.225	0.146	
		340	3.147	3.167	2.321	0.469	0.230	0.146	
		350	3.178	3.174	2.321	0.472	0.234	0.146	
		360	3.203	3.180	2.321	0.474	0.239	0.146	
		370	3.198	3.187	2.321	0.476	0.243	0.146	
		380	3.159	3.193	2.321	0.478	0.248	0.146	
		390	3.216	3.199	2.321	0.480	0.252	0.146	
		400	3.189	3.205	2.321	0.481	0.256	0.146	
		410	3.196	3.210	2.321	0.483	0.260	0.146	
		420	3.214	3.216	2.321	0.484	0.264	0.146	
		430	3.212	3.221	2.321	0.486	0.268	0.146	
		440	3.208	3.226	2.321	0.487	0.272	0.146	
		450	3.222	3.231	2.321	0.488	0.275	0.146	
		460	3.232	3.235	2.321	0.489	0.279	0.146	
		470	3.234	3.240	2.321	0.490	0.283	0.146	
		480	3.206	3.244	2.321	0.491	0.286	0.146	
		490	3.245	3.248	2.321	0.492	0.289	0.146	
		500	3.240	3.253	2.321	0.492	0.293	0.146	
		510	3.247	3.257	2.321	0.493	0.296	0.146	
		520	3.243	3.260	2.321	0.494	0.299	0.146	
		530	3.254	3.264	2.321	0.494	0.302	0.146	
		540	3.263	3.268	2.321	0.495	0.306	0.146	
		550	3.273	3.271	2.321	0.495	0.309	0.146	
		560	3.296	3.275	2.321	0.496	0.312	0.146	
		570	3.251	3.278	2.321	0.496	0.314	0.146	
		580	3.287	3.281	2.321	0.496	0.317	0.146	
		590	3.286	3.284	2.321	0.497	0.320	0.146	
		600	3.279	3.287	2.321	0.497	0.323	0.146	
GFET #S40	$c^{(CEA)} = 20$ nM	-50	2.325	2.340	-	-	-	-	$\tilde{c}^{(CEA)} \approx 20.9864 \text{ nM}$
		-40	2.332	2.340					
		-30	2.336	2.340					
		-20	2.343	2.340					
		-10	2.341	2.340					
	$c^{(AFP)} = 20$ nM	0	2.324	2.340	2.340	0.000	0.000	0.000	$\tilde{c}^{(AFP)} \approx 12.2354 \text{ nM}$
		10	2.489	2.488	2.340	0.036	0.010	0.103	
		20	2.541	2.567	2.340	0.069	0.019	0.139	
		30	2.622	2.621	2.340	0.100	0.029	0.152	
	$c^{(PTH)} = 50$ nM	40	2.657	2.663	2.340	0.128	0.038	0.157	$\tilde{c}^{(PTH)} \approx 98.7764 \text{ nM}$
		50	2.708	2.700	2.340	0.155	0.047	0.159	
		60	2.731	2.733	2.340	0.179	0.055	0.159	

	70	2.770	2.765	2.340	0.202	0.064	0.160	
	80	2.791	2.794	2.340	0.222	0.072	0.160	
	90	2.822	2.821	2.340	0.242	0.080	0.160	
	100	2.823	2.847	2.340	0.260	0.089	0.160	
	110	2.874	2.872	2.340	0.276	0.096	0.160	
	120	2.906	2.895	2.340	0.291	0.104	0.160	
	130	2.909	2.916	2.340	0.305	0.112	0.160	
	140	2.927	2.937	2.340	0.318	0.119	0.160	
	150	2.946	2.956	2.340	0.330	0.126	0.160	
	160	2.976	2.974	2.340	0.342	0.133	0.160	
	170	2.981	2.992	2.340	0.352	0.140	0.160	
	180	2.985	3.008	2.340	0.362	0.147	0.160	
	190	3.007	3.023	2.340	0.370	0.154	0.160	
	200	3.012	3.038	2.340	0.379	0.160	0.160	
	210	3.022	3.052	2.340	0.386	0.167	0.160	
	220	3.047	3.065	2.340	0.393	0.173	0.160	
	230	3.058	3.078	2.340	0.400	0.179	0.160	
	240	3.055	3.090	2.340	0.406	0.185	0.160	
	250	3.100	3.101	2.340	0.411	0.191	0.160	
	260	3.107	3.112	2.340	0.416	0.197	0.160	
	270	3.144	3.123	2.340	0.421	0.202	0.160	
	280	3.124	3.132	2.340	0.425	0.208	0.160	
	290	3.114	3.142	2.340	0.429	0.213	0.160	
	300	3.155	3.151	2.340	0.433	0.219	0.160	
	310	3.156	3.160	2.340	0.437	0.224	0.160	
	320	3.167	3.168	2.340	0.440	0.229	0.160	
	330	3.180	3.176	2.340	0.443	0.234	0.160	
	340	3.181	3.183	2.340	0.445	0.239	0.160	
	350	3.162	3.191	2.340	0.448	0.243	0.160	
	360	3.183	3.198	2.340	0.450	0.248	0.160	
	370	3.185	3.204	2.340	0.453	0.253	0.160	
	380	3.212	3.211	2.340	0.455	0.257	0.160	
	390	3.201	3.217	2.340	0.456	0.261	0.160	
	400	3.205	3.223	2.340	0.458	0.266	0.160	
	410	3.213	3.229	2.340	0.460	0.270	0.160	
	420	3.235	3.235	2.340	0.461	0.274	0.160	
	430	3.227	3.240	2.340	0.463	0.278	0.160	
	440	3.211	3.245	2.340	0.464	0.282	0.160	
	450	3.263	3.250	2.340	0.465	0.286	0.160	
	460	3.236	3.255	2.340	0.466	0.290	0.160	
	470	3.253	3.260	2.340	0.467	0.293	0.160	
	480	3.265	3.264	2.340	0.468	0.297	0.160	
	490	3.235	3.269	2.340	0.469	0.301	0.160	
	500	3.266	3.273	2.340	0.470	0.304	0.160	
	510	3.282	3.277	2.340	0.470	0.308	0.160	
	520	3.256	3.281	2.340	0.471	0.311	0.160	

		530	3.272	3.285	2.340	0.472	0.314	0.160	
		540	3.259	3.289	2.340	0.472	0.317	0.160	
		550	3.281	3.292	2.340	0.473	0.320	0.160	
		560	3.317	3.296	2.340	0.473	0.324	0.160	
		570	3.310	3.300	2.340	0.474	0.327	0.160	
		580	3.310	3.303	2.340	0.474	0.330	0.160	
		590	3.273	3.306	2.340	0.474	0.332	0.160	
		600	3.278	3.309	2.340	0.475	0.335	0.160	
GFET #S41	$c^{(CEA)} = 20$ nM	-50	2.285	2.288	-	-	-	-	$\tilde{c}^{(CEA)} \approx 18.2014$ nM
		-40	2.270	2.288					
		-30	2.284	2.288					
		-20	2.283	2.288					
		-10	2.265	2.288					
		0	2.289	2.288					
		10	2.354	2.351					
		20	2.419	2.410					
		30	2.445	2.465					
		40	2.518	2.517					
		50	2.564	2.565					
		60	2.622	2.611					
		70	2.643	2.654					
		80	2.688	2.694					
		90	2.721	2.732					
		100	2.750	2.768					
		110	2.795	2.802					
		120	2.828	2.833					
	$c^{(AFP)} = 50$ nM	130	2.848	2.863					$\tilde{c}^{(AFP)} \approx 25.3216$ nM
		140	2.889	2.891					
		150	2.896	2.918					
		160	2.928	2.943					
		170	2.950	2.967					
		180	2.989	2.990					
		190	2.984	3.011					
		200	3.020	3.031					
		210	3.031	3.050					
		220	3.064	3.069					
		230	3.097	3.086					
		240	3.087	3.102					
		250	3.103	3.118					
		260	3.121	3.132					
		270	3.134	3.146					
		280	3.146	3.160					
		290	3.151	3.173					
		300	3.168	3.185					
		310	3.197	3.196					
		320	3.198	3.207					

		330	3.212	3.218	2.288	0.403	0.402	0.125	
		340	3.226	3.228	2.288	0.406	0.408	0.125	
		350	3.214	3.237	2.288	0.409	0.414	0.126	
		360	3.246	3.246	2.288	0.412	0.421	0.126	
		370	3.270	3.255	2.288	0.415	0.426	0.126	
		380	3.267	3.263	2.288	0.417	0.432	0.126	
		390	3.274	3.271	2.288	0.419	0.438	0.127	
		400	3.274	3.279	2.288	0.421	0.443	0.127	
		410	3.285	3.286	2.288	0.423	0.448	0.127	
		420	3.289	3.293	2.288	0.425	0.453	0.127	
		430	3.301	3.299	2.288	0.427	0.458	0.127	
		440	3.294	3.306	2.288	0.428	0.462	0.127	
		450	3.300	3.312	2.288	0.430	0.467	0.127	
		460	3.313	3.318	2.288	0.431	0.471	0.127	
		470	3.315	3.323	2.288	0.433	0.475	0.128	
		480	3.324	3.328	2.288	0.434	0.479	0.128	
		490	3.343	3.334	2.288	0.435	0.483	0.128	
		500	3.345	3.338	2.288	0.436	0.487	0.128	
		510	3.326	3.343	2.288	0.437	0.491	0.128	
		520	3.327	3.348	2.288	0.438	0.494	0.128	
		530	3.334	3.352	2.288	0.439	0.498	0.128	
		540	3.328	3.356	2.288	0.439	0.501	0.128	
		550	3.340	3.360	2.288	0.440	0.504	0.128	
		560	3.365	3.364	2.288	0.441	0.507	0.128	
		570	3.387	3.368	2.288	0.442	0.510	0.128	
		580	3.358	3.371	2.288	0.442	0.513	0.128	
		590	3.394	3.374	2.288	0.443	0.516	0.128	
		600	3.376	3.378	2.288	0.443	0.518	0.128	
		-50	2.317	2.320	-	-	-	-	$\tilde{c}^{(CEA)} \approx 20.6544 \text{ nM}$ $\tilde{c}^{(AFP)} \approx 25.8776 \text{ nM}$ $\tilde{c}^{(PTH)} \approx 14.0771 \text{ nM}$
		-40	2.330	2.320					
		-30	2.308	2.320					
		-20	2.331	2.320					
		-10	2.337	2.320					
		0	2.311	2.320	2.320	0.000	0.000	0.000	
		10	2.364	2.393	2.320	0.034	0.019	0.021	
		20	2.482	2.460	2.320	0.065	0.037	0.038	
		30	2.517	2.521	2.320	0.094	0.054	0.053	
		40	2.565	2.578	2.320	0.121	0.071	0.066	
		50	2.631	2.630	2.320	0.146	0.088	0.076	
		60	2.673	2.678	2.320	0.169	0.103	0.085	
		70	2.701	2.722	2.320	0.190	0.119	0.093	
		80	2.756	2.763	2.320	0.210	0.133	0.099	
		90	2.788	2.801	2.320	0.229	0.148	0.105	
		100	2.827	2.836	2.320	0.246	0.161	0.110	
		110	2.884	2.869	2.320	0.261	0.175	0.113	
		120	2.911	2.900	2.320	0.276	0.188	0.117	

	130	2.920	2.928	2.320	0.289	0.200	0.120	
	140	2.957	2.955	2.320	0.302	0.212	0.122	
	150	2.976	2.980	2.320	0.313	0.223	0.124	
	160	3.000	3.004	2.320	0.324	0.235	0.126	
	170	2.998	3.026	2.320	0.334	0.245	0.127	
	180	3.031	3.047	2.320	0.343	0.256	0.128	
	190	3.066	3.066	2.320	0.352	0.266	0.129	
	200	3.089	3.085	2.320	0.359	0.276	0.130	
	210	3.107	3.102	2.320	0.367	0.285	0.131	
	220	3.112	3.119	2.320	0.373	0.294	0.131	
	230	3.128	3.134	2.320	0.380	0.303	0.132	
	240	3.126	3.149	2.320	0.385	0.311	0.132	
	250	3.168	3.163	2.320	0.391	0.320	0.133	
	260	3.186	3.176	2.320	0.396	0.328	0.133	
	270	3.202	3.189	2.320	0.400	0.335	0.133	
	280	3.182	3.200	2.320	0.405	0.343	0.134	
	290	3.210	3.212	2.320	0.409	0.350	0.134	
	300	3.202	3.222	2.320	0.412	0.357	0.134	
	310	3.211	3.233	2.320	0.416	0.363	0.134	
	320	3.225	3.242	2.320	0.419	0.370	0.134	
	330	3.223	3.252	2.320	0.422	0.376	0.134	
	340	3.233	3.260	2.320	0.424	0.382	0.134	
	350	3.269	3.269	2.320	0.427	0.388	0.134	
	360	3.246	3.277	2.320	0.429	0.393	0.134	
	370	3.277	3.284	2.320	0.431	0.399	0.135	
	380	3.292	3.291	2.320	0.433	0.404	0.135	
	390	3.273	3.298	2.320	0.435	0.409	0.135	
	400	3.312	3.305	2.320	0.437	0.414	0.135	
	410	3.289	3.311	2.320	0.438	0.419	0.135	
	420	3.323	3.317	2.320	0.440	0.423	0.135	
	430	3.328	3.323	2.320	0.441	0.428	0.135	
	440	3.322	3.329	2.320	0.442	0.432	0.135	
	450	3.335	3.334	2.320	0.444	0.436	0.135	
	460	3.339	3.339	2.320	0.445	0.440	0.135	
	470	3.337	3.344	2.320	0.446	0.444	0.135	
	480	3.339	3.348	2.320	0.447	0.448	0.135	
	490	3.362	3.353	2.320	0.447	0.451	0.135	
	500	3.356	3.357	2.320	0.448	0.455	0.135	
	510	3.368	3.361	2.320	0.449	0.458	0.135	
	520	3.366	3.365	2.320	0.450	0.461	0.135	
	530	3.379	3.369	2.320	0.450	0.464	0.135	
	540	3.370	3.372	2.320	0.451	0.467	0.135	
	550	3.353	3.376	2.320	0.451	0.470	0.135	
	560	3.363	3.379	2.320	0.452	0.473	0.135	
	570	3.394	3.382	2.320	0.452	0.476	0.135	
	580	3.371	3.385	2.320	0.453	0.478	0.135	

		590	3.402	3.388	2.320	0.453	0.481	0.135	
		600	3.392	3.391	2.320	0.453	0.483	0.135	
GFET #S43	$c^{(CEA)} = 20$ nM	-50	2.307	2.318	-	-	-	-	$\tilde{c}^{(CEA)} \approx$ 18.3976 nM
		-40	2.325	2.318					
		-30	2.308	2.318					
		-20	2.341	2.318					
		-10	2.313	2.318					
		0	2.305	2.318	2.318	0.000	0.000	0.000	
		10	2.414	2.431	2.318	0.028	0.021	0.065	
		20	2.508	2.514	2.318	0.054	0.041	0.101	
		30	2.573	2.578	2.318	0.078	0.060	0.122	
		40	2.632	2.630	2.318	0.101	0.079	0.133	
		50	2.679	2.676	2.318	0.122	0.097	0.139	
		60	2.726	2.716	2.318	0.141	0.115	0.142	
		70	2.747	2.754	2.318	0.160	0.132	0.144	
		80	2.782	2.788	2.318	0.177	0.148	0.145	
		90	2.808	2.821	2.318	0.193	0.164	0.146	
		100	2.838	2.851	2.318	0.208	0.179	0.146	
		110	2.887	2.880	2.318	0.222	0.194	0.147	
		120	2.891	2.907	2.318	0.235	0.208	0.147	
		130	2.929	2.933	2.318	0.247	0.222	0.147	
		140	2.955	2.958	2.318	0.259	0.235	0.147	
		150	2.995	2.981	2.318	0.269	0.248	0.147	
	$c^{(AFP)} = 50$ nM	160	3.006	3.004	2.318	0.279	0.260	0.147	
		170	3.017	3.025	2.318	0.288	0.272	0.147	
	$c^{(PTH)} = 20$ nM	180	3.038	3.045	2.318	0.297	0.284	0.147	
		190	3.041	3.064	2.318	0.305	0.295	0.147	
		200	3.094	3.082	2.318	0.313	0.305	0.147	
		210	3.098	3.100	2.318	0.320	0.316	0.147	
		220	3.089	3.116	2.318	0.326	0.326	0.147	
		230	3.105	3.132	2.318	0.332	0.335	0.147	
		240	3.160	3.147	2.318	0.338	0.345	0.147	
		250	3.171	3.162	2.318	0.343	0.354	0.147	
		260	3.158	3.175	2.318	0.348	0.363	0.147	
		270	3.181	3.188	2.318	0.353	0.371	0.147	
		280	3.192	3.201	2.318	0.357	0.379	0.147	
		290	3.197	3.213	2.318	0.361	0.387	0.147	
		300	3.222	3.224	2.318	0.365	0.395	0.147	
		310	3.215	3.235	2.318	0.369	0.402	0.147	
		320	3.263	3.245	2.318	0.372	0.409	0.147	
		330	3.261	3.255	2.318	0.375	0.416	0.147	
		340	3.271	3.265	2.318	0.378	0.422	0.147	
		350	3.258	3.274	2.318	0.381	0.429	0.147	
		360	3.290	3.282	2.318	0.383	0.435	0.147	
		370	3.272	3.291	2.318	0.385	0.441	0.147	
		380	3.312	3.299	2.318	0.388	0.447	0.147	

		390	3.322	3.306	2.318	0.390	0.452	0.147	
		400	3.305	3.313	2.318	0.392	0.457	0.147	
		410	3.323	3.320	2.318	0.393	0.463	0.147	
		420	3.319	3.327	2.318	0.395	0.468	0.147	
		430	3.311	3.333	2.318	0.397	0.472	0.147	
		440	3.331	3.340	2.318	0.398	0.477	0.147	
		450	3.342	3.345	2.318	0.399	0.482	0.147	
		460	3.349	3.351	2.318	0.401	0.486	0.147	
		470	3.347	3.356	2.318	0.402	0.490	0.147	
		480	3.343	3.361	2.318	0.403	0.494	0.147	
		490	3.352	3.366	2.318	0.404	0.498	0.147	
		500	3.377	3.371	2.318	0.405	0.502	0.147	
		510	3.372	3.376	2.318	0.406	0.505	0.147	
		520	3.382	3.380	2.318	0.407	0.509	0.147	
		530	3.371	3.384	2.318	0.407	0.512	0.147	
		540	3.367	3.388	2.318	0.408	0.516	0.147	
		550	3.377	3.392	2.318	0.409	0.519	0.147	
		560	3.395	3.396	2.318	0.409	0.522	0.147	
		570	3.387	3.399	2.318	0.410	0.525	0.147	
		580	3.382	3.403	2.318	0.411	0.528	0.147	
		590	3.425	3.406	2.318	0.411	0.530	0.147	
		600	3.403	3.409	2.318	0.412	0.533	0.147	
GFET #S44	$c^{(CEA)} = 20$ nM $c^{(AFP)} = 50$ nM $c^{(PTH)} = 50$ nM	-50	2.332	2.319	-	-	-	-	$\tilde{c}^{(CEA)} \approx 21.3091$ nM $\tilde{c}^{(AFP)} \approx 23.7765$ nM $\tilde{c}^{(PTH)} \approx 109.7643$ nM
		-40	2.304	2.319					
		-30	2.311	2.319					
		-20	2.296	2.319					
		-10	2.332	2.319					
		0	2.305	2.319	2.319	0.000	0.000	0.000	
		10	2.460	2.476	2.319	0.036	0.019	0.102	
		20	2.537	2.561	2.319	0.070	0.037	0.135	
		30	2.592	2.620	2.319	0.100	0.055	0.145	
		40	2.643	2.669	2.319	0.129	0.072	0.149	
		50	2.692	2.713	2.319	0.155	0.089	0.150	
		60	2.750	2.753	2.319	0.179	0.105	0.150	
		70	2.790	2.792	2.319	0.202	0.121	0.150	
		80	2.828	2.828	2.319	0.223	0.136	0.150	
		90	2.851	2.861	2.319	0.242	0.150	0.150	
		100	2.897	2.893	2.319	0.260	0.165	0.150	
		110	2.922	2.923	2.319	0.276	0.178	0.150	
		120	2.956	2.952	2.319	0.291	0.192	0.150	
		130	2.986	2.979	2.319	0.305	0.204	0.150	
		140	3.024	3.004	2.319	0.318	0.217	0.150	
		150	3.019	3.028	2.319	0.330	0.229	0.150	
		160	3.053	3.051	2.319	0.341	0.241	0.150	
		170	3.071	3.072	2.319	0.351	0.252	0.150	
		180	3.097	3.092	2.319	0.361	0.263	0.150	

		190	3.094	3.112	2.319	0.369	0.273	0.150	
		200	3.151	3.130	2.319	0.377	0.284	0.150	
		210	3.161	3.147	2.319	0.385	0.293	0.150	
		220	3.162	3.164	2.319	0.392	0.303	0.150	
		230	3.187	3.179	2.319	0.398	0.312	0.150	
		240	3.207	3.194	2.319	0.404	0.321	0.150	
		250	3.211	3.208	2.319	0.409	0.330	0.150	
		260	3.221	3.222	2.319	0.414	0.339	0.150	
		270	3.244	3.235	2.319	0.419	0.347	0.150	
		280	3.239	3.247	2.319	0.423	0.355	0.150	
		290	3.256	3.258	2.319	0.427	0.362	0.150	
		300	3.224	3.269	2.319	0.431	0.370	0.150	
		310	3.279	3.280	2.319	0.434	0.377	0.150	
		320	3.316	3.290	2.319	0.437	0.384	0.150	
		330	3.307	3.299	2.319	0.440	0.390	0.150	
		340	3.292	3.309	2.319	0.443	0.397	0.150	
		350	3.326	3.317	2.319	0.445	0.403	0.150	
		360	3.322	3.326	2.319	0.447	0.409	0.150	
		370	3.336	3.334	2.319	0.449	0.415	0.150	
		380	3.328	3.341	2.319	0.451	0.421	0.150	
		390	3.345	3.349	2.319	0.453	0.427	0.150	
		400	3.360	3.356	2.319	0.455	0.432	0.150	
		410	3.359	3.362	2.319	0.456	0.437	0.150	
		420	3.371	3.369	2.319	0.458	0.442	0.150	
		430	3.381	3.375	2.319	0.459	0.447	0.150	
		440	3.391	3.381	2.319	0.460	0.452	0.150	
		450	3.381	3.387	2.319	0.461	0.456	0.150	
		460	3.375	3.392	2.319	0.462	0.461	0.150	
		470	3.385	3.397	2.319	0.463	0.465	0.150	
		480	3.389	3.402	2.319	0.464	0.469	0.150	
		490	3.404	3.407	2.319	0.465	0.473	0.150	
		500	3.397	3.412	2.319	0.466	0.477	0.150	
		510	3.419	3.416	2.319	0.466	0.481	0.150	
		520	3.429	3.420	2.319	0.467	0.484	0.150	
		530	3.413	3.425	2.319	0.468	0.488	0.150	
		540	3.422	3.428	2.319	0.468	0.491	0.150	
		550	3.415	3.432	2.319	0.469	0.495	0.150	
		560	3.431	3.436	2.319	0.469	0.498	0.150	
		570	3.431	3.439	2.319	0.470	0.501	0.150	
		580	3.409	3.443	2.319	0.470	0.504	0.150	
		590	3.436	3.446	2.319	0.470	0.507	0.150	
		600	3.425	3.449	2.319	0.471	0.510	0.150	
GFET #S45	$c^{(CEA)} = 20$ nM $c^{(AFP)} =$ 100 nM	-50	2.324	2.334	-	-	-	-	$\tilde{c}^{(CEA)} \approx$ 20.6619 nM $\tilde{c}^{(AFP)} \approx$ 49.7633 nM
		-40	2.330	2.334					
		-30	2.339	2.334					
		-20	2.336	2.334					

$c^{(PTH)} = 2$ nM	-10	2.329	2.334				
	0	2.336	2.334	2.334	0.000	0.000	0.000
	10	2.394	2.413	2.334	0.032	0.038	0.009
	20	2.469	2.487	2.334	0.061	0.075	0.017
	30	2.562	2.556	2.334	0.088	0.109	0.024
	40	2.603	2.620	2.334	0.113	0.141	0.031
	50	2.680	2.680	2.334	0.137	0.172	0.038
	60	2.743	2.736	2.334	0.158	0.201	0.043
	70	2.806	2.789	2.334	0.178	0.228	0.049
	80	2.818	2.838	2.334	0.197	0.253	0.054
	90	2.869	2.883	2.334	0.214	0.277	0.058
	100	2.933	2.926	2.334	0.230	0.300	0.062
	110	2.959	2.966	2.334	0.244	0.322	0.066
	120	3.014	3.003	2.334	0.258	0.342	0.069
	130	3.039	3.038	2.334	0.270	0.361	0.073
	140	3.072	3.071	2.334	0.282	0.379	0.075
	150	3.093	3.101	2.334	0.293	0.396	0.078
	160	3.128	3.130	2.334	0.303	0.412	0.081
	170	3.127	3.157	2.334	0.312	0.427	0.083
	180	3.169	3.182	2.334	0.321	0.442	0.085
	190	3.208	3.205	2.334	0.329	0.455	0.087
	200	3.225	3.227	2.334	0.336	0.468	0.089
	210	3.257	3.247	2.334	0.343	0.480	0.090
	220	3.265	3.266	2.334	0.349	0.491	0.092
	230	3.305	3.284	2.334	0.355	0.502	0.093
	240	3.305	3.301	2.334	0.360	0.512	0.094
	250	3.293	3.317	2.334	0.365	0.521	0.096
	260	3.308	3.331	2.334	0.370	0.530	0.097
	270	3.326	3.345	2.334	0.374	0.539	0.098
	280	3.354	3.358	2.334	0.378	0.547	0.098
	290	3.367	3.370	2.334	0.382	0.554	0.099
	300	3.362	3.381	2.334	0.385	0.561	0.100
	310	3.389	3.392	2.334	0.389	0.568	0.101
	320	3.406	3.402	2.334	0.392	0.574	0.101
	330	3.427	3.411	2.334	0.394	0.580	0.102
	340	3.435	3.419	2.334	0.397	0.586	0.102
	350	3.430	3.428	2.334	0.399	0.591	0.103
	360	3.437	3.435	2.334	0.401	0.596	0.103
	370	3.418	3.442	2.334	0.403	0.601	0.104
	380	3.459	3.449	2.334	0.405	0.606	0.104
	390	3.448	3.455	2.334	0.407	0.610	0.105
	400	3.448	3.461	2.334	0.408	0.614	0.105
	410	3.487	3.467	2.334	0.410	0.617	0.105
	420	3.480	3.472	2.334	0.411	0.621	0.105
	430	3.469	3.477	2.334	0.412	0.624	0.106
	440	3.464	3.481	2.334	0.414	0.627	0.106

		450	3.471	3.485	2.334	0.415	0.630	0.106	
		460	3.487	3.489	2.334	0.416	0.633	0.106	
		470	3.479	3.493	2.334	0.417	0.636	0.106	
		480	3.517	3.497	2.334	0.417	0.638	0.107	
		490	3.489	3.500	2.334	0.418	0.641	0.107	
		500	3.490	3.503	2.334	0.419	0.643	0.107	
		510	3.502	3.506	2.334	0.420	0.645	0.107	
		520	3.492	3.509	2.334	0.420	0.647	0.107	
		530	3.503	3.511	2.334	0.421	0.649	0.107	
		540	3.508	3.514	2.334	0.421	0.651	0.107	
		550	3.516	3.516	2.334	0.422	0.652	0.107	
		560	3.521	3.518	2.334	0.422	0.654	0.108	
		570	3.509	3.520	2.334	0.423	0.655	0.108	
		580	3.506	3.522	2.334	0.423	0.657	0.108	
		590	3.498	3.524	2.334	0.424	0.658	0.108	
		600	3.509	3.525	2.334	0.424	0.659	0.108	
GFET #S46	$c^{(CEA)} = 20 \text{ nM}$ $c^{(AFP)} = 100 \text{ nM}$ $c^{(PTH)} = 5 \text{ nM}$	-50	2.317	2.318	-	-	-	-	$\tilde{c}^{(CEA)} \approx 18.7603 \text{ nM}$ $\tilde{c}^{(AFP)} \approx 47.8803 \text{ nM}$ $\tilde{c}^{(PTH)} \approx 13.2231 \text{ nM}$
		-40	2.330	2.318					
		-30	2.320	2.318					
		-20	2.323	2.318					
		-10	2.321	2.318					
		0	2.329	2.318					
		10	2.378	2.399					
		20	2.477	2.474					
		30	2.544	2.543					
		40	2.617	2.606					
		50	2.659	2.665					
		60	2.728	2.719					
		70	2.746	2.770					
		80	2.817	2.816					
		90	2.854	2.860					
		100	2.912	2.900					
		110	2.944	2.938					
		120	2.950	2.973					
		130	3.003	3.006					
		140	3.026	3.036					
		150	3.071	3.065					
		160	3.057	3.091					
		170	3.098	3.116					
		180	3.146	3.139					
		190	3.164	3.161					
		200	3.166	3.181					
		210	3.197	3.200					
		220	3.214	3.218					
		230	3.239	3.235					
		240	3.219	3.251					

		250	3.248	3.265	2.318	0.371	0.461	0.115	
		260	3.291	3.279	2.318	0.377	0.469	0.115	
		270	3.283	3.292	2.318	0.382	0.477	0.115	
		280	3.297	3.304	2.318	0.386	0.484	0.116	
		290	3.302	3.315	2.318	0.391	0.491	0.116	
		300	3.324	3.326	2.318	0.395	0.497	0.116	
		310	3.358	3.336	2.318	0.398	0.504	0.116	
		320	3.353	3.346	2.318	0.402	0.509	0.116	
		330	3.366	3.354	2.318	0.405	0.515	0.116	
		340	3.376	3.363	2.318	0.408	0.520	0.116	
		350	3.349	3.370	2.318	0.411	0.525	0.116	
		360	3.366	3.378	2.318	0.413	0.530	0.117	
		370	3.396	3.385	2.318	0.416	0.534	0.117	
		380	3.386	3.391	2.318	0.418	0.538	0.117	
		390	3.397	3.397	2.318	0.420	0.542	0.117	
		400	3.408	3.403	2.318	0.422	0.546	0.117	
		410	3.412	3.408	2.318	0.424	0.549	0.117	
		420	3.419	3.413	2.318	0.426	0.553	0.117	
		430	3.418	3.418	2.318	0.427	0.556	0.117	
		440	3.412	3.423	2.318	0.429	0.559	0.117	
		450	3.420	3.427	2.318	0.430	0.562	0.117	
		460	3.418	3.431	2.318	0.432	0.564	0.117	
		470	3.417	3.435	2.318	0.433	0.567	0.117	
		480	3.425	3.438	2.318	0.434	0.569	0.117	
		490	3.442	3.441	2.318	0.435	0.571	0.117	
		500	3.451	3.444	2.318	0.436	0.573	0.117	
		510	3.438	3.447	2.318	0.437	0.575	0.117	
		520	3.449	3.450	2.318	0.438	0.577	0.117	
		530	3.433	3.453	2.318	0.439	0.579	0.117	
		540	3.470	3.455	2.318	0.439	0.581	0.117	
		550	3.450	3.457	2.318	0.440	0.582	0.117	
		560	3.462	3.460	2.318	0.441	0.584	0.117	
		570	3.450	3.462	2.318	0.441	0.585	0.117	
		580	3.470	3.464	2.318	0.442	0.587	0.117	
		590	3.479	3.465	2.318	0.442	0.588	0.117	
		600	3.449	3.467	2.318	0.443	0.589	0.117	
GFET #S47	$c^{(CEA)} = 20 \text{ nM}$ $c^{(AFP)} = 100 \text{ nM}$ $c^{(PTH)} = 20 \text{ nM}$	-50	2.286	2.309	-	-	-	-	$\tilde{c}^{(CEA)} \approx 20.1764 \text{ nM}$ $\tilde{c}^{(AFP)} \approx 49.7609 \text{ nM}$ $\tilde{c}^{(PTH)} \approx 42.7654 \text{ nM}$
		-40	2.296	2.309					
		-30	2.307	2.309					
		-20	2.301	2.309					
		-10	2.297	2.309					
		0	2.324	2.309	2.309	0.000	0.000	0.000	
		10	2.429	2.424	2.309	0.031	0.036	0.047	
		20	2.516	2.517	2.309	0.060	0.070	0.077	
		30	2.584	2.595	2.309	0.087	0.103	0.096	
		40	2.646	2.663	2.309	0.112	0.133	0.108	

	50	2.712	2.722	2.309	0.136	0.162	0.116	
	60	2.791	2.775	2.309	0.157	0.189	0.120	
	70	2.836	2.824	2.309	0.177	0.214	0.123	
	80	2.852	2.868	2.309	0.196	0.238	0.125	
	90	2.900	2.909	2.309	0.213	0.261	0.126	
	100	2.967	2.948	2.309	0.229	0.283	0.127	
	110	2.995	2.983	2.309	0.243	0.303	0.128	
	120	3.016	3.016	2.309	0.257	0.322	0.128	
	130	3.024	3.047	2.309	0.270	0.340	0.128	
	140	3.086	3.076	2.309	0.282	0.357	0.128	
	150	3.113	3.103	2.309	0.293	0.373	0.128	
	160	3.120	3.128	2.309	0.303	0.388	0.128	
	170	3.141	3.152	2.309	0.312	0.402	0.128	
	180	3.175	3.174	2.309	0.321	0.416	0.128	
	190	3.181	3.195	2.309	0.329	0.429	0.128	
	200	3.202	3.215	2.309	0.337	0.441	0.128	
	210	3.226	3.233	2.309	0.344	0.452	0.128	
	220	3.251	3.250	2.309	0.350	0.463	0.128	
	230	3.267	3.266	2.309	0.356	0.473	0.128	
	240	3.261	3.281	2.309	0.362	0.482	0.128	
	250	3.281	3.295	2.309	0.367	0.491	0.128	
	260	3.312	3.309	2.309	0.372	0.499	0.128	
	270	3.322	3.321	2.309	0.376	0.507	0.128	
	280	3.312	3.333	2.309	0.380	0.515	0.128	
	290	3.369	3.344	2.309	0.384	0.522	0.128	
	300	3.352	3.354	2.309	0.388	0.529	0.128	
	310	3.328	3.363	2.309	0.391	0.535	0.128	
	320	3.359	3.372	2.309	0.394	0.541	0.128	
	330	3.400	3.381	2.309	0.397	0.547	0.128	
	340	3.373	3.389	2.309	0.399	0.552	0.128	
	350	3.399	3.396	2.309	0.402	0.557	0.128	
	360	3.385	3.403	2.309	0.404	0.562	0.128	
	370	3.411	3.410	2.309	0.406	0.566	0.128	
	380	3.425	3.416	2.309	0.408	0.570	0.128	
	390	3.412	3.422	2.309	0.410	0.574	0.128	
	400	3.414	3.427	2.309	0.412	0.578	0.128	
	410	3.422	3.432	2.309	0.413	0.581	0.128	
	420	3.448	3.437	2.309	0.415	0.585	0.128	
	430	3.424	3.441	2.309	0.416	0.588	0.128	
	440	3.447	3.446	2.309	0.417	0.591	0.128	
	450	3.440	3.449	2.309	0.418	0.594	0.128	
	460	3.445	3.453	2.309	0.419	0.596	0.128	
	470	3.453	3.457	2.309	0.420	0.599	0.128	
	480	3.452	3.460	2.309	0.421	0.601	0.128	
	490	3.475	3.463	2.309	0.422	0.603	0.128	
	500	3.444	3.466	2.309	0.423	0.605	0.128	

		510	3.469	3.469	2.309	0.424	0.607	0.128	
		520	3.478	3.471	2.309	0.424	0.609	0.128	
		530	3.457	3.473	2.309	0.425	0.611	0.128	
		540	3.466	3.476	2.309	0.426	0.613	0.128	
		550	3.491	3.478	2.309	0.426	0.614	0.128	
		560	3.472	3.480	2.309	0.427	0.616	0.128	
		570	3.475	3.482	2.309	0.427	0.617	0.128	
		580	3.489	3.483	2.309	0.427	0.618	0.128	
		590	3.470	3.485	2.309	0.428	0.620	0.128	
		600	3.482	3.487	2.309	0.428	0.621	0.128	
GFET #S48	$c^{(CEA)} = 20$ nM	-50	2.307	2.318	-	-	-	-	$\tilde{c}^{(CEA)} \approx 18.7933$ nM
		-40	2.297	2.318					
		-30	2.304	2.318					
		-20	2.307	2.318					
		-10	2.308	2.318					
		0	2.305	2.318	2.318	0.000	0.000	0.000	
		10	2.465	2.472	2.318	0.031	0.035	0.088	
		20	2.552	2.563	2.318	0.060	0.067	0.117	
		30	2.609	2.631	2.318	0.087	0.098	0.127	
		40	2.690	2.689	2.318	0.113	0.127	0.130	
		50	2.750	2.741	2.318	0.136	0.155	0.132	
		60	2.803	2.789	2.318	0.158	0.181	0.132	
		70	2.836	2.834	2.318	0.179	0.205	0.132	
		80	2.852	2.876	2.318	0.198	0.228	0.132	
		90	2.924	2.915	2.318	0.215	0.250	0.132	
		100	2.950	2.952	2.318	0.232	0.270	0.132	
		110	2.991	2.987	2.318	0.247	0.289	0.132	
	$c^{(AFP)} = 100$ nM	120	3.012	3.020	2.318	0.262	0.307	0.132	
		130	3.027	3.050	2.318	0.275	0.325	0.132	
		140	3.077	3.079	2.318	0.288	0.341	0.132	
		150	3.091	3.106	2.318	0.299	0.356	0.132	
		160	3.118	3.131	2.318	0.310	0.370	0.132	
		170	3.140	3.155	2.318	0.320	0.384	0.132	
		180	3.152	3.177	2.318	0.330	0.397	0.132	
		190	3.220	3.198	2.318	0.339	0.409	0.132	
		200	3.225	3.217	2.318	0.347	0.420	0.132	
		210	3.232	3.236	2.318	0.355	0.431	0.132	
	$c^{(PTH)} = 50$ nM	220	3.227	3.253	2.318	0.362	0.441	0.132	
		230	3.289	3.269	2.318	0.368	0.450	0.132	
		240	3.282	3.284	2.318	0.375	0.459	0.132	
		250	3.297	3.298	2.318	0.380	0.468	0.132	
		260	3.293	3.312	2.318	0.386	0.476	0.132	
		270	3.323	3.324	2.318	0.391	0.483	0.132	
		280	3.334	3.336	2.318	0.396	0.490	0.132	
		290	3.336	3.347	2.318	0.400	0.497	0.132	
		300	3.343	3.358	2.318	0.404	0.503	0.132	

		310	3.363	3.367	2.318	0.408	0.509	0.132	
		320	3.397	3.376	2.318	0.411	0.515	0.132	
		330	3.396	3.385	2.318	0.415	0.520	0.132	
		340	3.386	3.393	2.318	0.418	0.525	0.132	
		350	3.370	3.401	2.318	0.421	0.530	0.132	
		360	3.417	3.408	2.318	0.423	0.534	0.132	
		370	3.408	3.414	2.318	0.426	0.538	0.132	
		380	3.424	3.421	2.318	0.428	0.542	0.132	
		390	3.425	3.427	2.318	0.430	0.546	0.132	
		400	3.429	3.432	2.318	0.432	0.549	0.132	
		410	3.451	3.437	2.318	0.434	0.553	0.132	
		420	3.449	3.442	2.318	0.436	0.556	0.132	
		430	3.451	3.447	2.318	0.438	0.559	0.132	
		440	3.449	3.451	2.318	0.439	0.562	0.132	
		450	3.454	3.455	2.318	0.441	0.564	0.132	
		460	3.437	3.459	2.318	0.442	0.567	0.132	
		470	3.450	3.462	2.318	0.443	0.569	0.132	
		480	3.449	3.466	2.318	0.444	0.571	0.132	
		490	3.478	3.469	2.318	0.445	0.573	0.132	
		500	3.471	3.472	2.318	0.446	0.575	0.132	
		510	3.473	3.475	2.318	0.447	0.577	0.132	
		520	3.464	3.477	2.318	0.448	0.579	0.132	
		530	3.484	3.480	2.318	0.449	0.580	0.132	
		540	3.504	3.482	2.318	0.450	0.582	0.132	
		550	3.510	3.484	2.318	0.450	0.583	0.132	
		560	3.461	3.486	2.318	0.451	0.585	0.132	
		570	3.478	3.488	2.318	0.452	0.586	0.132	
		580	3.472	3.490	2.318	0.452	0.587	0.132	
		590	3.513	3.491	2.318	0.453	0.588	0.132	
		600	3.479	3.493	2.318	0.453	0.589	0.132	
GFET #S49	$c^{(CEA)} = 50$ nM	-50	2.310	2.314	-	-	-	-	$\tilde{c}^{(CEA)} \approx 43.8742 \text{ nM}$ $\tilde{c}^{(AFP)} \approx 6.7803 \text{ nM}$ $\tilde{c}^{(PTH)} \approx 4.1322 \text{ nM}$
		-40	2.331	2.314					
		-30	2.315	2.314					
		-20	2.313	2.314					
		-10	2.293	2.314					
	$c^{(AFP)} = 5$ nM	0	2.299	2.314	2.314	0.000	0.000	0.000	
		10	2.431	2.435	2.314	0.108	0.007	0.006	
		20	2.536	2.539	2.314	0.199	0.015	0.012	
		30	2.613	2.630	2.314	0.278	0.022	0.017	
		40	2.706	2.708	2.314	0.344	0.029	0.022	
	$c^{(PTH)} = 2$ nM	50	2.756	2.777	2.314	0.401	0.035	0.026	
		60	2.826	2.836	2.314	0.450	0.042	0.031	
		70	2.893	2.888	2.314	0.491	0.049	0.035	
		80	2.948	2.934	2.314	0.526	0.055	0.039	
		90	2.973	2.974	2.314	0.556	0.062	0.042	
		100	2.981	3.009	2.314	0.582	0.068	0.045	

	110	3.051	3.040	2.314	0.604	0.074	0.049	
	120	3.064	3.068	2.314	0.622	0.081	0.051	
	130	3.081	3.092	2.314	0.638	0.087	0.054	
	140	3.093	3.114	2.314	0.651	0.093	0.057	
	150	3.104	3.134	2.314	0.663	0.099	0.059	
	160	3.135	3.152	2.314	0.673	0.104	0.061	
	170	3.165	3.168	2.314	0.681	0.110	0.063	
	180	3.185	3.183	2.314	0.688	0.116	0.065	
	190	3.214	3.196	2.314	0.694	0.121	0.067	
	200	3.206	3.209	2.314	0.700	0.127	0.069	
	210	3.223	3.220	2.314	0.704	0.132	0.070	
	220	3.224	3.231	2.314	0.708	0.137	0.072	
	230	3.237	3.240	2.314	0.711	0.142	0.073	
	240	3.269	3.250	2.314	0.714	0.148	0.075	
	250	3.262	3.258	2.314	0.716	0.153	0.076	
	260	3.278	3.266	2.314	0.718	0.158	0.077	
	270	3.274	3.274	2.314	0.720	0.162	0.078	
	280	3.269	3.281	2.314	0.721	0.167	0.079	
	290	3.279	3.288	2.314	0.722	0.172	0.080	
	300	3.278	3.295	2.314	0.723	0.177	0.081	
	310	3.288	3.301	2.314	0.724	0.181	0.082	
	320	3.323	3.307	2.314	0.725	0.186	0.083	
	330	3.304	3.313	2.314	0.726	0.190	0.083	
	340	3.324	3.318	2.314	0.726	0.195	0.084	
	350	3.322	3.324	2.314	0.727	0.199	0.085	
	360	3.321	3.329	2.314	0.727	0.203	0.085	
	370	3.336	3.334	2.314	0.727	0.207	0.086	
	380	3.339	3.339	2.314	0.728	0.212	0.086	
	390	3.362	3.344	2.314	0.728	0.216	0.087	
	400	3.337	3.349	2.314	0.728	0.220	0.087	
	410	3.350	3.353	2.314	0.728	0.223	0.088	
	420	3.337	3.358	2.314	0.729	0.227	0.088	
	430	3.355	3.362	2.314	0.729	0.231	0.088	
	440	3.354	3.366	2.314	0.729	0.235	0.089	
	450	3.388	3.370	2.314	0.729	0.239	0.089	
	460	3.372	3.374	2.314	0.729	0.242	0.089	
	470	3.345	3.378	2.314	0.729	0.246	0.090	
	480	3.384	3.382	2.314	0.729	0.249	0.090	
	490	3.381	3.386	2.314	0.729	0.253	0.090	
	500	3.364	3.390	2.314	0.729	0.256	0.091	
	510	3.400	3.393	2.314	0.729	0.260	0.091	
	520	3.366	3.397	2.314	0.729	0.263	0.091	
	530	3.390	3.400	2.314	0.729	0.266	0.091	
	540	3.407	3.404	2.314	0.729	0.269	0.091	
	550	3.414	3.407	2.314	0.729	0.273	0.091	
	560	3.391	3.410	2.314	0.729	0.276	0.092	

		570	3.409	3.414	2.314	0.729	0.279	0.092	
		580	3.395	3.417	2.314	0.729	0.282	0.092	
		590	3.414	3.420	2.314	0.729	0.285	0.092	
		600	3.416	3.423	2.314	0.729	0.288	0.092	
GFET #S50	$c^{(CEA)} = 50$ nM	-50	2.306	2.305	-	-	-	-	$\tilde{c}^{(CEA)} \approx 44.0642$ nM
		-40	2.297	2.305					
		-30	2.319	2.305					
		-20	2.300	2.305					
		-10	2.306	2.305					
		0	2.284	2.305					
		10	2.419	2.432					
		20	2.551	2.542					
		30	2.611	2.637					
		40	2.718	2.719					
		50	2.788	2.790					
		60	2.842	2.852					
		70	2.901	2.906					
		80	2.929	2.953					
		90	3.014	2.995					
		100	3.040	3.031					
		110	3.079	3.063					
		120	3.075	3.091					
		130	3.116	3.116					
		140	3.122	3.138					
$c^{(AFP)} = 5$ nM	$c^{(PTH)} = 5$ nM	150	3.145	3.158					$\tilde{c}^{(AFP)} \approx 6.6542$ nM
		160	3.172	3.175					
		170	3.199	3.191					
		180	3.164	3.206					
		190	3.204	3.219					
		200	3.226	3.231					
		210	3.243	3.242					
		220	3.238	3.252					
		230	3.226	3.261					
		240	3.266	3.270					
		250	3.256	3.278					
		260	3.277	3.285					
		270	3.276	3.292					
		280	3.308	3.299					
		290	3.306	3.305					
		300	3.291	3.311					
		310	3.279	3.317					
		320	3.299	3.323					
		330	3.284	3.328					
		340	3.316	3.333					
		350	3.316	3.338					
		360	3.353	3.343					

		370	3.333	3.348	2.305	0.722	0.202	0.119	
		380	3.332	3.352	2.305	0.723	0.206	0.119	
		390	3.346	3.357	2.305	0.723	0.210	0.119	
		400	3.347	3.361	2.305	0.723	0.214	0.119	
		410	3.342	3.365	2.305	0.723	0.217	0.120	
		420	3.365	3.369	2.305	0.723	0.221	0.120	
		430	3.376	3.373	2.305	0.724	0.225	0.120	
		440	3.356	3.377	2.305	0.724	0.229	0.120	
		450	3.348	3.381	2.305	0.724	0.232	0.120	
		460	3.364	3.384	2.305	0.724	0.236	0.120	
		470	3.372	3.388	2.305	0.724	0.239	0.120	
		480	3.384	3.392	2.305	0.724	0.243	0.120	
		490	3.391	3.395	2.305	0.724	0.246	0.120	
		500	3.423	3.399	2.305	0.724	0.249	0.120	
		510	3.396	3.402	2.305	0.724	0.253	0.120	
		520	3.385	3.405	2.305	0.724	0.256	0.120	
		530	3.394	3.408	2.305	0.724	0.259	0.121	
		540	3.426	3.412	2.305	0.724	0.262	0.121	
		550	3.401	3.415	2.305	0.724	0.265	0.121	
		560	3.414	3.418	2.305	0.724	0.268	0.121	
		570	3.410	3.421	2.305	0.724	0.271	0.121	
		580	3.409	3.424	2.305	0.724	0.274	0.121	
		590	3.426	3.427	2.305	0.724	0.277	0.121	
		600	3.394	3.430	2.305	0.724	0.280	0.121	
		-50	2.268	2.283	-	-	-	-	$\tilde{c}^{(CEA)} \approx 46.1987 \text{ nM}$
		-40	2.262	2.283					
		-30	2.256	2.283					
		-20	2.290	2.283					
		-10	2.264	2.283					
		0	2.280	2.283					
GFET #S51	$c^{(CEA)} = 50 \text{ nM}$	10	2.461	2.452	2.283	0.116	0.006	0.047	$\tilde{c}^{(AFP)} \approx 5.9824 \text{ nM}$
		20	2.576	2.587	2.283	0.214	0.012	0.078	
		30	2.677	2.697	2.283	0.297	0.018	0.099	
		40	2.765	2.787	2.283	0.367	0.024	0.113	
		50	2.847	2.861	2.283	0.426	0.029	0.123	
	$c^{(PTH)} = 20 \text{ nM}$	60	2.912	2.923	2.283	0.476	0.035	0.129	$\tilde{c}^{(PTH)} \approx 37.0592 \text{ nM}$
		70	2.972	2.975	2.283	0.519	0.041	0.133	
		80	3.011	3.019	2.283	0.554	0.046	0.136	
		90	3.068	3.056	2.283	0.585	0.051	0.138	
		100	3.097	3.089	2.283	0.610	0.057	0.139	
		110	3.085	3.116	2.283	0.632	0.062	0.140	
		120	3.129	3.140	2.283	0.650	0.067	0.140	
		130	3.145	3.161	2.283	0.665	0.072	0.141	
		140	3.164	3.179	2.283	0.678	0.077	0.141	
		150	3.160	3.196	2.283	0.690	0.082	0.141	
		160	3.179	3.210	2.283	0.699	0.087	0.141	

		170	3.214	3.223	2.283	0.707	0.092	0.141	
		180	3.230	3.234	2.283	0.713	0.097	0.141	
		190	3.221	3.244	2.283	0.719	0.101	0.141	
		200	3.242	3.254	2.283	0.724	0.106	0.141	
		210	3.254	3.262	2.283	0.728	0.110	0.141	
		220	3.245	3.270	2.283	0.731	0.115	0.141	
		230	3.276	3.277	2.283	0.734	0.119	0.141	
		240	3.275	3.284	2.283	0.737	0.123	0.141	
		250	3.294	3.291	2.283	0.739	0.128	0.141	
		260	3.276	3.296	2.283	0.740	0.132	0.141	
		270	3.290	3.302	2.283	0.742	0.136	0.141	
		280	3.289	3.307	2.283	0.743	0.140	0.141	
		290	3.317	3.312	2.283	0.744	0.144	0.141	
		300	3.324	3.317	2.283	0.745	0.148	0.141	
		310	3.311	3.322	2.283	0.746	0.152	0.141	
		320	3.310	3.326	2.283	0.746	0.156	0.141	
		330	3.315	3.331	2.283	0.747	0.160	0.141	
		340	3.324	3.335	2.283	0.747	0.163	0.141	
		350	3.349	3.339	2.283	0.748	0.167	0.141	
		360	3.352	3.343	2.283	0.748	0.171	0.141	
		370	3.309	3.347	2.283	0.748	0.174	0.141	
		380	3.340	3.351	2.283	0.749	0.178	0.141	
		390	3.345	3.354	2.283	0.749	0.181	0.141	
		400	3.349	3.358	2.283	0.749	0.185	0.141	
		410	3.354	3.361	2.283	0.749	0.188	0.141	
		420	3.362	3.365	2.283	0.749	0.191	0.141	
		430	3.353	3.368	2.283	0.749	0.195	0.141	
		440	3.354	3.371	2.283	0.749	0.198	0.141	
		450	3.350	3.375	2.283	0.749	0.201	0.141	
		460	3.371	3.378	2.283	0.750	0.204	0.141	
		470	3.371	3.381	2.283	0.750	0.207	0.141	
		480	3.393	3.384	2.283	0.750	0.210	0.141	
		490	3.359	3.387	2.283	0.750	0.213	0.141	
		500	3.407	3.390	2.283	0.750	0.216	0.141	
		510	3.407	3.393	2.283	0.750	0.219	0.141	
		520	3.393	3.396	2.283	0.750	0.222	0.141	
		530	3.424	3.399	2.283	0.750	0.225	0.141	
		540	3.399	3.402	2.283	0.750	0.228	0.141	
		550	3.380	3.404	2.283	0.750	0.230	0.141	
		560	3.418	3.407	2.283	0.750	0.233	0.141	
		570	3.396	3.410	2.283	0.750	0.236	0.141	
		580	3.376	3.412	2.283	0.750	0.238	0.141	
		590	3.407	3.415	2.283	0.750	0.241	0.141	
		600	3.400	3.417	2.283	0.750	0.243	0.141	
GFET #S52	$c^{(CEA)} = 50$ nM	-50	2.286	2.283					$\tilde{c}^{(CEA)} \approx$ 39.5428 nM
		-40	2.296	2.283					

$c^{(\text{AFP})} = 5$ nM	-30	2.260	2.283					$\tilde{c}^{(\text{AFP})} \approx$ 7.4308 nM
	-20	2.291	2.283					
$c^{(\text{PTH})} = 50$ nM	-10	2.274	2.283					
	0	2.283	2.283	2.283	0.000	0.000	0.000	$\tilde{c}^{(\text{PTH})} \approx$ 93.1006 nM
$c^{(\text{PTH})} = 50$ nM	10	2.455	2.470	2.283	0.093	0.007	0.087	
	20	2.603	2.591	2.283	0.173	0.014	0.120	
	30	2.661	2.680	2.283	0.242	0.022	0.133	
	40	2.737	2.751	2.283	0.303	0.028	0.137	
	50	2.798	2.812	2.283	0.355	0.035	0.139	
	60	2.864	2.865	2.283	0.400	0.042	0.140	
	70	2.913	2.911	2.283	0.439	0.049	0.140	
	80	2.946	2.951	2.283	0.473	0.055	0.140	
	90	2.974	2.987	2.283	0.502	0.062	0.140	
	100	3.023	3.018	2.283	0.527	0.068	0.140	
	110	3.036	3.046	2.283	0.549	0.074	0.140	
	120	3.080	3.071	2.283	0.568	0.080	0.140	
	130	3.087	3.094	2.283	0.584	0.086	0.140	
	140	3.087	3.114	2.283	0.599	0.092	0.140	
	150	3.119	3.132	2.283	0.611	0.098	0.140	
	160	3.141	3.148	2.283	0.622	0.104	0.140	
	170	3.153	3.163	2.283	0.631	0.109	0.140	
	180	3.176	3.177	2.283	0.639	0.115	0.140	
	190	3.180	3.189	2.283	0.646	0.120	0.140	
	200	3.185	3.200	2.283	0.652	0.125	0.140	
	210	3.175	3.211	2.283	0.657	0.131	0.140	
	220	3.227	3.221	2.283	0.661	0.136	0.140	
	230	3.218	3.230	2.283	0.665	0.141	0.140	
	240	3.224	3.238	2.283	0.669	0.146	0.140	
	250	3.247	3.246	2.283	0.671	0.151	0.140	
	260	3.252	3.253	2.283	0.674	0.156	0.140	
	270	3.240	3.260	2.283	0.676	0.161	0.140	
	280	3.273	3.267	2.283	0.678	0.165	0.140	
	290	3.248	3.273	2.283	0.680	0.170	0.140	
	300	3.266	3.279	2.283	0.681	0.175	0.140	
	310	3.258	3.285	2.283	0.682	0.179	0.140	
	320	3.262	3.290	2.283	0.683	0.183	0.140	
	330	3.315	3.295	2.283	0.684	0.188	0.140	
	340	3.311	3.301	2.283	0.685	0.192	0.140	
	350	3.283	3.305	2.283	0.686	0.196	0.140	
	360	3.308	3.310	2.283	0.686	0.200	0.140	
	370	3.323	3.315	2.283	0.687	0.205	0.140	
	380	3.308	3.319	2.283	0.687	0.209	0.140	
	390	3.313	3.324	2.283	0.688	0.212	0.140	
	400	3.325	3.328	2.283	0.688	0.216	0.140	
	410	3.336	3.332	2.283	0.688	0.220	0.140	
	420	3.337	3.336	2.283	0.689	0.224	0.140	

		430	3.335	3.340	2.283	0.689	0.228	0.140	
		440	3.360	3.344	2.283	0.689	0.231	0.140	
		450	3.362	3.347	2.283	0.689	0.235	0.140	
		460	3.351	3.351	2.283	0.689	0.238	0.140	
		470	3.362	3.355	2.283	0.689	0.242	0.140	
		480	3.343	3.358	2.283	0.690	0.245	0.140	
		490	3.330	3.362	2.283	0.690	0.249	0.140	
		500	3.347	3.365	2.283	0.690	0.252	0.140	
		510	3.338	3.368	2.283	0.690	0.255	0.140	
		520	3.350	3.372	2.283	0.690	0.258	0.140	
		530	3.388	3.375	2.283	0.690	0.262	0.140	
		540	3.369	3.378	2.283	0.690	0.265	0.140	
		550	3.345	3.381	2.283	0.690	0.268	0.140	
		560	3.388	3.384	2.283	0.690	0.271	0.140	
		570	3.401	3.387	2.283	0.690	0.274	0.140	
		580	3.376	3.390	2.283	0.690	0.277	0.140	
		590	3.375	3.393	2.283	0.690	0.279	0.140	
		600	3.409	3.396	2.283	0.690	0.282	0.140	
		-50	2.314	2.323	-	-	-	-	
		-40	2.301	2.323					
		-30	2.302	2.323					
		-20	2.318	2.323					
		-10	2.322	2.323					
		0	2.332	2.323					
		10	2.429	2.455					
		20	2.544	2.567					
		30	2.650	2.661					
		40	2.721	2.741					
GFET #S53	$c^{(CEA)} = 50$ nM	50	2.778	2.809	2.323	0.423	0.043	0.021	$\tilde{c}^{(CEA)} \approx 51.7702$ nM
		60	2.850	2.867	2.323	0.470	0.051	0.024	
		70	2.888	2.917	2.323	0.508	0.059	0.027	
		80	2.963	2.960	2.323	0.540	0.067	0.030	
		90	3.016	2.997	2.323	0.567	0.074	0.033	
		100	3.048	3.029	2.323	0.589	0.082	0.036	
		110	3.037	3.057	2.323	0.607	0.089	0.039	
		120	3.073	3.081	2.323	0.622	0.096	0.041	
		130	3.082	3.103	2.323	0.634	0.103	0.043	
		140	3.132	3.123	2.323	0.645	0.110	0.046	
#S53	$c^{(AFP)} = 20$ nM	150	3.129	3.140	2.323	0.653	0.116	0.048	$\tilde{c}^{(AFP)} \approx 11.8803$ nM
		160	3.161	3.156	2.323	0.660	0.123	0.050	
		170	3.159	3.170	2.323	0.666	0.129	0.051	
		180	3.172	3.183	2.323	0.671	0.136	0.053	
		190	3.163	3.194	2.323	0.675	0.142	0.055	
		200	3.214	3.205	2.323	0.678	0.148	0.056	
		210	3.196	3.216	2.323	0.681	0.154	0.058	
		220	3.204	3.225	2.323	0.684	0.160	0.059	

		230	3.205	3.234	2.323	0.685	0.165	0.061	
		240	3.239	3.242	2.323	0.687	0.171	0.062	
		250	3.250	3.250	2.323	0.688	0.176	0.063	
		260	3.265	3.258	2.323	0.689	0.182	0.064	
		270	3.251	3.265	2.323	0.690	0.187	0.065	
		280	3.256	3.272	2.323	0.691	0.192	0.066	
		290	3.285	3.278	2.323	0.692	0.197	0.067	
		300	3.269	3.285	2.323	0.692	0.202	0.068	
		310	3.264	3.291	2.323	0.693	0.207	0.069	
		320	3.286	3.297	2.323	0.693	0.212	0.070	
		330	3.291	3.302	2.323	0.693	0.216	0.070	
		340	3.274	3.308	2.323	0.693	0.221	0.071	
		350	3.302	3.313	2.323	0.694	0.225	0.072	
		360	3.299	3.318	2.323	0.694	0.229	0.072	
		370	3.313	3.323	2.323	0.694	0.234	0.073	
		380	3.287	3.328	2.323	0.694	0.238	0.073	
		390	3.354	3.333	2.323	0.694	0.242	0.074	
		400	3.365	3.337	2.323	0.694	0.246	0.074	
		410	3.351	3.342	2.323	0.694	0.250	0.075	
		420	3.351	3.346	2.323	0.694	0.254	0.075	
		430	3.346	3.350	2.323	0.694	0.258	0.076	
		440	3.349	3.355	2.323	0.694	0.261	0.076	
		450	3.363	3.359	2.323	0.695	0.265	0.077	
		460	3.343	3.363	2.323	0.695	0.268	0.077	
		470	3.396	3.366	2.323	0.695	0.272	0.077	
		480	3.356	3.370	2.323	0.695	0.275	0.078	
		490	3.394	3.374	2.323	0.695	0.279	0.078	
		500	3.345	3.377	2.323	0.695	0.282	0.078	
		510	3.368	3.381	2.323	0.695	0.285	0.078	
		520	3.381	3.384	2.323	0.695	0.288	0.079	
		530	3.368	3.387	2.323	0.695	0.291	0.079	
		540	3.390	3.391	2.323	0.695	0.294	0.079	
		550	3.381	3.394	2.323	0.695	0.297	0.079	
		560	3.400	3.397	2.323	0.695	0.300	0.080	
		570	3.391	3.400	2.323	0.695	0.303	0.080	
		580	3.387	3.403	2.323	0.695	0.306	0.080	
		590	3.409	3.406	2.323	0.695	0.308	0.080	
		600	3.392	3.409	2.323	0.695	0.311	0.080	
GFET #S54	$c^{(CEA)} = 50$ nM	-50	2.320	2.312	-	-	-	-	$\tilde{c}^{(CEA)} \approx 43.1765 \text{ nM}$
		-40	2.306	2.312					
		-30	2.295	2.312					
	$c^{(AFP)} = 20$ nM	-20	2.299	2.312	-	-	-	-	$\tilde{c}^{(AFP)} \approx 15.3323 \text{ nM}$
		-10	2.314	2.312					
		0	2.318	2.312					
	$c^{(PTH)} = 5$ nM	10	2.428	2.425	2.312	0.093	0.011	0.009	$\tilde{c}^{(PTH)} \approx 6.5530 \text{ nM}$
		20	2.509	2.524	2.312	0.173	0.021	0.017	

	30	2.588	2.610	2.312	0.241	0.031	0.025	
	40	2.665	2.685	2.312	0.300	0.042	0.032	
	50	2.737	2.751	2.312	0.349	0.051	0.038	
	60	2.805	2.809	2.312	0.392	0.061	0.044	
	70	2.837	2.860	2.312	0.428	0.070	0.049	
	80	2.896	2.904	2.312	0.459	0.079	0.054	
	90	2.944	2.944	2.312	0.486	0.088	0.058	
	100	2.970	2.980	2.312	0.509	0.097	0.062	
	110	3.002	3.011	2.312	0.528	0.105	0.066	
	120	3.022	3.039	2.312	0.545	0.113	0.069	
	130	3.053	3.064	2.312	0.559	0.122	0.072	
	140	3.063	3.087	2.312	0.571	0.129	0.075	
	150	3.079	3.108	2.312	0.581	0.137	0.077	
	160	3.095	3.126	2.312	0.590	0.145	0.080	
	170	3.116	3.143	2.312	0.598	0.152	0.082	
	180	3.158	3.159	2.312	0.604	0.159	0.084	
	190	3.174	3.173	2.312	0.610	0.166	0.085	
	200	3.176	3.186	2.312	0.614	0.173	0.087	
	210	3.219	3.198	2.312	0.618	0.180	0.088	
	220	3.222	3.210	2.312	0.622	0.186	0.090	
	230	3.215	3.220	2.312	0.625	0.192	0.091	
	240	3.225	3.230	2.312	0.627	0.199	0.092	
	250	3.228	3.239	2.312	0.629	0.205	0.093	
	260	3.238	3.248	2.312	0.631	0.210	0.094	
	270	3.247	3.256	2.312	0.633	0.216	0.095	
	280	3.247	3.264	2.312	0.634	0.222	0.096	
	290	3.258	3.271	2.312	0.635	0.227	0.096	
	300	3.274	3.278	2.312	0.636	0.233	0.097	
	310	3.259	3.285	2.312	0.637	0.238	0.098	
	320	3.293	3.291	2.312	0.638	0.243	0.098	
	330	3.301	3.297	2.312	0.638	0.248	0.099	
	340	3.299	3.303	2.312	0.639	0.253	0.099	
	350	3.282	3.309	2.312	0.639	0.258	0.100	
	360	3.313	3.314	2.312	0.640	0.262	0.100	
	370	3.321	3.319	2.312	0.640	0.267	0.100	
	380	3.328	3.324	2.312	0.640	0.271	0.101	
	390	3.294	3.329	2.312	0.641	0.276	0.101	
	400	3.329	3.334	2.312	0.641	0.280	0.101	
	410	3.325	3.338	2.312	0.641	0.284	0.101	
	420	3.312	3.343	2.312	0.641	0.288	0.102	
	430	3.319	3.347	2.312	0.641	0.292	0.102	
	440	3.337	3.351	2.312	0.641	0.296	0.102	
	450	3.353	3.355	2.312	0.641	0.299	0.102	
	460	3.360	3.359	2.312	0.642	0.303	0.102	
	470	3.336	3.363	2.312	0.642	0.307	0.103	
	480	3.356	3.367	2.312	0.642	0.310	0.103	

		490	3.339	3.370	2.312	0.642	0.314	0.103	
		500	3.363	3.374	2.312	0.642	0.317	0.103	
		510	3.357	3.377	2.312	0.642	0.320	0.103	
		520	3.373	3.380	2.312	0.642	0.323	0.103	
		530	3.386	3.383	2.312	0.642	0.326	0.103	
		540	3.372	3.387	2.312	0.642	0.329	0.103	
		550	3.377	3.390	2.312	0.642	0.332	0.103	
		560	3.367	3.392	2.312	0.642	0.335	0.103	
		570	3.371	3.395	2.312	0.642	0.338	0.103	
		580	3.389	3.398	2.312	0.642	0.341	0.103	
		590	3.401	3.401	2.312	0.642	0.343	0.103	
		600	3.380	3.404	2.312	0.642	0.346	0.104	
GFET #S55	$c^{(CEA)} = 50$ nM $c^{(AFP)} = 20$ nM $c^{(PTH)} = 20$ nM	-50	2.302	2.306	-	-	-	-	$\tilde{c}^{(CEA)} \approx 45.9947$ nM $\tilde{c}^{(AFP)} \approx 14.8237$ nM $\tilde{c}^{(PTH)} \approx 38.7112$ nM
		-40	2.275	2.306					
		-30	2.287	2.306					
		-20	2.289	2.306					
		-10	2.282	2.306					
		0	2.294	2.306	2.306	0.000	0.000	0.000	
		10	2.445	2.468	2.306	0.105	0.010	0.048	
		20	2.585	2.598	2.306	0.194	0.020	0.079	
		30	2.699	2.703	2.306	0.269	0.029	0.099	
		40	2.793	2.790	2.306	0.333	0.038	0.113	
		50	2.840	2.861	2.306	0.387	0.047	0.122	
		60	2.923	2.922	2.306	0.432	0.056	0.128	
		70	2.952	2.973	2.306	0.471	0.065	0.131	
		80	3.018	3.016	2.306	0.504	0.073	0.134	
		90	3.048	3.053	2.306	0.531	0.081	0.136	
		100	3.092	3.086	2.306	0.555	0.089	0.137	
		110	3.112	3.114	2.306	0.574	0.097	0.137	
		120	3.120	3.139	2.306	0.591	0.105	0.138	
		130	3.119	3.161	2.306	0.605	0.112	0.138	
		140	3.155	3.180	2.306	0.617	0.119	0.138	
		150	3.198	3.198	2.306	0.627	0.126	0.139	
		160	3.192	3.213	2.306	0.636	0.133	0.139	
		170	3.226	3.227	2.306	0.643	0.140	0.139	
		180	3.227	3.240	2.306	0.649	0.147	0.139	
		190	3.241	3.252	2.306	0.654	0.153	0.139	
		200	3.256	3.262	2.306	0.659	0.159	0.139	
		210	3.256	3.272	2.306	0.662	0.166	0.139	
		220	3.287	3.282	2.306	0.665	0.172	0.139	
		230	3.291	3.290	2.306	0.668	0.178	0.139	
		240	3.284	3.298	2.306	0.670	0.183	0.139	
		250	3.292	3.306	2.306	0.672	0.189	0.139	
		260	3.306	3.313	2.306	0.674	0.194	0.139	
		270	3.302	3.319	2.306	0.675	0.200	0.139	
		280	3.313	3.326	2.306	0.676	0.205	0.139	

		290	3.323	3.332	2.306	0.677	0.210	0.139	
		300	3.324	3.338	2.306	0.678	0.215	0.139	
		310	3.322	3.343	2.306	0.679	0.220	0.139	
		320	3.359	3.349	2.306	0.679	0.225	0.139	
		330	3.348	3.354	2.306	0.680	0.229	0.139	
		340	3.345	3.359	2.306	0.680	0.234	0.139	
		350	3.360	3.364	2.306	0.681	0.238	0.139	
		360	3.366	3.368	2.306	0.681	0.243	0.139	
		370	3.362	3.373	2.306	0.681	0.247	0.139	
		380	3.373	3.377	2.306	0.681	0.251	0.139	
		390	3.363	3.381	2.306	0.682	0.255	0.139	
		400	3.385	3.385	2.306	0.682	0.259	0.139	
		410	3.386	3.389	2.306	0.682	0.263	0.139	
		420	3.385	3.393	2.306	0.682	0.267	0.139	
		430	3.401	3.397	2.306	0.682	0.270	0.139	
		440	3.378	3.401	2.306	0.682	0.274	0.139	
		450	3.384	3.404	2.306	0.682	0.278	0.139	
		460	3.411	3.408	2.306	0.682	0.281	0.139	
		470	3.394	3.411	2.306	0.682	0.284	0.139	
		480	3.396	3.415	2.306	0.682	0.288	0.139	
		490	3.428	3.418	2.306	0.682	0.291	0.139	
		500	3.429	3.421	2.306	0.683	0.294	0.139	
		510	3.428	3.424	2.306	0.683	0.297	0.139	
		520	3.416	3.427	2.306	0.683	0.300	0.139	
		530	3.415	3.430	2.306	0.683	0.303	0.139	
		540	3.417	3.433	2.306	0.683	0.306	0.139	
		550	3.432	3.436	2.306	0.683	0.309	0.139	
		560	3.439	3.438	2.306	0.683	0.311	0.139	
		570	3.414	3.441	2.306	0.683	0.314	0.139	
		580	3.441	3.444	2.306	0.683	0.316	0.139	
		590	3.441	3.446	2.306	0.683	0.319	0.139	
		600	3.432	3.449	2.306	0.683	0.321	0.139	
GFET #S56	$c^{(CEA)} = 50$ nM	-50	2.284	2.319	-	-	-	-	$\tilde{c}^{(CEA)} \approx 47.2534 \text{ nM}$ $\tilde{c}^{(AFP)} \approx 12.3544 \text{ nM}$ $\tilde{c}^{(PTH)} \approx 105.0083 \text{ nM}$
		-40	2.305	2.319					
		-30	2.300	2.319					
		-20	2.311	2.319					
		-10	2.315	2.319					
	$c^{(AFP)} = 20$ nM	0	2.332	2.319	2.319	0.000	0.000	0.000	
		10	2.519	2.527	2.319	0.111	0.008	0.088	
		20	2.637	2.659	2.319	0.205	0.016	0.118	
		30	2.756	2.756	2.319	0.284	0.024	0.128	
		40	2.848	2.833	2.319	0.351	0.032	0.131	
	$c^{(PTH)} = 50$ nM	50	2.908	2.898	2.319	0.407	0.039	0.132	
		60	2.946	2.953	2.319	0.454	0.047	0.133	
		70	3.013	3.000	2.319	0.494	0.054	0.133	
		80	3.019	3.041	2.319	0.527	0.061	0.133	

	90	3.073	3.076	2.319	0.556	0.068	0.133	
	100	3.093	3.106	2.319	0.579	0.075	0.133	
	110	3.110	3.133	2.319	0.599	0.082	0.133	
	120	3.135	3.156	2.319	0.616	0.088	0.133	
	130	3.155	3.177	2.319	0.630	0.094	0.133	
	140	3.178	3.195	2.319	0.642	0.101	0.133	
	150	3.194	3.211	2.319	0.652	0.107	0.133	
	160	3.197	3.226	2.319	0.661	0.113	0.133	
	170	3.206	3.239	2.319	0.668	0.119	0.133	
	180	3.234	3.250	2.319	0.674	0.124	0.133	
	190	3.253	3.261	2.319	0.679	0.130	0.133	
	200	3.304	3.271	2.319	0.683	0.136	0.133	
	210	3.264	3.280	2.319	0.687	0.141	0.133	
	220	3.283	3.288	2.319	0.690	0.146	0.133	
	230	3.297	3.296	2.319	0.692	0.151	0.133	
	240	3.293	3.303	2.319	0.695	0.156	0.133	
	250	3.311	3.310	2.319	0.696	0.161	0.133	
	260	3.290	3.316	2.319	0.698	0.166	0.133	
	270	3.304	3.322	2.319	0.699	0.171	0.133	
	280	3.316	3.328	2.319	0.700	0.176	0.133	
	290	3.312	3.333	2.319	0.701	0.180	0.133	
	300	3.348	3.339	2.319	0.702	0.185	0.133	
	310	3.327	3.344	2.319	0.703	0.189	0.133	
	320	3.335	3.348	2.319	0.703	0.193	0.133	
	330	3.328	3.353	2.319	0.704	0.197	0.133	
	340	3.344	3.358	2.319	0.704	0.202	0.133	
	350	3.370	3.362	2.319	0.704	0.206	0.133	
	360	3.347	3.366	2.319	0.705	0.210	0.133	
	370	3.384	3.370	2.319	0.705	0.213	0.133	
	380	3.353	3.374	2.319	0.705	0.217	0.133	
	390	3.380	3.378	2.319	0.705	0.221	0.133	
	400	3.370	3.382	2.319	0.705	0.224	0.133	
	410	3.382	3.385	2.319	0.705	0.228	0.133	
	420	3.389	3.389	2.319	0.705	0.231	0.133	
	430	3.368	3.393	2.319	0.706	0.235	0.133	
	440	3.383	3.396	2.319	0.706	0.238	0.133	
	450	3.390	3.399	2.319	0.706	0.241	0.133	
	460	3.393	3.402	2.319	0.706	0.245	0.133	
	470	3.405	3.406	2.319	0.706	0.248	0.133	
	480	3.390	3.409	2.319	0.706	0.251	0.133	
	490	3.404	3.412	2.319	0.706	0.254	0.133	
	500	3.384	3.415	2.319	0.706	0.257	0.133	
	510	3.411	3.418	2.319	0.706	0.260	0.133	
	520	3.393	3.420	2.319	0.706	0.262	0.133	
	530	3.402	3.423	2.319	0.706	0.265	0.133	
	540	3.403	3.426	2.319	0.706	0.268	0.133	

		550	3.425	3.429	2.319	0.706	0.271	0.133	
		560	3.429	3.431	2.319	0.706	0.273	0.133	
		570	3.421	3.434	2.319	0.706	0.276	0.133	
		580	3.412	3.436	2.319	0.706	0.278	0.133	
		590	3.429	3.439	2.319	0.706	0.281	0.133	
		600	3.394	3.441	2.319	0.706	0.283	0.133	
GFET #S57	$c^{(CEA)} = 50$ nM	-50	2.287	2.306	-	-	-	-	$\tilde{c}^{(CEA)} \approx$ 39.1783 nM
		-40	2.303	2.306					
		-30	2.292	2.306					
		-20	2.325	2.306					
		-10	2.262	2.306					
		0	2.280	2.306	2.306	0.000	0.000	0.000	
		10	2.396	2.415	2.306	0.086	0.018	0.005	
		20	2.487	2.512	2.306	0.161	0.036	0.010	
		30	2.599	2.598	2.306	0.225	0.053	0.015	
		40	2.651	2.675	2.306	0.282	0.069	0.019	
		50	2.718	2.743	2.306	0.330	0.085	0.023	
		60	2.799	2.805	2.306	0.372	0.100	0.027	
		70	2.845	2.859	2.306	0.409	0.115	0.030	
		80	2.903	2.908	2.306	0.440	0.129	0.034	
		90	2.969	2.953	2.306	0.468	0.142	0.037	
		100	2.970	2.992	2.306	0.492	0.156	0.040	
		110	3.023	3.029	2.306	0.512	0.168	0.042	
		120	3.038	3.061	2.306	0.530	0.181	0.045	
		130	3.076	3.091	2.306	0.546	0.192	0.047	
		140	3.116	3.118	2.306	0.559	0.204	0.050	
		150	3.119	3.143	2.306	0.571	0.215	0.052	
		160	3.155	3.165	2.306	0.581	0.225	0.054	
		170	3.174	3.186	2.306	0.590	0.236	0.056	
		180	3.184	3.205	2.306	0.597	0.245	0.057	
		190	3.222	3.223	2.306	0.604	0.255	0.059	
		200	3.235	3.240	2.306	0.609	0.264	0.060	
		210	3.246	3.255	2.306	0.614	0.273	0.062	
		220	3.285	3.269	2.306	0.619	0.282	0.063	
		230	3.272	3.282	2.306	0.622	0.290	0.064	
		240	3.301	3.295	2.306	0.626	0.298	0.066	
		250	3.311	3.306	2.306	0.628	0.305	0.067	
		260	3.288	3.317	2.306	0.631	0.313	0.068	
		270	3.330	3.327	2.306	0.633	0.320	0.069	
		280	3.328	3.337	2.306	0.635	0.327	0.070	
		290	3.332	3.346	2.306	0.636	0.334	0.071	
		300	3.354	3.355	2.306	0.638	0.340	0.071	
		310	3.371	3.363	2.306	0.639	0.346	0.072	
		320	3.350	3.370	2.306	0.640	0.352	0.073	
		330	3.370	3.378	2.306	0.641	0.358	0.073	
		340	3.374	3.385	2.306	0.641	0.363	0.074	

		350	3.367	3.391	2.306	0.642	0.369	0.075	
		360	3.413	3.397	2.306	0.643	0.374	0.075	
		370	3.407	3.403	2.306	0.643	0.379	0.076	
		380	3.400	3.409	2.306	0.644	0.384	0.076	
		390	3.406	3.415	2.306	0.644	0.388	0.077	
		400	3.412	3.420	2.306	0.644	0.393	0.077	
		410	3.412	3.425	2.306	0.645	0.397	0.077	
		420	3.420	3.430	2.306	0.645	0.401	0.078	
		430	3.428	3.434	2.306	0.645	0.405	0.078	
		440	3.438	3.439	2.306	0.645	0.409	0.078	
		450	3.452	3.443	2.306	0.645	0.413	0.079	
		460	3.441	3.447	2.306	0.646	0.417	0.079	
		470	3.448	3.451	2.306	0.646	0.420	0.079	
		480	3.443	3.454	2.306	0.646	0.424	0.080	
		490	3.455	3.458	2.306	0.646	0.427	0.080	
		500	3.453	3.461	2.306	0.646	0.430	0.080	
		510	3.447	3.465	2.306	0.646	0.433	0.080	
		520	3.470	3.468	2.306	0.646	0.436	0.080	
		530	3.448	3.471	2.306	0.646	0.439	0.081	
		540	3.469	3.474	2.306	0.646	0.441	0.081	
		550	3.462	3.477	2.306	0.646	0.444	0.081	
		560	3.479	3.479	2.306	0.646	0.446	0.081	
		570	3.478	3.482	2.306	0.646	0.449	0.081	
		580	3.470	3.485	2.306	0.646	0.451	0.081	
		590	3.478	3.487	2.306	0.646	0.453	0.081	
		600	3.475	3.489	2.306	0.646	0.456	0.082	
GFET #S58	$c^{(CEA)} = 50$ nM $c^{(AFP)} = 50$ nM $c^{(PTH)} = 5$ nM	-50	2.315	2.309	-	-	-	-	$\tilde{c}^{(CEA)} \approx 47.2133 \text{ nM}$ $\tilde{c}^{(AFP)} \approx 28.2105 \text{ nM}$ $\tilde{c}^{(PTH)} \approx 6.9883 \text{ nM}$
		-40	2.282	2.309					
		-30	2.293	2.309					
		-20	2.299	2.309					
		-10	2.306	2.309					
		0	2.298	2.309	2.309	0.000	0.000	0.000	
		10	2.438	2.437	2.309	0.101	0.018	0.010	
		20	2.525	2.549	2.309	0.186	0.036	0.018	
		30	2.636	2.645	2.309	0.257	0.053	0.026	
		40	2.713	2.729	2.309	0.317	0.070	0.033	
		50	2.810	2.803	2.309	0.368	0.086	0.040	
		60	2.849	2.867	2.309	0.411	0.101	0.046	
		70	2.913	2.923	2.309	0.447	0.116	0.051	
		80	2.974	2.972	2.309	0.477	0.130	0.056	
		90	3.017	3.016	2.309	0.503	0.144	0.061	
		100	3.042	3.055	2.309	0.524	0.157	0.065	
		110	3.088	3.089	2.309	0.542	0.170	0.068	
		120	3.100	3.120	2.309	0.558	0.182	0.072	
		130	3.120	3.148	2.309	0.571	0.194	0.075	
		140	3.169	3.173	2.309	0.581	0.206	0.077	

	150	3.190	3.196	2.309	0.591	0.217	0.080	
	160	3.215	3.217	2.309	0.598	0.227	0.082	
	170	3.206	3.235	2.309	0.605	0.238	0.084	
	180	3.241	3.253	2.309	0.610	0.248	0.086	
	190	3.267	3.268	2.309	0.615	0.257	0.088	
	200	3.289	3.283	2.309	0.619	0.266	0.090	
	210	3.311	3.296	2.309	0.622	0.275	0.091	
	220	3.308	3.309	2.309	0.625	0.284	0.092	
	230	3.315	3.321	2.309	0.627	0.292	0.093	
	240	3.332	3.332	2.309	0.629	0.300	0.095	
	250	3.336	3.342	2.309	0.630	0.307	0.096	
	260	3.328	3.352	2.309	0.632	0.315	0.096	
	270	3.377	3.361	2.309	0.633	0.322	0.097	
	280	3.395	3.369	2.309	0.634	0.329	0.098	
	290	3.389	3.377	2.309	0.635	0.335	0.099	
	300	3.383	3.385	2.309	0.636	0.342	0.099	
	310	3.405	3.392	2.309	0.636	0.348	0.100	
	320	3.404	3.399	2.309	0.637	0.354	0.100	
	330	3.403	3.406	2.309	0.637	0.359	0.101	
	340	3.420	3.412	2.309	0.637	0.365	0.101	
	350	3.414	3.418	2.309	0.638	0.370	0.102	
	360	3.393	3.424	2.309	0.638	0.375	0.102	
	370	3.450	3.429	2.309	0.638	0.380	0.102	
	380	3.444	3.434	2.309	0.638	0.385	0.102	
	390	3.454	3.439	2.309	0.638	0.389	0.103	
	400	3.444	3.444	2.309	0.639	0.394	0.103	
	410	3.434	3.448	2.309	0.639	0.398	0.103	
	420	3.431	3.453	2.309	0.639	0.402	0.103	
	430	3.465	3.457	2.309	0.639	0.406	0.104	
	440	3.463	3.461	2.309	0.639	0.410	0.104	
	450	3.445	3.465	2.309	0.639	0.414	0.104	
	460	3.474	3.469	2.309	0.639	0.417	0.104	
	470	3.476	3.472	2.309	0.639	0.420	0.104	
	480	3.458	3.475	2.309	0.639	0.424	0.104	
	490	3.474	3.479	2.309	0.639	0.427	0.104	
	500	3.476	3.482	2.309	0.639	0.430	0.104	
	510	3.468	3.485	2.309	0.639	0.433	0.104	
	520	3.490	3.488	2.309	0.639	0.436	0.105	
	530	3.493	3.491	2.309	0.639	0.438	0.105	
	540	3.477	3.493	2.309	0.639	0.441	0.105	
	550	3.496	3.496	2.309	0.639	0.444	0.105	
	560	3.464	3.498	2.309	0.639	0.446	0.105	
	570	3.487	3.501	2.309	0.639	0.448	0.105	
	580	3.494	3.503	2.309	0.639	0.451	0.105	
	590	3.528	3.505	2.309	0.639	0.453	0.105	
	600	3.497	3.508	2.309	0.639	0.455	0.105	

GFET #S59	$c^{(CEA)} = 50$ nM	-50	2.296	2.294	-	-	-	-
		-40	2.288	2.294				
		-30	2.279	2.294				
		-20	2.281	2.294				
		-10	2.300	2.294				
		0	2.306	2.294		0.000	0.000	0.000
		10	2.489	2.486		0.112	0.019	0.061
		20	2.636	2.630		0.205	0.037	0.093
		30	2.726	2.741		0.282	0.055	0.110
		40	2.816	2.831		0.346	0.072	0.119
		50	2.916	2.905		0.399	0.088	0.124
		60	2.965	2.967		0.442	0.104	0.127
		70	3.015	3.019		0.479	0.119	0.128
		80	3.045	3.065		0.508	0.133	0.129
		90	3.090	3.104		0.533	0.147	0.129
		100	3.147	3.138		0.554	0.161	0.130
		110	3.164	3.168		0.570	0.174	0.130
		120	3.199	3.195		0.585	0.186	0.130
		130	3.223	3.218		0.596	0.199	0.130
		140	3.248	3.240		0.606	0.210	0.130
		150	3.266	3.259		0.614	0.221	0.130
		160	3.298	3.276		0.620	0.232	0.130
		170	3.288	3.292		0.626	0.243	0.130
		180	3.302	3.307		0.630	0.253	0.130
		190	3.289	3.320		0.634	0.262	0.130
		200	3.313	3.332		0.637	0.272	0.130
		210	3.350	3.344		0.639	0.281	0.130
		220	3.358	3.355		0.642	0.289	0.130
		230	3.355	3.365		0.643	0.298	0.130
		240	3.376	3.374		0.645	0.306	0.130
		250	3.396	3.383		0.646	0.313	0.130
		260	3.377	3.392		0.647	0.321	0.130
		270	3.376	3.400		0.648	0.328	0.130
		280	3.404	3.407		0.648	0.335	0.130
		290	3.407	3.414		0.649	0.342	0.130
		300	3.418	3.421		0.649	0.348	0.130
		310	3.434	3.428		0.650	0.354	0.130
		320	3.435	3.434		0.650	0.360	0.130
		330	3.438	3.440		0.650	0.366	0.130
		340	3.455	3.446		0.651	0.371	0.130
		350	3.462	3.451		0.651	0.377	0.130
		360	3.453	3.457		0.651	0.382	0.130
		370	3.457	3.462		0.651	0.387	0.130
		380	3.447	3.467		0.651	0.392	0.130
		390	3.466	3.471		0.651	0.396	0.130
		400	3.489	3.476		0.651	0.401	0.130

		410	3.482	3.480	2.294	0.651	0.405	0.130	
		420	3.519	3.484	2.294	0.651	0.409	0.130	
		430	3.488	3.488	2.294	0.651	0.413	0.130	
		440	3.490	3.492	2.294	0.652	0.417	0.130	
		450	3.488	3.496	2.294	0.652	0.420	0.130	
		460	3.494	3.499	2.294	0.652	0.424	0.130	
		470	3.521	3.503	2.294	0.652	0.427	0.130	
		480	3.513	3.506	2.294	0.652	0.431	0.130	
		490	3.503	3.509	2.294	0.652	0.434	0.130	
		500	3.482	3.512	2.294	0.652	0.437	0.130	
		510	3.508	3.515	2.294	0.652	0.440	0.130	
		520	3.526	3.518	2.294	0.652	0.443	0.130	
		530	3.526	3.521	2.294	0.652	0.445	0.130	
		540	3.522	3.524	2.294	0.652	0.448	0.130	
		550	3.515	3.526	2.294	0.652	0.451	0.130	
		560	3.511	3.529	2.294	0.652	0.453	0.130	
		570	3.536	3.531	2.294	0.652	0.455	0.130	
		580	3.531	3.533	2.294	0.652	0.458	0.130	
		590	3.542	3.535	2.294	0.652	0.460	0.130	
		600	3.551	3.537	2.294	0.652	0.462	0.130	
		-50	2.328	2.332	-	-	-	-	
		-40	2.340	2.332					
		-30	2.344	2.332					
		-20	2.316	2.332					
		-10	2.301	2.332					
		0	2.326	2.332	2.332	0.000	0.000	0.000	
		10	2.551	2.537	2.332	0.102	0.017	0.085	
		20	2.682	2.670	2.332	0.188	0.034	0.116	
		30	2.762	2.770	2.332	0.261	0.050	0.127	
		40	2.873	2.851	2.332	0.322	0.066	0.131	
		50	2.929	2.919	2.332	0.374	0.081	0.133	
		60	2.981	2.978	2.332	0.418	0.095	0.133	
GFET #S60	$c^{(CEA)} = 50 \text{ nM}$	70	3.039	3.029	2.332	0.455	0.109	0.133	$\tilde{c}^{(CEA)} \approx 46.7603 \text{ nM}$
		80	3.079	3.074	2.332	0.486	0.123	0.133	$\tilde{c}^{(AFP)} \approx 25.7833 \text{ nM}$
		90	3.112	3.113	2.332	0.512	0.136	0.134	
		100	3.175	3.148	2.332	0.534	0.148	0.134	
		110	3.196	3.179	2.332	0.553	0.161	0.134	
	$c^{(AFP)} = 50 \text{ nM}$	120	3.191	3.206	2.332	0.568	0.172	0.134	$\tilde{c}^{(PTH)} \approx 97.5542 \text{ nM}$
		130	3.221	3.231	2.332	0.582	0.184	0.134	
		140	3.239	3.253	2.332	0.593	0.195	0.134	
		150	3.302	3.273	2.332	0.602	0.206	0.134	
		160	3.298	3.292	2.332	0.610	0.216	0.134	
	$c^{(PTH)} = 50 \text{ nM}$	170	3.298	3.308	2.332	0.617	0.226	0.134	
		180	3.340	3.324	2.332	0.623	0.235	0.134	
		190	3.335	3.338	2.332	0.628	0.245	0.134	
		200	3.360	3.351	2.332	0.632	0.254	0.134	

		210	3.359	3.363	2.332	0.635	0.262	0.134	
		220	3.356	3.374	2.332	0.638	0.271	0.134	
		230	3.383	3.384	2.332	0.640	0.279	0.134	
		240	3.405	3.394	2.332	0.642	0.287	0.134	
		250	3.387	3.404	2.332	0.644	0.294	0.134	
		260	3.398	3.412	2.332	0.646	0.302	0.134	
		270	3.430	3.421	2.332	0.647	0.309	0.134	
		280	3.421	3.429	2.332	0.648	0.315	0.134	
		290	3.429	3.436	2.332	0.649	0.322	0.134	
		300	3.446	3.443	2.332	0.649	0.328	0.134	
		310	3.444	3.450	2.332	0.650	0.334	0.134	
		320	3.443	3.456	2.332	0.651	0.340	0.134	
		330	3.477	3.462	2.332	0.651	0.346	0.134	
		340	3.442	3.468	2.332	0.651	0.352	0.134	
		350	3.454	3.474	2.332	0.652	0.357	0.134	
		360	3.473	3.480	2.332	0.652	0.362	0.134	
		370	3.470	3.485	2.332	0.652	0.367	0.134	
		380	3.483	3.490	2.332	0.652	0.372	0.134	
		390	3.466	3.495	2.332	0.653	0.377	0.134	
		400	3.497	3.499	2.332	0.653	0.381	0.134	
		410	3.517	3.504	2.332	0.653	0.386	0.134	
		420	3.509	3.508	2.332	0.653	0.390	0.134	
		430	3.498	3.512	2.332	0.653	0.394	0.134	
		440	3.530	3.516	2.332	0.653	0.398	0.134	
		450	3.514	3.520	2.332	0.653	0.402	0.134	
		460	3.514	3.524	2.332	0.653	0.405	0.134	
		470	3.507	3.527	2.332	0.653	0.409	0.134	
		480	3.501	3.531	2.332	0.653	0.412	0.134	
		490	3.532	3.534	2.332	0.653	0.416	0.134	
		500	3.542	3.537	2.332	0.653	0.419	0.134	
		510	3.536	3.540	2.332	0.653	0.422	0.134	
		520	3.551	3.543	2.332	0.653	0.425	0.134	
		530	3.547	3.546	2.332	0.653	0.428	0.134	
		540	3.553	3.549	2.332	0.653	0.430	0.134	
		550	3.565	3.552	2.332	0.653	0.433	0.134	
		560	3.587	3.554	2.332	0.653	0.436	0.134	
		570	3.566	3.557	2.332	0.653	0.438	0.134	
		580	3.568	3.559	2.332	0.653	0.441	0.134	
		590	3.565	3.562	2.332	0.653	0.443	0.134	
		600	3.556	3.564	2.332	0.653	0.445	0.134	
GFET #S61	$c^{(CEA)} = 50$ nM	-50	2.293	2.306	-	-	-	-	$\tilde{c}^{(CEA)} \approx 49.2210$ nM
		-40	2.297	2.306					
	$c^{(AFP)} = 100$ nM	-30	2.322	2.306					$\tilde{c}^{(AFP)} \approx 53.5521$ nM
		-20	2.302	2.306					
	$c^{(PTH)} = 2$ nM	-10	2.313	2.306					$\tilde{c}^{(PTH)} \approx$
		0	2.258	2.306	2.306	0.000	0.000	0.000	

							3.8785 nM
10	2.423	2.451	2.306	0.105	0.035	0.005	
20	2.561	2.577	2.306	0.193	0.069	0.010	
30	2.704	2.686	2.306	0.266	0.100	0.015	
40	2.797	2.781	2.306	0.327	0.129	0.019	
50	2.849	2.864	2.306	0.378	0.157	0.023	
60	2.922	2.937	2.306	0.421	0.183	0.026	
70	2.977	3.001	2.306	0.457	0.207	0.030	
80	3.059	3.057	2.306	0.487	0.230	0.033	
90	3.111	3.106	2.306	0.512	0.252	0.036	
100	3.161	3.151	2.306	0.533	0.272	0.039	
110	3.177	3.190	2.306	0.551	0.291	0.042	
120	3.219	3.225	2.306	0.566	0.309	0.045	
130	3.238	3.257	2.306	0.578	0.326	0.047	
140	3.303	3.285	2.306	0.588	0.342	0.049	
150	3.319	3.310	2.306	0.597	0.357	0.051	
160	3.352	3.334	2.306	0.604	0.370	0.053	
170	3.362	3.355	2.306	0.610	0.384	0.055	
180	3.374	3.374	2.306	0.615	0.396	0.057	
190	3.382	3.391	2.306	0.619	0.408	0.059	
200	3.413	3.407	2.306	0.623	0.418	0.060	
210	3.418	3.422	2.306	0.625	0.429	0.062	
220	3.422	3.435	2.306	0.628	0.438	0.063	
230	3.457	3.447	2.306	0.630	0.447	0.064	
240	3.451	3.459	2.306	0.632	0.456	0.065	
250	3.462	3.469	2.306	0.633	0.464	0.067	
260	3.499	3.479	2.306	0.634	0.471	0.068	
270	3.481	3.488	2.306	0.635	0.478	0.069	
280	3.494	3.497	2.306	0.636	0.485	0.070	
290	3.490	3.504	2.306	0.637	0.491	0.070	
300	3.506	3.512	2.306	0.637	0.497	0.071	
310	3.513	3.518	2.306	0.638	0.503	0.072	
320	3.524	3.525	2.306	0.638	0.508	0.073	
330	3.518	3.531	2.306	0.639	0.513	0.073	
340	3.547	3.536	2.306	0.639	0.517	0.074	
350	3.541	3.541	2.306	0.639	0.522	0.075	
360	3.527	3.546	2.306	0.639	0.526	0.075	
370	3.536	3.551	2.306	0.640	0.529	0.076	
380	3.593	3.555	2.306	0.640	0.533	0.076	
390	3.565	3.559	2.306	0.640	0.536	0.077	
400	3.548	3.562	2.306	0.640	0.540	0.077	
410	3.552	3.566	2.306	0.640	0.542	0.077	
420	3.555	3.569	2.306	0.640	0.545	0.078	
430	3.544	3.572	2.306	0.640	0.548	0.078	
440	3.589	3.575	2.306	0.640	0.550	0.079	
450	3.562	3.578	2.306	0.640	0.553	0.079	
460	3.582	3.580	2.306	0.640	0.555	0.079	

		470	3.578	3.582	2.306	0.640	0.557	0.079	
		480	3.574	3.585	2.306	0.640	0.559	0.080	
		490	3.576	3.587	2.306	0.640	0.561	0.080	
		500	3.613	3.589	2.306	0.640	0.562	0.080	
		510	3.574	3.591	2.306	0.640	0.564	0.080	
		520	3.580	3.592	2.306	0.640	0.565	0.081	
		530	3.591	3.594	2.306	0.640	0.567	0.081	
		540	3.590	3.595	2.306	0.640	0.568	0.081	
		550	3.585	3.597	2.306	0.640	0.569	0.081	
		560	3.596	3.598	2.306	0.640	0.571	0.081	
		570	3.583	3.599	2.306	0.640	0.572	0.081	
		580	3.620	3.601	2.306	0.640	0.573	0.082	
		590	3.595	3.602	2.306	0.640	0.574	0.082	
		600	3.586	3.603	2.306	0.640	0.575	0.082	
GFET #S62	$c^{(CEA)} = 50$ nM $c^{(AFP)} = 100$ nM $c^{(PTH)} = 5$ nM	-50	2.317	2.336	-	-	-	-	$\tilde{c}^{(CEA)} \approx 39.7522$ nM $\tilde{c}^{(AFP)} \approx 51.0793$ nM $\tilde{c}^{(PTH)} \approx 15.7743$ nM
		-40	2.326	2.336					
		-30	2.320	2.336					
		-20	2.324	2.336					
		-10	2.356	2.336					
		0	2.328	2.336					
		10	2.466	2.476					
		20	2.617	2.600					
		30	2.700	2.708					
		40	2.806	2.804					
		50	2.904	2.889					
		60	2.961	2.964					
		70	3.038	3.031					
		80	3.099	3.091					
		90	3.147	3.144					
		100	3.191	3.191					
		110	3.204	3.233					
		120	3.270	3.271					
		130	3.304	3.306					
		140	3.317	3.336					
		150	3.349	3.364					
		160	3.377	3.389					
		170	3.392	3.412					
		180	3.428	3.433					
		190	3.441	3.452					
		200	3.476	3.469					
		210	3.482	3.485					
		220	3.485	3.500					
		230	3.501	3.513					
		240	3.521	3.525					
		250	3.530	3.536					
		260	3.531	3.546					

		270	3.553	3.556	2.336	0.626	0.480	0.114	
		280	3.571	3.565	2.336	0.627	0.487	0.114	
		290	3.575	3.573	2.336	0.629	0.493	0.114	
		300	3.583	3.580	2.336	0.630	0.500	0.115	
		310	3.572	3.587	2.336	0.631	0.505	0.115	
		320	3.579	3.594	2.336	0.632	0.511	0.115	
		330	3.589	3.600	2.336	0.633	0.516	0.115	
		340	3.572	3.606	2.336	0.634	0.521	0.115	
		350	3.615	3.611	2.336	0.634	0.526	0.115	
		360	3.601	3.616	2.336	0.635	0.530	0.115	
		370	3.602	3.620	2.336	0.636	0.534	0.115	
		380	3.611	3.625	2.336	0.636	0.538	0.115	
		390	3.652	3.629	2.336	0.636	0.541	0.115	
		400	3.659	3.632	2.336	0.637	0.545	0.115	
		410	3.657	3.636	2.336	0.637	0.548	0.115	
		420	3.644	3.639	2.336	0.637	0.551	0.115	
		430	3.660	3.642	2.336	0.637	0.554	0.115	
		440	3.631	3.645	2.336	0.637	0.557	0.115	
		450	3.634	3.648	2.336	0.638	0.559	0.115	
		460	3.632	3.650	2.336	0.638	0.561	0.115	
		470	3.641	3.652	2.336	0.638	0.564	0.115	
		480	3.659	3.655	2.336	0.638	0.566	0.115	
		490	3.624	3.657	2.336	0.638	0.568	0.115	
		500	3.659	3.659	2.336	0.638	0.570	0.115	
		510	3.658	3.660	2.336	0.638	0.571	0.115	
		520	3.660	3.662	2.336	0.638	0.573	0.115	
		530	3.664	3.664	2.336	0.638	0.575	0.115	
		540	3.673	3.665	2.336	0.638	0.576	0.115	
		550	3.687	3.667	2.336	0.638	0.578	0.115	
		560	3.652	3.668	2.336	0.638	0.579	0.115	
		570	3.670	3.669	2.336	0.638	0.580	0.115	
		580	3.656	3.671	2.336	0.638	0.581	0.115	
		590	3.667	3.672	2.336	0.638	0.582	0.115	
		600	3.654	3.673	2.336	0.638	0.583	0.115	
GFET #S63	$c^{(CEA)} = 50$ nM	-50	2.312	2.298	-	-	-	-	$\tilde{c}^{(CEA)} \approx 41.9964 \text{ nM}$
		-40	2.280	2.298					
		-30	2.267	2.298					
		-20	2.281	2.298					
		-10	2.272	2.298					
	$c^{(AFP)} = 100$ nM	0	2.304	2.298	2.298	0.000	0.000	0.000	$\tilde{c}^{(AFP)} \approx 53.0976 \text{ nM}$
		10	2.450	2.474	2.298	0.089	0.036	0.050	
		20	2.617	2.614	2.298	0.166	0.070	0.080	
		30	2.753	2.729	2.298	0.231	0.102	0.098	
	$c^{(PTH)} = 20$ nM	40	2.827	2.826	2.298	0.288	0.132	0.108	$\tilde{c}^{(PTH)} \approx 48.7655 \text{ nM}$
		50	2.918	2.909	2.298	0.336	0.160	0.115	
		60	2.993	2.980	2.298	0.377	0.186	0.118	

	70	3.041	3.043	2.298	0.413	0.211	0.120	
	80	3.108	3.098	2.298	0.444	0.234	0.122	
	90	3.135	3.147	2.298	0.470	0.256	0.122	
	100	3.202	3.191	2.298	0.492	0.277	0.123	
	110	3.198	3.230	2.298	0.512	0.297	0.123	
	120	3.268	3.265	2.298	0.528	0.315	0.123	
	130	3.303	3.296	2.298	0.542	0.332	0.123	
	140	3.317	3.325	2.298	0.555	0.348	0.124	
	150	3.334	3.350	2.298	0.565	0.363	0.124	
	160	3.362	3.374	2.298	0.574	0.378	0.124	
	170	3.400	3.395	2.298	0.582	0.391	0.124	
	180	3.421	3.414	2.298	0.588	0.404	0.124	
	190	3.433	3.432	2.298	0.594	0.416	0.124	
	200	3.429	3.448	2.298	0.599	0.427	0.124	
	210	3.439	3.462	2.298	0.603	0.437	0.124	
	220	3.488	3.476	2.298	0.607	0.447	0.124	
	230	3.481	3.488	2.298	0.610	0.456	0.124	
	240	3.479	3.500	2.298	0.612	0.465	0.124	
	250	3.513	3.510	2.298	0.615	0.473	0.124	
	260	3.533	3.520	2.298	0.617	0.481	0.124	
	270	3.517	3.529	2.298	0.618	0.488	0.124	
	280	3.547	3.537	2.298	0.620	0.495	0.124	
	290	3.545	3.545	2.298	0.621	0.502	0.124	
	300	3.537	3.552	2.298	0.622	0.508	0.124	
	310	3.572	3.558	2.298	0.623	0.513	0.124	
	320	3.571	3.564	2.298	0.624	0.519	0.124	
	330	3.546	3.570	2.298	0.624	0.524	0.124	
	340	3.568	3.575	2.298	0.625	0.528	0.124	
	350	3.609	3.580	2.298	0.625	0.533	0.124	
	360	3.557	3.585	2.298	0.626	0.537	0.124	
	370	3.584	3.589	2.298	0.626	0.541	0.124	
	380	3.554	3.593	2.298	0.627	0.545	0.124	
	390	3.585	3.597	2.298	0.627	0.548	0.124	
	400	3.602	3.600	2.298	0.627	0.551	0.124	
	410	3.600	3.604	2.298	0.627	0.554	0.124	
	420	3.596	3.607	2.298	0.627	0.557	0.124	
	430	3.607	3.610	2.298	0.628	0.560	0.124	
	440	3.628	3.612	2.298	0.628	0.563	0.124	
	450	3.612	3.615	2.298	0.628	0.565	0.124	
	460	3.614	3.617	2.298	0.628	0.567	0.124	
	470	3.630	3.619	2.298	0.628	0.569	0.124	
	480	3.606	3.621	2.298	0.628	0.571	0.124	
	490	3.617	3.623	2.298	0.628	0.573	0.124	
	500	3.593	3.625	2.298	0.628	0.575	0.124	
	510	3.624	3.627	2.298	0.628	0.577	0.124	
	520	3.622	3.628	2.298	0.628	0.578	0.124	

		530	3.609	3.630	2.298	0.628	0.580	0.124	
		540	3.624	3.631	2.298	0.628	0.581	0.124	
		550	3.641	3.633	2.298	0.628	0.582	0.124	
		560	3.624	3.634	2.298	0.628	0.584	0.124	
		570	3.623	3.635	2.298	0.628	0.585	0.124	
		580	3.614	3.636	2.298	0.628	0.586	0.124	
		590	3.636	3.637	2.298	0.628	0.587	0.124	
		600	3.647	3.638	2.298	0.628	0.588	0.124	
GFET #S64	$c^{(CEA)} = 50$ nM	-50	2.291	2.297	-	-	-	-	$\tilde{c}^{(CEA)} \approx 46.8943$ nM
		-40	2.292	2.297					
		-30	2.312	2.297					
		-20	2.283	2.297					
		-10	2.281	2.297					
		0	2.275	2.297					
		10	2.517	2.513					
		20	2.662	2.663					
		30	2.765	2.779					
		40	2.864	2.874					
		50	2.958	2.955					
		60	2.995	3.026					
		70	3.083	3.087					
		80	3.147	3.142					
		90	3.204	3.190					
		100	3.230	3.233					
		110	3.263	3.271					
		120	3.305	3.306					
		130	3.332	3.336					
		140	3.357	3.364					
		150	3.360	3.389					
		160	3.384	3.412					
		170	3.413	3.432					
		180	3.456	3.451					
		190	3.471	3.468					
		200	3.459	3.483					
		210	3.488	3.497					
		220	3.496	3.511					
		230	3.534	3.523					
		240	3.532	3.534					
		250	3.548	3.544					
		260	3.562	3.553					
		270	3.544	3.562					
		280	3.564	3.570					
		290	3.584	3.578					
		300	3.578	3.585					
		310	3.590	3.591					
		320	3.581	3.597					

	330	3.576	3.603	2.297	0.647	0.525	0.134	
	340	3.626	3.608	2.297	0.647	0.530	0.134	
	350	3.602	3.613	2.297	0.648	0.535	0.134	
	360	3.610	3.618	2.297	0.648	0.539	0.134	
	370	3.629	3.622	2.297	0.648	0.543	0.134	
	380	3.601	3.626	2.297	0.649	0.547	0.134	
	390	3.618	3.630	2.297	0.649	0.551	0.134	
	400	3.647	3.634	2.297	0.649	0.554	0.134	
	410	3.635	3.637	2.297	0.649	0.557	0.134	
	420	3.618	3.640	2.297	0.649	0.560	0.134	
	430	3.643	3.643	2.297	0.649	0.563	0.134	
	440	3.634	3.646	2.297	0.649	0.566	0.134	
	450	3.655	3.649	2.297	0.649	0.568	0.134	
	460	3.656	3.651	2.297	0.649	0.571	0.134	
	470	3.635	3.653	2.297	0.649	0.573	0.134	
	480	3.637	3.656	2.297	0.649	0.575	0.134	
	490	3.651	3.658	2.297	0.650	0.577	0.134	
	500	3.682	3.659	2.297	0.650	0.579	0.134	
	510	3.678	3.661	2.297	0.650	0.581	0.134	
	520	3.659	3.663	2.297	0.650	0.582	0.134	
	530	3.659	3.665	2.297	0.650	0.584	0.134	
	540	3.675	3.666	2.297	0.650	0.586	0.134	
	550	3.654	3.667	2.297	0.650	0.587	0.134	
	560	3.661	3.669	2.297	0.650	0.588	0.134	
	570	3.657	3.670	2.297	0.650	0.589	0.134	
	580	3.648	3.671	2.297	0.650	0.591	0.134	
	590	3.660	3.672	2.297	0.650	0.592	0.134	
	600	3.661	3.673	2.297	0.650	0.593	0.134	

References

1. Wang, C.; Wu, J.; He, Y.; Song, Z.; Shi, S.; Zhu, Y.; Jia, Y.; Ye, W., Fully solid-state graphene transistors with striking homogeneity and sensitivity for the practicalization of single-device electronic bioassays. *Nano Lett.* **2019**, *20* (1), 166-175.
2. Huh, S.; Park, J.; Kim, Y. S.; Kim, K. S.; Hong, B. H.; Nam, J.-M., UV/ozone-oxidized large-scale graphene platform with large chemical enhancement in surface-enhanced Raman scattering. *ACS Nano* **2011**, *5* (12), 9799-9806.
3. McDonnell, S.; Pirkle, A.; Kim, J.; Colombo, L.; Wallace, R. M., Trimethyl-aluminum and ozone interactions with graphite in atomic layer deposition of Al₂O₃. *J. Appl. Phys.* **2012**, *112* (10), 104110.
4. Wang, C.; Liu, R.; Zhang, W.; Wang, Y.; Xu, K.; Yue, Z.; Liu, G., Multichannel scan surface plasmon resonance biochip with stationary optics and baseline updating capability. *J. Biomed. Opt.* **2013**, *18* (11), 115002-115002.
5. Zuccaro, L.; Tesauro, C.; Kurkina, T.; Fiorani, P.; Yu, H. K.; Knudsen, B. R.; Kern, K.; Desideri, A.; Balasubramanian, K., Real-time label-free direct electronic monitoring of topoisomerase enzyme binding kinetics on graphene. *ACS Nano* **2015**, *9* (11), 11166-11176.
6. Gao, Y.; Wolf, L. K.; Georgiadis, R. M., Secondary structure effects on DNA hybridization kinetics: a solution versus surface comparison. *Nucleic Acids Res.* **2006**, *34* (11), 3370-3377.